



معاونت اکتشاف

دفتر اکتشافات فلزی، غیرفلزی و کانی‌های صنعتی

(مرکز مشهد)

۱:۵۰۰۰۰ اکتشافات سیستماتیک مواد معدنی در مقیاس

گزارش زمین شناسی اقتصادی برگه کاهی (7855 II)

(طرح تحول خراسان جنوبی)

مسئول پروژه:

مصطفی فیض

شهریور ۱۴۰۱



این گزارش مورد تایید داوران شورای ارزیابی قرار گرفته و از
این شورا طبق کد شماره ۱۴۰۰۱۲۰۶۳۳۵۸/۷۳۰۱/۹۷ مجوز
انتشار دریافت گرده است.

مجری طرح:

محمد باقر دری

مدیر پروژه:

محمود غضنفری، حسن عزمی

مدیر فنی:

بهزاد محمدی

ناظر پروژه:

بهروز مهری

دورسنجی:

دیحانه احمدی روحانی

سازمان زمین شناسی و اکتشافات معدنی کشور

پیش گفتار:

سازمان زمین شناسی و اکتشافات معدنی کشور در قالب توافقنامه و برنامه‌ای مشارکتی با سازمان توسعه و نوسازی معادن و صنایع معدنی ایران (ایمیدرو) و معاونت امور معادن و صنایع معدنی وزارت صنعت، معدن و تجارت اقدام به تعریف برنامه‌ای تحولی در بخش زمین‌شناسی و اکتشاف ذخایر جدید معدنی کشور کرد. با نگاهی به ماموریت اصلی سازمان زمین‌شناسی و اکتشافات معدنی جمهوری اسلامی ایران و مقایسه تطبیقی جایگاه این سازمان‌ها در جهان، در می‌یابیم که همگی این سازمان‌ها وظیفه اصلی تولید اطلاعات پایه علوم زمین و اکتشاف ذخایر معدنی را بر عهده دارند که استفاده درست و تخصصی از این اطلاعات، به هنگام سازی و تولید آن‌ها مطابق با آخرین استانداردها و نیاز کشور، حلقه آغازین توسعه بخش معدن، عمران و زیرساخت می‌باشد. پس از ماه‌ها بررسی و تحلیل فنی در کمیته راهبردی مشترک معدنی کشور با حضور مدیران و متخصصان این بخش، استان خراسان جنوبی به عنوان نخستین هدف اجرای این برنامه در سال ۱۴۰۰ معرفی و برنامه‌ریزی اجرای پروژه تحول زمین‌شناسی و اکتشاف ذخایر معدنی برای آن طراحی و اجرا شد. طرح تحول زمین‌شناسی و اکتشاف ذخایر معدنی وفق توافقنامه سه جانبه میان آن معاونت، سازمان زمین‌شناسی و اکتشافات معدنی کشور و سازمان توسعه و نوسازی معادن و صنایع معدنی ایران (ایمیدرو)، در ابتدا با اهداف و برنامه‌هایی از استان خراسان جنوبی و با نگاهی نو بر تهیه اطلاعات پایه زمین‌شناسی و اکتشافی از مهر ۱۴۰۰ آغاز شد. مدت زمان اجرای این پروژه به مدت ۱۲ ماه برآورد شد که این بازه زمانی در مقایسه با روند انجام پروژه‌های قبلی سازمان زمین‌شناسی و اکتشافات معدنی کشور به حدود یک سوم زمان قبلی کاهش پیدا کرده است و دقت مطالعات نیز به دلیل تغییر و تحول موثر در روش‌های برداشت صحرایی، آنالیز و تحلیل داده‌های تولید شده و نظارت علمی بر جا (در محل پروژه) دارای رکورد منحصر به فردی در کشور بوده است. دستاوردهای کمی پروژه تحول استان خراسان جنوبی (مهرماه ۱۴۰۰ تا مهر ماه ۱۴۰۱) شامل حضور نزدیک به ۱۸۰ نفر از متخصصان و کارشناسان سازمان زمین‌شناسی و اکتشافات معدنی در منطقه، انجام ۱۴ هزار کارشناختی/روز ماموریت صحرایی در راستای اجرای پروژه، استفاده از ظرفیت نخبگان دانشگاهی استان جهت مشارکت و نظارت علمی در روند پیشرفت پروژه (تفاهمنامه و قرارداد با دانشگاه صنعتی بیرجند و دانشگاه بیرجند)، پوشش ۱۲ هزار و ۵۰۰ کیلومتر مربع از کشور با مقیاس ۱:۵۰۰۰۰، افزایش چهار برابری دقت برداشت‌های زمین‌شناسی نسبت به نقشه‌های ۱:۱۰۰۰۰ سازمان، برداشت ۲۰ هزار نمونه زمین‌شناسی و اکتشافی در جهت شناسایی ذخایر معدنی جدید در منطقه ۳۱۱۶ نمونه- ۱۰۲۷۷ نقطه برداشت شده)، همسان‌سازی آنالیز نمونه‌های ژئوشیمیایی در کل پهنه با تجزیه ۵۷ عنصر، معرفی ۶۰۰ حوضه آنومال در کل مساحت پهنه خراسان جنوبی جهت کنترل صحرایی در ۲۰ برگه، و همچنین دریافت شواهدی از ذخایر جدید مواد فلزی مانند مس، طلا، پلی مtal، سنگ‌های ساختمانی، سنگ‌های قیمتی (گارنت، عقیق)، لیتیوم سنگی، تنگستان، آهن و نیکل (نیکل برای نخستین بار در این منطقه جغرافیایی

گزارش شده است) در منطقه بوده است. مقیاس، نحوه برداشت و تجزیه و تحلیل اطلاعات در این پروژه مطابق با استانداردهای جهانی بوده و برای نخستین بار در کشور (مقیاس یک پنجاه هزارم) این مقیاس برای سه عنوان نقشه مذکور عملیاتی شده است. لازم به ذکر است با توجه به انتخاب این مقیاس، دقت مطالعات انجام شده نسبت به مقیاس ملی یکصدهزارم، چهار برابر بیشتر شده است.

پروژه اکتشاف سیستماتیک مواد معدنی و تهیه لایه زمین شناسی اقتصادی در برگه ۱:۵۰۰۰۰ کاھی به شماره II 7855 (گزارش حال حاظر)، جزو یکی از برگه‌های اکتشافی در پهنه اکتشافی بیرون گردید که شامل مطالعات دفتری، مطالعات صحرایی، مطالعات آزمایشگاهی و تهیه گزارش و نقشه زمین شناسی-معدنی با مقیاس ۱:۵۰۰۰۰ می‌باشد.

چکیده:

برگه زمین شناسی - معدنی ۱:۵۰۰۰۰ کاهی به شماره II 7855 به مساحت ۶۵۱ کیلومتر مربع در ۳۰ کیلومتری جنوب بیرجند (جنوب شرق نقشه زمین‌شناسی یکصد هزار بیرجند) و در مجموعه افیولیتی و رسوبات فیلیشی زمین درز سیستان در شرق ایران قرار گرفته است. در مورد چگونگی تشکیل مجموعه‌های افیولیتی در شرق ایران تاکنون بحث‌ها و نظرات متفاوتی توسط محققان ارائه شده است. از نظر زمین‌شناسی در این برگه به سه ناحیه با مجموعه سنگ‌های زیر تقسیم می‌شوند: ۱- افیولیت و مخلوط درهم رنگین ۲-رسوبات نوع فلیشی ۳-سنگ‌های رسوبی. در محدوده برگه مورد مطالعه به تقریب توالی کاملی (هرچند درهم ریخته) از مجموعه افیولیتی نوع (هارزبورژیتی) وجود دارد. جای‌گیری تکتونیکی افیولیت‌های منطقه مورد مطالعه موجب دگرگون شدن برخی از واحدهای سنگی شده است. علاوه بر این، پدیده‌های سرپانتینی شدن، لیستوینیتی شدن و رودنگیتی شدن همزمان با تشکیل و پس از جای‌گیری آفیولیت‌ها دیده می‌شود، به طوری که واحدهای سرپانتینی و لیستوینیتی را با گسترش نسبتاً فراوان در منطقه شاهد هستیم.

از نظر پتانسیل‌های فلزی، در برگه ۱:۵۰۰۰۰ کاهی، یک محدوده نیکل‌دار با عیار بالا (ppm ۸۰۰۰) (زون لاتریتی نیکل دار) شناسایی شد که در زون‌های به شدت لاتریتی و اکسید آهنی با سنگ میزان اولترامافیکی قرار دارد. کلید اکتشافی برای پیدا کردن این زون‌ها توجه به کپهای اکسیدی در سنگ‌های اولترامافیکی است. همچنین دو اندیس مس با عیار بالا در منطقه مورد مطالعه شناسایی شد که یکی در جنوب کوه قلا-شمال روستای نوروتک (X: 732312, Y: 3619975) (ppm ۳۶۰۰۰)، و دیگری در جنوب غرب روستای عباس آباد (X: 722727, Y: 3623944) (ppm ۵۸۰۰) قرار دارد. از نظر ژنز می‌توان عنوان نمود که کانه‌زایی‌های مس در منطقه اکتشافی به دو نوع قبرسی در سنگ‌های اولترامافیکی و نوع هیدروترمال در توده‌های آگلومرایی تقسیم می‌شوند. علاوه بر پتانسیل‌های فلزی، در این برگه پتانسیل‌های غیرفلزی نیز شناسایی شد که شامل محدوده‌های سنگ‌های نیمه قیمتی آگات و ژasp و ... در مناطق مختلف برگه می‌شود. در جدول زیر تیپ و ژنز مهم‌ترین کانه‌زایی‌های برگه اکتشافی ۱:۵۰۰۰۰ کاهی (بیرجند ۲) آورده شده است.

تیپ و ژنز برخی از مهم‌ترین کانه‌زایی‌های برگه ۱:۵۰۰۰۰ کاهی (بیرجند ۲).

نام پتانسیل	بعاد زون کانه‌زایی (مترا)	نوع ماده معدنی (تعداد نمونه‌های آنالیز شده)	عيار متوسط ماده معدنی
کانه‌زایی مس جنوب کوه قلا	توده‌ای ۱۰۰*۱۰۰	مس نوع قبرسی در افیولیت‌ها	Cu > 3.6% (2)
کانه‌زایی مس در شرق کافکی	پچ به ابعاد ۲۰۰*۵۰	هیدروترمال در آگلومرا	Cu > 6000 ppm (1)
کانه‌زایی نیکل در شمال غرب رزق	توده به ابعاد ۲۰۰*۲۰۰	لاتریت نیکل دار	Ni > 8000 ppm (2)
کانه‌زایی منیزیت شرق میناخون	رگه‌ای به ابعاد ۲۰*۱۰۰	رگه‌ای و هیدروترمالی	MgO > 20% (1)
کانه‌زایی ژاسپیر و زرد رنگ	رگه‌ای به ابعاد ۵۰*۱۰۰۰	رگه‌ای و هیدروترمالی	-

روش انجام کار:

با تفسیر عکس‌های ماهواره‌ای (احمدی، ۱۴۰۰)، بررسی زمین‌شناسی منطقه اکتشافی (گزارش زمین‌شناسی ۱:۵۰۰۰ کاهی، خوش‌زارع، ۱۴۰۰)، گزارش اکتشافات سیستماتیک ژئوشیمیایی با مقیاس ۱:۱۰۰۰۰ (سازمان زمین‌شناسی کشور) و گزارش اکتشافات سیستماتیک ژئوشیمیایی با مقیاس ۱:۵۰۰۰ در برگه کاهی (جرجندی، ۱۴۰۰) در این محدوده اکتشافی، تعداد ۳۰ پروفیل اکتشافی عمود بر امتداد عمومی زمین‌شناسی منطقه‌ای با بیشترین گسترش ماده معدنی یا آلتراسیون طراحی و پیمایش گردید. مطالعات صحرایی انجام شده در این پژوهش در ۵۰ روز انجام و منجر به بازدید بیش از ۴۰۰ ایستگاه و برداشت مجموعاً ۱۵۴ نمونه شد. در این میان، ۱۳۰ نمونه برای ICP و Fire Assay، ۱۵ نمونه برای مطالعات پتروگرافی و مینرالوگرافی و همچنین ۵ نمونه به جهت XRD برداشت گردید.

تقدیر و تشکر:

اجرای این پروژه بدون پشتیبانی و همکاری جمع کثیری از همکاران گرامی سازمان زمین‌شناسی و اکتشافات معدنی کشور ممکن نبوده که بدین وسیله از همه این عزیزان تقدیر و تشکر می‌کنم:

- مدیران فنی و علمی پروژه: آقایان مهندس محمود غصنفری و دکتر حسن عزمی
- ناظر فنی پروژه: آقای مهندس بهزاد محمدی

همچنین از بخش لجستیک سازمان زمین‌شناسی و اکتشافات کشور و همچنین همکاران حراست مرکز مشهد و همینطور سایر همکاران عزیز و رحمتکش آزمایشگاه شیمی و آزمایشگاه تهیه و مطالعه مقاطع نازک و صیقلی در سازمان مرکزی سپاسگزاری و قدردانی می‌نمایم. از سرکار خانم دکتر ریحانه احمدی روحانی برای مطالعات سنجش از دور در برگه کاهی سپاسگزاری می‌کنم. از آقای دکتر هادیزاده و دکتر محمد صفری (ناظر محترم برگه ۱:۵۰۰۰۰ کاهی) که در بخشی از برداشت‌های صحرایی اینجانب را همراهی نمودند و از نظرات ارزشمند آن‌ها بهره‌مند شدم، کمال تشکر و قدردانی را دارم. از جناب آقای مهندس طاهر خوش زارع و همکاران ارجمندان در تهیه نقشه زمین‌شناسی ۱:۵۰۰۰۰ کاهی تشکر می‌نمایم. از راهنمایی‌های اساتید و پیشکسوتان اکتشاف مرکز مشهد، آقایان دکتر رضا منظمی‌باقرزاده، دکتر علی عسکری نیز قدردانی می‌کنم. از آقای مهندس مهدی آزادی بابت کمک در فهرست نویسی و ویراستاری گزارش کمال تشکر را دارم. همچنین در پایان از همسر عزیزم، که با صبر خود، دوری و مشقت ماموریت‌های صحرایی را بر من آسان نموده است قلبً تشکر و سپاسگزاری می‌نمایم.

مصطفی فیض

مهر ماه ۱۴۰۱

فهرست مطالب

عنوان.....	صفحه
.....	پیش گفتار:
.....	چکیده
ج	روش انجام کار:
د	تقدیر و تشکر
۵	فهرست مطالب
و	فهرست شکل ها
ک	فهرست عکس ها
س	فهرست جداول
ث	فصل اول: کلیات
۱	۱- مقدمه:
۱	۱-۲- موقعیت جغرافیایی و راههای دسترسی:
۴	۱-۳- زمین ریخت شناسی:
۵	۱-۴- داده ها و اطلاعات مورد استفاده:
۶	۱-۵- مطالعات پیشین در برگه مورد مطالعه:
۸	فصل دوم: زمین شناسی
۸	۱-۱- زمین شناسی ناحیه ای:
۱۲	۱-۲- زمین شناسی منطقه اکتشافی (برگه ۰۰۰:۵۰۰ کاهی):
۱۴	۱-۲-۱- نهشته های فلیشی:
۱۴	۱-۲-۲- نهشته های فلیشی (KPe^f):
۱۴	۱-۲-۳- نهشته های فلیشی (KPe^{fph}):
۱۶	۱-۲-۲- واحدهای سنگ چینه ای پالئوسن - ائوسن
۱۶	۱-۲-۲-۱- واحد کنگلومرا (Pe^c):
۱۸	۱-۲-۲-۲- واحد سنگ آهک (PeE^l):
۱۹	۱-۲-۲-۳- واحد مارنی (PeE^m):
۱۹	۱-۲-۴- واحد فلیشی (PeE^f):
۲۰	۱-۲-۵- واحد مارن و ماسه (E^{ms}):
۲۱	۱-۶- واحد مارن، کنگلومرا و ماسه (Em^{cs}):
۲۱	۱-۷- واحد مارن و ماسه (Ng^{sm}):
۲۳	۱-۸- واحد توف مارنی (Ng^t):
۲۳	۱-۹- واحد کنگلومرا (Ng^c):
۲۴	۱-۱۰- واحد (PIQ^c):

۲۵.....	- نهشته‌های کواترنری:
۳۰.....	- واحد سنگ آتشفسانی (O^{tba}):
۳۱.....	- واحد (PLQ^{ob}):
۳۱.....	- واحد (EO^{tbr}):
۳۲.....	- واحد آذر آواری (E^t):
۳۳.....	- مجموعه افیولیتی:
۳۳.....	- واحد پریدوتیتی (Pd):
۳۳.....	- واحد هارزبورژیت (Hz):
۳۴.....	- واحد دونیت (du):
۳۵.....	- واحد گابرویی (gb):
۳۵.....	- واحد دیاباز (db):
۳۶.....	- واحد بازالت با ساخت بالشی (b):
۳۷.....	- سنگ آهک پلاژیک (K₂^l):
۳۷.....	- آمیزه افیولیتی (om):
۳۷.....	- سرپانتینیت (sr):
۳۸.....	- لیستونیت (Lv):
۳۹.....	- واحدهای نفوذی نیمه عمیق:
۳۹.....	- دیوریت پورفیری-لاتیت آندزیت (pdi):
۳۹.....	- هورنبلند آندزیت (han):
۴۰.....	- واحدهای دگرگونی:
۴۰.....	- واحد دگرگونی (mtdb):
۴۱.....	- واحد دگرگونی (sch):
۴۲.....	- واحد دگرگونی (gsch):
۴۲.....	- گسل‌های مهم منطقه مورد بررسی:
۴۲.....	- گسل خراشاد:
۴۳.....	- گسل میناخون:
۴۴.....	- زمین شناسی اقتصادی:
۴۴.....	- کرومیت:
۴۵.....	- کانه زایی مس:
۴۵.....	- تالک:
۴۶.....	- منیزیت:
۴۷.....	فصل سوم: مطالعات دفتری
۴۷.....	- مقدمه:
۴۷.....	- تفسیر تصاویر ماهواره‌ای:

۴۷	- استفاده از ایندکس‌های آلتراسیونی با استفاده از داده‌های ASTER
۵۲	- پردازش داده‌های لندست (۸):
۵۴	- پردازش داده‌های ASTER
۵۴	- پردازش داده‌های ASTER به روش ترکیب باندی:
۵۵	- پردازش داده‌های ASTER جهت تهیه ایندکس‌های آلتراسیونی:
۵۷	- پردازش داده‌های ASTER با استفاده از آنالیز طیفی:
۵۹	- پردازش داده‌های با تفکیک مکانی بالا در محدوده اکتشافی:
۶۰	- نتیجه‌گیری پردازش داده‌های ماهواره‌ای محدوده اکتشافی:
۶۱	- تفسیر نتایج اکتشافات ژئوشیمیایی برگه ۱:۱۰۰۰۰ بیرجند:
۷۹	- تفسیر نتایج اکتشافات ژئوشیمیایی برگه ۱:۵۰۰۰ کاهی (بیرجند ۲)
۸۱	فصل چهارم: مطالعات زمین شناسی اقتصادی و پی جویی
۸۱	- طراحی عملیات اکتشافی:
۸۳	- نمونه برداری:
۸۳	- نمونه برداری مرحله اول:
۸۶	- نمونه برداری مرحله دوم:
۸۷	- نمونه برداری مرحله سوم:
۸۸	- شرح عملیات اکتشافی:
۸۸	- پروفیل (۱):
۹۲	- پروفیل (۲):
۱۰۰	- پروفیل (۳):
۱۰۳	- پروفیل (۴):
۱۱۸	- پروفیل (۵):
۱۲۱	- پروفیل (۶):
۱۲۴	- پروفیل (۷):
۱۲۹	- پروفیل (۸):
۱۳۷	- پروفیل (۹):
۱۴۴	- پروفیل (۱۰):
۱۵۲	- پروفیل (۱۱):
۱۶۰	- پروفیل (۱۲):
۱۸۷	- پروفیل (۱۳):
۱۹۷	- پروفیل (۱۴):
۲۰۴	- پروفیل (۱۵):
۲۱۳	- پروفیل (۱۶):
۲۲۴	- پروفیل (۱۷):

۲۳۴.....	:۱۸-۲-۴ پروفیل (۱۸)
۲۴۰.....	:۱۹-۲-۴ پروفیل (۱۹)
۲۵۱.....	:۲۰-۲-۴ پروفیل (۲۰)
۲۵۵.....	:۲۱-۲-۴ پروفیل (۲۱)
۲۶۲.....	:۲۲-۲-۴ پروفیل (۲۲)
۲۷۴.....	:۲۳-۲-۴ پروفیل (۲۳)
۲۸۱.....	:۲۴-۲-۴ پروفیل (۲۴)
۲۸۵.....	:۲۵-۲-۴ پروفیل (۲۵)
۲۹۰.....	:۲۶-۲-۴ پروفیل (۲۶)
۲۹۳.....	:۲۷-۲-۴ پروفیل (۲۷)
۳۰۲.....	:۲۸-۲-۴ پروفیل (۲۸)
۳۰۷.....	:۲۹-۲-۴ پروفیل (۲۹)
۳۱۲.....	:۳۰-۲-۴ پروفیل (۳۰)
۳۱۷.....	فصل پنجم: نتایج اکتشافات سیستماتیک
۳۱۷.....	-۱- مقدمه:
۳۱۷.....	-۲- تحلیل و تفسیر اطلاعات:
۳۱۷.....	-۳- تهییه بانک اطلاعاتی نمونه‌ها:
۳۱۸.....	-۴- پردازش داده‌ها:
۳۱۹.....	-۵- مس:
۳۱۹.....	-۶- طلا:
۳۱۹.....	-۷- نیکل:
۳۲۰.....	-۸- کبات:
۳۲۰.....	-۹- اکسید آهن (هماتیت):
۳۲۰.....	-۱۰- روی:
۳۲۷.....	-۱۱- معرفی تارگت‌های معدنی:
۳۳۰.....	-۱۲- خلاصه نتایج مطالعات اکتشافی در برگه ۱: کاهی (بیرجند ۲): ۵۰۰۰۰
۳۳۵.....	-۱۳- مطالعات فنی و اقتصادی در برگه زمین شناسی ۱: کاهی (بیرجند ۲): ۵۰۰۰۰
۳۴۱.....	فصل ششم: نتیجه گیری و پیشنهادات
۳۴۱.....	-۱- نتیجه گیری:
۳۴۲.....	-۲- اولویت‌های اکتشافی فلزی:
۳۴۲.....	-۳- مس:
۳۴۴.....	-۴- نیکل:
۳۴۵.....	-۵- طلا:
۳۴۵.....	-۶- آهن هماتیتی:

۳۴۶	۵-۱-۱-۶- کیالت:
۳۴۶	۶-۱-۱-۶- روی:
۳۵۳	۶-۲- پیشنهادها:
۳۵۵	منابع و مأخذ:
۳۵۶	پیوستها:

سازمان زمین شناسی و اکتشافات معدنی کشور

فهرست شکل‌ها

عنوان.....صفحه

شکل ۱ -۱ - تصویر راههای ارتباطی شهرهای بیرجند، مود، مختاران، میناخون و	۲
شکل ۱ -۲ - مختصات چهارگوش و ایندکس برگه کاهی در نقشه های یکصد هزار و	۴
شکل ۱ -۳ - تصویر زمین ریخت شناسی برگه ۱:۵۰۰۰ کاهی	۵
شکل ۱ -۴ - نمایی از پیمایشها و نقاط ثبت شده در برگه ۱:۵۰۰۰ کاهی (بیرجند ۲)	۸
شکل ۲ -۱ - موقعیت زمین درز سیستان در شرق ایران و موقعیت محدوده مورد مطالعه در آن	۹
شکل ۲ -۲ - مراحل آغاز و پایان فرورانش در حاشیه شرقی لوت (افتخارنژاد، ۱۳۵۲)	۱۰
شکل ۲ -۳ - مراحل مختلف فرورانش در شرق ایران (تیرول، ۱۹۸۳)	۱۱
شکل ۲ -۴ - پهنی بندی واحدهای سنگی منطقه بر اساس نقشه زمین‌شناسی ۱:۵۰۰۰ کاهی	۱۳
شکل ۳ -۱ - بارز سازی اندیس OHI در تصویر ماهواره Aster	۴۸
شکل ۳ -۲ - بارز سازی اندیس CLI در تصویر ماهواره Aster	۴۹
شکل ۳ -۳ - بارز سازی اندیس کائولن در تصویر ماهواره Aster	۵۰
شکل ۳ -۴ - بارز سازی اندیس آلونیت در تصویر ماهواره Aster	۵۱
شکل ۳ -۵ - پردازش داده‌های لندست-۸	۵۲
شکل ۳ -۶ - پردازش داده‌های لندست-۸	۵۳
شکل ۳ -۷ - پردازش داده‌های ASTER	۵۴
شکل ۳ -۸ - پردازش داده‌های ASTER	۵۵
شکل ۳ -۹ - پردازش داده‌های ASTER	۵۶
شکل ۳ -۱۰ - نمودار طیفی جهت بارزسازی آلتراسیون‌های کانی سازی مس و طلا	۵۷
شکل ۳ -۱۱ - نقشه حاصل از پردازش داده ASTER	۵۸
شکل ۳ -۱۲ - نقشه حاصل از پردازش داده با تفکیک مکانی بالا	۵۹
شکل ۳ -۱۳ - اولویت‌های اکتشافی	۶۰
شکل ۳ -۱۴ - دیاگرام آنالیز خوش‌ای	۶۳
شکل ۳ -۱۵ - قرارگیری آنومالی‌های ژئوشیمیایی ۳ و ۴ و ۵	۶۵
شکل ۳ -۱۶ - قرارگیری آنومالی‌های ژئوشیمیایی فاکتوری (۱)	۶۷
شکل ۳ -۱۷ - قرارگیری آنومالی‌های ژئوشیمیایی فاکتوری (۲)	۶۸
شکل ۳ -۱۸ - قرارگیری آنومالی‌های ژئوشیمیایی فاکتوری (۳)	۶۹
شکل ۳ -۱۹ - قرارگیری آنومالی‌های ژئوشیمیایی فاکتوری (۴)	۷۰
شکل ۳ -۲۰ - قرارگیری آنومالی‌های ژئوشیمیایی فاکتوری (۵)	۷۱
شکل ۳ -۲۱ - قرارگیری آنومالی‌های ژئوشیمیایی فاکتوری (۴)	۷۲
شکل ۳ -۲۲ - موقعیت نمونه‌های مینرالیزه آنومالی فاکتوری (۱)	۷۳
شکل ۳ -۲۳ - موقعیت نمونه‌های مینرالیزه آنومالی فاکتوری (۲)	۷۴
شکل ۳ -۲۴ - موقعیت نمونه‌های مینرالیزه آنومالی فاکتوری (۳)	۷۵
شکل ۳ -۲۵ - موقعیت نمونه‌های مینرالیزه آنومالی فاکتوری (۴)	۷۶
شکل ۳ -۲۶ - موقعیت نمونه‌های مینرالیزه آنومالی فاکتوری (۵)	۷۷

شکل ۳-۲۷- موقعیت نمونه‌های مینرالیزه آنومالی فاکتوری (۶)	۷۸
شکل ۳-۲۸- نمایی از پراکندگی نمونه‌های ژئوشیمیایی رسوب آبراهه‌ای	۷۹
شکل ۳-۲۹- موقعیت آنومالی‌های ژئوشیمیایی رسوبات آبراهه‌ای و کانی سنگین	۸۰
شکل ۴-۱- نمایی از نمونه‌های برداشت شده در امتداد پروفیل‌های اکتشافی	۸۲
شکل ۴-۲- نمونه‌های برداشت شده در امتداد پروفیل‌های اکتشافی در محدوده کاهی	۸۳
شکل ۴-۳- نمونه‌های برداشت شده در امتداد پروفیل (۱)	۸۹
شکل ۴-۴- نمایی از پروفیل (۱) در تصویر ماهواره‌ای	۸۹
شکل ۴-۵- نمونه‌های برداشت شده در امتداد پروفیل (۲)	۹۲
شکل ۴-۶- نمایی از پروفیل (۲) در تصویر ماهواره‌ای	۹۲
شکل ۴-۷- نمونه‌های برداشت شده در امتداد پروفیل (۳)	۱۰۰
شکل ۴-۸- نمایی از پروفیل (۳) در تصویر ماهواره‌ای	۱۰۰
شکل ۴-۹- نمونه‌های برداشت شده در امتداد پروفیل (۳)	۱۰۳
شکل ۴-۱۰- نمایی از پروفیل (۴) در تصویر ماهواره‌ای	۱۰۳
شکل ۴-۱۱- نمونه‌های برداشت شده در امتداد پروفیل (۵)	۱۱۸
شکل ۴-۱۲- نمایی از پروفیل (۵) در تصویر ماهواره‌ای	۱۱۸
شکل ۴-۱۳- نمونه‌های برداشت شده در امتداد پروفیل (۶)	۱۲۱
شکل ۴-۱۴- نمایی از پروفیل (۶) در تصویر ماهواره‌ای	۱۲۱
شکل ۴-۱۵- نمونه‌های برداشت شده در امتداد پروفیل (۷)	۱۲۴
شکل ۴-۱۶- نمایی از پروفیل (۷) در تصویر ماهواره‌ای	۱۲۵
شکل ۴-۱۷- نمونه‌های برداشت شده در امتداد پروفیل (۸)	۱۲۹
شکل ۴-۱۸- نمایی از پروفیل (۸) در تصویر ماهواره‌ای	۱۳۰
شکل ۴-۱۹- نمونه‌های برداشت شده در امتداد پروفیل (۹)	۱۳۷
شکل ۴-۲۰- نمایی از پروفیل (۹) در تصویر ماهواره‌ای	۱۳۸
شکل ۴-۲۱- نمونه‌های برداشت شده در امتداد پروفیل (۱۰)	۱۴۴
شکل ۴-۲۲- نمایی از پروفیل (۱۰) در تصویر ماهواره‌ای	۱۴۵
شکل ۴-۲۳- نمونه‌های برداشت شده در امتداد پروفیل (۱۱)	۱۵۳
شکل ۴-۲۴- نمایی از پروفیل (۱۱) در تصویر ماهواره‌ای	۱۵۳
شکل ۴-۲۵- نمونه‌های برداشت شده در امتداد پروفیل (۱۲)	۱۶۱
شکل ۴-۲۶- نمایی از پروفیل (۱۲) در تصویر ماهواره‌ای	۱۶۱
شکل ۴-۲۷- نمونه‌های برداشت شده در امتداد پروفیل (۱۳)	۱۸۷
شکل ۴-۲۸- نمایی از پروفیل (۱۳) در تصویر ماهواره‌ای	۱۸۷
شکل ۴-۲۹- نمونه‌های برداشت شده در امتداد پروفیل (۱۴)	۱۹۷
شکل ۴-۳۰- نمایی از پروفیل (۱۴) در تصویر ماهواره‌ای	۱۹۸
شکل ۴-۳۱- نمونه‌های برداشت شده در امتداد پروفیل (۱۵)	۲۰۴
شکل ۴-۳۲- نمایی از پروفیل (۱۵) در تصویر ماهواره‌ای	۲۰۵
شکل ۴-۳۳- نمونه‌های برداشت شده در امتداد پروفیل (۱۶)	۲۱۳

..... ۲۱۴	شکل ۴-۳۴- نمایی از پروفیل (۱۶) در تصویر ماهواره‌ای.
..... ۲۲۴	شکل ۴-۳۵- نمونه‌های برداشت شده در امتداد پروفیل (۱۷).
..... ۲۲۵	شکل ۴-۳۶- نمایی از پروفیل (۱۷) در تصویر ماهواره‌ای.
..... ۲۳۴	شکل ۴-۳۷- نمونه‌های برداشت شده در امتداد پروفیل (۱۸).
..... ۲۳۵	شکل ۴-۳۸- نمایی از پروفیل (۱۸) در تصویر ماهواره‌ای به همراه مقطع عرضی آن.
..... ۲۴۱	شکل ۴-۳۹- نمونه‌های برداشت شده در امتداد پروفیل (۱۹).
..... ۲۴۱	شکل ۴-۴۰- نمایی از پروفیل (۱۹) در تصویر ماهواره‌ای به همراه مقطع عرضی آن.
..... ۲۵۱	شکل ۴-۴۱- نمونه‌های برداشت شده در امتداد پروفیل (۲۰).
..... ۲۵۲	شکل ۴-۴۲- نمایی از پروفیل (۲۰) در تصویر ماهواره‌ای به همراه مقطع عرضی آن.
..... ۲۵۴	شکل ۴-۴۳- رگه و پچ لیستونیتی در تصویر ماهواره‌ای.
..... ۲۵۵	شکل ۴-۴۴- نمونه‌های برداشت شده در امتداد پروفیل (۲۱).
..... ۲۵۶	شکل ۴-۴۵- نمایی از پروفیل (۲۱) در تصویر ماهواره‌ای به همراه مقطع عرضی آن.
..... ۲۵۷	شکل ۴-۴۶- موقعیت عکس‌های معدن منیزیت در تصویر ماهواره‌ای.
..... ۲۶۲	شکل ۴-۴۷- نمونه‌های برداشت شده در امتداد پروفیل (۲۲).
..... ۲۶۲	شکل ۴-۴۸- نمایی از پروفیل (۲۲) در تصویر ماهواره‌ای به همراه مقطع عرضی آن.
..... ۲۷۱	شکل ۴-۴۹- نتیجه آنالیز XRD نمونه BIRG2S127.
..... ۲۷۴	شکل ۴-۵۰- نمونه‌های برداشت شده در امتداد پروفیل (۲۳).
..... ۲۷۵	شکل ۴-۵۱- نمایی از پروفیل (۲۳) در تصویر ماهواره‌ای به همراه مقطع عرضی آن.
..... ۲۸۲	شکل ۴-۵۲- نمونه‌های برداشت شده در امتداد پروفیل (۲۴).
..... ۲۸۲	شکل ۴-۵۳- نمایی از پروفیل (۲۴) در تصویر ماهواره‌ای به همراه مقطع عرضی آن.
..... ۲۸۶	شکل ۴-۵۴- نمونه‌های برداشت شده در امتداد پروفیل (۲۵).
..... ۲۸۶	شکل ۴-۵۵- نمایی از پروفیل (۲۵) در تصویر ماهواره‌ای.
..... ۲۹۰	شکل ۴-۵۶- نمونه‌های برداشت شده در امتداد پروفیل (۲۶).
..... ۲۹۱	شکل ۴-۵۷- نمایی از پروفیل (۲۶) در تصویر ماهواره‌ای.
..... ۲۹۳	شکل ۴-۵۸- نمونه‌های برداشت شده در امتداد پروفیل (۲۷).
..... ۲۹۴	شکل ۴-۵۹- نمایی از پروفیل (۲۷) در تصویر ماهواره‌ای.
..... ۳۰۲	شکل ۴-۶۰- نمونه‌های برداشت شده در امتداد پروفیل (۲۸).
..... ۳۰۳	شکل ۴-۶۱- نمایی از پروفیل (۲۸) در تصویر ماهواره‌ای.
..... ۳۰۷	شکل ۴-۶۲- نمونه‌های برداشت شده در امتداد پروفیل (۲۹).
..... ۳۰۸	شکل ۴-۶۳- نمایی از پروفیل (۲۹) در تصویر ماهواره‌ای.
..... ۳۰۹	شکل ۴-۶۴- موقعیت عکس‌های پچ لیستونیتی نیکل-کبالت دار در تصویر ماهواره‌ای.
..... ۳۱۲	شکل ۴-۶۵- نمونه‌های برداشت شده در امتداد پروفیل (۳۰).
..... ۳۱۳	شکل ۴-۶۶- نمایی از پروفیل (۳۰) در تصویر ماهواره‌ای.
..... ۳۲۱	شکل ۵-۱- نقشه Symbol Map عنصر مس(Cu) بر اساس حدود ژینزبرگ.
..... ۳۲۲	شکل ۵-۲- نقشه Symbol Map عنصر طلا بر اساس حدود ژینزبرگ.
..... ۳۲۳	شکل ۵-۳- نقشه Symbol Map عنصر نیکل بر اساس حدود ژینزبرگ.

۳۲۴	شکل ۵-۴- نقشه Symbol Map عنصر کبالت بر اساس حدود ژینزبرگ
۳۲۵	شکل ۵-۵- نقشه Symbol Map عنصر آهن هماتیت بر اساس حدود ژینزبرگ
۳۲۶	شکل ۵-۶- نقشه Symbol Map عنصر روی بر اساس حدود ژینزبرگ
۳۲۷	شکل ۵-۷- نقشه Symbol Map بر اساس حدود ژینزبرگ و موقعیت تارگت‌های معدنی در آن
۳۲۸	شکل ۵-۸- نقشه Ore Indication Map بر اساس حدود ژینزبرگ
۳۲۹	شکل ۵-۹- نقشه آنومالی‌های لیتوژئوژیمیایی برگه ۱:۵۰۰۰۰ کاھی بر اساس حدود ژینزبرگ

سازمان زمین‌شناسی و اکتشافات معنی کشید

فهرست عکس‌ها

عنوان.....صفحه

عکس ۲ -۱ - ماسه سنگ‌ها و شیل‌های واحد فلیشی	۱۴
عکس ۲ -۲ - واحد فلیش KPe fph	۱۵
عکس ۲ -۳ - واحد فلیش KPe fph	۱۵
عکس ۲ -۴ - واحد کنگلومراپی Pec	۱۶
عکس ۲ -۵ - از مرز ناپیوسته واحد کنگلومراپی (Pec) و سنگ آهک‌های پالتوسن-ائوسن	۱۷
عکس ۲ -۶ - سیمای خشن و صخره ساز واحد سنگ آهک (PeEl)	۱۸
عکس ۲ -۷ - از راندگی مجموعه افیولیتی (هارزبورژیت) بر روی واحد سنگ آهک (PeEl)	۱۸
عکس ۲ -۸ - واحد مارنی PeEm به شکل تپه ماهوری	۱۹
عکس ۲ -۹ - واحد فلیشی PEf جنوب روستای بیجار	۲۰
عکس ۲ -۱۰ - واحد مارن و ماسه (Ems) د	۲۰
عکس ۲ -۱۱ - رخنمون واحد Emcs	۲۱
عکس ۲ -۱۲ - واحد مارنی Ngsm که با سیمای تپه ماهوری	۲۲
عکس ۲ -۱۳ - واحد مارنی Ngsm	۲۲
عکس ۲ -۱۴ - واحد توف مارنی Ngt با رنگ روشن	۲۳
عکس ۲ -۱۵ - واحد کنگلومراپی Ngc	۲۴
عکس ۲ -۱۶ - واحد کنگلومراپی PIQC با لایه بندی افقی	۲۴
عکس ۲ -۱۷ - واحد Qf1	۲۵
عکس ۲ -۱۸ - واحد Qf1	۲۶
عکس ۲ -۱۹ - واحد Qf2	۲۶
عکس ۲ -۲۰ - واحد Qf3	۲۷
عکس ۲ -۲۱ - تراس رودخانه که نهشته‌ها سست و جریان‌های سیلابی	۲۷
عکس ۲ -۲۲ - رسوبات تراس رودخانه‌ای	۲۸
عکس ۲ -۲۳ - واحد کواترنری-واریزه‌ای Qscr	۲۸
عکس ۲ -۲۴ - نهشته‌های سست بستر رودخانه Qal	۲۹
عکس ۲ -۲۵ - نمایی نزدیک از واحد Qpm	۲۹
عکس ۲ -۲۶ - رخساره تبخیری و نمکی واحد Qps	۳۰
عکس ۲ -۲۷ - واحد سنگ آتشفسانی Otba	۳۰
عکس ۲ -۲۸ - منشورهای الیوین بازالت	۳۱
عکس ۲ -۲۹ - بخش‌های صخره ساز واحد EOtbr	۳۲
عکس ۲ -۳۰ - واحد توفی Et	۳۲
عکس ۲ -۳۱ - نمونه دستی از هارزبورژیت دگرسان (سرپانتینیتی)	۳۴
عکس ۲ -۳۲ - تصویری از رخنمون واحد پریدوتیتی عمدتاً دونیتی	۳۴
عکس ۲ -۳۳ - واحد گابرو gb	۳۵
عکس ۲ -۳۴ - تصویری از واحد منتسب به دایک‌های دیابازی ۱۴۰۱)	۳۶

عکس ۲-۳۵	- تصویر از بازالت های بالشی	۳۶
عکس ۲-۳۶	- تصویری از رخنمون محدود سنگ آهک پلاژیک	۳۷
عکس ۲-۳۷	- تصویری از رخنمون واحد سرپانتینیتی Sr	۳۸
عکس ۲-۳۸	- رخنمون برجسته‌ای از واحد لیستونیت	۳۸
عکس ۲-۳۹	- نمایی از توده pdi	۳۹
عکس ۲-۴۰	- رخنمون محدود واحد نیمه عمیق han	۴۰
عکس ۲-۴۱	- واحد دگرگونی mtdb	۴۰
عکس ۲-۴۲	- واحد دگرگونی sch	۴۱
عکس ۲-۴۳	- رخنمون واحد دگرگونی گلکوفان شیست (gsch)	۴۲
عکس ۲-۴۴	- راندگی در گسل خراشاد	۴۳
عکس ۲-۴۵	- صفحه گسل میناخون و منیزیت زایی	۴۴
عکس ۲-۴۶	- آثار کانی زایی مس (مالاکیت-آزوریت) (فیض، م، ۱۴۰۱)	۴۵
عکس ۲-۴۷	- سرپانتینیت در زون گسلی	۴۶
عکس ۲-۴۸	- منیزیت گل کلمی	۴۷
عکس ۲-۴۹	- تشکیل منیزیت داخل واحد کنگلومرای نئوژن	۴۷
عکس ۴-۱	- نمونه BIRG2S24 ، اثرات کانی سازی منیزیت (سفید رنگ)	۹۰
عکس ۴-۲	- نمونه BIRG2S23 آلتراسیون آرژیلیکی	۹۱
عکس ۴-۳	- نمونه BIRG2S27 که از زون آلتراسیون	۹۳
عکس ۴-۴	- نمونه BIRG2S28 که از دولومیت منیزیمی	۹۴
عکس ۴-۵	- کلیپ تراستی دولومیتی	۹۴
عکس ۴-۶	- رگه لیسونیتی با سنگ میزان هارزبورژیتی	۹۵
عکس ۴-۷	- رخنمون رگه لیسونیتی در محل نمونه BIRG2S29	۹۶
عکس ۴-۸	- رخنمون دولومیتی روی هارزبورژیت در قسمت شرقی نمونه BIRG2S28	۹۷
عکس ۴-۹	- توده مارن آلتره سفید رنگ و لیمونیتی شده در زیر سنگ هارزبورژیتی	۹۸
عکس ۴-۱۰	- نمایی نزدیک از محل نمونه برداری BIRG2SS31	۹۸
عکس ۴-۱۱	- رخنمون رگه لیستونیتی در محل نمونه BIRG2S32	۹۹
عکس ۴-۱۲	- نمایی از سنگهای آراغونیتی که جنبه تزئینی دارد	۹۹
عکس ۴-۱۳	- سنگهای دولومیتی در بالای مارن خاکستری در محل نمونه BIRG2S33	۱۰۱
عکس ۴-۱۴	- سنگهای دولومیتی صخره ساز در محل نمونه BIRG2S34	۱۰۲
عکس ۴-۱۵	- کانی مگنتیت که به هماتیت در حال تبدیل است. نمونه BIRG2S21TP	۱۰۵
عکس ۴-۱۶	- کانی هماتیت در نور معمولی در نمونه BIRG2S21TP	۱۰۵
عکس ۴-۱۷	- آلتراسیون در مرز هارزبورژیت با سنگهای دگرگونی نمونه BIRG2S20	۱۰۶
عکس ۴-۱۸	- رگه لیستونیتی در سنگ میزان شیستی در محل نمونه BIRG2S20	۱۰۷
عکس ۴-۱۹	- کانی پیریت در نمونه BIRG2S18TP	۱۰۹
عکس ۴-۲۰	- کانی کرومیت در نمونه BIRG2S18TP	۱۰۹
عکس ۴-۲۱	- کانی پیریت در نمونه BIRG2S19TP	۱۱۰

عکس ۴-۲۲- کانی های اکسید آهن در اطراف پیریت در نمونه	110.....BIRG2S19TP
عکس ۴-۲۳- رگه لیستونیتی در سنگ میزبان هارزبورژیتی سرپانتینی نمونه	111.....BIRG2S17
عکس ۴-۲۴- رگه لیستونیتی خورد شده و زون گوتیت نمونه	112.....BIRG2S101-S102
عکس ۴-۲۵- رگه لیستونیتی در سنگ میزبان هارزبورژیتی در محل نمونه	113.....BIRG2S103
عکس ۴-۲۶- نمایی از زون آرژیلی-لیمونیتی-اکسید آهنی در محل نمونه	114.....BIRG2S16
عکس ۴-۲۷- زون آلتراه لیمونیتی-آرژیلیتی و اکسید آهنی-کلریتی	115.....
عکس ۴-۲۸- زون آلتراه لیمونیتی-آرژیلیتی و اکسید آهنی-کلریتی	116.....
عکس ۴-۲۹- لایه دولومیتی بر روی هارزبورژیت در محل نمونه	117.....BIRG2S15
عکس ۴-۳۰- لایه های ضخیم دولومیتی و آهکی در محل نمونه	119.....BIRG2S35
عکس ۴-۳۱- لایه های مارنی لیمونیتی شده در محل نمونه	120.....BIRG2S36
عکس ۴-۳۲- رخنمون ولکانیکی شدیداً آلتراه شده در محل نمونه	122.....BIRG2S26
عکس ۴-۳۳- زون آلتراه با سنگ میزبان هارزبورژیتی در محل نمونه	123.....BIRG2S25
عکس ۴-۳۴- رگه لیستونیتی سیلیسی با میزبان فیلیت در محل نمونه	126.....BIRG2S1
عکس ۴-۳۵- زون آلتراه کلریتی در سنگ میزبان هارزبورژیتی نمونه	127.....BIRG2S45
عکس ۴-۳۶- زون آلتراه کلریتی در سنگ میزبان هارزبورژیتی نمونه	128.....BIRG2S14
عکس ۴-۳۷- رگه لیستونیتی در سنگ میزبان شیستی در محل نمونه	129.....BIRG2S13
عکس ۴-۳۸- از رگه لیستونیتی در سنگ میزبان شیستی در محل نمونه	131.....BIRG2S6
عکس ۴-۳۹- زون آلتراه آرژیلیتی و کربناتی در سنگ میزبان هارزبورژیتی نمونه	132.....BIRG2S5
عکس ۴-۴۰- کانی مگنتیت در نمونه	133.....BIRG2S4TP
عکس ۴-۴۱- جایگزینی پیریت توسط اکسیدهای آهن در نمونه	134.....BIRG2S4TP
عکس ۴-۴۲- کانی پیریت در نمونه	134.....BIRG2S4TP
عکس ۴-۴۳- رگه لیستونیتی در سنگ میزبان هارزبورژیتی در محل نمونه	135.....BIRG2S3
عکس ۴-۴۴- نمایی از محل نمونه BIRG2S3 کانی های سبز فوکسیت	135.....
عکس ۴-۴۵- رگه لیستونیتی در سنگ میزبان هارزبورژیتی سرپانتینی نمونه	136.....BIRG2S2
عکس ۴-۴۶- کانی سازی مس در سنگ میزبان هارزبورژیتی نمونه	139.....BIRG2S40
عکس ۴-۴۷- سنگ میزبان هارزبورژیتی سرپانتینی شده در محل نمونه	139.....BIRG2S40
عکس ۴-۴۸- رگه لیستونیتی در سنگ میزبان هارزبورژیتی سرپانتینی نمونه	140.....BIRG2S39
عکس ۴-۴۹- زون آلتراه در سنگ میزبان هارزبورژیتی سرپانتینی شده نمونه	141.....BIRG2S41
عکس ۴-۵۰- زون آلتراه لیمونیتی در سنگ سرپانتینی شده نمونه	142.....BIRG2S41
عکس ۴-۵۱- رگه سیلیسی-کربناته در سنگ شیستی در محل نمونه	143.....BIRG2S71
عکس ۴-۵۲- رگه سیلیسی-کربناته در سنگ شیستی در محل نمونه	143.....BIRG2S71
عکس ۴-۵۳- جایگزینی کانی مگنتیت توسط هماتیت در نمونه	146.....BIRG2S12TP
عکس ۴-۵۴- جایگزینی کانی مگنتیت توسط هماتیت در نمونه	147.....BIRG2S12TP
عکس ۴-۵۵- جایگزینی کانی کرومیت توسط هماتیت در نمونه	147.....BIRG2S12TP
عکس ۴-۵۶- رگه سیلیسی-کربناته (لیستونیتی) در سنگ هارزبورژیتی نمونه	148.....BIRG2S11
عکس ۴-۵۷- رگه سیلیسی-کربناته (لیستونیتی) در سنگ هارزبورژیتی نمونه	148.....BIRG2S11

عکس ۴-۵۸- رگه سیلیسی- کربناته (لیستونیتی) در سنگ هارزبورژیتی نمونه	150.....BIRG2S7-8
عکس ۴-۵۹- رگه‌های سیلیسی- کربناته (لیستونیتی) در دونیت آلترا شده نمونه	151.....BIRG2S37
عکس ۴-۶۰- زون آلترا سبز رنگ و لیمونیتی در محل نمونه	152.....BIRG2S38
عکس ۴-۶۱- رگچه‌های اکسید آهنی- کربناتی در محل نمونه	154.....BIRG2S60
عکس ۴-۶۲- پچ آلترا با کانی‌های سبز رنگ مس دار در محل نمونه	155.....BIRG2S72
عکس ۴-۶۳- رگه سیلیسی- کربناته- برشی- اکسیدی- لیمونیتی نمونه	156.....BIRG2S73
عکس ۴-۶۴- رگه سیلیسی- برشی- اکسیدی- لیمونیتی نمونه	156.....BIRG2S73
عکس ۴-۶۵- رگه سیلیسی- برشی- اکسیدی- لیمونیتی نمونه	157.....BIRG2S74
عکس ۴-۶۶- نمایی از رگه لیستونیتی در محل نمونه	158.....BIRG2S76
عکس ۴-۶۷- نمایی از رگه لیستونیتی در محل نمونه	159.....BIRG2S85
عکس ۴-۶۸- نمایی از رگه لیستونیتی در محل نمونه	160.....BIRG2S77
عکس ۴-۶۹- زون آلترا در محل نمونه	163.....BIRG2S54
عکس ۴-۷۰- زون آلترا با کانی‌های سیاه در محل نمونه	163.....BIRG2S55
عکس ۴-۷۱- کانی پیریت که در محل رخ و شکستگی ثانویه	165.....
عکس ۴-۷۲- نمایی از کانی پیریت در نمونه	165.....BIRG2S58TP
عکس ۴-۷۳- نمایی از رگه لیستونیتی در محل نمونه	166.....BIRG2S57
عکس ۴-۷۴- نمایی از رگه لیستونیتی در محل نمونه	166.....BIRG2S58
عکس ۴-۷۵- زون آلتراسیون و استوک ورکی در سنگ هارزبورژیتی. نمونه	167.....BIRG2S42
عکس ۴-۷۶- زون آلترا استوک ورکی در سنگ هارزبورژیتی. در محل نمونه	167.....BIRG2S42
عکس ۴-۷۷- نمایی از زون آلترا استوک ورکی در سنگ شیستی. در محل نمونه	168.....BIRG2S43
عکس ۴-۷۸- زون آلترا لیمونیتی در مرز سنگ شیستی و هارزبورژیتی نمونه	169.....BIRG2S43
عکس ۴-۷۹- زون آلترا لیمونیتی در مرز سنگ شیستی و هارزبورژیتی نمونه	170.....BIRG2S43
عکس ۴-۸۰- تبدیل کانی کروماتیت به هماتیت نمونه	172.....BIRG2S47TP
عکس ۴-۸۱- نمایی از کانی هماتیت در نور معمولی در نمونه	172.....BIRG2S47TP
عکس ۴-۸۲- رگه لیستونیتی در سنگ میزان هارزبورژیتی در محل نمونه	173.....BIRG2S46
عکس ۴-۸۳- رگه لیستونیتی با رگچه‌های سیلیسی در محل نمونه	173.....BIRG2S46
عکس ۴-۸۴- نمایی نزدیک از رگه لیستونیتی در محل نمونه	174.....BIRG2S48
عکس ۴-۸۵- نمایی از اکسیدهای آهن در نمونه	176.....BIRG2S68TP
عکس ۴-۸۶- کانیهای کرومیت و مگنتیت و هماتیت نمونه	176.....BIRG2S69TP
عکس ۴-۸۷- کانی مگنتیت که در حاشیه به هماتیت تبدیل شده. نمونه	177.....BIRG2S69TP
عکس ۴-۸۸- کانی کرومیت که در حاشیه و شکستگی‌ها به هماتیت تبدیل شده.	177.....
عکس ۴-۸۹- نمایی از کانی پیریت در نمونه	178.....BIRG2S69TP
عکس ۴-۹۰- نمایی از رگه لیستونیتی در محل نمونه	178.....BIRG2S68
عکس ۴-۹۱- نمایی نزدیک از رگه لیستونیتی سیلیسی در محل نمونه	179.....BIRG2S68
عکس ۴-۹۲- نمایی از زون لیستونیتی کربناته در محل نمونه	180.....BIRG2S70
عکس ۴-۹۳- نمایی از زون آلترا لیمونیتی در سنگ شیستی. نمونه	181.....BIRG2S70

- عکس ۴-۹۴- نمایی از زون آلترا لیمونیتی در سنگ شیستی. نمونه BIRG2S63 ۱۸۲
- عکس ۴-۹۵- نمایی از زون آلترا در مرز سنگ شیستی و هارزبورژیتی. نمونه BIRG2S66 ۱۸۳
- عکس ۴-۹۶- نمایی از زون آلترا در مرز سنگ شیستی و هارزبورژیتی. نمونه BIRG2S67 ۱۸۴
- عکس ۴-۹۷- نمایی از زون لیستونیتی در سنگ میزبان هارزبورژیتی. نمونه BIRG2S62 ۱۸۵
- عکس ۴-۹۸- نمایی از زون لیستونیتی در سنگ میزبان شیستی آلترا. نمونه BIRG2S65 ۱۸۶
- عکس ۴-۹۹- نمایی از رگچه هماتیتی. نمونه BIRG2S52TP ۱۸۹
- عکس ۴-۱۰۰- کانی کرومیت و هماتیت نمونه BIRG2S52TP ۱۸۹
- عکس ۴-۱۰۱- نمایی از کانی هماتیت در نمونه BIRG2S53TP ۱۹۰
- عکس ۴-۱۰۲- نمایی از کانی کرومیت در نور معمولی. نمونه BIRG2S53TP ۱۹۰
- عکس ۴-۱۰۳- لیستونیتی در مرز سنگ شیستی و هارزبورژیتی. نمونه BIRG2S51 ۱۹۱
- عکس ۴-۱۰۴- زون آلترا در سنگ شیستی. نمونه BIRG2S53 ۱۹۲
- عکس ۴-۱۰۵- کانی کرومیت که به هماتیت تبدیل شده. نمونه BIRG2S50TP ۱۹۳
- عکس ۴-۱۰۶- کانی کرومیت و پیریت در کنار یکدیگر ک نمونه (BIRG2S50TP) ۱۹۴
- عکس ۴-۱۰۷- رگه لیستونیتی همراه با سنگ میزبان هارزبورژیتی نمونه BIRG2S49 ۱۹۴
- عکس ۴-۱۰۸- از رگه لیستونیتی همراه با رگچه های کوارتزی. نمونه BIRG2S49 ۱۹۵
- عکس ۴-۱۰۹- رگه لیستونیتی همراه با سنگ میزبان هارزبورژیتی. نمونه BIRG2S142 ۱۹۶
- عکس ۴-۱۱۰- نمونه BIRG2S142 همراه با اکسیدهای آهن و لیمونیت ۱۹۶
- عکس ۴-۱۱۱- آلتراسیون لیمونیتی در شیستها. نمونه BIRG2S112 ۱۹۹
- عکس ۴-۱۱۲- حالت برشی و استوک ورکی زون آلترا در شیست ۱۹۹
- عکس ۴-۱۱۳- آلتراسیون در شیست نمونه BIRG2S111 ۲۰۰
- عکس ۴-۱۱۴- آلتراسیون شیستهای منطقه مورد مطالعه. نمونه BIRG2S115 ۲۰۱
- عکس ۴-۱۱۵- کنتاکت گسله بین شیستهای آلترا و سنگ ولکانیکی نمونه BIRG2S115 ۲۰۲
- عکس ۴-۱۱۶- محل نمونه برداری از زون آلترا. نمونه BIRG2S115 ۲۰۳
- عکس ۴-۱۱۷- نمونه BIRG2S115 که از زون آلترا لیمونیتی ۲۰۳
- عکس ۴-۱۱۸- محل نمونه برداری از زون آلترا. نمونه BIRG2S113 و BIRG2S114 ۲۰۵
- عکس ۴-۱۱۹- نمونه BIRG2S113 که از آپوفیز میکروگابرویی ۲۰۶
- عکس ۴-۱۲۰- نمونه BIRG2S114 که از زون آلترا شیستی و برشی ۲۰۷
- عکس ۴-۱۲۱- رگه لیستونیتی در سنگ میزبان هارزبورژیتی. نمونه BIRG2S116 ۲۰۸
- عکس ۴-۱۲۲- رگه لیستونیتی در سنگ میزبان هارزبورژیتی ۲۰۸
- عکس ۴-۱۲۳- سنگ میکروگابرویی در منطقه مورد مطالعه. نمونه BIRG2S118 ۲۰۹
- عکس ۴-۱۲۴- سنگ میکروگابرویی در محل نمونه BIRG2S118 ۲۰۹
- عکس ۴-۱۲۵- رگه لیستونیتی با سنگ میزبان افیولیت ملاتز. نمونه BIRG2S119 ۲۱۰
- عکس ۴-۱۲۶- تکه های رگه لیستونیتی لیمونیتی شده در محل نمونه BIRG2S119 ۲۱۱
- عکس ۴-۱۲۷- رگه لیستونیتی با سنگ میزبان افیولیت ملاتز. نمونه BIRG2S117 ۲۱۲
- عکس ۴-۱۲۸- تکه های رگه لیستونیتی در محل نمونه BIRG2S117 ۲۱۲
- عکس ۴-۱۲۹- رگه آزبستی با سنگ میزبان اولترامافیکی. نمونه BIRG2S80 ۲۱۵

۲۱۷	عکس ۴-۱۳۰- نمایی از کانی کرومیت در نمونه BIRG2S79TP
۲۱۷	عکس ۴-۱۳۱- نمایی از کانی هماتیت در نمونه BIRG2S79TP
۲۱۸	عکس ۴-۱۳۲- رگه لیستونیتی با سنگ میزبان اولترامافیکی. نمونه BIRG2S79
۲۱۸	عکس ۴-۱۳۳- رگه لیستونیتی با سنگ میزبان هارزبورژیتی. نمونه BIRG2S79
۲۱۹	عکس ۴-۱۳۴- رگه لیستونیتی با سنگ میزبان هارزبورژیتی. نمونه BIRG2S79
۲۲۱	عکس ۴-۱۳۵- کانی پیریت در نمونه BIRG2S83TP
۲۲۱	عکس ۴-۱۳۶- کانی کرومیت و اکسید آهن نمونه BIRG2S83TP
۲۲۲	عکس ۴-۱۳۷- رگه لیستونیتی با سنگ میزبان هارزبورژیتی. نمونه BIRG2S82
۲۲۳	عکس ۴-۱۳۸- رگه‌های لیستونیتی با سنگ میزبان کالک شیستی. نمونه BIRG2S84
۲۲۳	عکس ۴-۱۳۹- رگه لیستونیتی با سنگ میزبان کالک شیستی. نمونه BIRG2S84
۲۲۶	عکس ۴-۱۴۰- رگه مرمریتی با سنگ میزبان شیستی اپیدوتی شده. نمونه BIRG2S78
۲۲۶	عکس ۴-۱۴۱- سنگ میزبان شیستی اپیدوتی شده
۲۲۷	عکس ۴-۱۴۲- رگه لیستونیتی در مرز شیست و گابرو. نمونه BIRG2S155
۲۲۸	عکس ۴-۱۴۳- نمونه BIRG2S155 برداشت شده از رگه لیستونیتی
۲۲۸	عکس ۴-۱۴۴- رگه لیستونیتی در مرز شیست و گابرو. نمونه BIRG2S153
۲۲۹	عکس ۴-۱۴۵- نمونه BIRG2S153 برداشت شده از رگه لیستونیتی
۲۳۰	عکس ۴-۱۴۶- رگه لیستونیتی در مرز شیست و گابرو
۲۳۰	عکس ۴-۱۴۷- آلتراسیون آرژیلی با سنگ میزبان شیستی
۲۳۱	عکس ۴-۱۴۸- کانی سازی فوکسیتی سبز رنگ در رگه لیسونیتی نمونه BIRG2S129
۲۳۲	عکس ۴-۱۴۹- رگه لیستونیتی در سنگ میزبان شیستی
۲۳۲	عکس ۴-۱۵۰- رگه لیستونیتی سیلیسی نمونه BIRG2S110 همراه با اکسید آهن
۲۳۳	عکس ۴-۱۵۱- زون لیستونیتی لیمونیتی در سنگ هارزبورژیتی. نمونه BIRG2S128
۲۳۳	عکس ۴-۱۵۲- نمونه برداری از رگه لیسونیتی دارای کانی‌های فوکسیتی. نمونه BIRG2S128
۲۳۶	عکس ۴-۱۵۳- رگه لیستونیتی در مرز شیست و اولترامافیک. نمونه BIRG2S155
۲۳۶	عکس ۴-۱۵۴- نمونه BIRG2S155 برداشت شده از رگه لیستونیتی
۲۳۷	عکس ۴-۱۵۵- رگه لیستونیتی ثانویه با سنگ میزبان دونیتی. نمونه BIRG2S109
۲۳۸	عکس ۴-۱۵۶- یک سنگ رودنگیتی با میزبان هارزبورژیتی دارای تالک. نمونه BIRG2S122
۲۳۸	عکس ۴-۱۵۷- از نمونه BIRG2S122 حاوی تالک
۲۳۹	عکس ۴-۱۵۸- آنی سازی مس در سنگ میزبان هارزبورژیت نمونه BIRG2S120
۲۳۹	عکس ۴-۱۵۹- کانی سازی مس در سنگ میزبان هارزبورژیتی. نمونه BIRG2S120
۲۴۰	عکس ۴-۱۶۰- نمونه BIRG2S120. کانی‌های ملاکیت و آزوریت
۲۴۲	عکس ۴-۱۶۱- رگه لیستونیتی در سنگ میزبان هارزبورژیت نمونه BIRG2S154
۲۴۳	عکس ۴-۱۶۲- ن محل نمونه برداری. نمونه BIRG2S154
۲۴۴	عکس ۴-۱۶۳- کانی پیریت توسط اکسید آهن جانشین شده است. نمونه BIRG2S87TP
۲۴۵	عکس ۴-۱۶۴- نمایی از رگچه هماتیتی در نمونه BIRG2S87TP
۲۴۵	عکس ۴-۱۶۵- نمایی از کانی‌های هماتیتی به صورت دانه پراکنده نمونه BIRG2S87TP

عکس ۴-۱۶۶	نمایی از رگه لیستونتی در سنگ میزبان شیستی نمونه BIRG2S86	۲۴۶
عکس ۴-۱۶۷	نمایی از پچ لیستونتی در محل نمونه BIRG2S86	۲۴۶
عکس ۴-۱۶۸	نمونه دستی لیستونتی	۲۴۷
عکس ۴-۱۶۹	نمایی از رگچه‌های موازی کلستی در سنگ لیستونتی کربناته	۲۴۷
عکس ۴-۱۷۰	نمایی از رگه لیستونتی در سنگ میزبان گلاوکوفان شیستی نمونه BIRG2S143	۲۴۸
عکس ۴-۱۷۱	نمایی از رگه‌های لیستونتی در تصویر ماهواره‌ای	۲۴۹
عکس ۴-۱۷۲	نمایی از رگه لیستونتی در سنگ میزبان گلاوکوفان شیست نمونه BIRG2S144	۲۵۰
عکس ۴-۱۷۳	نمایی تزدیک از نمونه BIRG2S144	۲۵۰
عکس ۴-۱۷۴	نمایی از پچ لیستونتی در سنگ میزبان دونیتی نمونه BIRG2S145	۲۵۳
عکس ۴-۱۷۵	پچ لیستونتی کربناته-دولومیتی در سنگ هارزبورژیتی نمونه BIRG2S151	۲۵۴
عکس ۴-۱۷۶	نمایی از رگه منیزیتی در سنگ میزبان هارزبورژیتی نمونه BIRG2S147	۲۵۷
عکس ۴-۱۷۷	نمایی از رگچه‌های منیزیتی در سنگ میزبان هارزبورژیتی	۲۵۸
عکس ۴-۱۷۸	نمایی از زون آلتره لیمونیتی-آرژیلی نمونه BIRG2S146	۲۵۹
عکس ۴-۱۷۹	نمایی از زون آلتره و ترانشه حفر شده در آن. نمونه BIRG2S150	۲۶۰
عکس ۴-۱۸۰	نمایی از رگه لیستونتی با سنگ میزبان اولترامافیکی نمونه BIRG2S149	۲۶۱
عکس ۴-۱۸۱	نمایی تزدیک از محل نمونه BIRG2S149	۲۶۱
عکس ۴-۱۸۲	توده دولومیتی-آهکی روستای چنشت نمونه BIRG2S138	۲۶۳
عکس ۴-۱۸۳	نمایی تزدیک از محل نمونه BIRG2S138	۲۶۴
عکس ۴-۱۸۴	رگه لیستونتی در سنگ میزبان شیستی نمونه BIRG2S136	۲۶۵
عکس ۴-۱۸۵	نمونه BIRG2S136 حاوی کانی‌های فوکسیت، سیلیس، لیمونیت	۲۶۵
عکس ۴-۱۸۶	واحد مارنی در مجاورت واحد شیستی و زون گسلی نمونه BIRG2S136	۲۶۶
عکس ۴-۱۸۷	نمونه BIRG2S135 از زون گسلی آلتنه در داخل مارنها	۲۶۷
عکس ۴-۱۸۸	رگه لیستونتی با سنگ میزبان شیستی. نمونه BIRG2S134	۲۶۸
عکس ۴-۱۸۹	رگه‌های کربناتی در سنگ لیستونتی	۲۶۸
عکس ۴-۱۹۰	نمونه BIRG2S134 از رگه لیستونتی	۲۶۹
عکس ۴-۱۹۱	رگه لیستونتی با سنگ میزبان شیستی. نمونه BIRG2S132	۲۷۰
عکس ۴-۱۹۲	رگه آلتنه آرژیلیکی با سنگ میزبان توفی و ولکانیکی. نمونه BIRG2S127	۲۷۱
عکس ۴-۱۹۳	نمونه BIRG2S127 از زون آرژیلیکی	۲۷۲
عکس ۴-۱۹۴	رگه لیستونتی با سنگ میزبان هارزبورژیتی. نمونه BIRG2S125	۲۷۳
عکس ۴-۱۹۵	نمونه BIRG2S125 از یک رگه لیستونتی	۲۷۳
عکس ۴-۱۹۶	رگه لیستونتی با سنگ میزبان شیستی. نمونه BIRG2S133	۲۷۶
عکس ۴-۱۹۷	نمونه BIRG2S133 از یک رگه لیستونتی	۲۷۶
عکس ۴-۱۹۸	کانی ایلمنیت در نمونه BIRG2S301TP	۲۷۷
عکس ۴-۱۹۹	کانی هماتیت در نمونه BIRG2S301TP	۲۷۸
عکس ۴-۲۰۰	بافت کانی هماتیت در نمونه BIRG2S301TP	۲۷۸
عکس ۴-۲۰۱	کانی سازی هماتیتی در سنگ میزبان آندزیتی بازالتی. نمونه BIRG2S300	۲۷۹

- عکس ۴-۲۰۲- نمونه BIRG2S301TP به منظور مطالعات میثرا لوگرافی.....
 عکس ۴-۲۰۳- نمایی تزدیک از نمونه BIRG2S303TP
- عکس ۴-۲۰۴- لایه کانی سازی هماتیتی در سنگ میزبان آندزیتی بازالتی. نمونه BIRG2S302
- عکس ۴-۲۰۵- پچ لیستونیتی در سنگ میزبان هارزبورژیت. نمونه BIRG2S139
- عکس ۴-۲۰۶- نمونه BIRG2S139 که از یک پچ لیستونیتی برداشت گردید.
- عکس ۴-۲۰۷- رگه لیستونیتی در سنگ میزبان هارزبورژیت نمونه BIRG2S140
- عکس ۴-۲۰۸- نمونه BIRG2S140 در محل نمونه برداری
- عکس ۴-۲۰۹- رگه لیستونیتی در سنگ میزبان شیستی. نمونه BIRG2S152
- عکس ۴-۲۱۰- رگه لیستونیتی در سنگ میزبان شیستی. نمونه BIRG2S152
- عکس ۴-۲۱۱- رگه لیستونیتی در محل نمونه BIRG2S152
- عکس ۴-۲۱۲- لیستونیتی در سنگ میزبان شیستی. نمونه BIRG2S141
- عکس ۴-۲۱۳- رگه لیستونیتی لیمونیتی در محل نمونه BIRG2S141
- عکس ۴-۲۱۴- رگه لیستونیتی در سنگ میزبان شیستی. نمونه BIRG2S318
- عکس ۴-۲۱۵- رگه لیستونیتی لیمونیتی در محل نمونه BIRG2S318
- عکس ۴-۲۱۶- رگه لیستونیتی در سنگ میزبان ولکانیکی. نمونه BIRG2S314
- عکس ۴-۲۱۷- رگه لیستونیتی لیمونیتی در محل نمونه BIRG2S314
- عکس ۴-۲۱۸- زون ژاسپیرویدی با رگههای لیستونیتی کربناتی در محل زون گسله.....
 عکس ۴-۲۱۹- نمایی تزدیک از زون ژاسپیرویدی سیلیسی زرد زنگ.....
 عکس ۴-۲۲۰- زون ژاسپیرویدی در محل نمونه BIRG2S315
- عکس ۴-۲۲۱- زون ژاسپیرویدی با رگه لیستونیتی کربناتی نمونه BIRG2S316
- عکس ۴-۲۲۲- زون لیستونیتی کربناتی در محل نمونه BIRG2S316
- عکس ۴-۲۲۳- زون ژاسپیرویدی با رگه لیستونیتی کربناتی نمونه BIRG2S317
- عکس ۴-۲۲۴- زون لیستونیتی کربناتی در محل نمونه BIRG2S317
- عکس ۴-۲۲۵- رگه لیسونیتی سیلیسی نمونه BIRG2S311
- عکس ۴-۲۲۶- رگه لیستونیتی کربناتی در محل نمونه BIRG2S311
- عکس ۴-۲۲۷- رگه سیلیسی گوتیتی-لیمونیتی در محل نمونه BIRG2S313
- عکس ۴-۲۲۸- گدازه آندزیتی گوتیتی-لیمونیتی در محل نمونه BIRG2S312
- عکس ۴-۲۲۹- پچ لیسونیتی نیکل-کبالت دار در سنگ میزبان هارزبورژیتی.....
 عکس ۴-۲۳۰- پچ لیسونیتی نیکل-کبالت دار در سنگ میزبان هارزبورژیتی.....
 عکس ۴-۲۳۱- پچ لیسونیتی نیکل-کبالت دار در سنگ میزبان هارزبورژیتی.....
 عکس ۴-۲۳۲- پچ لیسونیتی-سیلیسی نیکل-کبالت دار.....
 عکس ۴-۲۳۳- زون اکسیدی لیمونیتی در سنگ میزبان شیستی نمونه BIRG2S306
- عکس ۴-۲۳۴- رگه لیستونیتی سیلیسی در سنگ میزبان هارزبورژیتی نمونه BIRG2S307
- عکس ۴-۲۳۵- رگه لیستونیتی کربناتی در سنگ میزبان هارزبورژیتی نمونه BIRG2S308

فهرست جداول

عنوان.....صفحه

جدول ۴ -۱ - اطلاعات کلی پروفیل های پیمایش شده.....	۸۱
جدول ۴ -۲ - اطلاعات کلی نمونه های مرحله اول و نوع آنالیز انجام شده.....	۸۴
جدول ۴ -۳ - اطلاعات کلی نمونه های مرحله دوم و نوع آنالیز انجام شده.....	۸۶
جدول ۴ -۴ - اطلاعات کلی نمونه های مرحله سوم و نوع آنالیز انجام شده.....	۸۸
جدول ۴ -۵ - آنالیز عنصری به روش ICP در نمونه BIRG2S24.....	۹۰
جدول ۴ -۶ - آنالیز عنصری به روش ICP در نمونه BIRG2S23.....	۹۱
جدول ۴ -۷ - آنالیز عنصری به روش ICP در نمونه BIRG2S27.....	۹۳
جدول ۴ -۸ - آنالیز عنصری به روش ICP در نمونه BIRG2S28.....	۹۴
جدول ۴ -۹ - آنالیز عنصری به روش ICP در نمونه BIRG2S29.....	۹۵
جدول ۴ -۱۰ - آنالیز عنصری به روش ICP در نمونه BIRG2S30.....	۹۶
جدول ۴ -۱۱ - آنالیز عنصری به روش ICP در نمونه BIRG2S31.....	۹۷
جدول ۴ -۱۲ - آنالیز عنصری به روش ICP در نمونه BIRG2S32.....	۹۹
جدول ۴ -۱۳ - آنالیز عنصری به روش ICP در نمونه BIRG2S33.....	۱۰۱
جدول ۴ -۱۴ - آنالیز عنصری به روش ICP در نمونه BIRG2S34.....	۱۰۲
جدول ۴ -۱۵ - آنالیز عنصری به روش ICP در نمونه BIRG2S20.....	۱۰۴
جدول ۴ -۱۶ - آنالیز عنصری به روش ICP در نمونه BIRG2S20.....	۱۰۶
جدول ۴ -۱۷ - آنالیز عنصری به روش ICP در نمونه BIRG2S17.....	۱۰۷
جدول ۴ -۱۸ - آنالیز عنصری به روش ICP در نمونه BIRG2S101.....	۱۱۱
جدول ۴ -۱۹ - آنالیز عنصری به روش ICP در نمونه BIRG2S102.....	۱۱۲
جدول ۴ -۲۰ - آنالیز عنصری به روش ICP در نمونه BIRG2S103.....	۱۱۲
جدول ۴ -۲۱ - آنالیز عنصری به روش ICP در نمونه BIRG2S16.....	۱۱۳
جدول ۴ -۲۲ - آنالیز عنصری به روش ICP در نمونه BIRG2S10.....	۱۱۴
جدول ۴ -۲۳ - آنالیز عنصری به روش ICP در نمونه BIRG2S104.....	۱۱۵
جدول ۴ -۲۴ - آنالیز عنصری به روش ICP در نمونه BIRG2S105.....	۱۱۶
جدول ۴ -۲۵ - آنالیز عنصری به روش ICP در نمونه BIRG2S15.....	۱۱۷
جدول ۴ -۲۶ - آنالیز عنصری به روش ICP در نمونه BIRG2S35.....	۱۱۹
جدول ۴ -۲۷ - آنالیز عنصری به روش ICP در نمونه BIRG2S36.....	۱۲۰
جدول ۴ -۲۸ - آنالیز عنصری به روش ICP در نمونه BIRG2S26.....	۱۲۲
جدول ۴ -۲۹ - آنالیز عنصری به روش ICP در نمونه BIRG2S25.....	۱۲۳
جدول ۴ -۳۰ - آنالیز عنصری به روش ICP در نمونه BIRG2S1.....	۱۲۵
جدول ۴ -۳۱ - آنالیز عنصری به روش ICP در نمونه BIRG2S45.....	۱۲۶
جدول ۴ -۳۲ - آنالیز عنصری به روش ICP در نمونه BIRG2S14.....	۱۲۷
جدول ۴ -۳۳ - آنالیز عنصری به روش ICP در نمونه BIRG2S13.....	۱۲۸
جدول ۴ -۳۴ - آنالیز عنصری به روش ICP در نمونه BIRG2S6.....	۱۳۰

۱۳۱	جدول ۴ -۳۵ - آنالیز عنصری به روش ICP در نمونه BIRG2S5
۱۳۲	جدول ۴ -۳۶ - آنالیز عنصری به روش ICP در نمونه BIRG2S5
۱۳۶	جدول ۴ -۳۷ - آنالیز عنصری به روش ICP در نمونه BIRG2S2
۱۳۸	جدول ۴ -۳۸ - آنالیز عنصری به روش ICP در نمونه BIRG2S40
۱۴۰	جدول ۴ -۳۹ - آنالیز عنصری به روش ICP در نمونه BIRG2S39
۱۴۱	جدول ۴ -۴۰ - آنالیز عنصری به روش ICP در نمونه BIRG2S41
۱۴۲	جدول ۴ -۴۱ - آنالیز عنصری به روش ICP در نمونه BIRG2S71
۱۴۵	جدول ۴ -۴۲ - آنالیز عنصری به روش ICP در نمونه BIRG2S11
۱۴۸	جدول ۴ -۴۳ - آنالیز عنصری به روش ICP در نمونه BIRG2S9
۱۴۹	جدول ۴ -۴۴ - آنالیز عنصری به روش ICP در نمونه BIRG2S7
۱۴۹	جدول ۴ -۴۵ - آنالیز عنصری به روش ICP در نمونه BIRG2S8
۱۵۰	جدول ۴ -۴۶ - آنالیز عنصری به روش ICP در نمونه BIRG2S37
۱۵۱	جدول ۴ -۴۷ - آنالیز عنصری به روش ICP در نمونه BIRG2S38
۱۵۴	جدول ۴ -۴۸ - آنالیز عنصری به روش ICP در نمونه BIRG2S60
۱۵۴	جدول ۴ -۴۹ - آنالیز عنصری به روش ICP در نمونه BIRG2S72
۱۵۷	جدول ۴ -۵۰ - آنالیز عنصری به روش ICP در نمونه BIRG2S73
۱۵۸	جدول ۴ -۵۱ - آنالیز عنصری به روش ICP در نمونه BIRG2S74
۱۵۸	جدول ۴ -۵۲ - آنالیز عنصری به روش ICP در نمونه BIRG2S76
۱۵۹	جدول ۴ -۵۳ - آنالیز عنصری به روش ICP در نمونه BIRG2S85
۱۵۹	جدول ۴ -۵۴ - آنالیز عنصری به روش ICP در نمونه BIRG2S85
۱۶۲	جدول ۴ -۵۵ - آنالیز عنصری به روش ICP در نمونه BIRG2S54
۱۶۲	جدول ۴ -۵۶ - آنالیز عنصری به روش ICP در نمونه BIRG2S55
۱۶۴	جدول ۴ -۵۷ - آنالیز عنصری به روش ICP در نمونه BIRG2S57
۱۶۴	جدول ۴ -۵۸ - آنالیز عنصری به روش ICP در نمونه BIRG2S58
۱۶۷	جدول ۴ -۵۹ - آنالیز عنصری به روش ICP در نمونه BIRG2S42
۱۶۹	جدول ۴ -۶۰ - آنالیز عنصری به روش ICP در نمونه BIRG2S43
۱۷۰	جدول ۴ -۶۱ - آنالیز عنصری به روش ICP در نمونه BIRG2S44
۱۷۱	جدول ۴ -۶۲ - آنالیز عنصری به روش ICP در نمونه BIRG2S46
۱۷۴	جدول ۴ -۶۳ - آنالیز عنصری به روش ICP در نمونه BIRG2S48
۱۸۰	جدول ۴ -۶۴ - آنالیز عنصری به روش ICP در نمونه BIRG2S68
۱۸۰	جدول ۴ -۶۵ - آنالیز عنصری به روش ICP در نمونه BIRG2S68
۱۸۱	جدول ۴ -۶۶ - آنالیز عنصری به روش ICP در نمونه BIRG2S61
۱۸۲	جدول ۴ -۶۷ - آنالیز عنصری به روش ICP در نمونه BIRG2S63
۱۸۳	جدول ۴ -۶۸ - آنالیز عنصری به روش ICP در نمونه BIRG2S66
۱۸۴	جدول ۴ -۶۹ - آنالیز عنصری به روش ICP در نمونه BIRG2S67
۱۸۵	جدول ۴ -۷۰ - آنالیز عنصری به روش ICP در نمونه BIRG2S62

۱۸۶	جدول -۴ -۷۱ -آنالیز عنصری به روش ICP در نمونه BIRG2S65
۱۸۸	جدول -۴ -۷۲ -آنالیز عنصری به روش ICP در نمونه BIRG2S51
۱۹۱	جدول -۴ -۷۳ -آنالیز عنصری به روش ICP در نمونه BIRG2S53
۱۹۵	جدول -۴ -۷۴ -آنالیز عنصری به روش ICP در نمونه BIRG2S49
۱۹۵	جدول -۴ -۷۵ -آنالیز عنصری به روش ICP در نمونه BIRG2S142
۱۹۸	جدول -۴ -۷۶ -آنالیز عنصری به روش ICP در نمونه BIRG2S112
۲۰۰	جدول -۴ -۷۷ -آنالیز عنصری به روش ICP در نمونه BIRG2S111
۲۰۱	جدول -۴ -۷۸ -آنالیز عنصری به روش ICP در نمونه BIRG2S115
۲۰۲	جدول -۴ -۷۹ -آنالیز عنصری به روش ICP در نمونه BIRG2S123
۲۰۶	جدول -۴ -۸۰ -آنالیز عنصری به روش ICP در نمونه BIRG2S113
۲۰۶	جدول -۴ -۸۱ -آنالیز عنصری به روش ICP در نمونه BIRG2S114
۲۰۷	جدول -۴ -۸۲ -آنالیز عنصری به روش ICP در نمونه BIRG2S116
۲۰۹	جدول -۴ -۸۳ -آنالیز عنصری به روش ICP در نمونه BIRG2S118
۲۱۰	جدول -۴ -۸۴ -آنالیز عنصری به روش ICP در نمونه BIRG2S119
۲۱۱	جدول -۴ -۸۵ -آنالیز عنصری به روش ICP در نمونه BIRG2S117
۲۱۴	جدول -۴ -۸۶ -آنالیز عنصری به روش ICP در نمونه BIRG2S80
۲۱۶	جدول -۴ -۸۷ -آنالیز عنصری به روش ICP در نمونه BIRG2S79
۲۱۹	جدول -۴ -۸۸ -آنالیز عنصری به روش ICP در نمونه BIRG2S81
۲۲۰	جدول -۴ -۸۹ -آنالیز عنصری به روش ICP در نمونه BIRG2S82
۲۲۲	جدول -۴ -۹۰ -آنالیز عنصری به روش ICP در نمونه BIRG2S84
۲۲۵	جدول -۴ -۹۱ -آنالیز عنصری به روش ICP در نمونه BIRG2S78
۲۲۷	جدول -۴ -۹۲ -آنالیز عنصری به روش ICP در نمونه BIRG2S155
۲۲۸	جدول -۴ -۹۳ -آنالیز عنصری به روش ICP در نمونه BIRG2S153
۲۲۹	جدول -۴ -۹۴ -آنالیز عنصری به روش ICP در نمونه BIRG2S129
۲۲۹	جدول -۴ -۹۵ -آنالیز عنصری به روش ICP در نمونه BIRG2S130
۲۳۱	جدول -۴ -۹۶ -آنالیز عنصری به روش ICP در نمونه BIRG2S110
۲۳۳	جدول -۴ -۹۷ -آنالیز عنصری به روش ICP در نمونه BIRG2S128
۲۳۵	جدول -۴ -۹۸ -آنالیز عنصری به روش ICP در نمونه BIRG2S155
۲۳۷	جدول -۴ -۹۹ -آنالیز عنصری به روش ICP در نمونه BIRG2S109
۲۳۷	جدول -۴ -۱۰۰ -آنالیز عنصری به روش ICP در نمونه BIRG2S122
۲۳۹	جدول -۴ -۱۰۱ -آنالیز عنصری به روش ICP در نمونه BIRG2S120
۲۴۲	جدول -۴ -۱۰۲ -آنالیز عنصری به روش ICP در نمونه BIRG2S154
۲۴۳	جدول -۴ -۱۰۳ -آنالیز عنصری به روش ICP در نمونه BIRG2S86
۲۴۸	جدول -۴ -۱۰۴ -آنالیز عنصری به روش ICP در نمونه BIRG2S143
۲۴۹	جدول -۴ -۱۰۵ -آنالیز عنصری به روش ICP در نمونه BIRG2S144
۲۵۲	جدول -۴ -۱۰۶ -آنالیز عنصری به روش ICP در نمونه BIRG2S145

جدول -۴ -۱۰۷	- آنالیز عنصری به روش ICP در نمونه BIRG2S151	۲۵۳
جدول -۴ -۱۰۸	- آنالیز عنصری به روش ICP در نمونه BIRG2S147	۲۵۶
جدول -۴ -۱۰۹	- آنالیز عنصری به روش ICP در نمونه BIRG2S146	۲۵۸
جدول -۴ -۱۱۰	- آنالیز عنصری به روش ICP در نمونه BIRG2S150	۲۵۹
جدول -۴ -۱۱۱	- آنالیز عنصری به روش ICP در نمونه BIRG2S150	۲۶۰
جدول -۴ -۱۱۲	- آنالیز عنصری به روش ICP در نمونه BIRG2S138	۲۶۳
جدول -۴ -۱۱۳	- آنالیز عنصری به روش ICP در نمونه BIRG2S136	۲۶۴
جدول -۴ -۱۱۴	- آنالیز عنصری به روش ICP در نمونه BIRG2S135	۲۶۶
جدول -۴ -۱۱۵	- آنالیز عنصری به روش ICP در نمونه BIRG2S134	۲۶۷
جدول -۴ -۱۱۶	- آنالیز عنصری به روش ICP در نمونه BIRG2S132	۲۶۹
جدول -۴ -۱۱۷	- آنالیز عنصری به روش ICP در نمونه BIRG2S127	۲۷۰
جدول -۴ -۱۱۸	- آنالیز عنصری به روش ICP در نمونه BIRG2S125	۲۷۲
جدول -۴ -۱۱۹	- آنالیز عنصری به روش ICP در نمونه BIRG2S133	۲۷۵
جدول -۴ -۱۲۰	- آنالیز عنصری به روش ICP در نمونه BIRG2S300	۲۷۹
جدول -۴ -۱۲۱	- آنالیز عنصری به روش ICP در نمونه BIRG2S302	۲۸۱
جدول -۴ -۱۲۲	- آنالیز عنصری به روش ICP در نمونه BIRG2S139	۲۸۳
جدول -۴ -۱۲۳	- آنالیز عنصری به روش ICP در نمونه BIRG2S140	۲۸۴
جدول -۴ -۱۲۴	- آنالیز عنصری به روش ICP در نمونه BIRG2S152	۲۸۷
جدول -۴ -۱۲۵	- آنالیز عنصری به روش ICP در نمونه BIRG2S141	۲۸۸
جدول -۴ -۱۲۶	- آنالیز عنصری به روش ICP در نمونه BIRG2S318	۲۹۱
جدول -۴ -۱۲۷	- آنالیز عنصری به روش ICP در نمونه BIRG2S314	۲۹۴
جدول -۴ -۱۲۸	- آنالیز عنصری به روش ICP در نمونه BIRG2S315	۲۹۶
جدول -۴ -۱۲۹	- آنالیز عنصری به روش ICP در نمونه BIRG2S316	۲۹۸
جدول -۴ -۱۳۰	- آنالیز عنصری به روش ICP در نمونه BIRG2S317	۲۹۹
جدول -۴ -۱۳۱	- آنالیز عنصری به روش ICP در نمونه BIRG2S311	۳۰۳
جدول -۴ -۱۳۲	- آنالیز عنصری به روش ICP در نمونه BIRG2S313	۳۰۵
جدول -۴ -۱۳۳	- آنالیز عنصری به روش ICP در نمونه BIRG2S312	۳۰۶
جدول -۴ -۱۳۴	- آنالیز عنصری به روش ICP در نمونه BIRG2S305	۳۰۸
جدول -۴ -۱۳۵	- آنالیز عنصری به روش ICP در نمونه BIRG2S304	۳۰۹
جدول -۴ -۱۳۶	- آنالیز عنصری به روش ICP در نمونه BIRG2S306	۳۱۳
جدول -۴ -۱۳۷	- آنالیز عنصری به روش ICP در نمونه BIRG2S307	۳۱۴
جدول -۴ -۱۳۸	- آنالیز عنصری به روش ICP در نمونه BIRG2S308	۳۱۵
جدول -۵ -۱	- حد حساسیت و عناصر آنالیز شده در آزمایشگاه زرآزمایشگاه	۳۱۸
جدول -۵ -۲	- حد حساسیت و عناصر آنالیز شده در آزمایشگاه سازمان	۳۱۸
جدول -۵ -۳	- حدود ژینزبرگ برای عناصر پتانسیلدار این برگه	۳۱۸
جدول -۵ -۴	- نمونههای مس بالاتر از ۷۰۰ میلی گرم بر تن	۳۱۹

۳۱۹	جدول ۵-۵- نمونه‌های طلا بالاتر از ۵ میلی گرم بر تن.
۳۱۹	جدول ۵-۶- نمونه‌های نیکل بالاتر از ۵ میلی گرم بر تن.
۳۲۰	جدول ۵-۷- نمونه‌های کبالت بالاتر از ۵ میلی گرم بر تن
۳۲۰	جدول ۵-۸- نمونه‌های آهن بالاتر از ۱۰ درصد.
۳۲۰	جدول ۵-۹- نمونه‌های کبالت بالاتر از ۵ میلی گرم بر تن
۳۳۱	جدول ۵-۱۰- میانگین عناصر مختلف مربوط به مرحله سوم آنالیز شیمیایی.
۳۳۱	جدول ۵-۱۱- میانگین عناصر مختلف مربوط به مرحله اول و دوم آنالیز شیمیایی (زرآزمایی).
۳۳۳	جدول ۵-۱۲- تیپ و ژنز برخی از مهمترین کانهزاویه‌های برگه ۱:۵۰۰۰۰ کاهی (بیرجند ۲)
۳۳۴	جدول ۵-۱۳- نوع و نام پتانسیل‌های فلزی و غیرفلزی در برگه ۱:۵۰۰۰۰ کاهی (بیرجند ۲)
۳۳۵	جدول ۵-۱۴- موقعیت اندیس‌های معدنی نسبت به زیرساخت‌های منطقه
۳۳۹	جدول ۵-۱۵- ژئومتری زون‌های کانی‌زایی
۳۴۰	جدول ۵-۱۶- ژئومتری زون‌های دگرسانی

فصل اول: کلمات

سازمان زمین شناسی و
معدنی کشور

فصل اول: کلیات

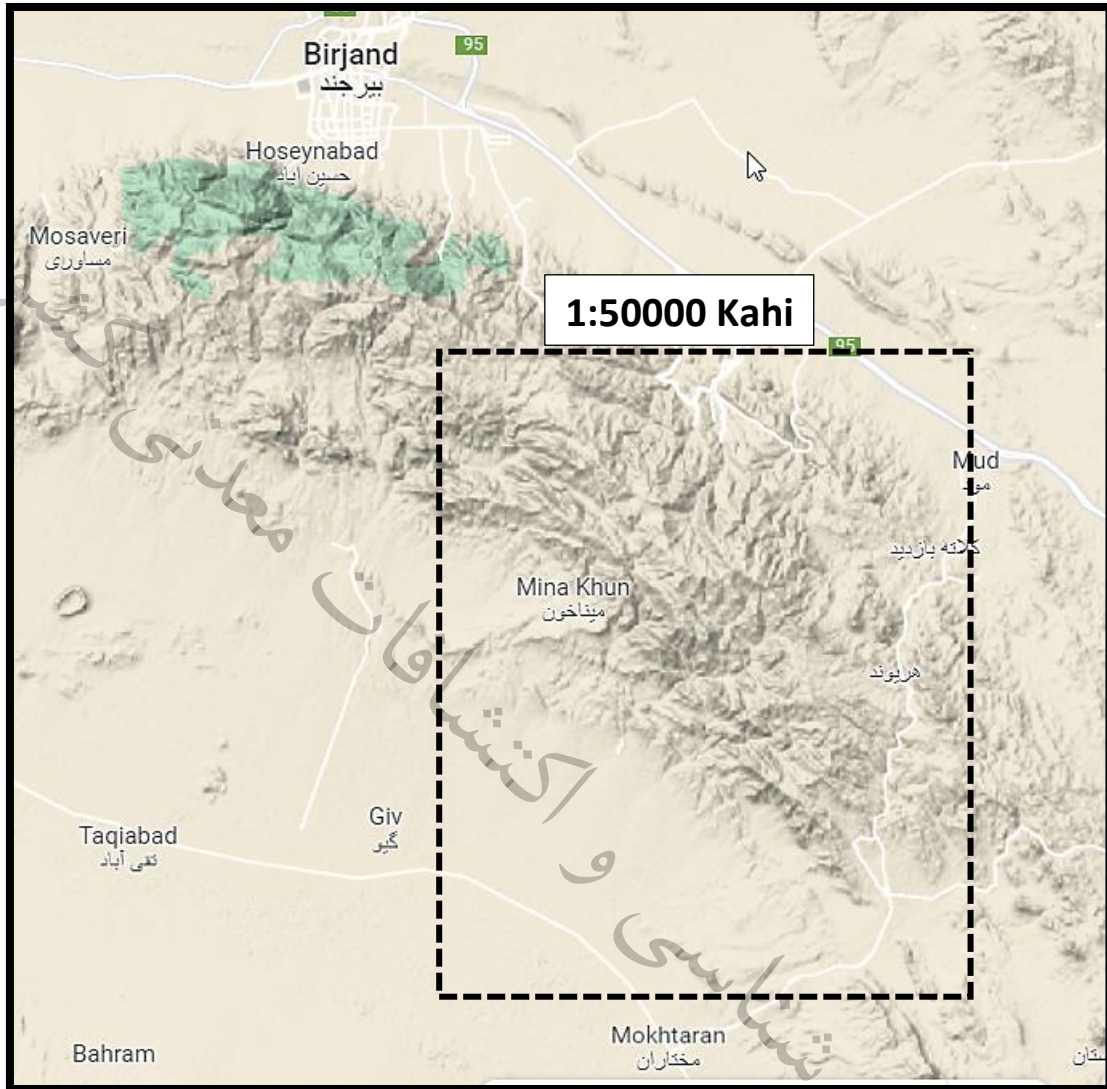
۱-۱- مقدمه:

در مهر ماه سال ۱۴۰۰ شمسی سازمان زمین شناسی کشور در راستای اجرای پروژه تحول در بخش زمین‌شناسی و اکتشاف ذخایر معدنی استان خراسان جنوبی، کار تهیه نقشه‌های زمین شناسی در سه لایه زمین شناسی، ژئوشیمیایی و زمین شناسی اقتصادی را در مقیاس یک‌پنجاه هزارم آغاز کرد که کار تهیه گزارش و لایه‌های زمین شناسی اقتصادی برگه ۱:۵۰۰۰۰ ۱:۵۰۰۰ کاهی جزو این پروژه‌ها می‌باشد. اطلاعات پایه برای تهیه این گزارش و لایه‌های اطلاعاتی آن شامل نقشه‌های زمین‌شناسی با مقیاس (۱:۲۵۰۰۰)، (۱:۱۰۰۰۰) و (۱:۵۰۰۰۰)، نقشه توپوگرافی ۱:۵۰۰۰۰، تصاویر ماهواره‌ای ETM و Aster و همچنین آنومالی‌های ژئوفیزیکی هواپی بوده است. برگه ۱:۵۰۰۰۰ کاهی به شماره II 7855 است در جنوب خاوری نقشه زمین‌شناسی صد هزارم بیرجند و در بخش میانی نقشه زمین‌شناسی دویست و پنجاه هزارم بیرجند قرار دارد.

از مهمترین اهداف این گزارش، تهیه لایه‌های زمین شناسی اقتصادی، شامل پیمایش دقیق منطقه جهت تهیه لایه‌های پتانسیل‌های فلزی و غیر فلزی در محدوده اکتشافی، تهیه نقشه‌های پراکندگی عنصری بر اساس حدود ژینزبرگ و همچنین پراکندگی عناصر فلزی در پروفیل‌های اکتشافی بوده است.

۱-۲- موقعیت جغرافیایی و راه‌های دسترسی:

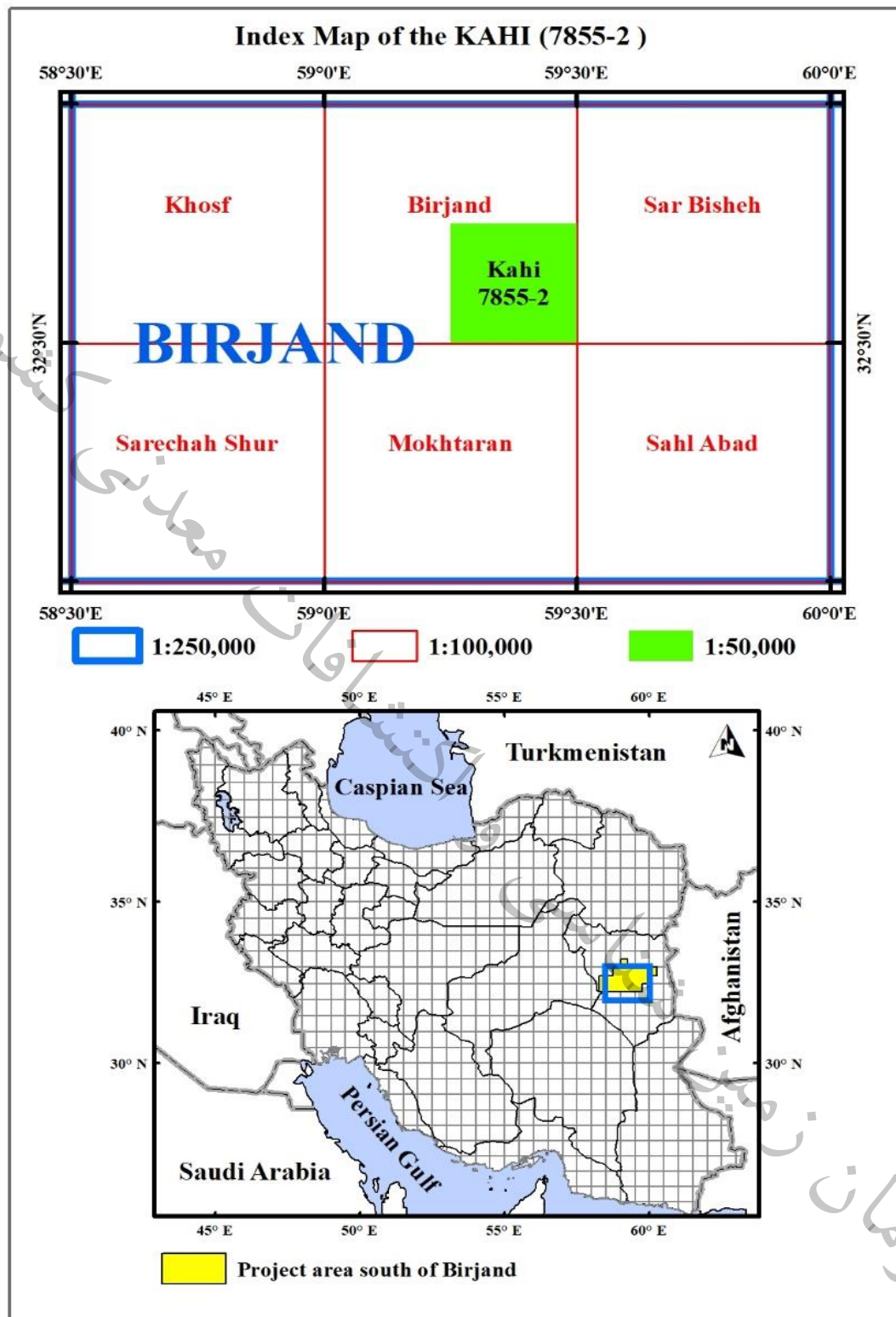
نقشه کاهی در استان خراسان جنوبی و بطور عمده در شهرستان سربیشه قرار دارد. شهرستان سربیشه به مرکزیت شهر سربیشه با مساحتی معادل ۸۲۵۱ کیلومتر مربع در شرق ایران، حاشیه شمال خاوری دشت لوت و در جنوب خاوری شهرستان بیرجند و در محور بین المللی بیرجند- زاهدان واقع گردیده است که از شمال به شهرستان بیرجند و از سمت باخته به شهرستان خوسف، از جنوب به شهرستان نهبندان و از شرق به کشور افغانستان محدود بوده و طول مرز مشترک آن با کشور افغانستان حدود ۱۱۰ کیلومتر می‌باشد. شهر سربیشه در فاصله ۶۶ کیلومتری بیرجند، مرکز استان خراسان جنوبی واقع گردیده است. راه‌های دسترسی به این منطقه جاده اصلی بیرجند- نهبندان و جاده آسفالته فرعی مود- کلاته سلیمان، جاده سربیشه به مختاران و خوسف به مختاران، و نیز راه‌های درجه دو و سه هستند که از جاده‌های یاد شده جدا شده و روستاهای منطقه را به یکدیگر مرتبط می‌سازند (شکل ۱-۱). روستاهای معروف این نقشه، مزار کاهی، کلات سلیمان، فنود، خراشاد، بیجار، دستگرد، میناخون، حسن آباد، اکبرآباد، گز، اصقول، چنشت، کوچ، برزاج، چهکند، روپیات، نوفرست، بهدان، فریزمرغ، استانیست، رزق و چندین کلاته، هستند.



شکل ۱-۱- تصویر راههای ارتباطی شهرهای بیرجند، مود، مختاران، میناخون و ... در منطقه مورد مطالعه

بلندترین نقطه از سطح دریا در کوههای بخش شمال خاوری با بلندای ۲۶۹۳ متر و کمترین بلندی ۱۴۷۰ متر در گوشه جنوب باختری برگه قرار دارد. دره‌ها و آبراهه‌ها جریان آب دائمی ندارند و آبیاری باغات و مصرف شرب از طریق چندین قنات می‌باشد. در دامنه کوهها به سبب وجود چشمه‌های قنات گوارا امکان زیست را برای حیات وحش میسر ساخته و آبیاری سنتی مزارع توسط آب‌های قنات متعدد در کوهپایه‌ها انجام می‌گردد. نقشه کاهی بین عرض‌های $30^{\circ} 00' 00'' - 32^{\circ} 45' 00''$ و طول‌های $59^{\circ} 15' 00'' - 59^{\circ} 30' 00''$ قرار دارد (شکل ۱-۲). شغل اکثر مردم باغبانی، کشاورزی، دامداری، پیشه‌وری و کارمندی می‌باشد. محصولات کشاورزی و دامی تولیدی آن‌ها شامل: زعفران، زرشک، آلو بخارا، انار، عناب، سنجد، بادام کوهی، گردو، کشک سیاه، کشک زرد، کشک زیره‌ای، قره قروت، برگه هلو، توت خشک است. مردمان این دیار هنر قالیبافی را همانند سایر نقاط کشور

در این منطقه با نقش‌ها، طرح‌ها و رنگ‌های متنوع خلق می‌کنند. آب و هوای این ناحیه، بیابانی و خشک بوده و دارای زمستان‌های بسیار سرد و تابستان‌های گرم و خشک است. میزان بارش‌ها کم بوده و بیشترین میزان آن، از آذر تا اردیبهشت رخ می‌دهد و در فصل زمستان اغلب بارش‌ها به شکل برف است. از جاذبه‌های طبیعی - گردشگری این منطقه می‌توان به مزار بی زینب خاتون(س) خواهر امام رضا(ع) در روستای کاهی، روستای چنشت، چشمه‌ها و قنات‌ها متعدد و باغات میوه و بخصوص زرشک، اشاره کرد.

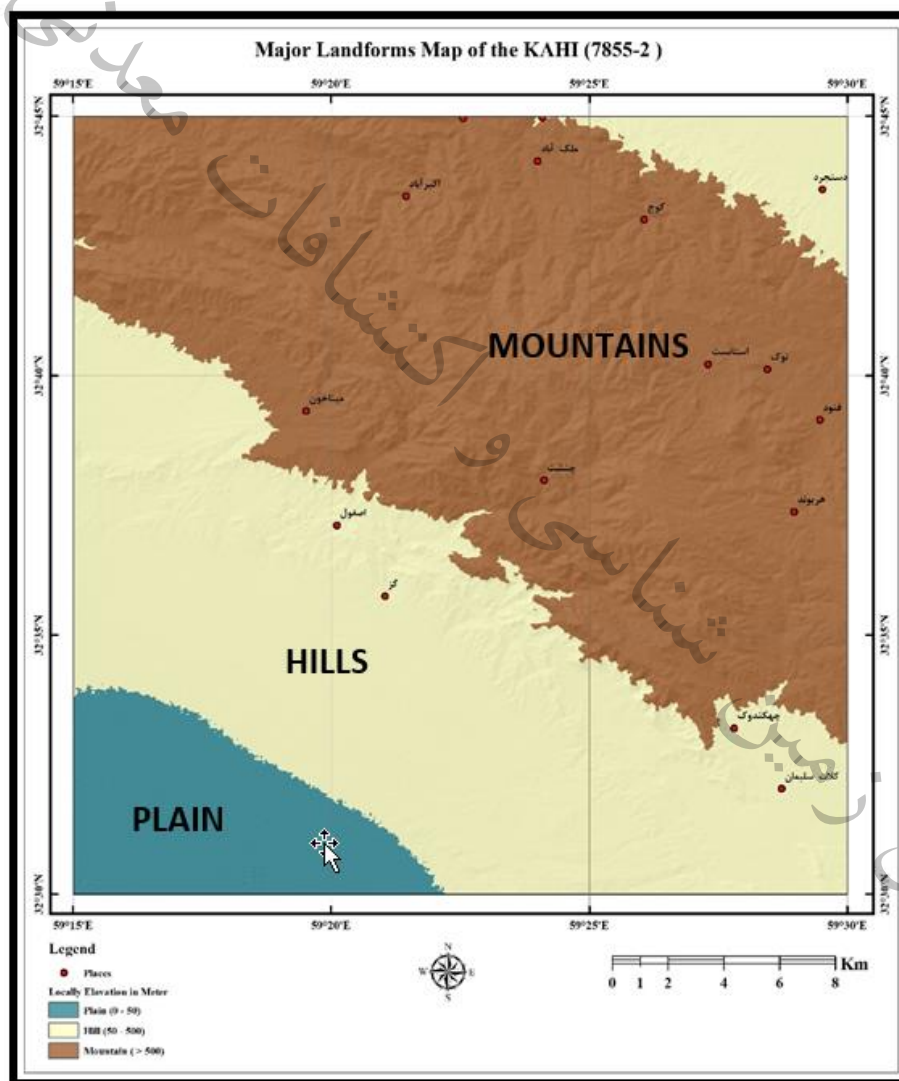


شکل ۱-۲- مختصات چهارگوشه و ایندکس برگه کاهی در نقشه های یکصد هزار و دویست و پنجاه هزارم بیرجند.

۳-۱- زمین ریخت شناسی:

برگه کاهی از نظر ریخت به بخش های نیمه شمالی با روند شمال باختری - خاور و جنوب خاوری (زمین ریخت کوهستانی و خشن)، گوشه شمال خاوری و میانه جنوبی برگه با روند جنوب خاوری تا باختر و کمی شمال

باختری (زمین ریخت شناسی ملایم) و گوشه جنوب یا باختری (زمین ریخت پست) تقسیم می‌شود (شکل ۱-۳). بخش کوهستانی عمدها شامل واحدهای مجموعه افیولیتی به همراه واحدهای ولکانیک الیوگوسن و واحدهای رسوبی پالئوسن-ائوسن است که توپوگرافی خشن و مرتع دارد. دامنه‌های بخش کوهستانی یعنی دامنه‌های جنوب باختری به سبب مرتفع بودن و حاکم بودن تکتونیک فعال، دره‌های جوان دارند که رسوبات کواترنری توسط سیلان‌های فصلی به دشت‌ها آورده شده‌اند. (روبه شمال خاوری و جنوب-جنوب باختری)، عمدها شامل رسوبات باد بزنی و کواترنری و زمین‌های نسبتاً هموار هستند که توپوگرافی ملایمی دارند. فرسایش در بلندی‌ها صورت می‌گیرد و قطعات کنده شده شامل قلوه‌ها و خردہ قطعات برش‌های ولکانیکی و گسلی به همراه مارن‌ها و مواد فرسایشی به صورت گل و لای وارد دشت‌ها شده است.



شکل ۱-۳- تصویر زمین ریخت شناسی برگه ۱:۵۰۰۰۰ کاهی

۱-۴- داده‌ها و اطلاعات مورد استفاده:

اجرای پژوهه اکتشاف سیستماتیک مواد معدنی و تهیه لایه زمین شناسی اقتصادی در برگه ۱:۵۰۰۰۰ کاهی به شماره II 7855 شامل مطالعات دفتری، صحرایی، آزمایشگاهی و تهیه گزارش و نقشه‌های نهایی بوده

است. مطالعات دفتری این پروژه در مهرماه ۱۴۰۰ آغاز شد که در ابتدا تمامی اطلاعات کلی مرتبط با منطقه، شامل نقشه‌های زمین‌شناسی ۲۵۰ هزار و یکصد هزار، نقشه‌های توپوگرافی ۲۵ هزار، آنومالی‌های ژئوشیمیایی ۱:۱۰۰۰۰۰، آنومالی‌های ژئوفیزیک هوایی، عکس‌های هوایی و تصاویر ماهواره‌ای گردآوری و سازماندهی شد. سپس تمامی گزارش‌های مربوط به پروژه‌های انجام شده توسط بخش دولتی و خصوصی در این منطقه جمع‌آوری و مستند گردید. در مرحله طراحی، با توجه به مقیاس نقشه، تا حد امکان در بازدیدها و نمونه‌برداری‌ها فواصل پیمایش رعایت گردید. اولویت مناطق بازدید شده بر پایه ترکیبی از معیارهای زمین‌شناسی، نشانه‌های معدنی، آلتراسیون‌های به دست آمده از تصاویر ماهواره‌ای و آنومالی‌های شناسایی شده در اکتشافات ژئوشیمیایی و ژئوفیزیکی تعیین شد. لایه‌های اطلاعاتی گردآوری شده در قالب یک پایگاه داده به نرم افزار SW-Map در تلفنهای هوشمند نسخه اندروید بارگذاری شد و در تمام مدت عملیات صحراوی مورد استفاده قرار گرفت (شکل ۱-۴) مطالعات صحراوی پروژه در طی سه مرحله در پاییز و زمستان ۱۴۰۰ (مجموعاً در ۵۰ روز) انجام و منجر به ثبت قریب به ۱۶۲ نمونه شد. از سه مرحله نمونه‌برداری دو مرحله نمونه‌ها در آزمایشگاه زرآزما آنالیز و مطالعه شدند و مرحله سوم در آزمایشگاه سازمان مطالعات و آنالیزها انجام شد.

۱-۵- مطالعات پیشین در برگه مورد مطالعه:

مطالعات و اکتشافات انجام شده پیشین در این منطقه به ترتیب سال انجام کار به شرح زیر است:

- سال ۱۹۷۸: اکتشافات ژئوشیمیایی آبراهه‌ای و نمونه‌برداری به روش BLEG و کنترل آن توسط

شرکت فرانسوی BRGM

- سال ۱۳۶۸: نقشه زمین‌شناسی ۱:۱۰۰۰۰۰ خوسف توسط وحدتی دانشمند و خلقی
- سال ۱۳۶۹: تدوین و یکپارچه‌سازی نقشه زمین‌شناسی ۱:۲۵۰۰۰۰ بیرجند توسط وحدتی دانشمند بر پایه نقشه‌های زمین‌شناسی یکصد هزار که در بین سال‌های ۱۳۵۳ تا ۱۳۶۸ تهیه شده بود.

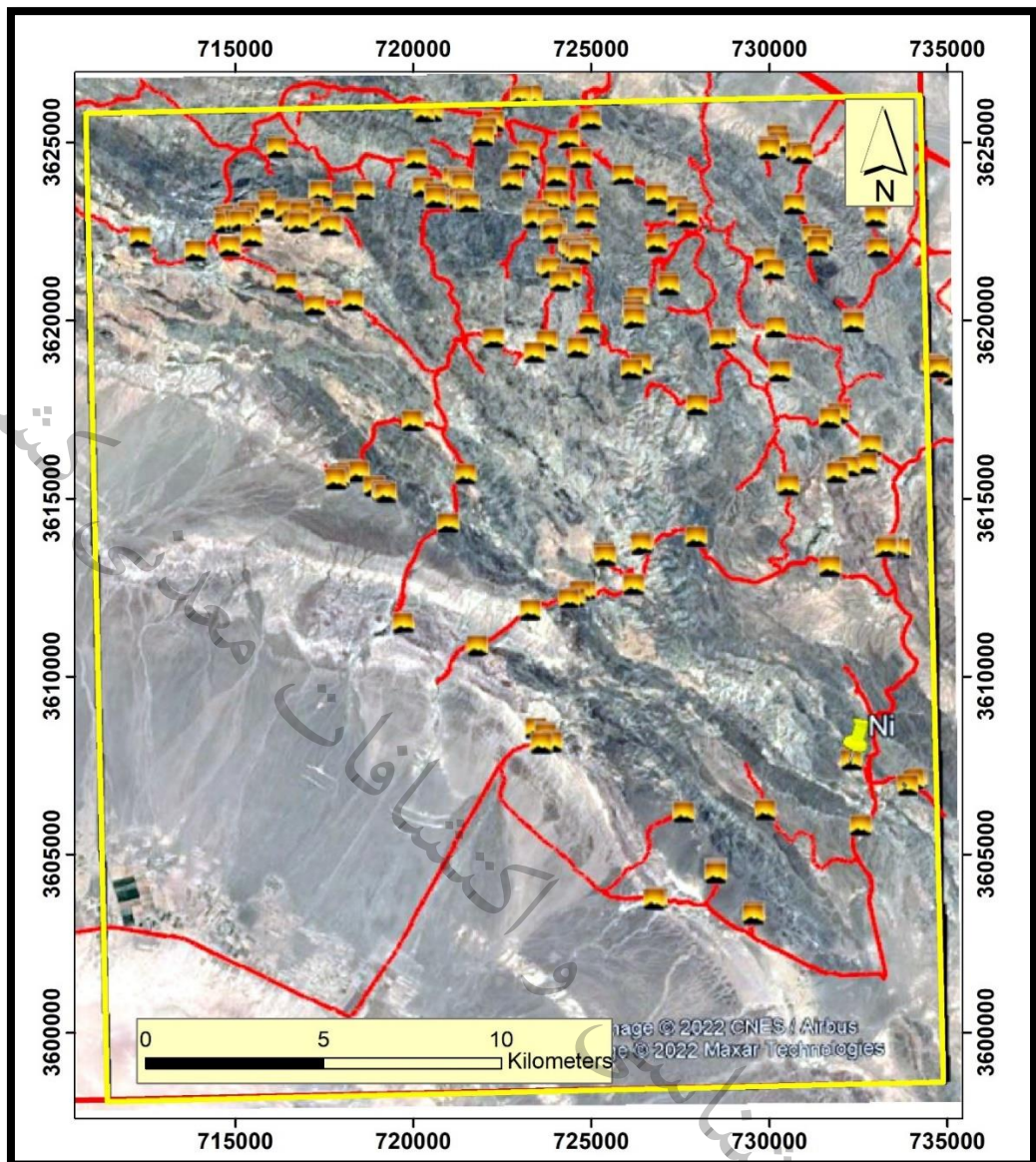
- سال ۱۳۸۰: نقشه متالوژی ایران با مقیاس ۱:۱۰۰۰۰۰ و معرفی اندیس‌هایی از مس، طلا، قلع

و تنگستان سازمان زمین‌شناسی کشور، لطفی و همکاران

- اوایل دهه ۸۰ شمسی: پروژه اکتشافات ژئوفیزیک هوایی تفصیلی در مناطق بیرجند، خوسف، بصیران، مختاران و قلعه‌زی در استان خراسان جنوبی به سه روش مغناطیس سنگی، الکترومغناطیس و رادیومتری بوسیله بالگرد توسط سازمان زمین‌شناسی کشور

- سال ۱۳۸۰: اکتشاف طلا در لیستوینیت‌های محور بیرجند - نهبندان (فاز مطالعاتی اول و دوم) توسط رضا منظمی باقرزاده

- سال ۱۴۰۰: گزارش شرح ناهنجاری‌های تارگت‌های اکتشافی پهنه بیرجند – شاهرخت توسط براتی و همکاران در سازمان زمین‌شناسی و اکتشافات معدنی کشور علاوه بر پروژه‌های اکتشافی انجام شده که در بالا ذکر شد، مطالعات پژوهشی متعددی نیز توسط دانشجویان و استادان دانشگاه‌های کشور انجام شده است که از مهم‌ترین آن‌ها می‌توان به مقاله کانی‌شناسی، زمین‌شیمی، موقعیت ساختمانی و ارائه مدل ژنتیکی برای لیستونیت‌های خاور ایران توسط زرین کوب و همکاران (۱۳۸۴) در مجله بلور‌شناسی و کانی‌شناسی ایران اشاره کرد.
- سال ۱۳۹۶: مدلسازی اکتشافی پهنه خراسان جنوبی (بیرجند - شاهرخت): مجموعه مطالعات ژئوفیزیک هوایی، زمین‌شناسی اقتصادی و تلفیق و مدلسازی توسط دفتر ژئومتکیس سازمان زمین‌شناسی و اکتشافات معدنی کشور
- سال ۱۳۹۴: مطالعه معدنی استان خراسان جنوبی (معرفی ذخایر، کانسارها و پتانسیل‌های معدنی استان خراسان جنوبی) توسط صفری و همکاران در اداره کل زمین‌شناسی و اکتشافات معدنی شمال شرق کشور
- سال ۱۳۹۴: پروژه خراسان جنوبی توسط جون انجلس، جیننگریش و حائری در قالب یک پروژه مطالعاتی مشترک با همکاری مهندسین مشاور پارس کانه کیش و مدیریت ژئومتیکس سازمان زمین‌شناسی کشور انجام شد.



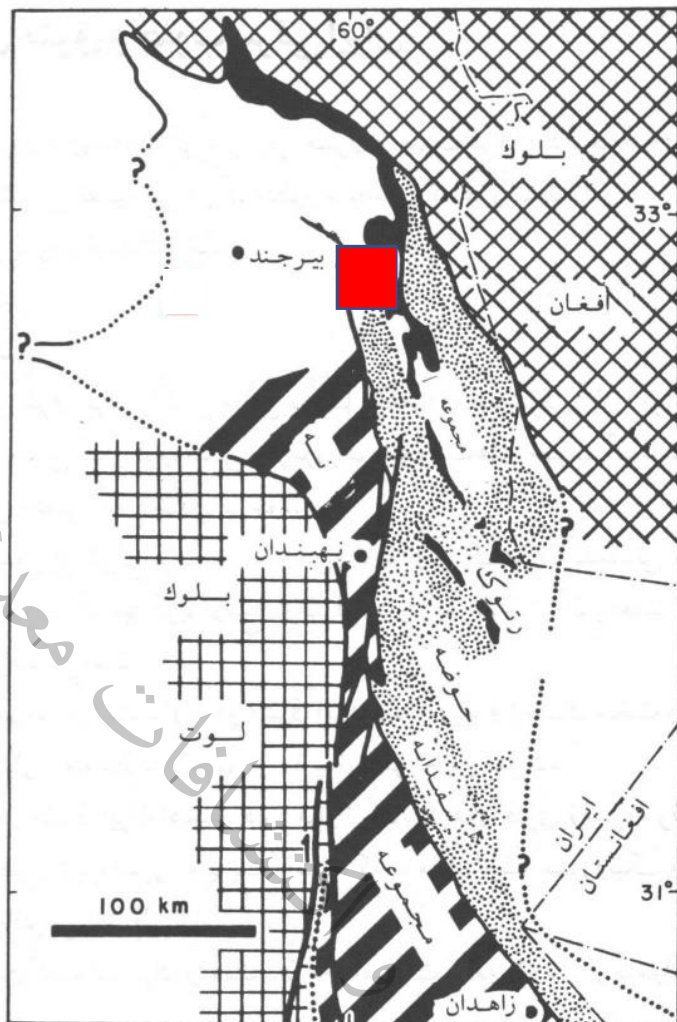
شکل ۱-۴- نمایی از پیمایش‌ها و نقاط ثبت شده در برگه ۱:۵۰۰۰۰ کاهی (بیرجند ۲) (فیض، م..، ۱۴۰۱)

فصل دوم: زمین و سنای پیشگاهان معدنی کشور

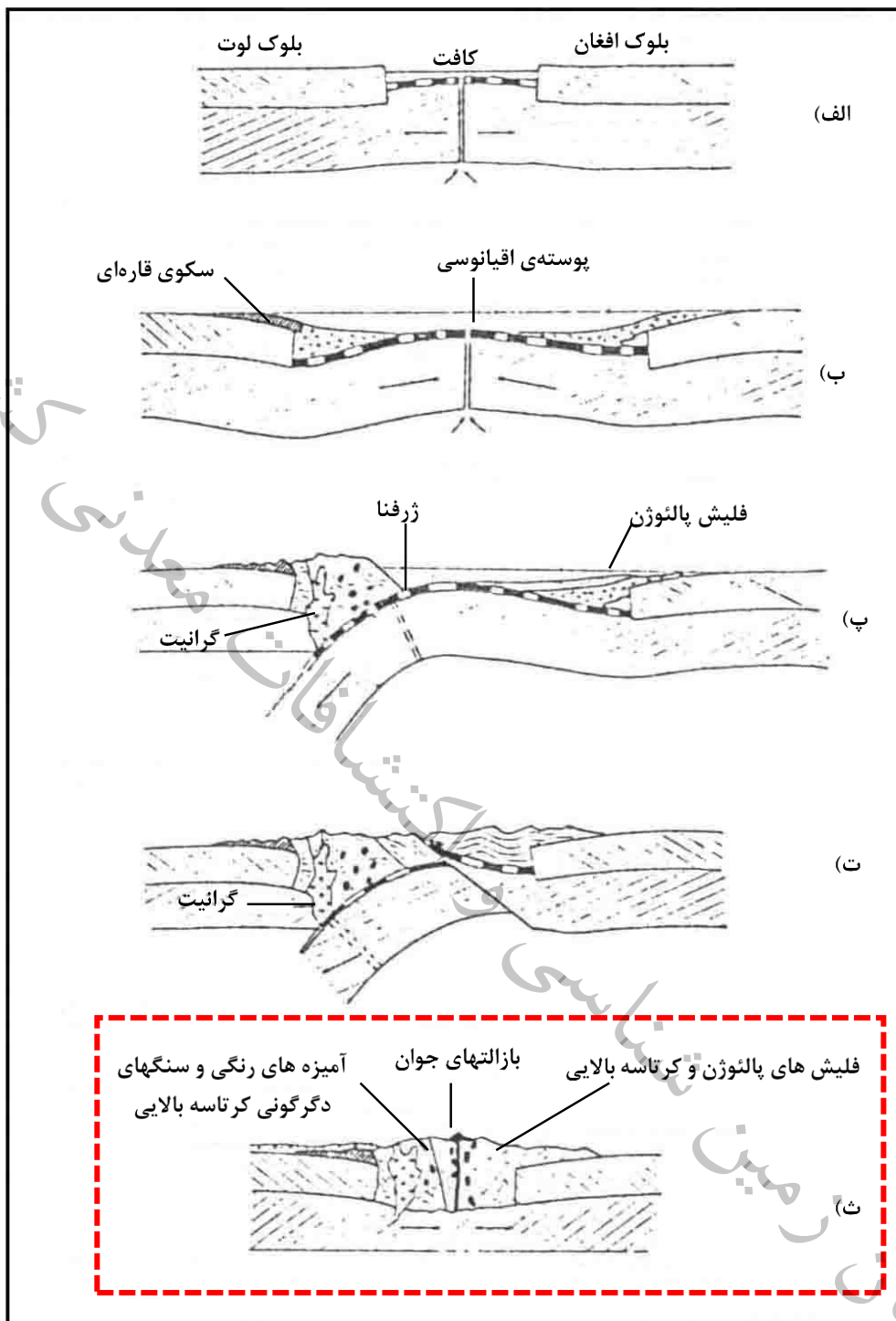
سازمان زمین

فصل دوم: زمین شناسی**۱-۲- زمین شناسی ناحیه‌ای:**

برگه ۱:۵۰۰۰۰ (کاهی) در بخش جنوب شرقی نقشه زمین شناسی ۱:۱۰۰۰۰۰ (II) به مساحت ۶۵۱ کیلومتر مربع قرار گرفته است. این برگه در مجموعه افیولیتی زمین درز سیستان و در شرق ایران قرار گرفته است (شکل ۱-۲). در مورد چگونگی تشکیل مجموعه‌های افیولیتی در آن، تاکنون بحث‌ها و نظرات متفاوتی توسط محققان ارائه شده است. افتخارنژاد (۱۳۵۲)، معتقد است بین بلوک لوت و افغان که خشکی واحدی بوده‌اند، در زمان تورونین (کرتاسه بالایی) یک کافت ایجاد شده و منجر به تشکیل یک حوضه اقیانوسی بین این دو بلوک شده است و در آغاز این پدیده، به دلیل خمش پوسته و بالآمدگی در دو لبه جدا شده، پسروی کامل دریا در بلوک لوت رخ داده و با استناد به فرضیه ایزوفستازی، پیش روی مجدد دریا در حاشیه بلوک لوت را مطرح کرده است و معتقد است این پدیده باعث افزایش رسوبات و در نتیجه تعقر پوسته اقیانوسی در مجاورت پوسته قاره‌ای و در نهایت باعث شکستگی لیتوسفر شده است. در اثر شکستگی لیتوسفر، پوسته اقیانوسی به زیر بلوک لوت رانده شده و عمل فرورانش پوسته اقیانوسی به زیر بلوک لوت آغاز شده است (شکل ۲-۲).



شکل ۲-۱- موقعیت زمین درز سیستان در شرق ایران و جایگاه مجموعه افیولیتی بین دو بلوک ایران و افغان (تیروول و همکاران، ۱۹۸۳) و همچنین موقعیت محدوده مورد مطالعه در آن.

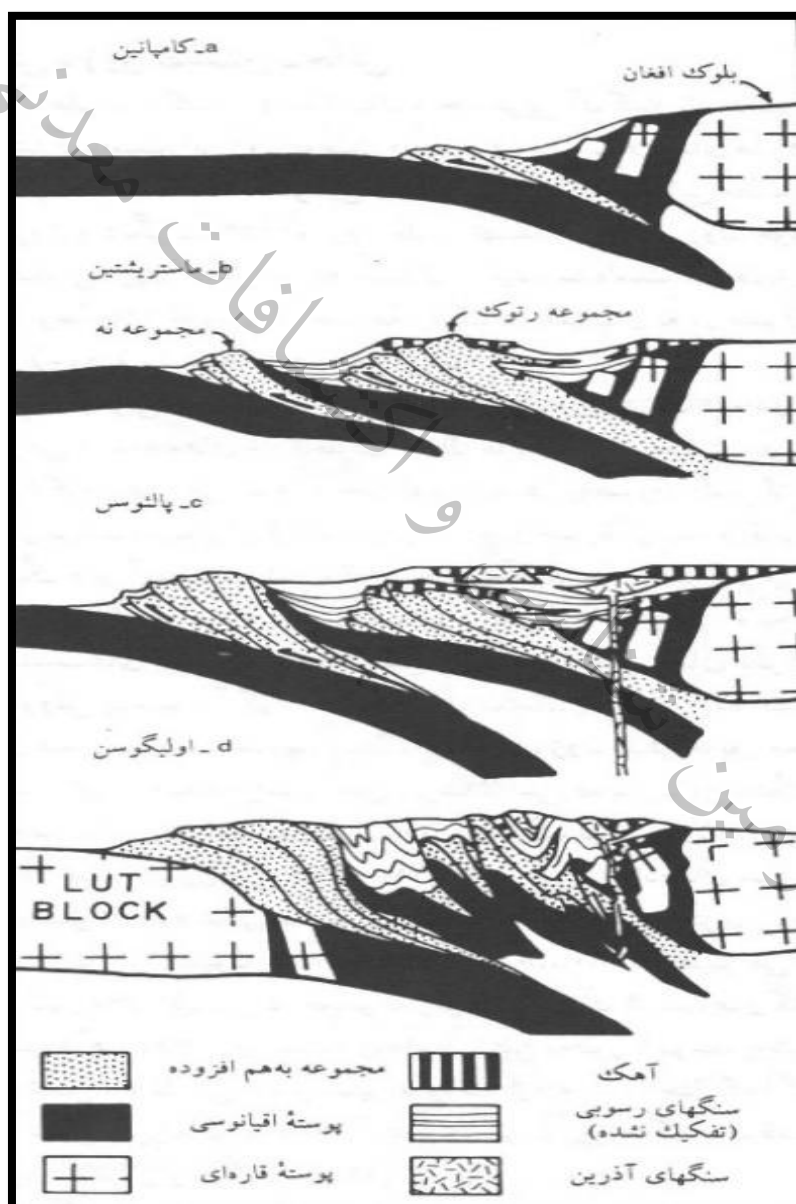


شکل ۲-۲- مراحل آغاز و پایان فرورانش در حاشیه شرقی لوت (افتخارنژاد، ۱۳۵۲).

تیروول و همکاران (۱۹۸۳)، بر اساس فسیل‌های موجود در سنگ‌های رسوبی منطقه فیلیش، زمان ایجاد کافت بین بلوك لوت و افغان را سنتومانین (کرتاسه بالایی)، و بر اساس سنگ‌های دگرگونی فشار و دما بالا و آمیزه‌های رنگین منطقه زمان از بین رفتان پوسته اقیانوسی را مایستریشتین (کرتاسه بالایی)، تعیین کرده است. تیروول و همکاران معتقدند که شیب فرورانش به سمت شمال شرق بوده و پوسته اقیانوسی به زیر بلوك افغان رانده شده است. (شکل ۲-۳). نبوی (۱۳۵۵) و خطیب (۱۳۶۹) معتقدند که تغییر رژیم زمین‌ساختی منطقه از وضعیت

کششی به فشاری منجر به فرارانش پوسته اقیانوسی بر روی پوسته قاره‌ای شده است و فرورانشی در منطقه انجام نشده است. کمپ و گریفیس (۱۹۸۳) پنج مرحله برای تشکیل افیولیت‌های شرق ایران ارائه داده‌اند:

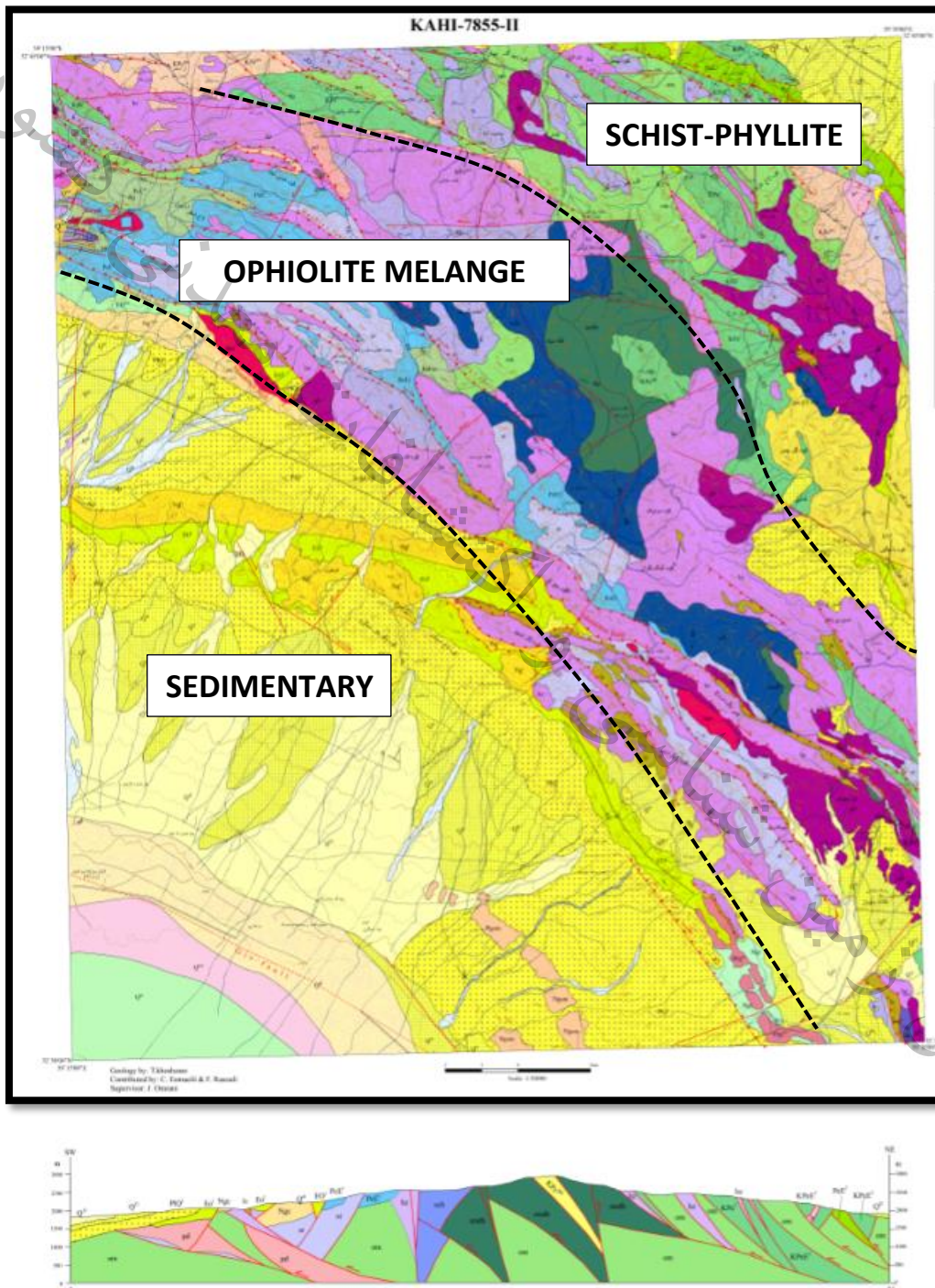
- ایجاد کافت و جدا شدن بلوک‌های لوت و افغان از یکدیگر
- تشکیل حوضه اقیانوسی بین دو بلوک لوت و افغان
- فعالیت ماقمایی کالک آلکالن زون‌های فرورانش تیپ حاشیه قاره‌ای
- برخورد بلوک‌های لوت و افغان
- حاکم شدن رژیم تکتونیکی کششی در منطقه پس از تصادم بلوک‌های لوت و افغان



شکل ۲-۳- مراحل مختلف فرورانش در شرق ایران (تیروول، ۱۹۸۳) را نشان می‌دهد. سامانی و اشتتری (۱۳۷۰)، بر اساس شواهدی از قبیل نبود رخساره کافتی- تبخیری و آلکالن و کالک آلکالن بودن سنگ‌های آذرین منطقه و گسترش فعالیت آتشفسانی کمان حاشیه قاره‌ای در جنوب دو بلوک لوت و

افغان تشکیل یک پوسته با خصلت اقیانوسی را برای شرق ایران مردود می‌دانند. آقانباتی (۱۳۸۳)، معتقد است که رسوبات تخریبی مانند فیلیش، شیل‌های سیلیسی که با محیط عمیق اقیانوسی سازگار نیست، دلیل بر نزدیک بودن محیط تشکیل افیولیت‌های مذکور به حاشیه قاره‌ها بوده و به احتمال زیاد افیولیت‌ها در کافت‌های قاره‌ای از نوع دریای سرخ ایجاد شده است و زمین‌درزهای شرق ایران و مکران نوعی جدایش‌های هم‌خانواده نئوتیس هستند که در اوایل ژوراسیک (سنونین) باز شده و در شرق ایران در زمان ائوسن میانی بسته شده و در ناحیه مکران هنوز پدیده فرورانش و همگرایی صفحه‌ها ادامه دارد.

از نظر زمین‌شناسی محدوده مورد مطالعه را می‌توان به سه ناحیه با مجموعه سنگ‌های زیر تقسیم نمود: ۱- افیولیت و مخلوط درهم رنگین ۲- رسوبات نوع فلیشی ۳- سنگ‌های رسوبی (شکل ۲-۴). مطالعات زمین‌شناسی این برگه توسط خوش زارع، ط، (۱۴۰۱) انجام شده که در ذیل قسمت‌هایی از آن به طور خلاصه در این بخش آورده می‌شود.



شکل ۲-۴- پهنه بندی واحدهای سنگی منطقه مورد مطالعه بر اساس نقشه زمین‌شناسی ۱:۵۰۰۰۰ کاهی

در ادامه به شرح واحدهای زمین شناسی در منطقه مورد مطالعه پرداخته می‌شود:

۱-۲-۱- نهشته‌های فلیشی:

در پهنه افیولیتی خاور ایران، سنگ‌های فلیشی با گستردگی قابل توجه حضور دارند. این واحد از ماسه‌سنگ متوسط تا نازک لایه با دانه‌بندی ریز تا متوسط و به رنگ خاکستری و سبز متمایل به خاکستری با میان لایه‌های رس سنگ، شیل و اندکی سنگ آهک تشکیل شده است. رسوبات فلیشی به وسیله جریان‌های توربیدیتی و یا توده‌ای در یک محیط دریایی به وجود آمدند.

۱-۲-۱- نهشته‌های فلیشی (KPe^f):

این واحد در نیمه شمالی برگه از خاور تا باختر در بسیاری از قسمتها رخنمون دارد. سنگ‌های تشکیل دهنده این واحد شامل شیل و ماسه‌سنگ متوسط تا ضخیم لایه است. دگرگونی و فولیاسیون در این واحد در حد اسلیت و فیلیت نیز دیده می‌شود (عکس ۱-۲).



عکس ۱-۱- ماسه سنگ‌ها و شیل‌های واحد فلیشی دید به سمت شمال. (عکس از خوش زارع، ط، ۱۴۰۱)

۱-۲-۱-۲- نهشته‌های فلیشی (KPe^{fph}):

بخشی از این واحد رسوبی در هنگام جایگیری تکتونیکی آمیزه افیولیتی دچار دگرگونی ناحیه‌ای بسیار ضعیفی شده است و بصورت تشکیل برگوارگی و پدیده چین خوردگی رخنمون دارد. این واحد در شمال برگه رخنمون دارد. سنگ‌های تشکیل دهنده این واحد شامل فیلیت، اسلیت، شیلهای مدادی و نیزهای، ماسه‌سنگ و خردسنجها و قطعات سیلیسی است که سطح رخنمون را پوشانیده‌اند (عکس ۲-۲).



عکس ۲-۲- واحد فلیش KPe^{fph} ، خاور کلاته غلامرضا، دید رو به شمال(عکس از خوش زارع، ط، ۱۴۰۱)

در داخل این واحد دگرگونه علاوه بر ماسه‌سنگ‌های کمی دگرگونه، دیاباز و چرت دگرگون شده نیز وجود دارد که مقدار آن‌ها ناچیز می‌باشد (عکس ۲-۳).



عکس ۲-۳- واحد فلیش KPe^{fph} دید رو به شمال باختری(عکس از خوش زارع، ط، ۱۴۰۱)

۲-۲-۲- واحدهای سنگ چینه ای پالئوسن - ائوسن

رسوبات پالئوسن - ائوسن شامل کنگلومرا، ماسهسنگ، سنگآهکهای پالئوسن - ائوسن، رسوبات فلیشی پالئوسن - ائوسن شامل شیل، مارن، ماسهسنگ و لنزهای سنگآهکهای ماسهسنگی دارای فسیل‌های آلوئولینا و نومولیتی و واحد نرم‌فرسا شیل، مارن و ماسهسنگی پالئوسن است که به صورت پیوسته بر روی واحدهای قدیمی‌تر قرار می‌گیرد.

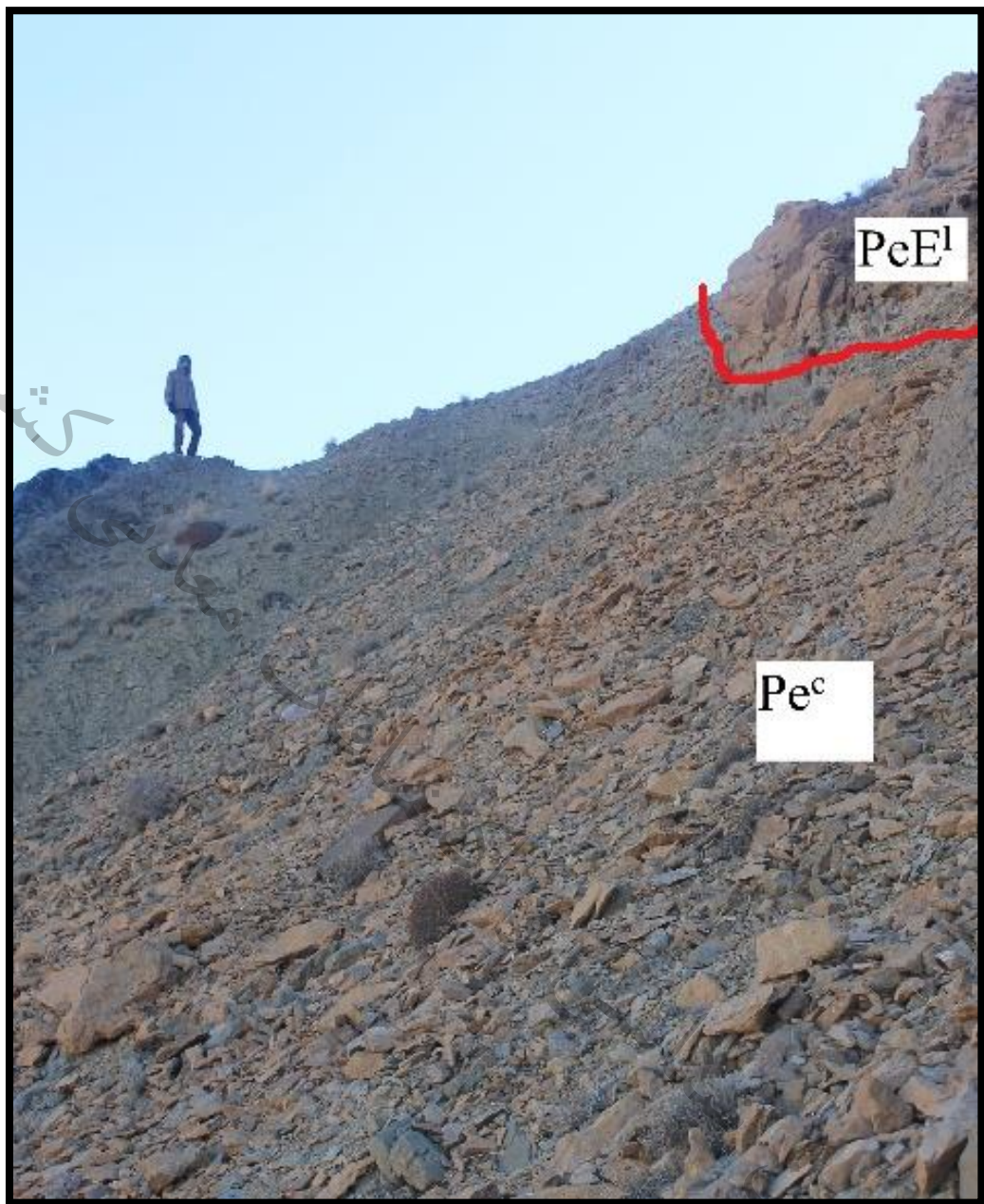
۱-۲-۲-۲- واحد کنگلومرا (Pe^c):

این واحد بصورت بسیار محدود در بخش‌های از شمال و شمال باختر محدوده برگه ۱:۵۰۰۰ کاهی رخنمون دارد. رنگ این کنگلومرا قهوه‌ای و سیمای این واحد توده‌ای و خشن است (عکس ۴-۲).



عکس ۲-۴- واحد کنگلومرا Pe^c دید رو به جنوب (عکس از خوش زارع، ط، ۱۴۰۱)

مرز زیرین این واحد با واحد (KPe^{fph}) به صورت ناپیوسته است. بر روی این کنگلومرا واحد سنگ آهک پالئوسن - ائوسن به رنگ کرمی تا خاکستری روشن به صورت ناپیوسته قرار گرفته است (عکس ۵-۲).



عکس ۲-۵- از مرز ناپیوسته واحد کنگلومرایی (Pe^c) و سنگ آهک های پاللۇسن-ائوسن؛ دید رو به جنوب.

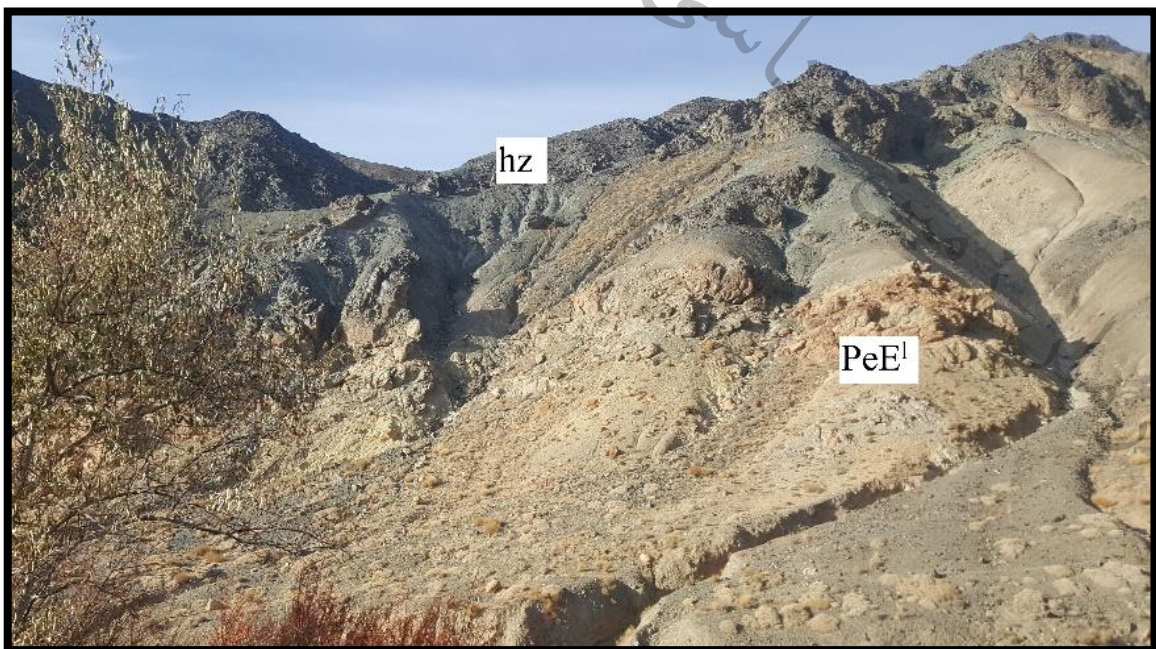
(عکس از خوش زارع، ط، ۱۴۰۱)

۲-۲-۲-۲- واحد سنگ آهک (PeE^I):

از لحاظ سنگ‌شناسی شامل سنگ‌آهک با بین لایه‌های مارنی تشکیل شده است و سیمای تشکیل دهنده این واحد برجسته، خشن و صخره‌ساز است. رنگ سنگ‌آهک‌های تشکیل دهنده این واحد قهوه‌ای تا کرم رنگ است (عکس ۲-۶ و ۷-۲).



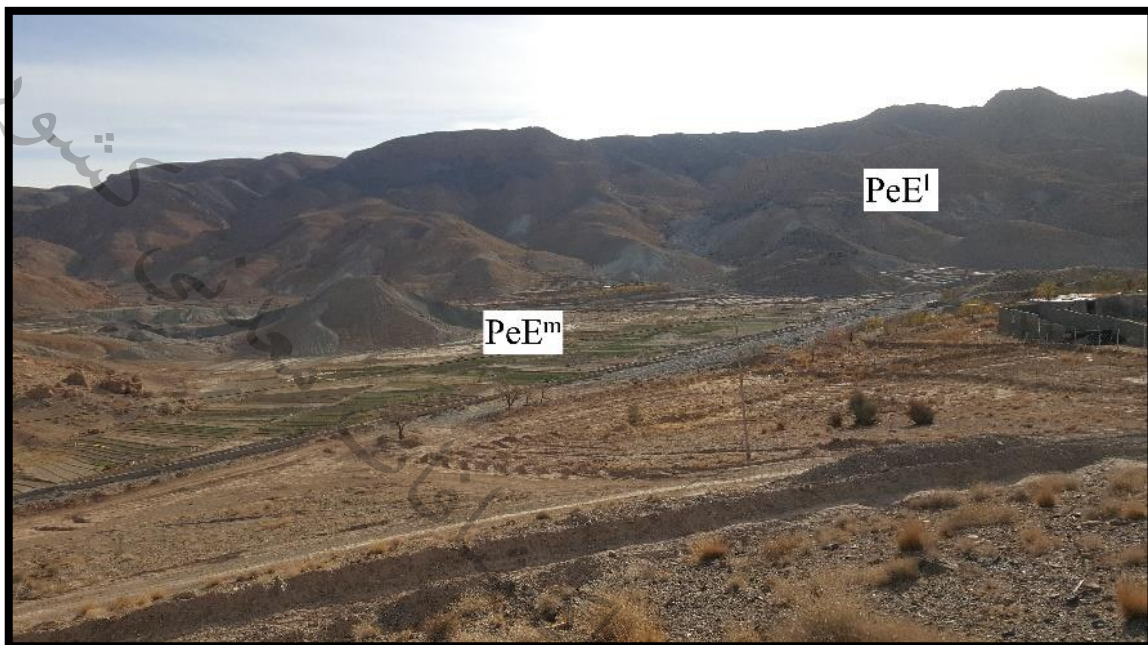
عکس ۲-۶- سیمای خشن و صخره ساز واحد سنگ آهک (PeE^I). دید رو به خاور. (عکس از خوش زارع، ط، ۱۴۰۱)



عکس ۲-۷- از راندگی مجموعه افیولیتی(هارزبورزیت) بر روی واحد سنگ آهک (PeE^I). دید رو به شمال خاور (عکس از خوش زارع، ط، ۱۴۰۱)

۲-۳-۲- واحد مارنی (PeE^m)

این واحد در شمال باختری محدوده برگه ۱:۵۰۰۰۰ کاهی و در خاور روستای روبیات و شمال خاوری روستای میناخون بیشتر رخنمون دارد. این واحد شامل مارن‌های پرفسیل، شیل و ماسه‌سنگ است. از لحاظ ریخت‌شناسی این واحد تپه‌ماهوری است و ریختی مرکب از بخش‌های نرم و سخت دارد (عکس ۸-۲).



عکس ۸-۲- واحد مارنی PeE^m به شکل تپه ماهوری. دید رو به جنوب. (عکس از خوش زارع، ط، ۱۴۰۱)

۲-۴-۲- واحد فلیشی (PeE^f):

واحد فلیشی پالئوسن- ائوسن در پهنه‌های گسلی منطقه مورد مطالعه به شدت خرد شده به همین دلیل مستعد هوازدگی و دگرسانی به نسبت شدیدی شده است. ارتباط این واحد خردشده با واحدهای مجاور به صورت گسله است. در واقع عملکرد گسل‌ها موجب شده واحد فلیشی PE^f دچار خردشده و دگرسانی به نسبت شدید شود. بنابراین، می‌توان از بخش‌های چنین خرد شده و هوازده به عنوان واحد جداگانه ای یاد نمود.

کانی‌های ثانویه حاصل هوازدگی را کربنات (منیزیت، آرگونیت، دولومیت) و سیلیس (اوپال و کلسیدونی) و اکسیدهای آهن (لیمونیت و هماتیت) تشکیل داده که به صورت تیغه‌های برجسته‌ای مشاهده می‌شوند. حضور همین کانی‌ها موجب تغییر رنگ شدید در آن‌ها شده، به طوری که از رنگ سبز- خاکستری به زرد نخودی گراییده‌اند. در عکس‌های هوایی منطقه نیز با تن روشن متمایز هستند. (عکس ۹-۲).



عکس ۲-۹- واحد فلیشی PE^f جنوب روستای بیجار دید رو به شمال باخته (عکس از خوش زارع، ط، ۱۴۰۱)

۲-۵-۲- واحد مارن و ماسه (E^{ms})

این واحد شامل تنابوی از مارن، با بین لایه های نازک تا متوسط ماسه سنگ با سن ائوسن، است. سطح این واحد، بدون پوشش گیاهی است و ریخت شناسی این واحد به صورت تپه ماهوری و فرسوده است. در این واحد مارنهای رنگهای خاکستری رنگ رخنمون دارند (عکس ۲-۱۰).



عکس ۲-۱۰- واحد مارن و ماسه (E^{ms}) دید رو به شمال (عکس از خوش زارع، ط، ۱۴۰۱)

(Em^{cs}) و ماسه کنگلومرا و واحد مارن

این واحد در بخش‌های خاور، شمال و شمال باختر محدوده برگه ۱:۵۰۰۰۰ کاهی رخنمون اصلی و cross محدودی دارد و شامل مارن، ماسه‌سنگ، پلدار و کنگلومرا با آثار لایه بندی مورب (bedding) است (عکس ۱۱-۲).



عکس ۱۱-۲- رخنمون واحد E^{mcs} در داخل ناودیس جنوب سه راهی مرغوب. دید رو به خاور
(عکس از خوش زارع، ط، ۱۴۰۱)

(Ngsm) و ماسه کنگلومرا و واحد مارن

این واحد شامل مارن‌های به رنگ فهوهای روشن تا خاکستری روشن و میان لایه‌هایی از ماسه‌سنگ تا میکروکنگلومرای به رنگ خاکستری است و سیمای تپه ماهوری و نرم فرسا دارد (عکس ۱۲-۲ و ۱۳-۲). در آن قطعاتی از ژیپس به صورت سوزنی و دمپرستویی به صورت پراکنده وجود دارد.



عکس ۲-۱۲- واحد مارنی Ng^{sm} که با سیمای تپه ماهوری و رنگ روشن تر رخنمون دارد. دید رو به شما خاوری.
(عکس از خوش زارع، ط، ۱۴۰۱)



عکس ۲-۱۳- واحد مارنی Ng^{sm} دید رو به شمال باختزی. (عکس از خوش زارع، ط، ۱۴۰۱)

۸-۲-۲- واحد توف مارنی (Ng^t)

این واحد شامل توف های مارنی به رنگ قهوه ای روشن تا خاکستری روشن و میان لایه هایی از ماسه سنگ تا میکرو کنگلومرای به رنگ خاکستری است. این واحد سیمای په ماهوری دارد. در برگه ۱۵۰۰۰ کاهی مرز زیرین آن نامشخص و مرز بالایی آن با واحد Ng^c به صورت پیوسته و هم شیب می باشد (عکس ۱۴-۲).



عکس ۱۴-۲- واحد توف مارنی (Ng^t) با رنگ روشن نسبت به واحدهای اطراف قابل تشخیص می باشد. دید به شمال.
(عکس از خوش زارع، ط، ۱۴۰۱)

۹-۲-۲- واحد کنگلومرا (Ng^c)

از لحاظ سنگ شناسی شامل کنگلومرا و ماسه سنگ است. نهشته های کنگلومرای این واحد به رنگ خاکستری تا قهوه ای است. تناوب های ماسه سنگ به رنگ سفید تا کرم تا روشن و متوسط لایه تا ضخیم لایه هستند (عکس ۱۵-۲).



عکس ۲-۱۵- واحد کنگلومرایی Ng^{c} دید رو به شمال. (عکس از خوش زارع، ط، ۱۴۰۱)

(PIQ^c) ۱۰-۲-۲ واحد

سیمای این واحد تپه ماهوری و فرسوده است (جاده کلاته سلیمان به سمت فنود) و در بیشتر قسمت‌ها سطح رخنمون از واریزه و قطعات منفصل و جدا شده کنگلومرا پوشیده است ولی در برخی موارد مانند شمال روستای اصقول و مسیر جنوب به شمال از طریق روستای گر، سیمای برجسته و صخره‌ساز با شیب ملائم رخنمون دارد (عکس ۲-۱۶).



عکس ۲-۱۶- واحد کنگلومرایی PIQ^c با لایه بندی افقی. دید رو به شمال خاوری. (عکس از خوش زارع، ط، ۱۴۰۱)

۱۱-۲-۲- نهشته‌های کواترنری:

نهشته‌های کواترنری عمدهاً بصورت مخروط افکنه‌های قدیمی (Q^{f1}), (Q^{f2}) و (Q^{f3}) رسوبات تراس رودخانه‌ای (Q^t) و واریزهای حاصل از خردشیدگی سنگ‌ها است که مجاورت پرتگاه‌ها و در دامنه‌های پرشیب سنگی انباسته شده‌اند (Q^{scr}). پهنه‌های نمکی و گلی (Q^{pm}), (Q^{ps}). نهشته‌های سست و نامتراکم عهد حاضر (Q^{al}) جوانترین رسوبات موجود در منطقه هستند (عکس‌های ۱۷-۲ تا ۲۶-۲).



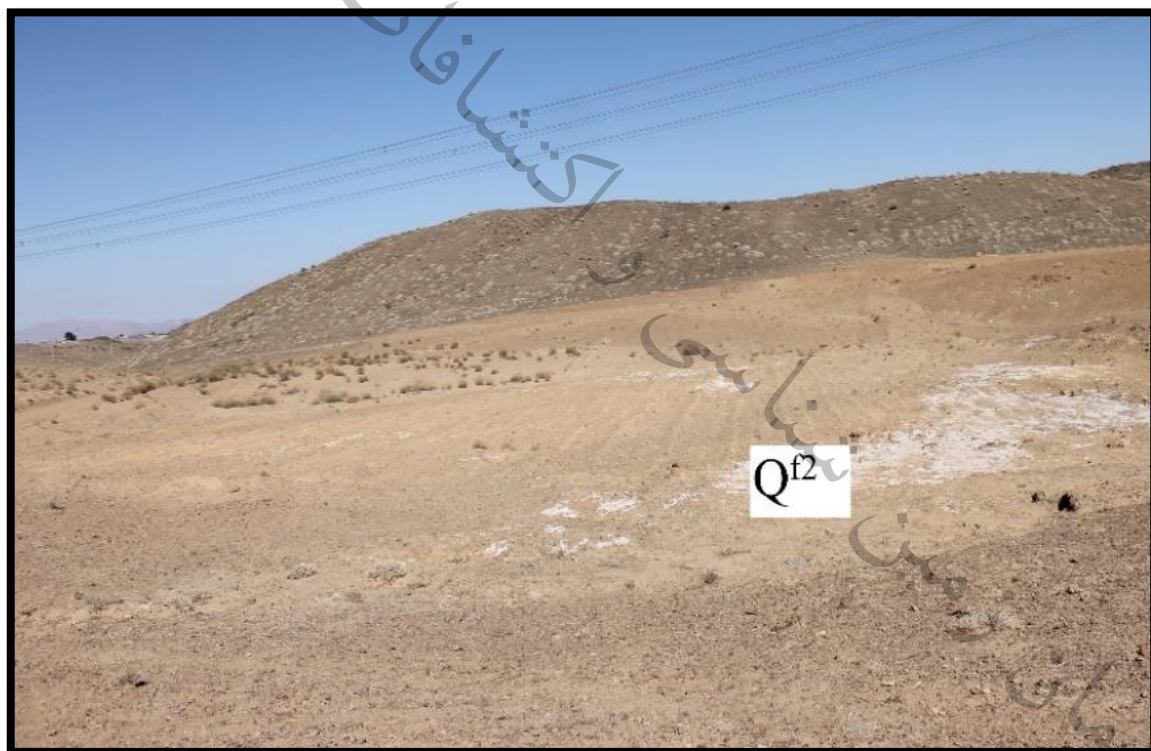
عکس ۲-۱۷- واحد Q^{fl} که تسطیح شده و بر روی آن زراعت انجام می‌گیرد. دید روبرو جنوب.

(عکس از خوش زارع، ط، ۱۴۰۱)



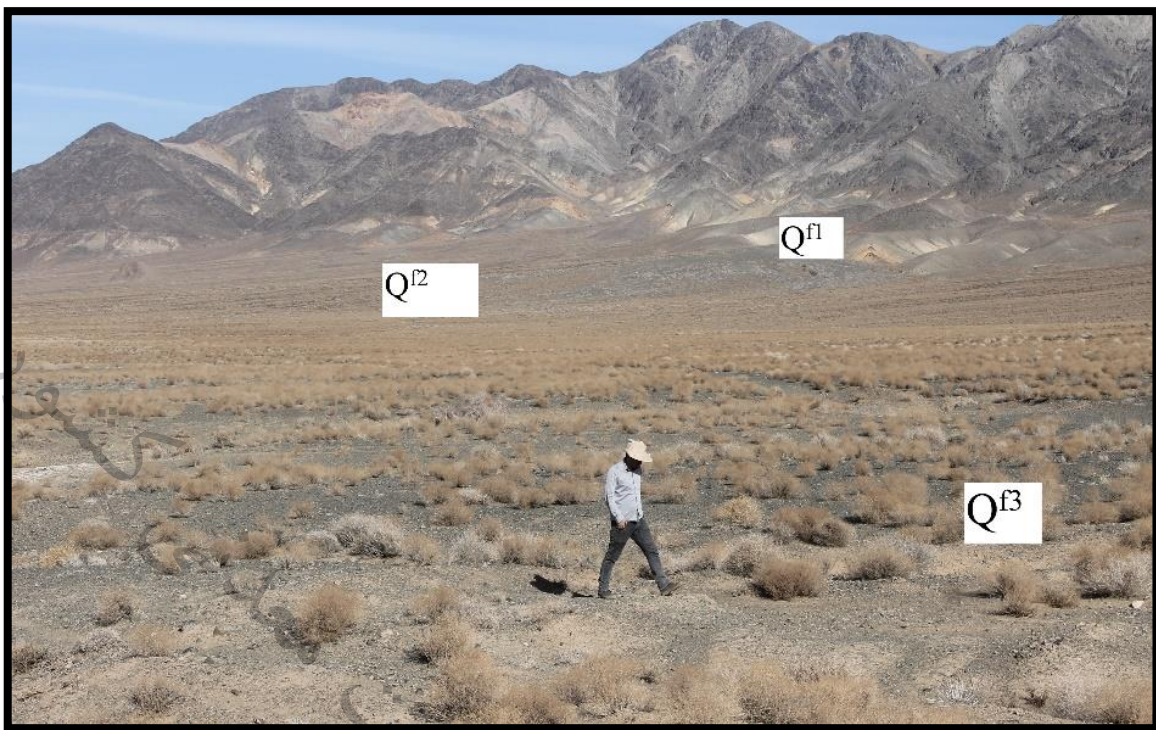
عکس ۲-۱۸- واحد Q^{f1} در دامنه ارتفاعات حاصل از مجموعه افیولیتی (لیستوینیت ها و..)

(عکس از خوش زارع، ط، ۱۴۰۱)



عکس ۲-۱۹- واحد Q^{f2} در شمال خاوری برگه و اطراف کلاته حسین با آثار کالیش بر روی سطح. دید رو به شمال

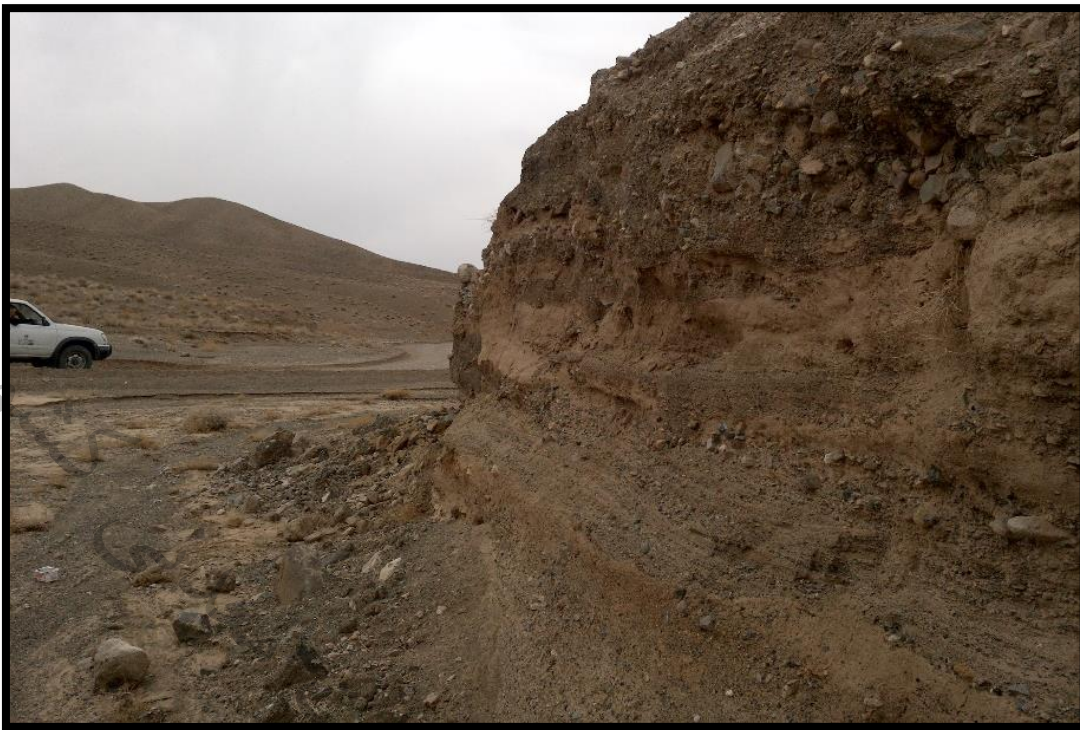
باخته‌ی. (عکس از خوش زارع، ط، ۱۴۰۱)



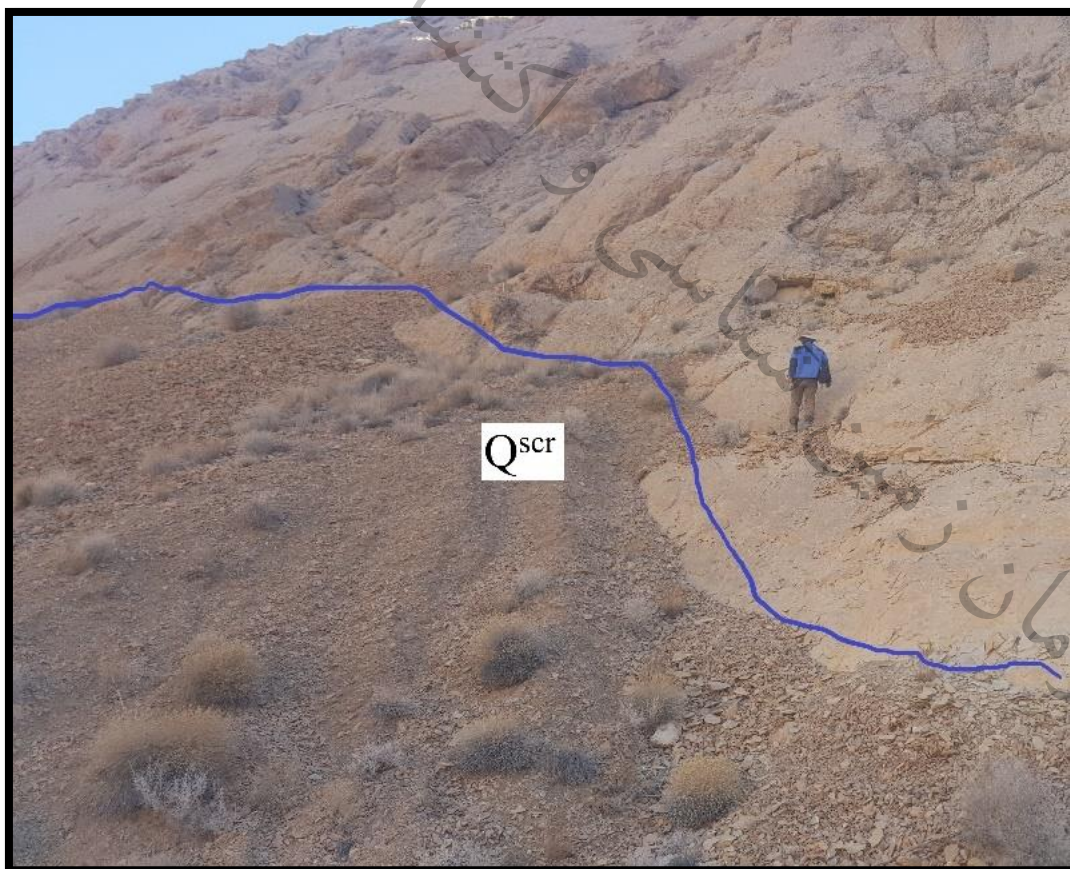
عکس ۲-۲۰- واحد $Qf3$ که در پایین دست واحدهای قدیمی تر ($Qf1$ و $Qf2$) رخنمون دارد. دید رو به شمال
(عکس از خوش زارع، ط، ۱۴۰۱)



عکس ۲-۲۱- تراس رودخانه که نهشته‌ها سست و جریان‌های سیلابی دوره‌های مختلف و پرشدگی کانال‌ها را نشان می‌دهد. دید رو به جنوب باختر (عکس از خوش زارع، ط، ۱۴۰۱)



عکس ۲-۲۲- رسوبات تراس رودخانه‌ای. دید رو به باختن. (عکس از خوش زارع، ط، ۱۴۰۱)



عکس ۲-۲۳- واحد کواترنری-واریزه‌ای Q^{scr} حاصل از تخریب واحد سنگ آهک PeE! دید رو به جنوب.
(عکس از خوش زارع، ط، ۱۴۰۱)



عکس ۲-۲۴- نهشته های سست بستر رودخانه Q^{al} . دید رو به شمال خاور. (عکس از خوش زارع، ط، ۱۴۰۱)



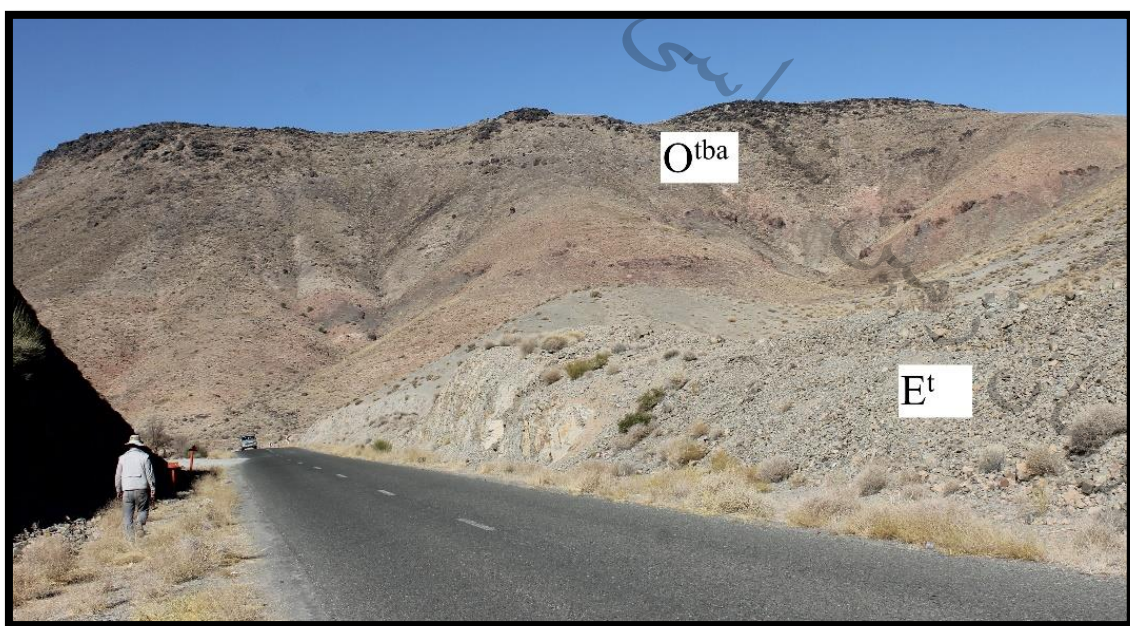
عکس ۲-۲۵- نمایی نزدیک از واحد Q^{pm} (عکس از خوش زارع، ط، ۱۴۰۱)



عکس ۲-۲۶- رخساره تبخیری و نمکی واحد Q^{ps} ، نگاه به سوی جنوب خاور(عکس از خوش زارع، ط، ۱۴۰۱)

۲-۲-۱۲- واحد سنگ آتشفسانی (O^{tba}):

ترکیب سنگ شناسی این واحد ترکی بازالت، تراکی آندزیت بازالت و گاهی آندزیت داسیت می باشد
.(عکس ۲-۲۷).



عکس ۲-۲۷- واحد سنگ آتشفسانی O^{tba} بصورت ناپیوسته بر روی توف E^t قرار گرفته است. دید رو به شمال.
(عکس از خوش زارع، ط، ۱۴۰۱)

: (PLQ^{ob}) - ۲-۱-۱۲-۲

این واحد شامل سنگ‌های بازالتی به صورت جریانی (lapely basalt) است که به رنگ سیاه تا خاکستری و منشورهای بازالتی دیده می‌شود (عکس ۲-۲).



عکس ۲-۲- منشورهای الیوین بازالت. دید رو به جنوب. (عکس از خوش زارع، ط، ۱۴۰۱)

: (EO^{tbr}) - ۲-۱۲-۲

این واحد در قسمت‌های میانی و باختری برگه ۱:۵۰۰۰۰ کاهی رخنمون دارد. این واحد شامل نهشته‌های نرم‌فرسا شامل خاکستر، لاپیلی توف، برش پیروکلاستیک و به طور محلی گدازه است. سیمای این واحد در بخش‌های نرم فرسا، فرسوده تا تپه ماهوری است (عکس ۲-۲).



عکس ۲-۲۹-بخش‌های صخره ساز واحد EO^{tbr} دید رو به شمال باختربی (عکس از خوش زارع، ط. ۱۴۰۱) : ۲-۱۲-۳-آذر آواری (E^t):

تکاپوی آتشفسانی ترشیری (ائوسن-الیگوسن) در محدوده منطقه مورد مطالعه به صورت مواد آذرآواری و گدازهای واحد توف E^t است. آغاز این تکاپو همراه واحد توفی حد واسطه می‌باشد. واحد یاد شده با مرزی ناپیوسته (unconformity) آمیزه‌های افیولیتی را می‌پوشاند (عکس ۲-۳۰).



عکس ۲-۳۰- واحد توفی E^t. ساخت لایه‌ای (layered) نازک و افقی در داخل واحد E^t دیده می‌شود. (عکس از خوش زارع، ط. ۱۴۰۱)

۱۳-۲-۲- مجموعه افیولیتی:

جایگیری تکتونیکی افیولیت های منطقه مورد مطالعه موجب دگرگون شدن برخی از واحدهای سنگی شده است. علاوه بر این، پدیده های سرپانتینی شدن، لیستوینیتی شدن و رودنگیتی شدن همزمان با تشکیل و پس از جایگیری روی داده اند. به طوری که واحدهای سرپانتینی و لیستوینیتی را با گسترش نسبتاً فراوان در منطقه شاهد هستیم.

در منطقه مورد مطالعه واحدهای هارزبورژیت، گابرو، دیاباز و بازالت با مرزهای تکتونیکی بروز نموده اند. جایگیری تکتونیکی همچنین موجب شده مجموعه های فرعی متشكل از دیاباز + بازالت بالشی + بازالت + آهک پلازیک ± چرت رادیولردار و بعضاً آمیزه ای تقریباً از تمام واحد های افیولیتی "om" تشکیل شوند. در ادامه به معرفی و تشریح واحدهای سازنده مجموعه افیولیتی از قدیم به جدید منطقه می پردازیم:

۱۳-۲-۲- واحد پریدوتیتی (Pd):

در مجموعه افیولیتی گسترش یافته در برگه ۱۵۰۰۰ کاهی (کلا منطقه بیرجن) هارزبورژیت واحد عمده بخش پریدوتیتی این مجموعه است ولی دونیت، لرزولیت، و ورلیت نیز بصورت خیلی محدود رخنمون دارند که در این برگه بیشتر موقع غیر قابل تفکیک هستند

۱۳-۲-۲- واحد هارزبورژیت (Hz):

در مجموعه افیولیتی محدوده نقشه مورد مطالعه واحد هارزبورژیتی، مانند دیگر آمیزه های افیولیتی، به دلیل جایگیری تکتونیکی و خرد شدگی ناشی از آن مستعد دگرسانی سرپانتینی شدن (Serpentinization) شده است (عکس ۲-۱۳).



عکس ۲-۳۱- نمونه دستی از هارزبورژیت دگرسان(سرپانتینیتی) (عکس از خوش زارع، ط، ۱۴۰۱)

۲-۲-۳-۱۳- واحد دونیت (du):

دونیت سنگ اولترامافیکی است که بیش از ۹۰ درصد آن را الیوین از نوع فورستریتی تشکیل می‌دهد در گوشه جنوب خاوری برگه کاهی و در جنوب روستای طامند این واحد رخنمون دارد که با توجه به وسعت آن می‌توان آن را از سایر واحدهای پریدوتیتی تفکیک نمود (عکس ۲-۳۲).



عکس ۲-۳۲- تصویری از رخنمون واحد پریدوتیتی که عمدتا سنگ دونیت می‌باشد. دید رو به شمال

(عکس از خوش زارع، ط، ۱۴۰۱)

۴-۱۳-۲-۲- واحد گابرویی (gb):

در هر توالی افیولیتی بر روی بخش اولترامافیک اتفاق‌های ماغمای وجود دارد، که ماغمای مافیک به داخل آن‌ها راه می‌یابد. این ماغما فرصت کافی برای تفریق و تبلور دارد. به طور معمول ترکیب سنگ‌های حاصل در طیفی از گابرو تا دیوریت قرار دارند. در محدوده مورد مطالعه چنین گابروهایی را در چند نقطه‌ی نیمه خاوری برگه و از جمله در خاور روستای مزار کاهی و کوه رصدخانه، شمال کلات سلیمان می‌توان مشاهده کرد (عکس ۲-۲).^(۳۳)



عکس ۲-۳۳- واحد گابرو gb. جنوب روستای مزار کاهی. دید رو به خاور (عکس از خوش زارع، ط، ۱۴۰۱)

۴-۱۳-۲-۲- واحد دیاباز (db):

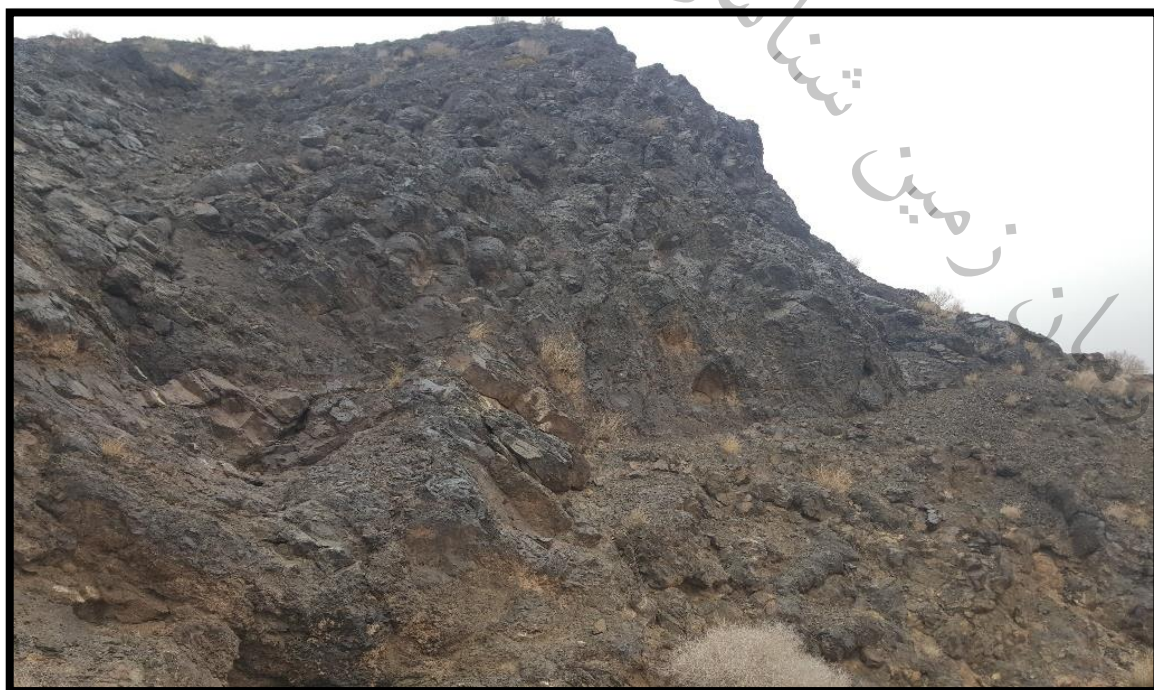
این واحد از توالی افیولیتی بصورت بسیار محدود در خاور این محدوده در اطراف کوه‌های شیخ علیان رخنمون قلبل تفکیک دارد و بیشتر به همراه بازللت‌های مجموعه افیولیتی و یا به صورت متا دیلباز در برگه ۱:۵۰۰۰ کاهی تفکیک شده است (عکس ۳۴-۲).^(۳۴)



عکس ۲-۳۴- تصویری از واحد مناسب به دایک‌های دیابازی. دید رو به خاور (عکس از خوش زارع، ط، ۱۴۰۱).

۲-۱۳-۶- واحد بازالت با ساخت بالشی (b):

در محدوده نقشه مورد مطالعه گذاره‌های بالشی به رنگ سبز تیره، سبز متمایل به قهوه‌ای و حتی قرمز دیده می‌شود. تغییرات رنگ به دلیل تفاوت در میزان بلور و شیشه و محصولات دگرسانی و حتی مجاورت با شیل‌های ارغوانی می‌باشد. متداول‌ترین خمیره بین بالش‌ها، شیشه‌های تبلور یافته به کلریت، شیل‌های کربناته قرمز و ارغوانی و رسوبات سیلیسی رادیولاریتی هستند (عکس ۳۵-۲).



عکس ۲-۳۵- تصویر از بازالت‌های بالشی. دید رو به شمال (عکس از خوش زارع، ط، ۱۴۰۱).

۷-۱۳-۲-۲ - سنگ آهک پلازیک (K_2^1):

به طور معمول در توالی‌های افیولیتی بازالت بالشی به وسیله رسوبات ریزدانه آهکی به رنگ قرمز تا صورتی و شیل سیلیسی (رادیولاریت) با سن کرتاسه بالایی، پوشیده می‌شود (عکس ۲-۳۶).



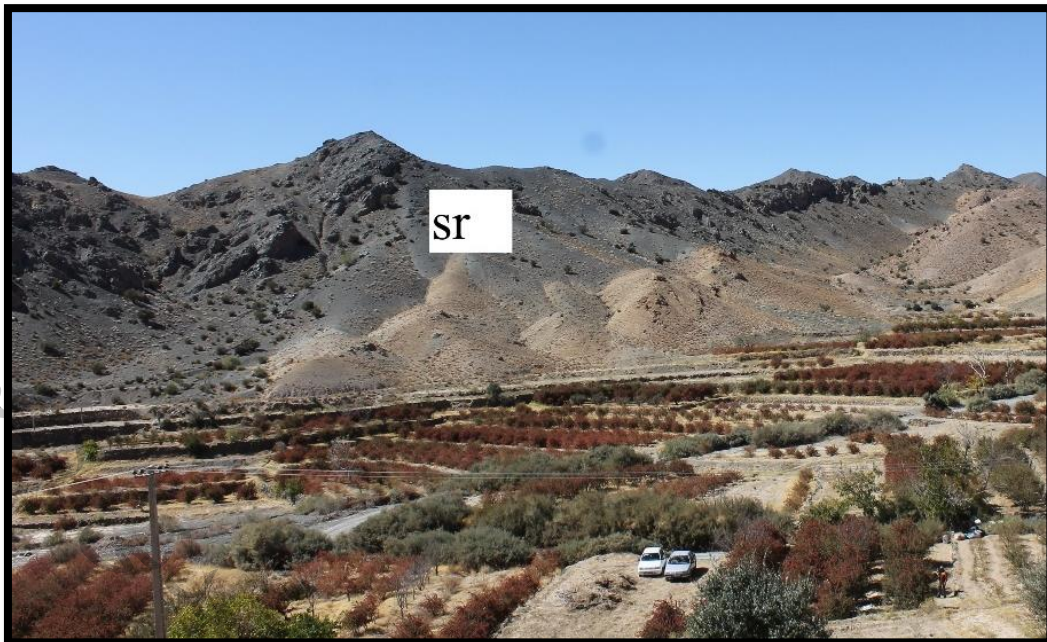
عکس ۲-۳۶ - تصویری از رخنمون محدود سنگ آهک پلازیک. دید رو به خاور (عکس از خوش زارع، ط، ۱۴۰۱)

۱۴-۲-۲ - آمیزه افیولیتی (om):

در مجموعه‌های افیولیتی به دلیل جایگیری تکتونیکی، آمیزه‌های افیولیتی تشکیل می‌شود که چند واحد سنگی توالی افیولیتی را در خود جای می‌دهند. به طور معمول در هم ریختگی به حدی زیاد است که با توجه به مقیاس نقشه نمی‌توان همه واحدهای سنگی اولیه این مجموعه را تفکیک نمود.

۱-۱۴-۲-۲ - سرپانتینیت (sr):

در محدوده مورد مطالعه بخش زیادی از سنگ‌های اولترامافیک را سرپانتینیت‌ها (sr) تشکیل می‌دهند. این واحد با رنگ سبز روشن گاهی متمایل به آبی و برونزدهای پست و بهشدت خرد شده و تکتونیزه (tectonized) به راحتی قابل شناخت هستند (عکس ۲-۳۷).



عکس ۲-۳۷- تصویری از رخمنون واحد سرپانتینیتی Sr. دید به شمال باختر (عکس از خوش زارع، ط، ۱۴۰۱) ۲-۱۶-۲-۲- لیستونیت (Lv):

این واحد به صورت بروزدهای متعدد و به نسبت فراوان بیشتر در داخل واحد سرپانتینیت (Sr) حضور دارد. به دلیل اختلاف مقاومت فیزیکی و شیمیایی بروزدهای آن سبب به سنگ میزبان برجسته و شاخص هستند (عکس ۲-۳۸).



عکس ۲-۳۸- رخمنون برجسته‌ای از واحد لیستونیت دید رو به شمال باختری (عکس از خوش زارع، ط، ۱۴۰۱)

۱۵-۲-۲ - واحدهای نفوذی نیمه عمیق:**۱-۱۵-۲-۲ - دیوریت پورفیری-لاتیت آندزیت (pdi):**

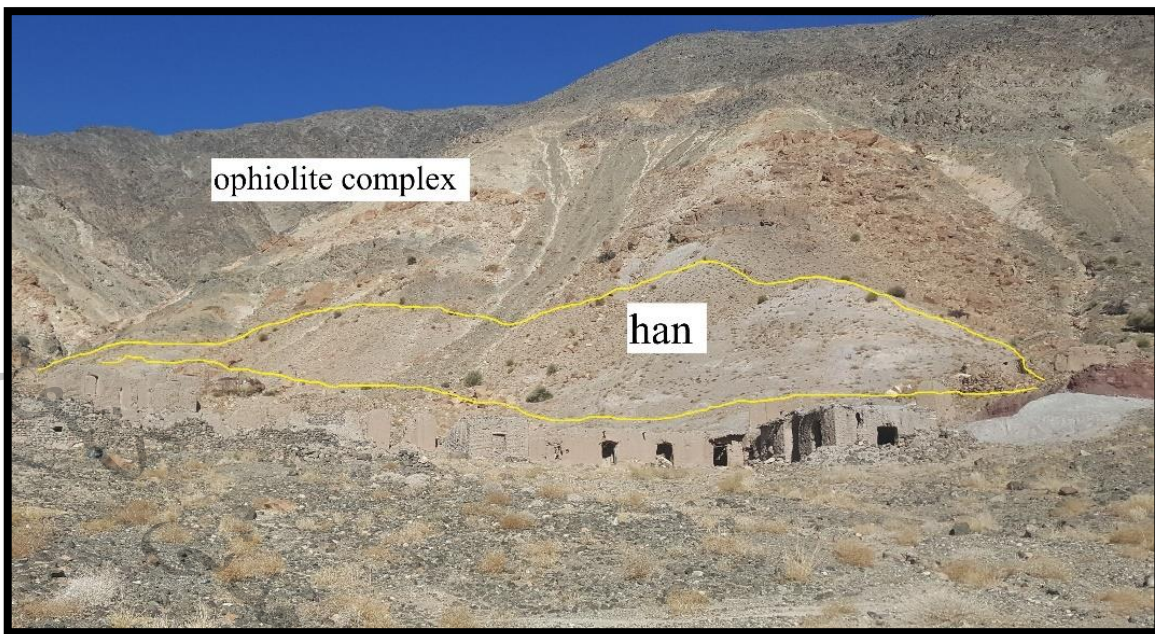
در باخته و جنوب باخته روستای زرگر در بخش شمال باخته برگه ۱:۵۰۰۰۰ کاهی، سنگهای ساب ولکانیکی رخمنون محدودی دارد که از دور نمایی شبیه دهانه آتششان دارند ولی در واقع در این قسمت سنگهای نیمه آتششانی به صورت کمپلکس‌های حلقوی و گنبد بیرون‌زدگی پیدا کرده‌اند (عکس ۳۹-۲).



عکس ۲-۳۹ - نمایی از توده pdi در جنوب روستای زرگر (عکس از خوش زارع، ط، ۱۴۰۱)

۲-۱۵-۲-۲ - هورنبلند آندزیت (han):

سنگ‌های تشکیل دهنده این واحد در محدوده سنج‌شناسی آندزیت پورفیری است. این سنگ‌ها در نمونه‌های دستی به رنگ خاکستری مایل به سبز و در سطح تازه به رنگ خاکستری می‌باشند و قطعات بیگانه (آنکلاو) داخل آن مشاهده می‌شود (عکس ۲-۴۰).



عکس ۲-۴۰- رخنمون محدود واحد نیمه عمیق han شمال روستای متروکه عربان. دید روبه شمال

(عکس از خوش زارع، ط، ۱۴۰۱)

۲-۲-۱۶- واحدهای دگرگونی:

۲-۲-۱۶-۱- واحد دگرگونی (mtdb):

ظهور کانی های دگرگونه نظیر اپیدوت، کلریت و اکتینولیت که سبزرنگ هستند، سیمای سبز به این

رخنمونها داده است (عکس ۲-۱۶-۱).



عکس ۲-۴۱- واحد دگرگونی mtdb. دید روبه شمال خاور (عکس از خوش زارع، ط، ۱۴۰۱)

۲-۱۶-۲-۲ - واحد دگرگونی (sch):

بخشی از واحدهای مجموعه افیولیتی و همچنین رسوبات فلیشی در هنگام جایگیری تکتونیکی آمیزه افیولیتی دچار دگرگونی ناحیه‌ای ضعیفی شده است. فرآیند دگرگونی ناحیه‌ای با تشکیل برگوارگی و پدیده چین خوردگی همراه بوده است و دگرگونی در رخساره شیست سبز می‌باشد (عکس ۴۲-۲).



عکس ۲-۴۲ - واحد دگرگونی sch. دید رو به شمال خاور (عکس از خوش زارع، ط. ۱۴۰۱)

۳-۱۶-۲-۲ - واحد دگرگونی (gsch):

در شمال خاوری کوه حسن آباد، واحدهای دگرگونی فشار بالا بصورت بسیار محدود و با روند شمال باختری-جنوب خاوری در بین مجموعه افیولیتی (واحد پریدوتیتی و هارزبورژیتی) دیده می شود (عکس ۴۳-۲).



عکس ۲-۴۳- رخمنون واحد دگرگونی گلکوفان شیست (gsch) دید رو به شمال (عکس از خوش زارع، ط، ۱۴۰۱)

۱۷-۲-۲- گسل‌های مهم منطقه مورد بررسی:

با توجه به اهمیت گسل‌ها در زمین شناسی اقتصادی و کانه‌زایی‌هایی که در امتداد آن‌ها صورت می‌گیرد، به بررسی سازوکار برخی از مهم‌ترین گسل‌های منطقه مورد بررسی که به لحاظ کانه‌زایی مهم بوده‌اند می‌پردازیم:

۱-۱۷-۲-۲- گسل خراشاد:

یکی از گسل‌های مهم منطقه مورد مطالعه گسل خراشاد واقع در شمال نقشه می‌باشد. این گسل را می‌توان محصور در پهنه گسل جنوب بیرون نهاد. موقعیت گسل اصلی خراشاد (که طول بیشتری دارد) در نیمه شمال باختری N130/45NE است. سازوکار آن راندگی می‌باشد. در پهنه برشی یاد شده سنگ‌های فلیشی به طور کامل خرد و هوازده شده و دارای آغشتگی به اکسید آهن و سیلیس (لیستونیتی) هستند (عکس ۴۴-۲).



عکس ۲-۴۴- راندگی در گسل خراشاد. دید رو به خاور (عکس از خوش زارع، ط، ۱۴۰۱)

۲-۱۷-۲-۲- گسل میناخون:

گسل میناخون در بین مرز جنوبی کوه باقران و دشت مختاران و در ۲۰۰ متری شمال روستای میناخون هم امتداد با روند کلی ساختار منطقه (شمال باختری-جنوب خاوری) N110/50NE قرار دارد و دارای عملکرد امتداد لغز با مولفه معکوس می‌باشد. این گسل مرز بین واحدهای افیولیتی در شمال با واحدهای تخریبی پلیوکواترنری جدا می‌کند. بر اثر عملکرد این گسل زون خرد شده‌ای که ایجاد گردیده، به عنوان میزبان مناسبی برای تجمع محلول‌های حاوی منیزیت می‌باشد که از اولترامافیک‌ها شسته شده‌اند (عکس ۲-۴۵).



عکس ۲-۴۵- صفحه گسل میناخون. منیزیت زایی در محل این صفحه مشهود می باشد. دید رو به شمال
(عکس از خوش زارع، ط، ۱۴۰۱)

۱۸-۲-۲- زمین‌شناسی اقتصادی:

در محدوده نقشه مورد مطالعه به تقریب توالی کاملی (هرچند در هم ریخته) از مجموعه افیولیتی نوع (هارزبورژیتی) وجود دارد. شناسایی این توالی نکته امید بخشی برای حضور ذخایر فلزی نظیر کرومیت، منیزیت و عناصر فلزی همراه لیستونیت‌ها و غیر فلزی مثل تالک است. نکته مهمی که باید ذکر شود اینکه با وجود واحدهای کنگلومراتی سست و نیز مصالح کوهی و رودخانه‌ای فراوان در این منطقه که می‌توان مقادیر قابل توجهی شن و ماسه استحصال کرد، ولی با توجه به وجود واحدهای افیولیتی و بویژه سرپانتینیت‌ها (سنگ‌های حاوی منیزیم که عامل مزاحم در بتون می‌باشد و مقاومت فشاری و تک محوری آن را به شدت کاهش می‌دهد) به هیچ عنوان نباید از این نوع مصالح در صنعت راه و ساختمان استفاده کرد.

۱۸-۲-۲-۱- کرومیت:

اگرچه در برداشت‌های صحرایی در محدوده نقشه اثر معدنی قابل توجهی از کانسار کرومیت مشاهده نشده و محدوده معدنی کرومیت نیز به ثبت نرسیده است. اما بررسی‌های بیشتر به ویژه به کار گیری روش‌های ژئوفیزیکی می‌تواند با کشف این ماده معدنی همراه باشد. به ویژه اینکه در مجموعه افیولیتی خاور ایران همچون افیولیت‌های سایر مناطق (بقایای پوسته اقیانوسی نئوتیس) وجود معادن کرومیت نظیر کرومیت بندان (در ۲۰۵ کیلومتری جنوب خاوری بیرجند)، کرومیت چاه پنج سر (در ۱۷۰ کیلومتری خاور بیرجند) و ... گزارش شده است (زرین کوب، ۱۳۷۹).

۲-۱۸-۲-۲- کانه زایی مس:

در برخی نقاط برگه کاهی آثار کانی زایی مس (احتمالاً مالاکیت) مشاهده می شود. که تعیین عیار و میزان ذخیره آن منوط به انجام آنالیزهای تکمیلی و برداشت‌ها دقیق‌تر می باشد. این آثار در چندین نقطه از جمله در جنوب خاور برج، جنوب باختری کوچ و جاده اکبرآباد به سمت دوراهی حسن آباد-میناخون بطور قابل ملاحظه‌ای دیده می شود (عکس ۲-۴۶).



عکس ۲-۴۶- آثار کانی زایی مس (مالاکیت-آزوریت) در منطقه مورد مطالعه (فیض، م، ۱۴۰۱).

۳-۱۸-۲-۲- تالک:

با توجه به حضور چشمگیر هارزبورژیت سرپانتینیت شده و سرپانتینیت در محدوده نقشه و از طرفی وضعیت تکتونیزه حاکم، زمینه پیشرفت دگرسانی سرپانتینی شدن (serpentinization) و تشکیل تالک (talc) را فراهم نموده است. کاوش بیشتر در قسمت‌های بهشت سرپانتینی شده که به عنوان واحد سرپانتینیت (talc) در نقشه آمده، به ویژه در نزدیک گسل‌ها می‌تواند به اکتشاف این ماده معدنی منجر شود (عکس ۲-۴۷).



عکس ۲-۴۷- سرپانتینیت در زون گسلی که می‌تواند مستعد اندیس تالک باشد. دید رو به خاور

(عکس از خوش زارع، ط، ۱۴۰۱)

۴-۱۸-۲- منیزیت:

کربنات منیزیم نمکی معدنی و پودری سفید رنگ با فرمول شیمیایی $MgCO_3$ است. کربنات منیزیم به عنوان کود و ماده آنتی اسید (در صناع دارویی) عمل کرده و از آن در ساخت موادی که قادر به تحمل درجه حرارت بسیار بالا هستند (دیرگذارها)، استفاده می‌شود. پاراژنرهای آن شامل کلسیت، دولومیت، آنکریت، تالک، کلسیت و دولومیت است. خراسان جنوبی بزرگترین ذخایر معدنی منیزیت کشور را دارد و با دارا بودن حدود هشتاد درصد ذخایر این ماده معدنی، قطب منیزیت کشور محسوب می‌شود. سنگ‌های اولترامافیکی غنی از منیزیم تحت تاثیر چرخه آب‌های گرم قرار گرفته و در شرایط مناسب دما و فشار منیزیت داخل زون‌های برشی گسل‌ها و یا کنگلومرای نئوژن، تزریق گردیده و موجب تشکیل رگه‌ها و رگچه‌های منیزیت می‌شود (عکس ۲-۴۸). همچنین در صورت محیا بودن شرایط، فرم گل کلمی تشکیل می‌شود (عکس ۲-۴۹). چگالی منیزیت نسبتاً بالاست و با توف‌های شیشه‌ای و سفید رنگ از لحاظ وزن حجمی، کاملاً متمایز می‌باشد.



عکس ۲-۴۸- منیزیت گل کلمی . دید رو به جنوب خاور. (عکس از خوش زارع، ط، ۱۴۰۱)



عکس ۲-۴۹- تشکیل منیزیت داخل واحد کنگلومرات نئوژن. (عکس از خوش زارع، ط، ۱۴۰۱)

فصل سوم: مطالعات دفتری

سازمان زمینه‌سازی و انتشار فایل معنی کشور

فصل سوم: مطالعات دفتری

۱-۳- مقدمه:

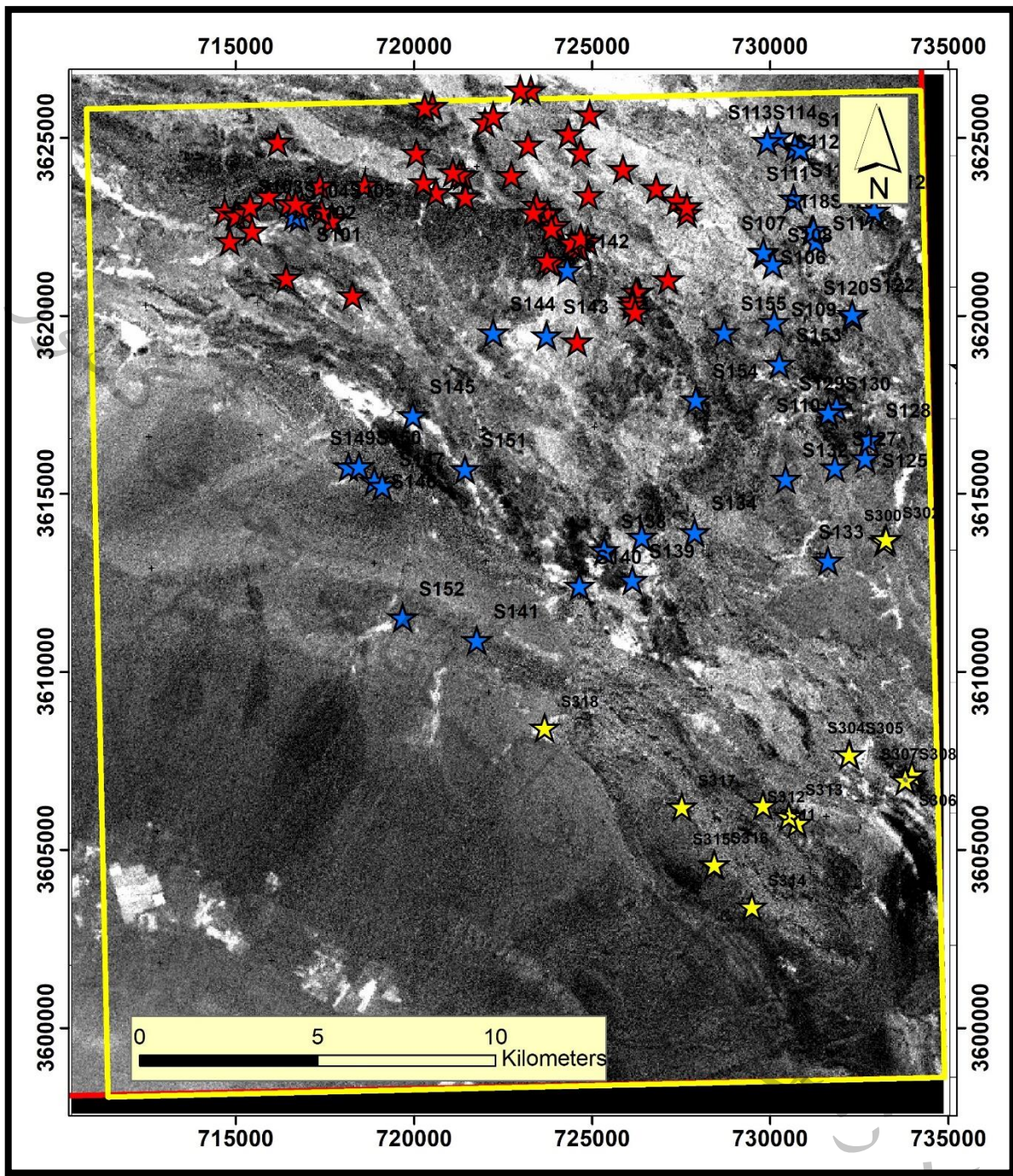
خلاصه‌ای از گزارش دور سنجی و نتایج آن توسط کارشناس مربوطه (احمدی روحانی، ر.) در ذیل آورده شده است:

۲-۳- تفسیر تصاویر ماهواره‌ای:

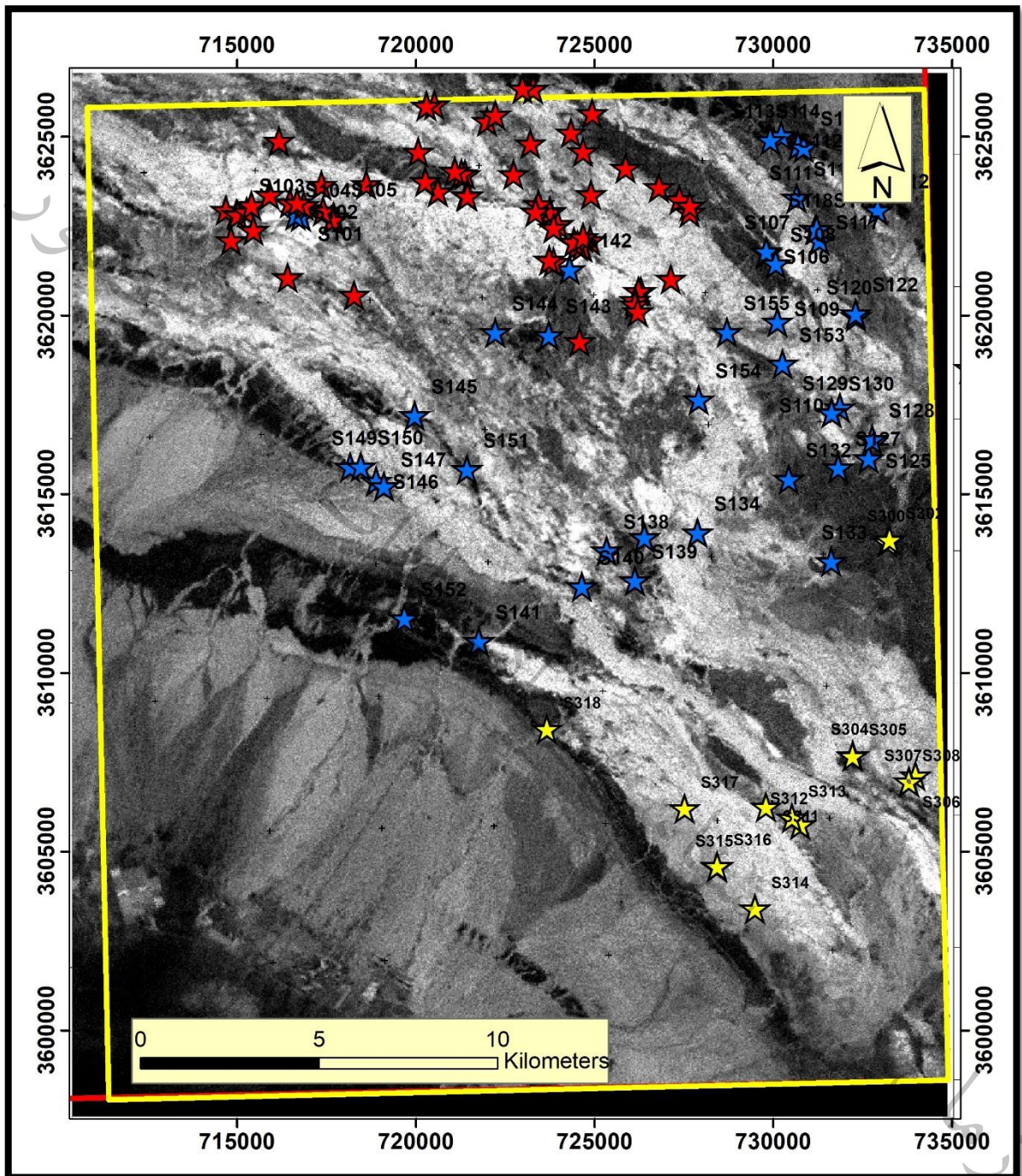
۳-۱- استفاده از ایندکس‌های آلتراسیونی با استفاده از داده‌های ASTER:

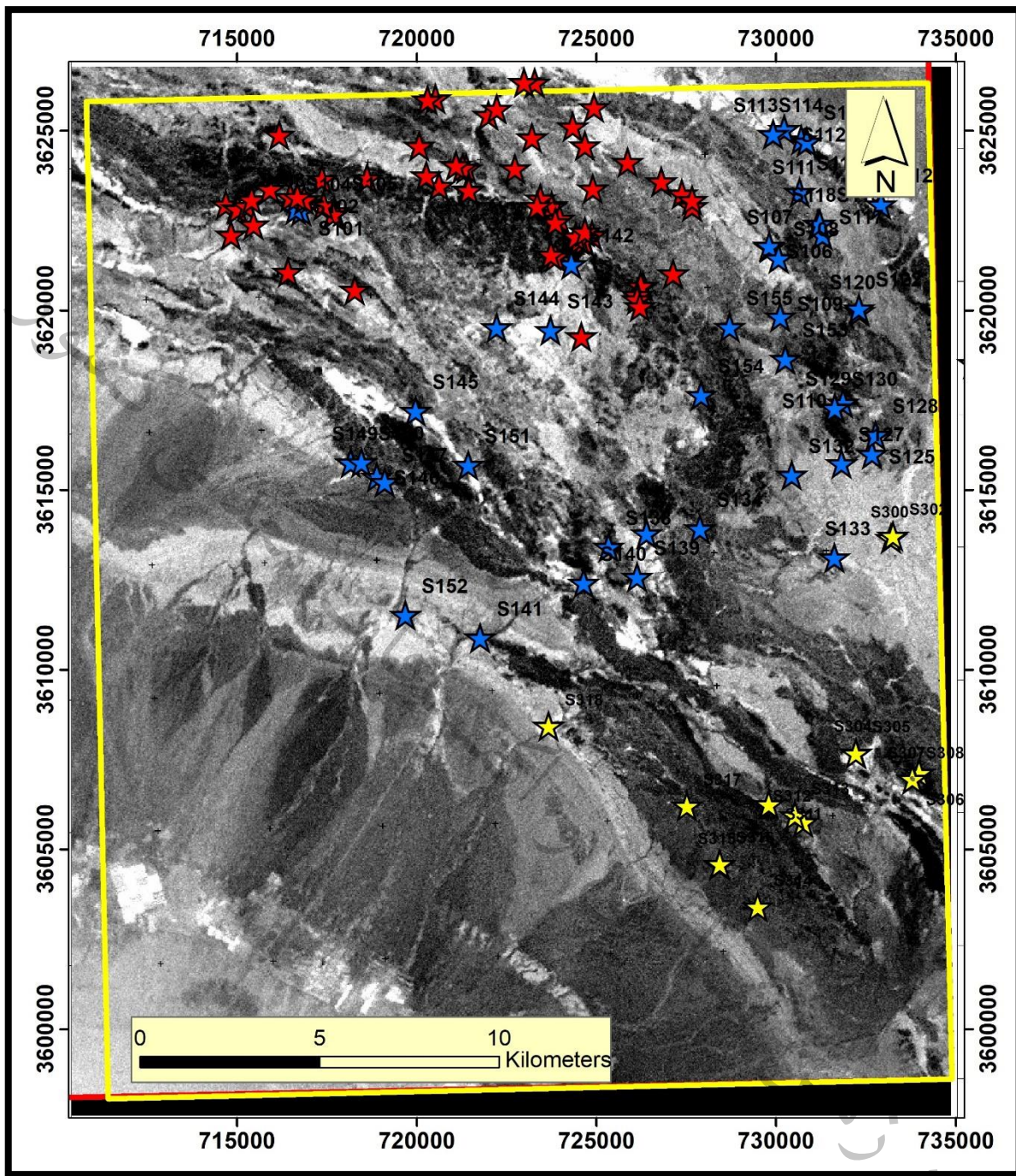
از ایندکس‌های آلتراسیونی که خود تابعی نسبتی به شمار می‌روند جهت بارزسازی برخی از آلتراسیون‌های محدوده اکتشافی استفاده گردید:

- از ایندکس (OHI) یا ایندکس مشخص‌کننده، کانی‌های دارای هیدروکسیل (OH)، برای مشخص نمودن کانی‌های دگرسانی رسی استفاده گردید (Pour and Hashim, 2011) شکل (۱-۳).
- از ایندکس (CLI) یا ایندکس مشخص‌کننده نواحی دارای کانی کلسیت که جهت بارز نمودن این کانی استفاده شد (شکل ۲-۳).
- محدوده‌های دارای آلتراسیون کائولینیتی در شکل (۳-۳) مشخص شده است که بیشتر در جنوب شرق منطقه متمرکز شده‌اند.
- در شکل (۴-۳) محدوده‌های دارای آلتراسیون آلونیتی (آرژیلیک پیشرفته) مشخص شده است که می‌تواند همراه با کانی‌سازی طلا مشاهده شود.

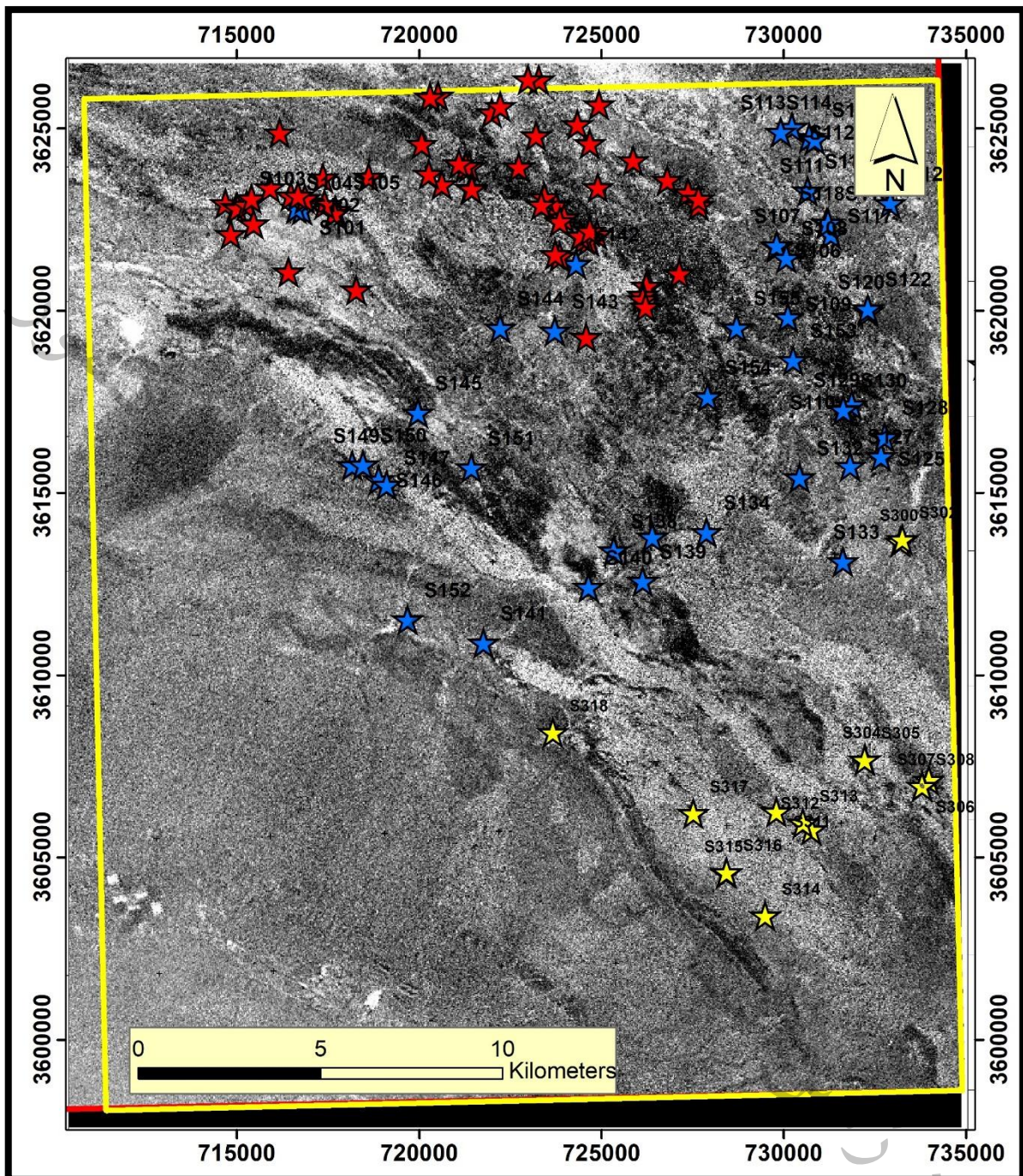


شکل ۳-۱- بارز سازی اندیس OHI در تصویر ماهواره Aster (احمدی، ر، ۱۴۰۱) و موقعیت نمونه های میز الیزه (توضیحات: ستاره های قرمز محل نمونه برداری در مرحله اول هستند. همچنین ستاره های آبی نمونه برداری مرحله دوم و ستاره های زرد موقعیت نمونه برداری مرحله سوم عملیات صحرا یی را نشان می دهد)





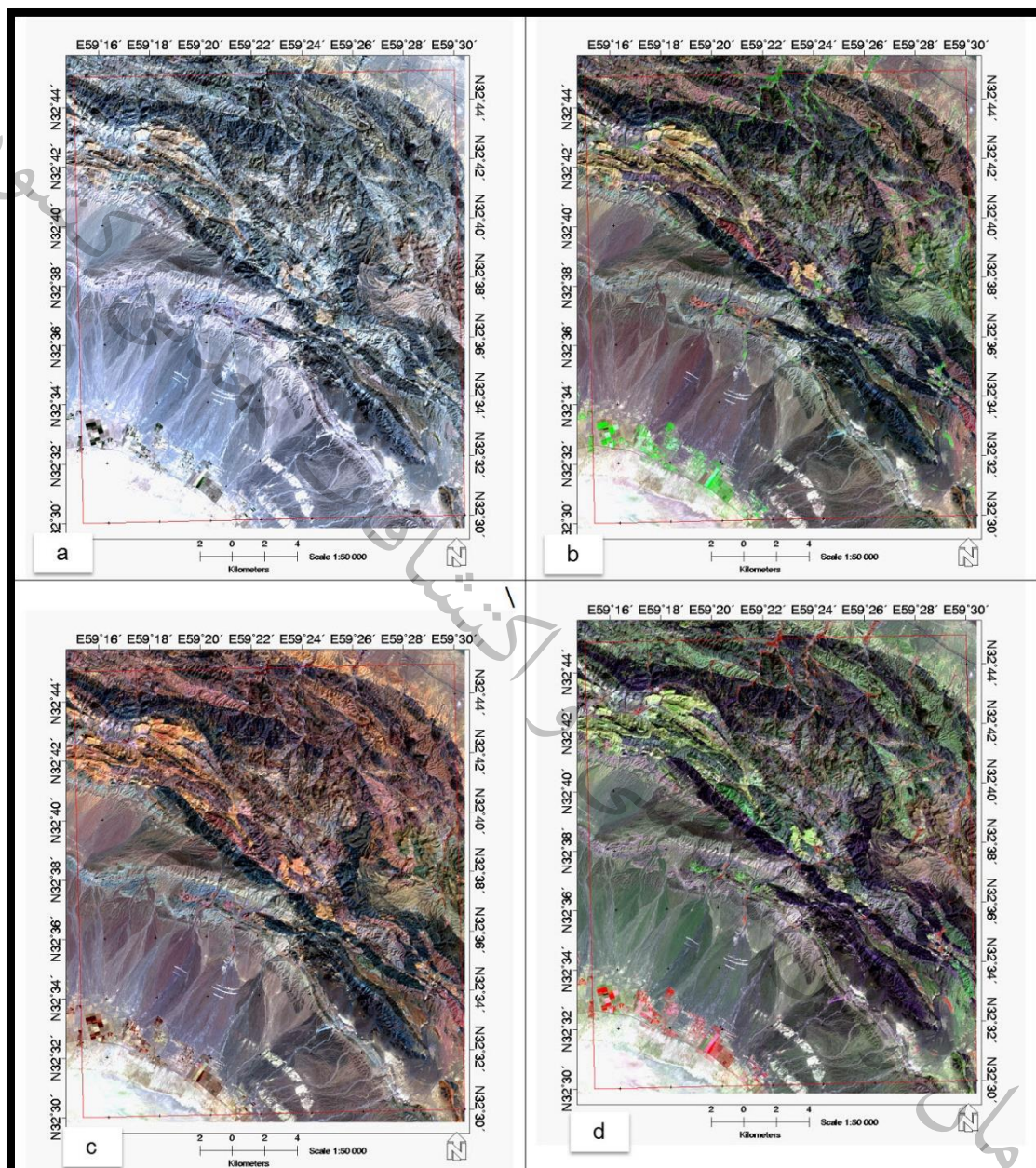
شکل ۳-۳- بارز سازی اندیس کائولن در تصویر ماهواره Aster (احمدی، ر..، ۱۴۰۱) و موقعیت نمونه های مینرالیزه (توضیحات: ستاره های قرمز محل نمونه برداری در مرحله اول هستند. همچنین ستاره های آبی نمونه برداری مرحله دوم و ستاره های زرد موقعیت نمونه برداری مرحله سوم عملیات صحراوی را نشان می دهد)



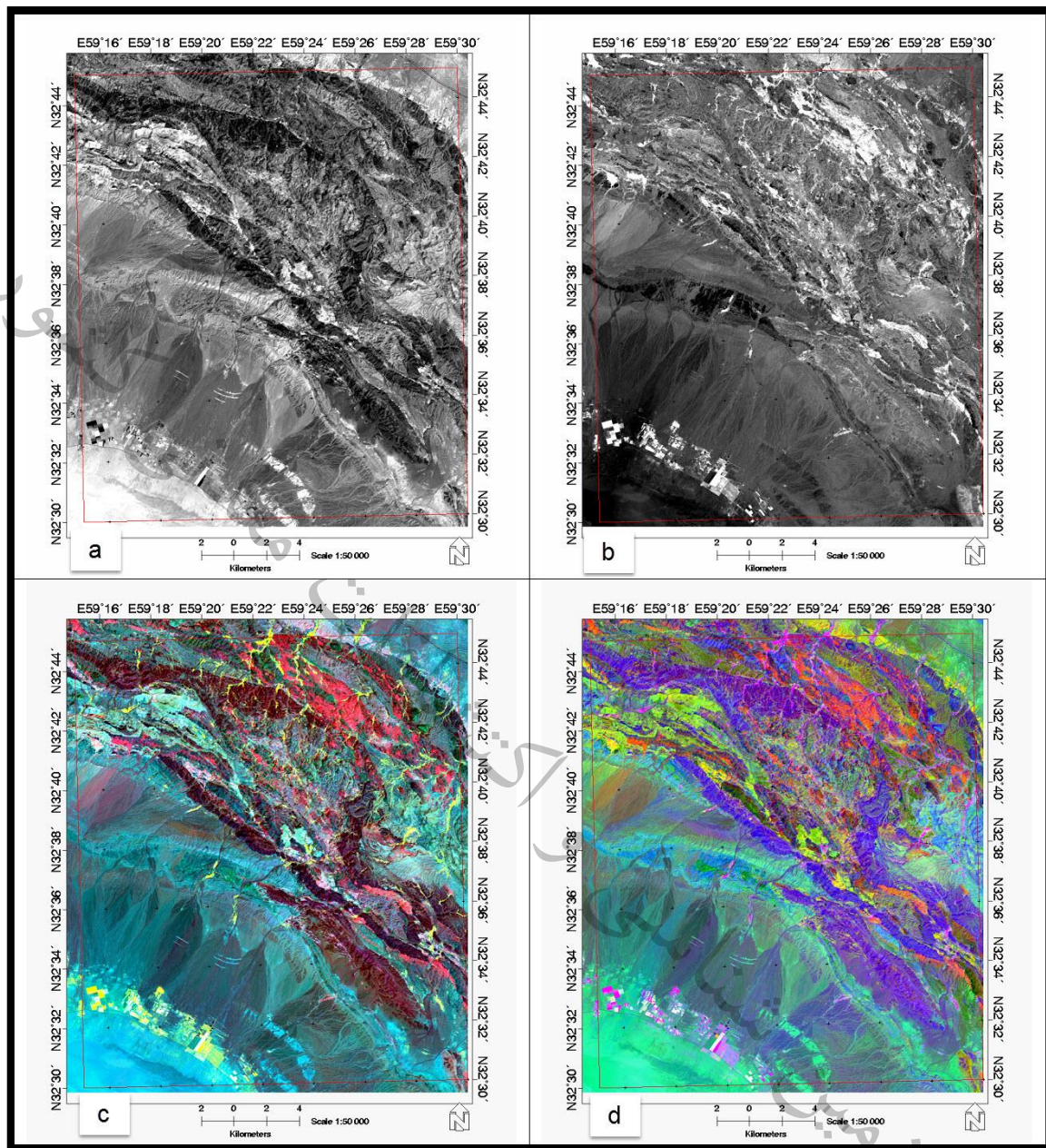
شکل ۳-۴- بارز سازی اندیس آلونیت در تصویر ماهواره Aster (احمدی، ر.، ۱۴۰۱) و موقعیت نمونه های مینرالیزه (توضیحات: ستاره های قرمز محل نمونه برداری در مرحله اول هستند. همچنین ستاره های آبی نمونه برداری مرحله دوم و ستاره های زرد موقعیت نمونه برداری مرحله سوم عملیات صحرا ایی را نشان می دهد)

۳-۲-۲- پردازش داده‌های لندست (۸):

به منظور پردازش و به دست آوردن اطلاعات دقیق از منطقه، از ترکیبات بلندی و نسبت بلندی‌های مختلف استفاده شد که نتایج ترکیب باندی در شکل ۳-۵ و نسبت باندی در شکل ۳-۶ آمده است.



شکل ۳-۵- پردازش داده‌های لندست ۸ (a) با استفاده از ترکیب بلندی (RGB) ۴۳۲، واحدهای موجودتا حدی تفکیک شده اند؛ (b) تصویر حاصل از پردازش ترکیب باندی (RGB) ۷۵۳ که در آن کانی‌های رسی روشن تر از بقیه واحدها دیده می‌شود. علاوه بر این، پوشش گیاهی به رنگ سبز و سنگ‌های گرانیتوئیدی به رنگ صورتی تیره تا صورتی مایل به سفید تفکیک می‌شوند. در این ترکیب رنگی، معمولاً واحدهای حاوی FeO , MnO به رنگ قهوه‌ای مایل به قرمز و بخش‌های دگرگونی (اسلیت و ماسه‌سنگ دگرگونی) به رنگ آبی متمایل به سورمه‌ای مشاهده می‌شوند؛ (c) در ترکیب باندی (RGB) ۶۴۲ سنگ‌های گرانیتوئیدی و سنگ‌های غنی از آهن به رنگ نارنجی تا قهوه‌ای، سنگ‌های دگرگونی به رنگ آبی تیره، واحدهای کربناتمه و نگنارنجی روشن و بخش‌های کائولینیتی به بنگ آبی تفکیک می‌شوند؛ (d) در ترکیب باندی (RGB) ۴۷۲ واحدهای حاوی اکسیدهای آهن تفکیک شده و به رنگ سبز مشاهده می‌شوند؛

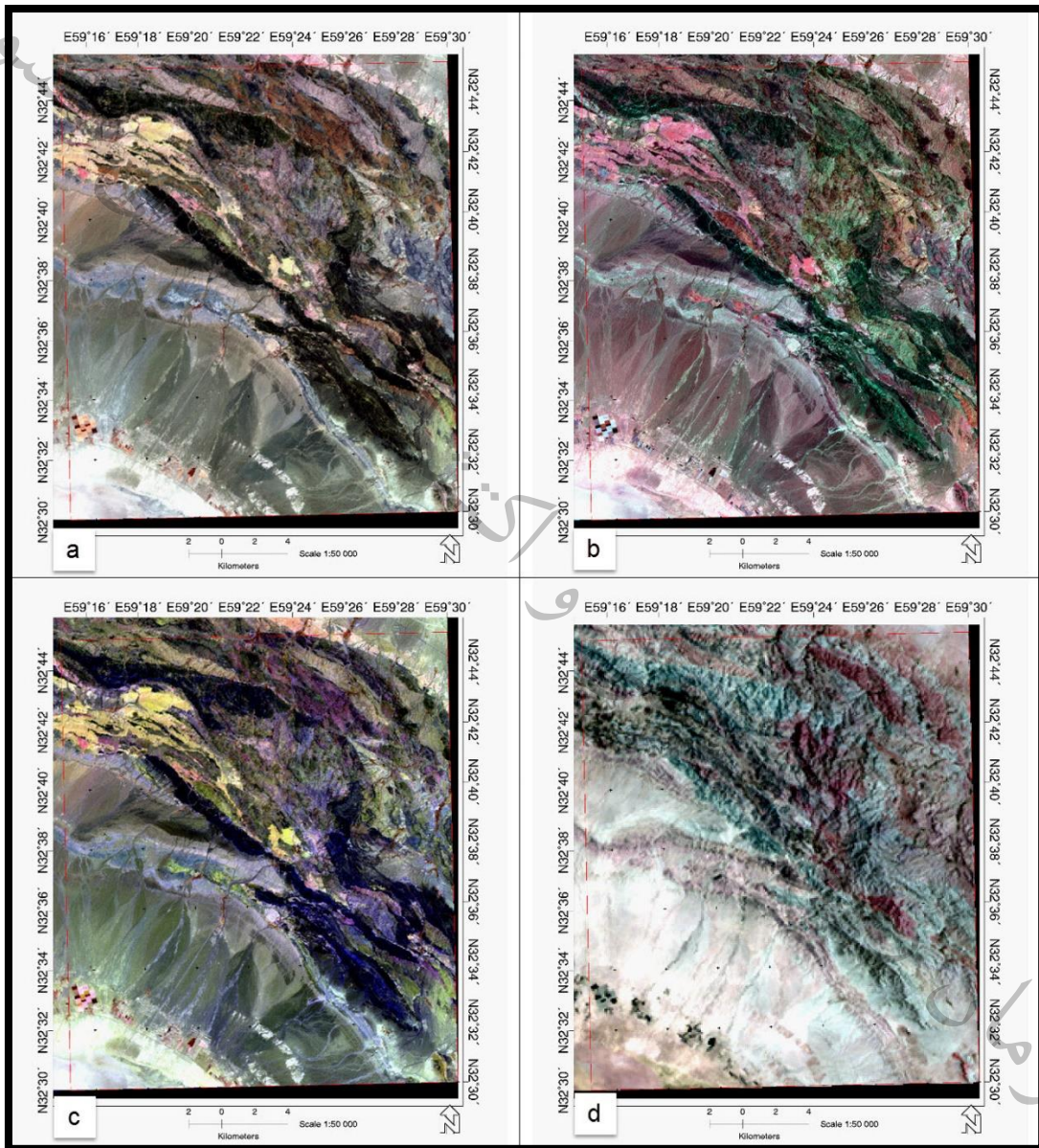


شکل ۳-۶- پردازش داده های لندست ۸ به روشن نسبت باندی (a) پردازش با هدف بارزسازی اکسیدهای آهن، بخش های روشن بخش های غنی از اکسید آهن هستند؛ (b) در این پردازش کانی های رسی به رنگ روشن نمایش داده شده است. (c) با استفاده از ترکیب نسبت باندی انجام شده (آبرام) بر روی تصاویر ASTER، مناطق با احتمال وجود آلتراسیون و کانی های رسی به رنگ قرمز تا صورتی نمایش داده شده و اکسیدهای آهن به رنگ آبی و سبز مشاهده می شود. پوشش گیاهی نیز به رنگ زرد-سبز مشخص شده است. (d) در ترکیب نسبت باندی فوق (آبرام)، نواحی غنی از کانی های رسی قرمز، بخش های غنی از کانی های رسی و آهن دار به رنگ زرد و نارنجی محدوده های غنی از آهن به رنگ سبز نمایش داده می شوند.

۳-۲-۳- پردازش داده‌های ASTER

۳-۲-۳-۱- پردازش داده‌های ASTER به روش ترکیب باندی:

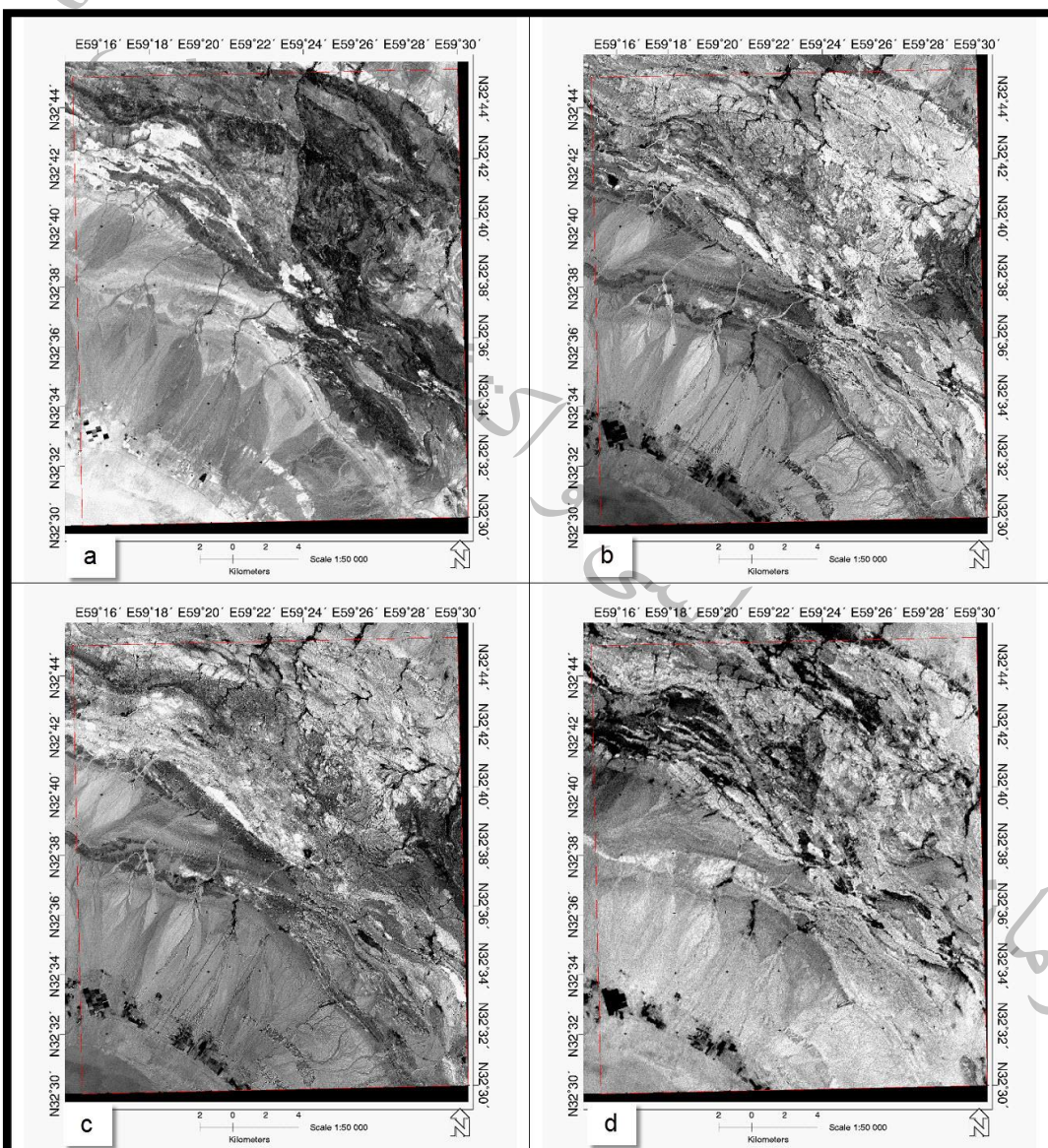
برای مشخص نمودن کانی‌ها و زون‌های دگرسانی در منطقه از روش ترکیب باندی و ترکیب باندهای مشخص از داده آماده‌سازی شده ASTER استفاده گردید. نتایج پردازش‌های انجام شده با روش ترکیب باندی با داده ASTER در شکل ۷-۳ آمده است.



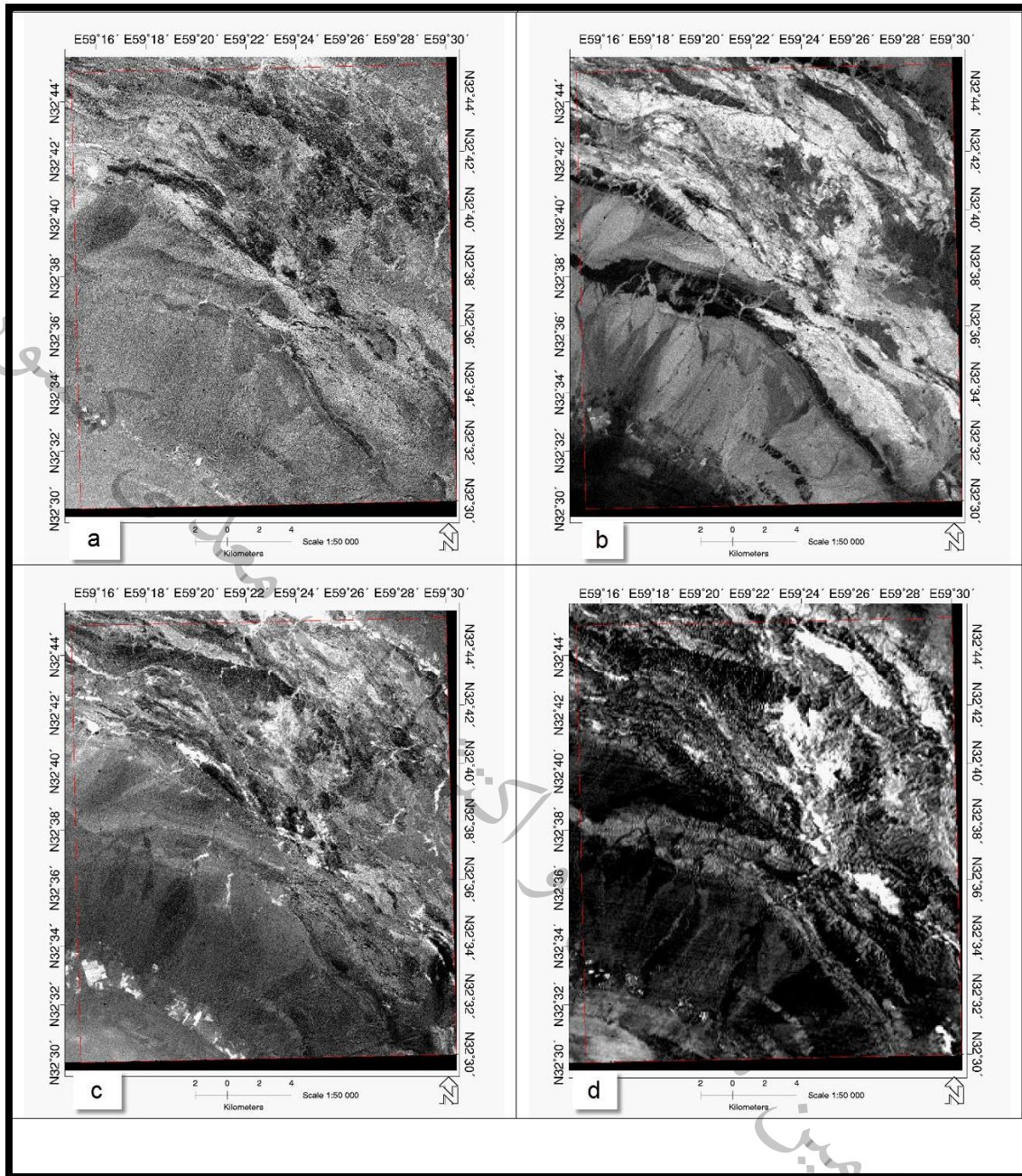
شکل ۳-۷- پردازش داده‌های ASTER با استفاده از روش ترکیب باندی (a) تفکیک آلتراسیون‌های پروپیلیتیک به رنگ سبز، آرژیلیک و فیلیک به رنگ صورتی، و کربنات به رنگ زرد با استفاده از روش ترکیب باندی (b)؛ (c) تصویر حاصل از پردازش ترکیب باندی (RGB) ۶۲۱ که در آن واحدهای زمین‌شناسی و لیتولوژیهای دارای ترکیبات آهن (قرمز تا قهوه‌ای) تفکیک شده‌اند؛ (d) پردازش حاصل از نسبت باندی ۴۶۱ جهت بارزسازی بخش‌های ولکانیکی (آندرزیتی) به رنگ آبی تیره، آلتراسیون پروپیلیتیک به رنگ سبز، فیلیک به رنگ صورتی و کربنات به رنگ زرد؛ پردازش ترکیب باندی ۱۰:۱۲:۱۳ جهت بارزسازی بخش‌های با میزان سیلیس بالا (واحدهای گرانیتی) به رنگ صورتی

۳-۲-۳- پردازش داده‌های ASTER جهت تهیه ایندکس‌های آلتراسیونی:

ایندکس‌های آلتراسیونی خود تابع نسبتی به شمار می‌روند. در شکل (۳-۸) ایندکس آلونیت جهت مشخص نمودن احتمال حضور کانی آلونیت (کانی دگرسان همراه با کانی سازی طلا سولفید بالا) اعمال گردید. از ایندکس CLI برای مشخص کردن نواحی دارای کانی کلسیت و برای شناسایی نواحی دارای واحدهای کربناته و دگرسانی کربناتی (اسکارن) استفاده می‌شود ایندکس OHI، برای مشخص کردن کانی‌های دارای عامل هیدروکسیل (OH) و کانی‌های رسی استفاده می‌شود. جهت مشخص نمودن توده‌های گرانیتی و بخش‌های میزان بالای کانی کوارتز از ایندکس کوارتز استفاده گردید.



شکل ۳-۸- پردازش داده‌های ASTER با هدف بارزسازی ترکیبات آهن (a) تفکیک محدوده‌های واجد کانیهای با عامل آهن فریک Fe³⁺؛ (b) تفکیک محدوده‌های واجد کانیهای با عامل آهن Ferric iron، Fe³⁺ به رنگ روشن؛ (c) تفکیک محدوده‌های واجد کانیهای دارای اکسید فریک Ferrous iron، Fe²⁺ به رنگ روشن؛ (d) تفکیک محدوده‌های واجد کانیهای دارای عامل سیلیکاتهای آهن با رنگ روشن.

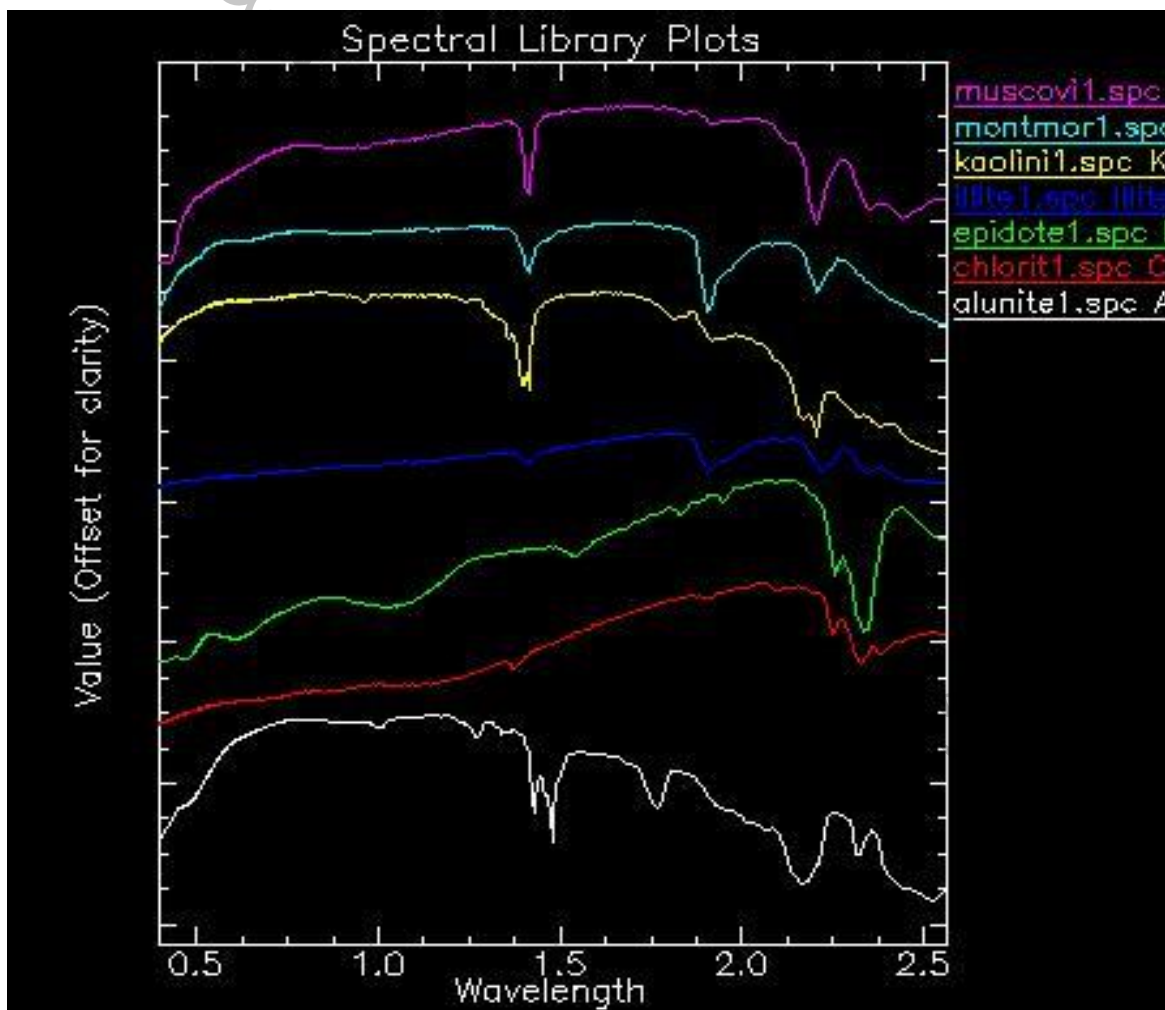


شکل ۳-۹- پردازش داده‌های ASTER با استفاده از ایندکس‌های آلتراسیونی (a) تفکیک محدوده‌های با احتمال حضور آلتراستیون‌های آلونیتی (زون آرژیلیک پیشرفت‌ه و احتمال کانی‌سازی طلا). (b) بارزسازی آلتراستیون و بخش‌های کربناته با بکارگیری ایندکس مشخص کننده کلسیت CLI (مناطق مستعد حضور اسکارن یا کربنات در پروپیلیتیک); (c) بارزسازی کانی‌های دارای هیدروکسیل (OH) کانی‌های رسمی؛ (d) بارزسازی نواحی با میزان سیلیس بالا (کانی کوارتز به میزان بالا)

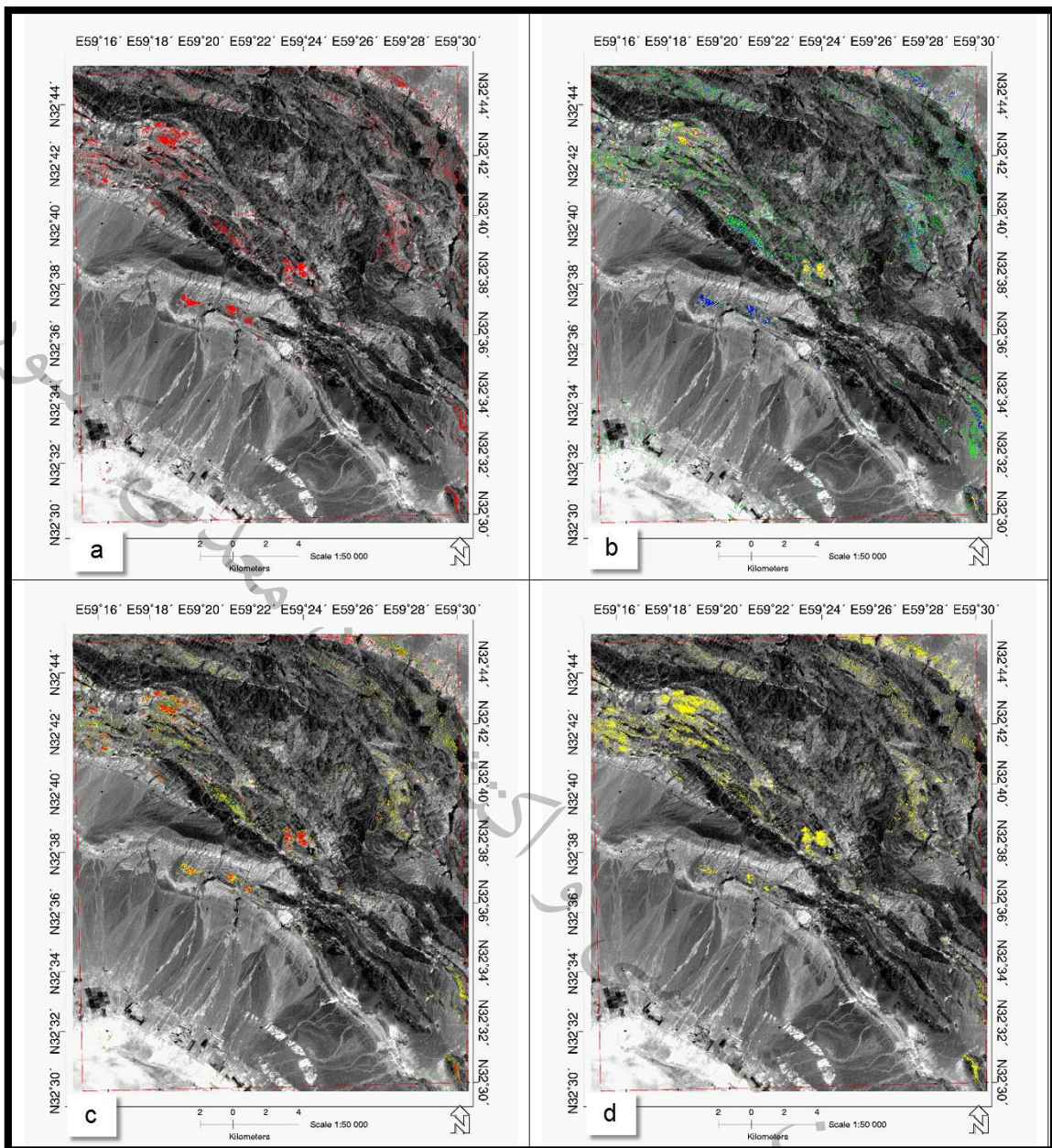
۳-۲-۳-۳- پردازش داده‌های ASTER با استفاده از آنالیز طیفی:

نقشه برداری زاویه طیفی، یک روش رده بندی طیفی می‌باشد که در طی آن شباهت بین طیف مرجع با طیف پیکسل به وسیله محاسبه زاویه بین طیف‌ها تعیین می‌شود. در آنالیز طیفی محدوده بیرون جند (۲)، نمودارهای طیفی کانی‌های نظیر آلونیت، کائولینیت، هماتیت، جاروسیت، گوتیت، کلریت، اپیدوت، ایلیت، مونت موریلونیت، سریسیت و لیمونیت به عنوان داده مرجع استفاده شد که نتایج برخی از آن‌ها در شکل ۱۰-۳ آمده است.

نتیجه حاصل از آنالیز طیفی برای کانی‌های آهن (a)، دگرسانی‌های همرا کانی سازی مس و پلی متال (b) دگرسانی‌های همرا کانی سازی طلا سولفیداسیون بالا شامل کانی‌های آلونیت، پیروفیلیت و جاروسیت (c) و بارزسازی کانی‌های گروه زون آرزیلیک (d) نیز در شکل ۱۱-۳ آورده شده است.



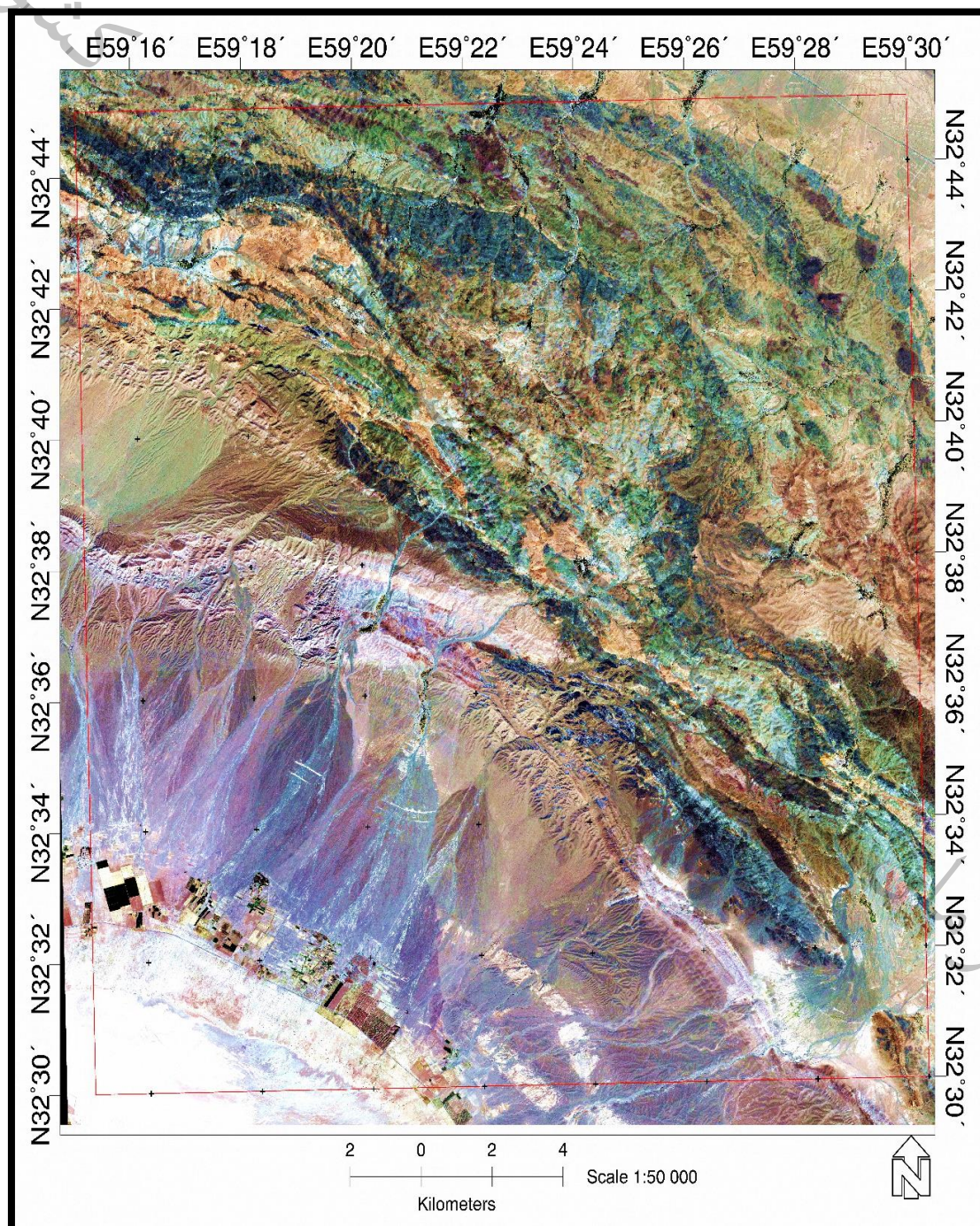
شکل ۳-۱۰- نمودار طیفی کانی‌های انتخاب شده جهت بارزسازی آلتراسیوون‌های مس و طلا در مرحله آنالیز طیفی از جمله: آلونیت، کائولینیت، سریسیت، ایلیت، مونت موریلونیت، کلریت و اپیدوت.



شکل ۳-۱۱- نقشه حاصل از پردازش داده ASTER به روش تحلیل طیفی SAM: (a) کانی‌های آهن دار (هماتیت به رنگ قرمز؛ گوتیت نارنجی؛ لیمونیت به رنگ زرد و ژاروسیت به رنگ بنفش). (b) دگرسانی‌های همراه کانی‌سازی مس (کلریت و اپیدوت به رنگ سبز؛ سربیسیت به رنگ بنفش؛ کائولینیت به رنگ زرد؛ مونتموریلوبونیت آبی پررنگ و ایلیت به رنگ آبی کم ونگ)، (c) دگرسانی‌های همراه کانی‌سازی طلا سولفیداسیون بالا شامل: کانی‌های آلونیت (قرمز)، پیروفیلیت (زرد) و جاروسیت (سبز) و در (d) بارزسازی کانی‌های زون آرژیلیک (کانی‌های رسی) آورده شده است.

۳-۲-۴- پردازش داده های با تفکیک مکانی بالا در محدوده اکتشافی:

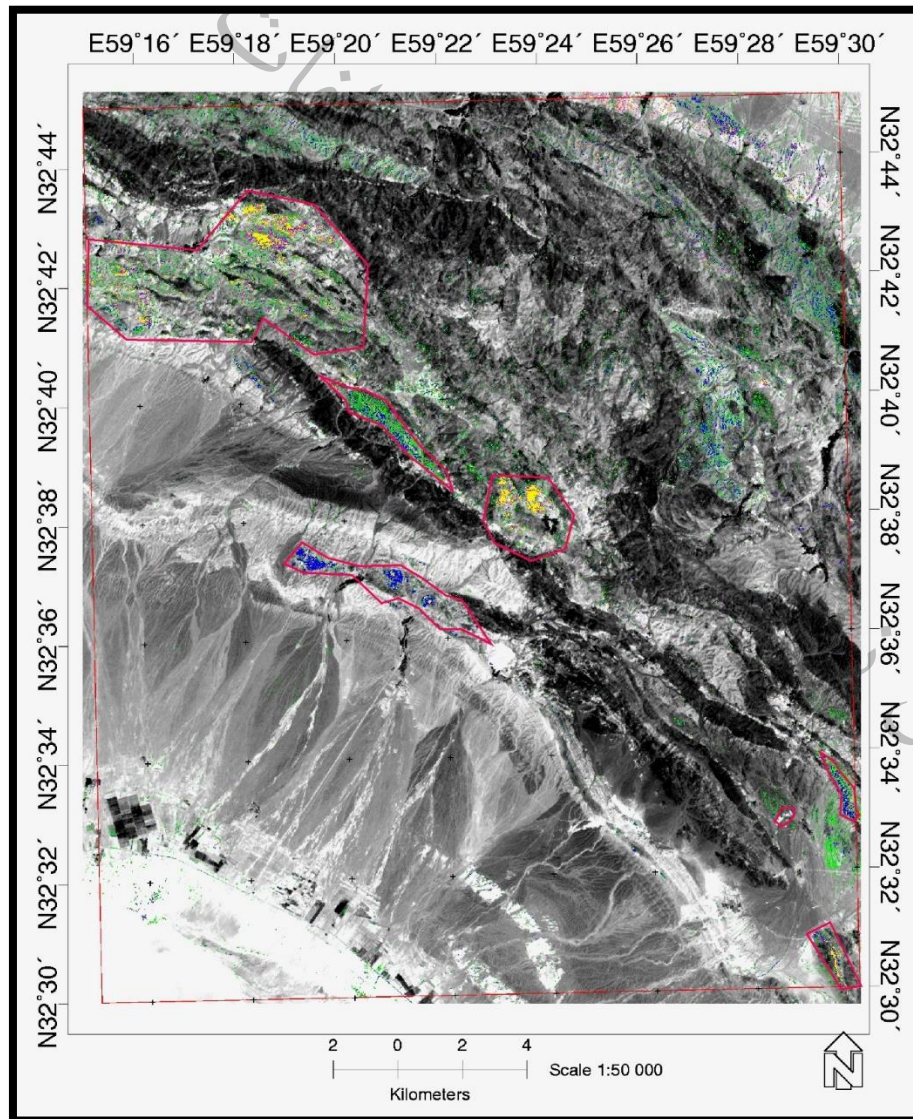
در محدوده بیرجند (۲) از داده های دارای تفکیک مکانی 50 سانتیمتر و 30 سانتیمتر استفاده شده است و با توجه به پردازش های انجام شده به نظر می رسد که از بهترین داده ها برای تهیه نقشه تفکیک واحد های زمین شناسی و برخی دگرسانی ها و تهیه نقشه به صورت بزرگ مقیاس در منطقه باشد. همچنین تفکیک مکانی بالای این تصاویر کمک بزرگی در تصمیم گیری های نهایی جهت شناسایی آnomالی های محدوده (به روش مهندسی معکوس) و تلفیق با سایر داده ها و برنامه ریزی نهایی باشد (شکل ۳-۱۲).



شکل ۳-۱۲- نقشه حاصل از پردازش داده با تفکیک مکانی بالا محدوده مورد مطالعه

۳-۲-۵- نتیجه‌گیری پردازش داده‌های ماهواره‌ای محدوده اکتشافی:

پردازش داده‌های Landsat 8 و ASTER و تفکیک مکانی بالا با به کارگیری انواع تکنیک‌های دورسنجی به خصوص روش آنالیز طیفی، نشان از احتمال حضور انواع دگرسانی در بخش‌های مختلف برگه بیرجند (II) دارد. این دگرسانی‌ها می‌تواند حاصل فرآیندهای کانی سازی و تکتونیکی تاثیر گذاشته از مجموعه واحدهای آذرین بروند یافته در چهارگوش برگه ۱:۵۰۰۰۰ بیرجند (II) باشد. بررسی و مطالعات دورسنجی ناحیه‌ای و منطقه‌ای نشانگر احتمال حضور زون‌های دگرسانی رسی (آرژیلیک)، سریسیتی (فیلیک) و پروپیلیتک در محدوده (به خصوص در جنوب، جنوب غرب و شمال غرب برگه) و همچنین حضور دگرسانی‌های لیستونیتی (در شمال شرق)، اکسید آهن و همچنین واحدهای کربناته در بخش‌های مختلف محدوده دارد. با توجه به دگرسانی‌های موجود، چند محدوده با اولویت بررسی جهت مطالعات بیشتر در محدوده بیرجند (II)، انتخاب شد (شکل ۳-۱۳).



شکل ۳-۱۳- اولویت‌های اکتشافی جهت مطالعات بیشتر در محدوده نقشه ۱:۵۰۰۰۰ بیرجند (II).

۳-۳- تفسیر نتایج اکتشافات ژئوشیمیایی برگه ۱:۱۰۰۰۰۰ بیر جند:

بر اساس نتایج اکتشافات ژئوشیمیایی در برگه ۱:۱۰۰۰۰۰ بیر جند، تعداد ۵۵۵ نمونه ژئوشیمیایی از این Mo, Cr, Co, Ni, Ti, Mn, Sr, Ba, Au, Fe, As, Sb, Bi, Hg, W, Cu, Pb, Sn, Ag, Zn برای تمام نمونه‌ها انجام گرفته است. تمرکز عناصر در اطراف ذخایرمعدنی اغلب به دلیل بالا بودن غلظت این عنصر نسبت به مقداری که اصطلاحاً مقدار زمینه نامیده می‌شود، آشکار می‌گردد. از این رو اگر مقدار زمینه یک عنصر یا گروهی از عناصر مورد نظر معین و شناخته شود، در آن امکان وجود یک ذخیره معدنی پنهانی ممکن است آشکار گردد. در بیشتر موارد اطراف نهشته‌های کانساری یک کاهش تدریجی در غلظت بعضی عناصر دیده می‌شود. این کاهش تا آنجا ادامه می‌یابد که تقریباً به یک حد ثابتی که همان مقدار زمینه است می‌رسد. بنابر این می‌توان گفت که هر آنومالی به وسیله منطقه‌ای که در آن غلظت یک عنصر خاص کم و بیش ثابت می‌باشد احاطه می‌گردد.

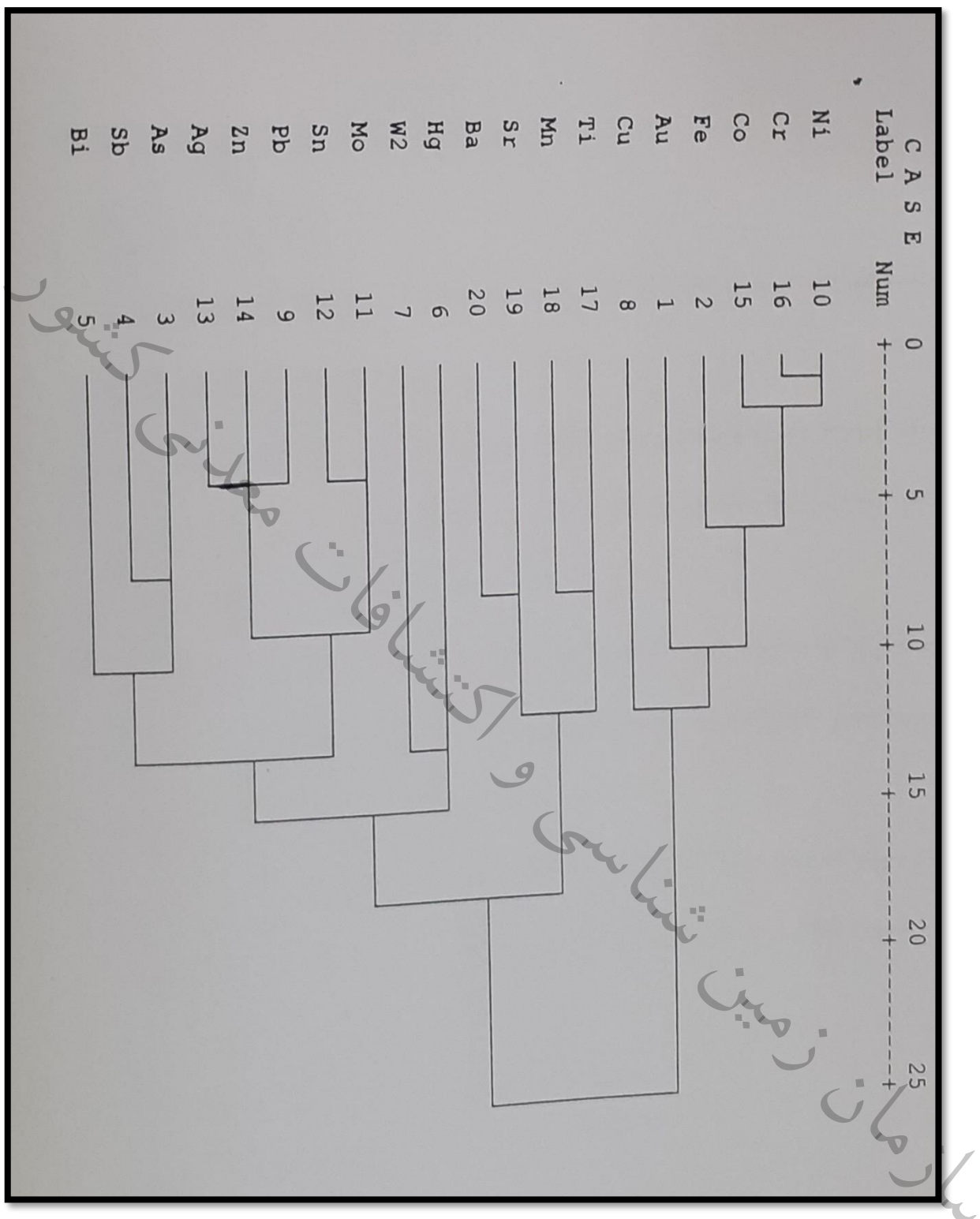
با تلفیق نقشه زمین شناسی برگه ۱:۱۰۰۰۰۰ بیر جند با پراکنده‌گی عناصری می‌توان عنوان نمود که:

- میانگین عنصر Au در تمام جوامع سنگی تقریباً یکسان است و تنها در مورد جوامع سنگی Oph, Ks-Oph, Et افزایش اندکی نشان می‌دهد.
- افزایش میانگین عنصر Fe در نمونه‌های مربوط به جوامع سنگی Oph, Ks-Oph, Et نسبت به سایر جوامع سنگی سبب افزایش محلی این عنصر شده است.
- افزایش میانگین عنصر As در نمونه‌های مربوط به جوامع سنگی Oph, Ks-Oph, Et نسبت به سایر جوامع سنگی سبب افزایش محلی این عنصر شده است.
- میانگین عنصر Sb در تمام جوامع سنگی تقریباً یکسان است.
- میانگین عنصر Bi در تمام جوامع سنگی تقریباً یکسان است.
- میانگین عنصر W, Hg در تمام جوامع سنگی تقریباً یکسان است.
- میانگین عنصر Cu در تمام جوامع سنگی تقریباً یکسان بوده و فقط در جوامع سنگی Oph و Ks-Oph افزایش کمی از خود نشان می‌دهد.
- میانگین عنصر Pb در تمام جوامع سنگی تقریباً یکسان است.
- در مورد عنصر Ni رخنمونه‌های سنگی Oph و Ks-Oph افزایش شدیدی از خود نشان می‌دهد به طوری که سبب افزایش محلی این عنصر شده است.
- میانگین عنصر Mo در تمام جوامع سنگی تقریباً یکسان است.
- میانگین عنصر Sn در تمام جوامع سنگی تقریباً یکسان است و فقط در جوامع سنگی Ks, Ngc-Et افزایش کمی از خود نشان می‌دهد.

- میانگین عنصر Ag در تمام جوامع سنگی تقریباً یکسان است.
- افزایش عنصر Zn در نمونه‌های مربوط به جامعه سنگی Ks, Ngc-Et نسبت به سایر جوامع سنگی سبب افزایش زمینه محلی این عنصر شده است.
- افزایش میانگین عنصر Co در نمونه‌های مربوط به Ks-Oph و Oph نسبت به سایر جوامع سنگی سبب افزایش زمینه محلی این عنصر شده است.
- زمینه محلی عنصر Cr بیشترین تاثیر را از جوامع سنگی Ks-Oph, Oph و Et گرفته است.
- افزایش میانگین عنصر Ti در نمونه‌های مربوط به جوامع سنگی An-Ks, Ks و An نسبت به سایر جوامع سنگی سبب افزایش زمینه محلی این عنصر شده است.
- میانگین عنصر Mn در تمام جوامع سنگی تقریباً یکسان است.
- میانگین عنصر Sr در جوامع سنگی Ngc-Et و An-Et بیشتر از سایر جوامع سنگی است و در نتیجه تاثیر بیشتری بر افزایش زمینه محلی این عنصر دارد.
- میانگین عنصر Ba در تمام جوامع سنگی به جز جوامع سنگی An, An-Et که مقدار بالاتری دارند، یکسان است.

نتایج حاصل از آنالیز خوش‌های نشان دهنده ۳ گروه اصلی است که بیانگر ارتباط پارازنزی بین عناصر می‌باشد (شکل ۵-۳):

- گروه اول شامل عناصر Cu, Au, Fe, Co, Cr, Ni و Cr می‌باشد. در این گروه عناصر Ni و Cr بیشترین ارتباط و تشابه را نشان می‌دهند. این دو خود به عنصر Co متصل می‌شوند و سه عنصر Cr, Co, Cr, Fe به Ni متصل می‌شوند و در نهایت به عنصر Au و سپس به عنصر Cu متصل می‌شوند.
- گروه دوم شامل عناصر Ba, Sr, Mn, Ti (Mn, Ti) و (Ba, Sr) همبستگی بیشتری با هم نشان می‌دهند.
- گروه سوم شامل عناصر Bi, Sb, As, Ag, Zn, Pb, Zn, Sn, Mo, W, Hg می‌باشد. عناصر Sn, Mo بیشترین تشابه و ارتباط را نشان می‌دهند و همبستگی بالایی با هم دارند.



شکل ۳-۱۴- دیاگرام آنالیز خوش‌های برای عناصر مختلف در برگه ۱:۱۰۰۰۰۰ بیرجند

هدف از اکتشافات ناحیه‌ای شناخت نواحی با پتانسیل معدنی است. با استفاده از نتایج آنالیز رسوبات آبراهه‌ای و کانی سنگین در برگه ۱:۱۰۰۰۰ بیرجند ۹ منطقه آنومال معرفی شد که فقط ۳ تا از آن‌ها در برگه ۱:۵۰۰۰ کاهی قرار می‌گیرد (شکل ۳-۶):

الف- آنومالی شماره (۳):

این آنومالی در منطقه غرب بهدان قرار داشته و مساحت تقریبی آن ۲۵ کیلومتر مربع می‌باشد. سنگ‌های بالادست آن شامل آمیزه‌های رنگین، سنگ‌های اسپیلیتی (در برخی قسمت‌ها با ساخت بالشی)، مارن، ماسه سنگ، شیل، پریدوتیت، سنگ آهک و در برخی قسمت‌ها دیوریت با حاشیه آندزیتی می‌باشد. دگرسانی از نوع لیمونیتی، لیستونیتی و پروپلیتی می‌باشد. در این محدوده عناصر As, Co, zhg, Mn, Ni, Sb, Ti, W ناهنجاری نشان می‌دهند. بر اساس مطالعات کانی سنگین، کانی‌های مگنتیت، هماتیت، کرومیت، پیروکسن، پیریت اکسید، زیرکن، روتیل، باریت، جاروسیت، لوکوکسن، کانی‌های سبک، لیمونیت، سیتابر، اپیدوت و کانی‌های آلت‌ره مشاهده شدند.

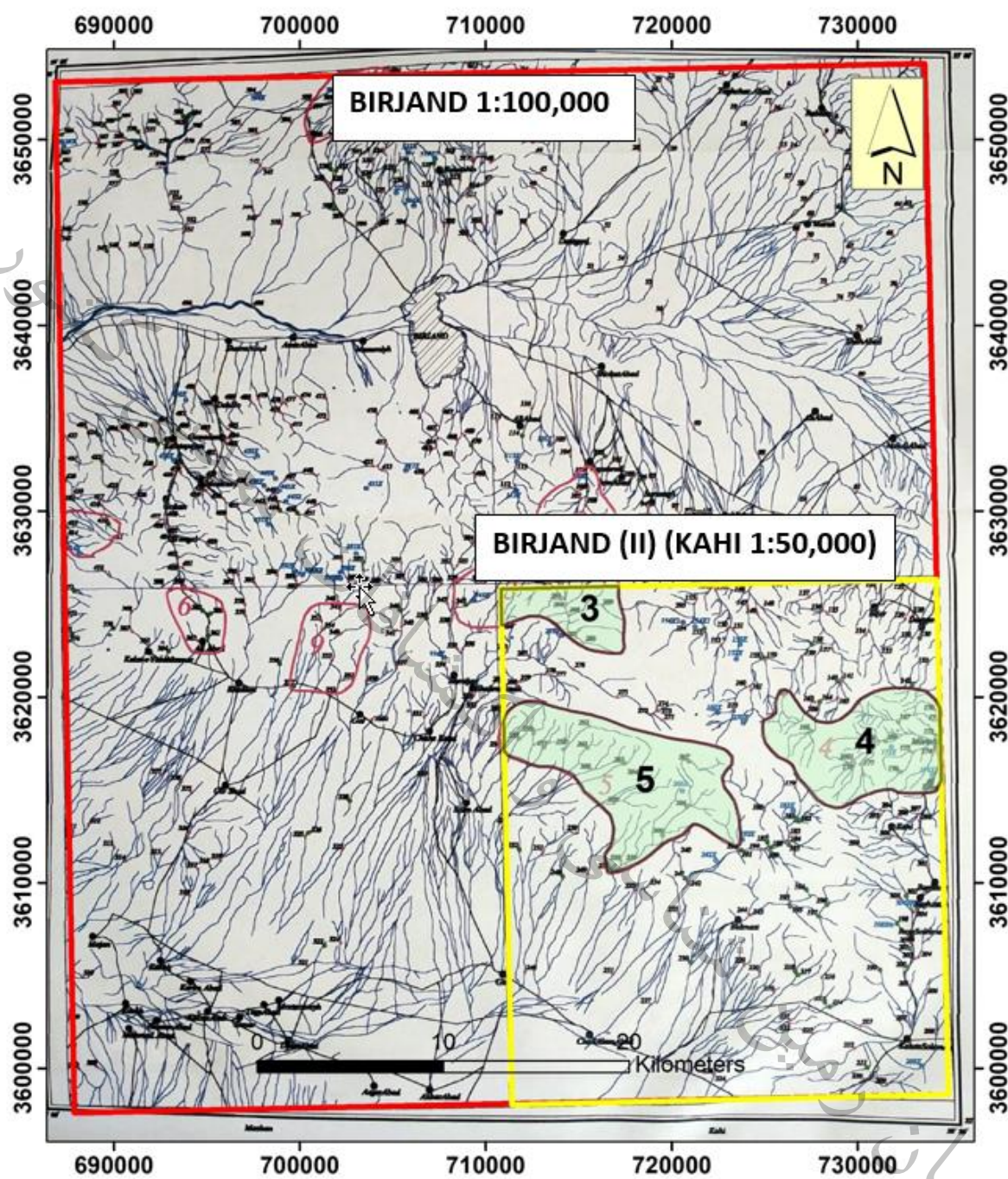
ب- آنومالی شماره (۴):

این آنومالی در منطقه شمال کاهی (برگه ۱:۵۰۰۰ کاهی) قرار داشته و مساحت تقریبی آن ۳۵ کیلومتر مربع می‌باشد. سنگ‌های بالادست آن شامل شیل، شیل‌های فیلیتی، ماسه سنگ، توف ماسه‌ای، بازالت، سنگ اسپیلیتی با ساخت بالشی، آمیزه رنگین و به مقدار کم پریدوتیت و تراس‌های قدیمی است. دگرسانی از نوع کلریتی، سرپانتینی، پروپلیتی، لیستونیتی و آرژیلیتی می‌باشد. در این منطقه عناصر Au, Ag, Co, Cr, Ni, Cu, Hg, Mn, Sn, Ti, Zn مگنتیت، هماتیت، کرومیت، گارنت، پیروکسن، پیریت اکسید، زیرکن، روتیل، باریت، ملاکیت، اپیدوت، جاروسیت، مارکاسیت، کانی‌های سبک، کانی‌های آلت‌ره، پیریت، لوکوکسن، ایلمنیت مشاهده شدند.

پ- آنومالی شماره (۵):

این آنومالی در منطقه شمال غرب بیدمیست (برگه ۱:۵۰۰۰ کاهی) قرار داشته و مساحت تقریبی آن ۴۰ کیلومتر مربع می‌باشد. سنگ‌های بالادست آن شامل توف و مارن توفی، تراس‌های قدیمی، پریدوتیت، بازالت با ساخت بالشی، لیستونیت، سرپانتینیت و پریدوتیت هستند. دگرسانی از نوع آرژیلیتی، لیمونیتی، پروپلیتی و سرپانتینیتی می‌باشد. در این منطقه عناصر Au, Ba, Cu, Co, Ag, As, Ti, Sn, Ni, Mn, Fe, Cr ناهنجاری نشان می‌دهد. بر اساس مطالعات کانی سنگین در این آنومالی کانی‌های مگنتیت، هماتیت، کرومیت، گارنت، پیروکسن، زیرکن، روتیل، باریت، سیدریت، اپیدوت، پریدوتیت، لیمونیت، لوکوکسن، کانی‌های سبک، پیریت، اسفن، اولیژیست، آمفیبول، پیریت و کانی‌های آلت‌ره مشاهده شدند.

Potential map of Birjand 1:100,000 Geochemical sheet



شکل ۳-۱۵- قرارگیری آنومالی‌های ژئوشیمیایی ۳ و ۴ و ۵ مربوط به برگه ۱:۱۰۰۰۰۰ بیرجند در برگه ۱:۵۰۰۰۰ کاهی (حدوده زرد رنگ)

بر اساس نقشه‌های آنومالی فاکتوری در برگه ۱:۱۰۰۰۰۰ بیرجند(شکل‌های .. تا ..) می‌توان شش (۶)

فاکتور ژئوشیمیایی به ترتیب زیر جدا نمود (شکل‌های ۷-۳ تا ۱۲-۳):

• (فاکتور ۱) Au, Fe, Ni, Co, Cr

• (فاکتور ۲)، Pb, Mo, Sn, Ag, Zn

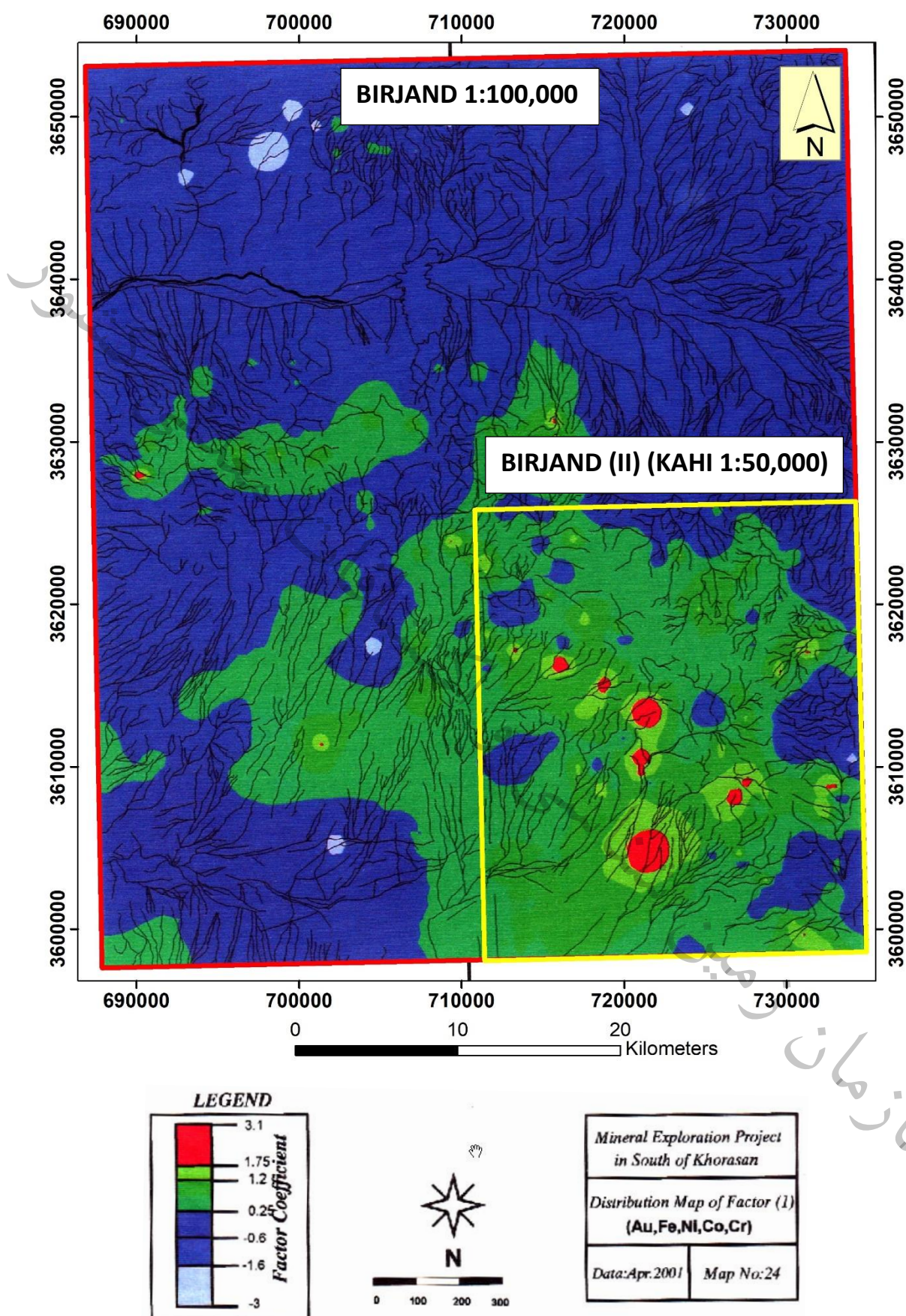
• (فاکتور ۳) As, Sb, Bi

• (فاکتور ۴) Mo, Hg

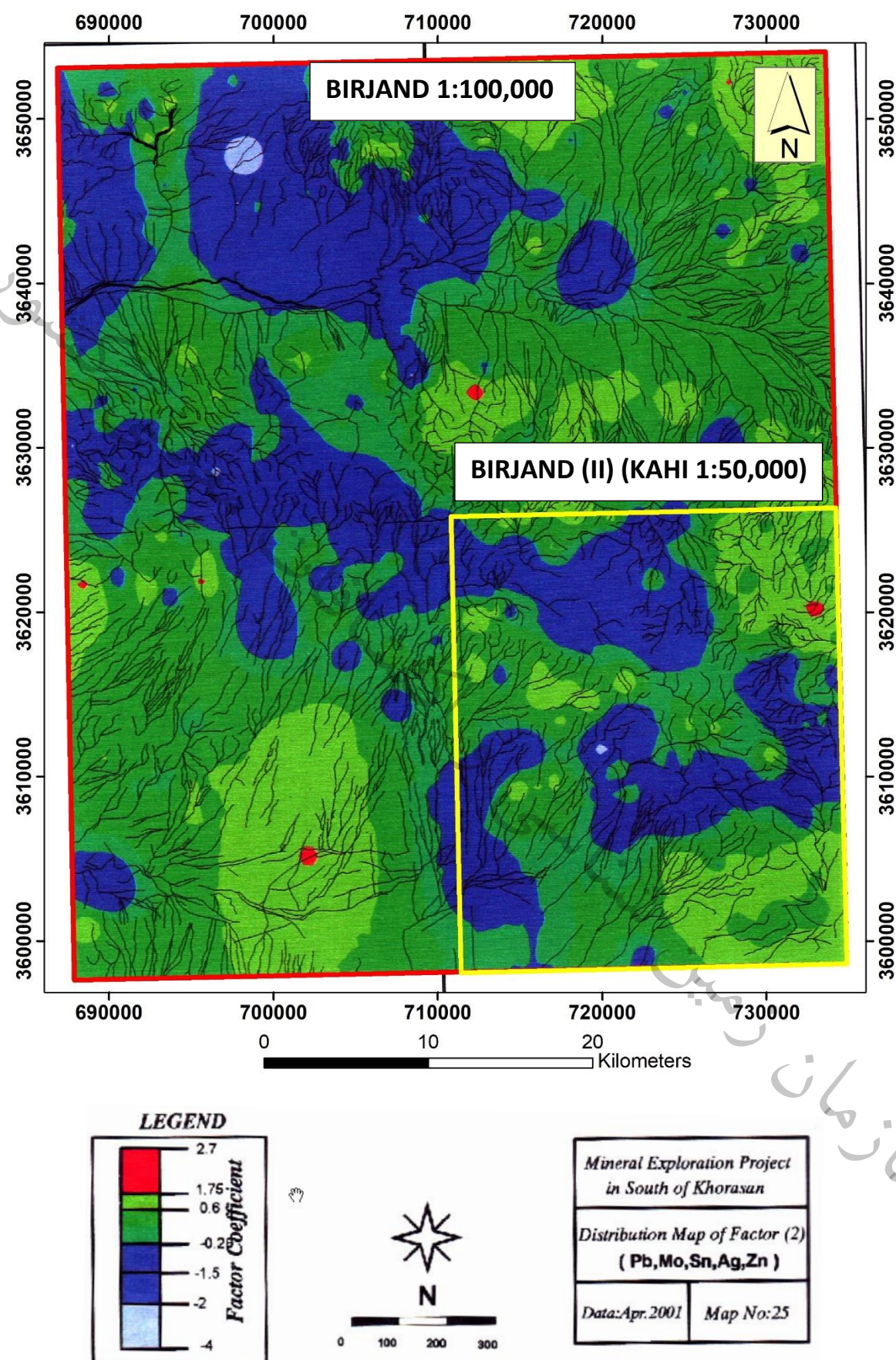
• (فاکتور ۵) Mn

• (فاکتور ۶) Cu

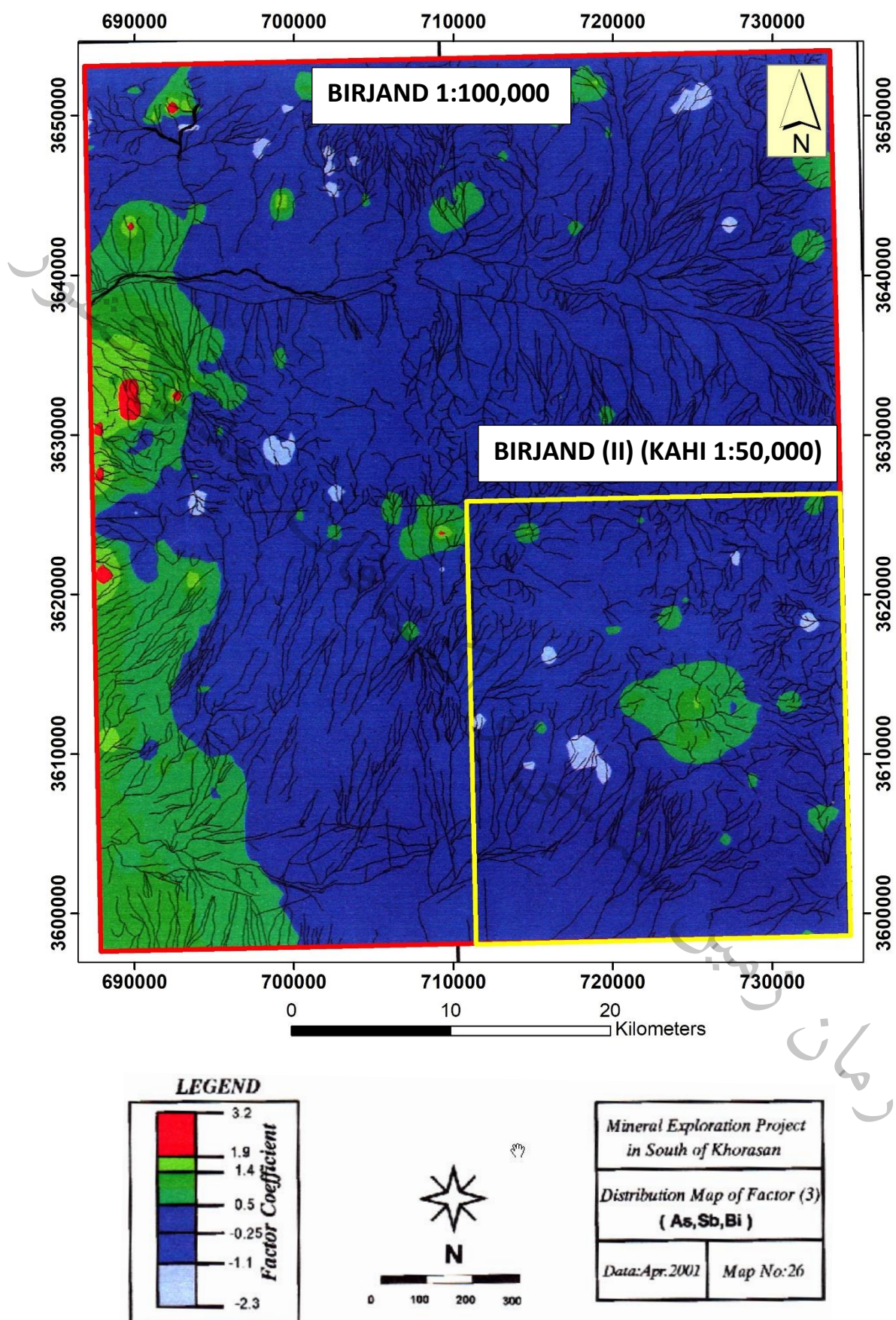
همچنین در این آنومالی‌های فاکتوری، نمونه‌های مینرالیزه برداشت شده در برگه ۱:۵۰۰۰ کاهی (بیرجند ۲) نیز بر روی آن‌ها درج شده است تا پراکندگی نمونه برداری روی این نقشه‌ها نیز مشخص گردد (شکل‌های ۱۳-۳ تا ۱۸-۳).



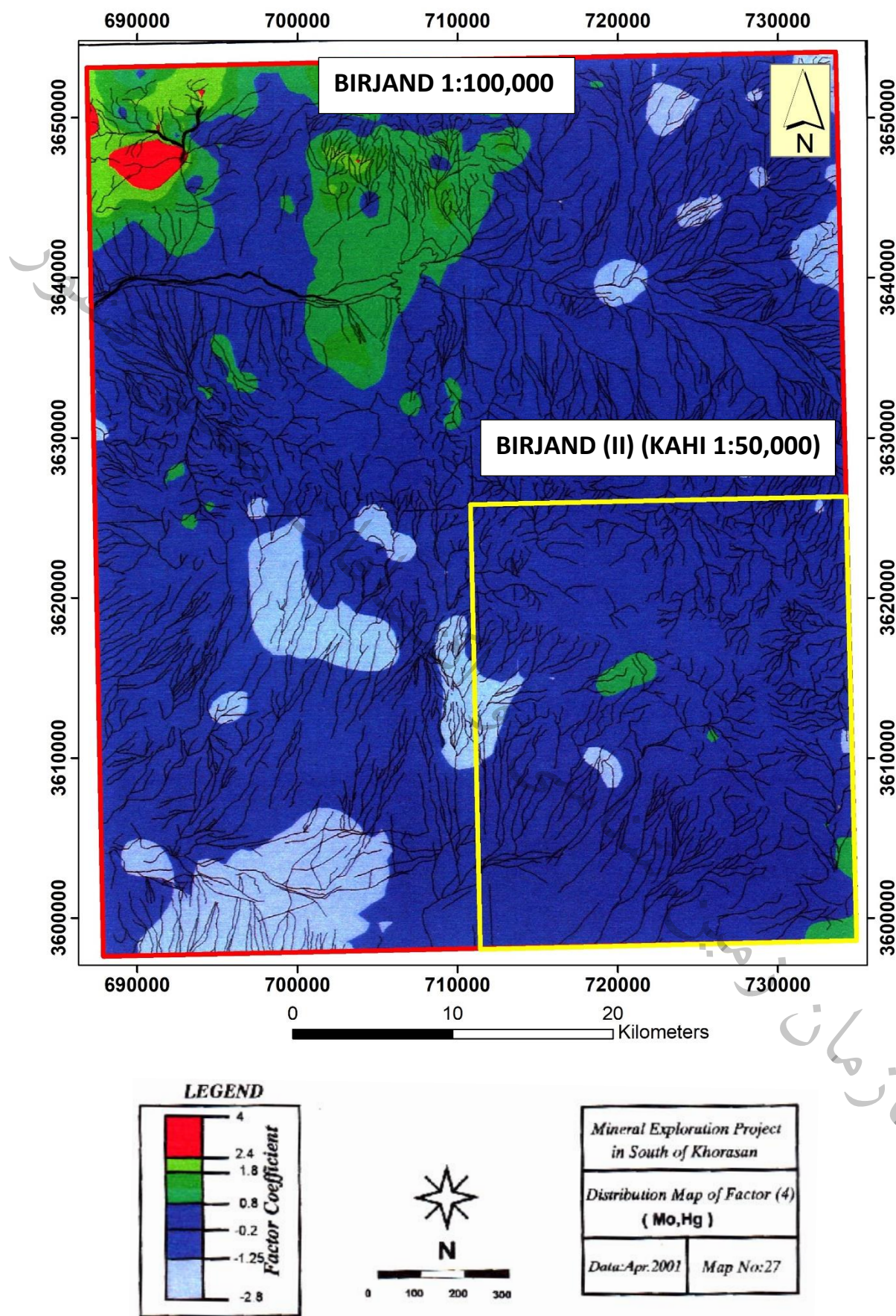
شکل ۳-۱۶- قرارگیری آنومالی‌های ژئوشیمیابی فاکتوری (۱) مربوط به برگه ۱:۱۰۰۰۰۰ بیرجند



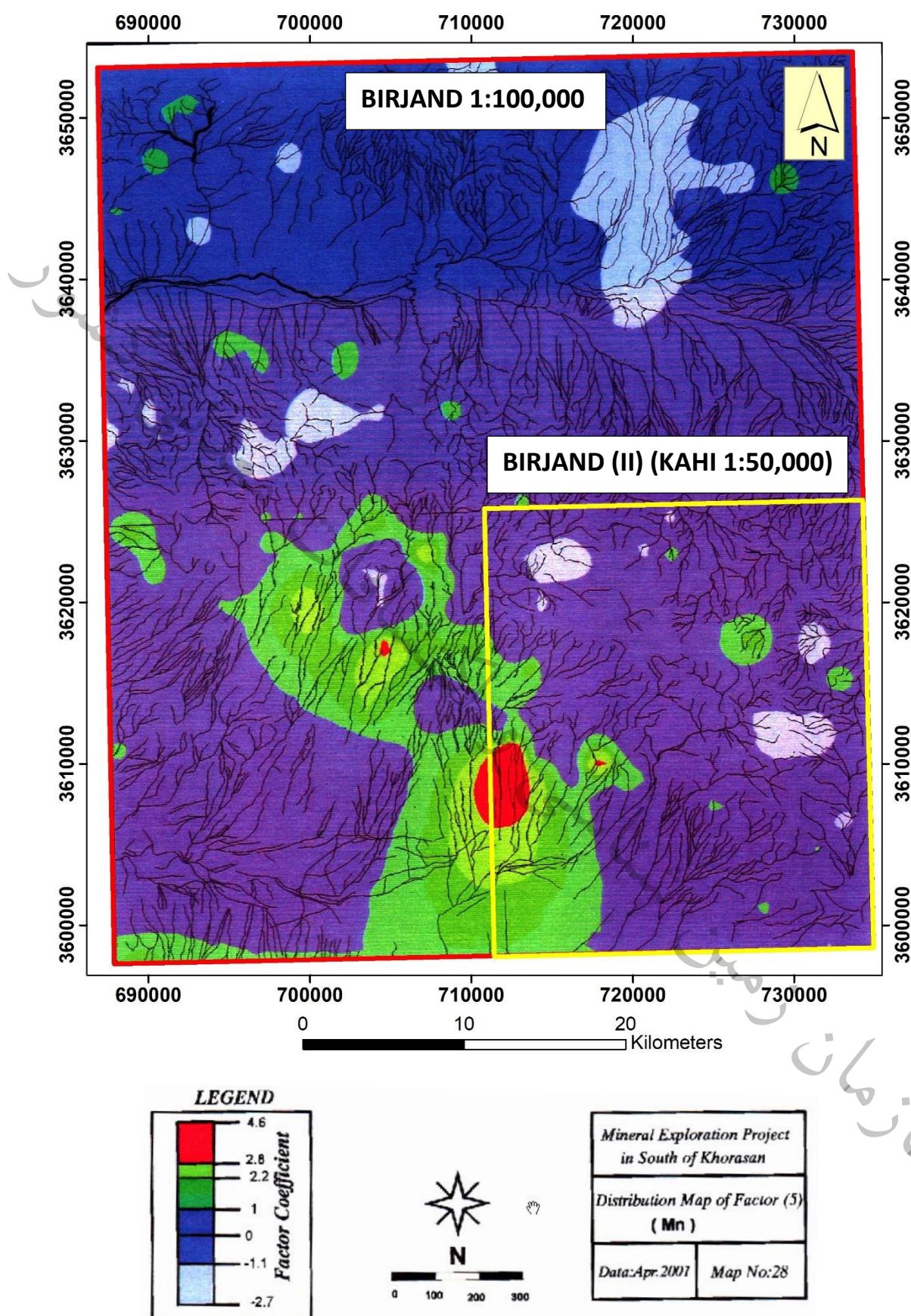
شکل ۳-۱۷- قرارگیری آنومالی‌های ژئوشیمیابی فاکتوری (۲) مربوط به برگه ۱:۱۰۰,۰۰۰ بیرجند



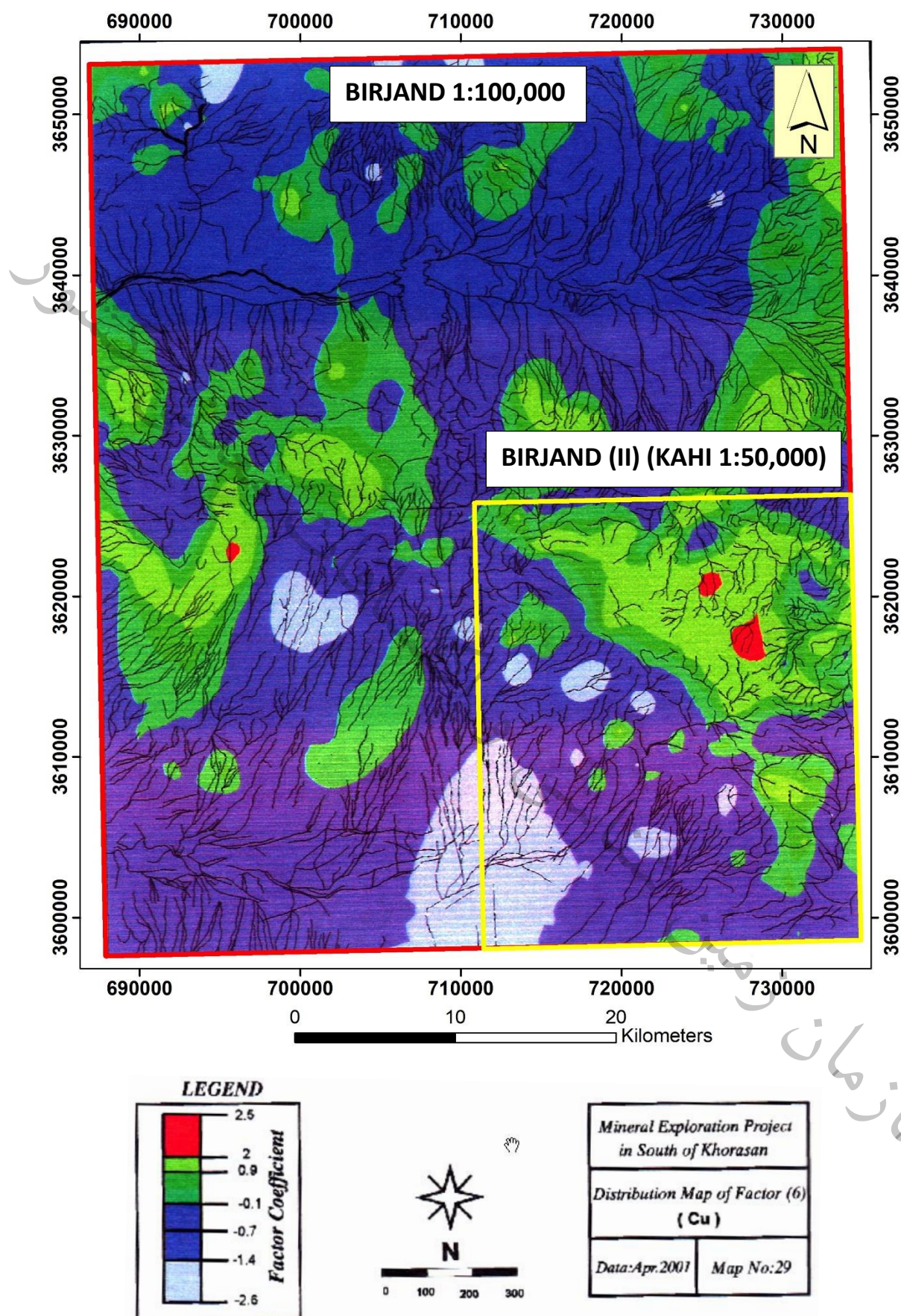
شکل ۳-۱۸- قرارگیری آنومالی‌های ژئوشیمیایی فاکتوری (۳) مربوط به برگه ۱:۱۰۰۰۰۰ بیرجند



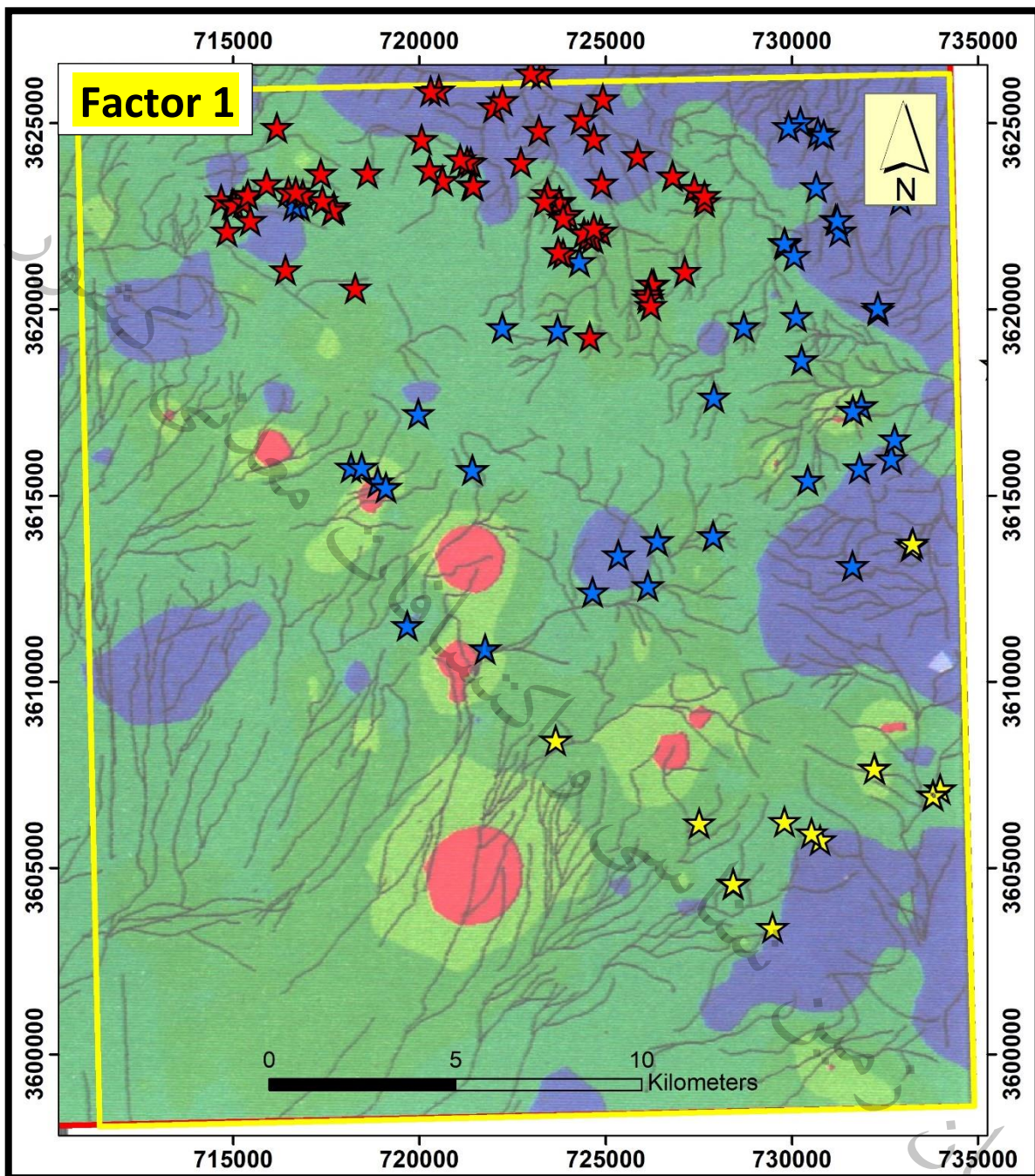
شکل ۳-۱۹- قرارگیری آنومالی‌های ژئوشیمیایی فاکتوری (۴) مربوط به برگه ۱:۱۰۰,۰۰۰ بیرجند



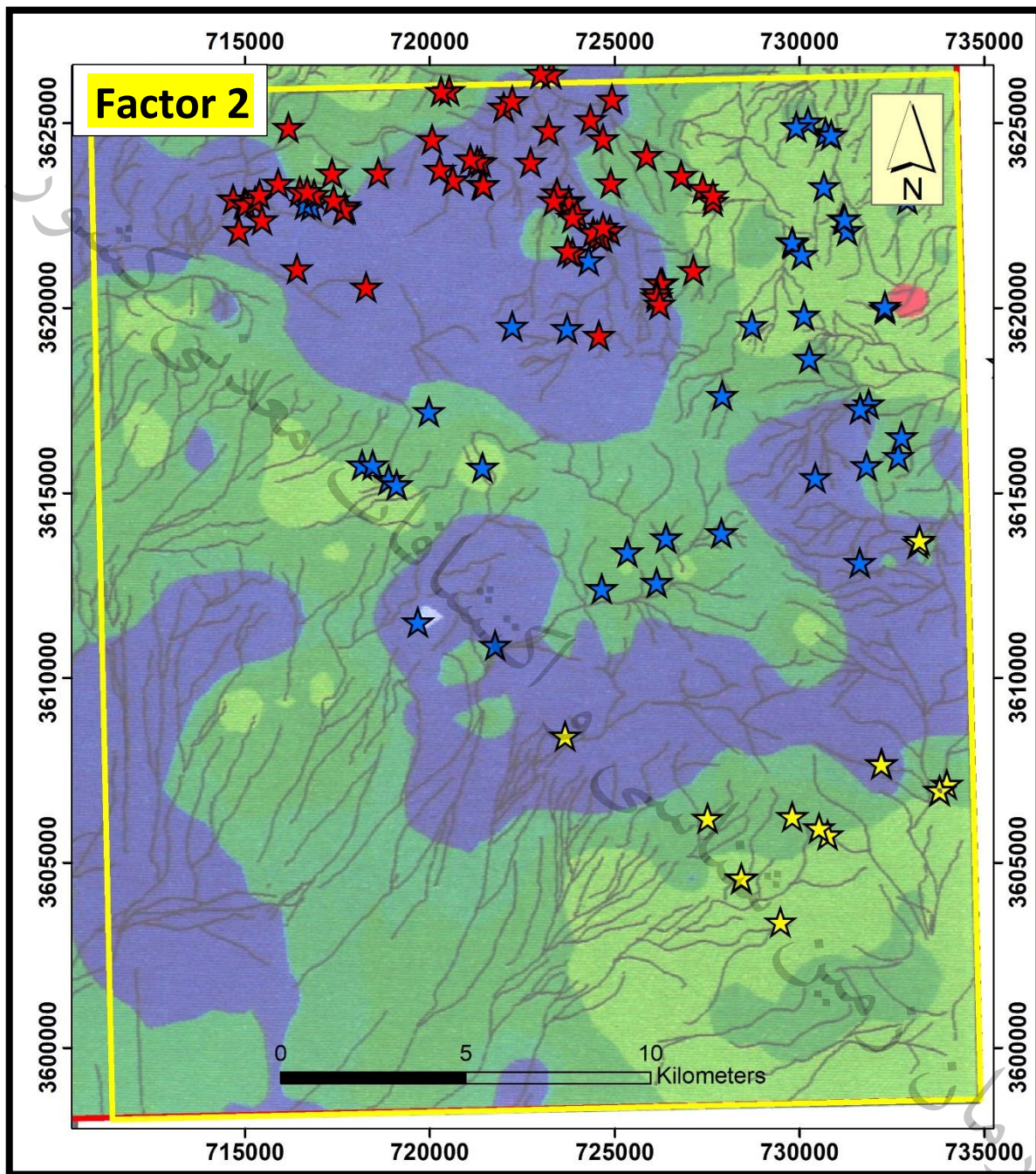
شکل ۳-۲۰- قرارگیری آنومالی‌های ژئوشیمیایی فاکتوری (۵) مربوط به برگه ۱:۱۰۰,۰۰۰ بیرجند



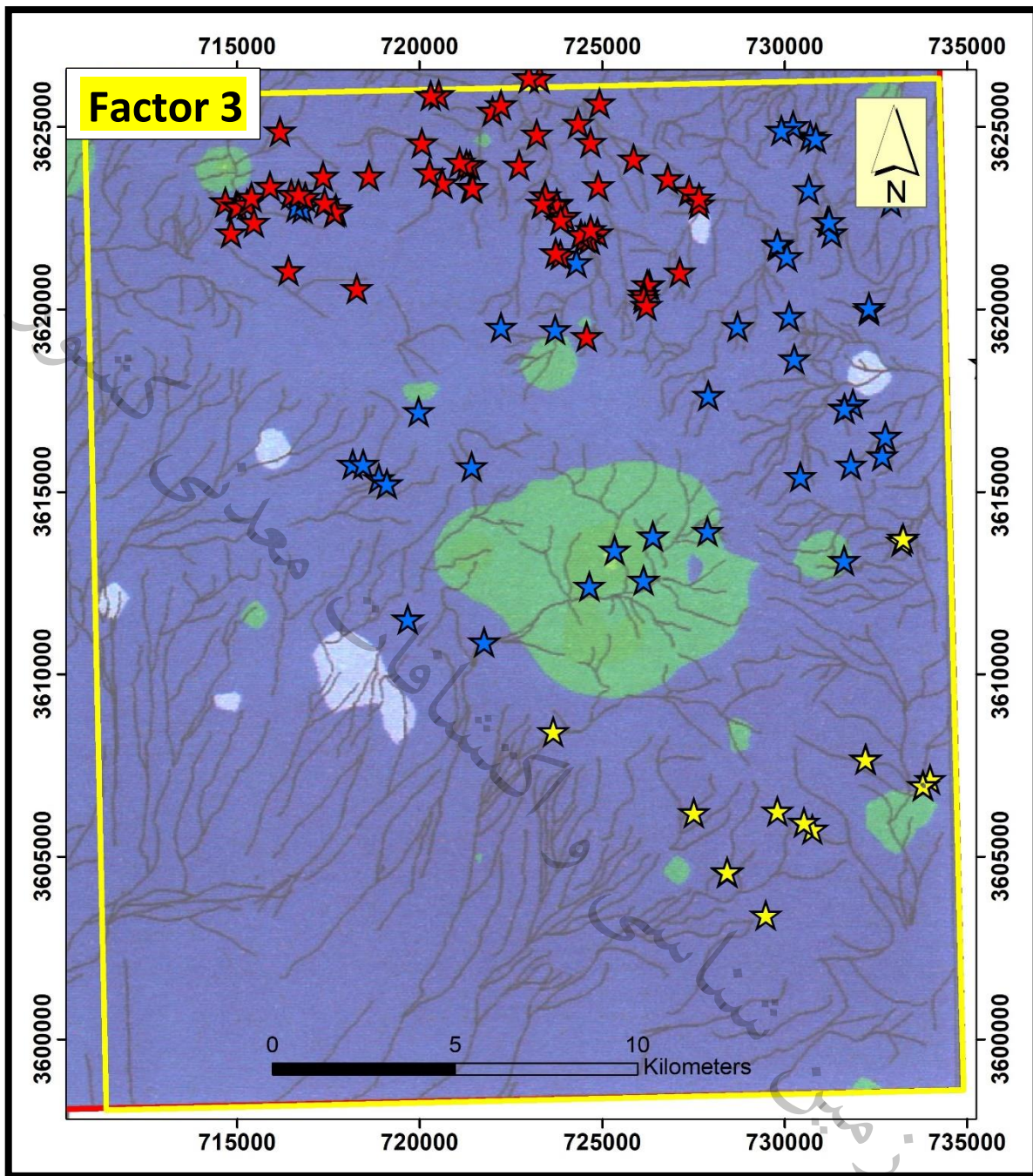
شکل ۳-۲۱- قرارگیری آنومالی‌های ژئوشیمیابی فاکتوری (۶) مربوط به برگه ۱:۱۰۰,۰۰۰ بیرجند



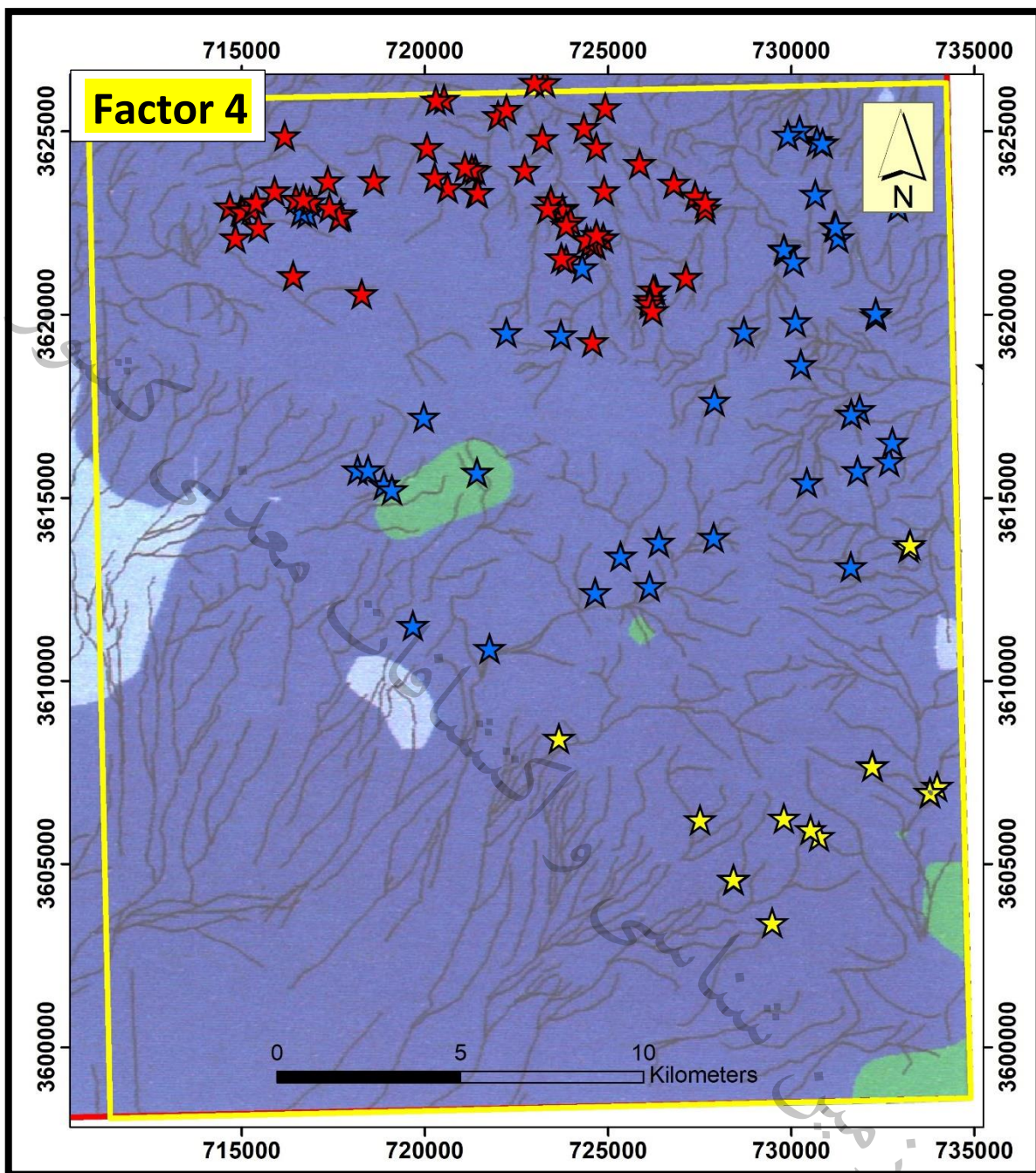
شکل ۳-۲۲- موقعیت نمونه‌های مینرالیزه برداشت شده در محدوده ۱:۵۰۰۰۰ کاهی و در نقشه آنومالی فاکتوری (۱)
 توضیحات: ستاره‌های قرمز محل نمونه برداری در مرحله اول هستند. همچنین ستاره‌های آبی نمونه برداری مرحله دوم و
 ستاره‌های زرد موقعیت نمونه برداری مرحله سوم عملیات صحرایی را نشان می‌دهد)



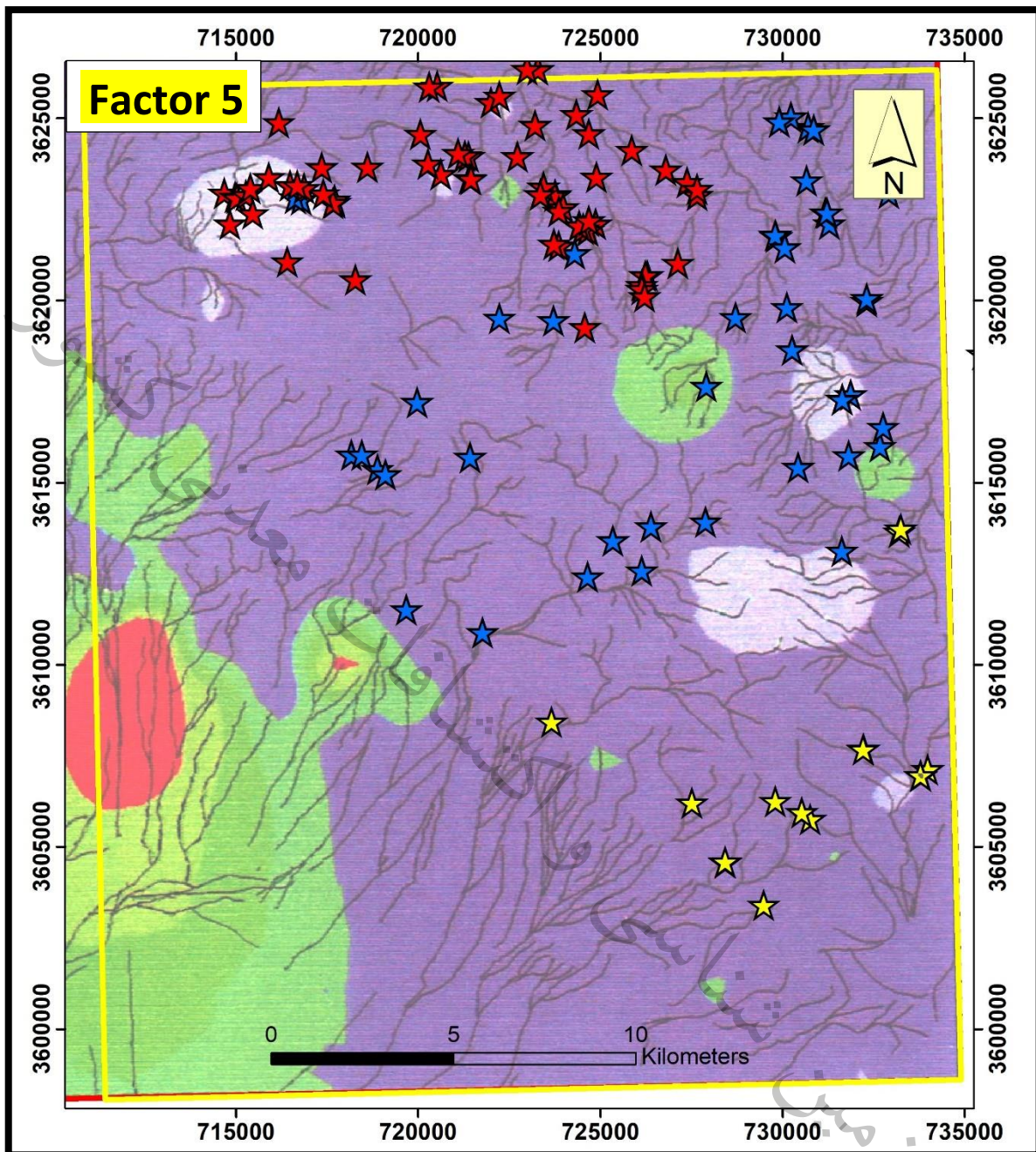
شکل ۳-۲۳- موقعیت نمونه‌های مینرالیزه برداشت شده محدوده ۱:۵۰۰۰۰ بیرجند (II) و در نقشه آنومالی فاکتوری (۲) (توضیحات: ستاره‌های قرمز محل نمونه برداری در مرحله اول هستند. همچنین ستاره‌های آبی نمونه برداری مرحله دوم و ستاره‌های زرد موقعیت نمونه برداری مرحله سوم عملیات صحرایی را نشان می‌دهد)



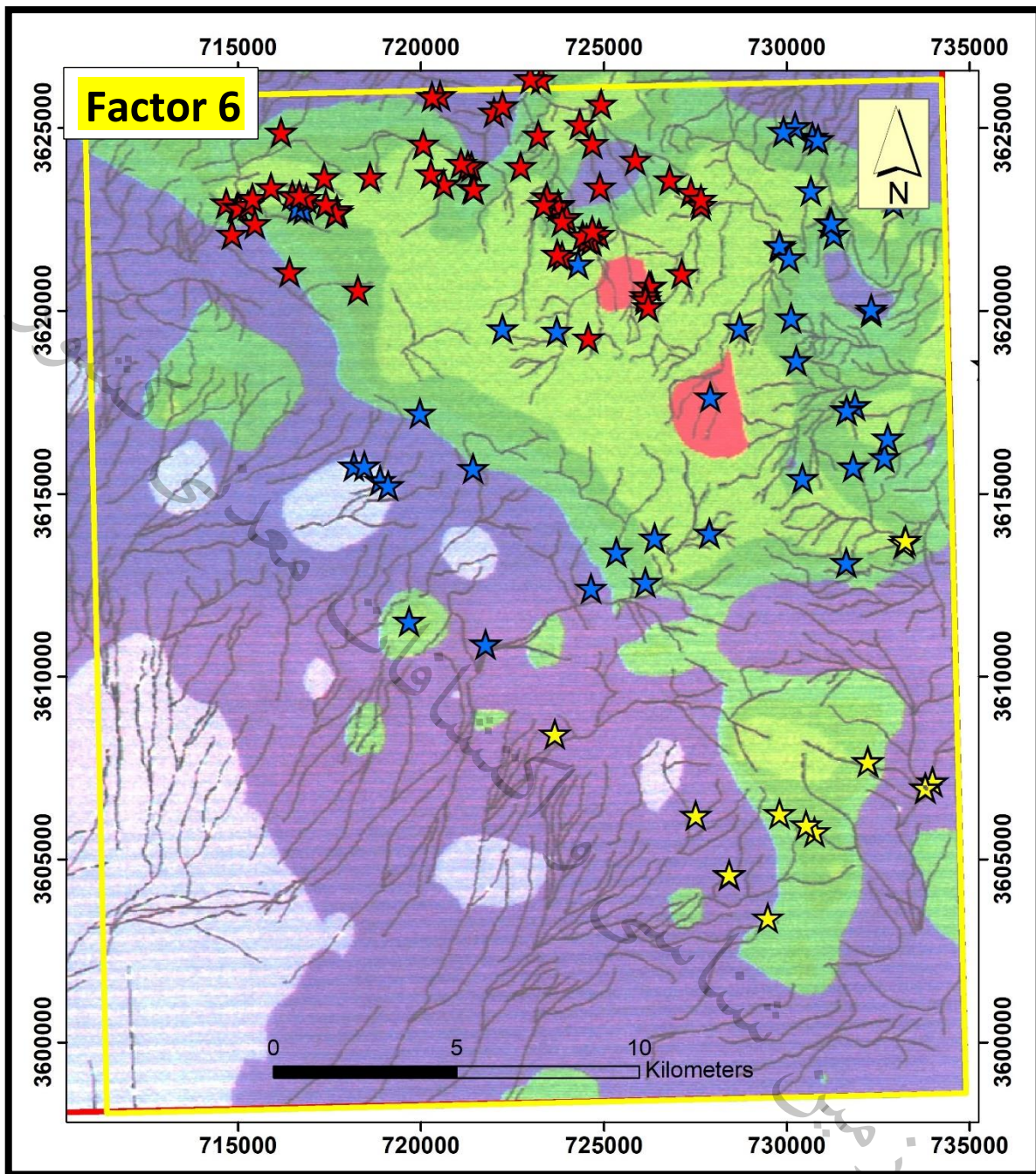
شکل ۳-۲۴- موقعیت نمونه‌های مینرالیزه برداشت شده محدوده ۱:۵۰۰۰۰ بیرجند (II) و در نقشه آنومالی فاکتوری (۳)
 (توضیحات: ستاره‌های قرمز محل نمونه برداری در مرحله اول هستند. همچنین ستاره‌های آبی نمونه برداری مرحله دوم و
 ستاره‌های زرد موقعیت نمونه برداری مرحله سوم عملیات صحرایی را نشان می‌دهد)



شکل ۳-۲۵- موقعیت نمونه‌های مینرالیزه برداشت شده محدوده ۱:۵۰۰۰۰ بیرجند (II) و در نقشه آنومالی فاکتوری (۴) (توضیحات: ستاره‌های قرمز محل نمونه برداری در مرحله اول هستند. همچنین ستاره‌های آبی نمونه برداری مرحله دوم و ستاره‌های زرد موقعیت نمونه برداری مرحله سوم عملیات صحرایی را نشان می‌دهد)



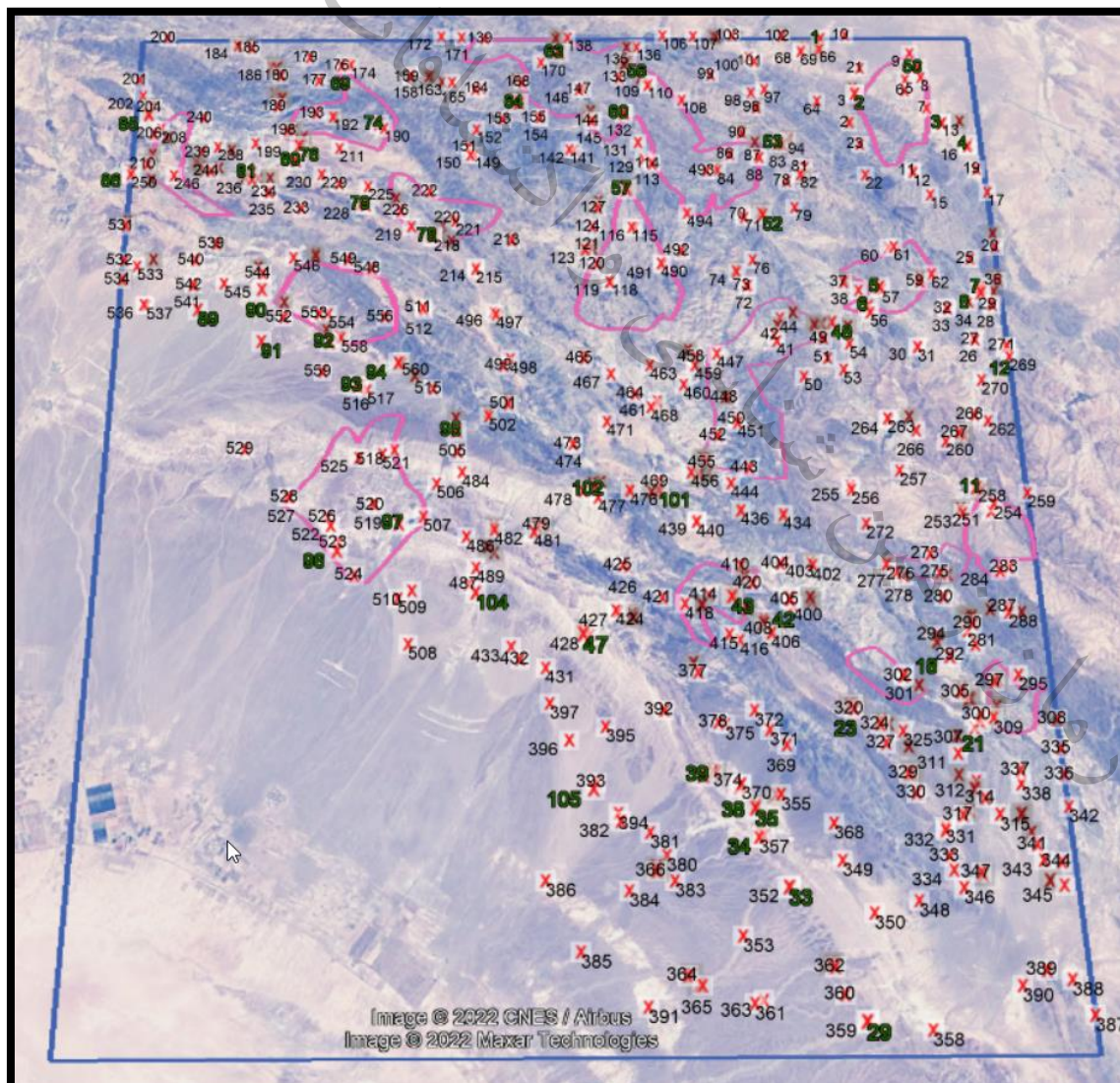
شکل ۳-۲۶- موقعیت نمونه‌های مینرالیزه برداشت شده محدوده ۱:۵۰۰۰۰ (II) و در نقشه آنومالی فاکتوری (۵)
 (توضیحات: ستاره‌های قرمز محل نمونه برداری در مرحله اول هستند. همچنین ستاره‌های آبی نمونه برداری مرحله دوم و
 ستاره‌های زرد موقعیت نمونه برداری مرحله سوم عملیات صحرایی را نشان می‌دهد)



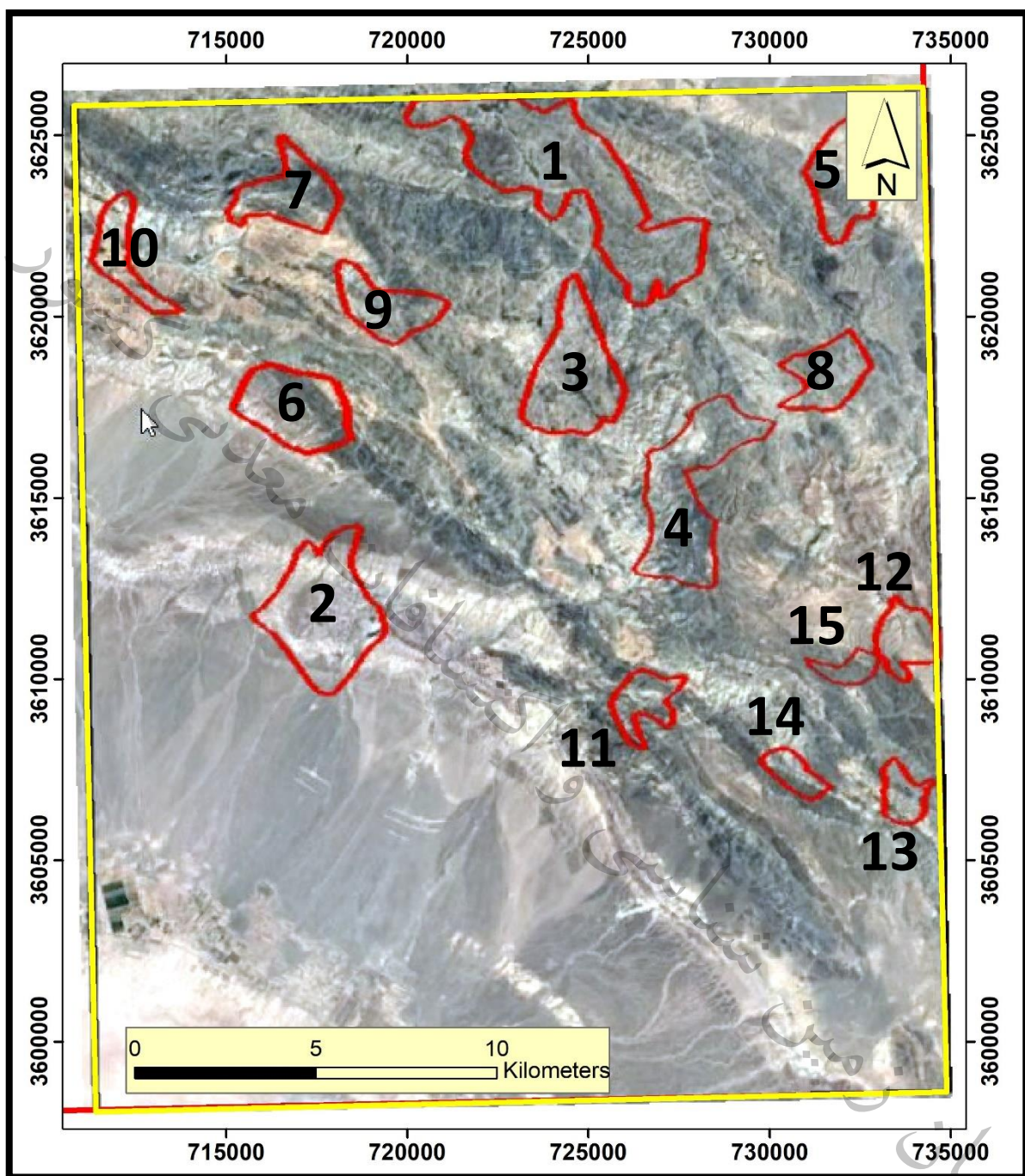
شکل ۳-۲۷- موقعیت نمونه‌های مینرالیزه برداشت شده محدوده ۱:۵۰۰۰۰ بیرجند (II) و در نقشه آنومالی فاکتوری (۶) (توضیحات: ستاره‌های قرمز محل نمونه برداری در مرحله اول هستند. همچنین ستاره‌های آبی نمونه برداری مرحله دوم و ستاره‌های زرد موقعیت نمونه برداری مرحله سوم عملیات صحرایی را نشان می‌دهد)

۴-۳- تفسیر نتایج اکتشافات ژئوشیمیایی برگه ۱:۵۰۰۰۰ کاهی (بیرجند ۲)

گزارش ژئوشیمی ۱:۵۰۰۰۰ این برگه در زمان تکمیل این گزارش در حال انجام بوده است و انتشار نیافته است. ولی به طور کلی در این برگه حدود ۵۸۷ نمونه رسوب آبراهه‌ای، مورد آنالیز ۵۶ عنصری ICP (به غیر از Au) قرار گرفته و همچنین ۵۸۶ نمونه نیز برای Au (طلاء) آنالیز شده است. بیشترین مقدار طلا در حدود ۳۵ ppb و کمترین مقدار آن در حدود ۵ ppb (حد تشخیص دستگاهی) بوده است. ۱۰۲ نمونه نیز مورد مطالعات کانی سنگین قرار گرفته است. موقعیت نمونه‌های رسوب آبراهه‌ای و کانی سنگین برگه ۱:۵۰۰۰۰ کاهی در شکل (۲۰-۳) و همچنین موقعیت آنومالی‌های ژئوشیمیایی ترسیم شده مربوط به آن در شکل (۲۰-۳) آورده شده است. آنومالی‌های ژئوشیمیایی در مرحله چک آنومالی مورد بررسی قرار گرفت که ۳۵ نمونه مورد آنالیز ICP و ۳۵ نمونه مورد آنالیز Au قرار گرفت. بیشترین مقدار طلا ۲۱۰.۵ ppb و کمترین آن حد تشخیص دستگاهی (ppb ۵) بوده است.



شکل ۳-۲۸- نمایی از پراکندگی نمونه‌های ژئوشیمیایی رسوب آبراهه‌ای در برگه ۱:۵۰۰۰۰ کاهی (بیرجند ۲)



شکل ۳-۲۹- موقعیت آنومالی‌های ژئوشیمیایی در برگه ۱:۵۰۰۰۰ کاهی بر اساس رسوبات آبراهه‌ای و کانی سنگین

فصل چهارم:

مطالعات زمین‌شناسی اقتصادی

ولی‌جویی

سازمان زمین‌شناسی و
کنیزی کشور

فصل چهارم: مطالعات زمین‌شناسی اقتصادی و پی‌جوبی

۱-۴- طراحی عملیات اکتشافی:

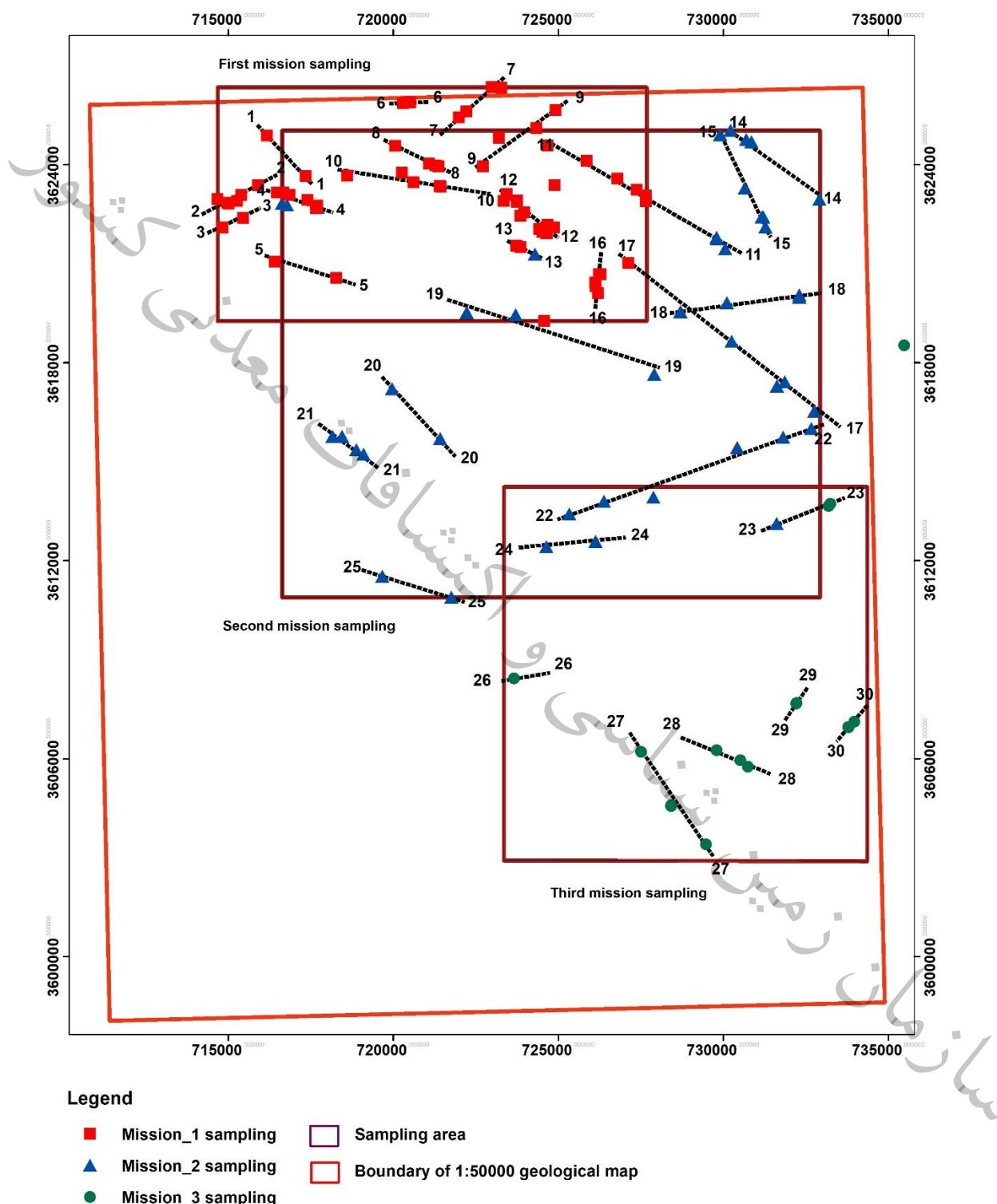
محدوده ۱:۱۰۰۰۰ بیرجند (II) (کاهی) در بخش جنوب شرقی نقشه زمین‌شناسی ۱:۱۰۰۰۰۰ بیرجند و به مساحت ۶۵۱ کیلومتر مربع قرار گرفته است. در این محدوده اکتشافی، پروفیل‌ها و مسیرهای پیمایش به تعداد ۳۰ پروفیل در جهت‌هایی که روند عمومی زمین‌شناسی منطقه‌ای در همراهی با ماده معدنی یا آلتراسیون بیشترین گسترش را دارند، و در برخی موقعیت‌های عمود بر آن‌ها طراحی گردید. در این پروفیل‌های اکتشافی در مجموع تعداد ۱۳۰ نمونه به جهت آنالیز طلا و ICP، تعداد ۱۹ نمونه نازک-صیقلی به جهت مطالعات پتروگرافی و تعداد ۵ نمونه XRD به جهت مطالعات کانی‌شناسی برداشت گردید (شکل‌های ۱-۴ و ۲-۴ و جدول ۱-۴). در این فصل ابتدا به شرح نمونه‌های برداشت شده در هر پروفیل پرداخته می‌شود و سپس کانی‌سازی‌ها به تفکیک فلزی و غیر فلزی تقسیم بندی شده و خصوصیات هر کدام به لحاظ ژئوشیمیایی مورد بررسی قرار خواهد گرفت. سپس مناطق آنومال تعیین می‌گردد و در نهایت همیستگی‌های عنصری در هر تارگت معدنی مشخص خواهد گردید و تفسیر خواهد شد. در ادامه به بررسی‌های اکتشافی در امتداد هر پروفیل پرداخته می‌شود.

جدول ۱-۴- اطلاعات کلی در پروفیل‌های پیمایش شده بر اساس طول، جهت و تعداد نمونه برداشت شده در هر پروفیل

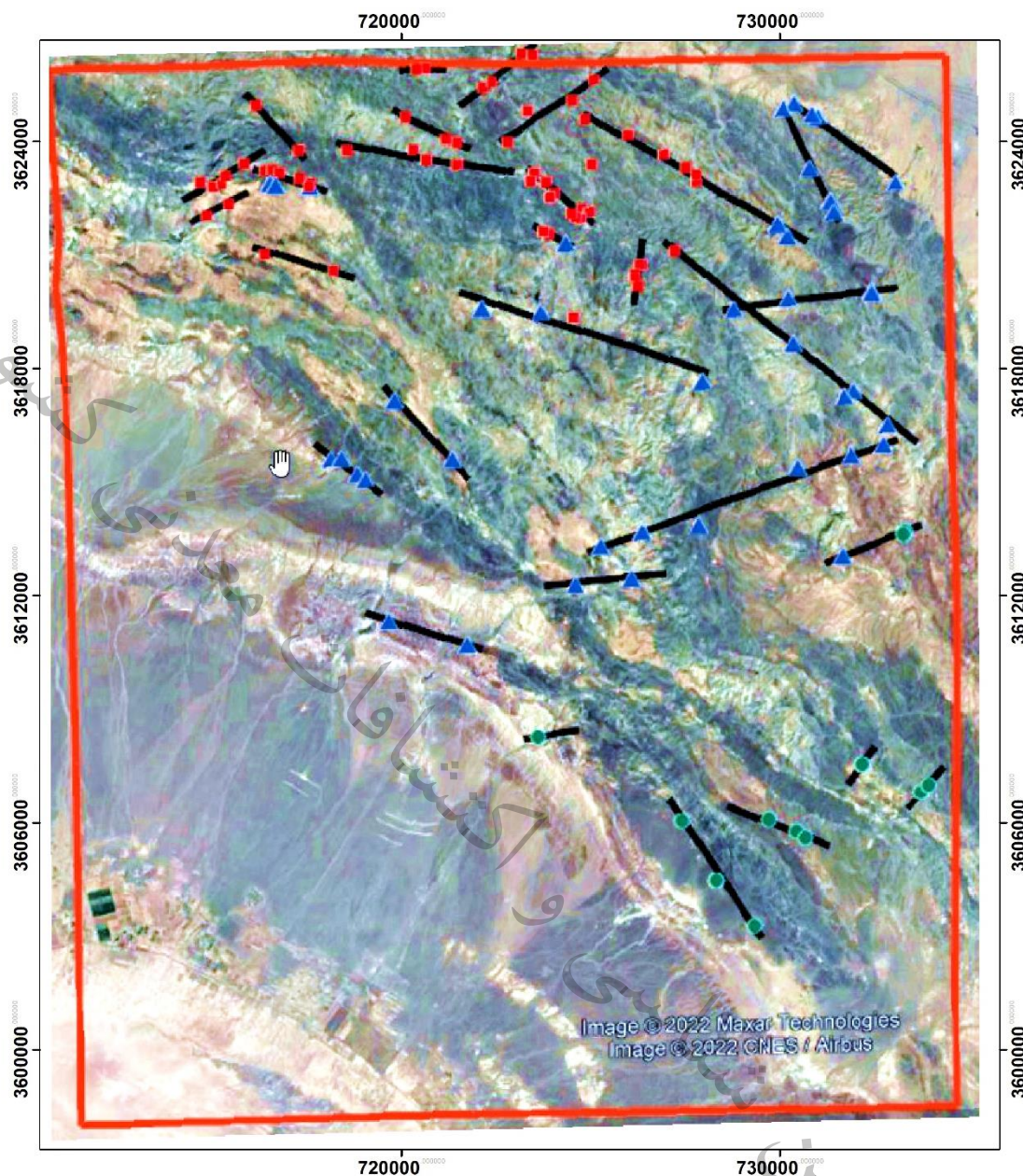
Fid.	X	Y	Direction(Azimuth)	Lenth (m)	No. of mineralization found
P1	715,777	3,625,088	137	2453	2
P2	714,073	3,622,379	62	2586	5
P3	714,221	3,621,818	65	1787	2
P4	716,020	3,623,119	109	2150	10
P5	715,978	3,621,140	108	2903	2
P6	719,735	3,625,734	87	1198	2
P7	721,280	3,624,770	48	2623	4
P8	719,619	3,624,654	116	2272	4
P9	722,381	3,623,818	54	3449	4
P10	718,190	3,623,754	99	4689	6
P11	724,631	3,624,735	120	4045	7
P12	723,203	3,623,243	130	2299	17
P13	723,435	3,621,719	117	1173	3
P14	730,166	3,625,031	125	3359	4
P15	729,881	3,625,031	154	3592	6
P16	726,293	3,621,369	186	1769	5
P17	726,812	3,621,306	128	8529	6
P18	728,367	3,619,496	82	4644	4
P19	721,636	3,619,901	108	6765	4
P20	719,647	3,617,583	137	3286	2
P21	717,720	3,616,155	127	2289	4
P22	724,954	3,613,228	73	8570	7
P23	731,106	3,612,884	68	2732	3
P24	723,785	3,612,36	85	3255	2
P25	719,033	3,611,728	107	3274	2
P26	723,234	3,608,363	80	1503	1
P27	727,161	3,606,807	146	4527	4
P28	729404	3,606,393	112	2221	3

P29	731,849	3,607,135	34	1218		2
P30	733,426	3,606,510	40	1455		3

Profiles of sampling in the investigation area



شکل ۴-۱- نمایی از نمونه‌های برداشت شده در امتداد پروفیل‌های اکتشافی (محدوده ۱:۵۰۰۰۰ بیر جند ۲)



شکل ۴-۲- نمایی از نمونه‌های برداشت شده در امتداد پروفیل‌های اکتشافی در محدوده ۱:۵۰۰۰۰ بیرجند ۲
 (توضیحات: دایره‌های قرمز محل نمونه برداری در مرحله اول هستند. همچنین دایره‌های آبی نمونه برداری مرحله دوم و دایره‌های زرد موقعیت نمونه برداری مرحله سوم عملیات صحرایی را نشان می‌دهد)

۴-۲- نمونه برداری:

نمونه برداری و عملیات صحرایی در محدوده اکتشافی در سه مرحله به تعداد ۱۵۴ نمونه انجام شده است که شرح نمونه‌های برداشت شده و توضیحات آن در زیر می‌آید:

۴-۱-۱- نمونه برداری مرحله اول:

نمونه برداری مرحله اول از تاریخ ۲۱ مهر ۱۴۰۰ شروع شد که به مدت ۲۰ روز ادامه داشت و ۸۹ نمونه زیر طبق جدول (۴-۲) به منظور ICP, Au, XRF, XRD, Thin, Polish برداشت گردید.

جدول ۴-۲- اطلاعات کلی نمونه‌های مرحله اول و نوع آنالیز انجام شده

BIRJAND (2) SAMPLE LIST: FEIZ,M. GSI MASHHAD									
S- No.	Sample	X	Y	Fire Assay	ICP	XRF	XRD	Thin	Polish
1	BIRG-2-S1	721995	3625434	***	***				
2	BIRG-2-S2	721377	3623946	***	***				
3	BIRG-2-S3	721282	3623970	***	***				
4	BIRG-2-S4TP	721282	3623970					***	***
5	BIRG-2-S5X	721092	3624029	***	***	***	***		
6	BIRG-2-S5TP	721092	3624029					***	***
7	BIRG-2-S6	720064	3624565	***	***				
8	BIRG-2-S7	720621	3623463	***	***				
9	BIRG-2-S8	720621	3623463	***	***				
10	BIRG-2-S9	720268	3623750	***	***				
11	BIRG-2-S10	717705	3622754	***	***				
12	BIRG-2-S11	718610	3623664	***	***				
13	BIRG-2-S12	718610	3623664					***	***
14	BIRG-2-S13	723284	3626329	***	***				
15	BIRG-2-S14	722988	3626342	***	***				
16	BIRG-2-S15X	717664	3622671	***	***	***	***		
17	BIRG-2-S15TP	717401	3622923					***	***
18	BIRG-2-S16	717401	3622923	***	***				
19	BIRG-2-S17	716866	3623074	***	***				
20	BIRG-2-S18TP,X	716866	3623074			***	***	***	***
21	BIRG-2-S19TP,X	716866	3623074			***	***	***	***
22	BIRG-2-S20	716484	3623155	***	***				
23	BIRG-2-S21TP,X	716484	3623155			***	***	***	***
24	BIRG-2-S22	716677	3623152	***	***	***	***		
25	BIRG-2-S23	717357	3623648	***	***	***	***		
26	BIRG-2-S24	716173	3624876	***	***				
27	BIRG-2-S25X	720520	3625887	***	***	***	***		
28	BIRG-2-S26	720297	3625858	***	***				
29	BIRG-2-S27	714680	3622945	***	***				
30	BIRG-2-S28X	714977	3622837	***	***	***	***		
31	BIRG-2-S29	715016	3622814	***	***				
32	BIRG-2-S30	715272	3622894	***	***				
33	BIRG-2-S31	715398	3623075	***	***				
34	BIRG-2-S32	715902	3623372	***	***				
35	BIRG-2-S33	714831	3622093	***	***				
36	BIRG-2-S34	715456	3622380	***	***				
37	BIRG-2-S35X	716411	3621063	***	***	***	***		
38	BIRG-2-S36	718275	3620564	***	***				
39	BIRG-2-S37	721407	3623344	***	***				
40	BIRG-2-S38	721445	3623334	***	***				
41	BIRG-2-S39	723203	3624802	***	***				
42	BIRG-2-S40	722727	3623944	***	***				

ادامه جدول ۴-۲- اطلاعات کلی نمونه‌های مرحله اول و نوع آنالیز انجام شده

BIRJAND (2) SAMPLE LIST 1: FEIZ,M. GSI MASHHAD									
S- No.	Sample	X	Y	Fire Assay	ICP	XRF	XRD	Thin	Polish
43	BIRG-2-S41	724341	3625105	***	***				
44	BIRG-2-S42	723757	3622904	***	***				
45	BIRG-2-S43	723744	3622872	***	***				
46	BIRG-2-S44	723977	3622548	***	***				
47	BIRG-2-S45	722225	3625605	***	***				
48	BIRG-2-S46	723858	3622446	***	***				
49	BIRG-2-S47TP,X	723858	3622446			***	***	***	***
50	BIRG-2-S48	723858	3622446	***	***	***	***	***	***
51	BIRG-2-S49	723856	3621490	***	***				
52	BIRG-2-S50TP,X	723848	3621491			***	***	***	***
53	BIRG-2-S51	723728	3621542	***	***				
54	BIRG-2-S52TP,X	723728	3621543			***	***	***	***
55	BIRG-2-S53TP,X	723728	3621543	***	***	***	***	***	***
56	BIRG-2-S54	723440	3623109	***	***				
57	BIRG-2-S55	723440	3623109	***	***				
58	BIRG-2-S56TP	723325	3622982					***	***
59	BIRG-2-S57	723352	3622899	***	***				
60	BIRG-2-S58TP,X	723352	3622899	***	***	***	***	***	***
61	BIRG-2-S59	724894	3623383	***	***				
62	BIRG-2-S60	724682	3624576	***	***				
63	BIRG-2-S61	724872	3622092	***	***				
64	BIRG-2-S62	724661	3621926	***	***				
65	BIRG-2-S63	724872	3622092	***	***				
66	BIRG-2-S64TP	724872	3622092					***	***
67	BIRG-2-S65	724649	3621918	***	***				
68	BIRG-2-S66	724527	3621961	***	***				
69	BIRG-2-S67	724527	3621961	***	***				
70	BIRG-2-S68	724422	3622048	***	***				
71	BIRG-2-S69TP	724335	3622128					***	***
72	BIRG-2-S70	724680	3622182	***	***				
73	BIRG-2-S71	724928	3625648	***	***				
74	BIRG-2-S72	725862	3624117	***	***				
75	BIRG-2-S73	726799	3623579	***	***				
76	BIRG-2-S74TP,X	726799	3623579	***	***	***	***	***	***
77	BIRG-2-S75TP	726795	3623589					***	***
78	BIRG-2-S76	727377	3623240	***	***				
79	BIRG-2-S77	727659	3622892	***	***				
80	BIRG-2-S78	727130	3621015	***	***				
81	BIRG-2-S79TP,X	726292	3620672	***	***	***	***	***	***
82	BIRG-2-S80	726234	3620676	***	***				

ادامه جدول ۴-۲- اطلاعات کلی نمونه‌های مرحله اول و نوع آنالیز انجام شده

BIRJAND (2) SAMPLE LIST 1: FEIZ,M. GSI MASHHAD									
S-No.	Sample	X	Y	Fire Assay	ICP	XRF	XRD	Thin	Polish
83	BIRG-2-S81	726130	3620416	***	***				
84	BIRG-2-S82	726134	3620305	***	***				
85	BIRG-2-S83TP	726134	3620305					***	***
86	BIRG-2-S84	726212	3620104	***	***				
87	BIRG-2-S85	727657	3623059	***	***				
88	BIRG-2-S86	724575	3619262	***	***				
89	BIRG-2-S87TP	724581	3619320					***	

۴-۲-۲- نمونه برداری مرحله دوم:

نمونه برداری مرحله دوم از تاریخ ۳ آذر ۱۴۰۰ شروع شد که به مدت ۱۵ روز ادامه داشت و ۵۴ نمونه

زیر طبق جدول (۳-۴) به منظور ICP, Au, XRF,XRD, Thin, Polish برداشت گردید.

جدول ۴-۳- اطلاعات کلی نمونه‌های مرحله دوم و نوع آنالیز انجام شده

BIRJAND (2) SAMPLE LIST 2: FEIZ,M. GSI MASHHAD									
S-No.	Sample No.	X	Y	Fire Assay (Au)	ICP	XRD	XRF	Thin	Polish
1	BIRG2S101	716787	3622767	***	***				
2	BIRG2S102	716631	3622813	***	***				
3	BIRG2S103	716631	3622813	***	***				
4	BIRG2S104	717703	3622693	***	***				
5	BIRG2S105	717720	3622694	***	***				
6	BIRG2S106	729823	3621743	***	***				
7	BIRG2S107	729804	3621785	***	***				
8	BIRG2S108	730067	3621445	***	***				
9	BIRG2S109	730115	3619811	***	***				
10	BIRG2S110	731867	3617413	***	***				
11	BIRG2S111	730704	3624751	***	***				
12	BIRG2S112	730226	3625033	***	***				
13	BIRG2S113	729915	3624901	***	***				
14	BIRG2S114	729914	3624900	***	***				
15	BIRG2S115	730858	3624688	***	***				
16	BIRG2S116	730655	3623281	***	***				
17	BIRG2S117	731288	3622099	***	***				
18	BIRG2S118	731173	3622405	***	***				
19	BIRG2S119	731219	3622405	***	***				
20	BIRG2S120	732312	3619975	***	***				
21	BIRG2S122X	732306	3620046	***	***	***			
22	BIRG2S123	732919	3622939	***	***				
23	BIRG2S124TP	732919	3622939					***	***
24	BIRG2S125	732672	3615994	***	***				
25	BIRG2S126TP	732672	3615994					***	***
26	BIRG2S127X	731817	3615736	***	***	***			
27	BIRG2S128	732766	3616522	***	***				

ادامه جدول ۴-۳- اطلاعات کلی نمونه‌های مرحله دوم و نوع آنالیز انجام شده

BIRJAND (2) SAMPLE LIST 2: FEIZ, M. GSI MASHHAD									
S-No.	Sample No.	X	Y	Fire Assay (Au)	ICP	XRD	XRF	Thin	Polish
28	BIRG2S129	731635	3617287	***	***				
29	BIRG2S130	731635	3617278	***	***	***			
30	BIRG2S131TP	731635	3617287					***	***
31	BIRG2S132	730431	3615417	***	***				
32	BIRG2S133	731623	3613114	***	***				
33	BIRG2S134	727886	3613915	***	***				
34	BIRG2S135X	726392	3613783	***	***	***			
35	BIRG2S136	726392	3613783	***	***				
36	BIRG2S137TP	726392	3613783					***	***
37	BIRG2S138	725341	3613407	***	***				
38	BIRG2S139	726133	3612576	***	***				
39	BIRG2S140	724646	3612410	***	***				
40	BIRG2S141	721764	3610878	***	***				
41	BIRG2S142	724299	3621277	***	***				
42	BIRG2S143	723718	3619439	***	***				
43	BIRG2S144	722229	3619514	***	***				
44	BIRG2S145	719970	3617196	***	***				
45	BIRG2S146	718887	3615356	***	***				
46	BIRG2S147	719107	3615220	***	***				
47	BIRG2S148X	718123	3615727			***			
48	BIRG2S149	718167	3615758	***	***				
49	BIRG2S150	718457	3615762	***	***				
50	BIRG2S151	721427	3615694	***	***				
51	BIRG2S152	719677	3611514	***	***				
52	BIRG2S153	730262	3618639	***	***				
53	BIRG2S154	727912	3617639	***	***				
54	BIRG2S155	728711	3619533	***	***				

۴-۲-۳- نمونه برداری مرحله سوم:

نمونه برداری مرحله سوم از تاریخ ۲۵ دی ۱۴۰۰ شروع شد که به مدت ۱۵ روز ادامه داشت و ۱۹

نمونه زیر طبق جدول (۴-۴) به منظور ICP, Au, XRF,XRD, Thin, Polish برداشت گردید.

جدول ۴-۴-اطلاعات کلی نمونه‌های مرحله سوم و نوع آنالیز انجام شده

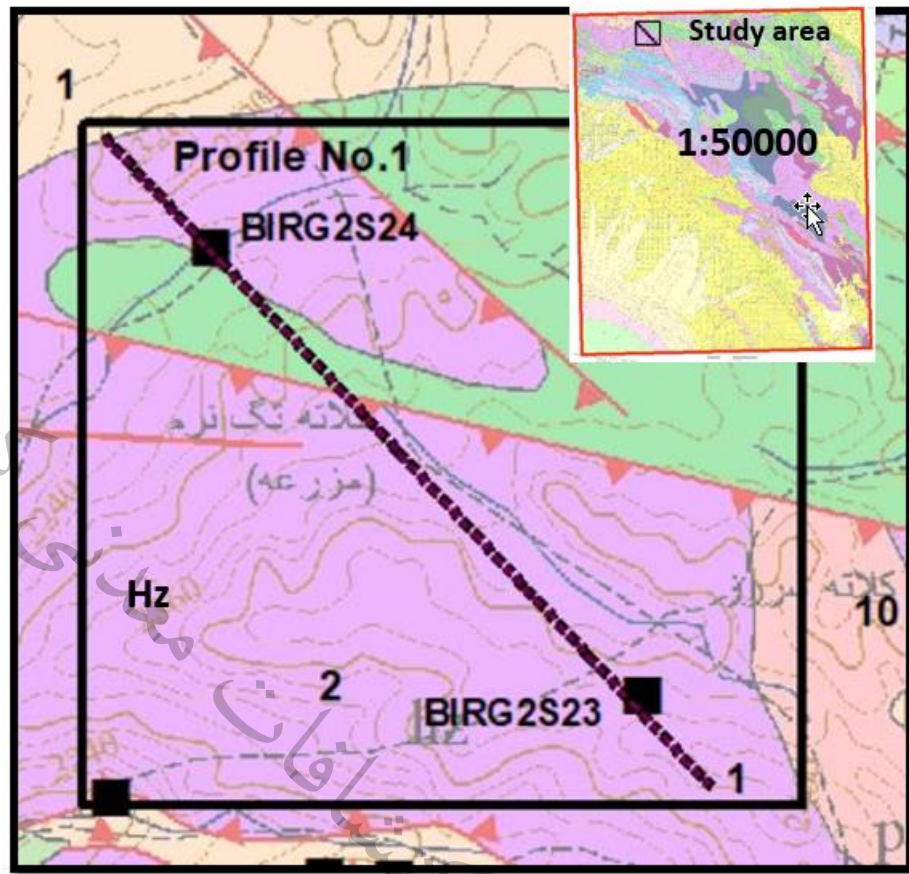
BIRJAND (2) SAMPLE LIST 3: FEIZ,M. GSI MASHHAD									
S-No.	Sample No.	X	Y	Fire Assay (Au)	ICP	XRD	XRF	Thin	Polish
1	BIRG2S300X	733198	3613648	***	***		***		
2	BIRG2S301TP	733219	3613696				***	***	***
3	BIRG2S302	733248	3613721	***	***				
4	BIRG2S303TP	733583	3613597					***	***
5	BIRG2S304	732226	3607681	***	***				
6	BIRG2S305	732215	3607667	***	***				
7	BIRG2S306	733978	3607113	***	***				
8	BIRG2S307	733800	3606945	***	***				
9	BIRG2S308	733788	3606949	***	***				
10	BIRG2S309	73557	3618535	***	***				
11	BIRG2S310	735488	3618522	***	***				
12	BIRG2S311	729800	3606251	***	***				
13	BIRG2S312	730754	3605748	***	***				
14	BIRG2S313	730526	3605940	***	***				
15	BIRG2S314	729484	3603393	***	***				
16	BIRG2S315	728421	3604559	***	***				
17	BIRG2S316	728429	3604589	***	***				
18	BIRG2S317	727513	3606199	***	***				
19	BIRG2S318	723663	3608423	***	***				

۴-۲-۴-شرح عملیات اکتشافی:

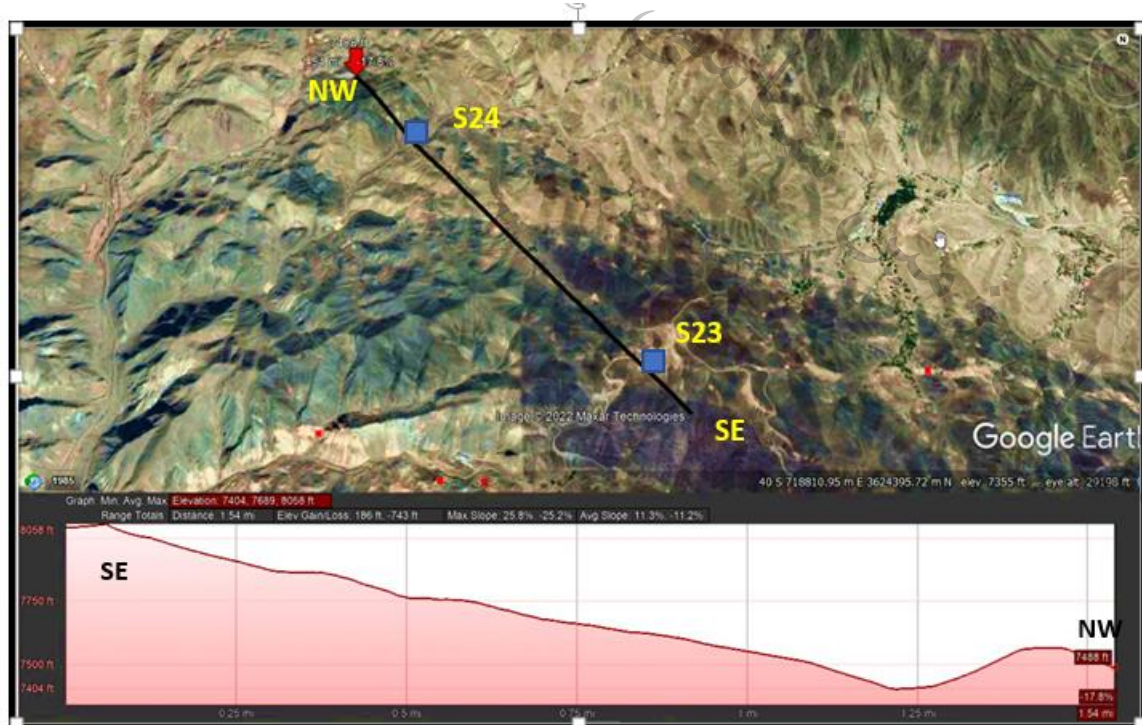
عملیات صحرایی و نمونه برداری از زون‌ها و رگه‌های مشکوک به کانه زایی همراه با درج شناسنامه آن در محدوده ۱:۵۰۰۰ کاهی (بیرجند ۲) انجام گردید. در امتداد پروفیل‌های پی‌جوبی شده ابتدا به بررسی‌های اکتشافی در امتداد هر پروفیل پرداخته می‌شود:

۴-۲-۱-پروفیل (۱):

شروع پیمایش در این پروفیل از مختصات X:715777 و Y:3625088 در آزیمoot ۱۳۷ درجه به طول ۲۴۵۳ متر بوده است. در این مسیر پیمایش شده ۲ نمونه برداشت شده که یک نمونه (BIRG2S24) به مختصات X:716173 و Y:3624876 در مرز پریدوتیت و مجموعه ماسه سنگ-شیل و فیلیت و نمونه دیگر (BIRG2S23) به مختصات X:717357 و Y:3623648 در زون آتراسیون آرژیلی داخل سنگ‌های پریدوتیتی برداشت شده است (جدول‌های ۴-۵ و ۶-۴ و همچنین شکل‌های ۳-۴ و ۴-۴ و همچنین عکس‌های ۱-۴ و ۴-۴).



شکل ۴-۳- نمونه‌های برداشت شده در امتداد پروفیل (۱) و زمین‌شناسی مربوطه (اقتباس از نقشه ۱:۵۰۰۰۰ کاھی)
Hz: Harzburgite KPe^f: Phyllite, graywake, shale



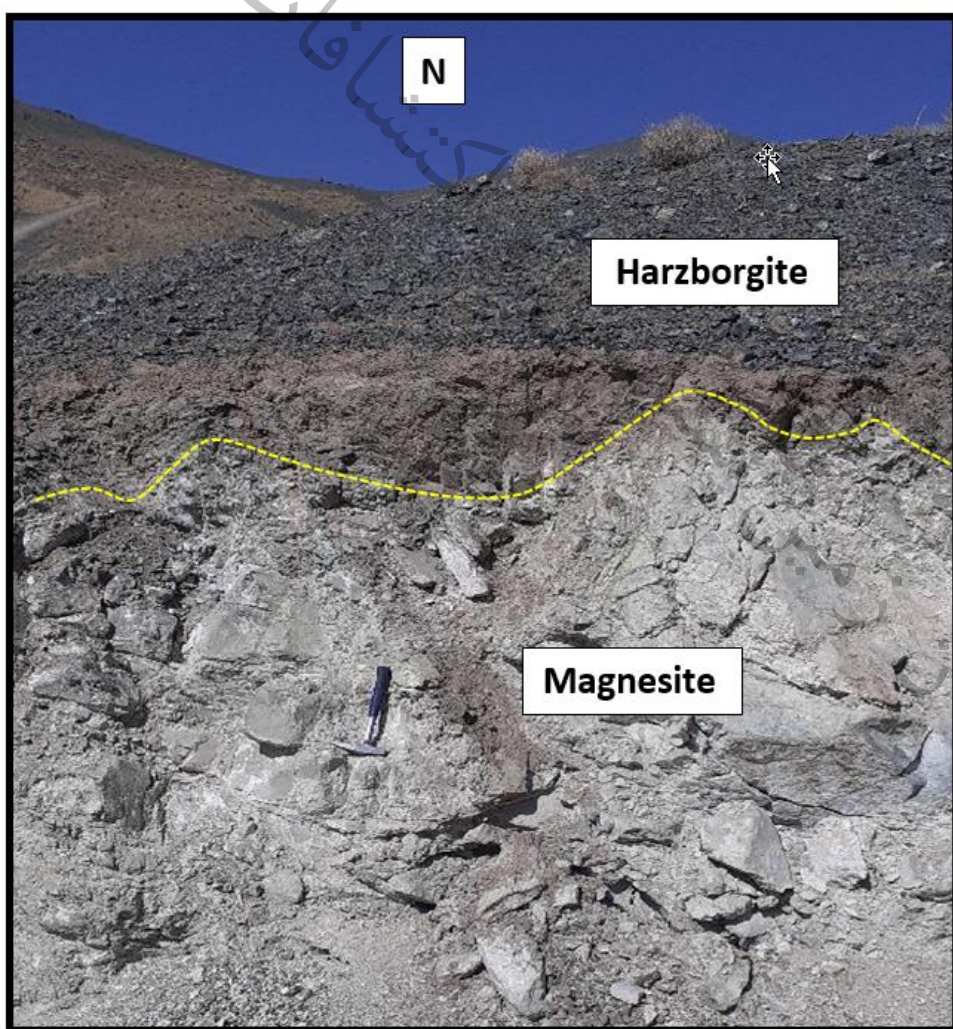
شکل ۴-۴- نمایی از پروفیل (۱) در تصویر ماهواره‌ای به همراه مقطع عرضی آن.

نمونه BIRG2S24 از دیواره یک سنگ هارزبورژیتی که به منظور جاده سازی حفر شده بود اثرات کانی‌سازی منیزیت به چشم می‌خورد که از آن نمونه برداری شد (جدول ۴-۵ و عکس ۴-۱).

جدول ۴-۵- آنالیز عنصری به روش ICP در نمونه BIRG2S24

Sample	X	Y	Au	Ag	Al	As	Ba	Be
BIRG-2-S24	716173	3624876	5	0.5	1823	3.2	6	1
Ca	Cd	Ce	Co	Cr	Cu	Fe	K	La
2015	0.22	2	85	2529	8	43973	167	1
Li	Mg	Mn	Mo	Na	Ni	P	Pb	S
19	2%	618	0.5	316	1678	30	4	298
Sb	Sc	Sr	Th	Ti	U	V	Y	Yb
10.5	3.3	9	5	52	5	16	0.5	0.4
Zn	Zr							
35	5							

در نمونه BIRG2S23 مقدار تیتانیوم (2681ppm) و در نمونه BIRG2S24 مقدار کروم (2529ppm) و نیکل (1679ppm) ناهنجاری را نشان می‌دهد.

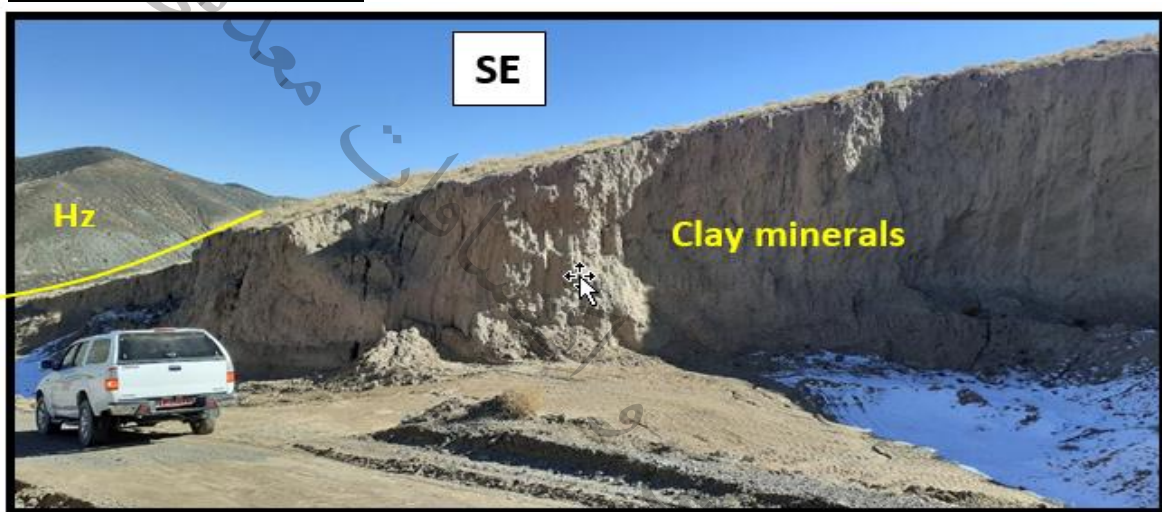


عکس ۴-۱- نمونه BIRG2S24، اثرات کانی‌سازی منیزیت (سفید رنگ) در مرز هارزبورژیت با ماسه سنگ.

- نمونه BIRG2S23 از دیواره حفریات استخراجی روباز خاک صنعتی به ضخامت ۲۰ متر و طول ۱۰۰ متر نمونه برداری شد (جدول ۴-۶ و عکس ۴-۲).

جدول ۴-۶- آنالیز عنصری به روشن ICP در نمونه BIRG2S23

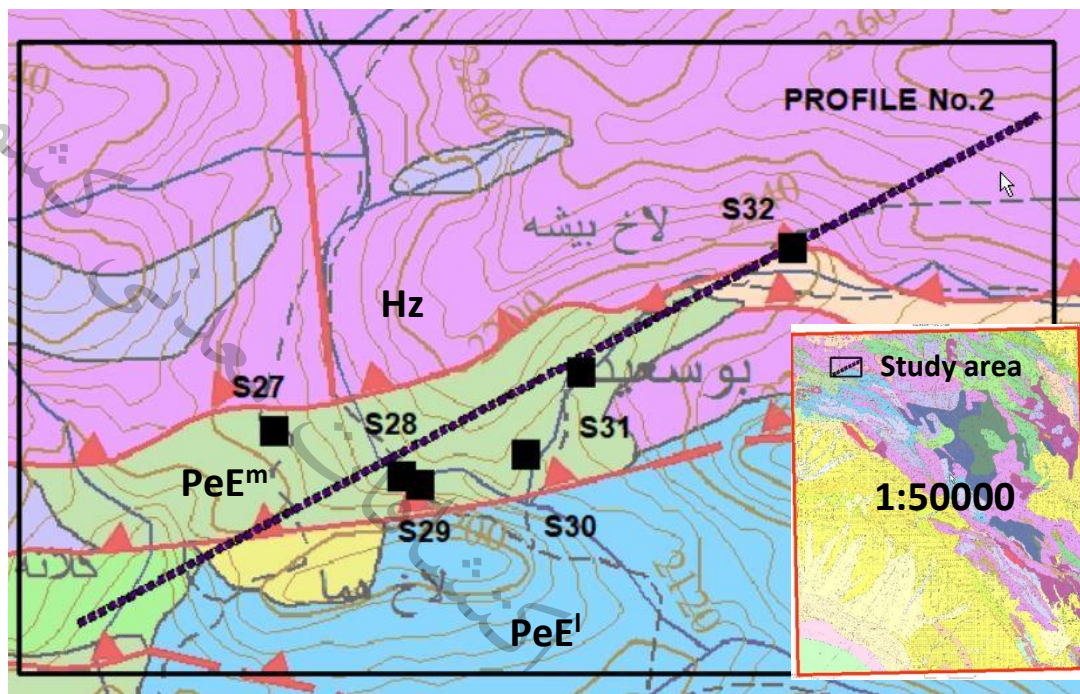
Sample	X	Y	Au	Ag	Al	As	Ba	Be
BIRG-2-S23	717357	3623648	5	0.57	50018	2.4	330	1.1
Ca	Cd	Ce	Co	Cr	Cu	Fe	K	La
74146	0.34	35	14	208	21	26008	13600	22
Li	Mg	Mn	Mo	Na	Ni	P	Pb	S
38	19766	515	0.54	11601	141	472	5	314
Sb	Sc	Sr	Th	Ti	U	V	Y	Yb
0.86	8.2	278	5	2681	5	65	14	1.5
Zn	Zr							
45	63							



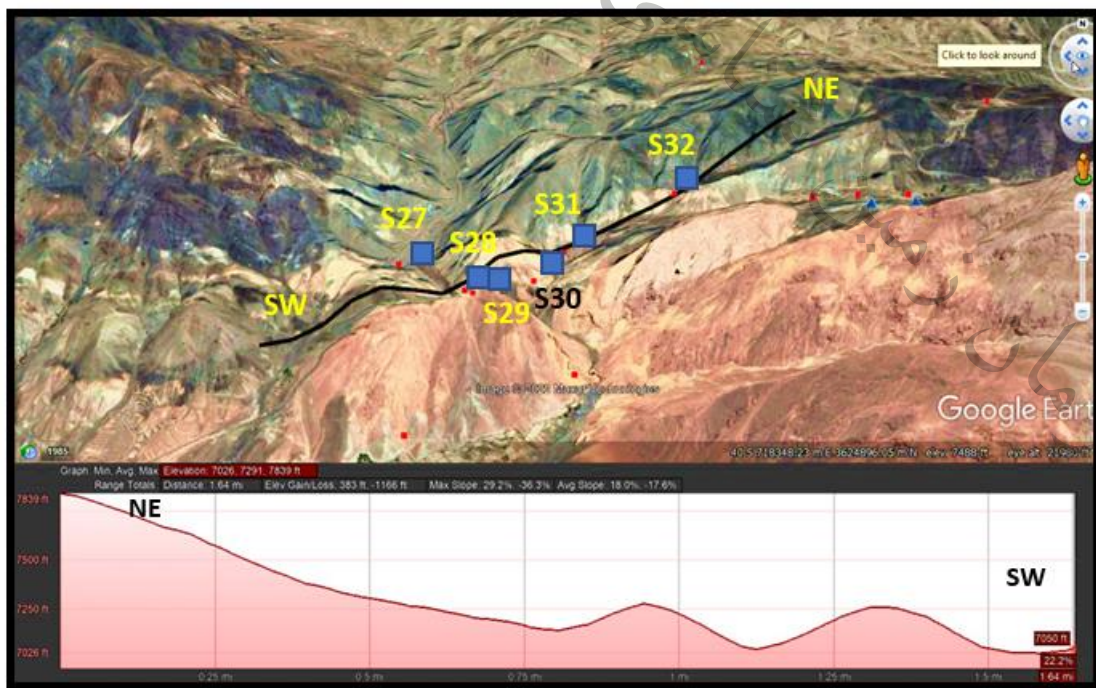
عکس ۴-۲- نمونه BIRG2S23 آلتراسیون آرژیلیکی به ارتفاع ۱۵ متر در سنگ میزان هارزبورزیتی

۴-۲-۲-۴-پروفیل (۲):

شروع پیمایش در این پروفیل از مختصات ۷۱۴,۰۷۳ X: و ۳,۶۲۲,۳۷۹ Y: در آزیموت ۶۲ درجه به طول ۲۵۸۶ متر بوده است. در این مسیر پیمایش شده ۵ نمونه برداشت شده است که به شرح آن‌ها پرداخته می‌شود (شکل‌های ۴-۴ و ۶-۴):



شکل ۴-۵- نمونه‌های برداشت شده در امتداد پروفیل (۲) و زمین‌شناسی مربوطه (اقتباس از نقشه ۱:۵۰۰۰۰ کاهی)
Hz: Harzburgite PeEm: Grey to light grey marl PeE': Nummolitic, sandy limestone



شکل ۴-۶- نمایی از پروفیل (۲) در تصویر ماهواره‌ای به همراه مقطع عرضی آن.

-نمونه **BIRG2S27** از یک زون آلتره سبز رنگ و آرژیلی شده از مختصات X: 714680 و Y: 3622945 برداشت شده که سنگ میزبان آن هارزبورژیت می‌باشد. این رگه در امتداد ۱۴۵ درجه آزیموت با شیب ۴۵ درجه به غرب قرار گرفته است. بر اساس نقشه ۱:۵۰۰۰۰ کاهی، این نمونه در واحد PeE^m شامل مارن‌های خاکستری، قرار گرفته است (جدول ۴-۷ و عکس ۳-۴). هر چند با توجه به بررسی‌های صحرایی در محل پروفیل (۲)، سنگ‌های در برگیرنده لیسونیت‌ها و مارن‌های اکسید آهنی و لیمونیتی، واحد هارزبورژیتی هستند.

جدول ۴-۷- آنالیز عنصری به روش ICP در نمونه BIRG2S27

Sample	X	Y	Au	Ag	Al	As	Ba	
BIRG-2-S27	714680	3622945	5	0.85	8538	2	26	
Be	Ca	Cd	Ce	Co	Cr	Cu	Fe	K
1	10%	0.32	2	37	957	17	29659	215
La	Li	Mg	Mn	Mo	Na	Ni	P	Pb
1	21	2%	450	0.5	357	782	36	4
S	Sb	Sc	Sr	Th	Ti	U	V	Y
154	1.08	8.2	328	5	243	5	31	2
Yb	Zn	Zr						
0.5	21	5						



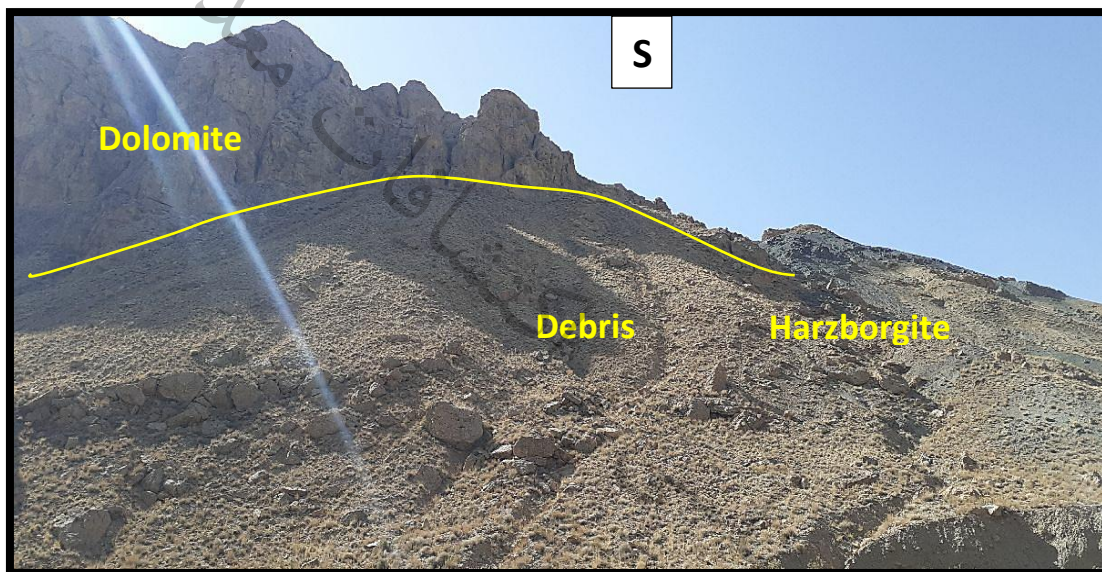
عکس ۴-۳- نمونه BIRG2S27 که از زون آلتراسیون رگه‌ای که در میان سنگ میزبان هارزبورژیت قرار دارد.

-نمونه **BIRG2S28** از مرز توده دولومیتی با سنگ‌های هارزبورژیتی از مختصات X: 714977 و Y: 3622837 برداشت شده است. ستیغ‌های صخره ساز دولومیت به صورت یک کلیپ تراستی روی توده هارزبورژیتی قرار گرفته است و گسل خوردگی ظاهر هورست و گرابن ایجاد کرده است. همچنین در زیر لایه‌های

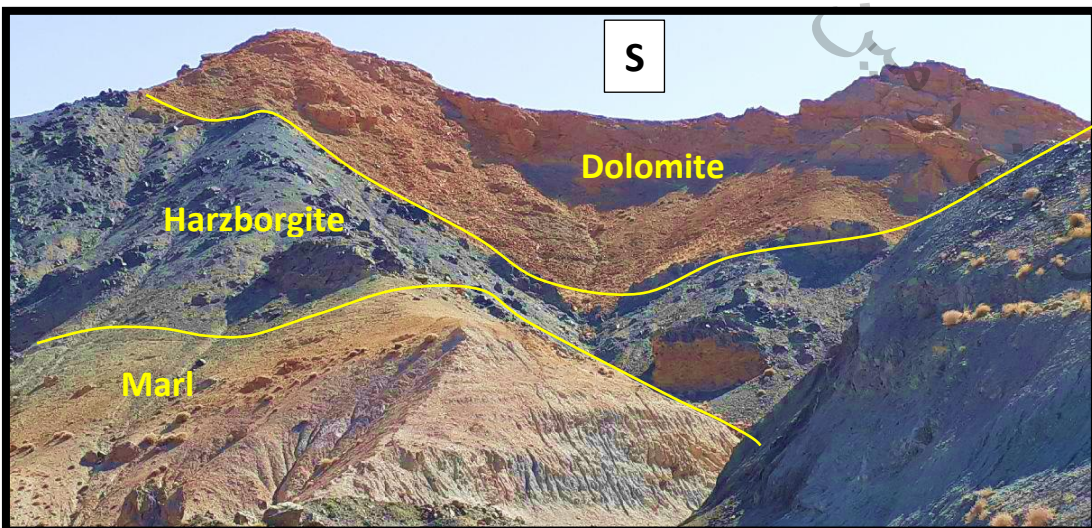
هارزبورژیتی هم لایه‌های مارن اکسیدی و لیمونیتی وجود دارد. این نمونه به جهت بررسی مواد غیر فلزی نسوز از دولومیت‌های منیزیتی صخره ساز برداشت شده است (جدول ۴-۸ و عکس ۴-۴ و عکس ۴-۵).

جدول ۴-۸- آنالیز عنصری به روش ICP در نمونه BIRG2S28

Sample	X	Y	Au	Ag	Al	As	Ba	Be
BIRG-2-S28	714977	3622837	5	0.5	2431	4.9	47	1
Ca	Cd	Ce	Co	Cr	Cu	Fe	K	La
10%	0.3	2	3	90	12	8984	244	2
Li	Mg	Mn	Mo	Na	Ni	P	Pb	S
25	2%	120	0.5	418	120	73	4	320
Sb	Sc	Sr	Th	Ti	U	V	Y	Yb
0.93	1.5	201	5	107	5	27	2	0.3
Zn	Zr							
1	5							



عکس ۴-۴- نمونه BIRG2S28 که از دولومیت منیزیمی صخره ساز برداشت شده است.



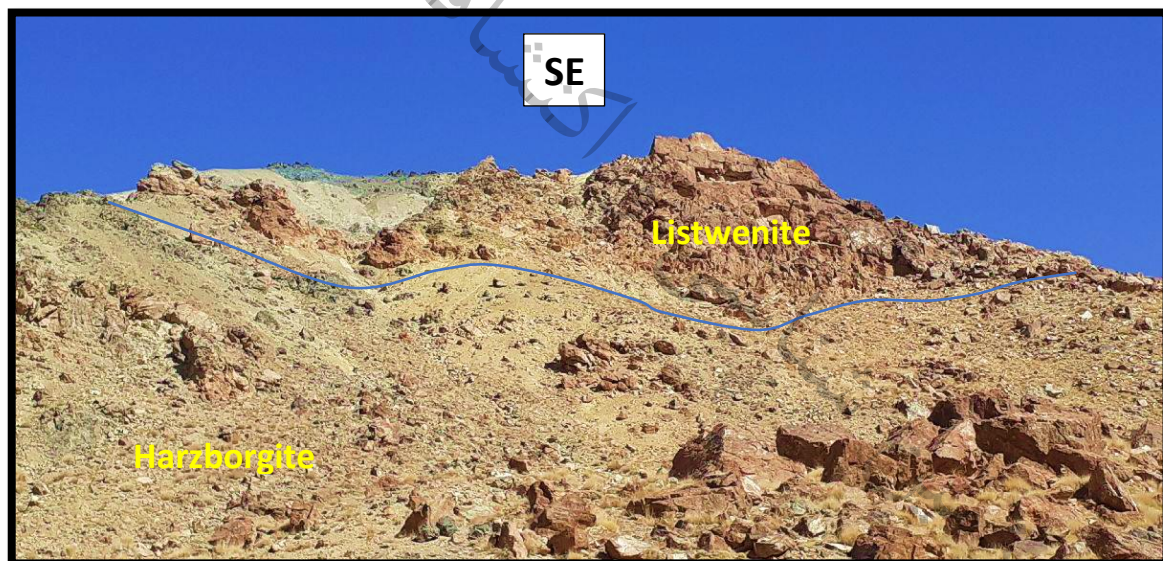
عکس ۴-۵- نمایی از کلیپ تراستی دولومیتی بر روی لایه‌های هارزبورژیت و مارن

-نمونه BIRG2S29 از یک رگه لیسونیتی در امتداد شرقی - غربی به طول ۱۰۰ متر و ضخامت ۳ متر از مختصات X: 715016 و Y: 3622814 برداشت شده است. این رگه لیسونیتی کربناته-سیلیسی در داخل سنگ هارزبورژیتی که گسل خوردگی دارد، رخنمون پیدا کرده است (جدول ۴-۶ و عکس‌های ۶-۴ و ۷).

جدول ۴-۶ - آنالیز عنصری به روشن ICP در نمونه BIRG2S29

Sample	X	Y	Au	Ag	Al	As	Ba	Be
BIRG-2-S29	715016	3622814	5	0.5	2928	82.5	19	1
Ca	Cd	Ce	Co	Cr	Cu	Fe	K	La
9158	0.5	2	78	1493	83	32796	329	1
Li	Mg	Mn	Mo	Na	Ni	P	Pb	S
24	2%	584	0.52	487	1525	33	4	486
Sb	Sc	Sr	Th	Ti	U	V	Y	Yb
1.2	4.1	39	5	79	5	19	0.5	0.3
Zn	Zr							
38	5							

در نمونه BIRG2S29 مقدار کروم (1493ppm)، مقدار نیکل (1525ppm) و مقدار گوگرد (486ppm) ناهنجاری نشان می‌دهد.



عکس ۴-۶ - نمایی از رگه لیسونیتی با سنگ میزبان هارزبورژیتی به طول ۱۰۰ متر و ضخامت ۳ متر



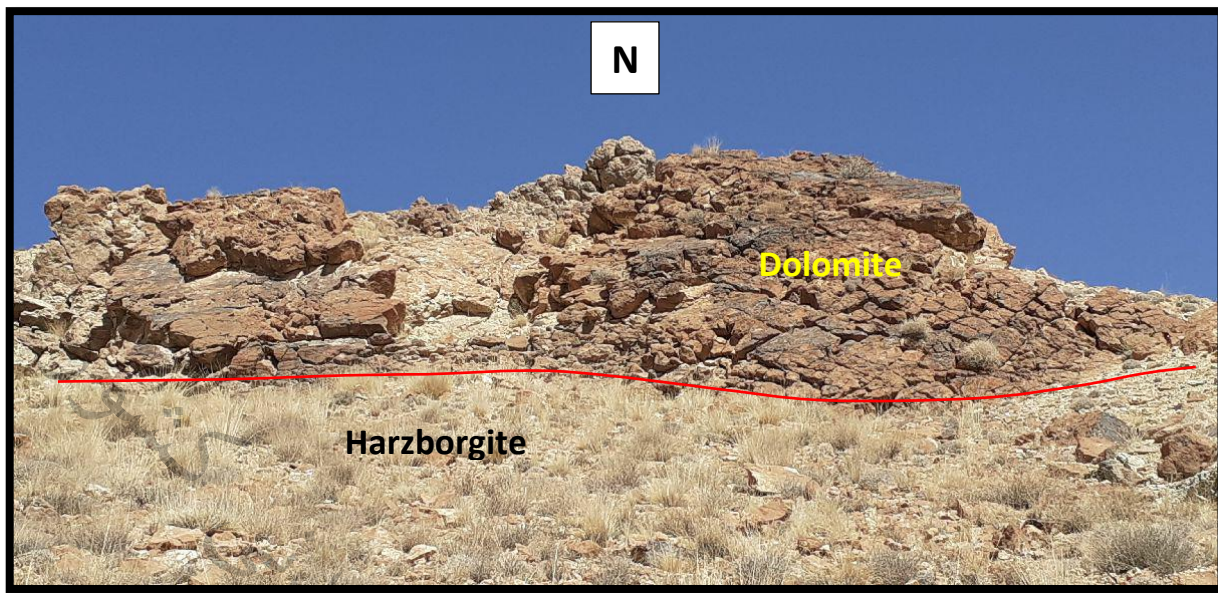
عکس ۴-۷- نمای نزدیک از رخنمون رگه لیسوئنیتی در محل نمونه BIRG2S29

- نمونه BIRG2S30 از انتهای کلیپ دولومیتی صخره ساز بر روی هارزبورژیت در سمت شرقی نمونه BIRG2S28 از مختصات 715272: X و 3622894: Y برداشت گردید تا گستردگی و پراکندگی عنصری مشخص گردد (جدول ۴-۱۰ و عکس ۴-۸).

جدول ۴-۱۰- آنالیز عنصری به روش ICP در نمونه BIRG2S30

Sample	X	Y	Au	Ag	Al	As	Ba	Be
BIRG-2-S30	715272	3622894	5	0.5	715	1.9	22	1
Ca	Cd	Ce	Co	Cr	Cu	Fe	K	La
28010	0.3	2	22	280	6	21108	118	1
Li	Mg	Mn	Mo	Na	Ni	P	Pb	S
22	2%	236	0.51	257	634	39	4	655
Sb	Sc	Sr	Th	Ti	U	V	Y	Yb
0.88	1.6	26	5	30	5	10	0.5	0.2
Zn	Zr							
4	5							

در این نمونه مقدار نیکل (634ppm) و مقدار گوگرد (655ppm) ناهنجاری نشان می‌دهد.



عکس ۴-۸- نمایی از انتهای رخنمون دولومیتی روی هارزبورزیت در قسمت شرقی نمونه BIRG2S30

-نمونه BIRG2S31 از یک رخنمون آلتره سفید رنگ به مختصات 715398 X و 3623075 Y در مجاورت حفریات راه سازی برداشت گردید (جدول ۱۱-۴ و عکس‌های ۹-۴ و ۱۰-۴). این رخنمون زیر سنگ هارزبورزیتی دیده می‌شود و همراه با آن آلتراسیون لیمونیتی و کلریتی تشکیل شده که ظاهری مغز پسته‌ای به آن می‌دهد که احتمالاً یک مارن آلتره است.

جدول ۴-۱۱- آنالیز عنصری به روش ICP در نمونه BIRG2S31

Sample	X	Y	Au	Ag	Al	As	Ba	Be
BIRG-2-S31	715398	3623075	5	0.66	8167	3.1	24	1
Ca	Cd	Ce	Co	Cr	Cu	Fe	K	La
66429	0.29	2	62	1982	17	32463	339	1
Li	Mg	Mn	Mo	Na	Ni	P	Pb	S
23	2%	525	0.5	408	1221	28	4	257
Sb	Sc	Sr	Th	Ti	U	V	Y	Yb
8	9.4	233	5	201	5	46	1	0.4
Zn	Zr							
42	5							

در این نمونه مقدار کروم (1982 ppm) و مقدار نیکل (1221 ppm) ناهنجاری نشان می‌دهد.



عکس ۴-۹- نمایی از توده مارن آلتنه سفید رنگ و لیمونیتی شده در زیر سنگ هارزبورزیتی

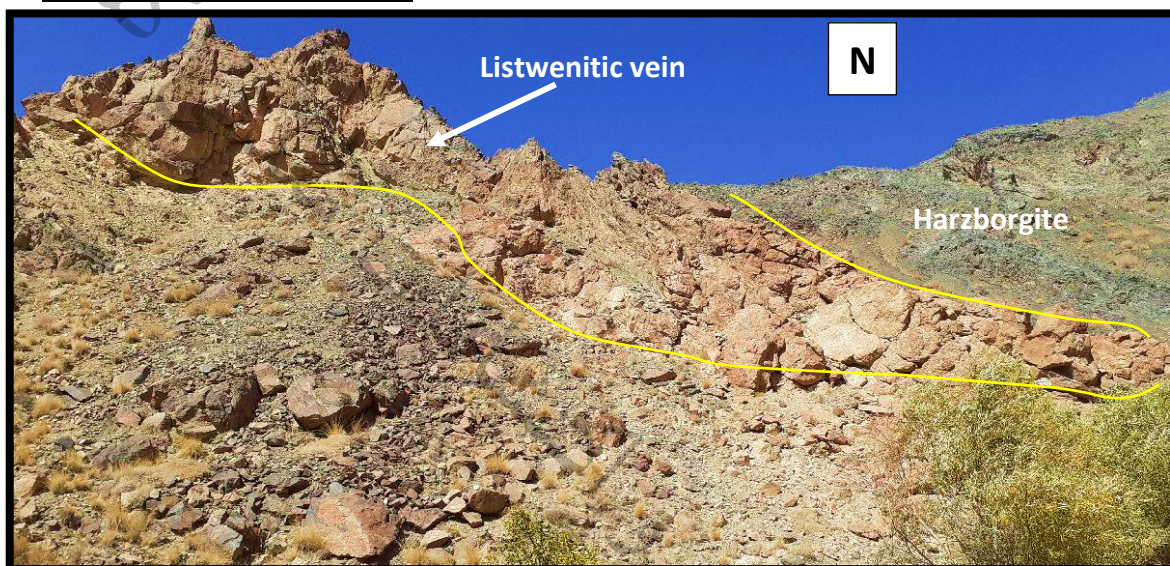


عکس ۴-۱۰- نمایی نزدیک از محل نمونه برداری BIRG2SS31

-نمونه BIRG2S32 از یک رخمنون رگه لیستونیتی در سنگ میزبان هارزبورزیتی به مختصات X: 715902 و Y: 3623372 به ضخامت حدود ۳ متر و طول حدود ۵۰ متر برداشت گردید جدول ۱۲-۴ و عکس ۴-۱). همچنانی در آبراهه منتهی به این رگه نیز اثرات فراوان از سنگ های ترئینی آراغونیتی و کلسیتی زیبا به صورت واریزه دیده می‌شود (عکس ۱۲-۴).

جدول ۴-۱۲- آنالیز عنصری به روش ICP در نمونه BIRG2S32

Sample	X	Y	Au	Ag	Al	As	Ba	Be
BIRG-2-S32	715902	3623372	5	0.5	1431	1.8	10	1
Ca	Cd	Ce	Co	Cr	Cu	Fe	K	La
51235	0.25	2	49	256	6	25424	104	1
Li	Mg	Mn	Mo	Na	Ni	P	Pb	S
24	2%	358	0.5	321	873	37	4	157
Sb	Sc	Sr	Th	Ti	U	V	Y	Yb
0.95	5	153	5	42	5	19	1	0.3
Zn	Zr							
7	5							



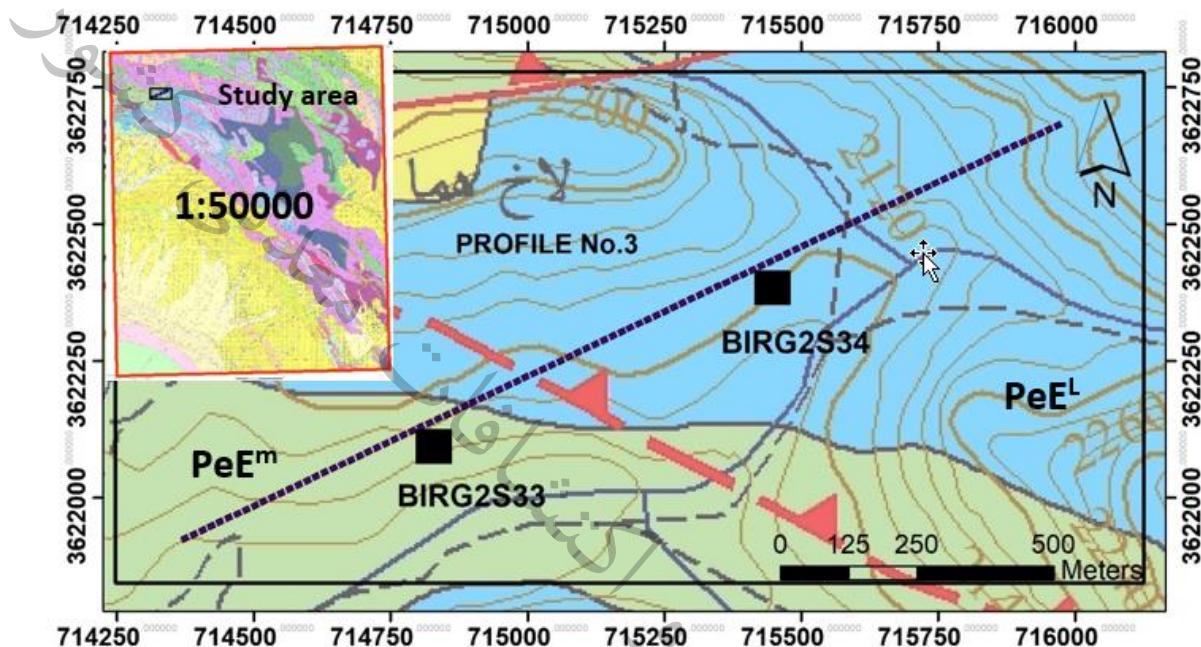
عکس ۴-۱۱- نمایی از رخنمون رگه لیستونیتی در محل نمونه BIRG2S32



عکس ۴-۱۲- نمایی از سنگ‌های آراغونیتی که جنبه تزئینی دارد.

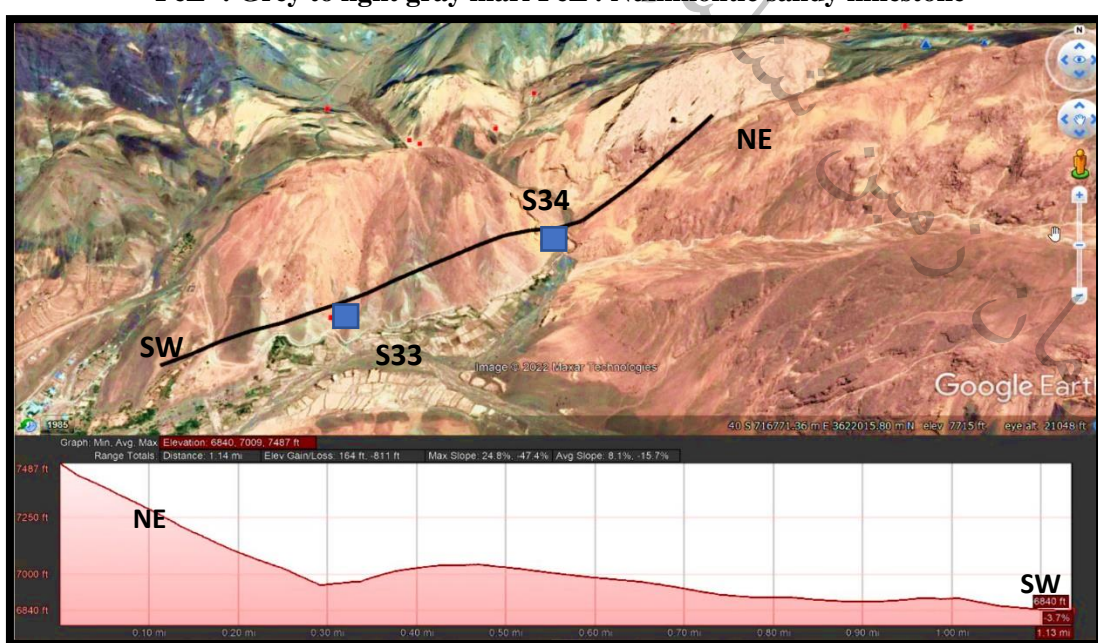
۴-۲-۳- پروفیل (۳):

شروع پیمایش در این پروفیل از مختصات ۷۱۴,۲۲۱ X: ۳,۶۲۱,۸۱۸ Y: در آزیمут ۶۵ درجه به طول ۱۷۸۷ متر بوده است. در این مسیر پیمایش شده ۲ نمونه برداشت شده است. نمونه‌های اخذ شده بر اساس نقشه زمین‌شناسی ۱:۵۰۰۰۰ در واحد مارنی و واحد آهک ماسه‌ای قرار گرفته است. در ادامه به شرح نمونه‌های اخذ شده پرداخته می‌شود (شکل‌های ۷-۴ و ۸-۴):



شکل ۴-۴- نمونه‌های برداشت شده در امتداد پروفیل (۳) و زمین‌شناسی مربوطه (اقتباس از نقشه ۱:۵۰۰۰۰ کاھی)

PeE^m: Grey to light gray marl **PeE^l:** Nummolitic sandy limestone



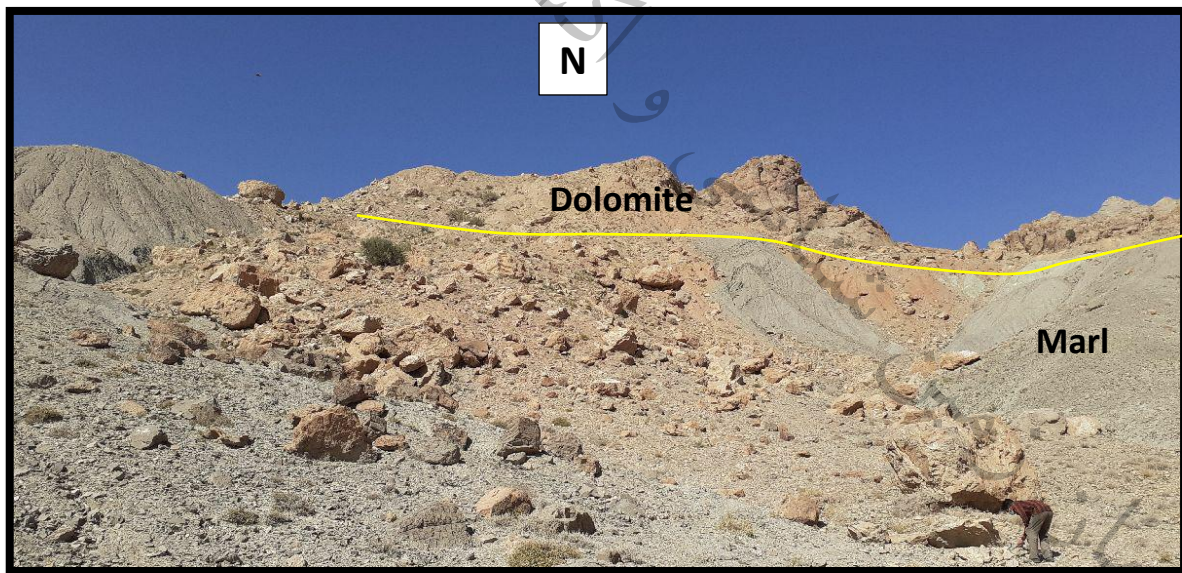
شکل ۴-۸- نمایی از پروفیل (۳) در تصویر ماهواره‌ای به همراه مقطع عرضی آن.

-نمونه **BIRG2S33** از یک رخنمون دولومیتی در بالای مارن به مختصات X: 714831 و Y: 3622093 برداشت گردید. این لایه دولومیتی در جهت شرقی - غربی امتداد دارد و دارای ضخامت حدود ۲۰ متر در طول ۱۰۰ متر امتداد یافته است. در عکس (۱۳-۴) واریزه‌های دولومیت بر روی مارن قرار گرفته است. این نمونه به جهت برآورده میزان منیزیم و همچنین بررسی استفاده از آن در صنایع نسوز برداشت گردید (جدول ۴-۴).

(۱۳)

جدول ۴-۴- آنالیز عنصری به روش ICP در نمونه BIRG2S33

Sample	X	Y	Au	Ag	Al	As	Ba	Be
BIRG-2-S33	714831	3622093	5	0.83	2827	15.9	23	1
Ca	Cd	Ce	Co	Cr	Cu	Fe	K	La
10%	0.33	4	3	150	7	13752	354	2
Li	Mg	Mn	Mo	Na	Ni	P	Pb	S
21	2%	104	0.59	320	176	89	4	270
Sb	Sc	Sr	Th	Ti	U	V	Y	Yb
0.9	1.2	189	5	130	5	28	2	0.3
Zn	Zr							
1	5							



عکس ۴-۴- نمایی از سنگ‌های دولومیتی در بالای مارن خاکستری در محل نمونه BIRG2S33

- نمونه **BIRG2S34** از یک رخنمون دولومیتی به مختصات X: 715456 و Y: 3622380 برداشت گردید. این لایه دولومیتی در جهت شمالی - جنوبی امتداد دارد (جدول ۱۴-۴ و عکس ۱۴-۴).

جدول ۱۴-۴ - آنالیز عنصری به روش ICP در نمونه **BIRG2S34**

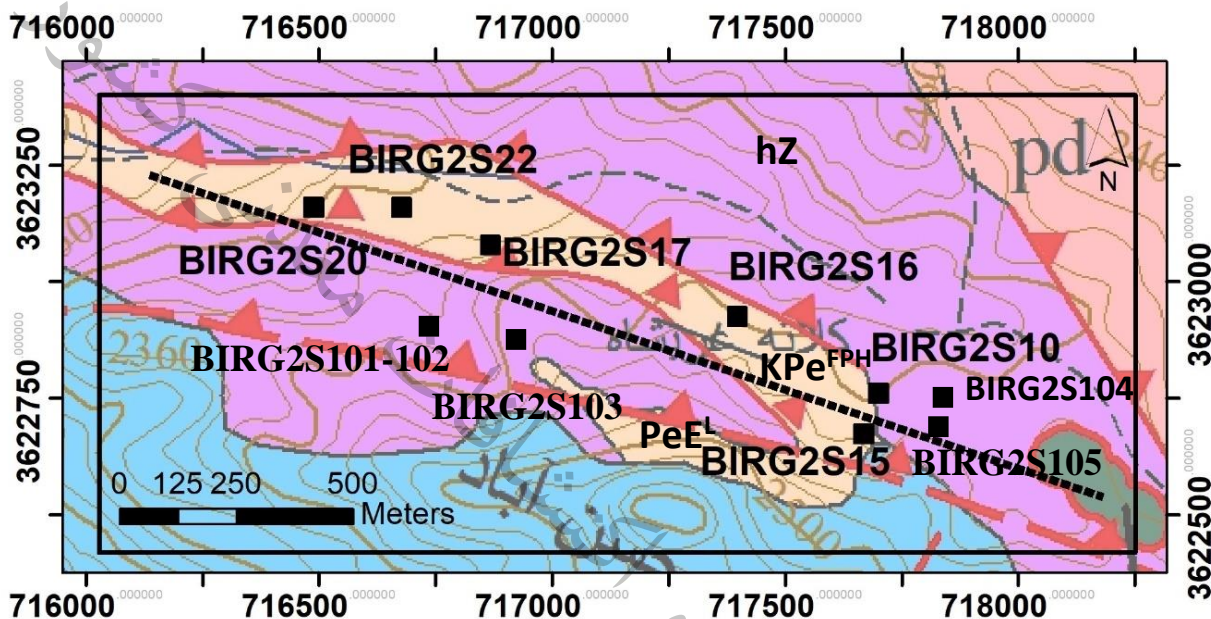
Sample	X	Y	Au	Ag	Al	As	Ba	Be
BIRG-2-S34	715456	3622380	5	0.5	4315	70.7	22	1
Ca	Cd	Ce	Co	Cr	Cu	Fe	K	La
10%	0.5	3	6	124	10	32585	647	3
Li	Mg	Mn	Mo	Na	Ni	P	Pb	S
22	2%	145	0.74	3438	373	212	4	609
Sb	Sc	Sr	Th	Ti	U	V	Y	Yb
1.08	1.1	164	5	218	5	48	3	0.5
Zn	Zr							
9	8							

در این نمونه مقدار گوگرد (609ppm) ناهنجاری نشان می‌دهد.

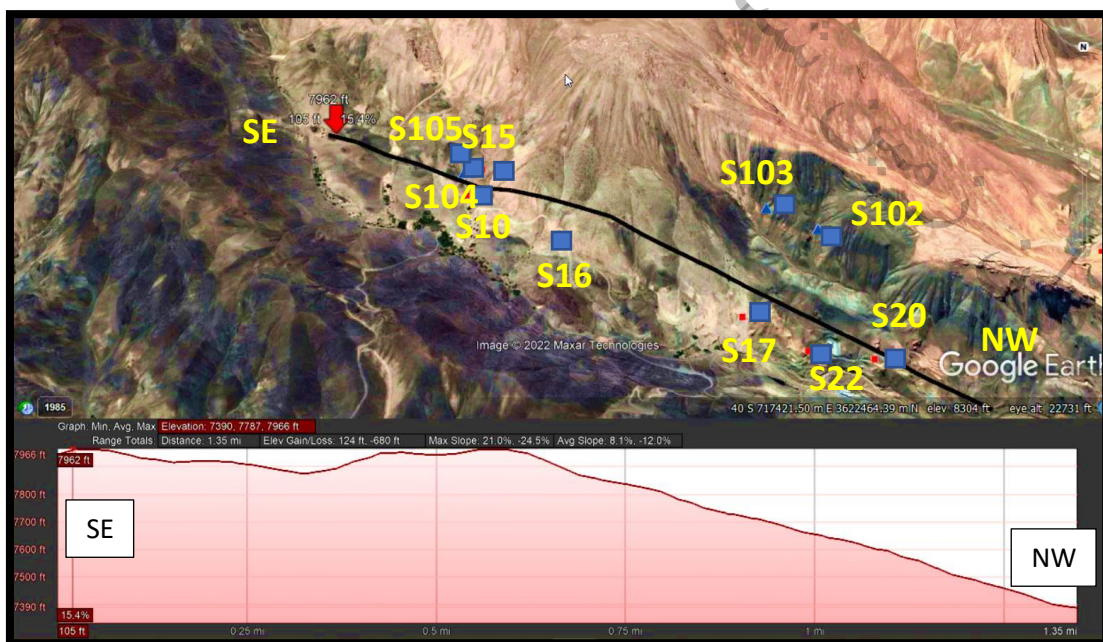
عکس ۱۴-۴ - نمایی از سنگ‌های دولومیتی صخره ساز در محل نمونه **BIRG2S34**

۴-۲-۴: پروفیل (۴)

شروع پیمایش در این پروفیل از مختصات X: 716,020 و Y: 3,623,119 در آzymot ۱۰۹ درجه به طول ۲۱۵۰ متر بوده است. در این مسیر پیمایش شده ۱۱ نمونه برداشت شده است. نمونه‌های اخذ شده بر اساس نقشه زمین‌شناسی ۱:۵۰۰۰۰ در واحدهای هارزبورژیت، سنگ‌های دگرگونی و مر هارزبورژیت و سنگ آهک قرار گرفته است (شکل‌های ۹-۴ و ۱۰-۴). در ادامه به شرح نمونه‌های اخذ شده در این پروفیل پرداخته می‌شود:



شکل ۴-۹ - نمونه‌های برداشت شده در امتداد پروفیل (۳) و زمین‌شناسی مربوطه (اقتباس از نقشه ۱:۵۰۰۰۰ کاھی)
Hz: Harzburgite PeE^l: Nummulitic limestone KPe^{fph}: Slate and calcschist



شکل ۴-۱۰ - نمایی از پروفیل (۴) در تصویر ماهواره‌ای به همراه مقطع عرضی آن.

-نمونه **BIRG2S20** در مرز هارزبورژیت و سنگ‌های دگرگونی به مختصات X: 716484 و Y: 3623155 همراه با آلتراسیون کلریتی و لیمونیتی مشاهده می‌شود که نمونه برداری به جهت برآورد مقدار نیکل انجام گردید (جدول ۱۵-۴ و عکس ۱۷-۴).

جدول ۱۵-۴-آنالیز عنصری به روش ICP در نمونه **BIRG2S20**

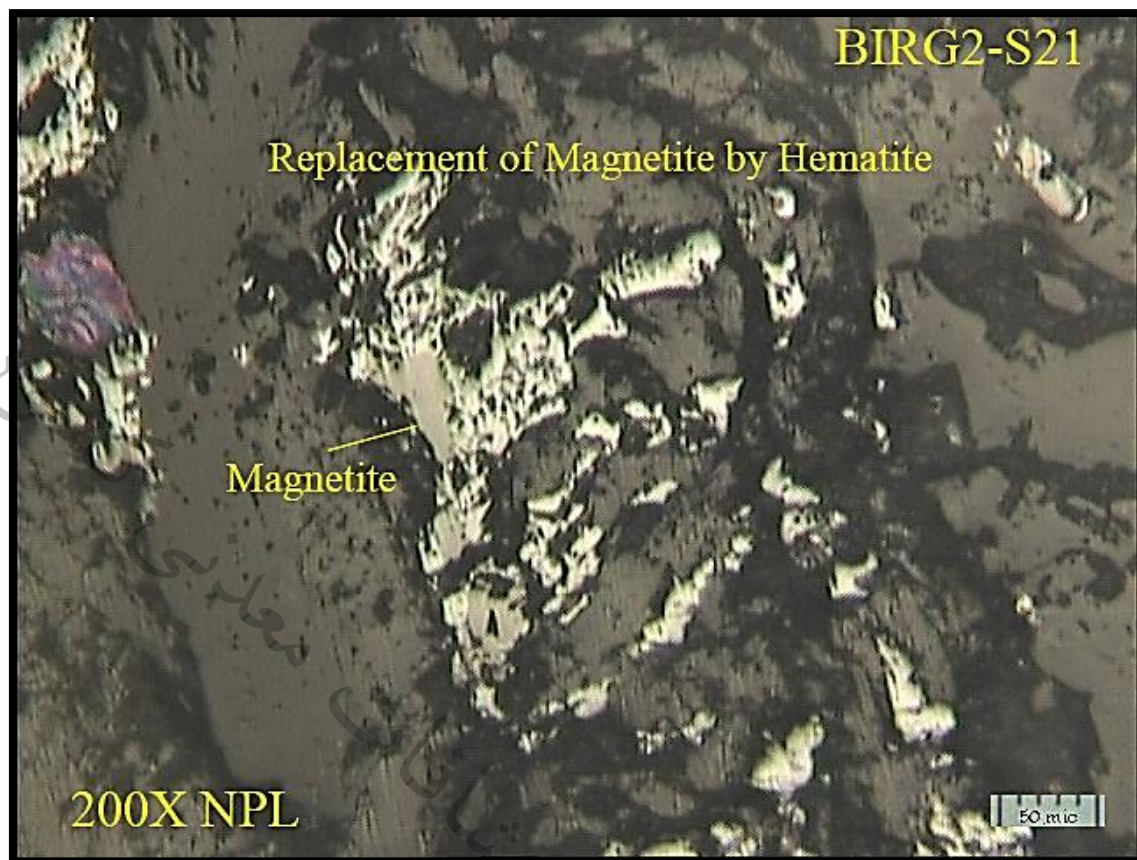
Sample	X	Y	Au	Ag	Al	As	Ba	Be
BIRG-2-S20	716484	3623155	5	0.5	6506	1.9	14	1
Ca	Cd	Ce	Co	Cr	Cu	Fe	K	La
35762	0.31	1	59	1484	14	39741	193	1
Li	Mg	Mn	Mo	Na	Ni	P	Pb	S
34	2%	674	0.5	390	1097	34	4	192
Sb	Sc	Sr	Th	Ti	U	V	Y	Yb
1.11	6.3	120	5	122	5	30	1	0.5
Zn	Zr							
40	5							

در این نمونه مقدار کروم (1484ppm) و مقدار نیکل (1097ppm) ناهنجاری نشان می‌دهد.

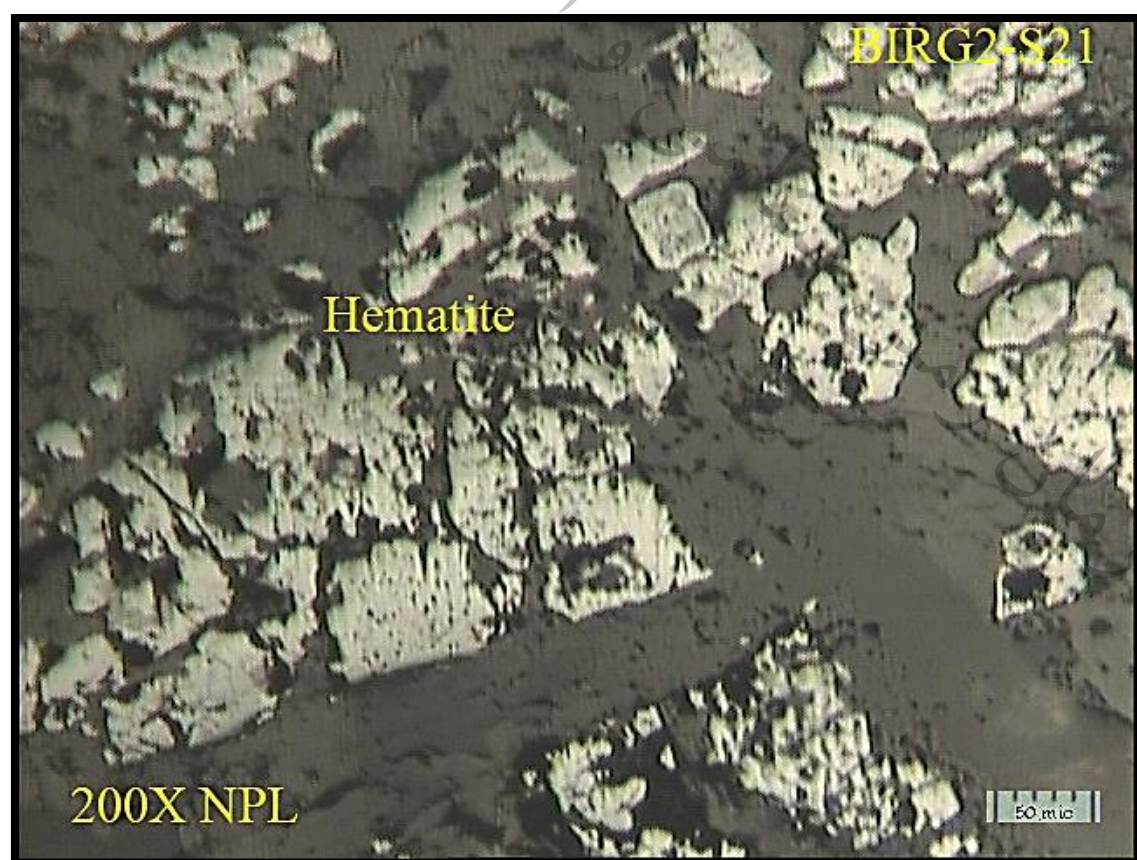
نمونه **BIRG2S21TP** به جهت مطالعات مینرالوگرافی برداشت گردید (عکس‌های ۱۵-۴ و ۱۶-۴).

کانی فلزی: هماتیت، منیتیت

- **مگنیتیت:** کریستال‌های کوچک این کانی در اندازه‌ای ما بین ۳ الی ۷۰ میکرون به شکل اتومورف و نیمه اتومورف در متن نمونه پراکندگی غیر یکنواخت دارند. این کریستال‌ها در اثر آلتراسیون سوپرژن توسط کریستال‌های هماتیت در حال جایگزینی هستند. اکثر کریستال‌ها کاملاً توسط هماتیت جایگزین شده‌اند و در برخی آثاری از کانی مگنیتیت دیده می‌شود. فراوانی مگنیتیت قبیل از آلتراسیون حدود ۳ درصد بوده است.
- **هماتیت:** کریستال‌های کوچک و پهن این کانی با فراوانی حدود ۳ درصد در فضاهای باز سنگ میزبان کانی‌سازی کرده است در برخی نقاط کریستال‌های پهن هماتیت را کریستال‌های ریز و سوزنی شکل اولیژیست همراهی می‌کند. کریستال‌های هماتیت در اندازه‌ای کمتر از ۸۰ میکرون و اغلب به شکل تجمع چندین کریستال مشاهده می‌شوند.



عکس ۴-۱۵- نمایی از کانی مگنتیت که به هماتیت در حال تبدیل است. در نمونه BIRG2S21TP



عکس ۴-۱۶- نمایی از کانی هماتیت در نور معمولی در نمونه BIRG2S21TP



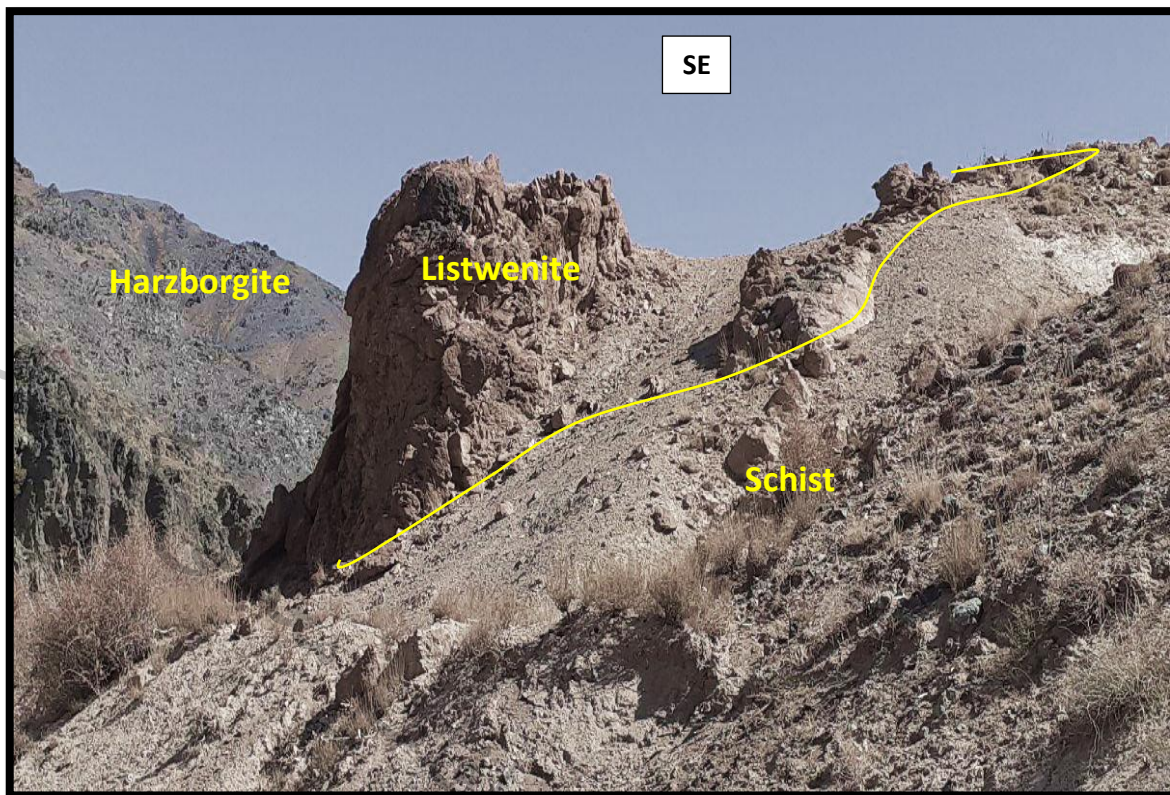
عکس ۴-۱۷- نمایی از آلتراسیبون در مرز هارزبورژیت با سنگ‌های دگرگونی در محل نمونه BIRG2S20

-نمونه BIRG2S22 از یک رگه لیسونیتی به ضخامت ۴ متر و طول ۲۰ متر در سنگ میزان شیستی به مختصات X: 716677 و Y: 3623152 برداشت گردید (جدول ۱۶-۴ و عکس ۴-۱۸). این رگه لیستونیتی در امتداد ۱۲۰ درجه آزمودت به ضخامت ۴ متر و طول ۳۰ متر در سنگ هارزبورژیتی رخنمون دارد.

جدول ۴-۱۶- آنالیز عنصری به روی ICP در نمونه BIRG2S20

Sample	X	Y	Au	Ag	Al	As	Ba	Be
BIRG-2-S22	716677	3623152	7	0.56	2551	2.2	31	1
Ca	Cd	Ce	Co	Cr	Cu	Fe	K	La
78847	0.26	2	41	803	9	29142	204	1
Li	Mg	Mn	Mo	Na	Ni	P	Pb	S
34	2%	603	0.53	438	784	40	4	271
Sb	Sc	Sr	Th	Ti	U	V	Y	Yb
1.06	4.4	630	5	84	5	19	1	0.4
Zn	Zr							
24	5							

در این نمونه مقدار کروم (784ppm) و مقدار نیکل (803ppm) ناهنجاری نشان می‌دهد.



عکس ۴-۱۸- نمایی از رگه لیستونیتی در سنگ میزان شیستی در محل نمونه BIRG2S20

-نمونه BIRG2S17 از یک رگه لیستونیتی در امتداد شرقی- غربی به طول بیش از ۱۰۰ متر و به ضخامت حدود ۳ متر به مختصات X: 716866 و Y: 3623074 برداشت گردید (جدول ۱۷-۴ و عکس ۲۳-۴).

جدول ۴-۱۷- آنالیز عنصری به روشن ICP در نمونه BIRG2S17

Sample	X	Y	Au	Ag	Al	As	Ba	Be
BIRG-2-S17	716866	3623074	5	0.5	2937	43.3	89	1
Ca	Cd	Ce	Co	Cr	Cu	Fe	K	La
3762	0.28	2	31	2025	12	44908	297	1
Li	Mg	Mn	Mo	Na	Ni	P	Pb	S
26	8549	92	0.5	411	424	39	4	3986
Sb	Sc	Sr	Th	Ti	U	V	Y	Yb
1.18	3	71	5	60	5	28	0.5	0.4
Zn	Zr							
15	5							

در این نمونه مقدار کروم (2025 ppm)، مقدار گوگرد (3986 ppm) و مقدار نیکل (4244 ppm)

ناهنجاری نشان می‌دهد.

نمونه‌های **BIRG2S19TP** و **BIRG2S18TP** به جهت مطالعات مینرالوگرفی برداشت گردید

(عکس‌های ۱۹-۴ تا ۲۲-۴)

قطع صیقلی BIRG2S18TP

کانی فلزی: پیریت: کرومیت

- **پیریت:** کریستال‌های بسیار کوچک این کانی در اندازه‌ای کمتر از ۱۰۰ میکرون در متن نمونه پراکنده‌اند. در سطح کریستال‌ها شکستگی فراوان دیده می‌شود که نشان دهنده فشارهای مکانیکی در محیط تشکیل است. فراوانی پیریت در این نمونه حدود ۲ درصد است.

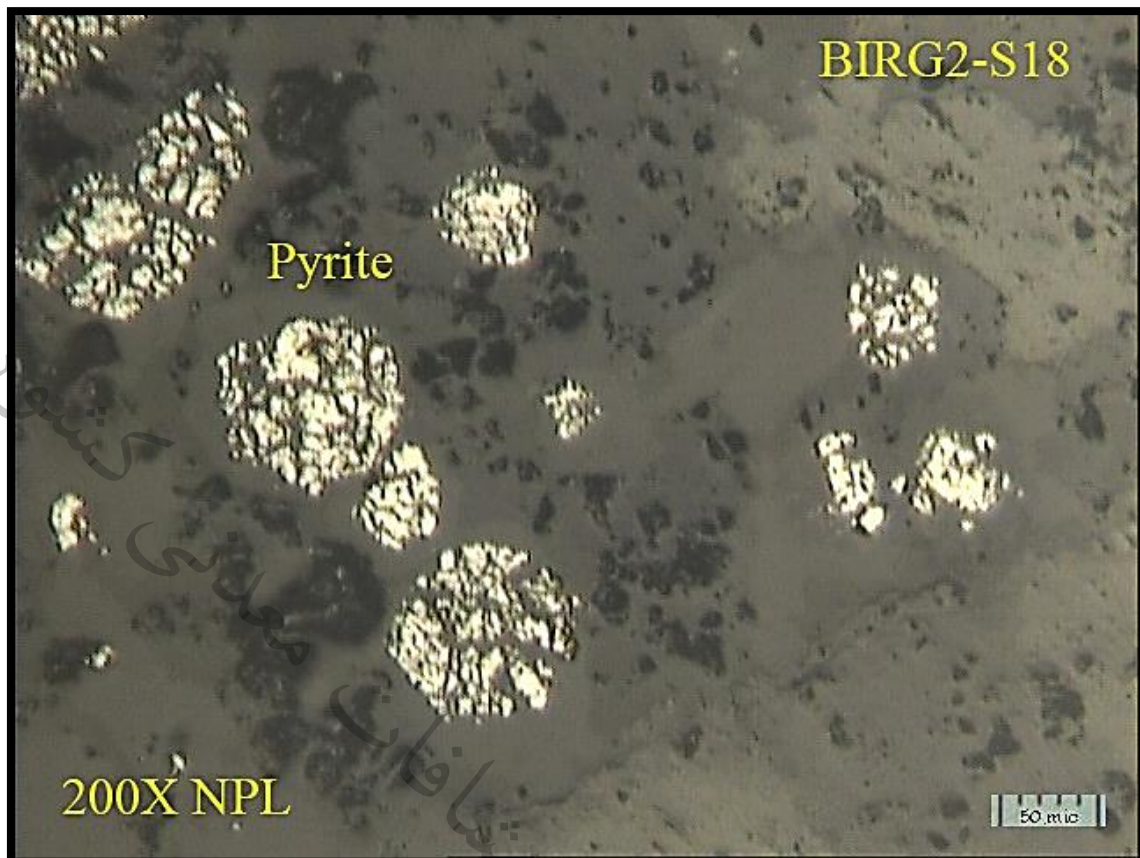
- **کرومیت:** کریستال‌هایی به شکل هندسی نامشخص در اندازه‌ای کمتر از ۲۵۰ میکرون تشکیل شده و کمتر از ۱ درصد در این نمونه حضور دارد.

قطع صیقلی BIRG2S19TP

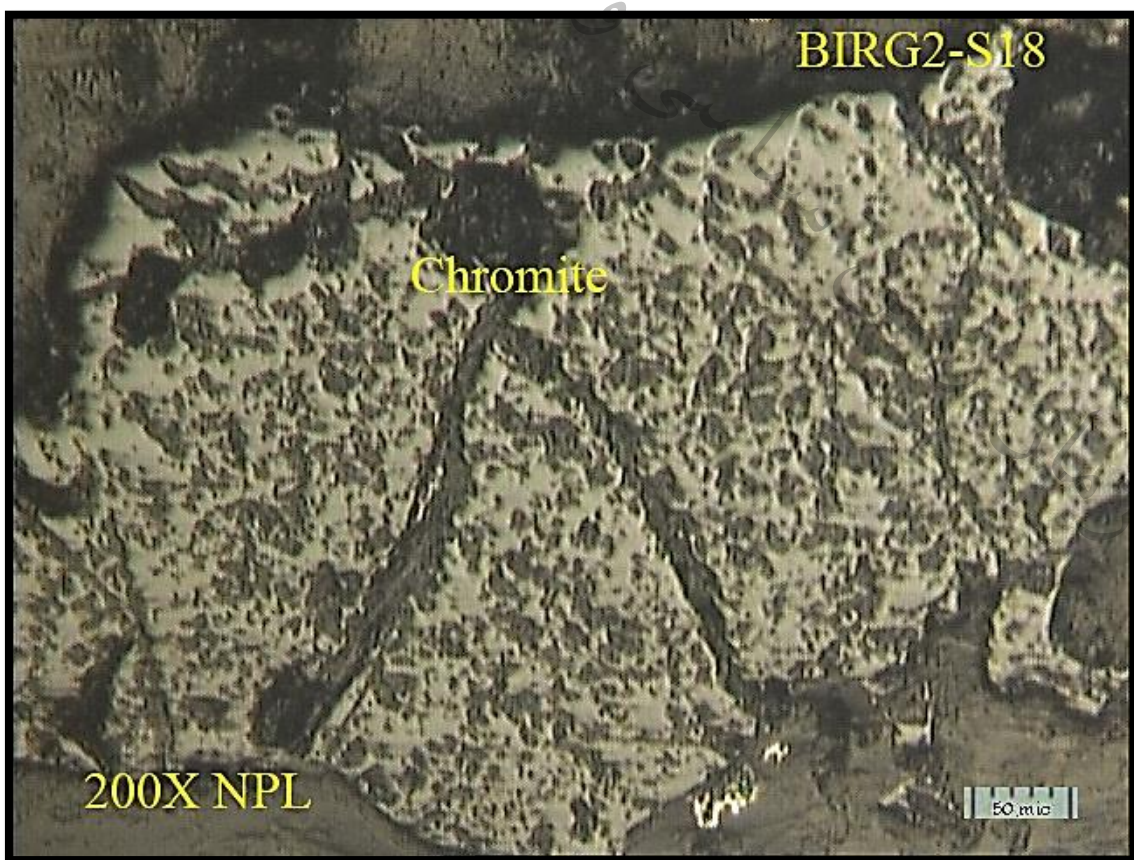
کانی فلزی: پیریت، اکسیدهای آبدار و ثانویه آهن

- **پیریت:** کریستال‌های کوچک پیریت در اندازه‌ای کمتر از ۷۰ میکرون در فضاهای باز سنگ میزبان کانی‌سازی کرده‌اند. به ندرت این کانی را در اندازه ۳۰۰ میکرون مشاهده می‌کنیم. این کانی حدود ۳ درصد نمونه را فرا گرفته است.

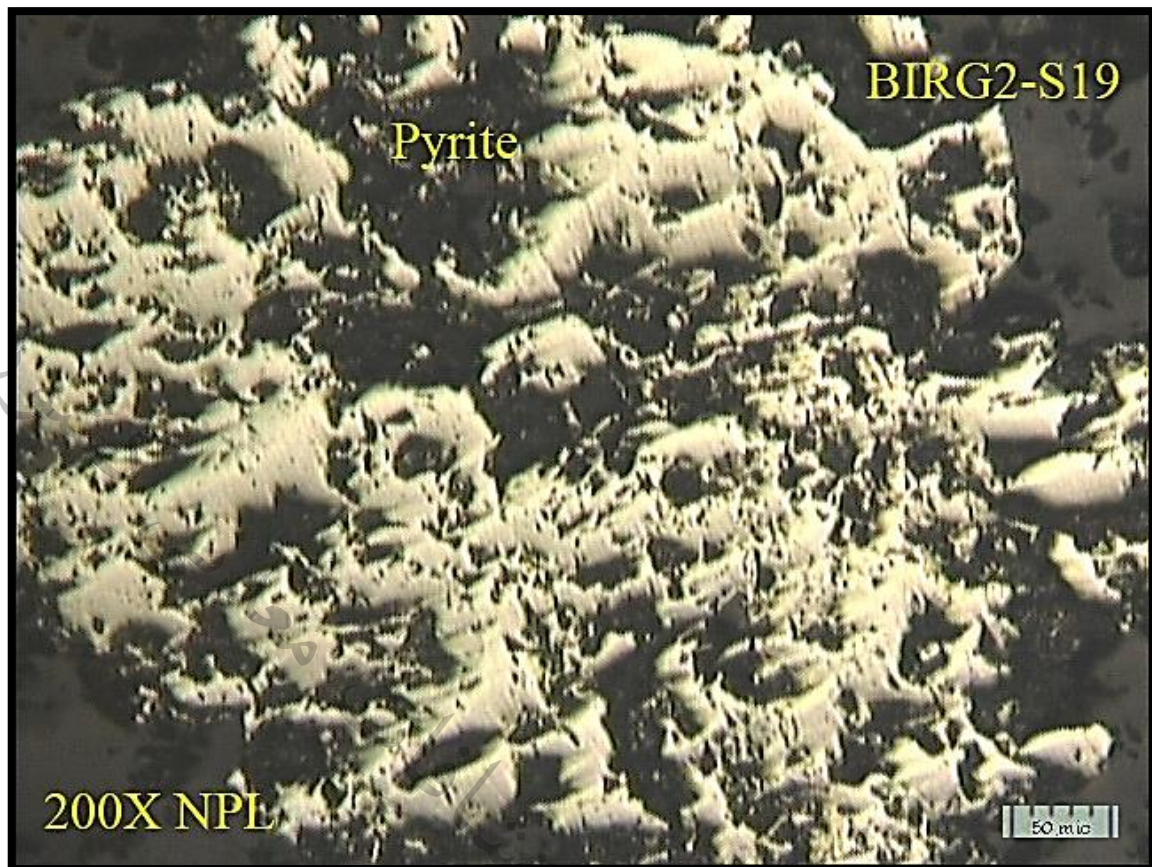
- **اکسیدهای آبدار و ثانویه آهن:** به شکل لکه‌های کوچک در حفرات سنگ میزبان استقرار یافته‌اند.



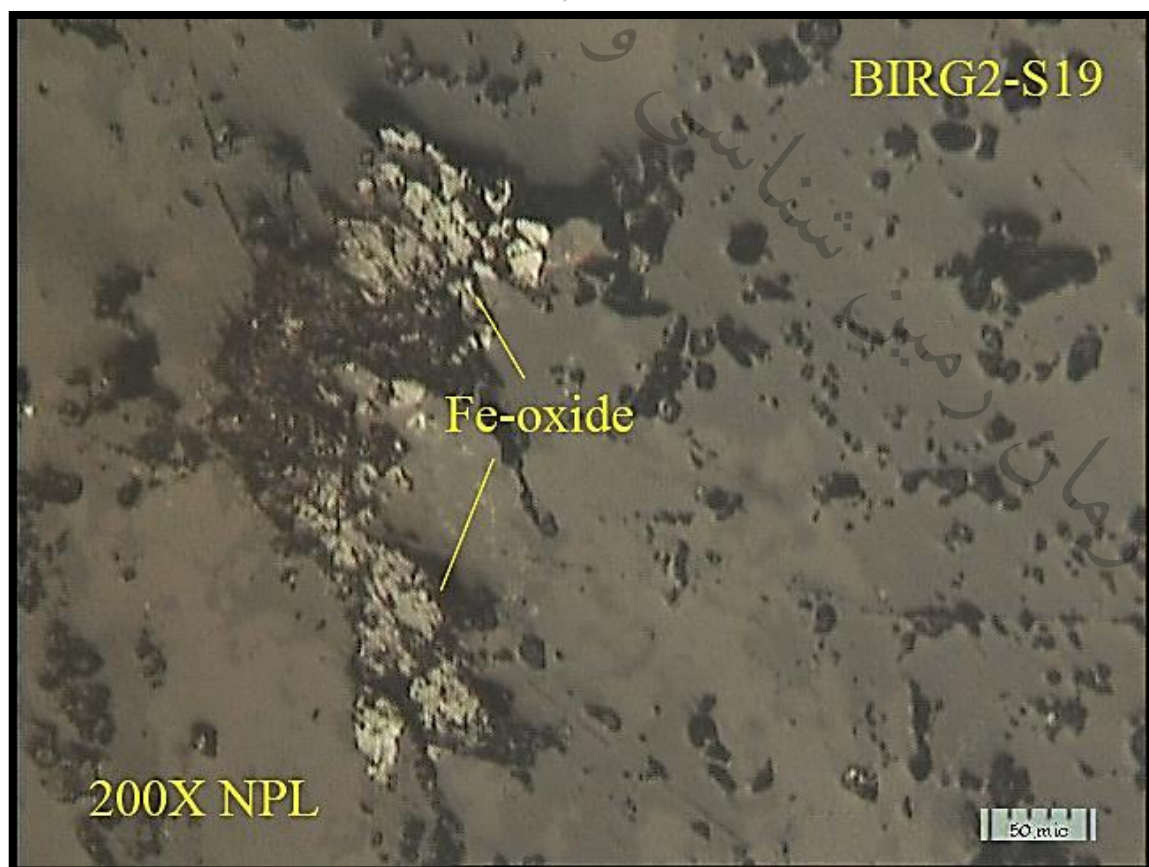
عکس ۴-۱۹- نمایی از کانی پیریت در نمونه BIRG2S18TP



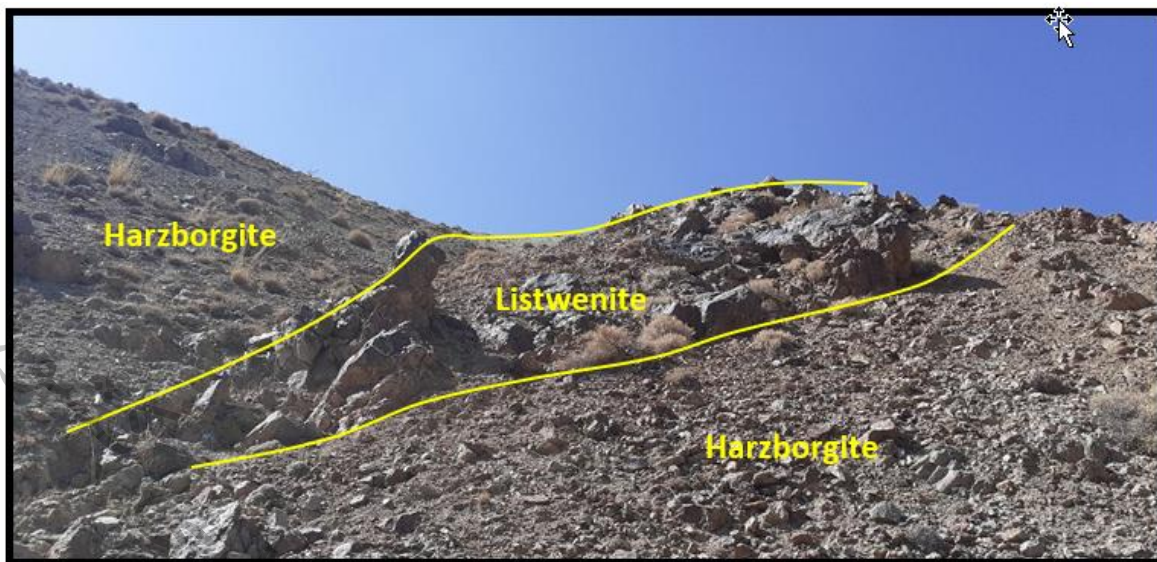
عکس ۴-۲۰- نمایی از کانی کرومیت در نمونه BIRG2S18TP



عکس ۴-۲۱- نمایی از کانی پیریت در نمونه BIRG2S19TP



عکس ۴-۲۲- نمایی از کانی‌های اکسید آهن در اطراف پیریت در نمونه BIRG2S19TP



عکس ۴-۲۳- نمایی از رگه لیستونیتی در سنگ میزان هارزبورژیتی سرپانتینی شده در محل نمونه BIRG2S17

-نمونه BIRG2S101 از یک زون سرپانتینی-کلربیتی-آرژیلی در سنگ میزان پریدوتیتی به طول ۱۰۰ متر و ضخامت ۱۰ متر از مختصات X: 716787 و Y: 3622767 برداشت گردید (جدول ۱۸-۴ و عکس ۴-۲۴). در این نمونه مقدار نیکل (855 ppm) ناهنجاری نشان می‌دهد.

جدول ۱۸-۴- آنالیز عنصری به روش ICP در نمونه BIRG2S101

Sample	X	Y	Au	Ag	Al	As	Ba	Be
BIRG2S101	716787	3622767	5	0.5	3234	7.2	23	1
Ca	Cd	Ce	Co	Cr	Cu	Fe	K	La
10%	0.19	2	40	1003	15	31662	266	1
Li	Mg	Mn	Mo	Na	Ni	P	Pb	S
7	2%	442	0.54	578	855	53	4	380
Sb	Sc	Sr	Th	Ti	U	V	Y	Yb
1.21	7.9	143	5	62	5	27	1	0.6
Zn	Zr							
24	5							



عکس ۴-۲۴- نمایی از رگه لیستونیتی خورده شده و زون گوتیت در سنگ میزبان هارزبورژیتی در محل نمونه

BIRG2S101-S102نمونه **BIRG2S102** از یک زون سرپانتینی-کلریتی-آرژیلی در سنگ پریدوتیتی به طول ۱۰۰ متر و

ضخامت ۱۰ متر از مختصات 716631 X: 3622813 Y: برداشت گردید (جدول ۱۹-۴ و عکس ۴-۲۵)

جدول ۴-۱۹- آنالیز عنصری به روش ICP در نمونه BIRG2S102

Sample	X	Y	Au	Ag	Al	As	Ba	Be
BIRG2S102	716631	3622813	5	0.5	2912	3.7	14	1
Ca	Cd	Ce	Co	Cr	Cu	Fe	K	La
79616	0.17	1	51	1375	10	35823	311	1
Li	Mg	Mn	Mo	Na	Ni	P	Pb	S
10	2%	415	0.53	518	919	36	3	364
Sb	Sc	Sr	Th	Ti	U	V	Y	Yb
1.36	6.2	100	5	55	5	25	0.5	0.5
Zn	Zr							
27	5							

نمونه **BIRG2S103** از یک لیستونیتی در سنگ میزبان هارزبورژیتی به طول ۳۰ متر و ضخامت ۲

متر از مختصات 716631 X: 3622813 Y: برداشت گردید (جدول ۲۰-۴ و عکس ۴-۲۶)

جدول ۴-۲۰- آنالیز عنصری به روش ICP در نمونه BIRG2S103

Sample	X	Y	Au	Ag	Al	As	Ba	Be
BIRG2S103	716631	3622813	5	0.5	7967	2.8	17	1
Ca	Cd	Ce	Co	Cr	Cu	Fe	K	La
75215	0.18	1	118	3501	26	53809	324	1
Li	Mg	Mn	Mo	Na	Ni	P	Pb	S
13	2%	980	0.61	534	1479	35	4	350
Sb	Sc	Sr	Th	Ti	U	V	Y	Yb
1.79	12.5	112	5	136	5	60	1	0.9
Zn	Zr							
59	5							

در نمونه BIRG2S101 مقدار نیکل (855ppm) و همچنین در نمونه BIRG2S103 مقدار نیکل (3501ppm) ناهنجاری نشان می‌دهد. و مقدار کروم (1479ppm)



عکس ۴-۲۵- نمایی از رگه لیستونیتی در سنگ میزان هارزبورژیتی در محل نمونه BIRG2S103

-نمونه BIRG2S16 از یک زون سیلیسی- آرژیلیتی- لیمونیتی و حاوی اکسیدهای آهن برداشت گردید که در امتداد ۳۱۰ درجه به ضخامت ۴ متر و طول ۳۰ متر رخنمون دارد (جدول ۲۱-۴ و عکس ۴-۲۶).

جدول ۴-۲۱- آنالیز عنصری به روش ICP در نمونه BIRG2S16

Sample	X	Y	Au	Ag	Al	As	Ba	Be
BIRG-2-S16	717401	3622923	5	0.5	3310	20.3	29	1
Ca	Cd	Ce	Co	Cr	Cu	Fe	K	La
57059	0.29	2	56	1544	11	30120	202	1
Li	Mg	Mn	Mo	Na	Ni	P	Pb	S
40	2%	848	0.5	553	874	38	4	208
Sb	Sc	Sr	Th	Ti	U	V	Y	Yb
1.2	5.7	210	5	40	5	26	2	0.4
Zn	Zr							
32	5							

در این نمونه مقدار کروم (1544 ppm) و مقدار نیکل (874 ppm) و همچنین مقدار لیتیم (40 ppm) ناهنجاری نشان می‌دهد.



عکس ۴-۲۶- نمایی از زون آرژیلی-لیمونیتی-اکسید آهنی در محل نمونه BIRG2S16

-نمونه BIRG2S10 از یک زون کربناته-لیمونیتی-آرژیلی و اکسید آهنی حاوی کانی‌های کلریتی در زون آلتره با سنگ میزان هارزبورژیتی برداشت گردید (جدول ۲۲-۴ و عکس ۲۷-۴).

جدول ۴-۲۲- آنالیز عنصری به روش ICP در نمونه BIRG2S10

Sample	X	Y	Au	Ag	Al	As	Ba	Be
BIRG-2-S10	717705	3622754	5	0.6	9520	43.5	51	1
Ca	Cd	Ce	Co	Cr	Cu	Fe	K	La
33800	0.31	1	38	1519	34	30652	278	1
Li	Mg	Mn	Mo	Na	Ni	P	Pb	S
33	2%	358	0.52	936	674	39	4	657
Sb	Sc	Sr	Th	Ti	U	V	Y	Yb
1.2	4.9	117	5	181	5	33	1	0.4
Zn	Zr							
21	5							

در این نمونه مقادیر عنصر کروم (1519 ppm)، نیکل (674 ppm) و گوگرد (657 ppm) ناهنجاری نشان می‌دهد.



عکس ۴-۲۷- نمایی از زون آلترا لیمونیتی-آرژیلیتی و اکسید آهنی-کلریتی در سنگ میزبان هارزبورژیتی.
(نمونه BIRG2S10)

-نمونه BIRG2S104-105 از یک زون آلترا کربناتی-لیمونیتی به ابعاد ۵۰ در ۵۰ متر برداشت گردید که این دو نمونه کنار هم و در نزدیکی هم در سنگ میزبان هارزبورژیتی قرار گرفته‌اند (جداول ۲۳-۴ و ۲۴-۴) و (عکس ۴-۲۸).

جدول ۴-۲۳- آنالیز عنصری به روش ICP در نمونه BIRG2S104

Sample	X	Y	Au	Ag	Al	As	Ba	Be
BIRG2S104	717703	3622693	5	0.5	2724	100	56	1
Ca	Cd	Ce	Co	Cr	Cu	Fe	K	La
56587	0.64	1	90	1687	12	10%	516	1
Li	Mg	Mn	Mo	Na	Ni	P	Pb	S
21	11022	245	0.75	536	3005	65	4	2949
Sb	Sc	Sr	Th	Ti	U	V	Y	Yb
20.1	2.9	304	5	73	5	84	1	1.8
Zn	Zr							
45	6							

عناصر نیکل (3005 ppm)، گوگرد (2949 ppm) و کروم (1687 ppm) ناهنجاری نشان می‌دهد.

جدول ۴-۲۴- آنالیز عنصری به روش ICP در نمونه BIRG2S105

Sample	X	Y	Au	Ag	Al	As	Ba	Be
BIRG2S105	717720	3622694	5	0.5	3025	13.1	38	1
Ca	Cd	Ce	Co	Cr	Cu	Fe	K	La
60260	0.18	2	51	1117	10	29521	568	1
Li	Mg	Mn	Mo	Na	Ni	P	Pb	S
31	2%	526	0.68	814	972	42	3	543
Sb	Sc	Sr	Th	Ti	U	V	Y	Yb
1.59	3.4	347	5	129	5	13	1	0.5
Zn	Zr							
25	5							

عناصر نیکل (1117 ppm)، گوگرد (543 ppm) و کروم (972 ppm) ناهنجاری نشان می‌دهد.



عکس ۴-۲۸- نمایی از زون آلتره لیمونیتی- آرژیلیتی و اکسید آهنی- کلریتی در سنگ میزبان هارزبورژیتی.
(نمونه BIRG2S104-105)

-نمونه **BIRG2S15** از لایه آهک ماسه‌ای و دولومیتی که بر روی توده هارزبورژیتی در امتداد ۳۰۰ درجه به عرض ۴۰ متر و ضخامت ۲۰ متر کشیده شده است که به جهت بررسی مصارف صنعتی نمونه برداری گردید (جدول ۲۵-۴ و عکس ۲۹-۴).

جدول ۲۵-۴- آنالیز عنصری به روش ICP در نمونه **BIRG2S15**

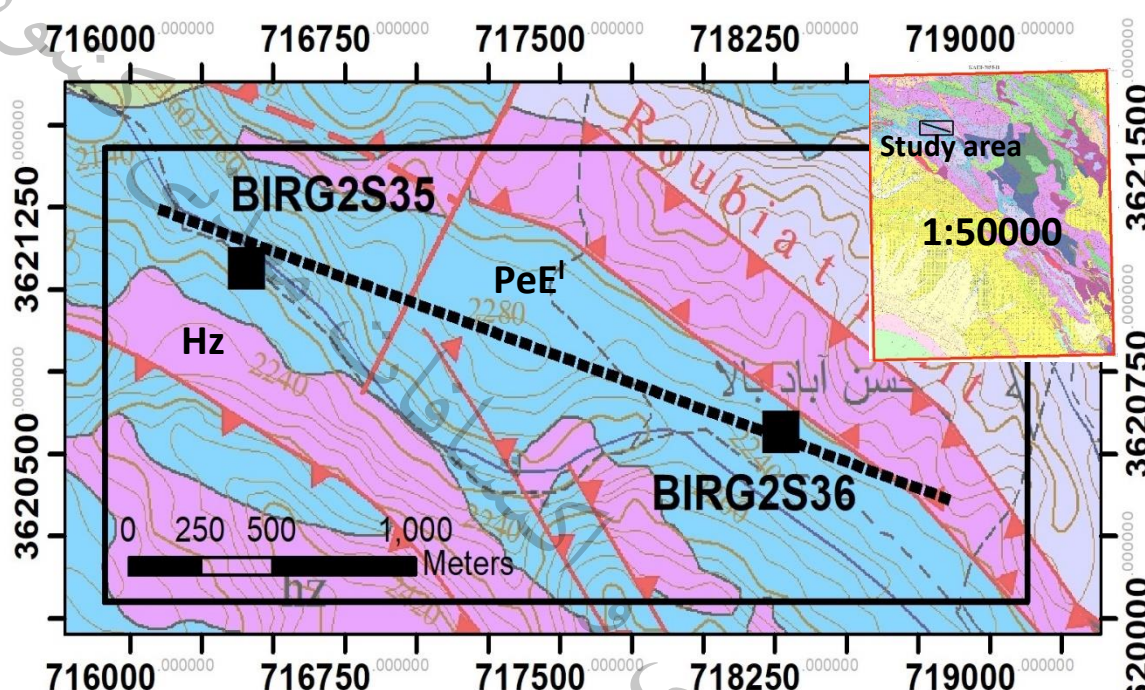
Sample	X	Y	Au	Ag	Al	As	Ba	Be
BIRG-2-S15	717664	3622671	5	0.5	706	10.7	11	1
Ca	Cd	Ce	Co	Cr	Cu	Fe	K	La
0.1	0.28	2	10	80	13	20553	140	2
Li	Mg	Mn	Mo	Na	Ni	P	Pb	S
21	0.02	332	0.54	292	177	86	4	264
Sb	Sc	Sr	Th	Ti	U	V	Y	Yb
0.89	1.2	86	5	30	5	28	2	0.3
Zn	Zr							
3	5							



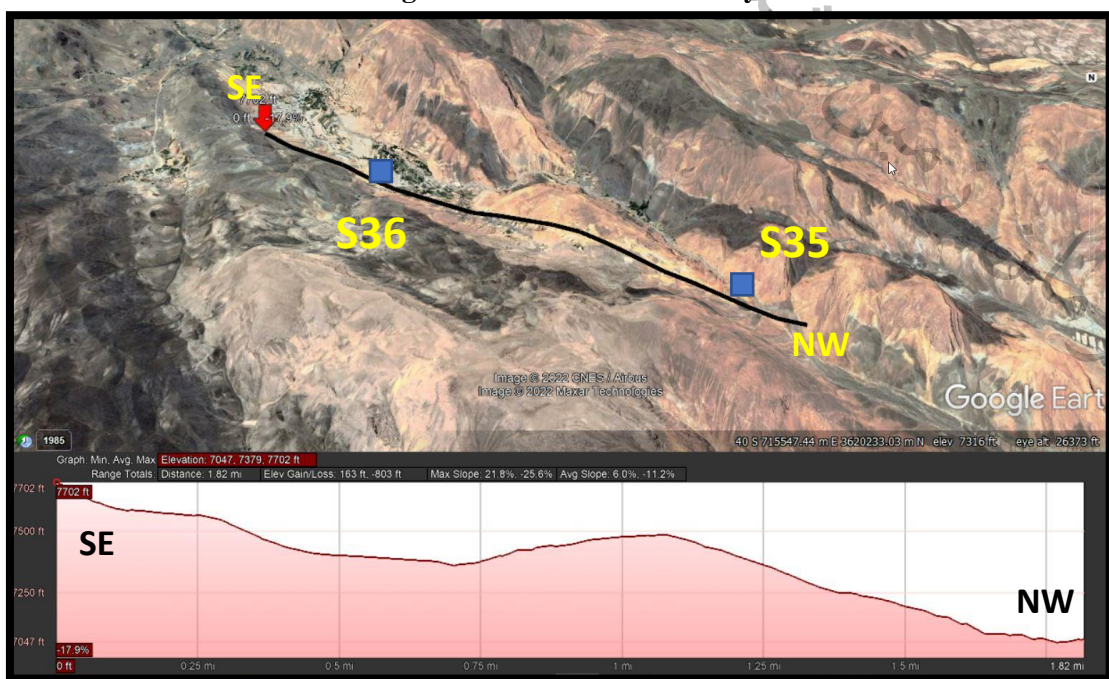
عکس ۲۹-۴- نمایی از لایه دولومیتی بر روی هارزبورژیت در محل نمونه **BIRG2S15**

۴-۲-۵- پروفیل (۵):

شروع پیمایش در این پروفیل از مختصات ۷۱۵,۹۷۸ X: و ۳,۶۲۱,۱۴۰ Y: در آزیموت ۱۰۸ درجه به طول ۲۹۰۳ متر بوده است. در این مسیر پیمایش شده تعداد ۲ نمونه برداشت شد. نمونه‌های اخذ شده بر اساس نقشه زمین‌شناسی ۱:۵۰۰۰۰ در واحدهای هارزبورژیت و سنگ آهک ماسه‌ای و نومولیتی قرار گرفته است (شکل‌های ۱۱-۴ و ۱۲-۴). در ادامه به شرح نمونه‌های اخذ شده در این پروفیل پرداخته می‌شود:



شکل ۱۱-۴- نمونه‌های برداشت شده در امتداد پروفیل (۵) و زمین‌شناسی مربوطه (اقتباس از نقشه ۱:۵۰۰۰۰ کاها)



شکل ۱۲- نمایی از پروفیل (۵) در تصویر ماهواره‌ای به همراه مقطع عرضی آن.

-نمونه BIRG2S35 از رخنمون آهکی-دولومیتی به جهت بررسی در صنعت برداشت گردید (جدول-

.۳۰-۴ و عکس ۲۶-۴

جدول ۲۶-۴- آنالیز عنصری به روش ICP در نمونه BIRG2S35

Sample	X	Y	Au	Ag	Al	As	Ba	Be
BIRG-2-S35	716411	3621063	5	0.84	4583	3.2	33	1
Ca	Cd	Ce	Co	Cr	Cu	Fe	K	La
10%	0.23	4	14	429	7	12749	379	3
Li	Mg	Mn	Mo	Na	Ni	P	Pb	S
29	2%	179	0.53	632	309	60	4	1053
Sb	Sc	Sr	Th	Ti	U	V	Y	Yb
1	2.7	605	5	168	5	29	3	0.4
Zn	Zr							
7	5							

در این نمونه مقدار گوگرد (1053 ppm) ناهنجاری نشان می‌دهد.



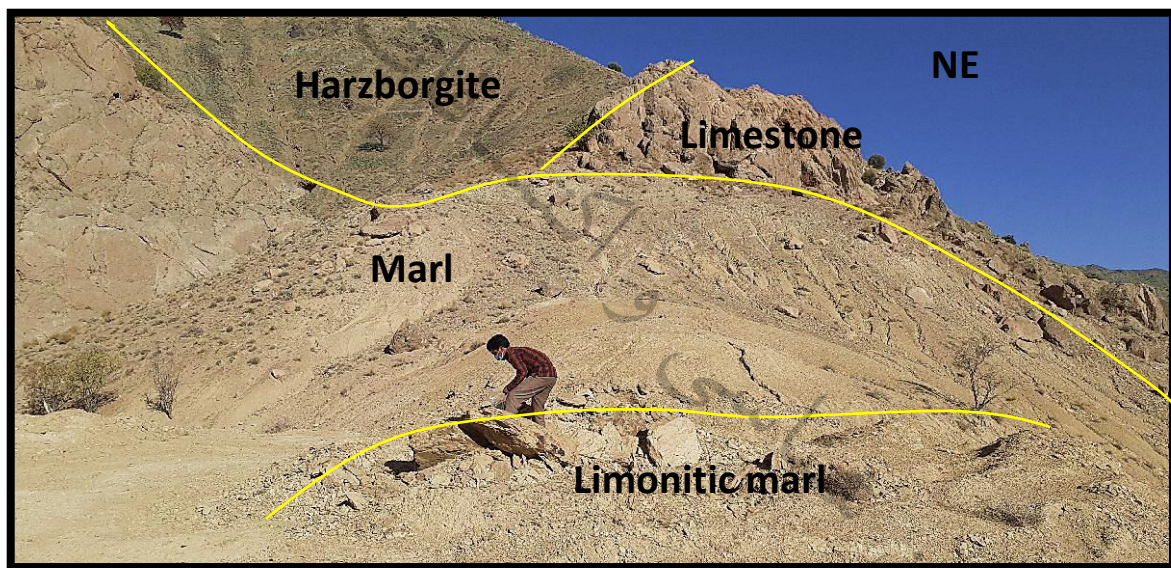
عکس ۳۰-۴- نمایی از لایه‌های ضخیم دولومیتی و آهکی در محل نمونه BIRG2S35

-نمونه **BIRG2S36** از محل رخنمون مارن لیمونیتی شده در امتداد ۳۰۵ درجه در زیر لایه آهک ماسه‌ای برداشت گردید (جدول ۴-۲۷ و عکس ۴-۳۱).

جدول ۴-۲۷- آنالیز عنصری به روش ICP در نمونه BIRG2S36

Sample	X	Y	Au	Ag	Al	As	Ba	Be
BIRG-2-S36	718275	3620564	5	0.5	62542	2.3	112	1.3
Ca	Cd	Ce	Co	Cr	Cu	Fe	K	La
10%	0.3	36	11	95	27	29936	13209	22
Li	Mg	Mn	Mo	Na	Ni	P	Pb	S
43	15268	468	0.55	778	65	424	4	277
Sb	Sc	Sr	Th	Ti	U	V	Y	Yb
0.91	10.6	472	5	2632	5	81	16	1.9
Zn	Zr							
60	84							

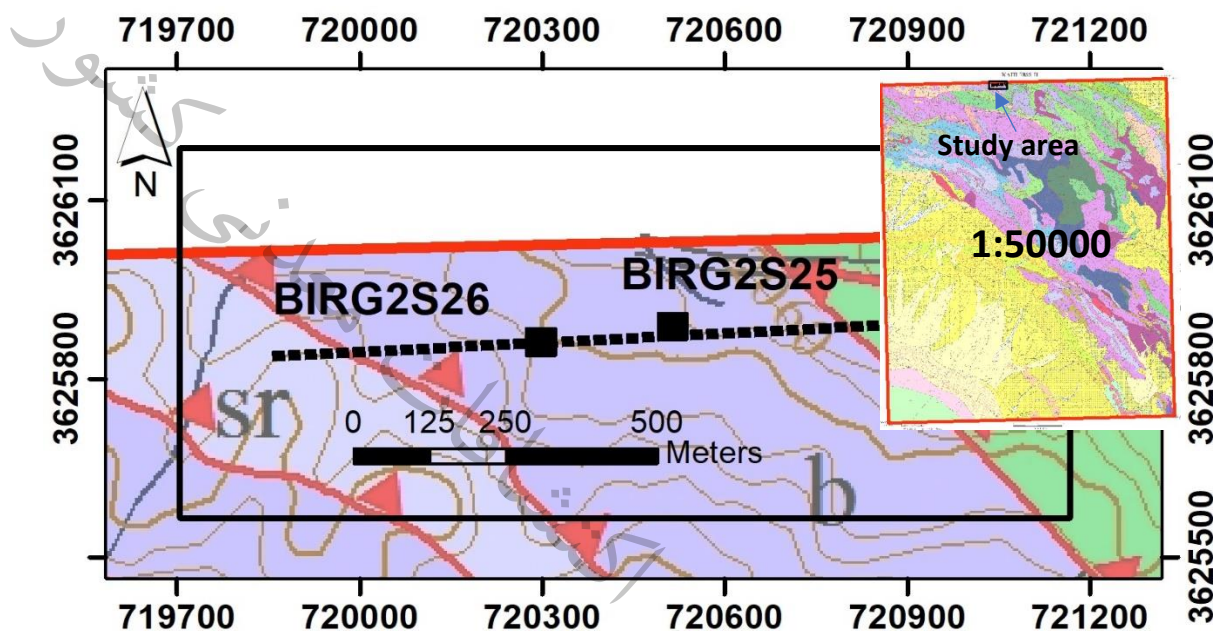
در این نمونه مقدار تیتانیوم (2632 ppm)، لانتانیم (22 ppm) و لیتیم (43 ppm) ناهمواری نشان می‌دهد.



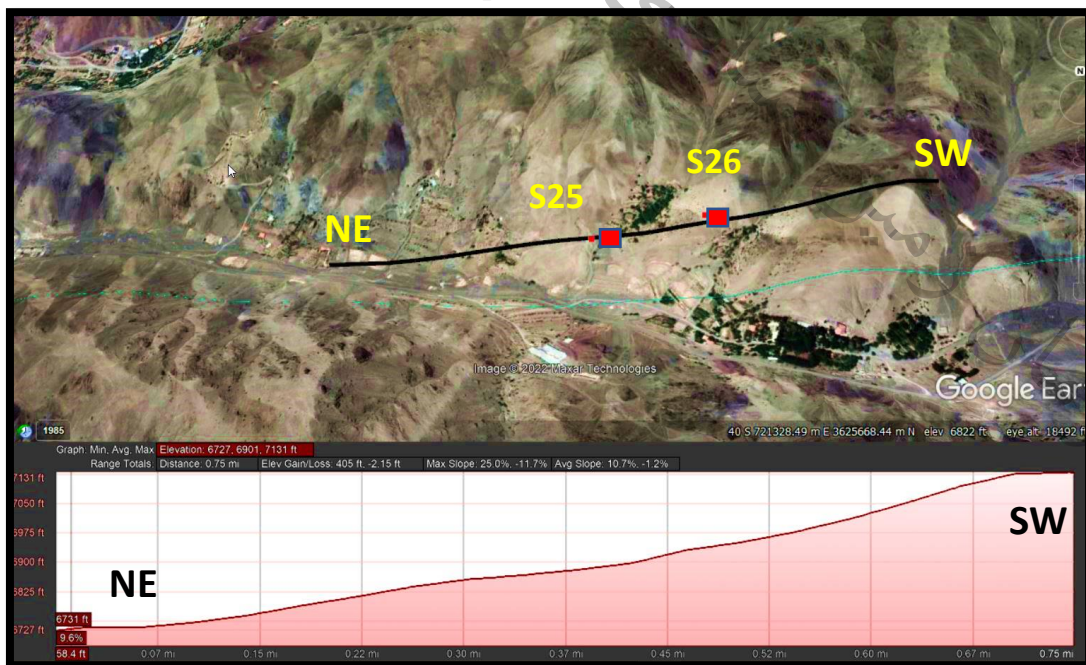
عکس ۴-۳۱- نمایی از لایه‌های مارنی لیمونیتی شده در محل نمونه BIRG2S36

۶-۲-۴- پروفیل (۶):

شروع پیمایش در این پروفیل از مختصات ۷۱۹,۷۳۵ X: و ۳,۶۲۵,۷۳۴ Y: در آزیموت ۸۷ درجه به طول ۱۱۹۸ متر بوده است. در این مسیر پیمایش شده تعداد ۲ نمونه برداشت شد. نمونه‌های اخذ شده بر اساس نقشه زمین‌شناسی ۱:۵۰۰۰۰ در واحد بازالتی قرار گرفته است (شکل‌های ۱۳-۴ و ۱۴-۴). در ادامه به شرح نمونه‌های اخذ شده در این پروفیل پرداخته می‌شود:



شکل ۴-۱۳- نمونه‌های برداشت شده در امتداد پروفیل (۶) و زمین‌شناسی مربوطه (اقتباس از نقشه ۱:۵۰۰۰۰ کاھی)
Sr: Serpentinite b: Basalt



شکل ۴-۱۴- نمایی از پروفیل (۶) در تصویر ماهواره‌ای به همراه مقطع عرضی آن.

- نمونه **BIRG2S26** از رخنمون خاک صنعتی (زون آلترا آرژیلیتی در سنگ میزبان ولکانیکی) به ضخامت ۱۰ متر و طول ۴۰ متر کشیده شده است (جدول ۴-۲۸ و عکس ۳۲-۴).

جدول ۴-۲۸ - آنالیز عنصری به روش ICP در نمونه **BIRG2S26**

Sample	X	Y	Au	Ag	Al	As	Ba	Be
BIRG-2-S26	720297	3625858	5	0.64	6900	1.8	832	1
Ca	Cd	Ce	Co	Cr	Cu	Fe	K	La
10%	0.29	1	17	294	10	19636	1068	2
Li	Mg	Mn	Mo	Na	Ni	P	Pb	S
24	2%	1347	0.54	2100	352	61	4	392
Sb	Sc	Sr	Th	Ti	U	V	Y	Yb
0.95	1.9	503	5	207	5	12	2	0.4
Zn	Zr							
7	5							

در این نمونه مقدار عناصر گوگرد (392 ppm)، منگنز (503 ppm) و استرانسیم (1347 ppm) ناهنجاری نشان می‌دهد.



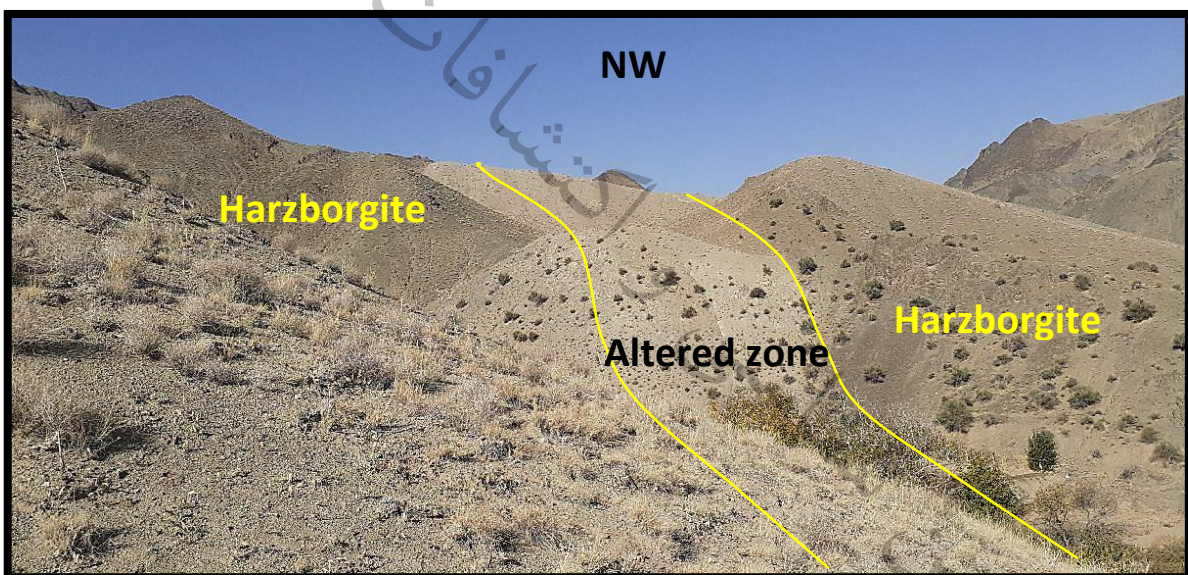
عکس ۴-۳۲ - نمایی از رخنمون ولکانیکی شدیداً آلترا شده در محل نمونه **BIRG2S26**

- نمونه **BIRG2S25** از یک زون آلتره شده در سنگ میزبان هارزبورژیتی در آزیموت ۱۲۰ درجه و در امتداد گسل به طول بیش از ۵۰۰ متر و ضخامت ۲۰ تا ۳۰ متر که در جهت شمال غربی-جنوب شرقی امتداد یافته است (جدول ۴-۲۹ و عکس ۴-۳۳).

جدول ۴-۲۹- آنالیز عنصری به روش ICP در نمونه BIRG2S25

Sample	X	Y	Au	Ag	Al	As	Ba	Be
BIRG-2-S25	720520	3625887	5	0.5	72989	2.2	209	1
Ca	Cd	Ce	Co	Cr	Cu	Fe	K	La
37353	0.27	21	13	66	27	29095	11372	13
Li	Mg	Mn	Mo	Na	Ni	P	Pb	S
34	16232	516	0.52	27472	47	518	4	251
Sb	Sc	Sr	Th	Ti	U	V	Y	Yb
0.93	10.1	261	5	3334	5	70	17	1.8
Zn	Zr							
34	16							

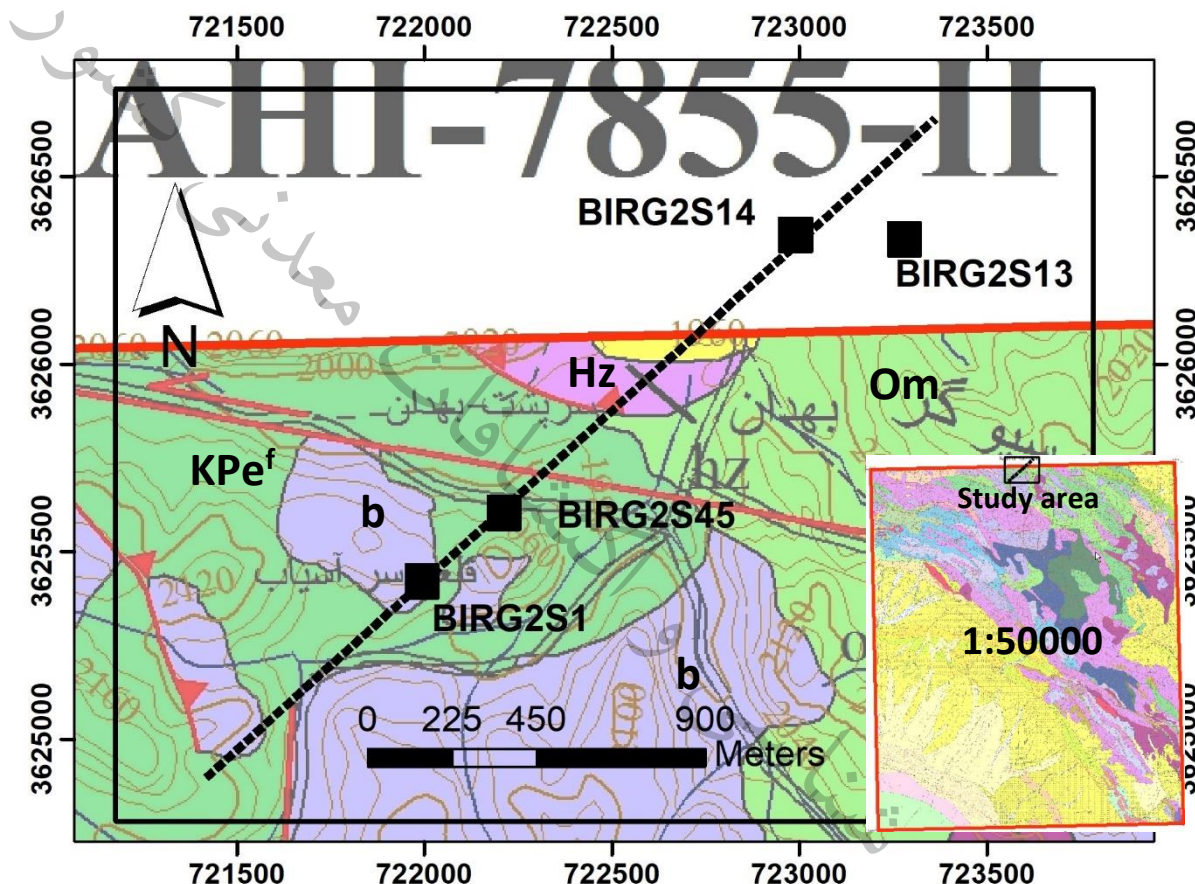
در این نمونه عناصر لانتانیم (13 ppm)، منگنز (516 ppm) و تیتانیم (3334 ppm) ناهنجاری نشان می‌دهد.



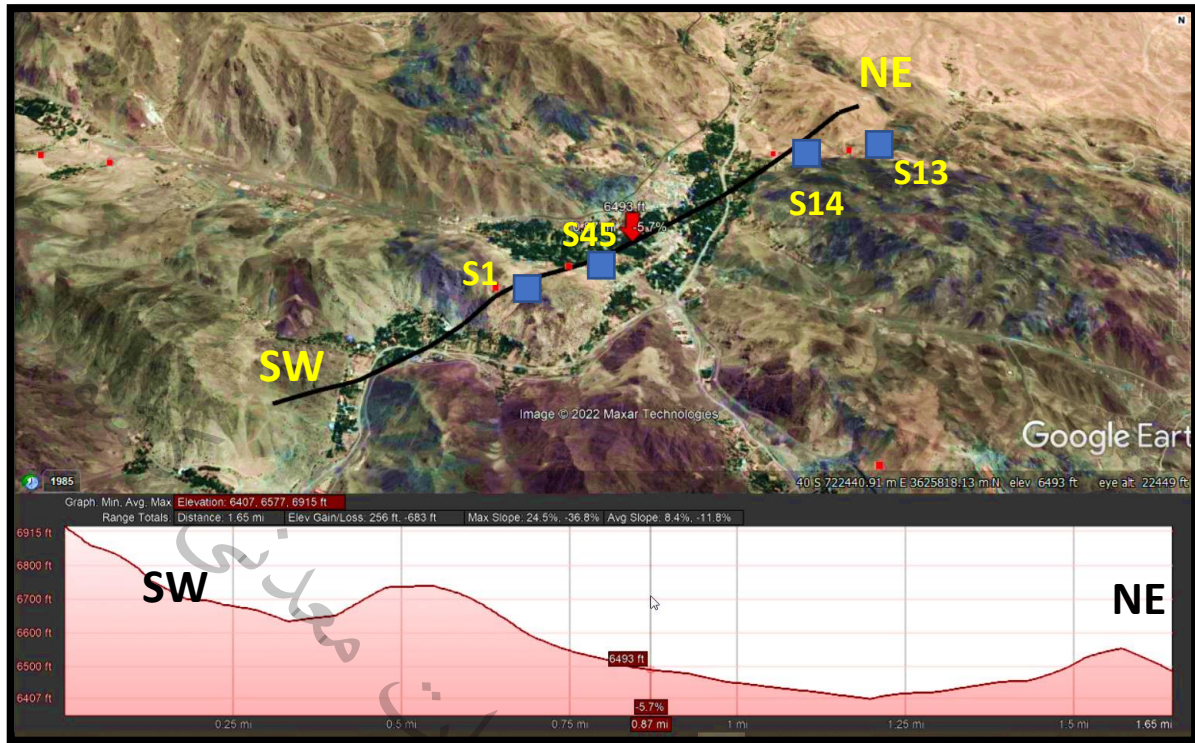
عکس ۴-۳۳- نمایی از زون روند دار آلتره شده با سنگ میزبان هارزبورژیتی در محل نمونه BIRG2S25

۷-۲-۴- پروفیل (۷):

شروع پیمایش در این پروفیل از مختصات X: 721,280 و Y: 3,624,770 در آزیمут ۴۸ درجه به طول ۲۶۲۳ متر بوده است. در این مسیر پیمایش شده تعداد ۴ نمونه برداشت شد. نمونه‌های اخذ شده بر اساس نقشه زمین‌شناسی ۱:۵۰۰۰۰ در واحدهای بازالتی، فیلیتی - اسلیتی و همچنین مجموعه افیولیتی قرار گرفته است (شکل‌های ۱۵-۴ و ۱۶-۴). در ادامه به شرح نمونه‌های اخذ شده در این پروفیل پرداخته می‌شود:



شکل ۴-۱۵- نمونه‌های برداشت شده در امتداد پروفیل (۷) و زمین‌شناسی مربوطه (اقتباس از نقشه ۱:۵۰۰۰۰ کاها)
Hz: Harzburgite b: Basalt KPe^f: Phyllite Om: Ophiolite mélange



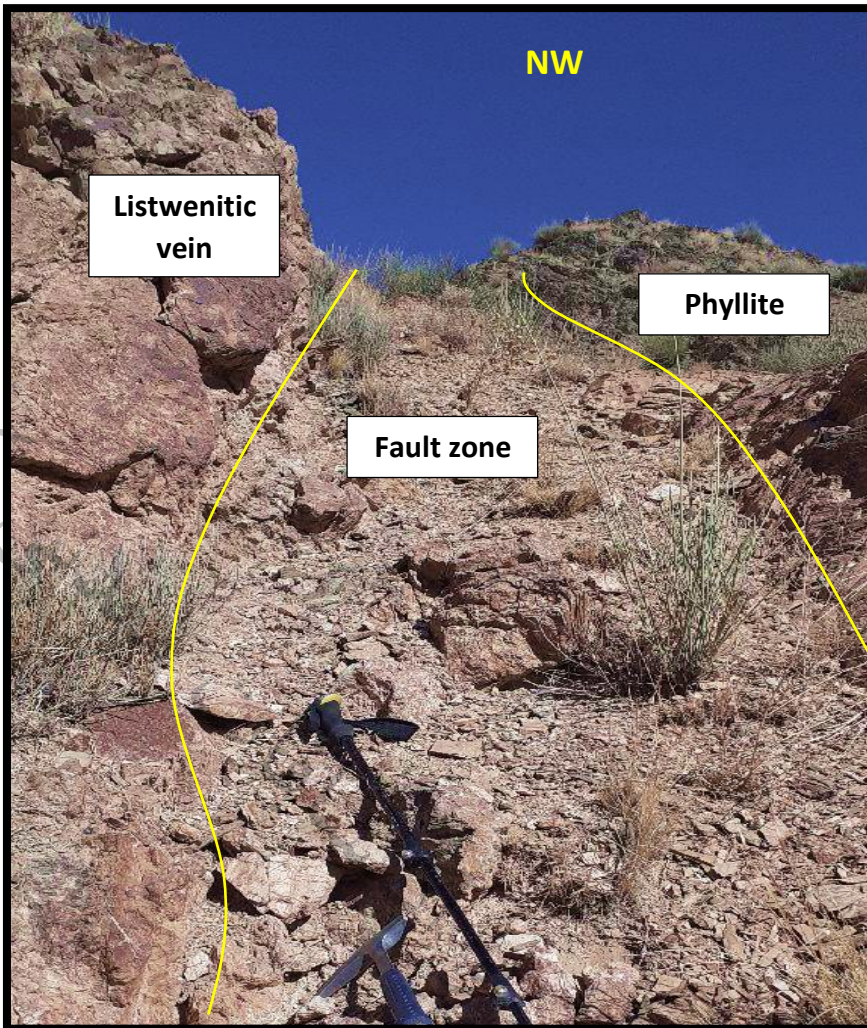
شکل ۴-۱۶- نمایی از بروفیل (۷) در تصویر ماهواره‌ای به همراه مقطع عرضی آن.

- نمونه BIRG2S1 از رخنمون رگه لیستونیتی در امتداد ۳۲۰ درجه آزیمут به ضخامت ۱ متر و طول ۵ متر که در امتداد یک گسل قرار گرفته است، نمونه برداری گردید (جدول ۴-۳۰ و عکس ۴-۳۴).

جدول ۴-۳۰- آنالیز عنصری به رو ش ICP در نمونه BIRG2S1

Sample	X	Y	Au	Ag	Al	As	Ba	Be
BIRG-2-S1	721995	3625434	5	0.61	35576	5.1	128	1
Ca	Cd	Ce	Co	Cr	Cu	Fe	K	La
84732	0.29	17	6	30	52	25193	5471	11
Li	Mg	Mn	Mo	Na	Ni	P	Pb	S
30	2433	1036	0.58	14578	20	223	7	203
Sb	Sc	Sr	Th	Ti	U	V	Y	Yb
0.87	5.7	121	5	1146	5	32	21	1.7
Zn	Zr							
44	46							

در این نمونه عناصر منگنز (1036 ppm) و تیتانیم (1146 ppm) ناهمجارت نشان می‌دهد.



عکس ۴-۳۴- نمایی از رگه لیستونیتی سیلیسی با سنگ میزبان فیلیت در محل نمونه BIRG2S1

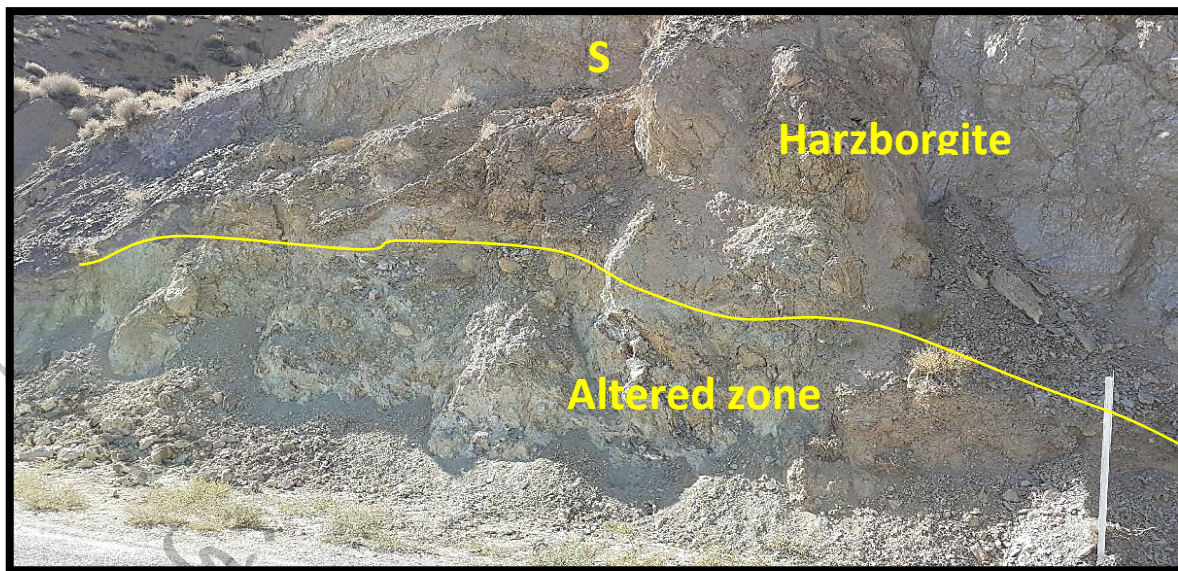
-نمونه BIRG2S45 از رخنمون آلتہ آرژیلی-کلربیتی در سنگ میزبان هارزبورژیتی برداشت گردید

(جدول ۴-۳۱ و عکس ۴-۳۵).

جدول ۴-۳۱- آنالیز عنصری به روش ICP در نمونه 5

Sample	X	Y	Au	Ag	Al	As	Ba	Be
BIRG-2-S45	722225	3625605	5	0.5	43552	1.7	9	1
Ca	Cd	Ce	Co	Cr	Cu	Fe	K	La
93367	0.3	2	56	729	161	39726	264	1
Li	Mg	Mn	Mo	Na	Ni	P	Pb	S
39	2%	812	0.5	975	700	43	4	153
Sb	Sc	Sr	Th	Ti	U	V	Y	Yb
1.05	10.8	273	5	552	5	45	3	0.6
Zn	Zr							
44	5							

در این نمونه عناصر کروم (729 ppm)، نیکل (700 ppm) و تیتانیم (552 ppm) ناهنجاری نشان می‌دهد.



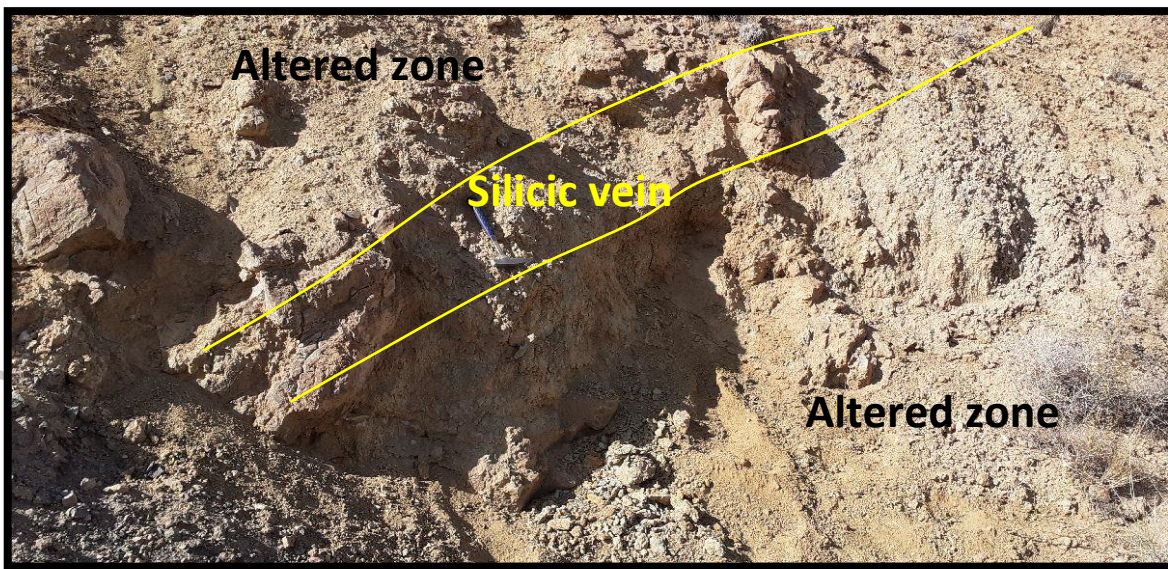
عکس ۴-۳۵- نمایی از زون آلتنه کلریتی در سنگ میزبان هارزبورژیتی در محل نمونه BIRG2S45

-نمونه BIRG2S14 از رگه لیستونیتی سیلیسی-کربناتی در امتداد ۲۴۵ درجه به ضخامت ۲ متر و طول ۱۰ متر با سنگ میزبان هارزبورژیتی برداشت گردید (جدول ۳۲-۴ و عکس ۴-۳۶).

جدول ۴-۳۲- آنالیز عنصری به روش ICP در نمونه BIRG2S14

Sample	X	Y	Au	Ag	Al	As	Ba	Be
BIRG-2-S14	722988	3626342	5	0.5	3594	100	32	1
Ca	Cd	Ce	Co	Cr	Cu	Fe	K	La
60067	0.34	1	70	1366	29	43011	445	1
Li	Mg	Mn	Mo	Na	Ni	P	Pb	S
29	2%	623	0.5	696	1206	34	4	377
Sb	Sc	Sr	Th	Ti	U	V	Y	Yb
1.17	5.7	329	5	57	5	24	1	0.4
Zn	Zr							
36	5							

در این نمونه عناصر کروم (1366 ppm) و نیکل (1206 ppm) ناهنجاری نشان می‌دهد.



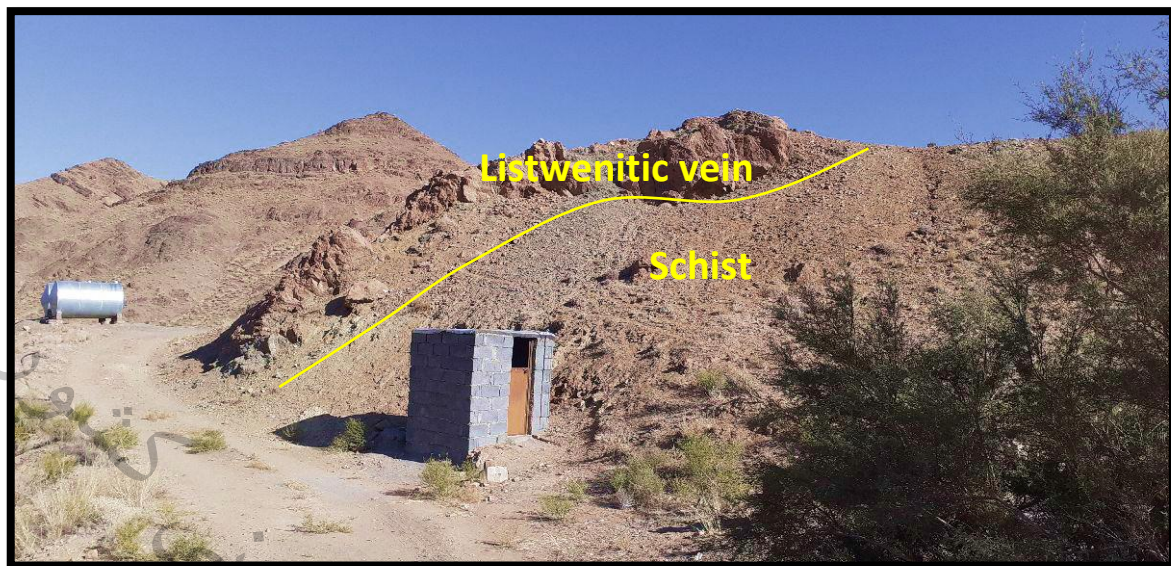
عکس ۴-۳۶- نمایی از زون آلتره کلریتی در سنگ میزبان هارزبورژیتی در محل نمونه BIRG2S14

-نمونه BIRG2S13 از رگه سیلیسی-کربناته در سنگ میزبان شیستی و فیلیتی در امتداد ۲۶۰ درجه آزمود با طول ۵۰ متر و ضخامت حدود ۳ متر برداشت گردید (جدول ۳۳-۴ و عکس ۴-۳۷).

جدول ۴-۳۳- آنالیز عنصری به روش ICP در نمونه BIRG2S13

Sample	X	Y	Au	Ag	Al	As	Ba	Be
BIRG-2-S13	723284	3626329	5	0.5	4414	100	15	1
Ca	Cd	Ce	Co	Cr	Cu	Fe	K	La
15330	1.6	2	77	1551	10	36661	437	1
Li	Mg	Mn	Mo	Na	Ni	P	Pb	S
27	2%	530	0.5	674	1400	31	3	1281
Sb	Sc	Sr	Th	Ti	U	V	Y	Yb
1.15	5.5	46	5	85	5	22	0.5	0.4
Zn	Zr							
36	5							

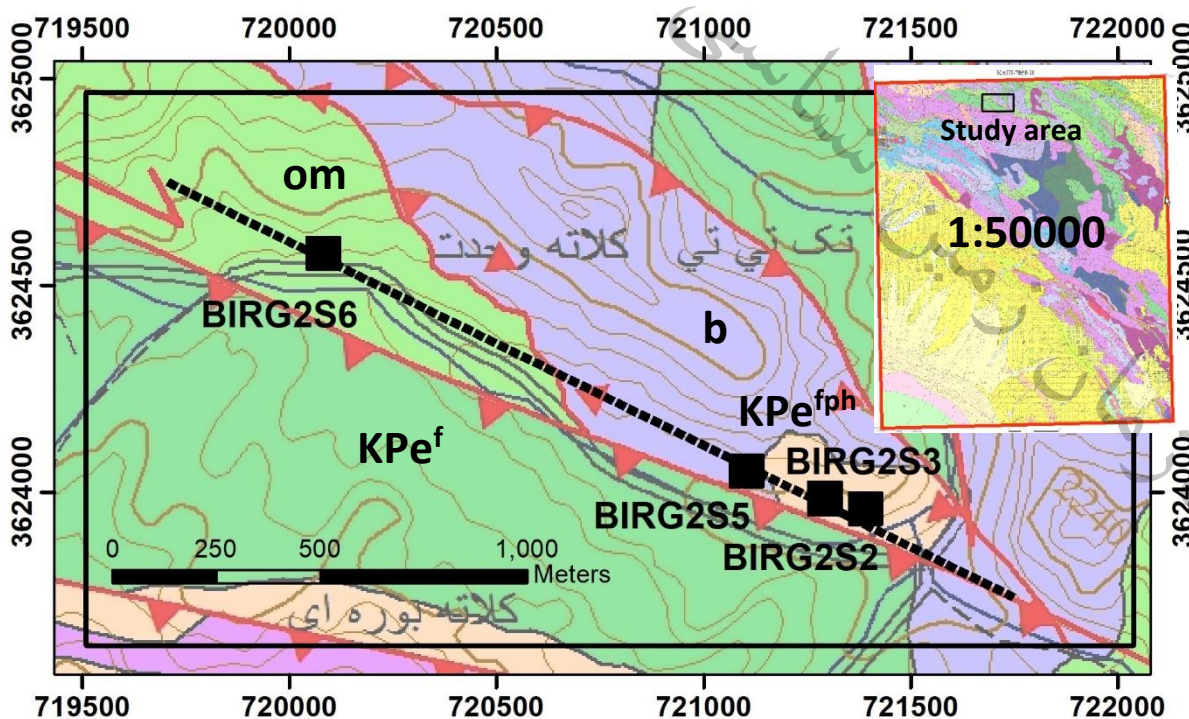
در این نمونه عناصر کروم (1551 ppm)، نیکل (1400 ppm) و گوگرد (1281 ppm) ناهنجاری نشان می‌دهد.



عکس ۴-۳۷- نمایی از رگه لیستونیتی در سنگ میزبان شیستی در محل نمونه BIRG2S13

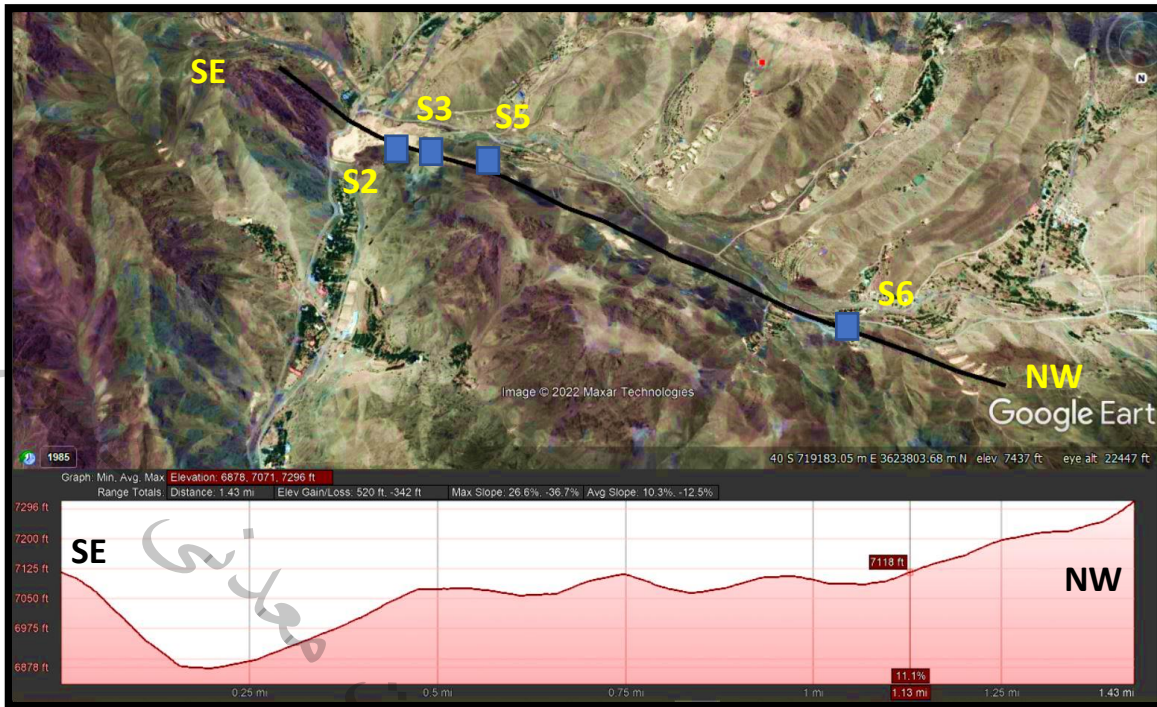
۴-۲-۸- پروفیل (۸):

شروع پیمایش در این پروفیل از مختصات X: 719,619 و Y: 3,624,654 درآیمود ۱۱۶ درجه به طول ۲۲۷۲ متر بوده است. در این مسیر پیمایش شده تعداد ۴ نمونه برداشت شد. نمونه‌های اخذ شده بر اساس نقشه زمین‌شناسی ۱:۵۰۰۰۰ در واحدهای بازالتی، فیلیتی - اسلیتی و همچنین مجموعه افیولیتی قرار گرفته است (شکل‌های ۱۷-۴ و ۱۸-۴). در ادامه به شرح نمونه‌های اخذ شده در این پروفیل پرداخته می‌شود:



شکل ۴-۱۷- نمونه‌های برداشت شده در امتداد پروفیل (۸) و زمین‌شناسی مربوطه (اقتباس از نقشه ۱:۵۰۰۰۰ کاهی)

KPe^{fph}: Slate b: Basalt KPe^f: Altered phyllite Om: Ophiolite melange



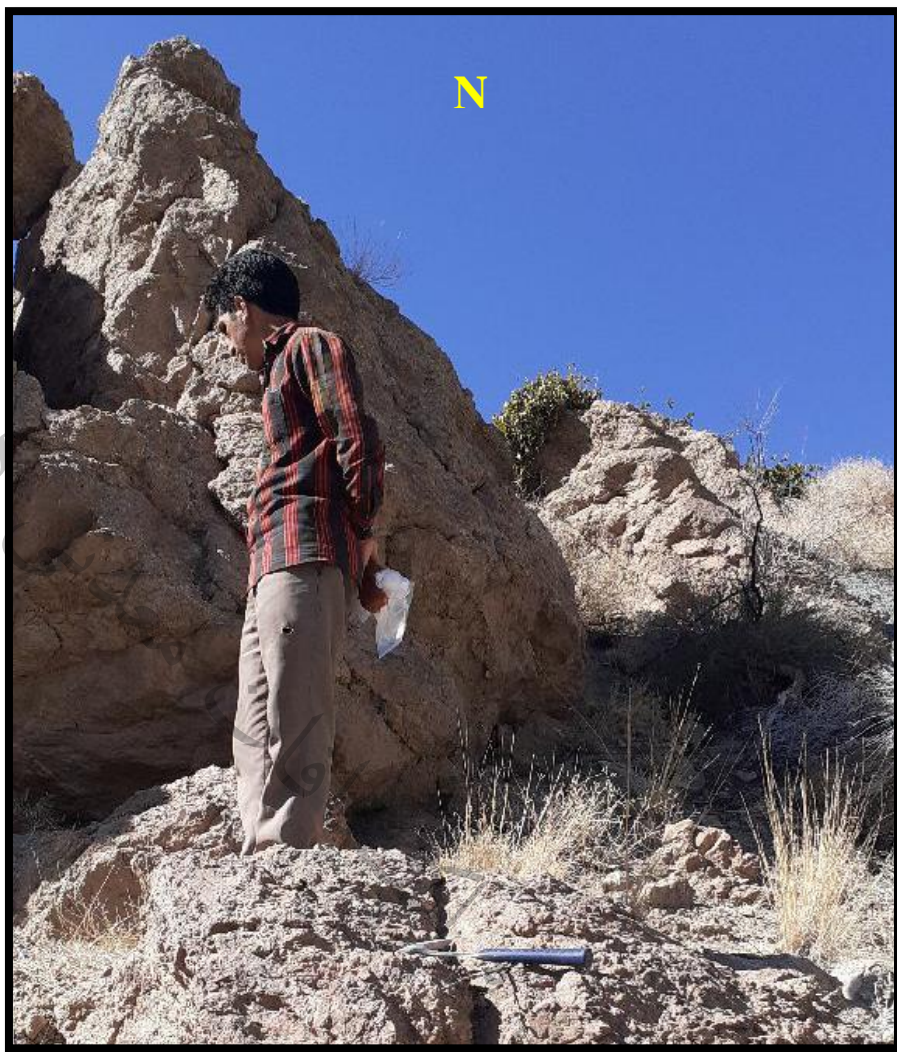
شکل ۴-۱۸- نمایی از پروفیل (۸) در تصویر ماهواره‌ای به همراه مقطع عرضی آن.

-نمونه **BIRG2S6** از یک رگه لیستونیتی به ضخامت ۵ متر و طول ۲۰ متر که در جهت شرقی-غربی در سنگ میزبان شیستی کشیده شده است، برداشت گردید (جدول ۴-۳۴ و عکس ۴-۳۸).

جدول ۴-۳۴- آنالیز عنصری به روی ICP در نمونه **BIRG2S6**

Sample	X	Y	Au	Ag	Al	As	Ba	Be
BIRG-2-S6	720064	3624565	5	0.5	10216	1.9	9	1
Ca	Cd	Ce	Co	Cr	Cu	Fe	K	La
4548	0.33	1	92	2094	86	51318	251	1
Li	Mg	Mn	Mo	Na	Ni	P	Pb	S
29	2%	670	0.5	376	1534	30	4	157
Sb	Sc	Sr	Th	Ti	U	V	Y	Yb
14.5	10.4	23	5	205	5	51	1	0.6
Zn	Zr							
46	5							

در این نمونه عناصر کروم (2094 ppm) و نیکل (1534 ppm) ناهمجارت نشان می‌دهد.



عکس ۴-۳۸- نمایی از رگه لیستونیتی در سنگ میزبان شیستی در محل نمونه BIRG2S6

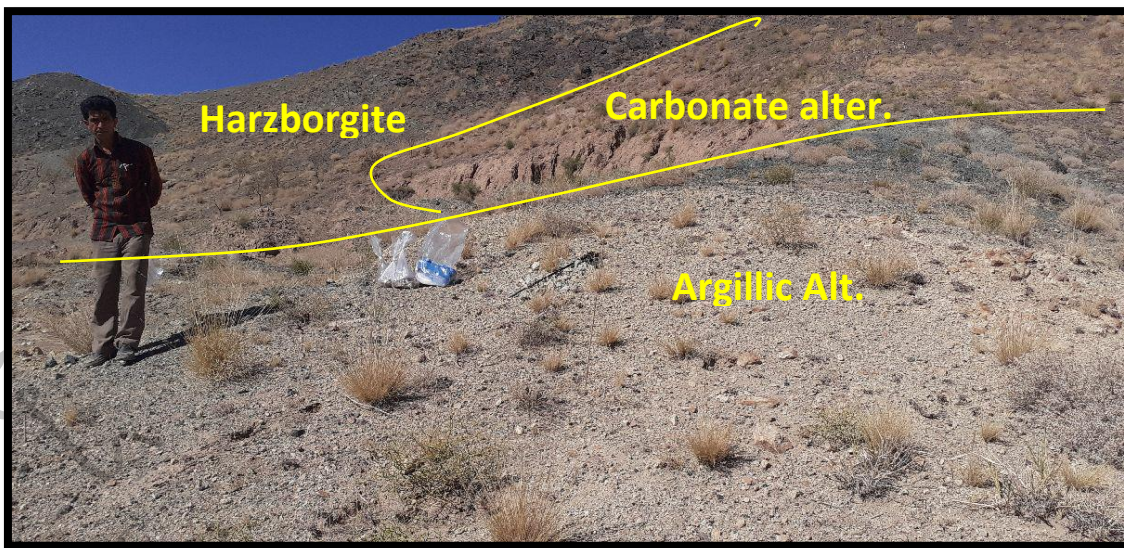
-نمونه BIRG2S5 از یک زون لیمونیتی-آرژیلی در سنگ میزبان هارزبورژیتی برداشت گردید (جدول

.۳۹-۴ و عکس ۴-۳۵)

جدول ۴-۳۵- آنالیز عنصری به روش ICP در نمونه BIRG2S5

Sample	X	Y	Au	Ag	Al	As	Ba	Be
BIRG-2-S5	721092	3624029	5	0.5	3241	2	13	1
Ca	Cd	Ce	Co	Cr	Cu	Fe	K	La
23350	0.29	2	43	1379	13	27936	732	1
Li	Mg	Mn	Mo	Na	Ni	P	Pb	S
26	2%	437	0.5	625	801	43	4	465
Sb	Sc	Sr	Th	Ti	U	V	Y	Yb
1.1	3.7	115	5	32	5	15	1	0.3
Zn	Zr							
33	5							

در این نمونه عناصر کروم (1379 ppm) و گوگرد (464 ppm) ناهنجاری نشان می‌دهد.



عکس ۴-۳۹- نمایی از زون آلتره آرژیلیتی و کربناتی در سنگ میزبان هارزبورژیتی در محل نمونه BIRG2S5

- نمونه BIRG2S3 از یک رگه لیستونیتی به طول ۳۰ متر و ضخامت ۲ متر در امتداد ۳۳۰ درجه در سنگ میزبان هارزبورژیتی برداشت گردید (جدول ۴-۳۶ و عکس‌های ۴-۴۳ و ۴-۴۴).

جدول ۴-۳۶- آنالیز عنصری به روش ICP در نمونه BIRG2S5

Sample	X	Y	Au	Ag	Al	As	Ba	Be
BIRG-2-S3	721282	3623970	5	0.5	2799	2.1	20	1
Ca	Cd	Ce	Co	Cr	Cu	Fe	K	La
32023	0.24	1	40	980	11	25519	355	1
Li	Mg	Mn	Mo	Na	Ni	P	Pb	S
26	2%	477	0.5	612	759	45	4	272
Sb	Sc	Sr	Th	Ti	U	V	Y	Yb
0.99	3.5	74	5	56	5	17	1	0.3
Zn	Zr							
22	5							

نمونه BIRG2S4TP به جهت مطالعات پتروگرافی و مینرالوگرافی برداشت گردید (عکس‌های ۴-۴۰ تا ۴-۴۲).

- **کانی فلزی:** کرومیت، مگنیتیت، پیریت، اکسید تیتان
- **گروومیت:** به شکل کریستال‌هایی با شکل هندسی نامشخص در اندازه‌ای کمتر از ۱۵۰ میکرون با فراوانی حدود ۲ درصد در فضاهای باز سنگ میزبان کانی‌سازی کرده‌اند. در اطراف برخی از کریستال‌ها تجمع ذرات کوچکی از هماتیت را به مقدار کم مشاهده می‌کنیم.
- کریستال‌های کوچک و اتومورف **مگنیتیت** در اندازه‌ای کمتر از ۳۰ میکرون به ندرت و به مقدار بسیار کم به صورت تجمع در نقطه‌ای از نمونه مشاهده شد.

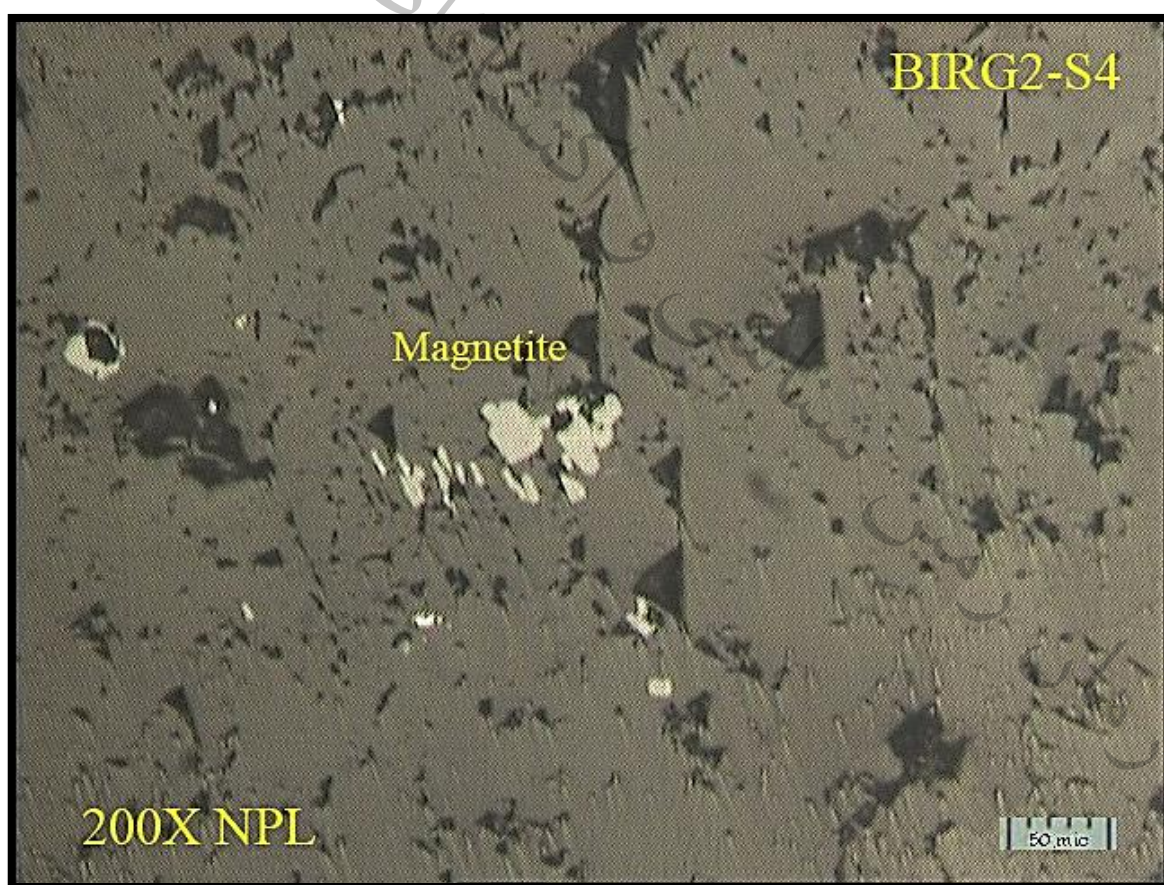
• **پیریت:** از مطالعه اپتیکی این نمونه چنین به نظر می‌رسد که همین مقدار کم کانی پیریت احتمالاً در دو

فاز تشکیل شده است:

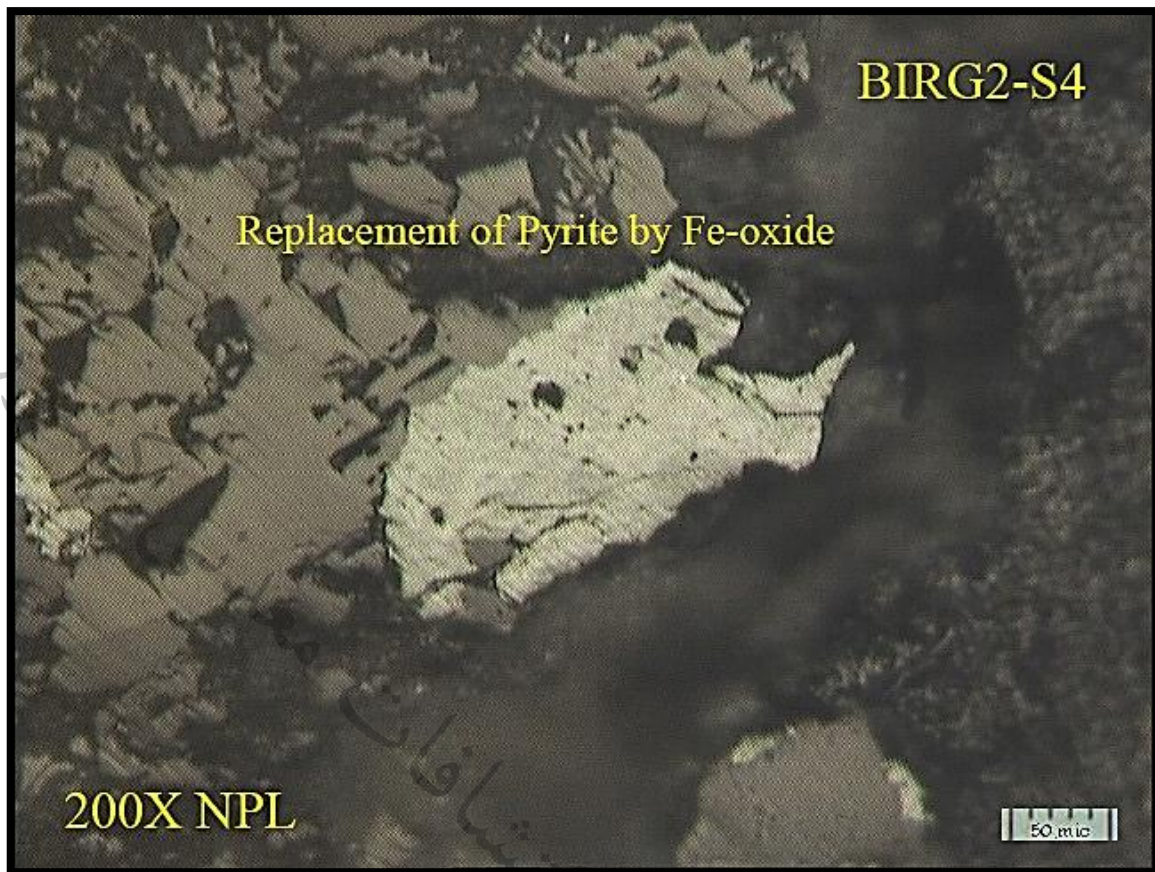
➤ **فاز اول** شامل کریستال‌های بسیار کوچک کمتر از ۶۰ میکرون و به شکل اتومورف پیریت است که به تعداد بسیار کم در متن نمونه پراکنده‌اند و تحت تاثیر آلتراسیون سوپرژن از حاشیه بلورها در حال جایگزینی توسط اکسیدهای آبدار و ثانویه آهن هستند.

➤ **فاز دوم** شامل کریستال‌هایی با شکل هندسی نامشخص و در اندازه‌ای در حدود ۶۰ میکرون به مقدار بسیار کم با بافت Open Space در فضاهای باز سنگ میزبان کانی‌سازی کرده‌اند. این کریستال‌ها تحت آلتراسیون سوپرژن کاملاً به اکسیدهای آبدار و ثانویه آهن آلترا شده و به ندرت در برخی از آن‌ها ذره‌ای از پیریت مشاهده می‌شود.

• **اکسیدهای قیتان** به شکل کریستال‌های کوچک در اندازه کمتر از ۲۰ میکرون اغلب به شکل تجمع چندین کریستال در متن نمونه پراکنده‌گی غیریکنواخت دارد. این کانی به مقدار بسیار کم تشکیل شده است.



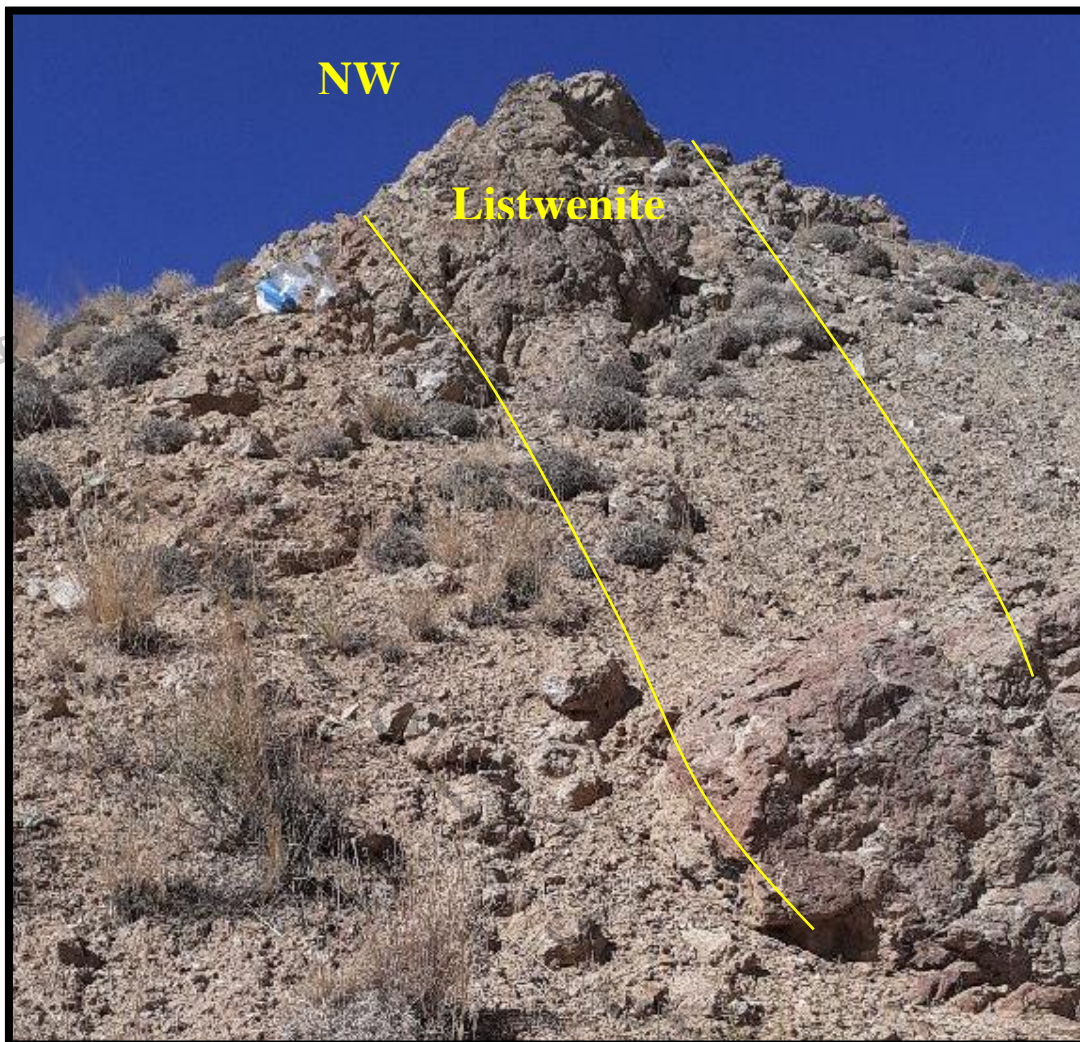
عکس ۴-۴۰- نمایی از کانی مگنتیت در نمونه BIRG2S4TP



عکس ۴-۴۱- نمایی از جایگزینی پیریت توسط اکسیدهای آهن در نمونه BIRG2S4TP



عکس ۴-۴۲- نمایی از کانی پیریت در نمونه BIRG2S4TP



عکس ۴-۴۳- نمایی از رگه لیستونیتی در سنگ میزبان هزار بورزیتی در محل نمونه BIRG2S3



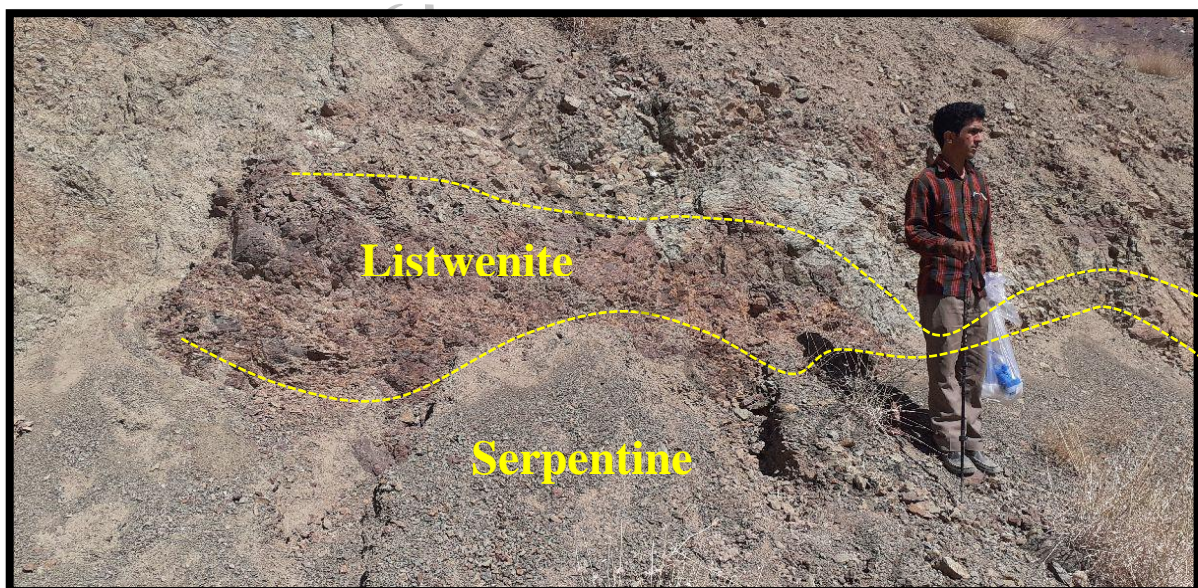
عکس ۴-۴۴- نمایی نزدیک از محل نمونه BIRG2S3 کانی‌های سبز فوکسیت در عکس مشهود است.

- نمونه **BIRG2S2** از یک رگه لیستونیتی به طول ۱۰ متر و ضخامت ۲ متر در امتداد شمال غربی-جنوب شرقی برداشت گردید (۴۵-۴ و عکس ۳۷-۴).

جدول ۴-۳۷- آنالیز عنصری به روشن ICP در نمونه BIRG2S2

Sample	X	Y	Au	Ag	Al	As	Ba	Be
BIRG-2-S2	721377	3623946	5	0.53	59130	2	12	1
Ca	Cd	Ce	Co	Cr	Cu	Fe	K	La
34013	0.26	2	13	270	342	60709	966	2
Li	Mg	Mn	Mo	Na	Ni	P	Pb	S
25	2%	797	0.5	6017	65	134	4	2169
Sb	Sc	Sr	Th	Ti	U	V	Y	Yb
0.91	20	44	5	3194	5	111	6	1.3
Zn	Zr							
154	30							

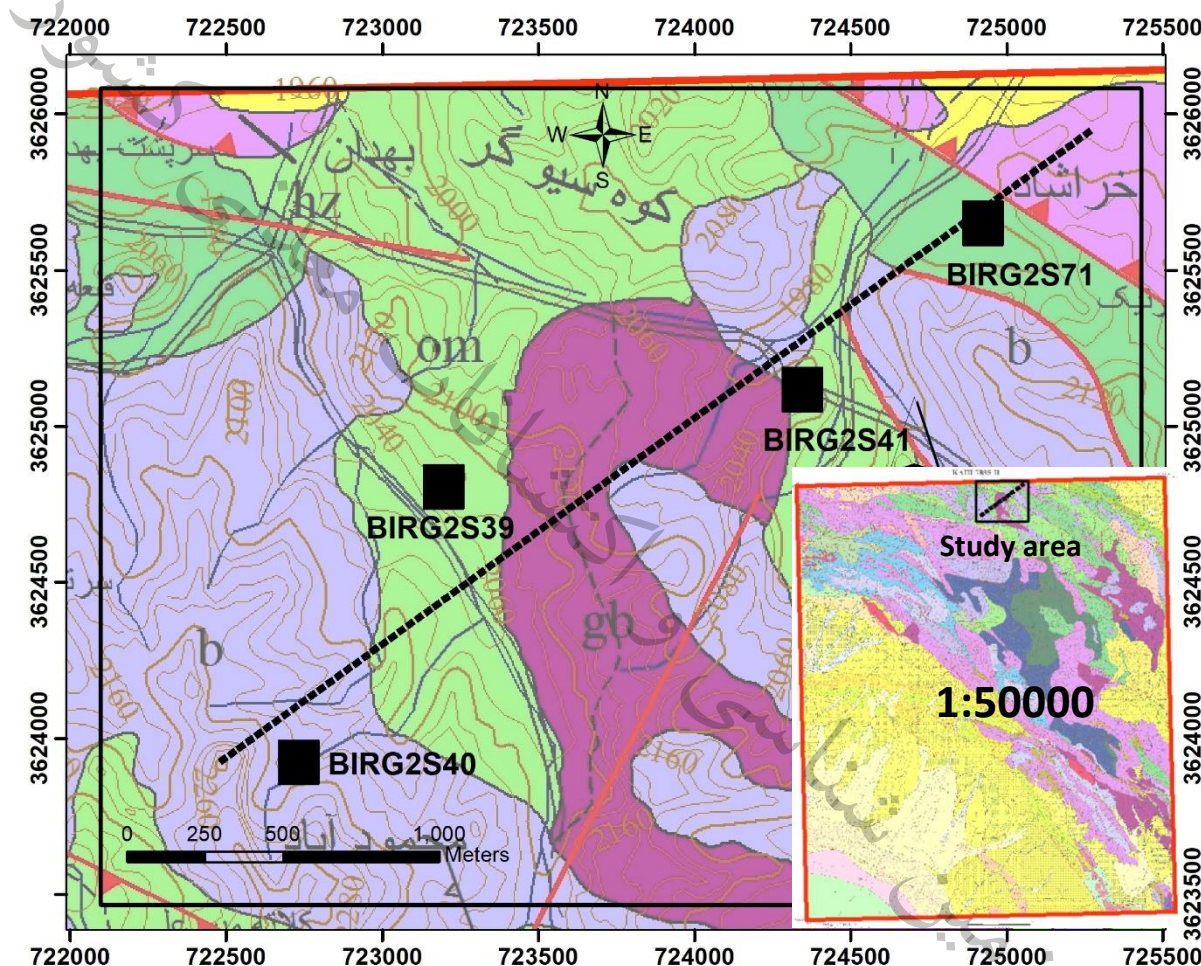
در این نمونه عناصر مس (3194 ppm)، گوگرد (342 ppm) و تیتانیم (2169 ppm) ناهمجارتی نشان می‌دهد.



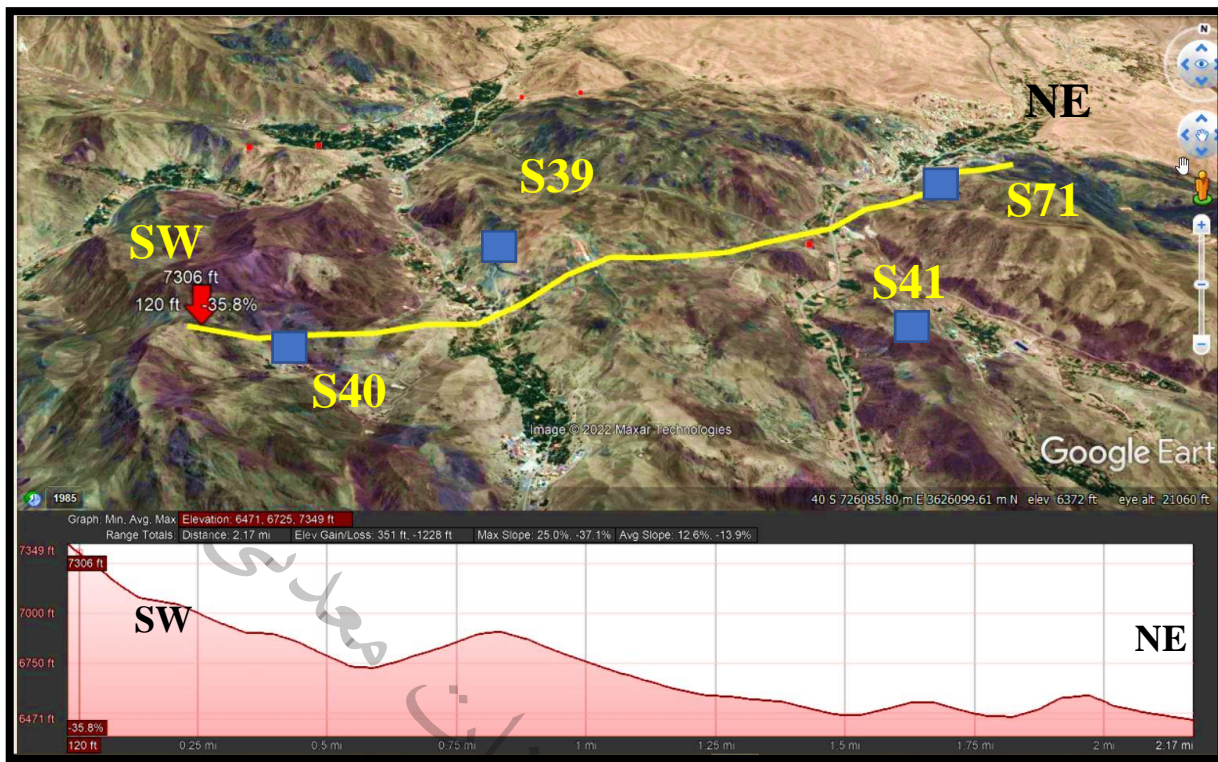
عکس ۴-۴۵- نمایی از رگه لیستونیتی در سنگ میزبان هارزبورژیتی سرپانتینی شده در محل نمونه BIRG2S2

۹-۲-۴- پروفیل (۹):

شروع پیمایش در این پروفیل از مختصات X: 722,381 Y: 3,623,818 در آزیمут ۵۴ درجه به طول ۳۴۴۹ متر بوده است. در این مسیر پیمایش شده تعداد ۴ نمونه برداشت شد. نمونه‌های اخذ شده بر اساس نقشه زمین‌شناسی ۱:۵۰۰۰۰ در واحدهای بازالتی، فیلیتی – اسلیتی و همچنین مجموعه افیولیتی قرار گرفته است (شکل‌های ۱۹-۴ و ۲۰-۴). در ادامه به شرح نمونه‌های اخذ شده در این پروفیل پرداخته می‌شود:



شکل ۴- نمونه‌های برداشت شده در امتداد پروفیل (۹) و زمین‌شناسی مربوطه (اقتباس از نقشه ۱:۵۰۰۰۰ کاهی)
gb: Diabase b: Basalt KPe^f: Altered phyllite Om: Ophiolite melange



شکل ۴-۲۰- نمایی از برووفیل (۹) در تصویر ماهواره‌ای به همراه مقطع عرضی آن.

-نمونه BIRG2S40 از یک سنگ هارزبورژیتی سرپانتینی شده برداشت گردید که اثرات مس به صورت مالاکیت و آزوریت در آن مشهود است. این کانی سازی به صورت یک پچ ۲ متری دیده شد و در قسمت‌های دیگر اطراف آن کانی سازی مشاهده نگردید. در اثر ایجاد حفریات در این نقطه کانی سازی در سطح زمین رخنمون پیدا کرده است (جدول ۴-۳۸ و عکس‌های ۴۶-۴ و ۴۷-۴).

جدول ۴-۳۸- آنالیز عنصری به روشن ICP در نمونه BIRG2S40

Sample	X	Y	Au	Ag	Al	As	Ba	Be
BIRG-2-S40	722727	3623944	5	0.5	19542	1.6	5	1
Ca	Cd	Ce	Co	Cr	Cu	Fe	K	La
50636	0.24	2	76	849	5800	71021	100	1
Li	Mg	Mn	Mo	Na	Ni	P	Pb	S
23	2%	701	0.5	414	1081	62	4	285
Sb	Sc	Sr	Th	Ti	U	V	Y	Yb
1.16	5.6	22	5	151	5	33	1	0.7
Zn	Zr							
54	5							

در این نمونه عناصر مس (5800 ppm)، کبالت (76 ppm) و نیکل (1081 ppm) ناهنجاری نشان می‌دهد.



عکس ۴-۴۶- نمایی از کانی سازی مس در سنگ میزبان هارزبورژیتی سرپانتینی شده در محل نمونه BIRG2S40

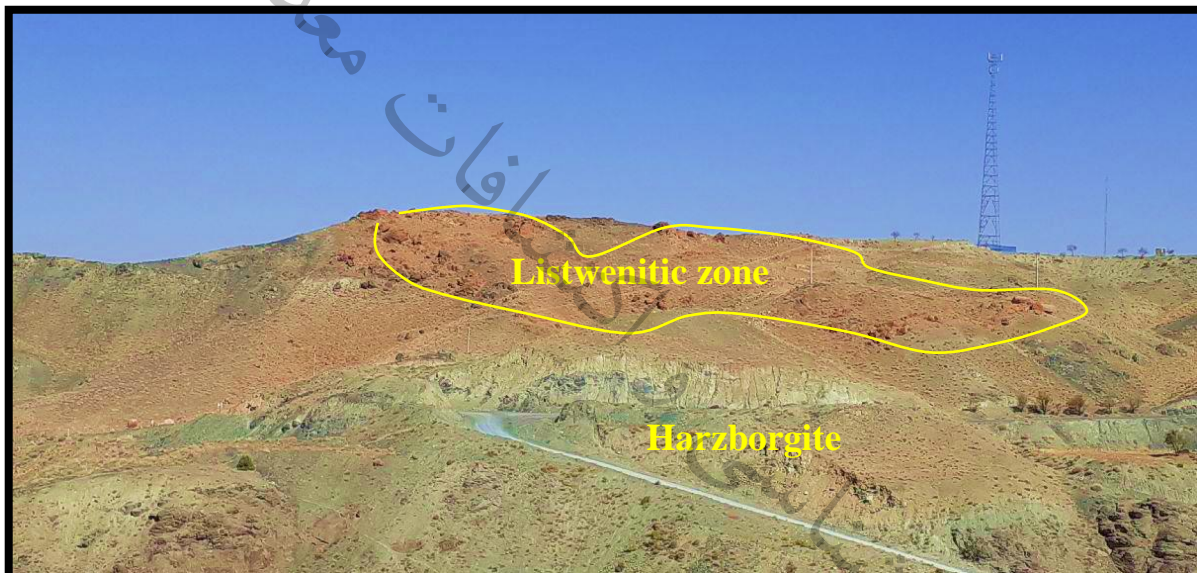


عکس ۴-۴۷- نمایی از سنگ میزبان هارزبورژیتی سرپانتینی شده در محل نمونه BIRG2S40

نمونه BIRG2S39 از یک زون لیستونیتی به طول ۲۰۰ متر و ضخامت ۲۰ متر که در امتداد ۳۱۰ درجه آزیموت گرفته شد (جدول ۳۹-۴ و عکس ۴۸-۴).

جدول ۳۹-۴ - آنالیز عنصری به روش ICP در نمونه BIRG2S39

Sample	X	Y	Au	Ag	Al	As	Ba	Be
BIRG-2-S39	723203	3624802	5	0.65	6679	2	16	1
Ca	Cd	Ce	Co	Cr	Cu	Fe	K	La
10%	0.3	2	4	60	14	25110	178	1
Li	Mg	Mn	Mo	Na	Ni	P	Pb	S
21	2%	905	0.5	1163	49	85	4	78
Sb	Sc	Sr	Th	Ti	U	V	Y	Yb
0.99	2.1	263	5	226	5	13	2	0.3
Zn	Zr							
4	5							



عکس ۴-۴ - نمایی از رگه لیستونیتی در سنگ میزبان هارزبورژیتی سرپانتینی شده در محل نمونه BIRG2S39

- نمونه **BIRG2S41** از یک زون آلترا لیمونیتی و اکسید آهنی در سنگ میزبان هارزبورژیتی برداشت

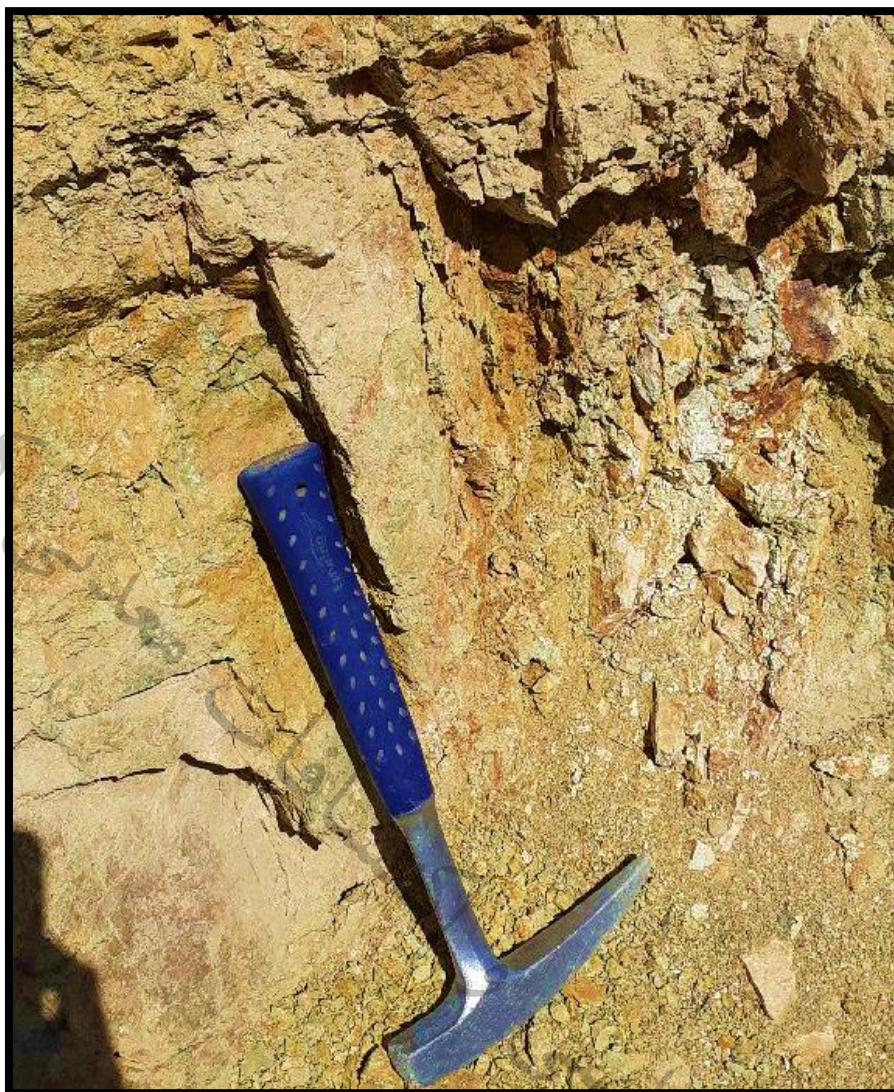
گردید (پنج ۳۰ در ۱۰ متری) (جدول ۴-۴ و عکس‌های ۴۹-۴ و ۵۰-۴).

جدول ۴-۴ - آنالیز عنصری به روش ICP در نمونه **BIRG2S41**

Sample	X	Y	Au	Ag	Al	As	Ba	Be
BIRG-2-S41	724341	3625105	5	0.82	61870	1.8	39	1
Ca	Cd	Ce	Co	Cr	Cu	Fe	K	La
93888	0.26	2	29	239	115	42452	1696	1
Li	Mg	Mn	Mo	Na	Ni	P	Pb	S
34	2%	1325	0.5	12631	111	89	3	196
Sb	Sc	Sr	Th	Ti	U	V	Y	Yb
1.01	24.8	134	5	1726	5	139	10	1.4
Zn	Zr							
32	10							



عکس ۴-۴۹ - نمایی از زون آلترا در سنگ میزبان هارزبورژیتی سرپانتینی شده در محل نمونه **BIRG2S41**

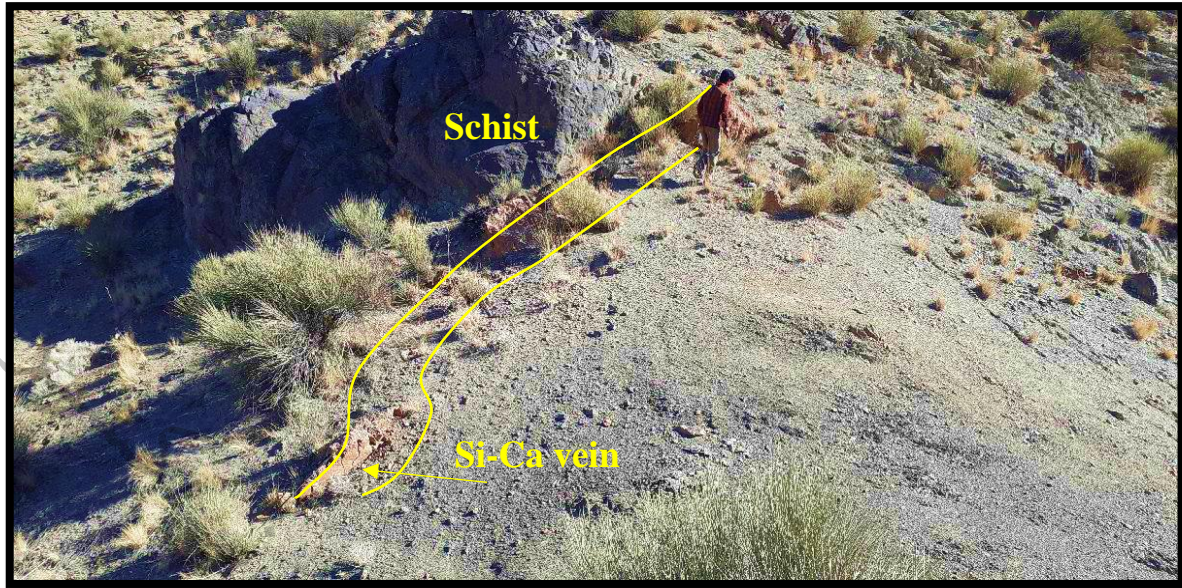


عکس ۴-۵۰- نمایی نزدیک از زون آلتره لیمونیتی در سنگ سرپانتینی شده در محل نمونه BIRG2S41

-نمونه BIRG2S71 از یک رگه سیلیسی-کربناتی در سنگ میزبان شیستی به ضخامت حدود ۱ متر و طول ۳۰ متر برداشت گردید (جدول ۴۱-۴ و عکس‌های ۵۱-۴ و ۵۲-۴).

جدول ۴-۴۱- آنالیز عنصری به روی ICP در نمونه BIRG2S71

Sample	X	Y	Au	Ag	Al	As	Ba	Be
BIRG-2-S71	724928	3625648	5	0.85	4608	2.3	49	1
Ca	Cd	Ce	Co	Cr	Cu	Fe	K	La
10%	0.29	2	34	668	74	35399	180	2
Li	Mg	Mn	Mo	Na	Ni	P	Pb	S
32	2%	1708	0.51	419	481	96	4	243
Sb	Sc	Sr	Th	Ti	U	V	Y	Yb
1.02	3.8	528	5	130	5	37	3	0.5
Zn	Zr							
41	5							



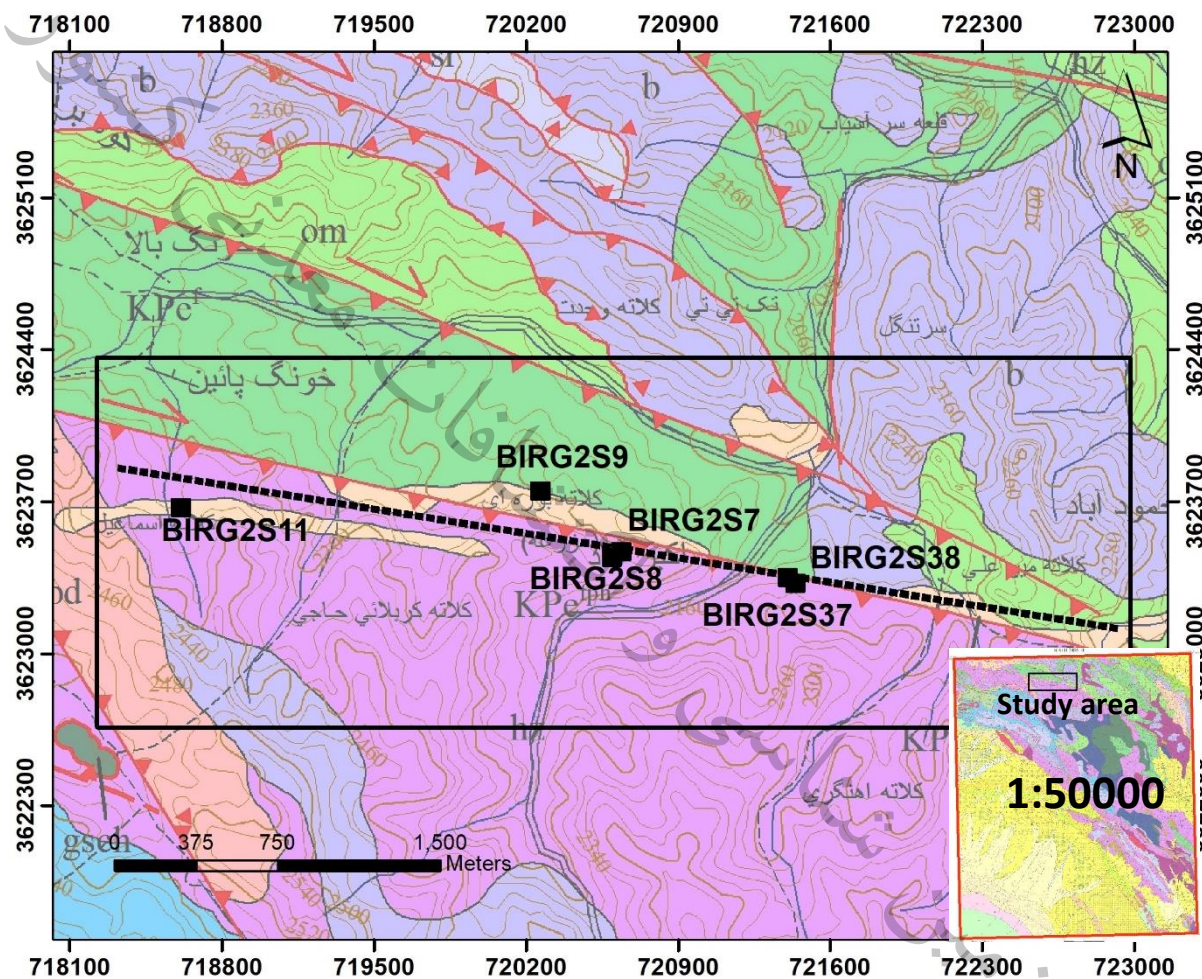
عکس ۴-۵۱- نمایی از رگه سیلیسی-کربناته در سنگ شیستی در محل نمونه BIRG2S71



عکس ۴-۵۲- نمایی نزدیک از رگه سیلیسی-کربناته در سنگ شیستی در محل نمونه BIRG2S71

۱۰-۲-۴-پروفیل (۱۰):

شروع پیمایش در این پروفیل از مختصات X: 718,190 Y: 3,623,754 در آزیمут ۹۹ درجه به طول ۴۶۸۹ متر بوده است. در این مسیر پیمایش شده تعداد ۶ نمونه برداشت شد. نمونه‌های اخذ شده بر اساس نقشه زمین‌شناسی ۱:۵۰۰۰۰ در واحدهای فیلیتی - اسلیتی و همچنین هارزبورژیتی قرار گرفته است (شکل‌های ۲۱-۴ و ۲۲-۴). در ادامه به شرح نمونه‌های اخذ شده در این پروفیل پرداخته می‌شود:



شکل ۲۱-۴- نمونه‌های برداشت شده در امتداد پروفیل (۱۰) و زمین‌شناسی مربوطه (اقتباس از نقشه ۱:۵۰۰۰۰ کاھی)

hz: Harzburgite b: Basalt KPe^f: Altered phyllite Om: Ophiolite melange



شکل ۴-۲۲- نمایی از پروفیل (۱۰) در تصویر ماهواره‌ای به همراه مقطع عرضی آن.

- نمونه **BIRG2S11** از یک رگه لیستونیتی به ضخامت ۲ تا ۳ متر و طول ۵۰ متر در امتداد شرقی -

غربی برداشت گردید (جدول ۴۲ و عکس ۵۶).

جدول ۴-۴۲- آنالیز عنصری به روشن ICP در نمونه **BIRG2S11**

Sample	X	Y	Au	Ag	Al	As	Ba	Be
BIRG-2-S11	718610	3623664	9	0.5	1783	38.8	12	1
Ca	Cd	Ce	Co	Cr	Cu	Fe	K	La
5221	0.27	2	64	1410	23	41202	185	1
Li	Mg	Mn	Mo	Na	Ni	P	Pb	S
28	2%	678	0.5	421	1190	31	3	363
Sb	Sc	Sr	Th	Ti	U	V	Y	Yb
1.12	4.5	14	5	66	5	16	0.5	0.4
Zn	Zr							
32	5							

نمونه **BIRG2S12TP** به جهت مطالعات مینرالوگرافی برداشت گردید (عکس‌های ۴۳-۵۴ تا ۵۵-۴).

کانی فلزی: مگنیتیت، کرومیت، هماتیت

- **مگنیتیت:** کریستال‌های اتومورف و نیمه اتومورف این کانی در اندازه‌ای ما بین ۳ الی ۱۵ میکرون

با فراوانی حدود ۴ درصد در متن نمونه پراکنده‌اند. این کریستال‌ها تحت آلتراسیون سوپرژن

از اطراف و حواشی در حال جایگزینی توسط کریستال‌های هماتیت هستند. برخی از بلورهای

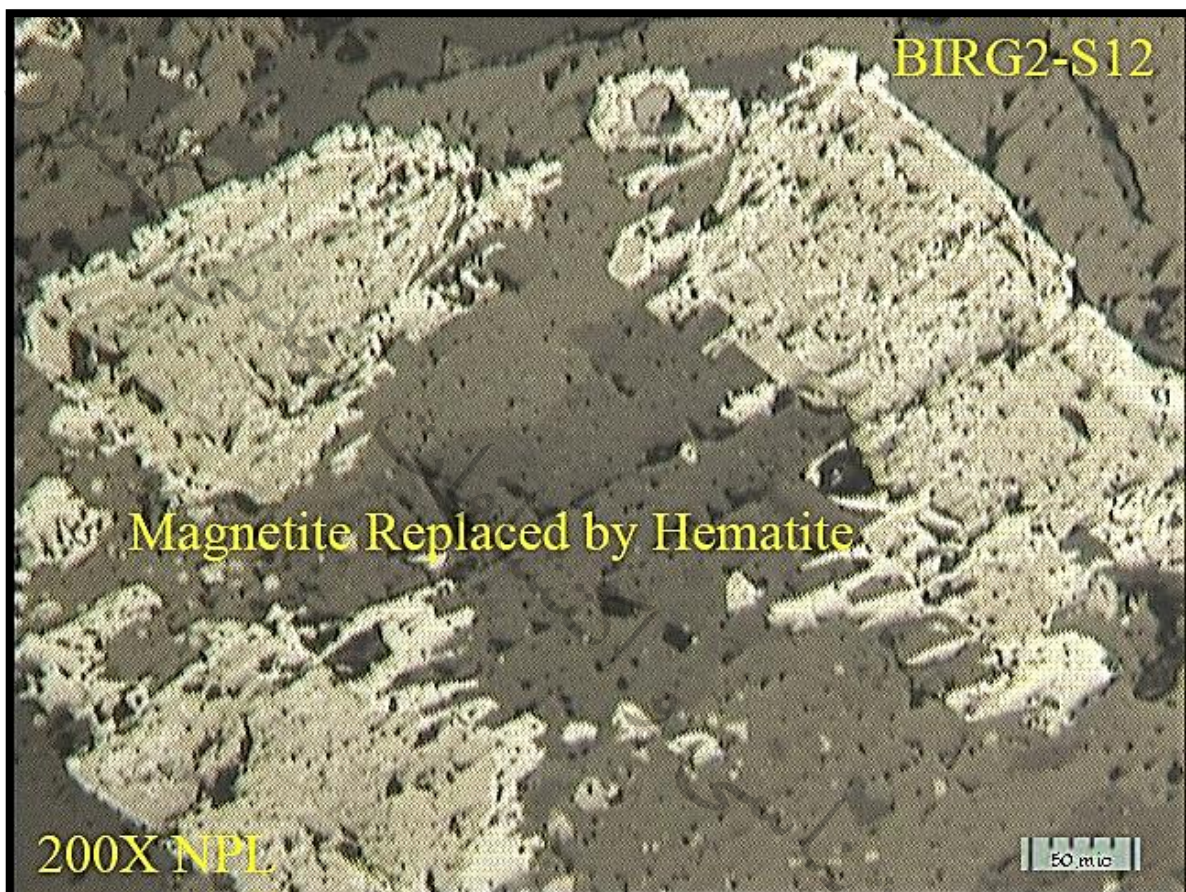
مگنیتیت کاملاً به هماتیت تبدیل شده‌اند.

• **کرومیت:** کریستال‌های کرومیت به تعداد انگشت شمار و در اندازه‌ای کمتر از ۶۰۰ میکرون در

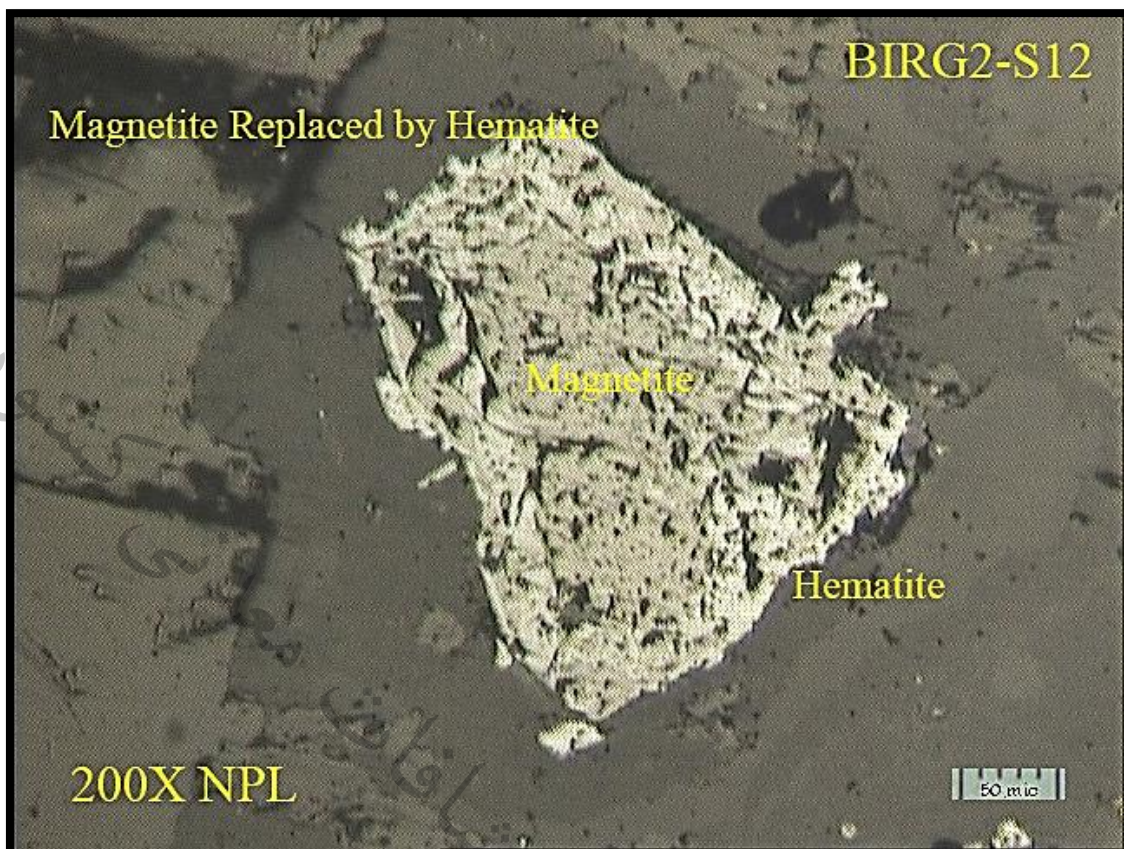
متن نمونه پراکنده‌اند. بافت کاتاکلاستیک این کانی کاملاً مشهود است.

• **هماتیت:** کریستال‌های کوچک این کانی در شکاف‌های متن کانی کرومیت و در اطراف این کانی

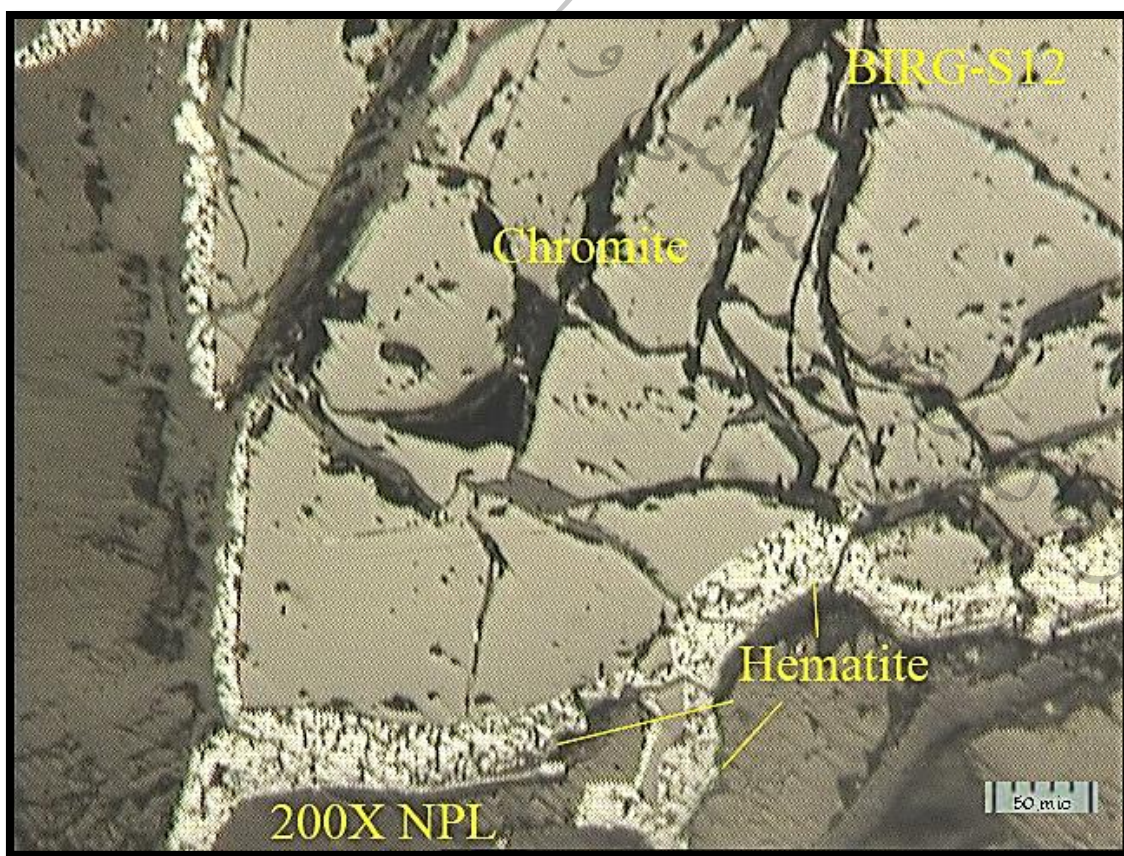
مستقر شده‌اند. فراوانی هماتیت حدود ۱ درصد است.



عکس ۴-۵۳- نمایی از جایگزینی کانی مگنتیت توسط هماتیت در نمونه BIRG2S12TP



عکس ۴-۵۴- نمایی از جایگزینی کانی مگنتیت توسط هماتیت در نمونه BIRG2S12TP



عکس ۴-۵۵- نمایی از جایگزینی کانی کرومیت توسط هماتیت در نمونه BIRG2S12TP

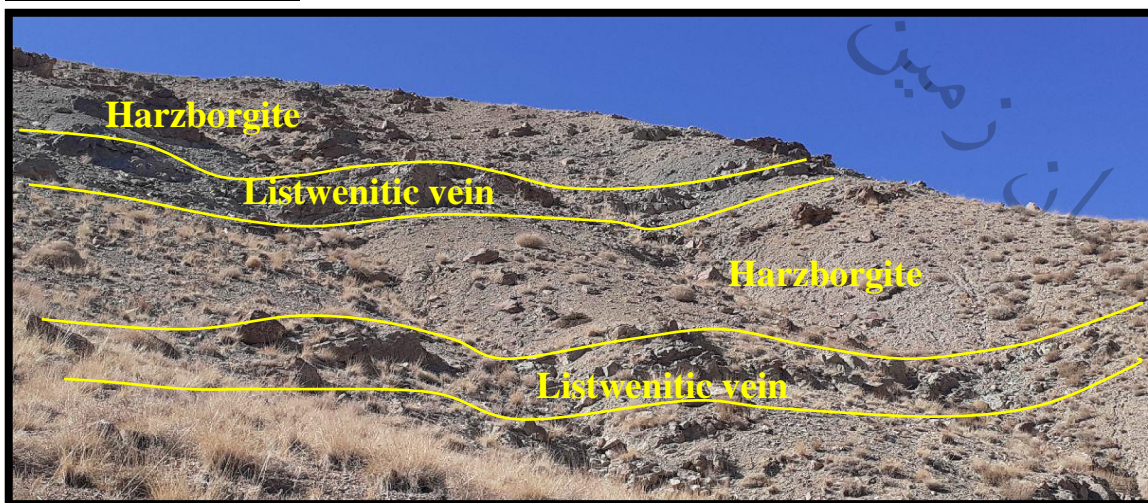


عکس ۴-۵۶- نمایی از رگه سیلیسی-کربناته (لیستونیتی) در سنگ هارزبورزیتی در محل نمونه BIRG2S11

-نمونه BIRG2S9 از رگه‌های لیستونیتی برداشت شده که به موازات هم در امتداد شرقی-غربی به طول ۱۰۰ متر و ضخامت ۲ متر امتداد یافته است (جدول ۴-۴ و عکس ۴-۵۷).

جدول ۴-۴- آنالیز عنصری به روشن ICP در نمونه BIRG2S9

Sample	X	Y	Au	Ag	Al	As	Ba	Be
BIRG-2-S9	720268	3623750	5	0.5	9076	1.8	176	1
Ca	Cd	Ce	Co	Cr	Cu	Fe	K	La
30124	0.27	4	41	861	16	29660	1201	4
Li	Mg	Mn	Mo	Na	Ni	P	Pb	S
33	2%	650	0.51	425	780	104	4	279
Sb	Sc	Sr	Th	Ti	U	V	Y	Yb
1.01	3	73	5	436	5	22	4	0.5
Zn	Zr							
25	12							



عکس ۴-۵۷- نمایی از رگه سیلیسی-کربناته (لیستونیتی) در سنگ هارزبورزیتی در محل نمونه BIRG2S11

- نمونه‌های **BIRG2S8** و **BIRG2S7** از رگه لیستونیتی در امتداد شرقی- غربی به طول ۲۰ متر و ضخامت ۳ متر در مرز بین دونیت و هارزبورژیت سرپانتینی شده اخذ گردید (جداول ۴-۴۴ و ۴-۴۵ و همچنین عکس ۴-۵۸).

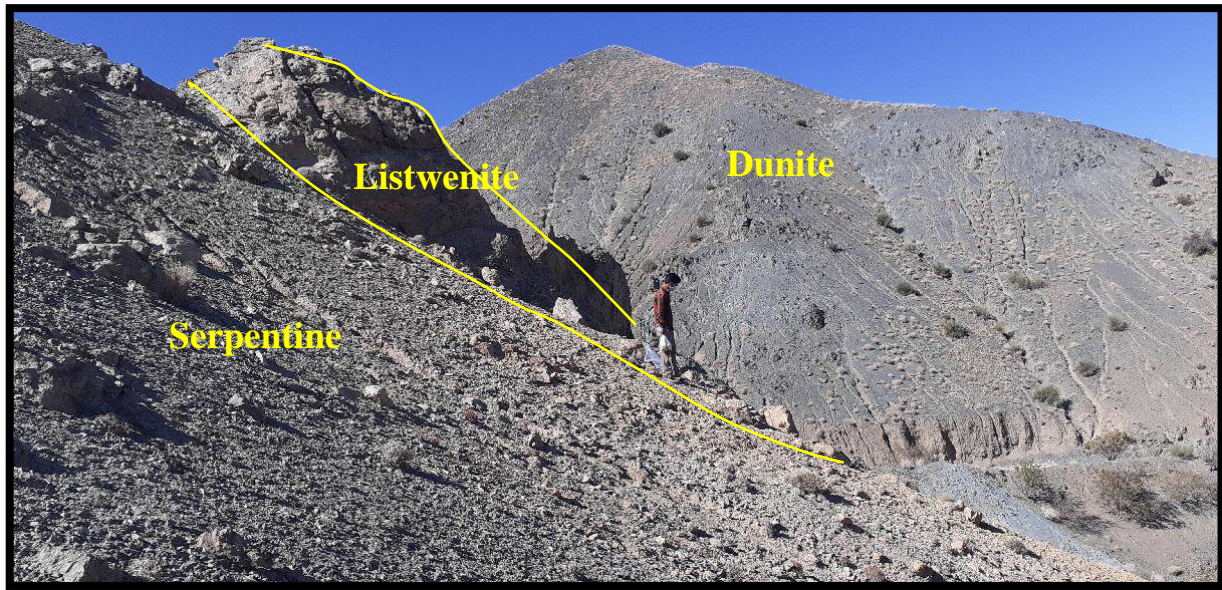
جدول ۴-۴۴ - آنالیز عنصری به روش ICP در نمونه **BIRG2S7**

Sample	X	Y	Au	Ag	Al	As	Ba	Be
BIRG-2-S7	720621	3623463	5	0.5	1212	2.2	16	1
Ca	Cd	Ce	Co	Cr	Cu	Fe	K	La
4137	0.38	2	76	2293	35	46956	184	1
Li	Mg	Mn	Mo	Na	Ni	P	Pb	S
31	2%	869	0.5	363	1284	30	4	158
Sb	Sc	Sr	Th	Ti	U	V	Y	Yb
8.8	2.7	17	5	45	5	18	0.5	0.4
Zn	Zr							
35	5							

جدول ۴-۴۵ - آنالیز عنصری به روش ICP در نمونه **BIRG2S8**

Sample	X	Y	Au	Ag	Al	As	Ba	Be
BIRG-2-S8	720621	3623463	5	0.5	3399	2.4	34	1
Ca	Cd	Ce	Co	Cr	Cu	Fe	K	La
24033	0.26	2	42	1468	13	34395	320	1
Li	Mg	Mn	Mo	Na	Ni	P	Pb	S
42	2%	655	0.5	553	947	58	4	214
Sb	Sc	Sr	Th	Ti	U	V	Y	Yb
8.8	5.1	91	5	80	5	32	1	0.4
Zn	Zr							
37	5							

در نمونه **BIRG2S7**، عناصر کروم (2293 ppm)، نیکل (1284 ppm) و منگنز (869 ppm) ناهنجاری نشان می‌دهد. همچنین در نمونه **BIRG2S8**، عناصر کروم (1468 ppm)، نیکل (947 ppm) ناهنجاری نیز نشان می‌دهد.

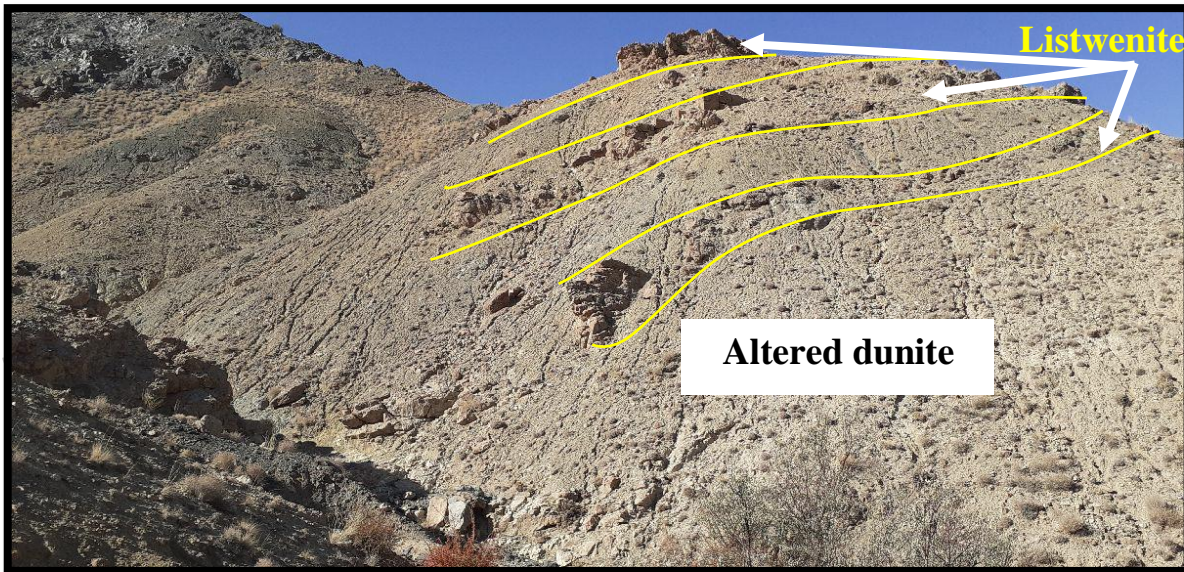


عکس ۴-۵۸- نمایی از رگه سیلیسی-کربناته (لیستونیتی) در سنگ هارزبورژیتی در محل نمونه‌های BIRG2S7-8

- نمونه BIRG2S37 از رگه لیستونیتی در امتداد شرقی- غربی به طول ۵۰ متر و ضخامت ۲ متر در مرز بین دونیت و هارزبورژیت سرپانتینی شده که به صورت موازی هم امتداد دارند، اخذ گردید (جدول ۴-۴۶ و عکس ۴-۵۹).

جدول ۴-۴۶- آنالیز عنصری به روش ICP در نمونه BIRG2S37

Sample	X	Y	Au	Ag	Al	As	Ba	Be
BIRG-2-S37	721407	3623344	5	0.5	5054	2	21	1
Ca	Cd	Ce	Co	Cr	Cu	Fe	K	La
23519	0.29	1	38	443	14	24675	494	2
Li	Mg	Mn	Mo	Na	Ni	P	Pb	S
30	2%	421	0.5	442	793	64	4	170
Sb	Sc	Sr	Th	Ti	U	V	Y	Yb
0.87	2.8	96	5	211	5	19	2	0.4
Zn	Zr							
17	7							



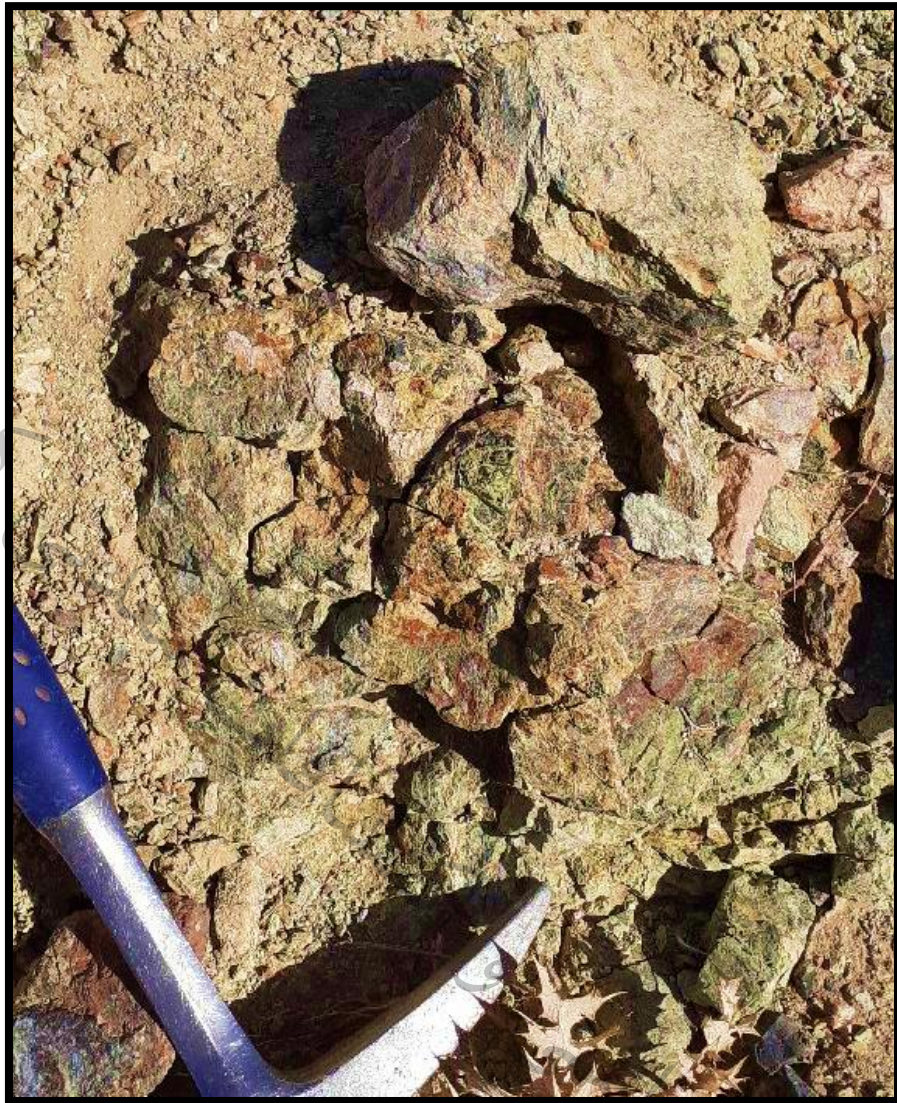
عکس ۴-۵۹- نمایی از رگه‌های سیلیسی-کربناته (لیستونیتی) در دونیت آلتره شده در محل نمونه BIRG2S37

-نمونه BIRG2S38 از زون آلتره در امتداد شرقی- غربی به طول ۱۰۰ متر و عرض ۵ متر در هارزبورژیت سرپانتینی شده اخذ گردید (جدول ۴-۴ و عکس ۶۰-۴).

جدول ۴-۴- آنالیز عنصری به روشن ICP در نمونه BIRG2S38

Sample	X	Y	Au	Ag	Al	As	Ba	Be
BIRG-2-S38	721445	3623334	5	0.6	6966	1.3	65	1
Ca	Cd	Ce	Co	Cr	Cu	Fe	K	La
5727	0.7	2	78	2053	17	42458	359	1
Li	Mg	Mn	Mo	Na	Ni	P	Pb	S
28	2%	589	0.5	470	1228	41	3	150
Sb	Sc	Sr	Th	Ti	U	V	Y	Yb
1.18	5.6	186	5	158	5	25	1	0.5
Zn	Zr							
31	5							

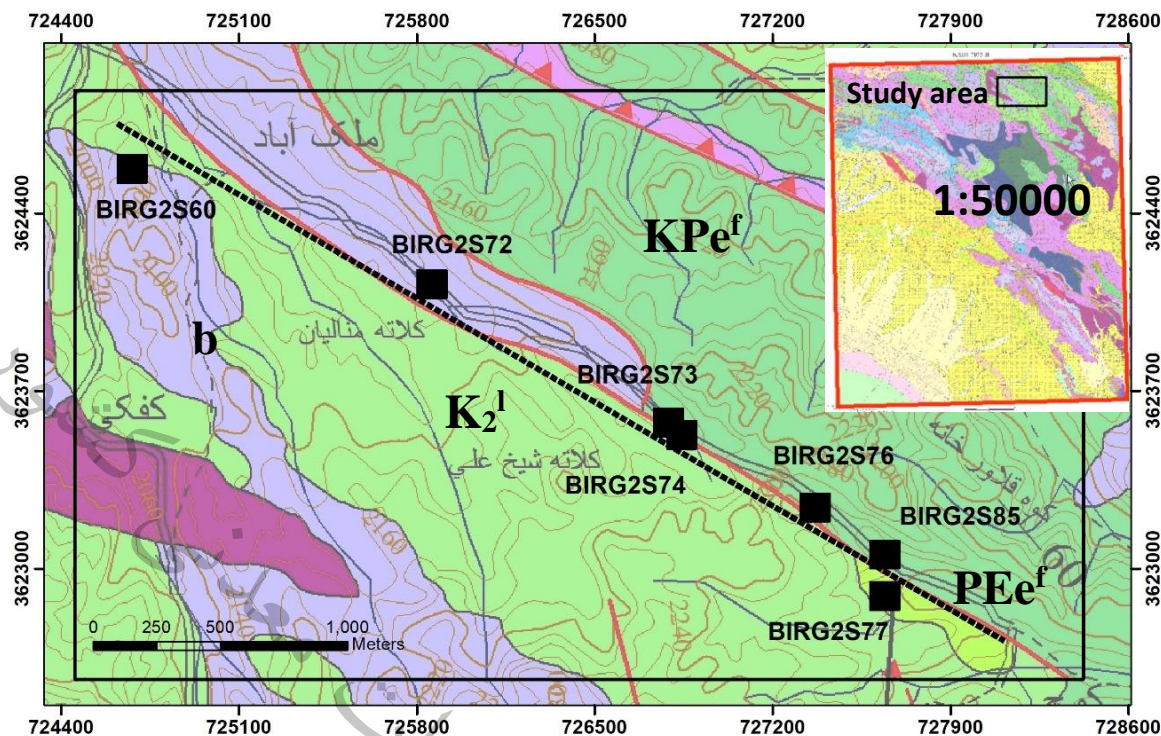
در نمونه BIRG2S38، عناصر کروم (2053 ppm)، نیکل (1228 ppm) ناهنجاری نشان می‌دهند.



عکس ۴-۶۰- نمایی نزدیک از زون آلتره سبز رنگ و لیموئیتی در محل نمونه BIRG2S38

۴-۱۱-۲-۱۱- پروفیل (۱۱):

شروع پیمایش در این پروفیل از مختصات ۳,۶۲۴,۷۳۵ X: ۷۲۴,۶۳۱ Y: در آزیمoot ۱۲۰ درجه به طول ۴۰۴۵ متر بوده است. در این مسیر پیمایش شده تعداد ۷ نمونه برداشت شد. نمونه‌های اخذ شده بر اساس نقشه زمین‌شناسی ۱:۵۰۰۰۰ در واحدهای دولومیتی، بازالتی، سیلت استون و شیل و همچنین فیلیتی قرار گرفته است (شکل‌های ۲۳-۴ و ۲۴-۴). در ادامه به شرح نمونه‌های اخذ شده در این پروفیل پرداخته می‌شود:



شکل ۴-۲۳- نمونه‌های برداشت شده در امتداد پروفیل (۱۱) و زمین‌شناسی مربوطه (اقتباس از نقشه ۱:۵۰۰۰۰ کاوهی)
b: Basalt KPe^f: Altered phyllite PEE^f: Siltstone, shale K₂^l: Limestone



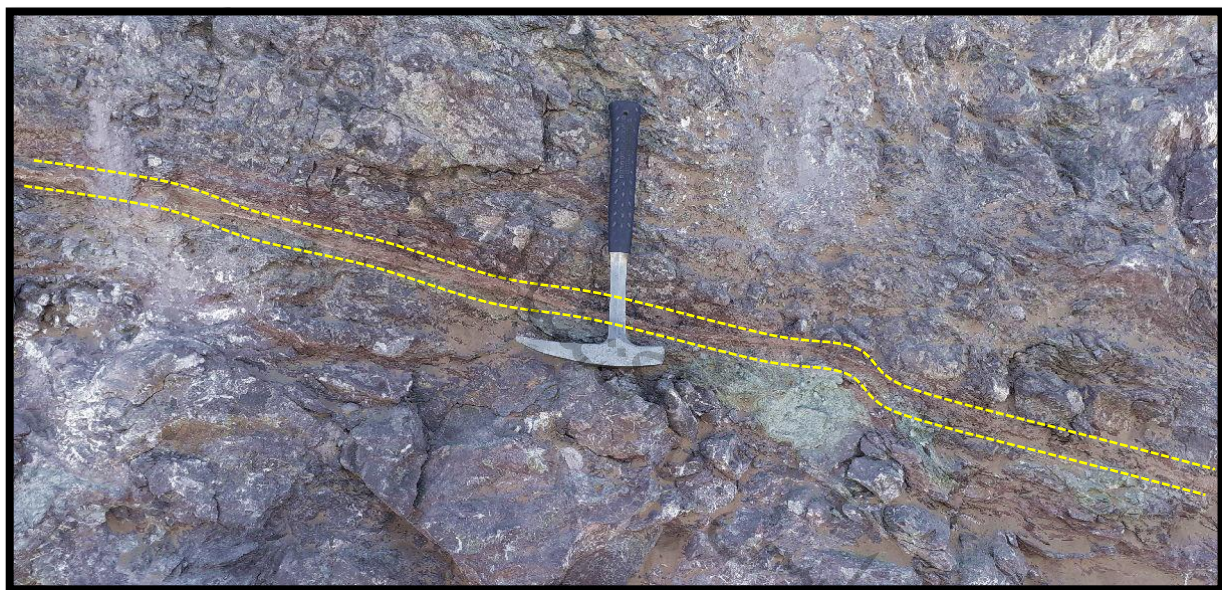
شکل ۴-۲۴- نمایی از پروفیل (۱۱) در تصویر ماهواره‌ای به همراه مقطع عرضی آن.

- نمونه BIRG2S60 از رگچه‌های کربناتی در سنگ میزان ولکانیکی به طول ۱۰ سانتیمتر و ضخامت ۳ سانتی متر که تکرار می‌شوند، گرفته شد (جدول ۴-۴۸ و عکس ۴-۶۱).

جدول ۴-۴- آنالیز عنصری به روش ICP در نمونه BIRG2S60

Sample	X	Y	Au	Ag	Al	As	Ba	Be
BIRG-2-S60	724682	3624576	5	0.5	68592	1.9	45	1
Ca	Cd	Ce	Co	Cr	Cu	Fe	K	La
71424	0.34	1	49	506	455	56201	2387	3
Li	Mg	Mn	Mo	Na	Ni	P	Pb	S
71	2%	1469	0.5	8602	292	236	4	172
Sb	Sc	Sr	Th	Ti	U	V	Y	Yb
1.04	24.5	118	5	2117	5	127	11	1.7
Zn	Zr							
69	17							

در نمونه BIRG2S60، عنصر منگنز (1469 ppm) ناهنجاری نشان می‌دهند.



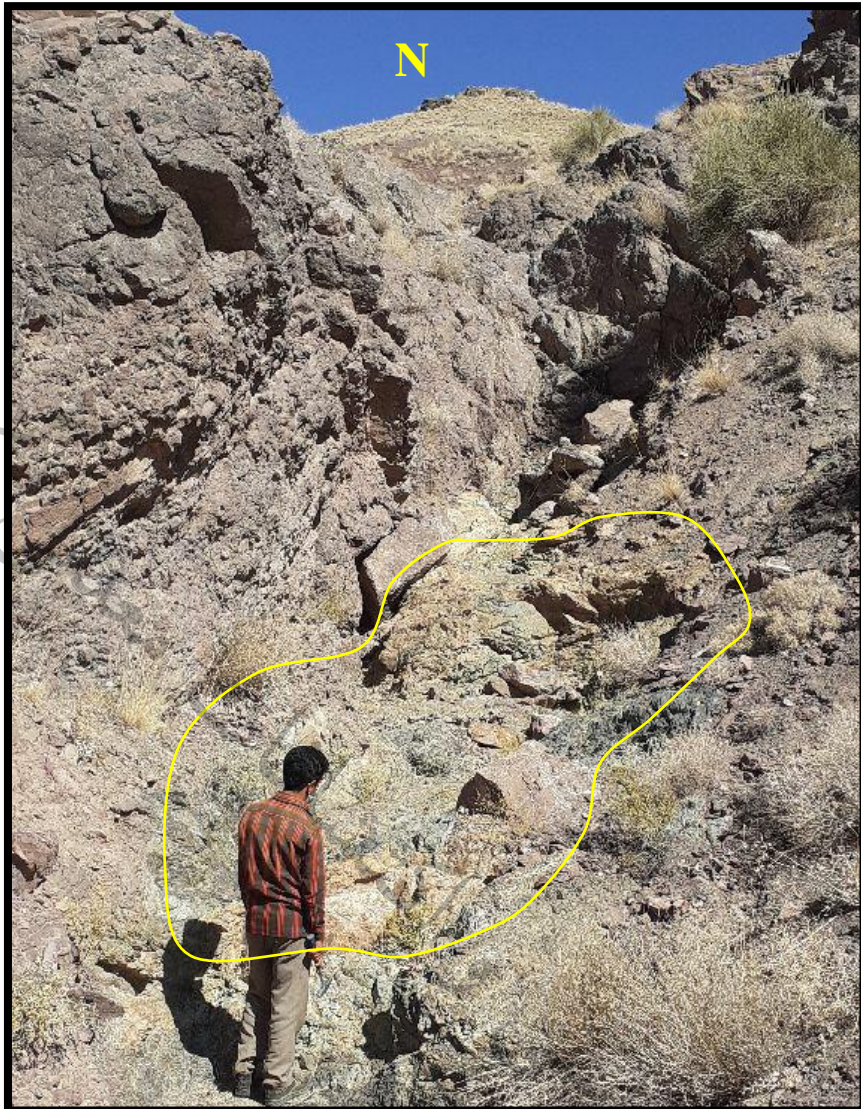
عکس ۴-۶۱- نمایی نزدیک از رگچه‌های آلتره اکسید آهنی-کربناتی در محل نمونه BIRG2S60

-نمونه BIRG2S72 از یک پچ آلتره سبز رنگ مس دار و اکسید آهنی (لیمونیتی) در زیر آگلومرا و روی هارزبورزیت (جدول ۴-۴۹ و عکس ۴-۶۲).

جدول ۴-۴- آنالیز عنصری به روش ICP در نمونه BIRG2S72

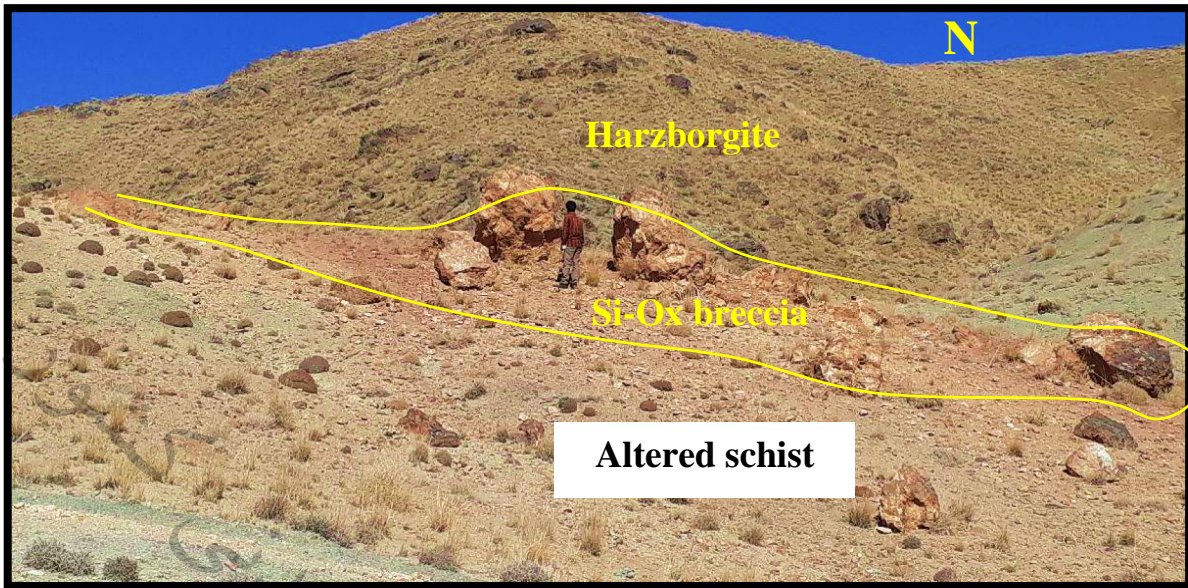
Sample	X	Y	Au	Ag	Al	As	Ba	Be
BIRG-2-S72	725862	3624117	8	0.6	22699	5.3	22	1
Ca	Cd	Ce	Co	Cr	Cu	Fe	K	La
13478	0.28	2	80	1162	2929	90720	184	1
Li	Mg	Mn	Mo	Na	Ni	P	Pb	S
30	2%	1042	1.3	578	825	48	4	4612
Sb	Sc	Sr	Th	Ti	U	V	Y	Yb
1.27	10.3	22	5	349	5	70	1	0.9
Zn	Zr							
224	5							

در این نمونه عناصر مس (2929 ppm)، آهن (90720 ppm) و گوگرد (4612 ppm) ناهنجاری نشان می‌دهند.



عکس ۴-۶۲- نمایی از پچ آلتره با کانی‌های سبز رنگ مس دار در محل نمونه BIRG2S72

- نمونه BIRG2S73 از یک رگه برشی سیلیسی-کربناته-لیمونیتی در امتداد شرقی- غربی به طول ۲۰۰ متر و ضخامت ۲ متر که به صورت ناپیوسته امتداد یافته است، برداشت گردید. همچنین در اطراف رگه نیز یک زون آلتره سفید رنگ و آرزیلی شده مشاهده می‌گردد (جدول ۵۰-۴ و عکس‌های ۶۳-۴ و ۶۴-۴)



عکس ۴-۶۳- نمایی از رگه سیلیسی- کربناته- برشی- اکسیدی- لیمونیتی در محل نمونه BIRG2S73



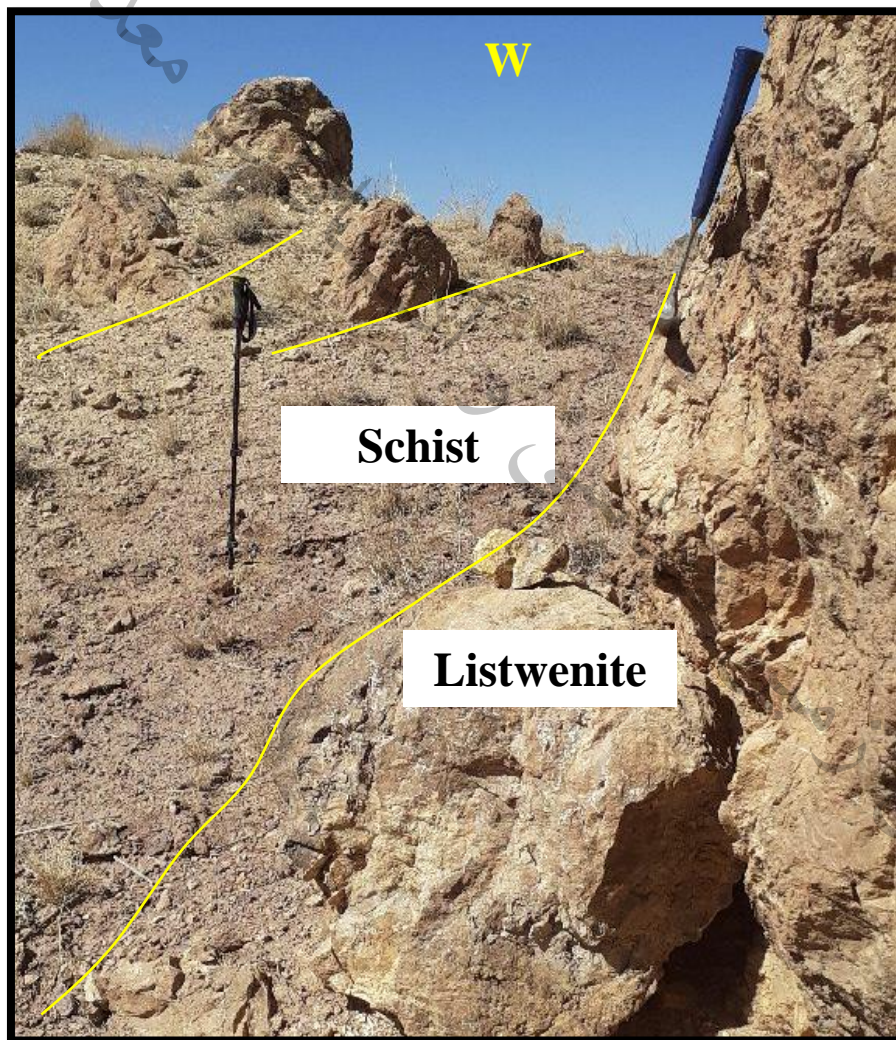
عکس ۴-۶۴- نمایی نزدیک از رگه سیلیسی- برشی- اکسیدی- لیمونیتی در محل نمونه BIRG2S73

جدول ۴-۵۰- آنالیز عنصری به روش ICP در نمونه BIRG2S73

Sample	X	Y	Au	Ag	Al	As	Ba	Be
BIRG-2-S73	726799	3623579	5	0.5	1056	1.6	11	1
Ca	Cd	Ce	Co	Cr	Cu	Fe	K	La
45447	0.33	2	18	40	26	13224	100	1
Li	Mg	Mn	Mo	Na	Ni	P	Pb	S
19	2%	350	0.5	335	328	49	4	174
Sb	Sc	Sr	Th	Ti	U	V	Y	Yb
0.98	1.8	47	5	21	5	18	1	0.2
Zn	Zr							
4	5							

نمونه BIRG2S74 از قسمت دیگر رگه برشی سیلیسی-کربناته-لیمونیتی قبلی به جهت مقایسه

تغییرات عیاری گرفته شد (جدول ۴-۵۱ و عکس ۴-۶۵).



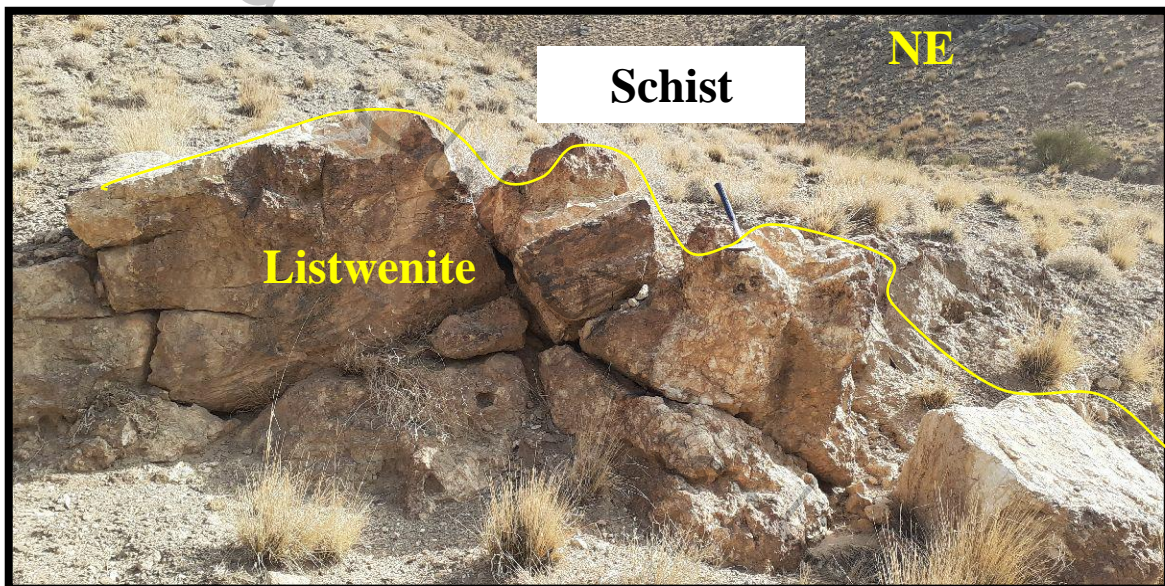
عکس ۴-۶۵- قسمتی از رگه سیلیسی-برشی-اکسیدی-لیمونیتی در محل نمونه BIRG2S74

جدول ۴-۵۱- آنالیز عنصری به روش ICP در نمونه BIRG2S74

Sample	X	Y	Au	Ag	Al	As	Ba	Be
BIRG-2-S74	726799	3623579	5	0.5	305	2.4	13	1
Ca	Cd	Ce	Co	Cr	Cu	Fe	K	La
35899	0.26	2	14	15	11	10985	100	1
Li	Mg	Mn	Mo	Na	Ni	P	Pb	S
21	2%	242	0.5	283	282	39	4	367
Sb	Sc	Sr	Th	Ti	U	V	Y	Yb
0.89	1.3	29	5	13	5	12	1	0.2
Zn	Zr							
1	5							

نمونه BIRG2S76 از رگه لیستونیتی در امتداد ۱۵۰ درجه آزیموت به طول ۲۰ متر و عرض ۱ متر با-

سنگ میزبان شیستی گرفته شد (جدول ۴-۵۲ و عکس ۴-۶۶).



عکس ۴-۶۶- نمایی از رگه لیستونیتی در محل نمونه BIRG2S76

جدول ۴-۵۲- آنالیز عنصری به روش ICP در نمونه BIRG2S76

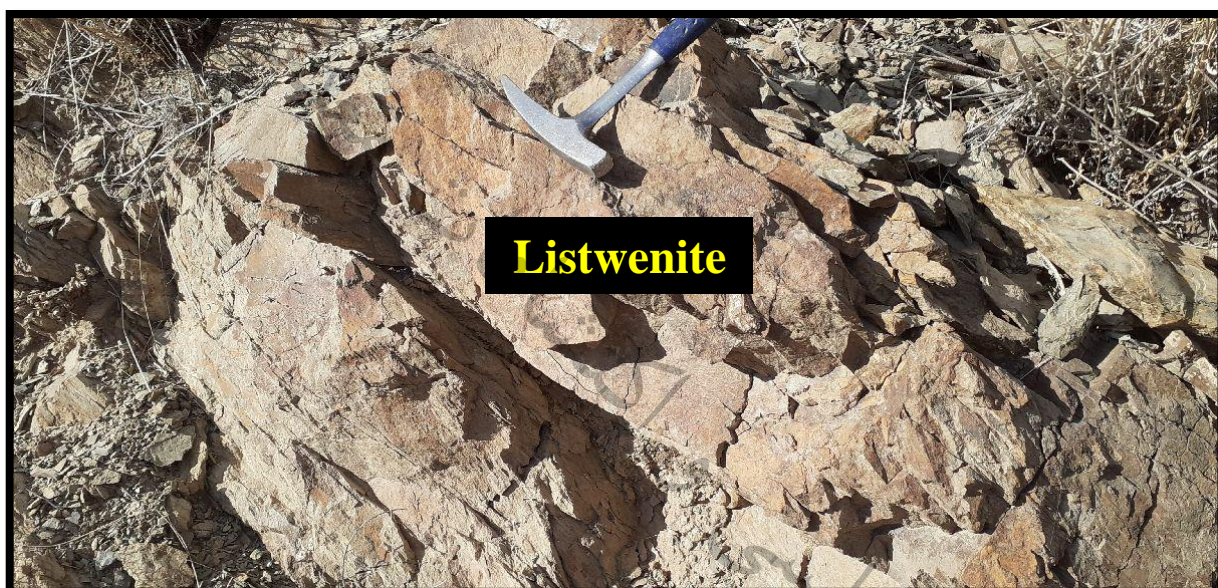
Sample	X	Y	Au	Ag	Al	As	Ba	Be
BIRG-2-S76	727377	3623240	5	0.5	613	1.4	11	1
Ca	Cd	Ce	Co	Cr	Cu	Fe	K	La
4186	0.28	2	8	32	6	7253	116	1
Li	Mg	Mn	Mo	Na	Ni	P	Pb	S
14	2%	129	0.5	303	201	58	3	164
Sb	Sc	Sr	Th	Ti	U	V	Y	Yb
0.91	0.6	19	5	19	5	6	0.5	0.2
Zn	Zr							
1	5							

نمونه BIRG2S85 از رگه لیستونیتی در امتداد شرقی- غربی به طول ۱۰۰ متر و ضخامت ۲ متر

برداشت گردید (جدول ۴-۵۳ و عکس ۴-۶۷).

جدول ۴-۵۳- آنالیز عنصری به روش ICP در نمونه BIRG2S85

Sample	X	Y	Au	Ag	Al	As	Ba	Be
BIRG-2-S85	727657	3623059	5	0.5	52886	10.1	213	1.2
Ca	Cd	Ce	Co	Cr	Cu	Fe	K	La
25142	0.28	32	8	90	20	24416	15172	19
Li	Mg	Mn	Mo	Na	Ni	P	Pb	S
54	4567	329	0.5	17991	46	383	4	213
Sb	Sc	Sr	Th	Ti	U	V	Y	Yb
0.9	7.8	107	5	2884	5	59	15	1.6
Zn	Zr							
43	69							

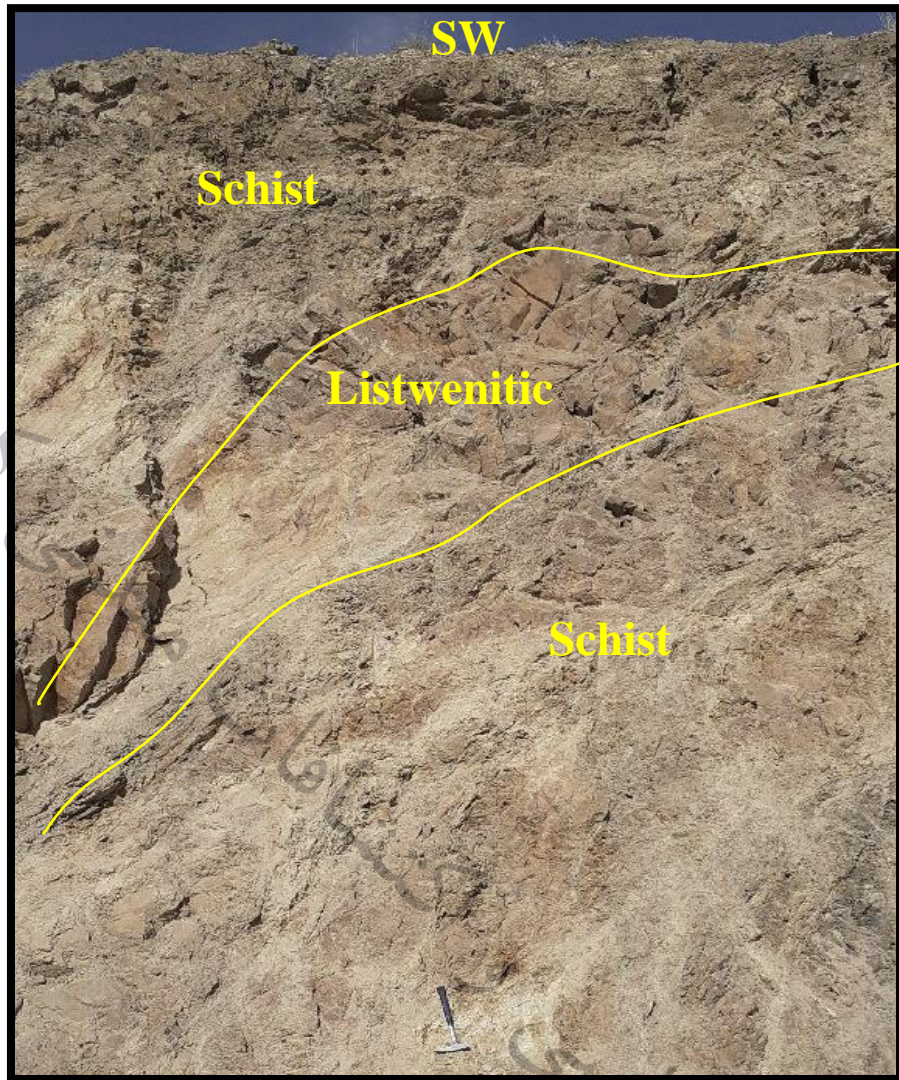


عکس ۴-۶۷- نمایی از رگه لیستونیتی در محل نمونه BIRG2S85

نمونه BIRG2S77 از رگه لیستونیتی در امتداد شرقی- غربی که عمود بر رگه برش خورده است (راه سازی) با شیب ۴۵ درجه و ضخامت ۲ متری در سنگ میزان شیستی برداشت گردید (جدول ۴-۵۴ و عکس ۴-۶۸).

جدول ۴-۵۴- آنالیز عنصری به روش ICP در نمونه BIRG2S85

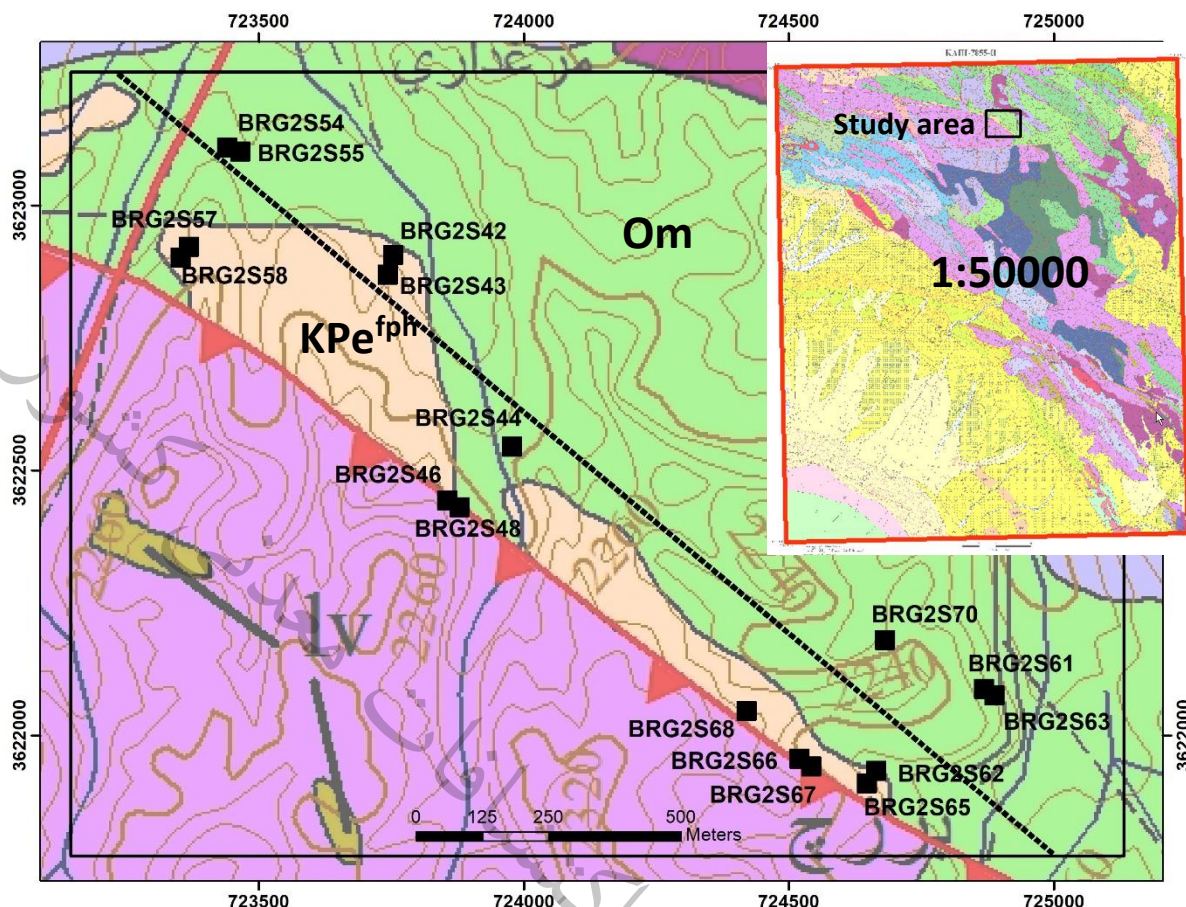
Sample	X	Y	Au	Ag	Al	As	Ba	Be
BIRG-2-S77	727659	3622892	5	0.51	42056	3.4	156	1
Ca	Cd	Ce	Co	Cr	Cu	Fe	K	La
77574	0.31	22	2	41	15	16042	12004	15
Li	Mg	Mn	Mo	Na	Ni	P	Pb	S
23	2%	624	0.5	9015	22	270	4	168
Sb	Sc	Sr	Th	Ti	U	V	Y	Yb
1.01	3.7	247	5	1232	5	39	9	0.8
Zn	Zr							
12	63							



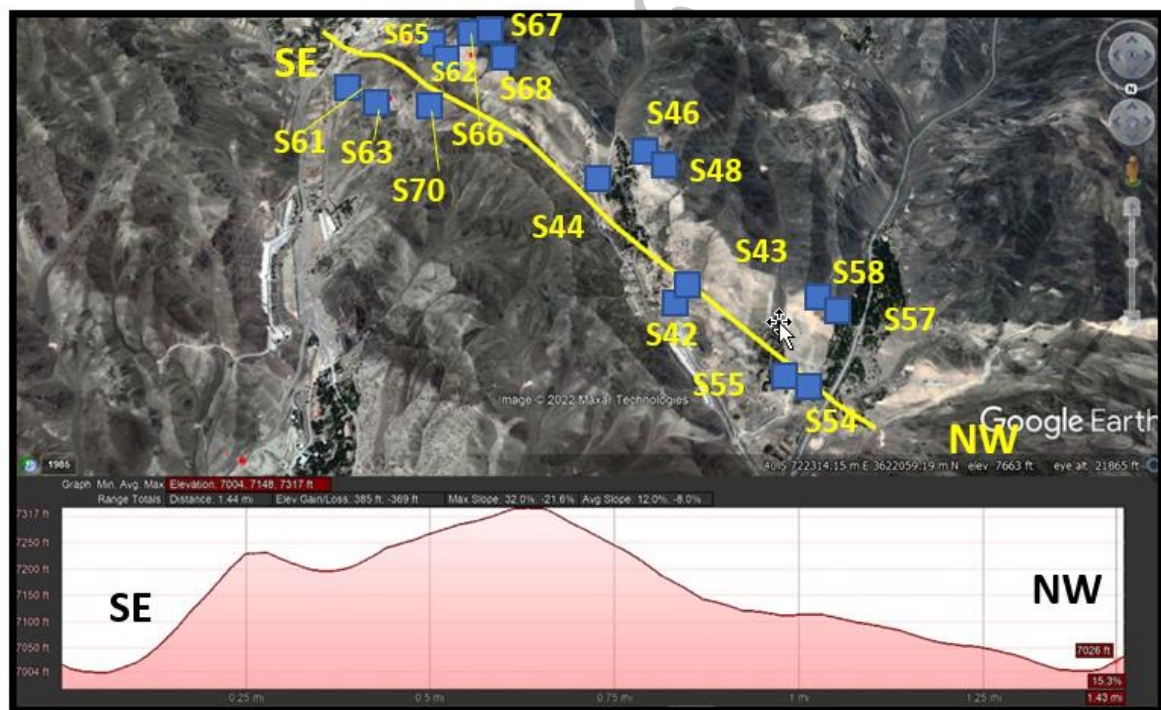
عکس ۴-۶۸- نمایی از رگه لیستونیتی در محل نمونه BIRG2S77

۴-۲-۱۲- پروفیل (۱۲):

این پروفیل بیشترین رخمنون مشکوک به کانه زایی و زون‌های آلتره را در خود دارد. شروع پیمایش در این پروفیل از مختصات 723,203 X و 3,623,243 Y در آزیمoot ۱۳۰ درجه به طول ۲۲۹۹ متر بوده است. در این مسیر پیمایش شده تعداد ۱۷ نمونه برداشت شد. نمونه‌های اخذ شده بر اساس نقشه زمین‌شناسی ۱:۵۰۰۰۰ در واحدهای افیولیت ملانژ، هارزبورزیت سرپانتینی شده و همچنین واحدهای فیلیتی قرار گرفته است (شکل‌های ۴-۲۵ و ۴-۲۶). در ادامه به شرح نمونه‌های اخذ شده در این پروفیل پرداخته می‌شود:



شکل ۴-۲۵- نمونه‌های برداشت شده در امتداد پروفیل (۱۲) و زمین‌شناسی مربوطه (اقتباس از نقشه ۱:۵۰۰۰۰ کاهی)
Om: Ophiolite melange Hz; Harzburgite KPe^{fph}: Slate



شکل ۴-۲۶- نمایی از پروفیل (۱۲) در تصویر ماهواره‌ای به همراه مقطع عرضی آن.

نمونه‌های **BIRG2S54** و **BIRG2S55** از یک زون آلتره لیمونیتی-آرژیلیتی به طول ۲۰ متر با سنگ میزبان هارزبورژیت سرپانتینیتی شده در امتداد ۱۶۲ درجه آزیموت برداشت گردید (جداول ۴ و ۵۵-۴ و همچنین عکس‌های ۶۹-۴ و ۷۰-۴).

جدول ۴ - ۵۵ - آنالیز عنصری به روش ICP در نمونه **BIRG2S54**

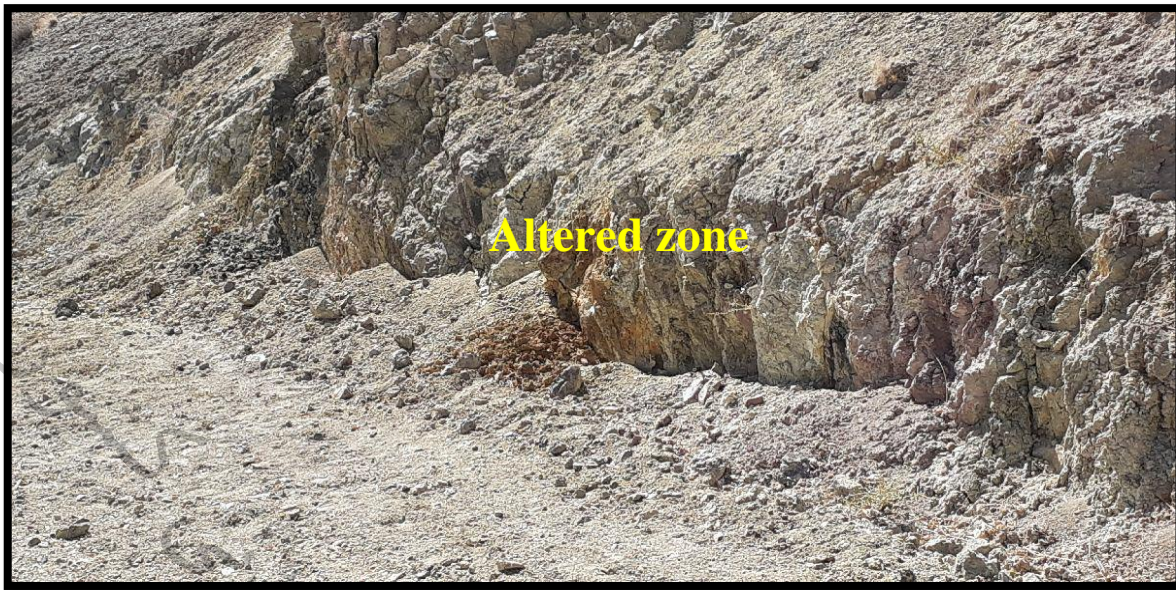
Sample	X	Y	Au	Ag	Al	As	Ba	Be
BIRG-2-S54	723440	3623109	5	0.5	21666	5.7	26	1
Ca	Cd	Ce	Co	Cr	Cu	Fe	K	La
38675	0.27	2	103	1322	31	71023	140	1
Li	Mg	Mn	Mo	Na	Ni	P	Pb	S
26	2%	1121	0.5	464	1993	75	4	157
Sb	Sc	Sr	Th	Ti	U	V	Y	Yb
1.2	11.3	137	5	952	5	64	7	1.3
Zn	Zr							
61	9							

در آین نمونه عناصر کروم (1322 ppm)، نیکل (1993 ppm) و همچنین منگنز (1121 ppm) ناهنجاری نشان می‌دهد.

جدول ۴ - ۵۶ - آنالیز عنصری به روش ICP در نمونه **BIRG2S55**

Sample	X	Y	Au	Ag	Al	As	Ba	Be
BIRG-2-S55	723440	3623109	5	0.5	3745	2.4	352	1
Ca	Cd	Ce	Co	Cr	Cu	Fe	K	La
3461	0.27	2	164	2118	14	40131	172	1
Li	Mg	Mn	Mo	Na	Ni	P	Pb	S
21	12139	2991	0.5	488	1510	32	3	175
Sb	Sc	Sr	Th	Ti	U	V	Y	Yb
1.17	4.6	31	5	90	5	21	1	0.4
Zn	Zr							
36	5							

در آین نمونه عناصر کروم (2118 ppm)، نیکل (1510 ppm) و منگنز (2991 ppm) ناهنجاری نشان می‌دهد.



عکس ۴-۶۹- نمایی از زون آلتره در محل نمونه BIRG2S54



عکس ۴-۷۰- نمایی از زون آلتره با کانی‌های سیاه در محل نمونه BIRG2S55

-نمونه‌های BIRG2S57 و BIRG2S58 از یک رگه لیستونیتی سیلیسی-کربناته در امتداد ۱۳۲ درجه آزیمут به طول ۵۰ متر و ضخامت ۵۰ متر از ستگ میزبان هارزبورژیتی سرپانتینی شده برداشت گردید (جداول ۴-۵۷ و ۴-۵۸ و همچنین عکس‌های ۴-۷۳ و ۴-۷۴).

جدول ۴-۵۷- آنالیز عنصری به روش ICP در نمونه BIRG2S57

Sample	X	Y	Au	Ag	Al	As	Ba	Be
BIRG-2-S57	723352	3622899	5	0.5	1720	1.7	51	1
Ca	Cd	Ce	Co	Cr	Cu	Fe	K	La
20474	0.25	2	18	163	7	15634	193	1
Li	Mg	Mn	Mo	Na	Ni	P	Pb	S
16	2%	325	0.5	463	454	35	3	235
Sb	Sc	Sr	Th	Ti	U	V	Y	Yb
1	1.8	54	5	48	5	15	1	0.2
Zn	Zr							
1	5							

جدول ۴-۵۸- آنالیز عنصری به روش ICP در نمونه BIRG2S58

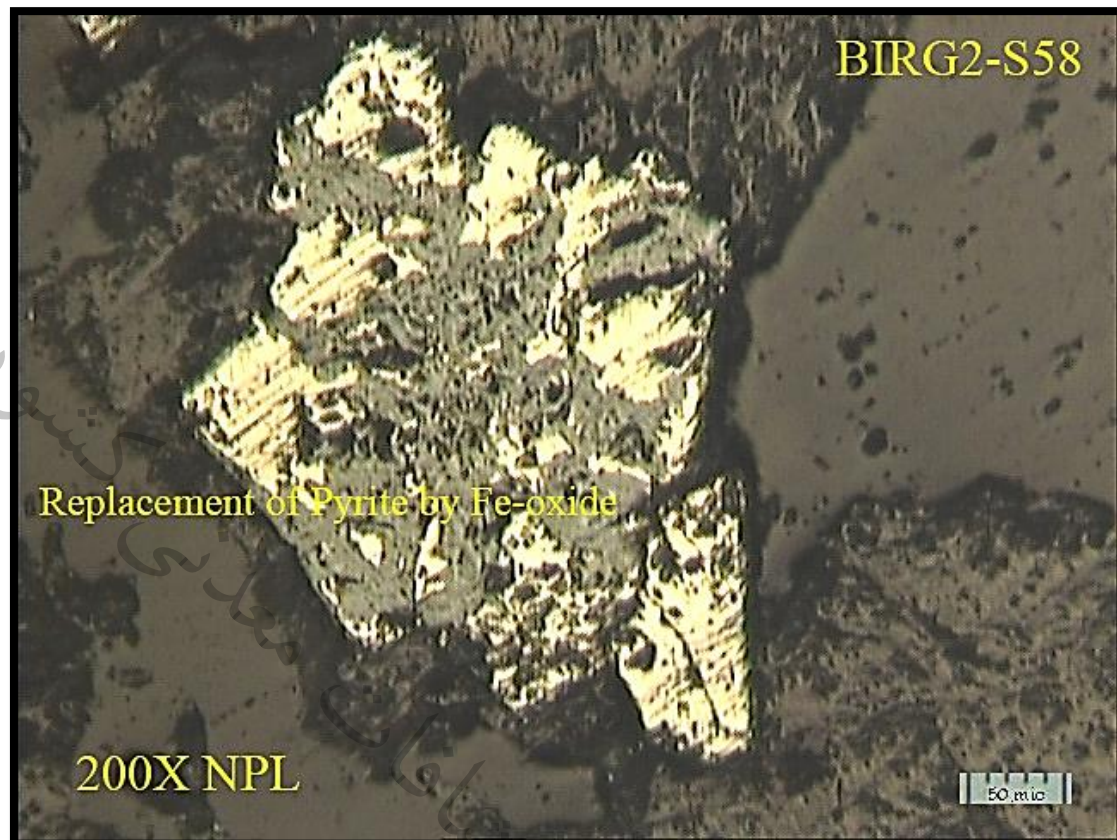
Sample	X	Y	Au	Ag	Al	As	Ba	Be
BIRG-2-S58	723352	3622899	11	0.71	6431	6.4	16	1
Ca	Cd	Ce	Co	Cr	Cu	Fe	K	La
10%	0.3	3	25	131	45	18563	1233	4
Li	Mg	Mn	Mo	Na	Ni	P	Pb	S
22	2%	829	0.53	438	369	74	4	260
Sb	Sc	Sr	Th	Ti	U	V	Y	Yb
1.07	2.5	175	5	269	5	22	5	0.5
Zn	Zr							
22	8							

از این رگه نمونه BIRG2S58TP به جهت مطالعات مینرالوگرافی و تعیین فاز کانه زایی برداشت گردید

(عکس‌های ۷۱-۴ و ۷۲-۴).

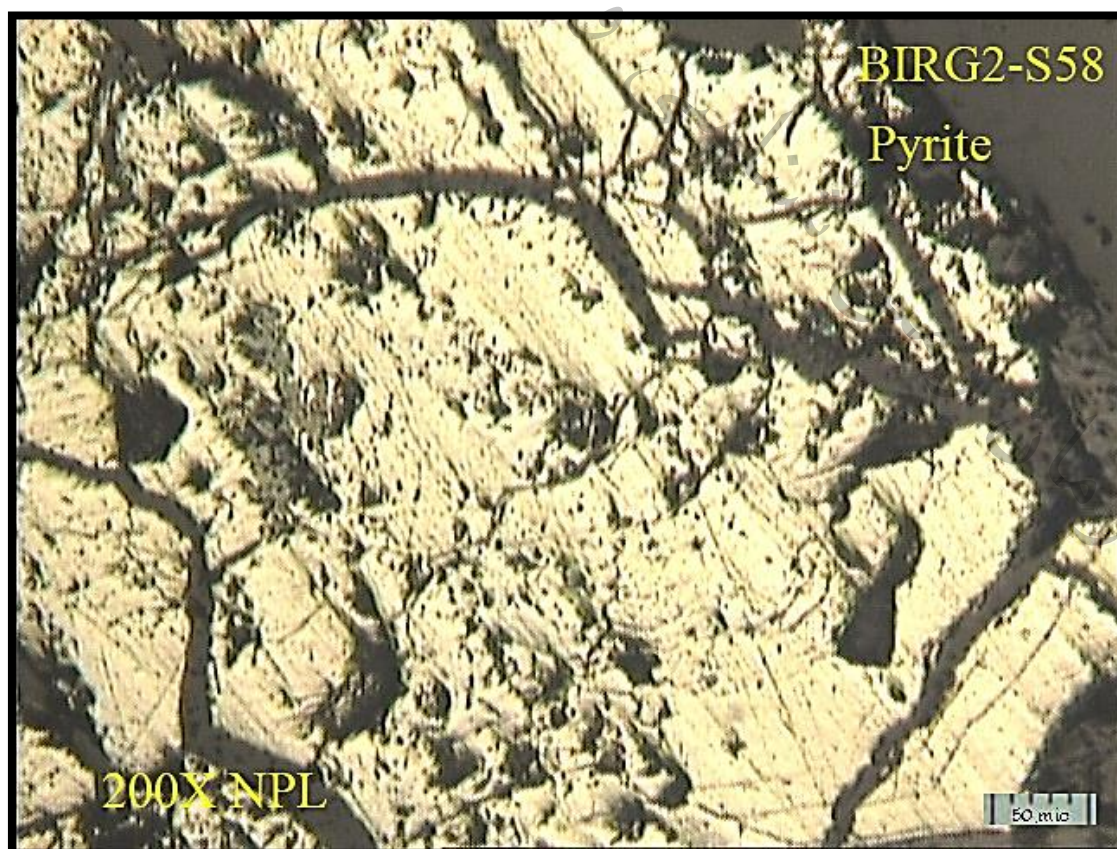
کانی فلزی: پیریت

تنها کانی فلزی تشکیل شده در این نمونه کریستال‌های پیریت است که اندازه آن‌ها بین ۲۰ الی ۵۰۰ میکرون متغیر است. کریستال‌ها به شکل هندسی نامشخص و نیمه اتومورف بوده و تحت تاثیر آلتراسیون سوپرژن از طریق شکستگی‌های متن کریستال در حال جایگزینی توسط اکسیدهای آبدار و ثانویه آهن هستند. این کریستال‌ها همان‌گونه که در نمونه دستی با چشم غیر مسلح می‌شوند در شکاف سنگ میزبان با بافت Open Space کانی‌سازی کرده و کمتر از ۱ درصد نمونه را به خود اختصاص داده‌اند.

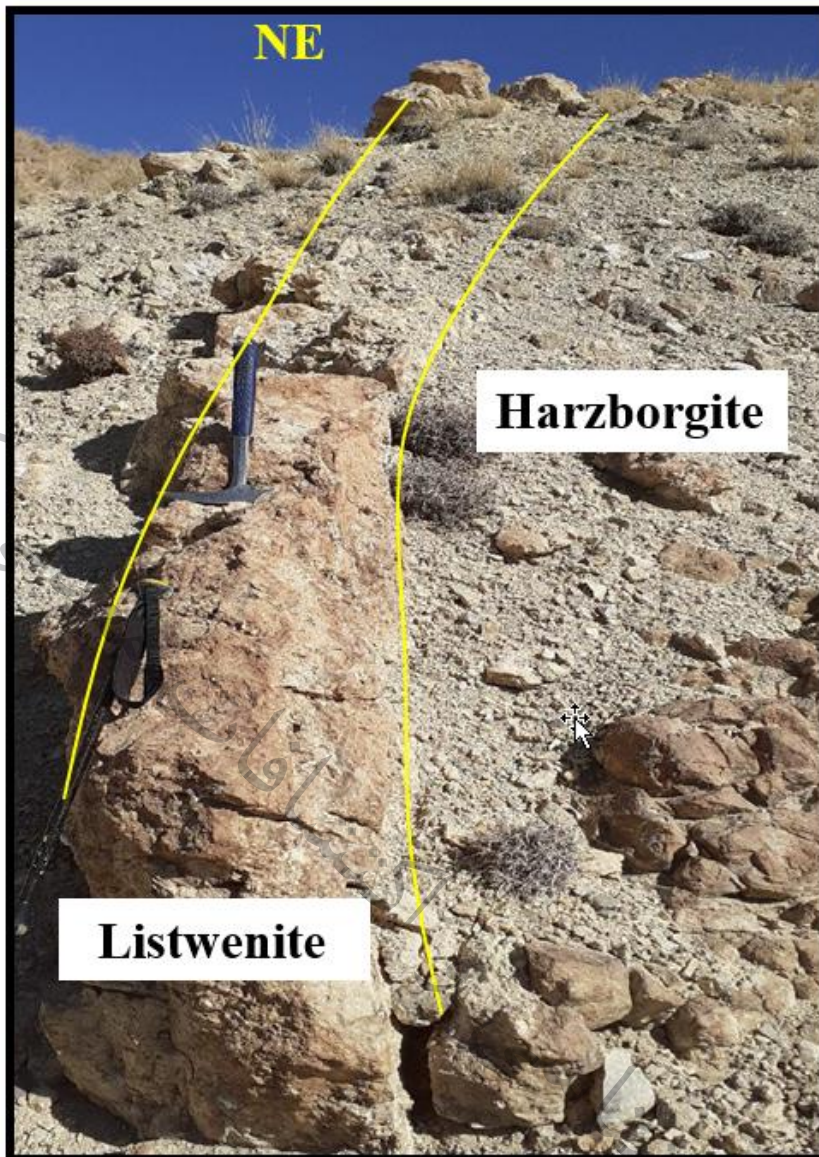


عکس ۴-۷۱- نمایی از کانی پیریت که در محل رخ و شکستگی ثانویه به هماتیت تبدیل شده است.

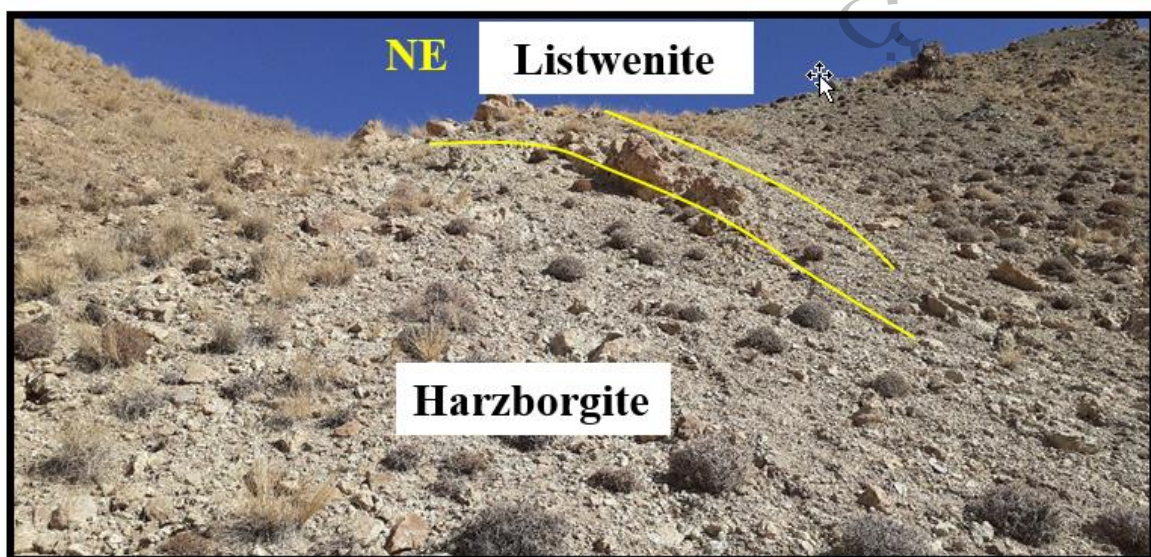
نمونه BIRG2S58TP



عکس ۴-۷۲- نمایی از کانی پیریت در نمونه BIRG2S58TP



عکس ۴-۷۳- نمایی از رگه لیستونیتی در محل نمونه BIRG2S57



عکس ۴-۷۴- نمایی از رگه لیستونیتی در محل نمونه BIRG2S58

نمونه **BIRG2S42** از یک زون آلتره به طول ۳۰ متر در سنگ میزبان هارزبورژیتی برداشت گردید که رگچه‌های استوک ورکی نیز در آن مشاهده می‌گردد (جدول ۴-۵۹ و عکس‌های ۴-۷۵ و ۴-۷۶).

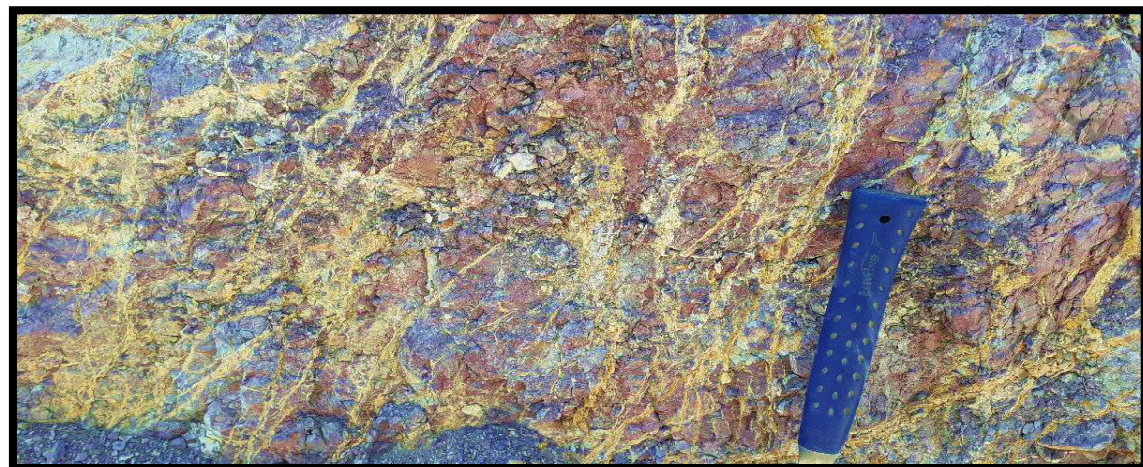
جدول ۴-۵۹- آنالیز عنصری به روش ICP در نمونه BIRG2S42

Sample	X	Y	Au	Ag	Al	As	Ba	Be
BIRG-2-S42	723757	3622904	5	0.5	7949	100	12	1
Ca	Cd	Ce	Co	Cr	Cu	Fe	K	La
17328	0.6	2	152	2088	48	63282	204	1
Li	Mg	Mn	Mo	Na	Ni	P	Pb	S
24	2%	896	0.5	734	1696	52	4	795
Sb	Sc	Sr	Th	Ti	U	V	Y	Yb
1.27	7.1	63	5	215	5	33	2	0.7
Zn	Zr							
58	5							

در این نمونه عناصر کروم (2088 ppm)، آرسنیک (1696 ppm)، نیکل (100 ppm) و گوگرد (795 ppm) ناهنجاری نشان می‌دهد.



عکس ۴-۷۵- نمایی از زون آلتراسیون و استوک ورکی در سنگ هارزبورژیتی. در محل نمونه BIRG2S42



عکس ۴-۷۶- نمایی از زون آلتره استوک ورکی در سنگ هارزبورژیتی. در محل نمونه BIRG2S42

-نمونه **BIRG2S43** از یک رگه لیستونیتی کربناته-سیلیسی به طول ۳۰ متر و عرض ۱ متر در سنگ میزان شیستی که سرشار از اکسیدهای آهن می‌باشد، برداشت گردید (جدول ۴-۶۰ و عکس ۷۷-۴).



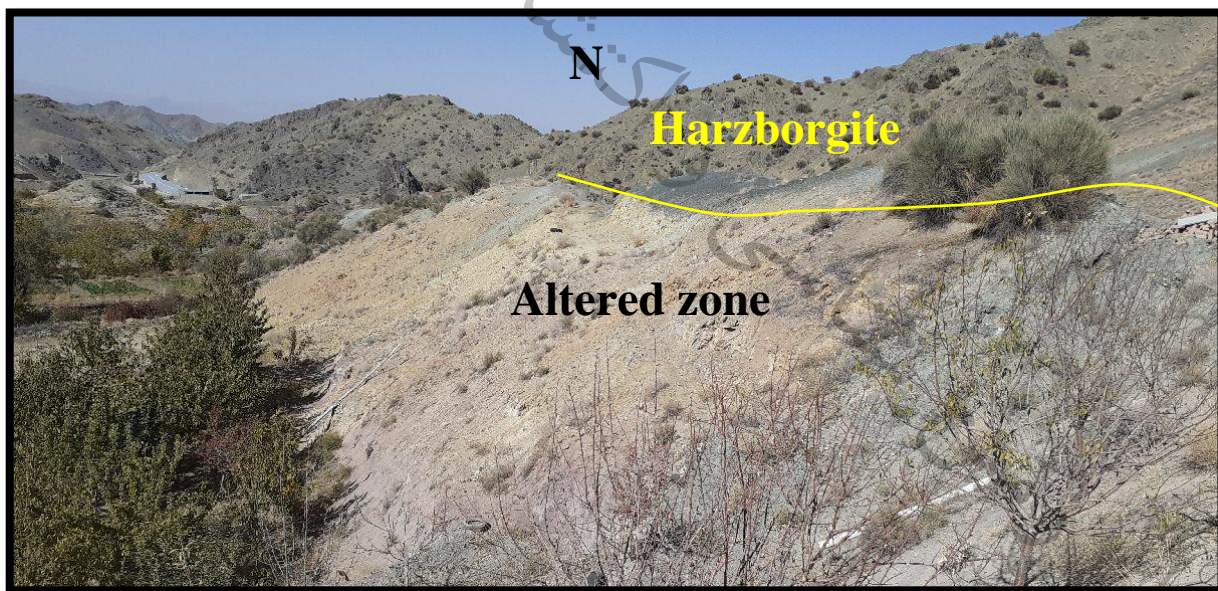
عکس ۴-۷۷- نمایی از زون آلتره استوک ورکی در سنگ شیستی. در محل نمونه **BIRG2S43**

جدول ۴-۶۰- آنالیز عنصری به روش ICP در نمونه BIRG2S43

Sample	X	Y	Au	Ag	Al	As	Ba	Be
BIRG-2-S43	723744	3622872	5	0.5	3835	100	18	1
Ca	Cd	Ce	Co	Cr	Cu	Fe	K	La
2971	1.3	1	52	2513	15	10%	305	1
Li	Mg	Mn	Mo	Na	Ni	P	Pb	S
21	4114	69	0.51	440	747	53	4	617
Sb	Sc	Sr	Th	Ti	U	V	Y	Yb
9.8	4.1	37	5	65	5	75	1	1.3
Zn	Zr							
46	6							

در این نمونه عناصر کروم (2513 ppm)، منیزیم (4114 ppm)، نیکل (747 ppm) و گوگرد (617 ppm) ناهنجاری نشان می‌دهد. همچنین مقدار اکسیدهای آهن بیش از ۱۰ درصد می‌باشد.

- نمونه BIRG2S44 از یک زون آلتره لیمونیتی-آرژیلی به طول ۵۰ متر و عرض ۴ متر در مرز سنج میزبان هارزبورزیتی و شیستی و در امتداد ۲۲۳، برداشت گردید (جدول ۴-۶۱ و عکس‌های ۷۸-۴ و ۷۹-۴).



عکس ۴-۷۸- نمایی از زون آلتره لیمونیتی در مرز سنگ شیستی و هارزبورزیتی در محل نمونه BIRG2S43

جدول ۴-۶۱- آنالیز عنصری به روش ICP در نمونه BIRG2S44

Sample	X	Y	Au	Ag	Al	As	Ba	Be
BIRG-2-S44	723977	3622548	5	0.5	38445	5.5	14	1
Ca	Cd	Ce	Co	Cr	Cu	Fe	K	La
69873	0.25	2	38	462	39	30450	1024	1
Li	Mg	Mn	Mo	Na	Ni	P	Pb	S
36	2%	632	0.5	1678	547	39	3	141
Sb	Sc	Sr	Th	Ti	U	V	Y	Yb
0.92	4	112	5	205	5	22	2	0.5
Zn	Zr							
21	5							



عکس ۴-۷۹- نمایی دیگر از زون آلتره لیموئیتی در موز سنگ شیستی و هارزبورژیتی در محل نمونه BIRG2S44

- نمونه **BIRG2S46** از یک رگه لیستونیتی در امتداد ۳۰۵ درجه به ضخامت ۲ تا ۳ متر و طول ۵۰ متر در سنگ میزبان هارزبورژیتی دگرسان شده برداشت گردید (جدول ۶۲-۴ و عکس‌های ۸۲-۴ و ۸۳-۴).

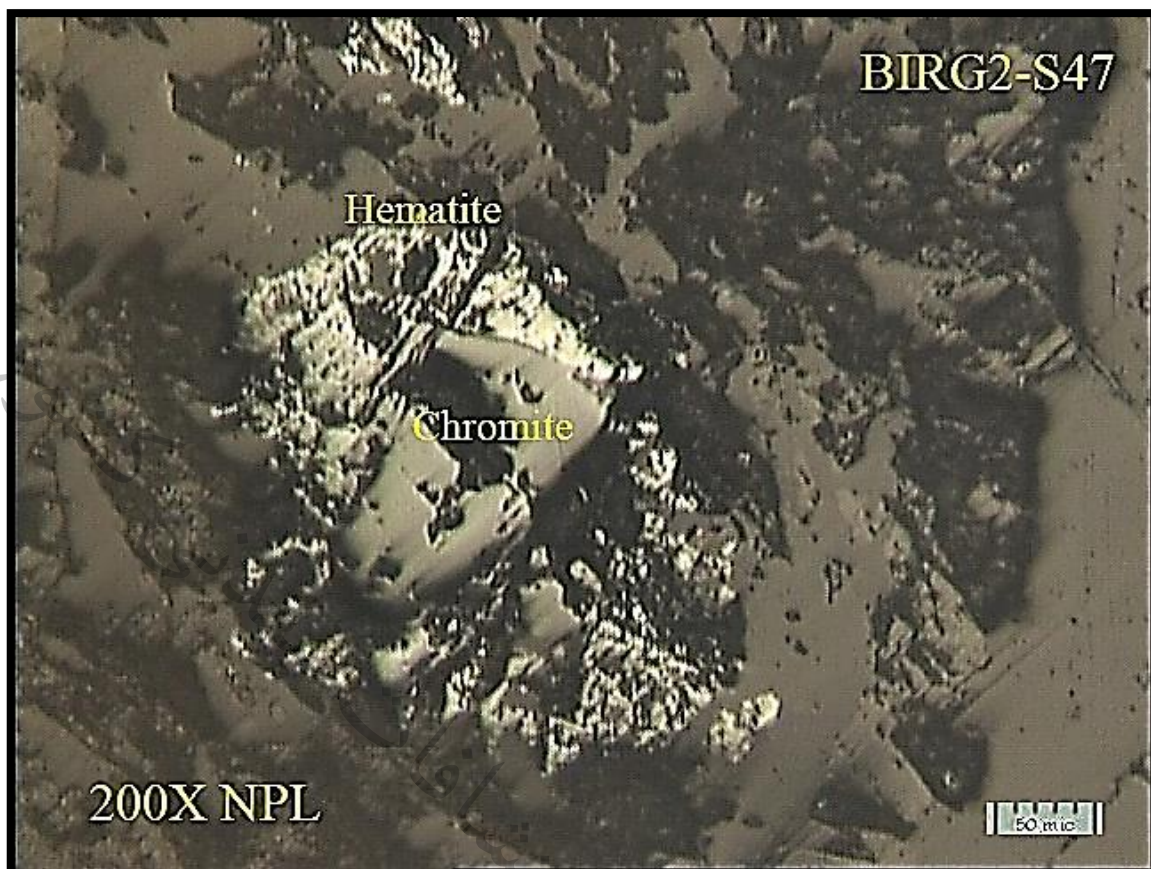
جدول ۶۲-۴- آنالیز عنصری به روش ICP در نمونه BIRG2S46

Sample	X	Y	Au	Ag	Al	As	Ba	Be
BIRG-2-S46	723858	3622446	5	0.5	1515	2	15	1
Ca	Cd	Ce	Co	Cr	Cu	Fe	K	La
20203	0.25	2	56	1329	10	30556	216	1
Li	Mg	Mn	Mo	Na	Ni	P	Pb	S
24	2%	565	0.54	495	1001	43	3	248
Sb	Sc	Sr	Th	Ti	U	V	Y	Yb
1.11	2.2	80	5	35	5	13	0.5	0.3
Zn	Zr							
20	5							

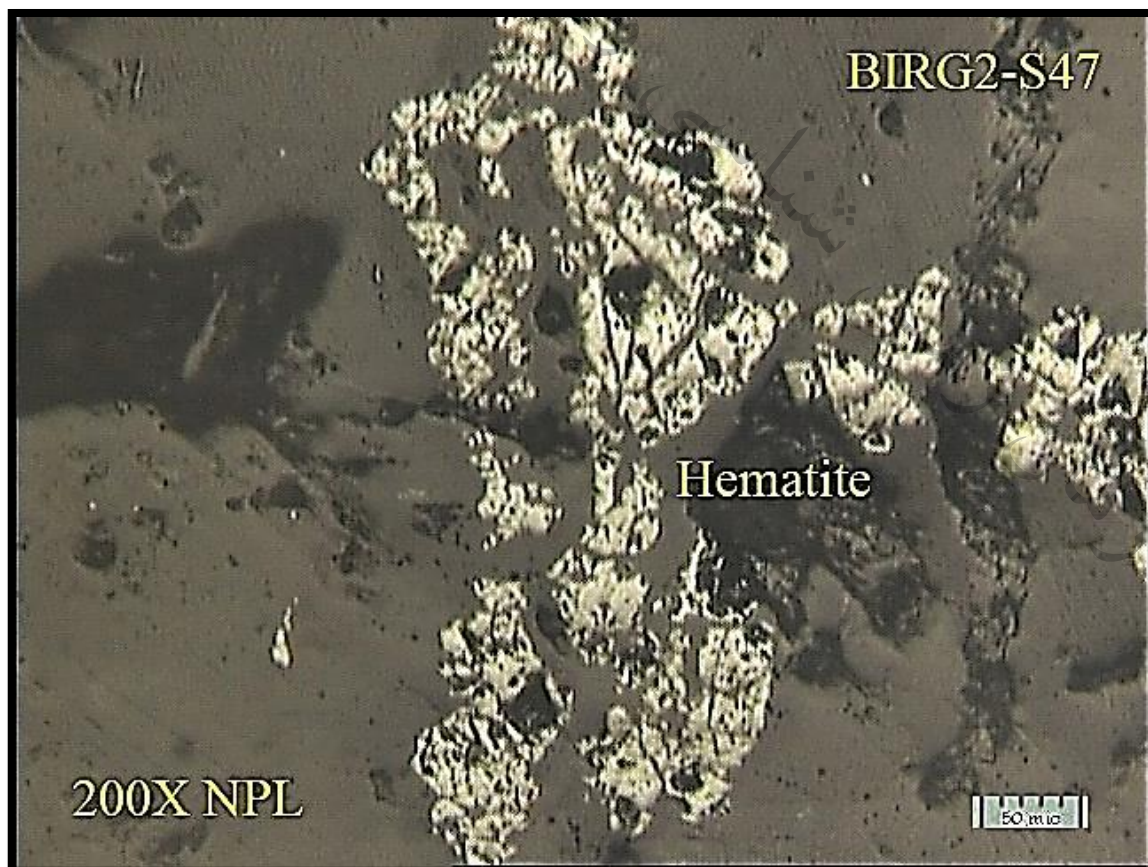
نمونه **BIRG2S47TP** به جهت مطالعات مینرالوگرافی برداشت گردید (عکس‌های ۸۰-۴ و ۸۱-۴).

کانی فلزی: هماتیت، کرومیت

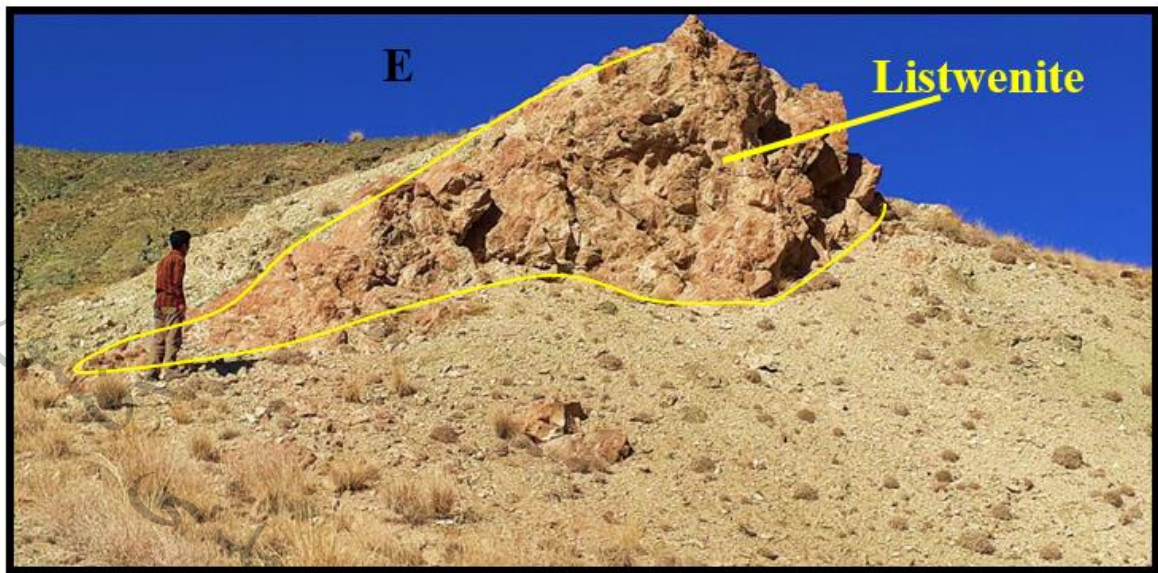
- **هماتیت:** این کانی اغلب به شکل تجمع کریستال‌های کوچک و گاه به شکل کریستال‌های منفرد مشاهده می‌شود که در فضاهای باز سنگ میزبان کانی‌سازی کرده‌اند. فراوانی این کانی کمتر از ۱ درصد است.
- **کرومیت:** کریستال‌های کرومیت با شکل هندسی نامشخص و در اندازه‌ای کمتر از ۱۲۰ میکرون در فضاهای باز سنگ میزبان کانی‌سازی کرده‌اند. این کانی به تعداد انگشت شمار تشکیل شده و اغلب هم رشد با کریستال‌های هماتیت مشاهده می‌شود.



عکس ۴-۸۰- نمایی از تبدیل کانی کرومیت به هماتیت و باقی ماندن قالب هماتیتی در نمونه BIRG2S47TP



عکس ۴-۸۱- نمایی از کانی هماتیت در نور معمولی در نمونه BIRG2S47TP



عکس ۴-۸۲- نمایی دیگر از رگه لیستونیتی در سنگ میزبان هارزبورژیتی در محل نمونه BIRG2S46

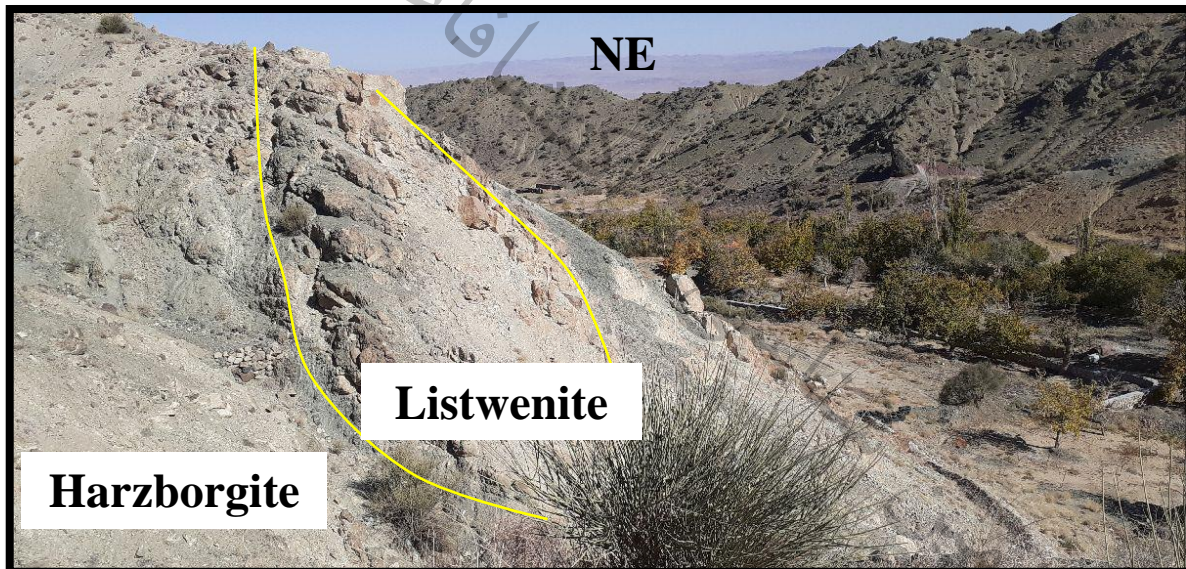


عکس ۴-۸۳- نمایی نزدیک از رگه لیستونیتی با رگچه‌های سیلیسی در محل نمونه BIRG2S46

نمونه **BIRG2S48** از یک رگه لیستونیتی خورد شده در امتداد شرقی-غربی به طول ۵۰ متر و ضخامت ۴ متر گرفته شد (جدول ۶۳-۴ و شکل ۸۴-۴).

جدول ۶۳-۴ - آنالیز عنصری به روش ICP در نمونه **BIRG2S48**

Sample	X	Y	Au	Ag	Al	As	Ba	Be
BIRG-2-S48	723858	3622446	5	0.5	856	1.7	9	1
Ca	Cd	Ce	Co	Cr	Cu	Fe	K	La
6026	0.27	2	22	436	20	16142	187	1
Li	Mg	Mn	Mo	Na	Ni	P	Pb	S
21	2%	189	0.54	424	485	32	3	175
Sb	Sc	Sr	Th	Ti	U	V	Y	Yb
1.06	1	26	5	27	5	7	0.5	0.2
Zn	Zr							
3	5							



عکس ۶۴-۸۴ - نمایی نزدیک از رگه لیستونیتی در محل نمونه **BIRG2S48**

-نمونه **BIRG2S68** از رگه لیستونیتی در امتداد شرقی - غربی به ضخامت ۳ متر و طول ۱۰۰ متر با سنگ میزبان شیستی برداشت گردید (عکس‌های ۹۰-۴ و ۹۱-۴ و همچنین جدول ۶۴-۴). نمونه‌های ۸۵-۴ به جهت مطالعات مینرالوگرافی از این رگه برداشت گردید (عکس‌های ۸۹-۴).

BIRG2S68TP

کانی فلزی: اکسید‌های آبدار و ثانویه آهن

این نمونه به لحاظ کانی‌های فلزی بسیار فقیر است. تنها کانی فلزی مشاهده شده لکه‌های کوچک اکسید‌های آبدار و ثانویه آهن است که در برخی نقاط به کریستال‌های ریز هماتیت متببور شده است. فراوانی آن کمتر از ۰/۵ درصد است.

BIRG2S69TP

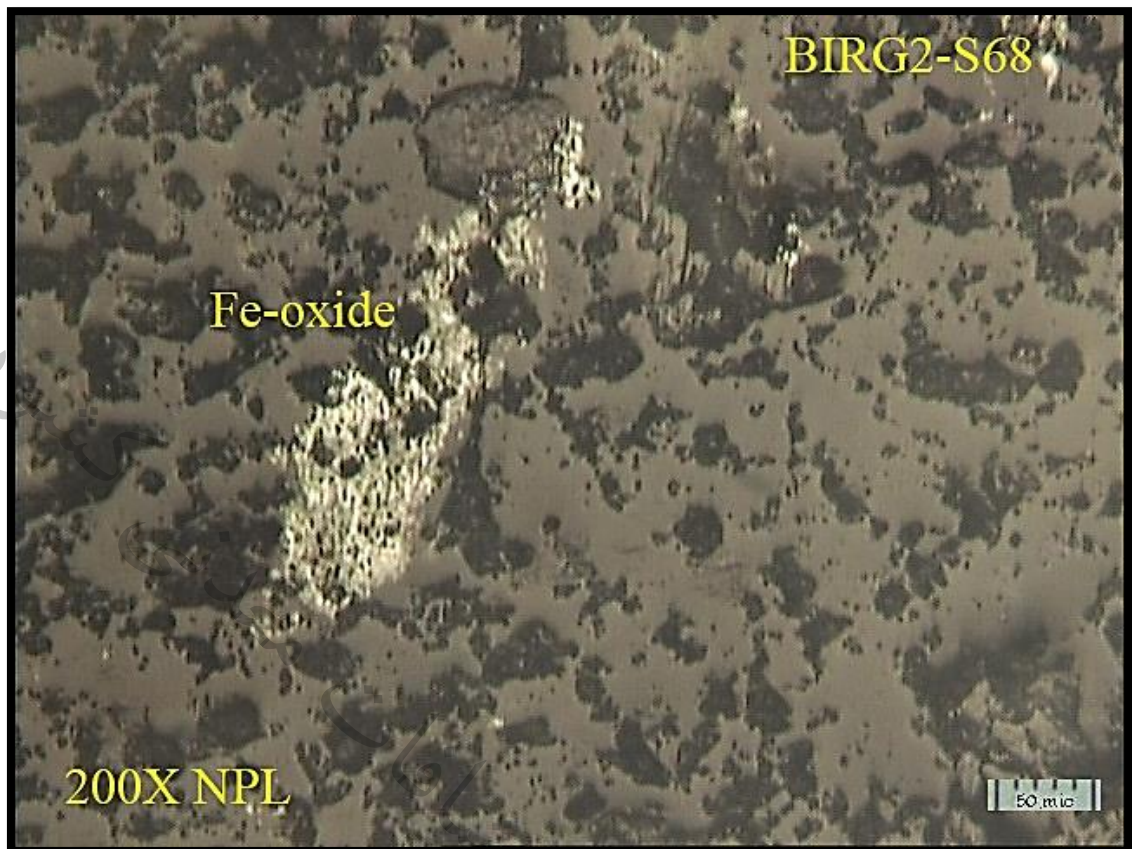
کانی فلزی: کرومیت، هماتیت، پیریت، مگنیتیت

- **کرومیت:** کریستال‌های کرومیت در اندازه‌ای ما بین ۵ الی ۲۰۰ میکرون و شکل هندسی نامشخص با بافت کاتاکلاستیک در فضاهای باز سنگ میزبان کانی‌سازی کرده‌اند. اکثر کریستال‌ها هم رشد با کریستال‌های کوچک هماتیت دیده می‌شوند. فراوانی کرومیت در این نمونه حدود ۲ درصد است.

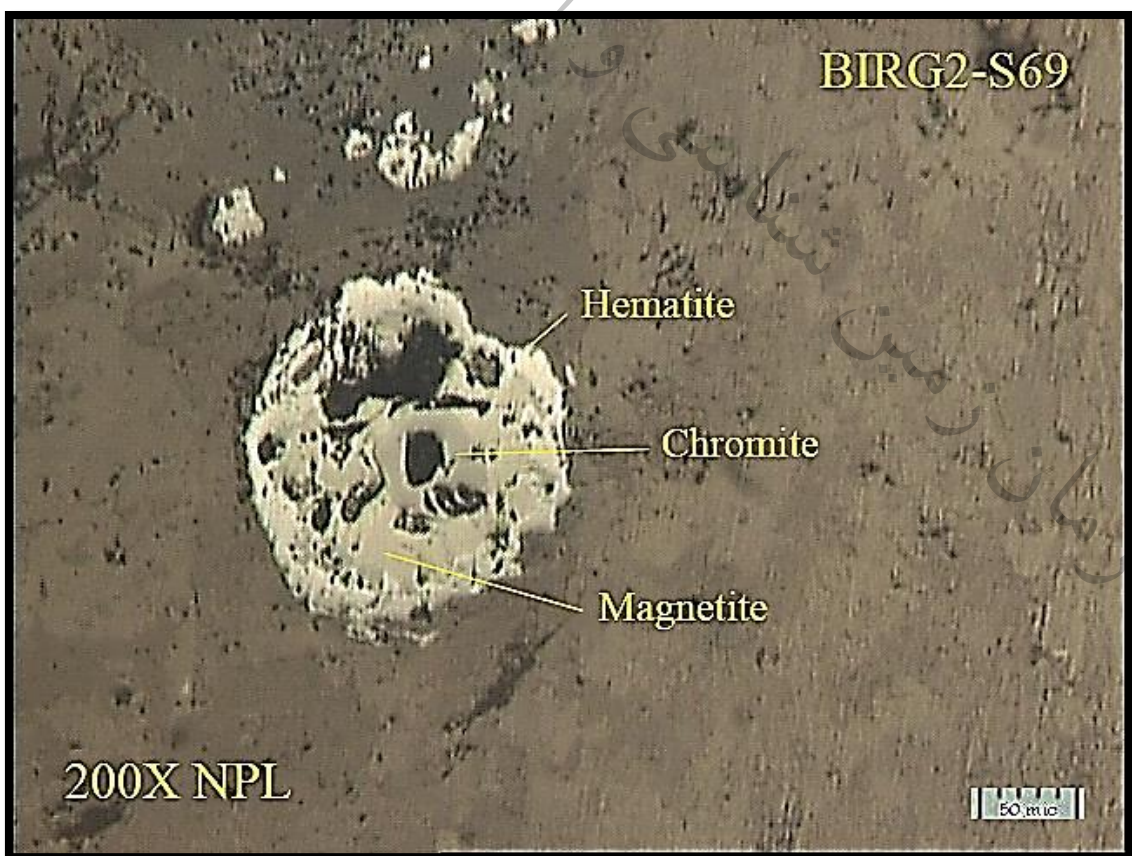
- **هماتیت:** کریستال‌های کوچک هماتیت علاوه بر این که به صورت هم رشد با کانی کرومیت هستند. با بافت Open Space در فضاهای باز سنگ میزبان به صورت تجمع چندین کریستال و گاه به شکل کریستال‌های منفرد کانی‌سازی کرده‌اند. این کانی حدود ۳ درصد نمونه را اشغال کرده است.

پیریت: این کانی به تعداد انگشت شمار در اندازه‌ای کمتر از ۵۰ میکرون با شکل هندسی نامشخص در فضاهای باز سنگ میزبان تشکیل شده است.

- **مگنیتیت:** کریستال‌های مگنیتیت با شکل اتومورف و نیمه اتومورف به تعداد چند دانه انگشت شمار در اندازه کمتر از ۷۰ میکرون مشاهده شد که تحت آلتراسیون سوپرژن از اطراف و حواشی کریستال در حال تبدیل به کانی هماتیت است. برخی از این کریستال‌ها هم رشد با کرومیت دیده می‌شوند.



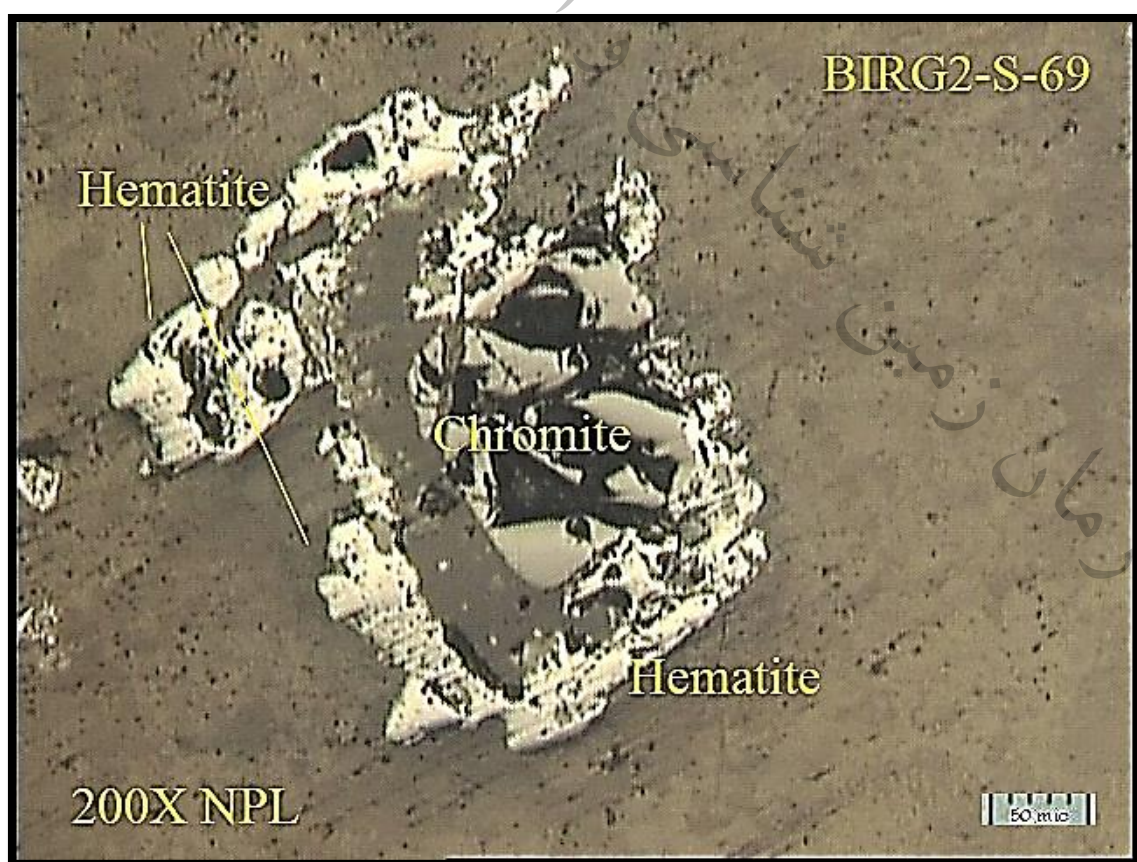
عکس ۴-۸۵- نمایی از اکسیدهای آهن در نمونه BIRG2S68TP



عکس ۴-۸۶- نمایی از کانی‌های کرومیت و مگنتیت که در حاشیه به هماتیت تبدیل شده است. نمونه BIRG2S69TP



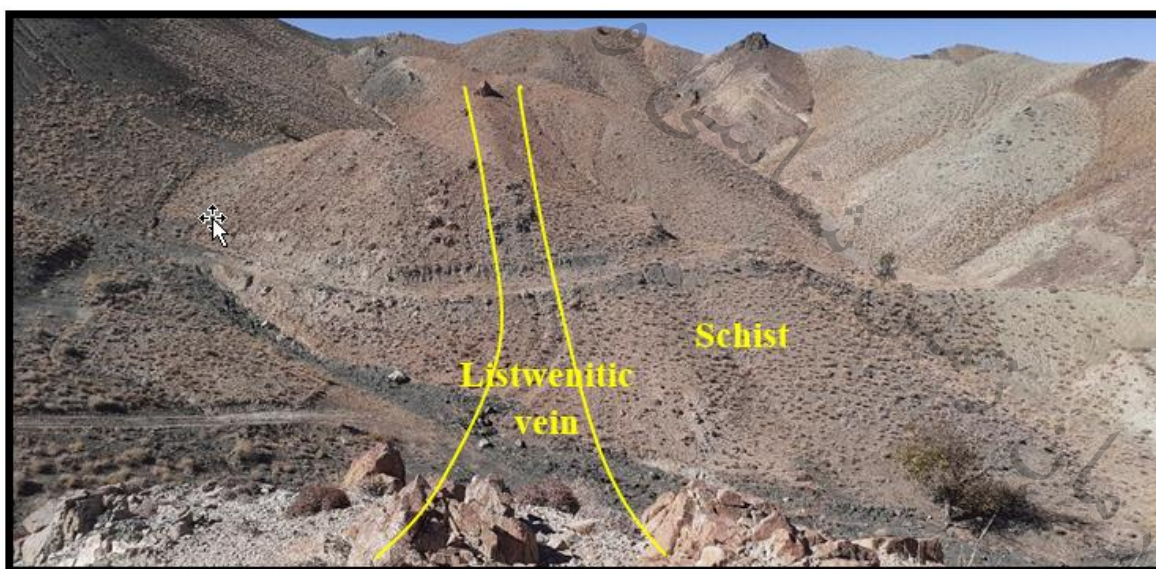
عکس ۴-۸۷- نمایی از کانی مگنتیت که در حاشیه به هماتیت تبدیل شده است. نمونه BIRG2S69TP



عکس ۴-۸۸- نمایی از کانی کرومیت که در حاشیه و شکستگی‌ها به هماتیت تبدیل شده است.
(نمونه BIRG2S69TP)



عکس ۴-۸۹- نمایی از کانی پیریت در نمونه BIRG2S69TP



عکس ۴-۹۰- نمایی از رگه لیستونیتی در محل نمونه BIRG2S68



عکس ۴-۹۱- نمایی نزدیک از رگه لیستونیتی سیلیسی در محل نمونه BIRG2S68

جدول ۴-۶۴- آنالیز عنصری به روش ICP در نمونه BIRG2S68

Sample	X	Y	Au	Ag	Al	As	Ba	Be
BIRG-2-S68	724422	3622048	RA	0.5	1909	9.4	36	1
Ca	Cd	Ce	Co	Cr	Cu	Fe	K	La
22401	0.22	2	84	1261	1222	52095	224	1
Li	Mg	Mn	Mo	Na	Ni	P	Pb	S
33	2%	584	0.53	499	1143	56	4	548
Sb	Sc	Sr	Th	Ti	U	V	Y	Yb
1.2	3.5	71	5	40	5	21	1	0.5
Zn	Zr							
136	5							

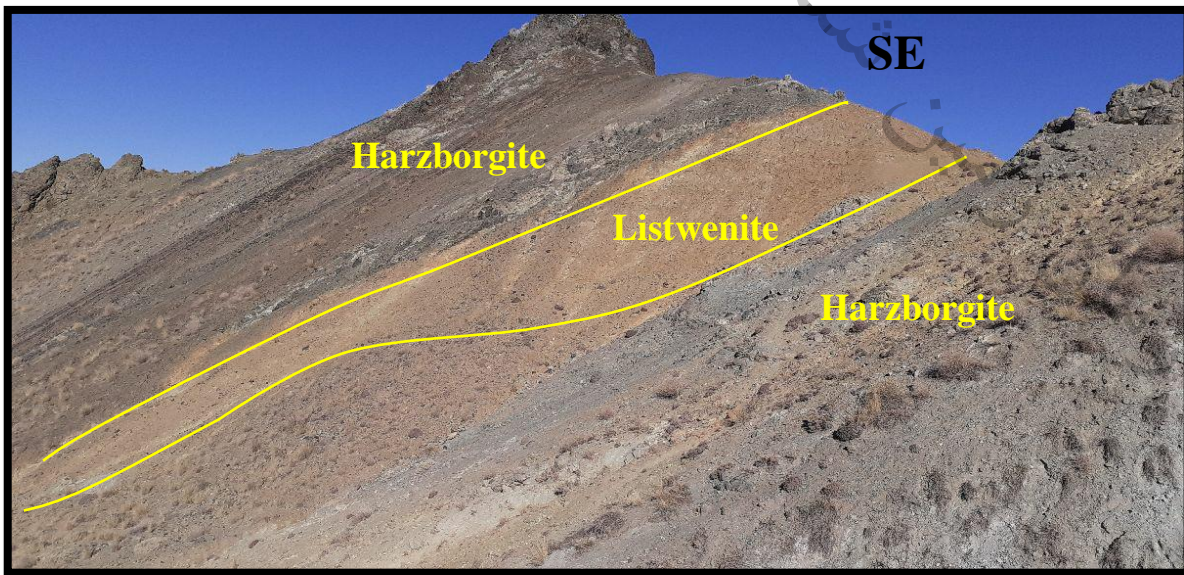
در این نمونه عنصر مس (1222 ppm) و گوگرد (548 ppm) ناهنجاری نشان می‌دهد.

- نمونه BIRG2S70 از زون لیستونیتی کربناتی به ضخامت ۵ متر و طول ۵۰ متر در امتداد شمال-

غربی-جنوب شرقی با سنگ میزان هارزبورژیتی برداشت گردید (جدول ۴-۶۵ و عکس ۹۲-۴).

جدول ۴-۶۵- آنالیز عنصری به روش ICP در نمونه BIRG2S68

Sample	X	Y	Au	Ag	Al	As	Ba	Be
BIRG-2-S70	724680	3622182	5	0.5	4938	1.9	21	1
Ca	Cd	Ce	Co	Cr	Cu	Fe	K	La
23393	0.25	2	72	933	19	83272	228	1
Li	Mg	Mn	Mo	Na	Ni	P	Pb	S
23	2%	1156	0.5	398	1195	34	4	279
Sb	Sc	Sr	Th	Ti	U	V	Y	Yb
1.13	8.5	48	5	262	5	37	4	1
Zn	Zr							
60	5							

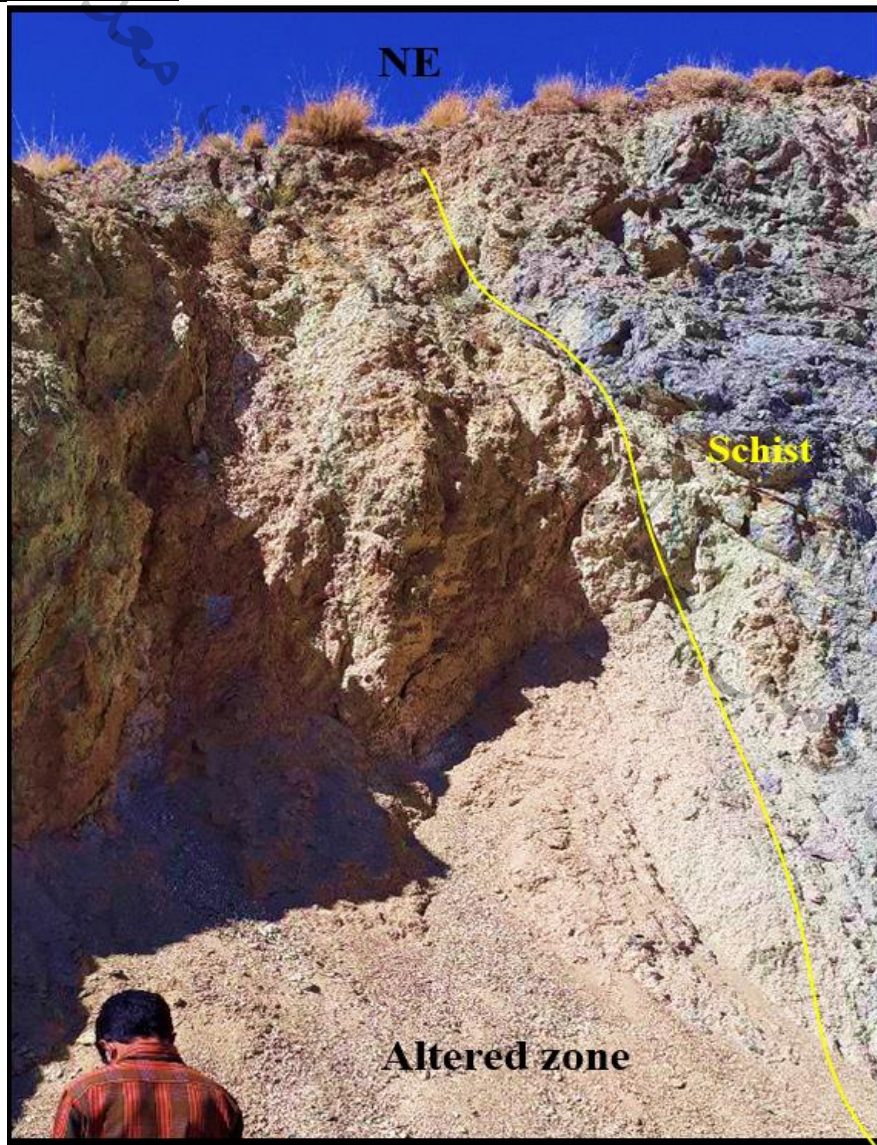


عکس ۹۲-۴- نمایی از زون لیستونیتی کربناته در محل نمونه BIRG2S70

-نمونه **BIRG2S61** از زون آلتره لیمونیتی به طول ۵۰ متر و عرض ۳ متر با سنگ میزان شیستی برداشت گردید (جدول ۴-۶ و عکس ۹۳-۴).

جدول ۴-۶- آنالیز عنصری به روش ICP در نمونه BIRG2S61

Sample	X	Y	Au	Ag	Al	As	Ba	Be
BIRG-2-S61	724872	3622092	5	0.5	26813	7	17	1
Ca	Cd	Ce	Co	Cr	Cu	Fe	K	La
55126	0.28	2	79	451	59	45256	743	1
Li	Mg	Mn	Mo	Na	Ni	P	Pb	S
22	2%	999	0.5	1960	1267	38	3	128
Sb	Sc	Sr	Th	Ti	U	V	Y	Yb
0.97	10.6	112	5	1539	5	59	5	1
Zn	Zr							
46	17							



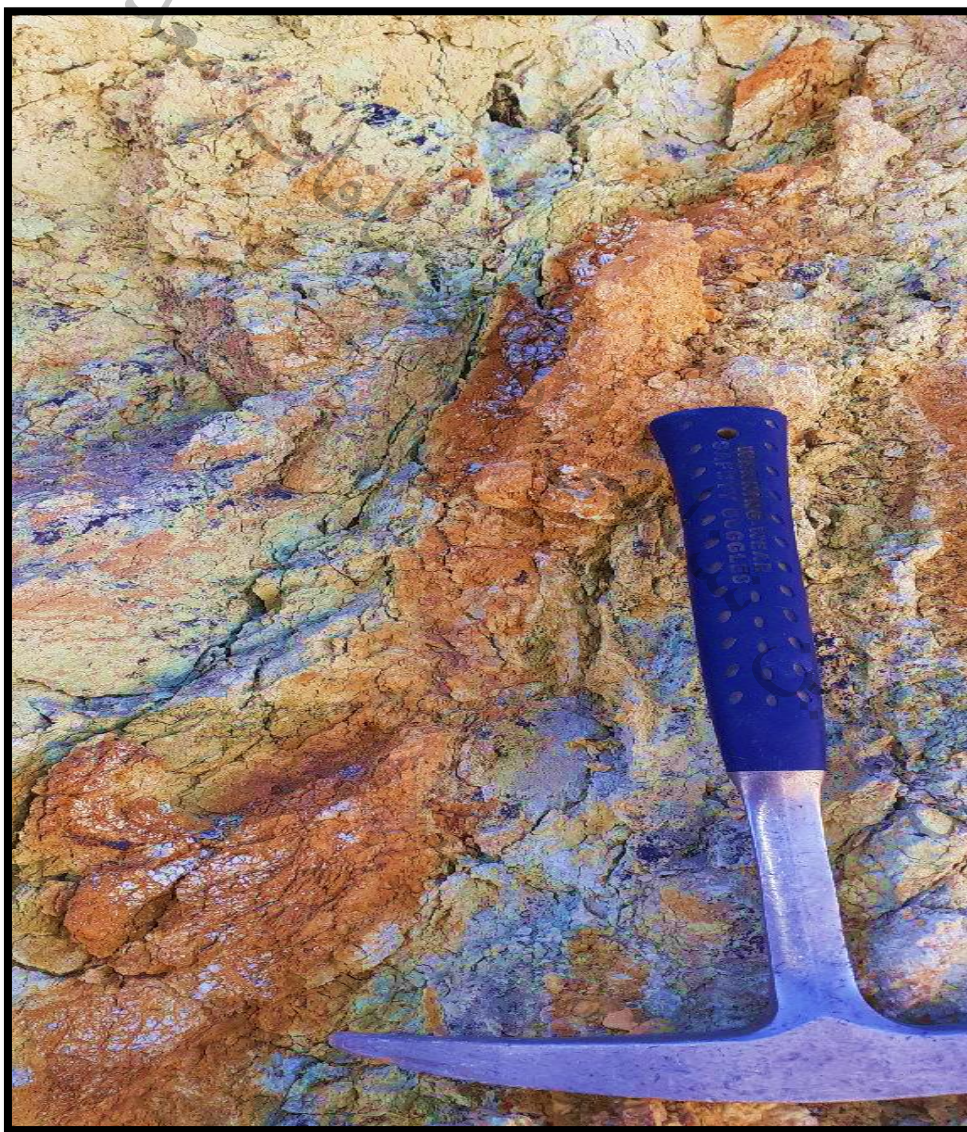
عکس ۴-۹۳- نمایی از زون آلتره لیمونیتی در سنگ شیستی. نمونه BIRG2S70

- نمونه **BIRG2S63** از رگچه‌های کربناتی-لیمونیتی در زون آلتره آرژیلی شده با سنگ میزان

هارزبورزیتی آلترا شده برداشت گردید (جدول ۶۷-۴ و عکس ۹۴-۴).

جدول ۶۷-۴- آنالیز عنصری به روش ICP در نمونه **BIRG2S63**

Sample	X	Y	Au	Ag	Al	As	Ba	Be
BIRG-2-S63	724872	3622092	5	0.5	1672	1.6	15	1
Ca	Cd	Ce	Co	Cr	Cu	Fe	K	La
3252	0.21	2	48	1239	18	27963	243	1
Li	Mg	Mn	Mo	Na	Ni	P	Pb	S
26	2%	422	0.56	548	932	37	4	166
Sb	Sc	Sr	Th	Ti	U	V	Y	Yb
1.07	3.6	18	5	30	5	13	0.5	0.3
Zn	Zr							
18	5							

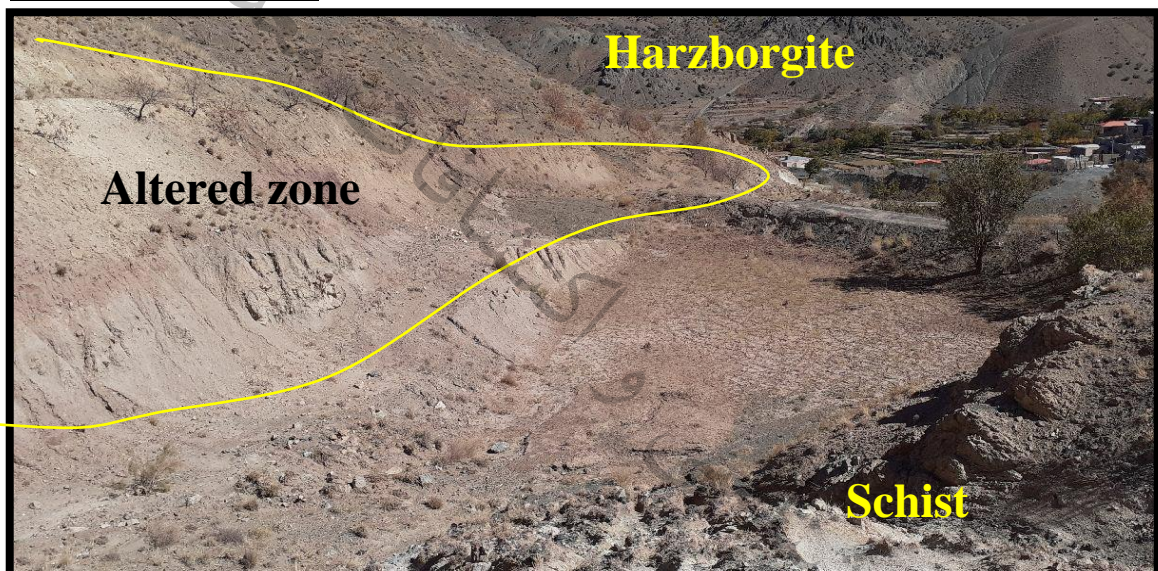


عکس ۹۴-۴- نمایی از زون آلتره لیمونیتی در سنگ شیستی. نمونه **BIRG2S63**

- نمونه **BIRG2S66** از زون آلترا آرژیلی در مرز سنگ‌های شیستی و هارزبورژیتی به ابعاد ۵۰ متر در ۵۰ متر برداشت گردید (جدول ۴-۶۸ و عکس ۴-۹۵)

جدول ۴-۶۸ - آنالیز عنصری به روش ICP در نمونه BIRG2S66

Sample	X	Y	Au	Ag	Al	As	Ba	Be
BIRG-2-S66	724527	3621961	5	0.63	4611	2.4	30	1
Ca	Cd	Ce	Co	Cr	Cu	Fe	K	La
80888	0.28	2	41	675	12	27712	397	2
Li	Mg	Mn	Mo	Na	Ni	P	Pb	S
24	2%	554	0.53	1349	691	59	4	187
Sb	Sc	Sr	Th	Ti	U	V	Y	Yb
1.08	3.7	123	5	196	5	20	2	0.4
Zn	Zr							
18	5							

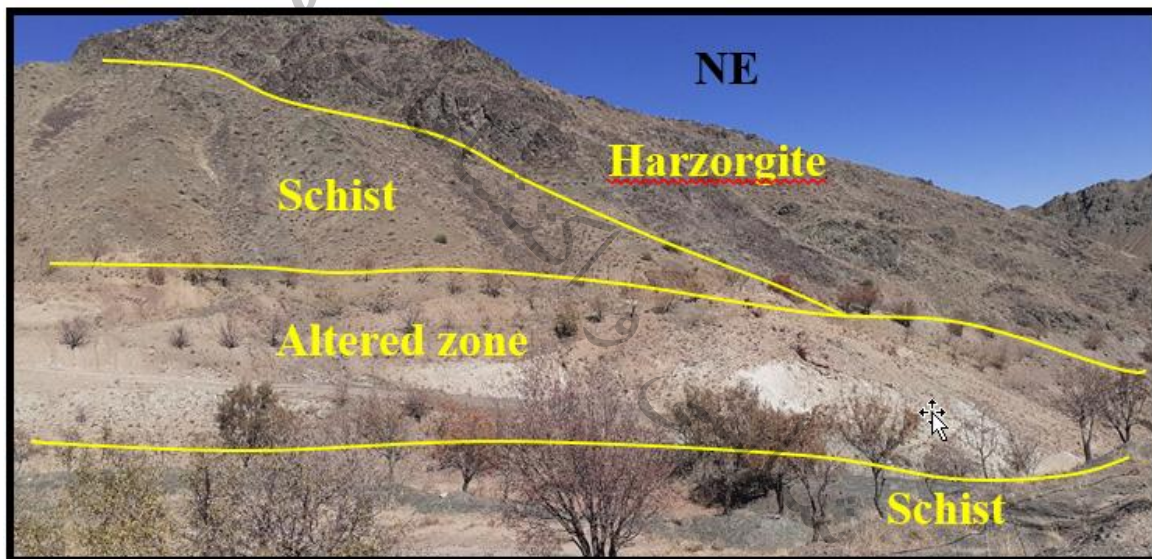


عکس ۴-۹۵ - نمایی از زون آلترا در مرز سنگ شیستی و هارزبورژیتی. نمونه BIRG2S66

-نمونه **BIRG2S67** از زون آلتره آرژیلی که در امتداد شرقی-غربی به طول ۱۰۰ متر و ضخامت ۳ تا ۴ متر در مرز سنگ‌های شیستی و هارزبورژیتی و در امتداد یک گسل برداشت گردید (جدول ۶۹-۴ و عکس ۹۶).

جدول ۶۹-۴- آنالیز عنصری به روش ICP در نمونه **BIRG2S67**

Sample	X	Y	Au	Ag	Al	As	Ba	Be
BIRG-2-S67	724527	3621961	5	0.5	17403	2.4	27	1
Ca	Cd	Ce	Co	Cr	Cu	Fe	K	La
10%	0.32	8	11	95	14	16584	2863	7
Li	Mg	Mn	Mo	Na	Ni	P	Pb	S
25	2%	496	0.5	5674	142	126	4	229
Sb	Sc	Sr	Th	Ti	U	V	Y	Yb
0.96	3.5	157	5	845	5	30	6	0.7
Zn	Zr							
13	23							

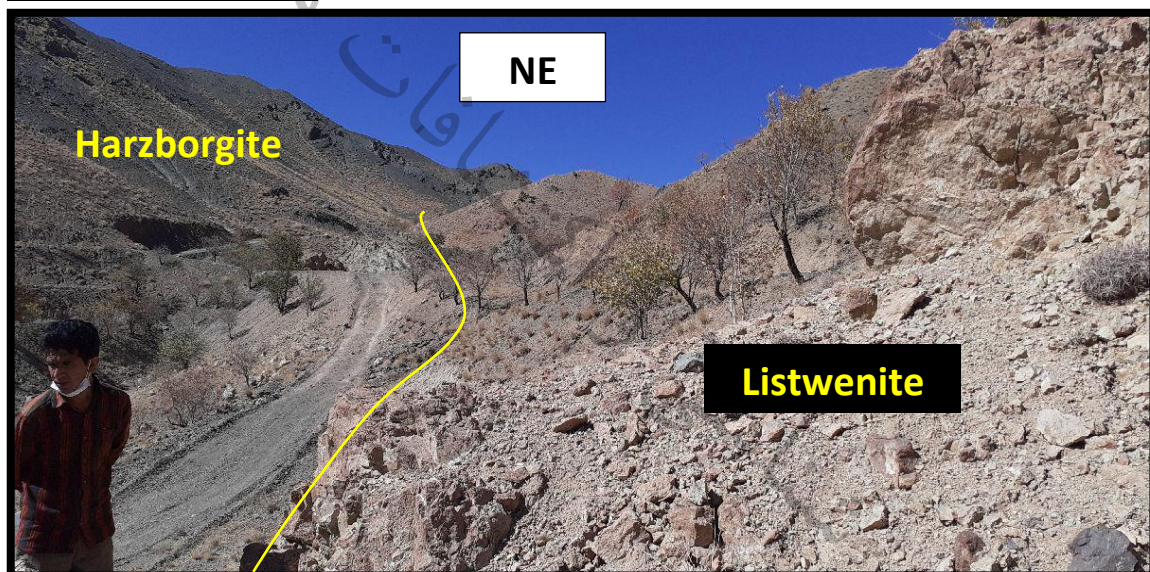


عکس ۶۹-۹۶- نمایی از زون آلتره در مرز سنگ شیستی و هارزبورژیتی. نمونه **BIRG2S67**

- نمونه **BIRG2S62** از زون لیستونیتی سیلیسی-کربناته به ضخامت ۴ متر و طول حدود ۲۰۰ متر همراه با یک زون آلتره آرژیلیکی در امتداد آن با سنگ میزان هارزبورژیتی برداشت گردید (جدول ۴-۷۰ و عکس ۹۷-۴).

جدول ۴-۷۰- آنالیز عنصری به روش ICP در نمونه **BIRG2S62**

Sample	X	Y	Au	Ag	Al	As	Ba	Be
BIRG-2-S62	724661	3621926	5	0.5	2576	2.3	29	1
Ca	Cd	Ce	Co	Cr	Cu	Fe	K	La
6500	0.25	2	43	887	10	26511	374	1
Li	Mg	Mn	Mo	Na	Ni	P	Pb	S
27	2%	454	0.5	764	845	46	4	329
Sb	Sc	Sr	Th	Ti	U	V	Y	Yb
1.07	4.2	34	5	74	5	17	1	0.3
Zn	Zr							
19	5							

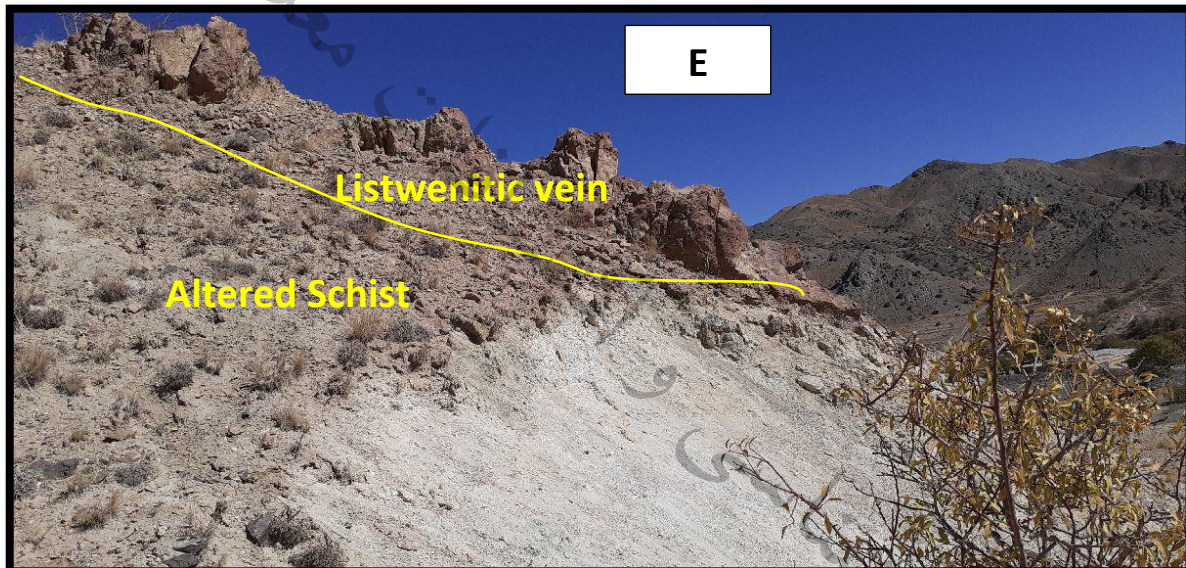


عکس ۹۷-۴- نمایی از زون لیستونیتی در سنگ میزان هارزبورژیتی. نمونه **BIRG2S62**

- نمونه **BIRG2S65** از رگه لیستونیتی به ضخامت ۲ متر و طول ۲۰ متر در امتداد شمالی-جنوبی و با سنگ میزبان شیستی آلترا برداشت گردید (جدول ۴-۷۱ و عکس ۴-۹۸).

جدول ۴-۷۱- آنالیز عنصری به روش ICP در نمونه BIRG2S65

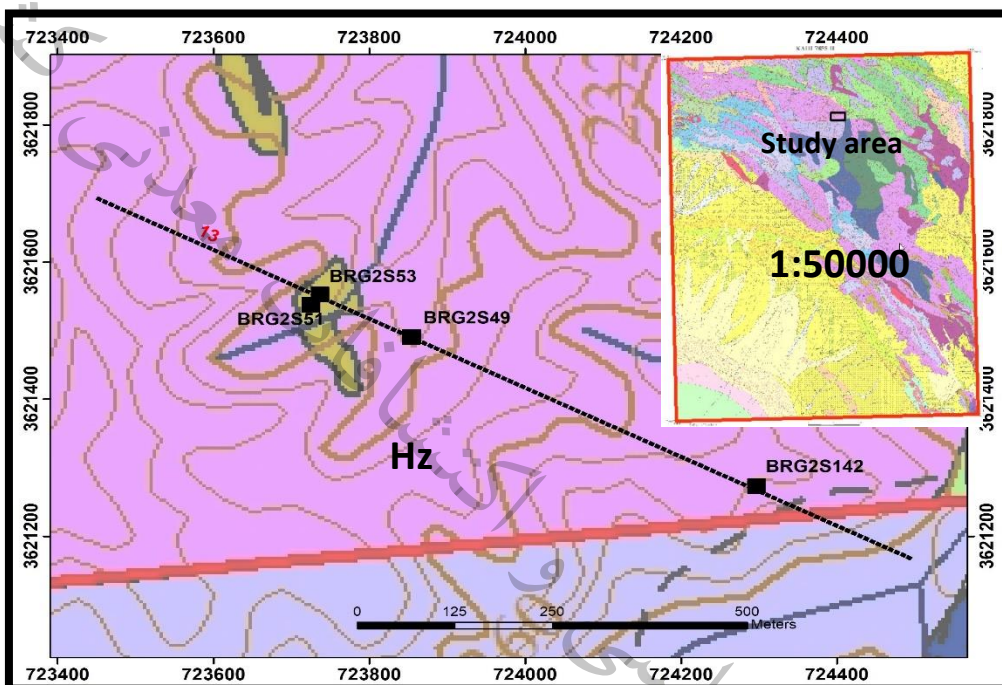
Sample	X	Y	Au	Ag	Al	As	Ba	Be
BIRG-2-S65	724649	3621918	5	0.66	59179	1.8	30	1
Ca	Cd	Ce	Co	Cr	Cu	Fe	K	La
54828	0.24	2	58	942	87	43782	596	1
Li	Mg	Mn	Mo	Na	Ni	P	Pb	S
29	2%	728	0.5	4148	594	34	3	178
Sb	Sc	Sr	Th	Ti	U	V	Y	Yb
0.85	23.5	111	5	1295	5	94	5	1.1
Zn	Zr							
37	9							



عکس ۴-۹۸- نمایی از زون لیستونیتی در سنگ میزبان شیستی آلترا. نمونه BIRG2S65

۴-۲-۱۳-۴- پروفیل (۱۳):

شروع پیمایش در این پروفیل از مختصات X: 723,435 و Y: 3,621,719 در آzymot ۱۱۷ درجه به طول ۱۱۷۳ متر بوده است. در این مسیر پیمایش شده تعداد ۴ نمونه برداشت شد. نمونه‌های اخذ شده بر اساس نقشه زمین‌شناسی ۱:۵۰۰۰۰ در واحدهای هارزبورژیت سرپانتینی شده و همچنین مرز واحد ولکانیکی با هارزبورژیتی قرار گرفته است (شکل‌های ۲۷-۴ و ۲۸-۴). در ادامه به شرح نمونه‌های اخذ شده در این پروفیل پرداخته می‌شود:



شکل ۴-۲۷- نمونه‌های برداشت شده در امتداد پروفیل (۱۳) و زمین‌شناسی مربوطه (اقتباس از نقشه ۱:۵۰۰۰۰ کاھی)
Hz: Harzburgite



شکل ۴-۲۸- نمایی از پروفیل (۱۳) در تصویر ماهواره‌ای به همراه مقطع عرضی آن.

-نمونه **BIRG2S51** از زون لیستونیتی در امتداد شمال شرقی به ضخامت حدود ۳ متر و طول حدود ۱۰۰ متر در یک کن tact گسله با سنگ میزبان هارزبورزیت برداشت گردید (جدول ۴-۷۲ و عکس ۴-۱۰۳).

جدول ۴-۷۲- آنالیز عنصری به روشن ICP در نمونه BIRG2S51

Sample	X	Y	Au	Ag	Al	As	Ba	Be
BIRG-2-S51	723728	3621542	5	0.5	54851	4.9	37	1
Ca	Cd	Ce	Co	Cr	Cu	Fe	K	La
43189	0.24	11	25	197	46	36615	2304	7
Li	Mg	Mn	Mo	Na	Ni	P	Pb	S
40	2%	1801	0.5	18653	188	262	4	196
Sb	Sc	Sr	Th	Ti	U	V	Y	Yb
1.02	11.1	132	5	1935	5	64	12	1.5
Zn	Zr							
53	43							

نمونه‌های **BIRG2S53TP** و **BIRG2S52TP** به جهت مطالعات مینرالوگرافی از این زون برداشت

گردید (عکس‌های ۴-۹۹ تا ۴-۱۰۲).

قطعه صیقلی BIRG2S52TP

کانی فلزی: کرومیت، هماتیت

• **کرومیت:** کریستال‌های درشت این کانی در اندازه‌ای متغیر ما بین ۳۰ الی ۷۰۰ میکرون در

متن نمونه پراکنده‌اند. این کریستال‌ها اغلب هم رشد با کانی هماتیت دیده می‌شوند. این کانی حدود ۱ درصد نمونه را به خود اختصاص داده است.

• **هماتیت:** کریستال‌های کوچک هماتیت اغلب هم رشد با کرومیت بوده و به ندرت در حفرات و

شکاف‌های سنگ میزبان با بافت Open Space نیز مشاهده می‌شود که با فراوانی حدود ۳ درصد تشکیل شده‌اند.

قطعه صیقلی BIRG2S53TP

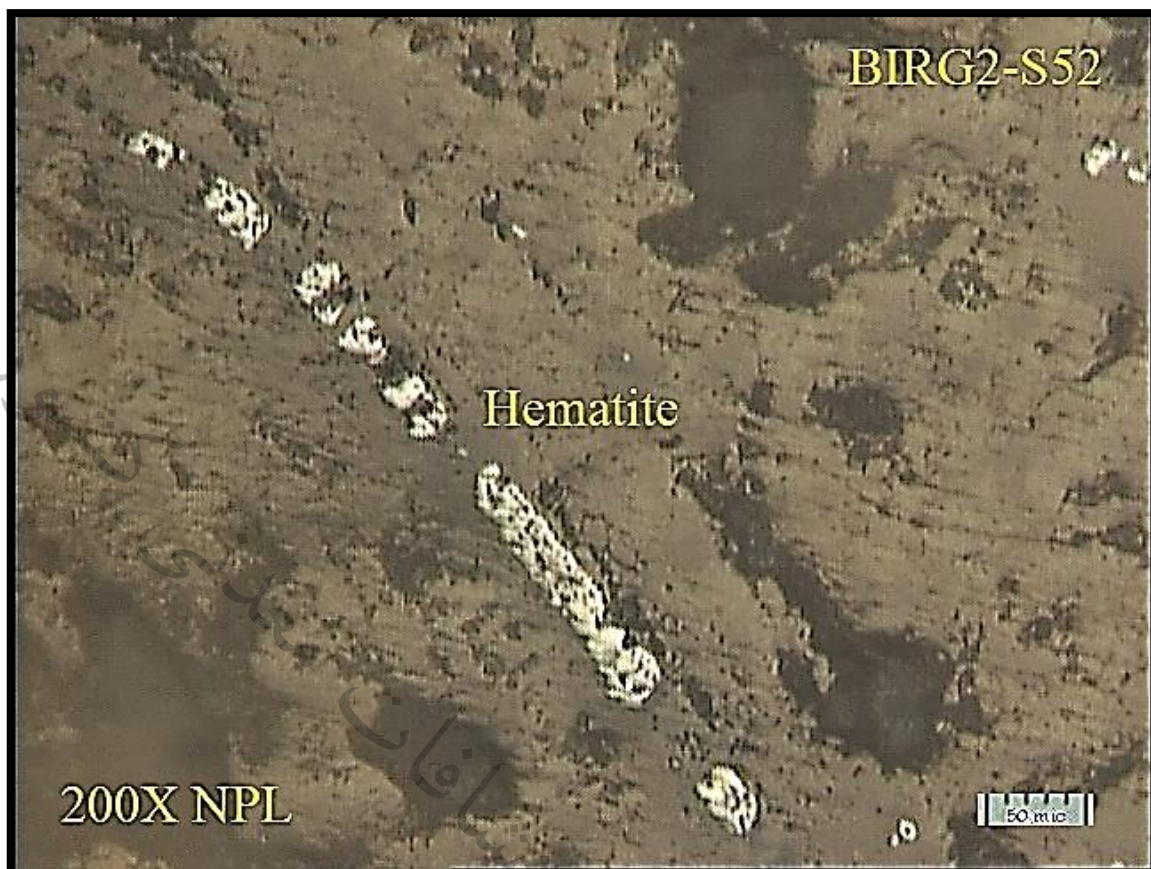
کانی فلزی: کرومیت، هماتیت

• **کرومیت:** کریستال‌های کرومیت در اندازه‌ای ما بین ۱۰ الی ۳۰۰ میکرون به تعداد انگشت شمار

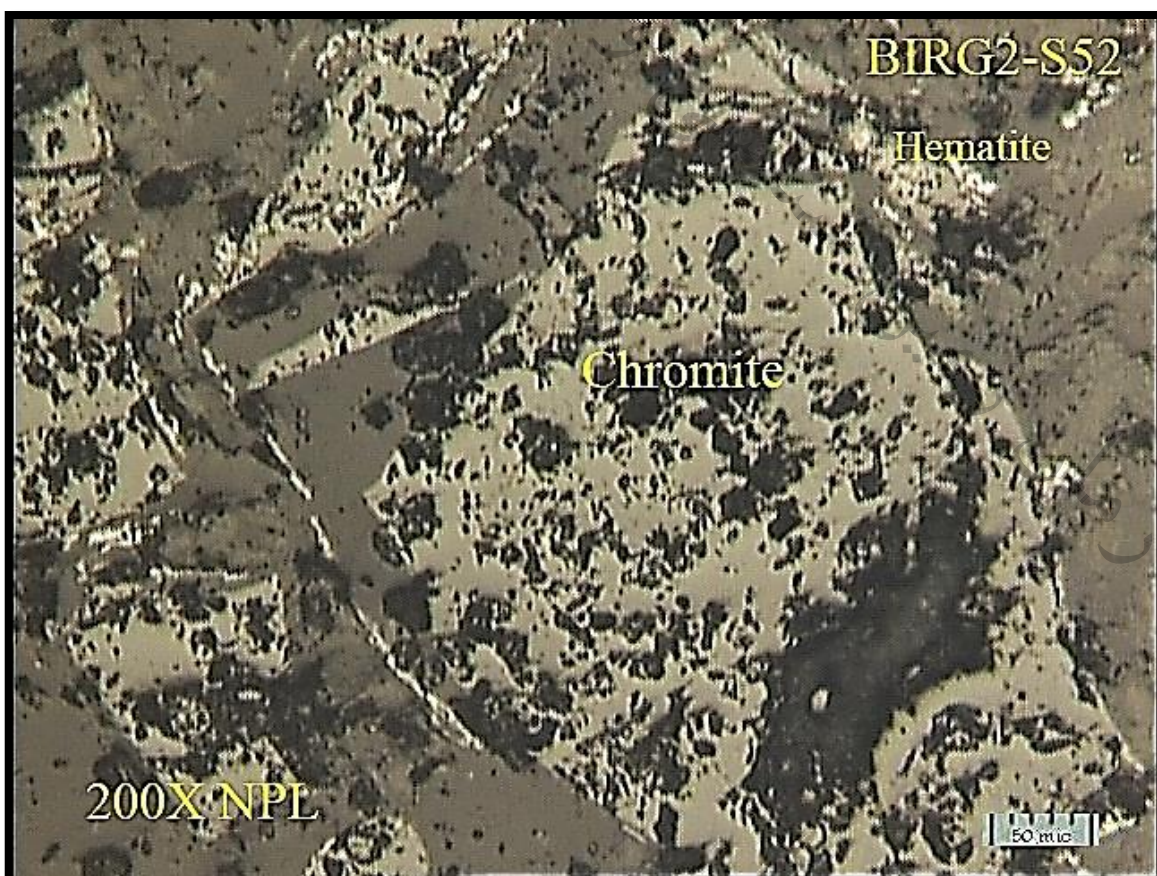
در متن نمونه پراکنده‌اند.

• **هماتیت** اغلب به شکل تجمع چندین کریستال در فضاهای باز سنگ میزبان با بافت

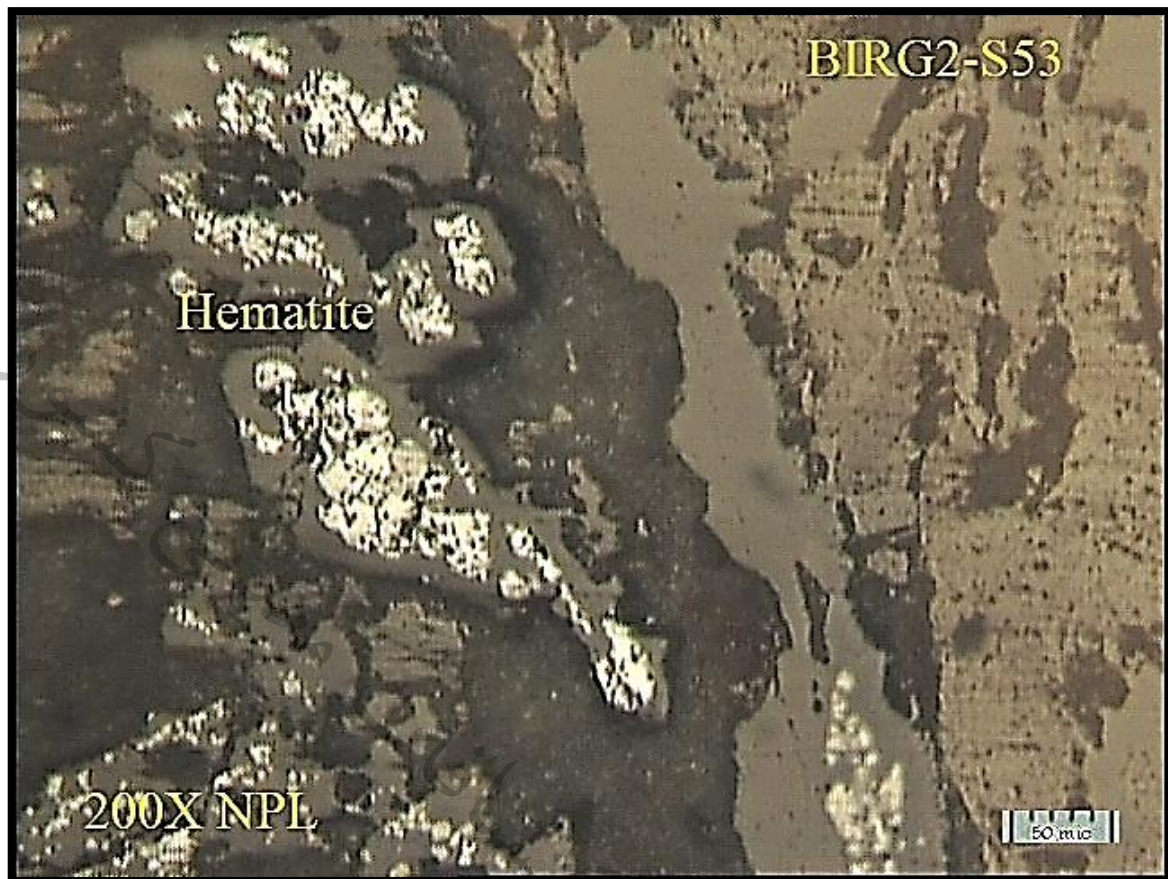
کانی سازی کرده‌اند. میزان فراوانی این کانی حدود ۵/۰ درصد است.



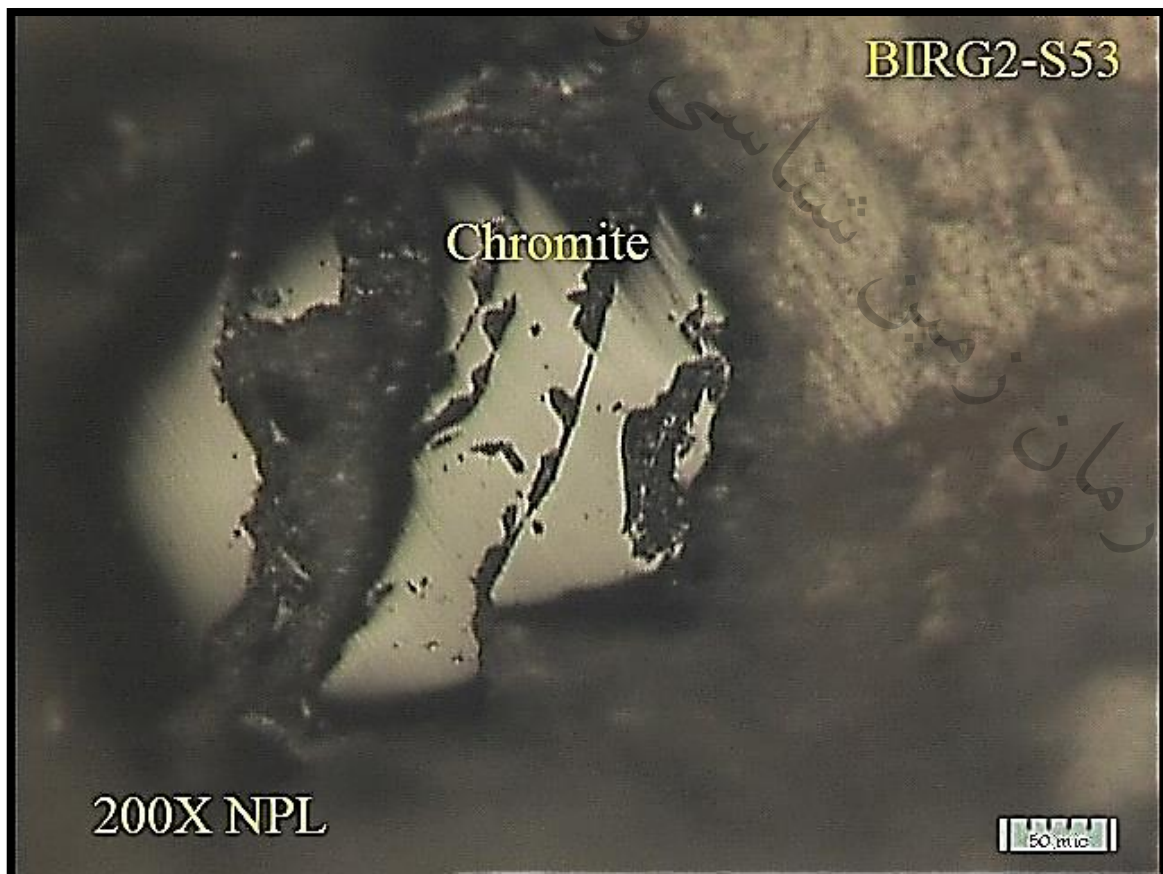
عکس ۴-۹۹- نمایی از رگچه هماتیتی. نمونه BIRG2S52TP



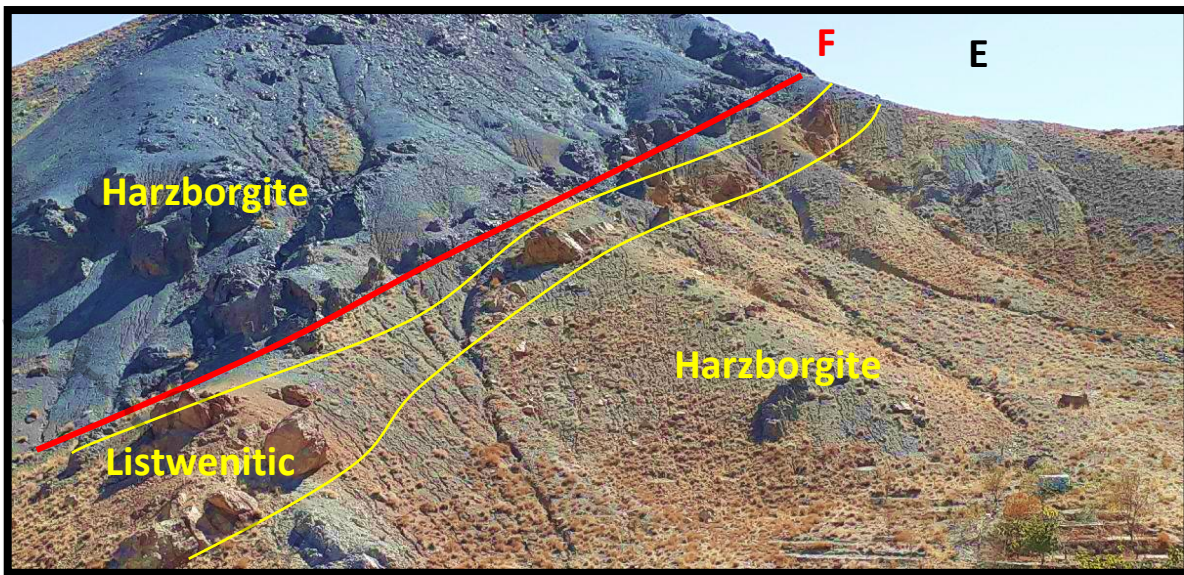
عکس ۴-۱۰۰- نمایی از کانی کرومیت که در حاشیه به هماتیت تبدیل شده است. نمونه BIRG2S52TP



عکس ۴-۱۰۱- نمایی از کانی هماتیت در نمونه BIRG2S53TP



عکس ۴-۱۰۲- نمایی از کانی کرومیت در نور معمولی. نمونه BIRG2S53TP

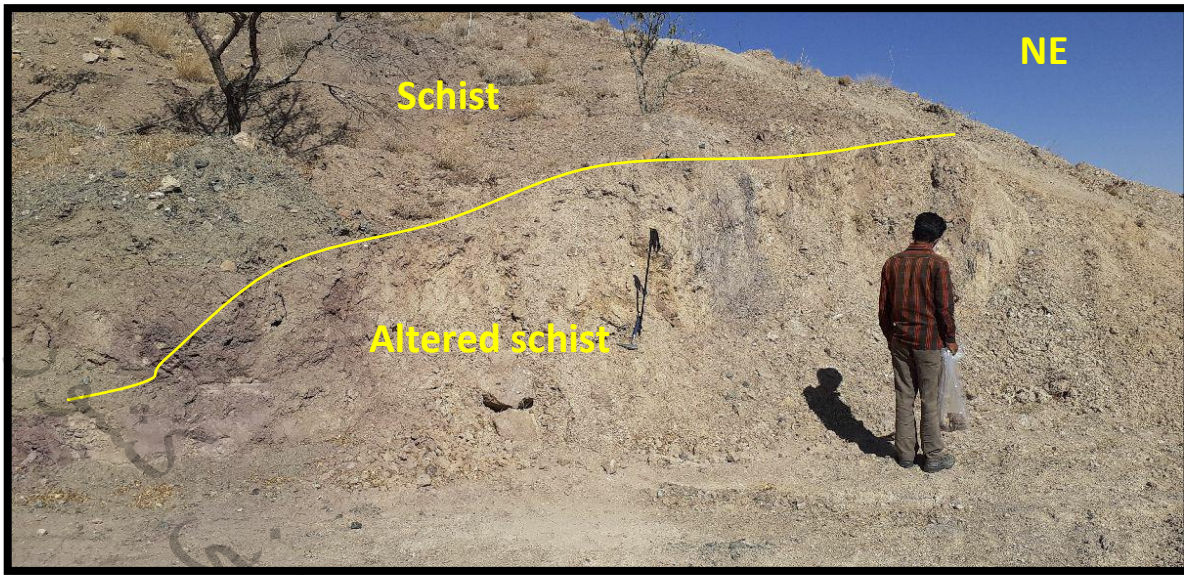


عکس ۴-۱۰۳- نمایی از رگه لیستونیتی در مرز سنگ شیستی و هارزبورژیتی. نمونه BIRG2S51

- نمونه BIRG2S53 از زون آلتره لیمونیتی - آرژیلی و حاوی اکسیدهای آهن در سنگ میزان شیستی برداشت گردید (جدول ۷۳-۴ و عکس ۱۰۴-۴).

جدول ۴-۷۳- آنالیز عنصری به روشن ICP در نمونه BIRG2S53

Sample	X	Y	Au	Ag	Al	As	Ba	Be
BIRG-2-S53	723728	3621543	5	0.5	2926	2.1	23	1
Ca	Cd	Ce	Co	Cr	Cu	Fe	K	La
8688	1.5	2	70	925	9	40630	142	1
Li	Mg	Mn	Mo	Na	Ni	P	Pb	S
41	2%	642	0.5	616	1349	41	4	216
Sb	Sc	Sr	Th	Ti	U	V	Y	Yb
1.06	4.8	80	5	70	5	20	0.5	0.4
Zn	Zr							
33	5							

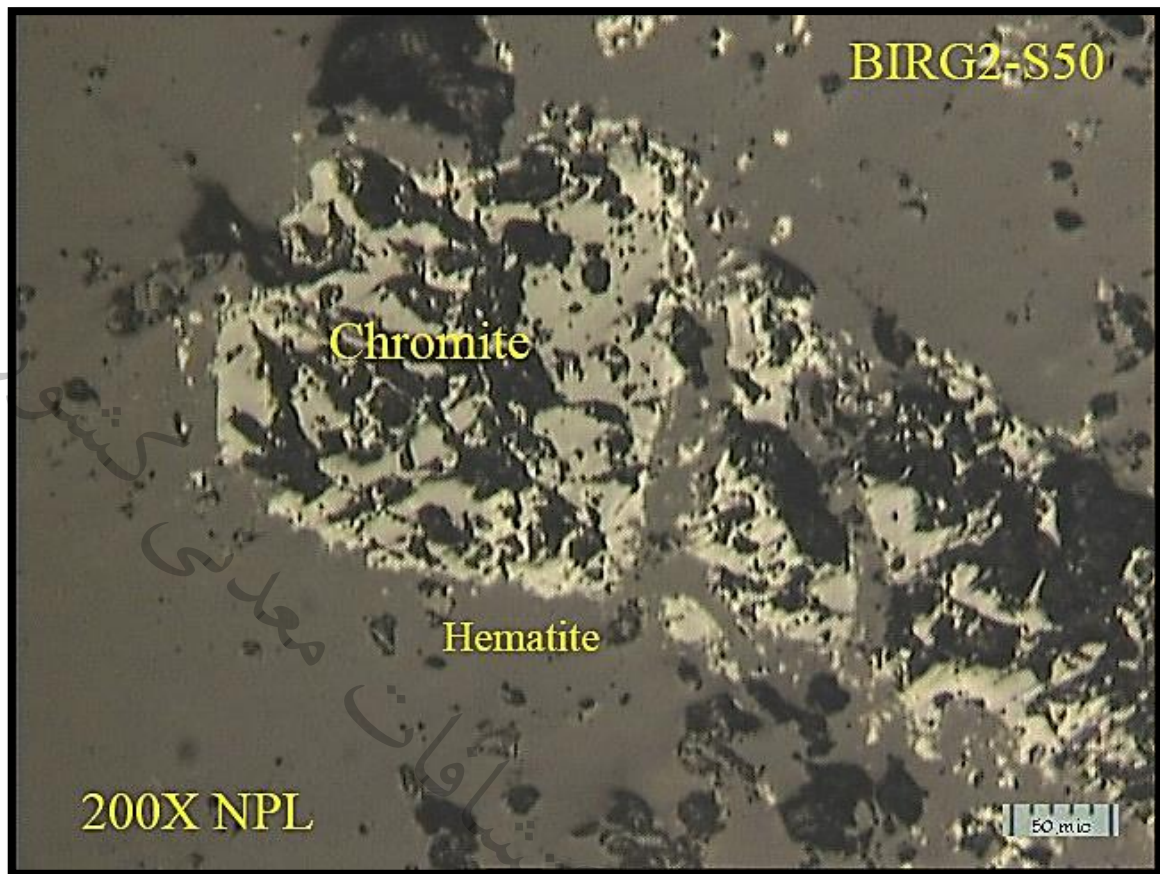


عکس ۴-۴- نمایی از زون آلتره در سنگ شیستی. نمونه BIRG2S53

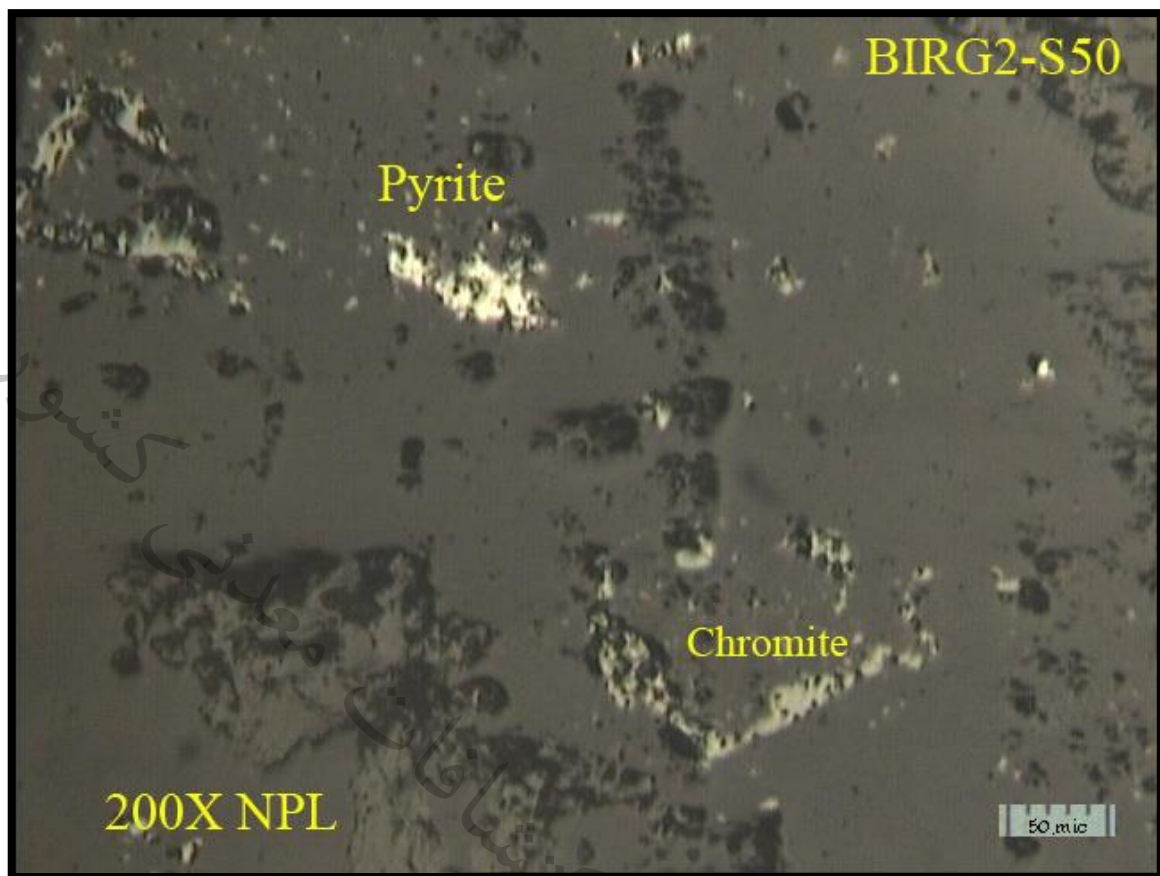
- نمونه BIRG2S49 از رگه لیستونیتی در امتداد شمالی - جنوبی به ضخامت ۳ متر و طول ۵۰ متر در سنگ میزبان هارزبورژیتی برداشت گردید (جدول ۷۶-۴ و عکس‌های ۱۰۷-۴ و ۱۰۸-۴). نمونه BIRG2S50TP به جهت مطالعات مینرالوگرافی برداشت گردید (عکس‌های ۱۰۵-۴ و ۱۰۶-۴).

کانی فلزی: مگنیتیت

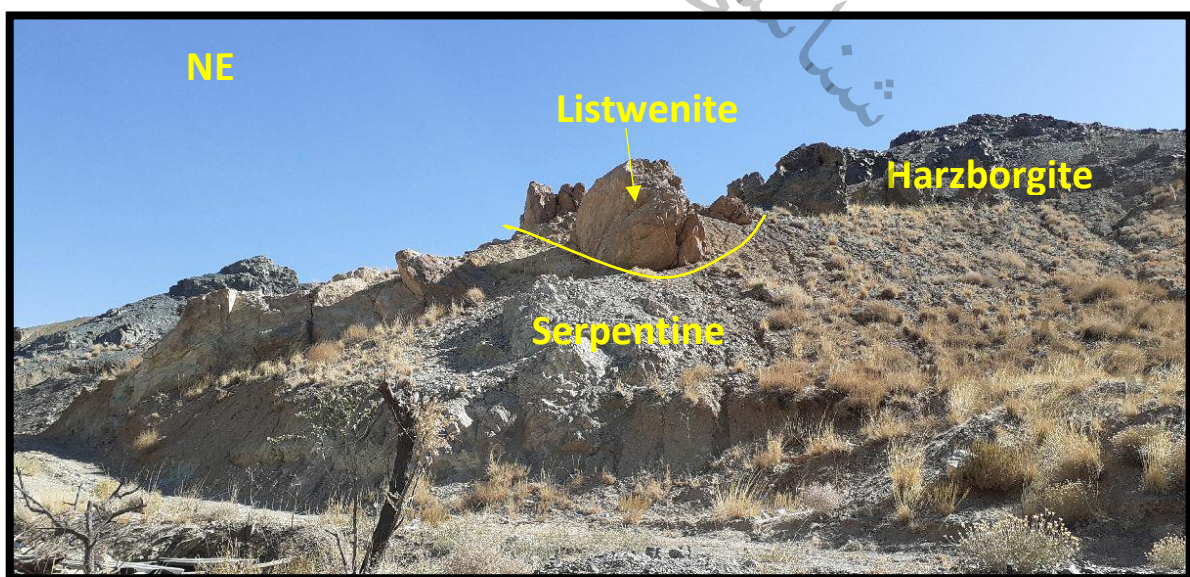
در نمونه دستی با چشم غیر مسلح بخش تیره رنگی مشاهده می‌شود که کانی‌سازی فلزی (مگنیتیت) در این بخش رخ داده است. کریستال‌های کوچک مگنیتیت در اندازه‌ای کمتر از ۲۰۰ میکرون با فراوانی حدود ۱ درصد در این بخش تیره پراکنده‌اند. آلتراسیون سوپرژن به شدت این کانی را تحت تاثیر قرار داده و کریستال‌های هماتیت در حال جایگزینی هستند.



عکس ۴-۱۰۵- نمایی از کانی کرومیت که در اطراف و رخ‌ها به هماتیت تبدیل شده است. نمونه BIRG2S50TP



عکس ۴-۱۰۶- نمایی از کانی کرومیت و پیریت در کنار یکدیگر که به اکسید آهن تبدیل شده‌اند. نمونه (BIRG2S50TP)



عکس ۴-۱۰۷- نمایی از رگه لیستونیتی همراه با سنگ میزبان هارزبورژیتی در نمای دور. نمونه BIRG2S49



عکس ۴-۱۰۸- نمایی نزدیک از رگه لیستونیتی همراه با رگچه‌های کوارتزی. نمونه BIRG2S49

جدول ۴-۷۴- آنالیز عنصری به روشن ICP در نمونه BIRG2S49

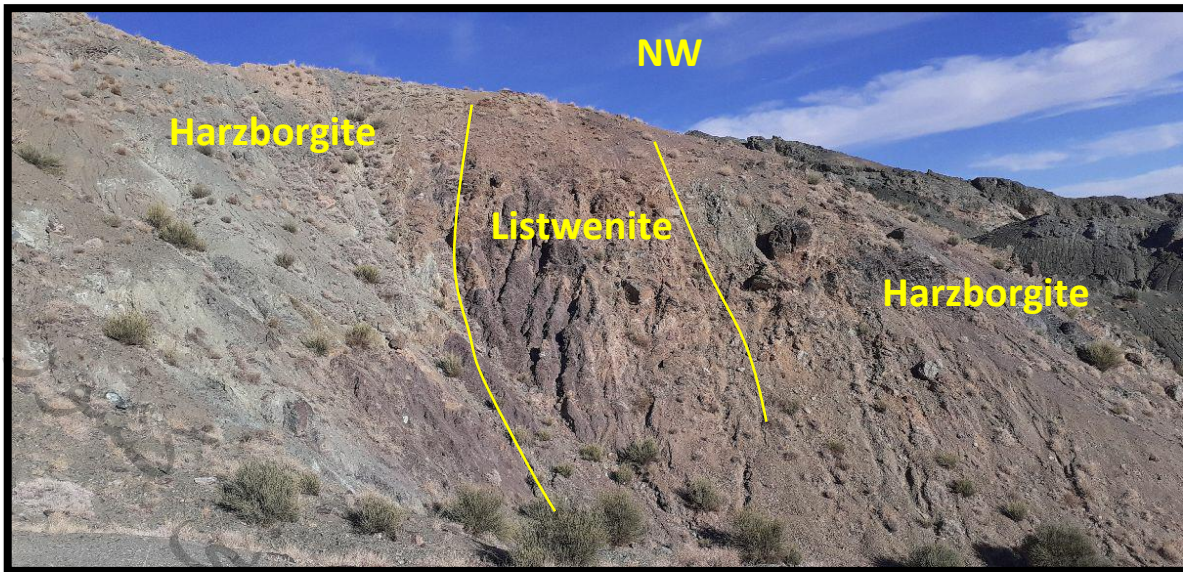
Sample	X	Y	Au	Ag	Al	As	Ba	Be
BIRG-2-S49	723856	3621490	5	0.5	1438	5.5	13	1
Ca	Cd	Ce	Co	Cr	Cu	Fe	K	La
8830	0.28	2	46	1078	7	26559	145	1
Li	Mg	Mn	Mo	Na	Ni	P	Pb	S
33	2%	421	0.5	396	877	31	4	176
Sb	Sc	Sr	Th	Ti	U	V	Y	Yb
0.94	2.6	63	5	42	5	13	0.5	0.3
Zn	Zr							
17	5							

در این نمونه مقدار کروم (1078 ppm) ناهنجاری نشان می‌دهد.

- نمونه BIRG2S142 از رگه لیستونیتی به ضخامت ۴ متر و طول ۵۰ متر همراه با اکسیدهای آهن و لیمونیت با سنگ میزبان هارزبورژیتی در امتداد شمال غرب- جنوب شرق برداشت گردید (جدول ۴-۷۵ و عکس‌های ۴-۱۰۹ و ۴-۱۱۰).

جدول ۴-۷۵- آنالیز عنصری به روشن ICP در نمونه BIRG2S142

Sample	X	Y	Au	Ag	Al	As	Ba	Be
BIRG2S142	724299	3621277	5	0.5	66301	8.3	119	1
Ca	Cd	Ce	Co	Cr	Cu	Fe	K	La
37249	0.19	31	12	55	31	26002	8496	16
Li	Mg	Mn	Mo	Na	Ni	P	Pb	S
26	4715	992	0.65	33359	35	425	5	375
Sb	Sc	Sr	Th	Ti	U	V	Y	Yb
1.08	10.7	162	5	2755	5	65	20	1.8
Zn	Zr							
56	42							



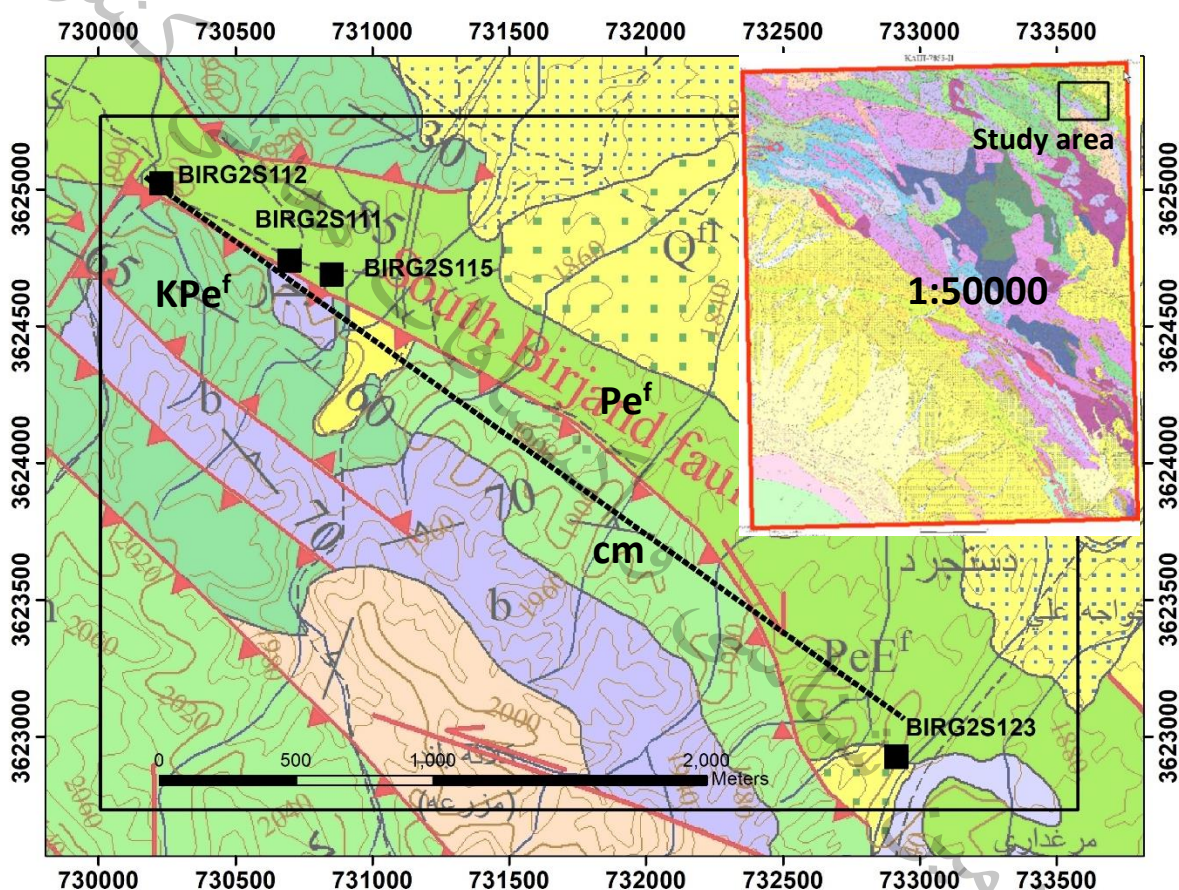
عکس ۴-۱۰۹- نمایی از رگه لیستونیتی همراه با سنگ میزبان هارزبورژیتی. نمونه BIRG2S142



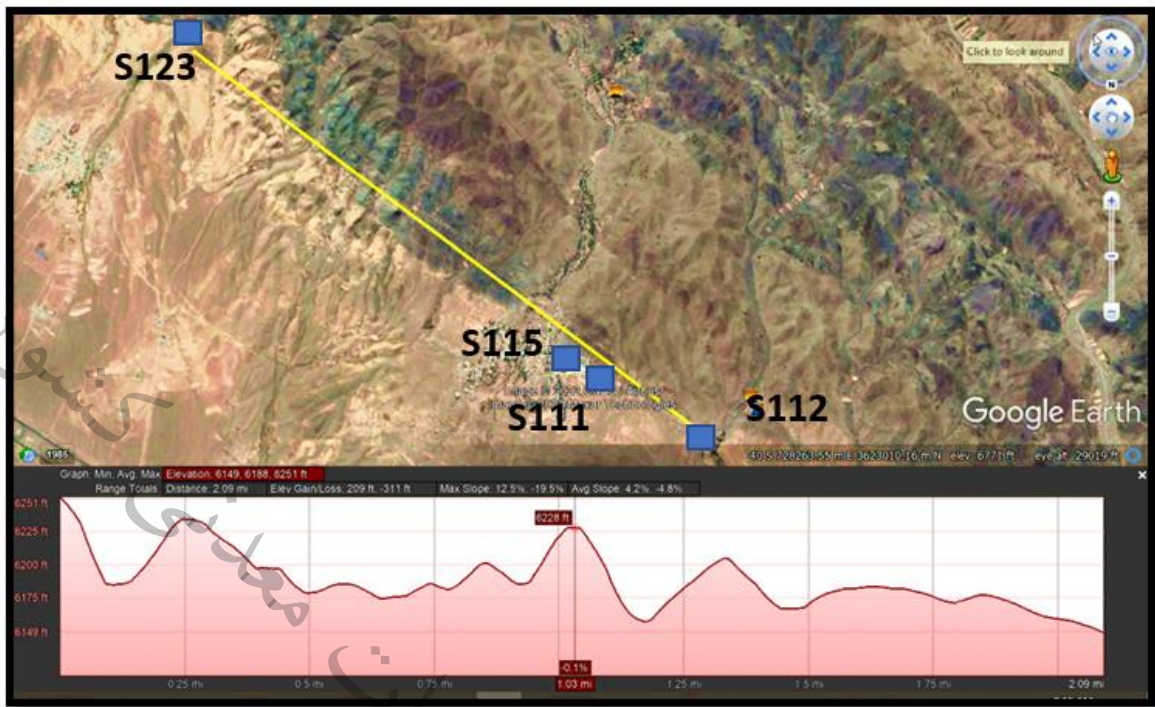
عکس ۴-۱۱۰- نمایی از نمونه BIRG2S142 که همراه با اکسیدهای آهن و لیموئیت می‌باشد.

۱۴-۲-۴- پروفیل (۱۴):

شروع پیمایش در این پروفیل از مختصات ۷۳۰,۱۶۶ X: و ۳,۶۲۵,۰۳۱ Y: در آزیموت ۱۲۵ درجه به طول ۳۳۵۹ متر بوده است. در این مسیر پیمایش شده تعداد ۴ نمونه برداشت شد. نمونه‌های اخذ شده بر اساس نقشه زمین‌شناسی ۱:۵۰۰۰۰ در واحدهای شیل، سیلت، ماسه سنگ، فیلیت، گربوک و همچنین مجموعه افیولیتی قرار گرفته است (شکل‌های ۲۹-۴ و ۳۰-۴). در ادامه به شرح نمونه‌های اخذ شده در این پروفیل پرداخته می‌شود:



شکل ۴-۲۹- نمونه‌های برداشت شده در امتداد پروفیل (۱۴) و زمین‌شناسی مربوطه (اقتباس از نقشه ۱:۵۰۰۰۰ کاھی)
Cm: Collered mélange Pe^f: Shale, siltstone, sandstone KPe^f: Phyllite, graywacke, and shale



شکل ۴-۳۰- نمایی از پروفیل (۱۴) در تصویر ماهواره‌ای به همراه مقطع عرضی آن.

- نمونه **BIRG2S112** از شیسته‌های آلتره لیمونیتی و دارای رگچه‌های استوک ورکی برداشت گردید به طوری که به نظر می‌رسد گسترش این آلتراسیون در جهت شمال غرب-جنوب شرق تا چندین کیلومتر هم می‌رسد (جدول ۷۶-۴ و عکس‌های ۱۱۱-۴ و ۱۱۲-۴).

جدول ۷۶-۴- آنالیز عنصری به روی ICP در نمونه **BIRG2S112**

Sample	X	Y	Au	Ag	Al	As	Ba	Be
BIRG2S112	730226	3625033	5	0.5	63735	2.4	76	1
Ca	Cd	Ce	Co	Cr	Cu	Fe	K	La
27741	0.21	34	3	13	9	13830	1074	15
Li	Mg	Mn	Mo	Na	Ni	P	Pb	S
18	1425	610	0.6	40511	8	384	5	453
Sb	Sc	Sr	Th	Ti	U	V	Y	Yb
1.04	8.9	257	5	2106	5	13	27	2.5
Zn	Zr							
49	103							



عکس ۴-۱۱۱- نمایی از آلتراسیون لیمونیتی در شیسته‌های منطقه مورد مطالعه. نمونه BIRG2S112



عکس ۴-۱۱۲- نمایی از حالت برشی و استوک ورکی زون آلترا در شیسته‌ها که با کربنات و لیمونیت پر شده است.
(نمونه BIRG2S112)

- نمونه **BIRG2S111** از زون آلتره و برشی به صورت یک پچ ۱۰۰ در ۱۰۰ متر به صورت تپه ماهور با سنگ میزبان شیستی برداشت گردید (جدول ۴-۷۷ و عکس ۱۱۳-۴).

جدول ۴-۷۷- آنالیز عنصری به روشن ICP در نمونه BIRG2S111

Sample	X	Y	Au	Ag	Al	As	Ba	Be
BIRG2S111	730704	3624751	5	0.5	1954	2.6	29	1
Ca	Cd	Ce	Co	Cr	Cu	Fe	K	La
81610	0.19	1	18	168	6	12013	364	1
Li	Mg	Mn	Mo	Na	Ni	P	Pb	S
10	2%	424	0.54	525	289	32	4	1017
Sb	Sc	Sr	Th	Ti	U	V	Y	Yb
0.99	1.9	322	5	68	5	17	1	0.4
Zn	Zr							
18	5							

در این نمونه عنصر گوگرد (1017 ppm) ناهمجاري نشان می‌دهد.



عکس ۴-۱۱۳- نمایی از آلتراسیون شیستهای منطقه مورد مطالعه. نمونه BIRG2S111

-نمونه **BIRG2S115** از زون آلتره با سنگ میزان ولکانیکی بازالتی با ابعاد ۲۰ در ۵۰ متر برداشت

گردید که در رخنمون کنار جاده‌ای به خوبی دیده می‌شود (جدول ۷۸-۴ و عکس ۱۱۴-۴).

جدول ۷۸-۴- آنالیز عنصری به روشن ICP در نمونه BIRG2S115

Sample	X	Y	Au	Ag	Al	As	Ba	Be
BIRG2S115	730858	3624688	5	0.5	67234	10.1	298	1.3
Ca	Cd	Ce	Co	Cr	Cu	Fe	K	La
49899	0.2	39	22	56	36	30147	14743	21
Li	Mg	Mn	Mo	Na	Ni	P	Pb	S
43	8479	2065	0.74	1071	29	433	11	473
Sb	Sc	Sr	Th	Ti	U	V	Y	Yb
1.02	12	288	5	2476	5	79	22	2.4
Zn	Zr							
73	83							

در این نمونه عناصر منگنز (2065 ppm) و تیتانیم (2476 ppm) ناهنجاری نشان می‌دهد.



عکس ۱۱۴-۴- نمایی از آلتراسیون شیستهای منطقه مورد مطالعه. نمونه BIRG2S115

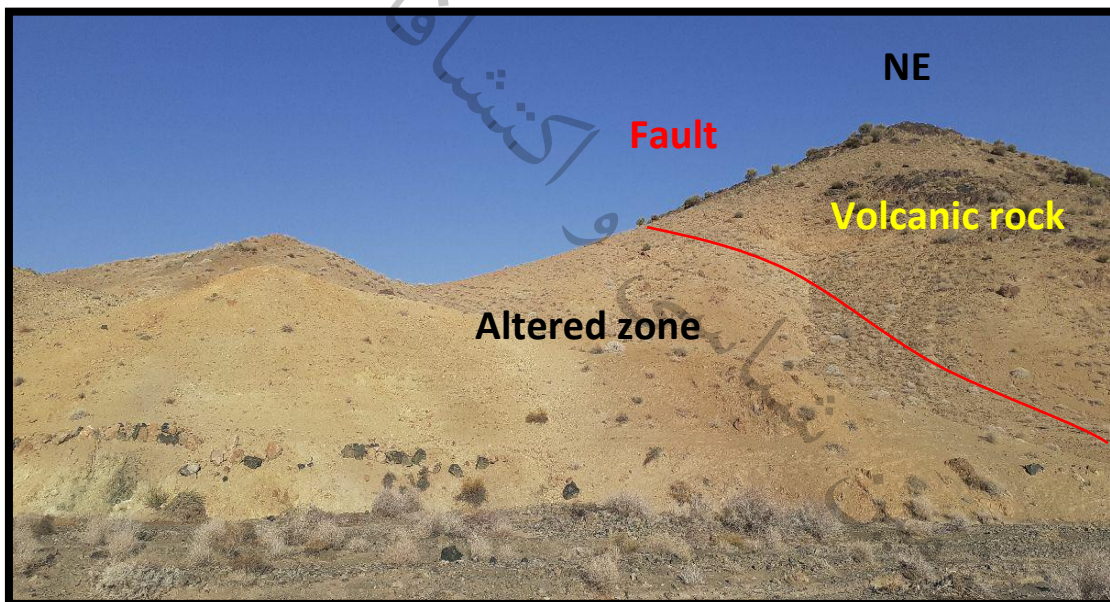
- نمونه **BIRG2S123** در مرز سنگ‌های شیستی و ولکانیکی آلتره و از یک زون گسلی برداشت گردید.

زون آلتراسیون بیشتر لیمونیتی و آرژیلی شده و سنگ اولیه آن شیستی است (جدول ۷۹-۴ و عکس‌های ۱۱۵-۴ تا ۱۱۷-۴).

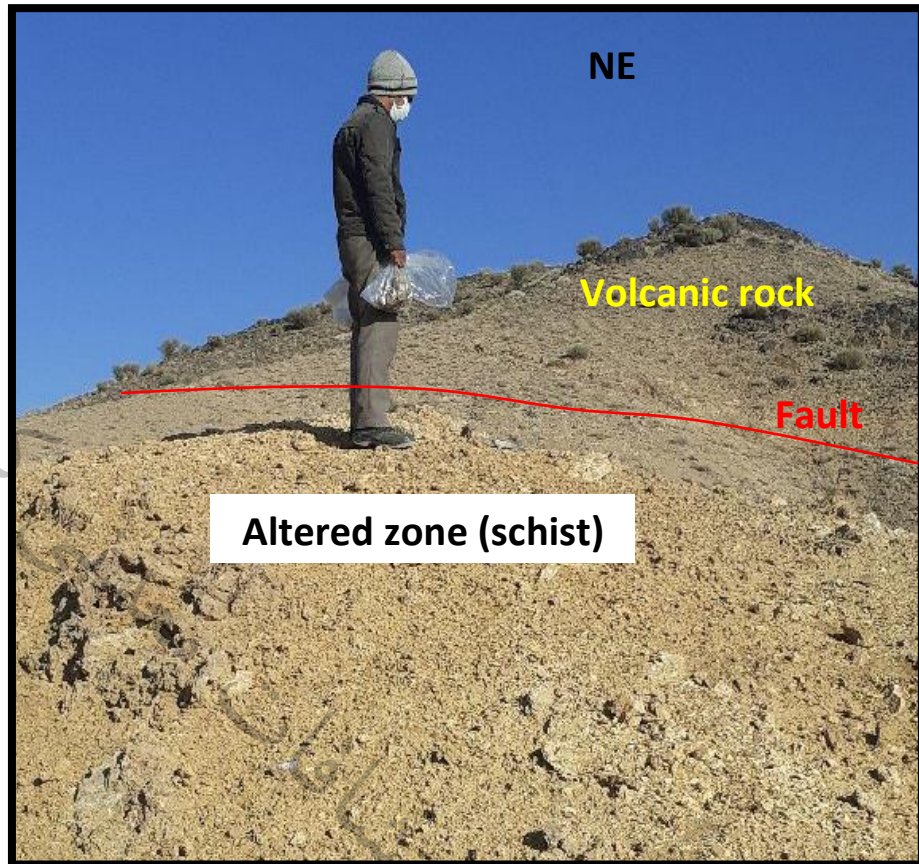
جدول ۷۹-۴ - آنالیز عنصری به روش ICP در نمونه BIRG2S123

Sample	X	Y	Au	Ag	Al	As	Ba	Be
BIRG2S123	732919	3622939	5	0.5	1105	2.4	33	1
Ca	Cd	Ce	Co	Cr	Cu	Fe	K	La
10%	0.18	1	33	606	21	31308	215	1
Li	Mg	Mn	Mo	Na	Ni	P	Pb	S
9	2%	371	0.64	465	780	39	4	408
Sb	Sc	Sr	Th	Ti	U	V	Y	Yb
1.04	2.5	1336	5	109	5	29	1	0.6
Zn	Zr							
18	7							

در این نمونه عنصر استراتسیم (1336 ppm) ناهنجاری نشان می‌دهد.



عکس ۱۱۵-۴ - نمایی از کن tact گسله بین شیسته‌های آلتنه و سنگ ولکانیکی عمده‌با بازالتی. نمونه BIRG2S123



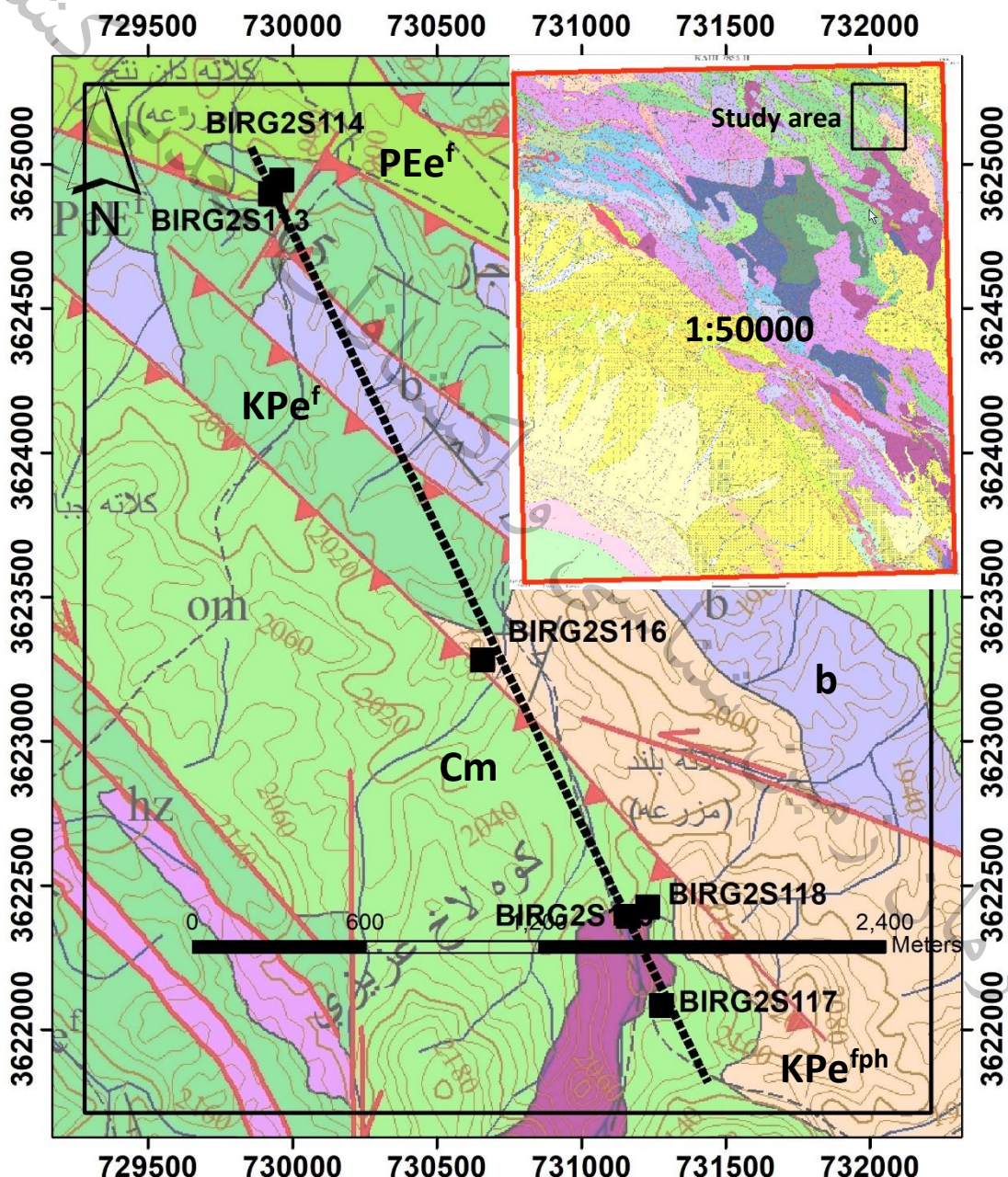
عکس ۴-۱۱۶- نمایی از محل نمونه برداری از زون آلتره. نمونه BIRG2S123



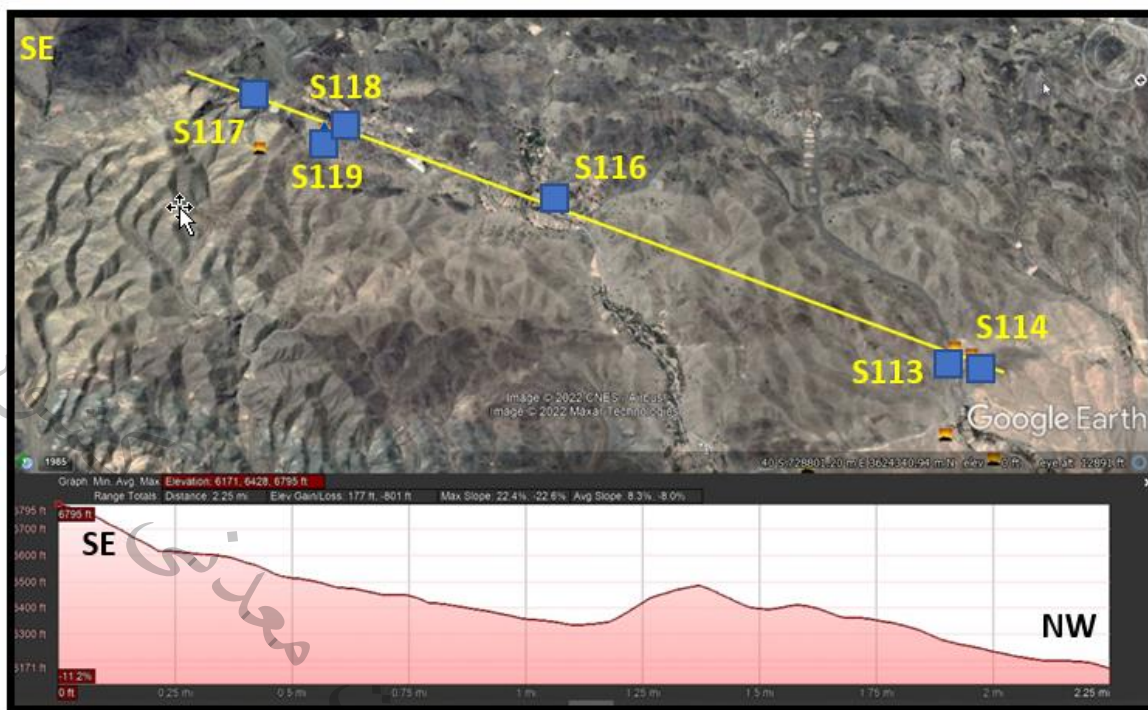
عکس ۴-۱۱۷- نمایی از نمونه BIRG2S123 که از زون آلتره لیمونیتی برداشت گردید.

۱۵-۲-۴- پروفیل (۱۵):

شروع پیمایش در این پروفیل از مختصات X: 729,881 Y: 3,625,031 در آzymot ۱۵۴ درجه به طول ۳۵۹۲ متر بوده است. در این مسیر پیمایش شده تعداد ۶ نمونه برداشت شد. نمونه‌های اخذ شده بر اساس نقشه زمین‌شناسی ۱:۵۰۰۰۰ در واحدهای ولکانیکی بازالتی، شیل، سیلت، ماسه سنگ، فیلیت، گریوک و همچنین مجموعه افیولیتی قرار گرفته است (شکل‌های ۳۱-۴ و ۳۲-۴). در ادامه به شرح نمونه‌های اخذ شده در این پروفیل پرداخته می‌شود:

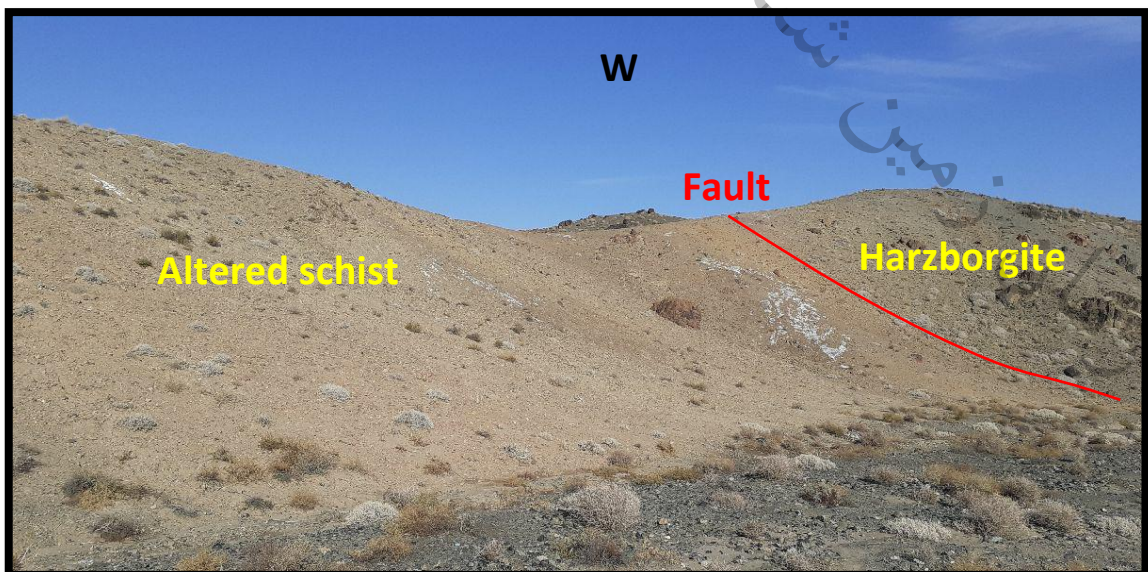


شکل ۴-۳۱- نمونه‌های برداشت شده در امتداد پروفیل (۱۵) و زمین‌شناسی مربوطه (اقتباس از نقشه ۱:۵۰۰۰۰ کاھی)
Cm: Collered mélange Pe^f: Shale, siltstone, sandstone KPe^f: Phyllite KPe^{fph}: Slate



شکل ۴-۳۲- نمایی از پروفیل (۱۵) در تصویر ماهواره‌ای به همراه مقطع عرضی آن.

-نمونه‌های BIRG2S114 و BIRG2S113 از سنگ‌های شیستی و ماسه سنگی لیمونیتی شده و آلتره و در مرز زون‌های گسلی و برشی برداشت گردید. همچنین در شیسته‌ها آپوفیزهایی از جنس میکروگابروی وجود دارد که نمونه S113 از آن برداشت گردید. این زون آلتره در امتداد شمال غرب-جنوب شرق گسترش زیادی دارد که تا چند کیلومتر هم می‌رسد (جداول ۸۰-۴ و ۸۱-۴ و همچنین عکس‌های ۱۱۸-۴ تا ۱۲۰-۴).



عکس ۴-۱۱۸- نمایی از محل نمونه برداری از زون آلتره. نمونه BIRG2S113 و BIRG2S114

جدول ۴-۸۰- آنالیز عنصری به روش ICP در نمونه BIRG2S113

Sample	X	Y	Au	Ag	Al	As	Ba	Be
BIRG2S113	729915	3624901	5	0.5	5995	5.8	22	1
Ca	Cd	Ce	Co	Cr	Cu	Fe	K	La
10%	0.19	5	52	1431	5	30782	219	2
Li	Mg	Mn	Mo	Na	Ni	P	Pb	S
16	2%	715	0.5	665	1074	58	4	544
Sb	Sc	Sr	Th	Ti	U	V	Y	Yb
1.41	6.1	634	5	119	5	28	1	0.6
Zn	Zr							
42	5							

جدول ۴-۸۱- آنالیز عنصری به روش ICP در نمونه BIRG2S114

Sample	X	Y	Au	Ag	Al	As	Ba	Be
BIRG2S114	729914	3624900	5	0.5	33800	5.8	212	1
Ca	Cd	Ce	Co	Cr	Cu	Fe	K	La
80572	0.21	22	6	51	14	19219	5773	12
Li	Mg	Mn	Mo	Na	Ni	P	Pb	S
25	9362	954	0.57	10664	32	286	8	499
Sb	Sc	Sr	Th	Ti	U	V	Y	Yb
1.07	5.9	312	5	1299	5	30	20	1.6
Zn	Zr							
34	43							



عکس ۴-۱۱۹- نمایی نزدیک از نمونه BIRG2S113 که از آپوفیز میکروگابرویی برداشت گردید.



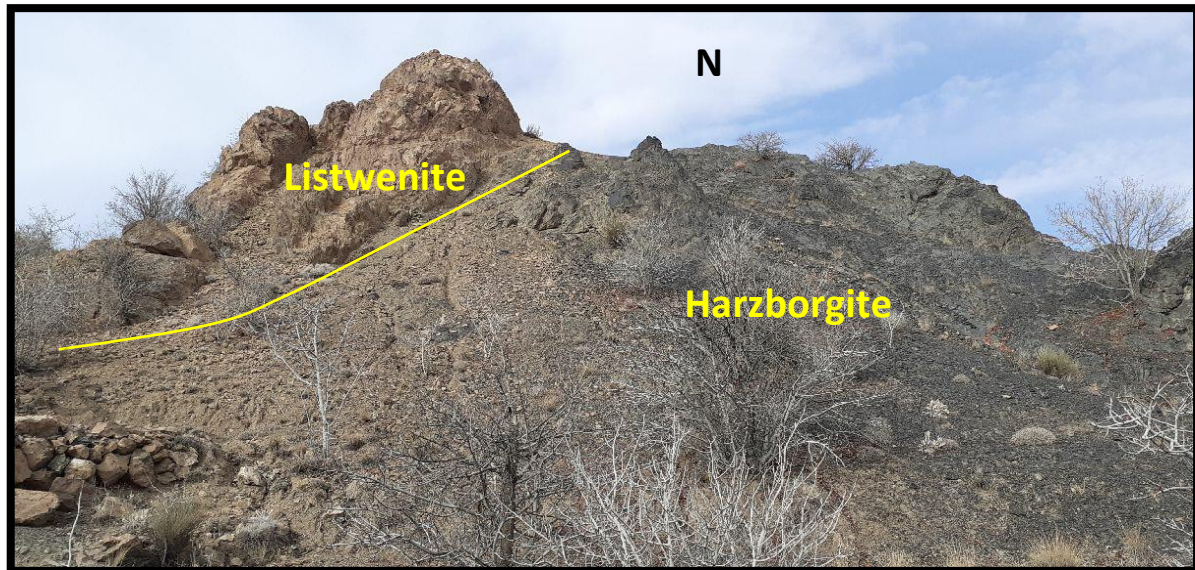
عکس ۴-۱۲۰- نمایی نزدیک از نمونه BIRG2S114 که از زون آلتره شیستی و برشی برداشت گردید.

-نمونه BIRG2S116 از رخمنون لیستونیتی-دولومیتی به طول ۳۰ متر و عرض ۳ متر در امتدا شمال-غربی-جنوب شرقی کشیده شده است، برداشت گردید (جدول ۴-۸۲ و عکس‌های ۱۲۱-۴ و ۱۲۲-۴).

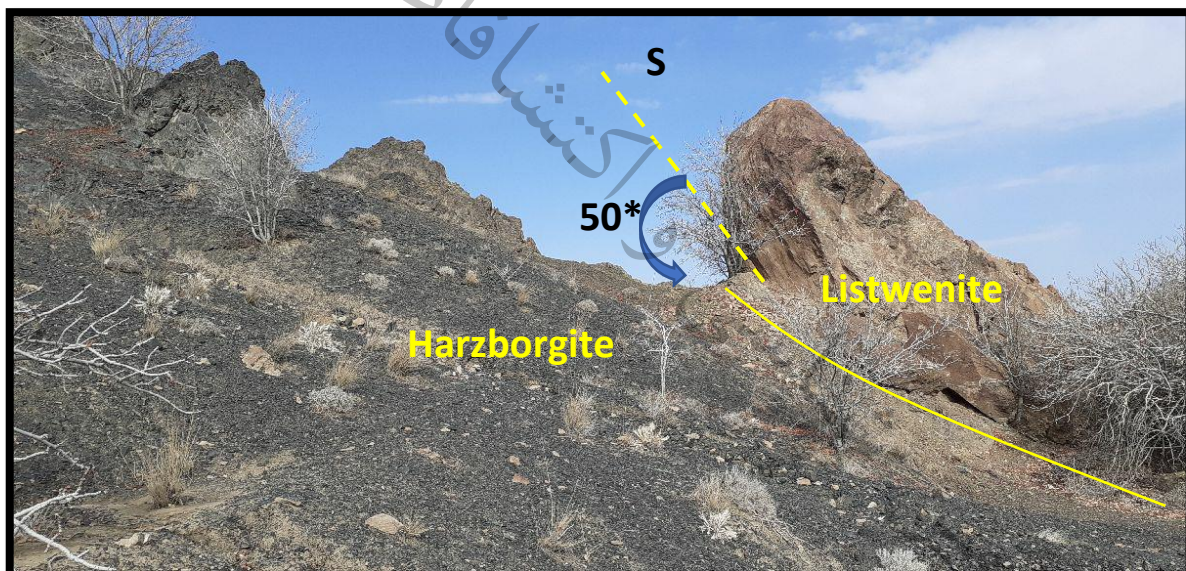
جدول ۴-۸۲- آنالیز عنصری به روش ICP در نمونه BIRG2S116

Sample	X	Y	Au	Ag	Al	As	Ba	Be
BIRG2S116	730655	3623281	8	0.5	3009	2.2	12	1
Ca	Cd	Ce	Co	Cr	Cu	Fe	K	La
14844	0.18	1	58	897	5	36675	229	1
Li	Mg	Mn	Mo	Na	Ni	P	Pb	S
17	2%	646	0.52	395	1266	31	4	403
Sb	Sc	Sr	Th	Ti	U	V	Y	Yb
1.32	5.7	69	5	41	5	21	0.5	0.5
Zn	Zr							
31	5							

در این نمونه عناصر نیکل (1266 ppm) و کروم (897 ppm) ناهنجاری نشان می‌دهد.



عکس ۴-۱۲۱- نمایی از رگه لیستونیتی در سنگ میزبان هارزبورژیتی. نمونه BIRG2S116

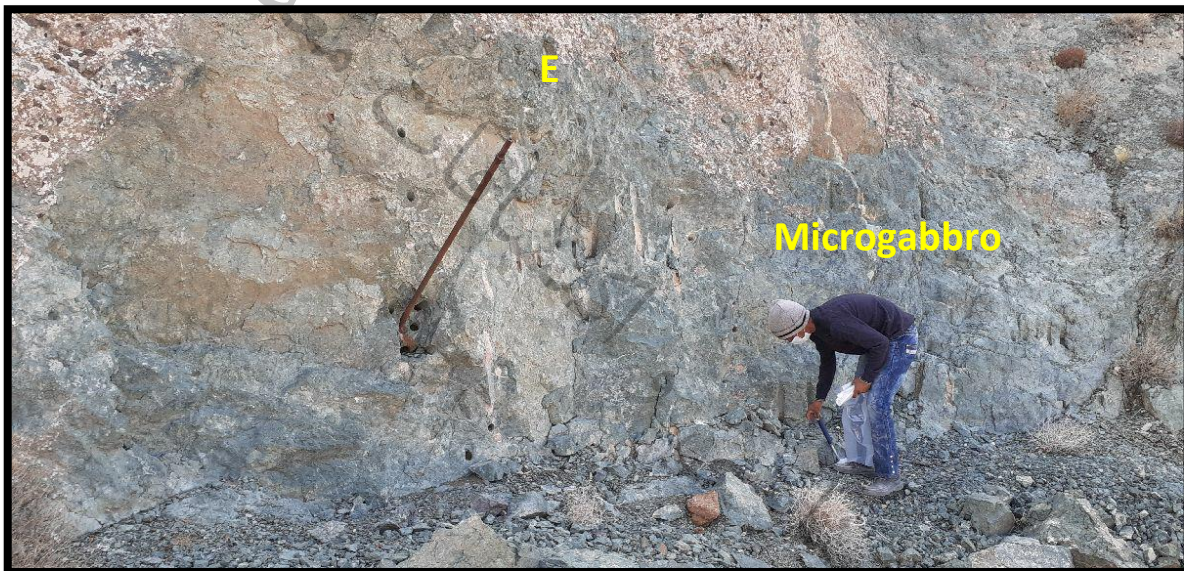


عکس ۴-۱۲۲- نمایی دیگر از رگه لیستونیتی در سنگ میزبان هارزبورژیتی با زاویه ۵۰ درجه نسبت به افق (نمونه BIRG2S116)

- نمونه **BIRG2S118** از محل حفریات در یک سنگ احتمالاً میکروگابرویی که اثرات متده جا ملنده حفاری هنوز در آن باقی بود نمونه برداری گردید (جدول ۸۳-۴ و عکس‌های ۱۲۳-۴ و ۱۲۴-۴).

جدول ۸۳-۴ - آنالیز عنصری به روش ICP در نمونه BIRG2S118

Sample	X	Y	Au	Ag	Al	As	Ba	Be
BIRG2S118	731173	3622405	5	0.5	93364	2.3	17	1
Ca	Cd	Ce	Co	Cr	Cu	Fe	K	La
48430	0.18	2	25	112	13	28452	10242	1
Li	Mg	Mn	Mo	Na	Ni	P	Pb	S
14	2%	551	0.5	26091	110	30	3	331
Sb	Sc	Sr	Th	Ti	U	V	Y	Yb
0.95	23.5	57	5	881	5	100	4	1
Zn	Zr							
15	5							



عکس ۴-۱۲۳- نمایی از سنگ میکروگابرویی در منطقه مورد مطالعه. نمونه BIRG2S118



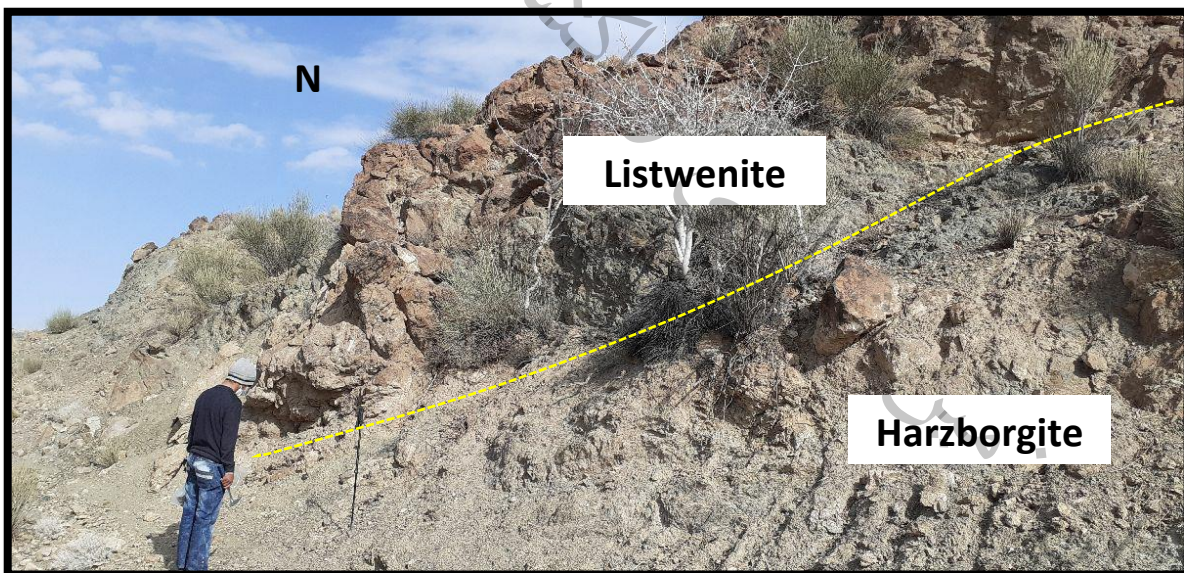
عکس ۴-۱۲۴- نمایی نزدیک از سنگ میکروگابرویی در محل نمونه BIRG2S118

- نمونه **BIRG2S119** از یک رگه لیستونیتی لیمونیتی و دارای اکسیدهای آهن در امتداد شمال شرق - جنوب غرب به ضخامت ۳ متر و طول ۵۰ متر با سنگ میزبان هارزبورژیتی نمونه برداری گردید (جدول ۴-۸۴) و عکس‌های ۴-۱۲۵ و ۴-۱۲۶.

جدول ۴-۸۴ - آنالیز عنصری به روش ICP در نمونه **BIRG2S119**

Sample	X	Y	Au	Ag	Al	As	Ba	Be
BIRG2S119	731219	3622405	5	0.5	3853	2.6	38	1
Ca	Cd	Ce	Co	Cr	Cu	Fe	K	La
10%	0.17	1	41	886	75	29768	177	1
Li	Mg	Mn	Mo	Na	Ni	P	Pb	S
16	2%	710	0.57	586	800	34	4	339
Sb	Sc	Sr	Th	Ti	U	V	Y	Yb
1.23	5.1	665	5	38	5	35	2	0.6
Zn	Zr							
23	5							

در این نمونه عناصر کروم (886 ppm)، نیکل (710 ppm) و منگنز (800 ppm) ناهنجاری نشان می‌دهد.



عکس ۴-۱۲۵ - نمایی از یک رگه لیستونیتی با سنگ میزبان افیولیت ملانژ. نمونه **BIRG2S119**

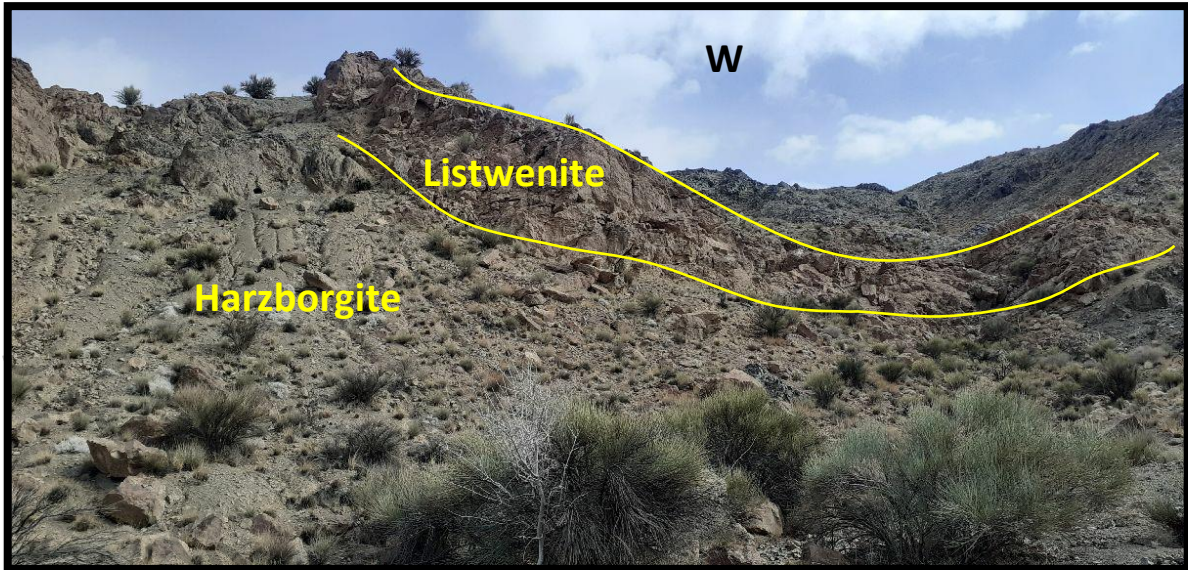


عکس ۴-۱۲۶- نمایی نزدیک از تکه‌های رگه لیستونیتی لیمونیتی شده در محل نمونه BIRG2S119

نمونه BIRG2S117 از یک رگه لیستونیتی به طول بیش از ۵۰ متر و ضخامت ۲ تا ۳ متر در سرگ میزبان هارزبورزیت سرپانتینیتی شده برداشت گردید (جدول ۸۵-۴ و عکس‌های ۱۲۷-۴ و ۱۲۸-۴).

جدول ۸۵-۴- آنالیز عنصری به روشن ICP در نمونه BIRG2S117

Sample	X	Y	Au	Ag	Al	As	Ba	Be
BIRG2S117	731288	3622099	5	0.5	5516	2.1	22	1
Ca	Cd	Ce	Co	Cr	Cu	Fe	K	La
15351	0.18	2	55	758	10	37456	463	1
Li	Mg	Mn	Mo	Na	Ni	P	Pb	S
39	2%	747	0.53	450	1252	36	4	316
Sb	Sc	Sr	Th	Ti	U	V	Y	Yb
1.29	5.5	87	5	335	5	25	1	0.6
Zn	Zr							
36	5							



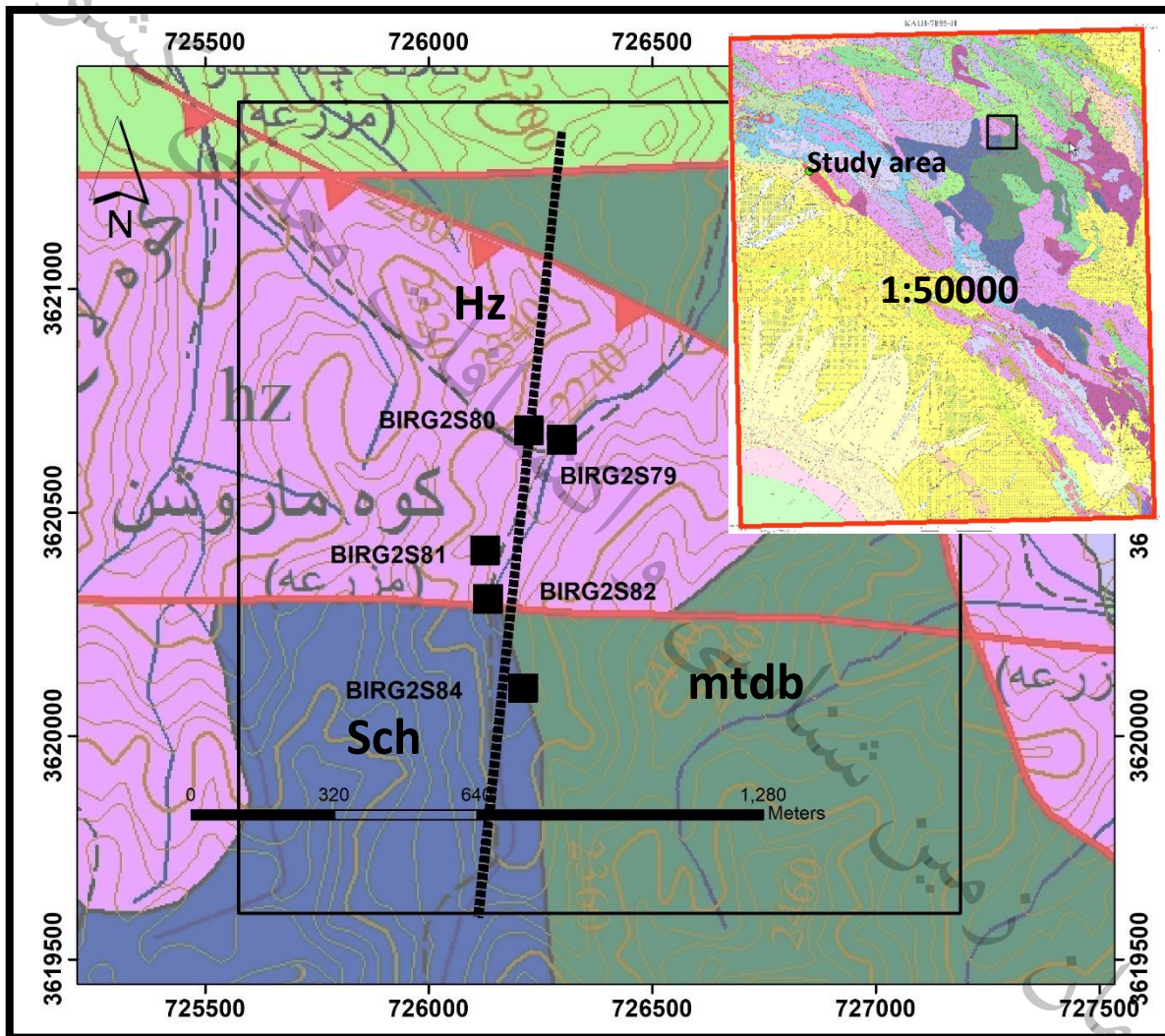
عکس ۴-۱۲۷- نمایی از یک رگه لیستونیتی با سنگ میزبان افیولیت ملانژ. نمونه BIRG2S117



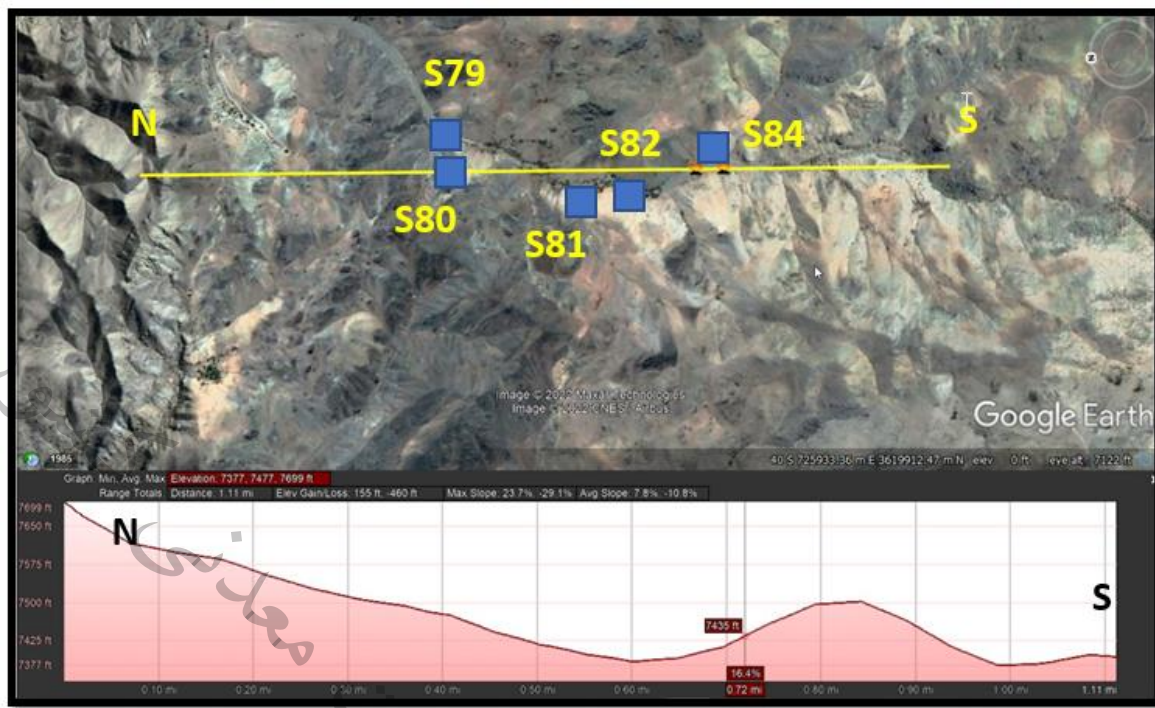
عکس ۴-۱۲۸- نمایی نزدیک از تکه‌های رگه لیستونیتی در محل نمونه BIRG2S117

۱۶-۲-۴- پروفیل (۱۶):

شروع پیمایش در این پروفیل از مختصات X: 726,293 و Y: 3,621,369 در آzymot ۱۸۶ درجه به طول ۱۷۶۹ متر بوده است. در این مسیر پیمایش شده تعداد ۵ نمونه برداشت شد. نمونه‌های اخذ شده بر اساس نقشه زمین‌شناسی کالک شیستی، متادیاباز تا متابازالت و همچنین مجموعه افیولیتی قرار گرفته است (شکل‌های ۳۳-۴ و ۳۴-۴). در ادامه به شرح نمونه‌های اخذ شده در این پروفیل پرداخته می‌شود:



شکل ۴-۳۳- نمونه‌های برداشت شده در امتداد پروفیل (۱۶) و زمین‌شناسی مربوطه (اقتباس از نقشه ۱:۵۰۰۰۰ کاهی)
Sch: Calc-schist Hz: Hazborgite mtDB: Metadiabase to metabasalt



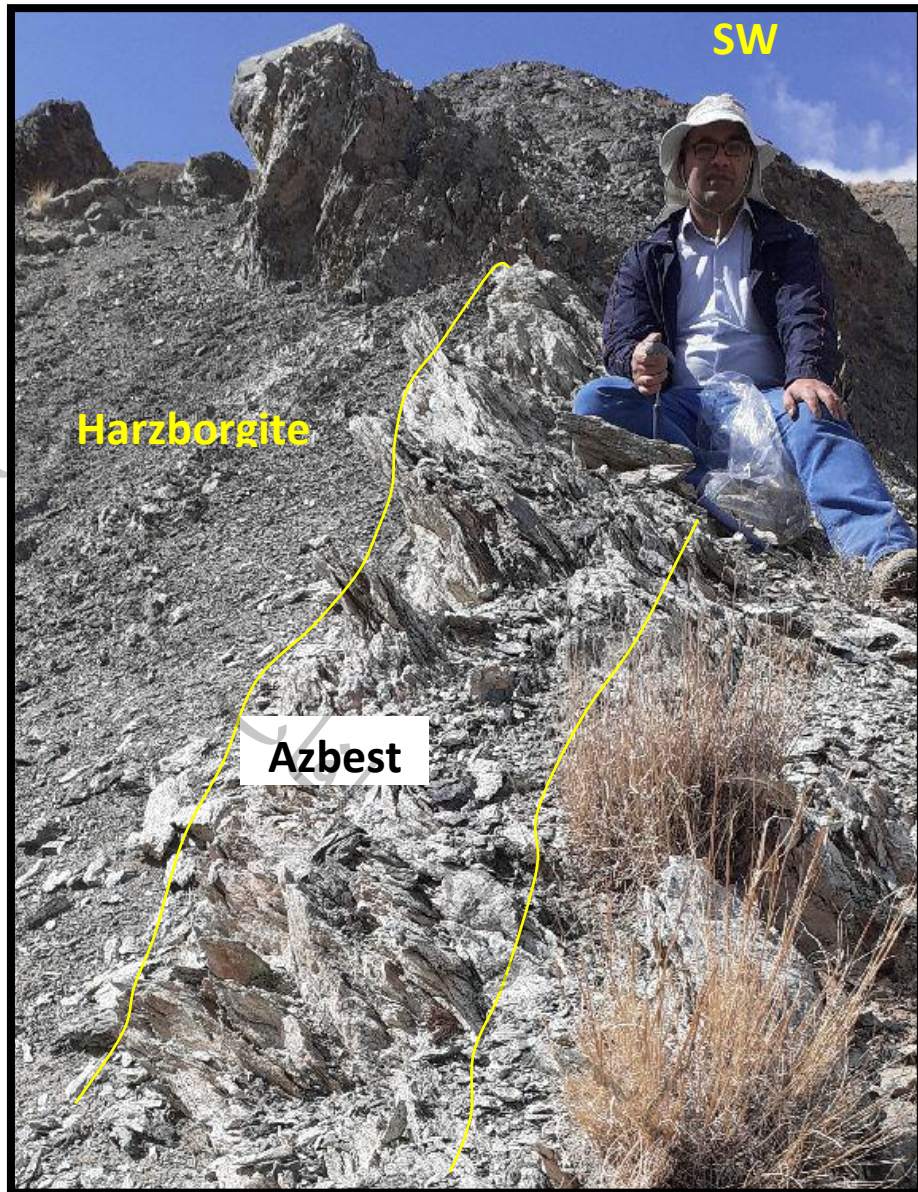
شکل ۴-۳۴- نمایی از پروفیل (۱۶) در تصویر ماهواره‌ای به همراه مقطع عرضی آن.

- نمونه **BIRG2S80** بر اساس مشاهدات صحرایی از یک رگه آربستی در سنگ میزان اولترامافیکی به

طول ۳۰ متر و ضخامت ۵۰ سانتیمتر در امتداد جنوب غربی برداشت گردید (جدول ۴-۸۶ و عکس ۴-۱۲۹).

جدول ۴-۸۶- آنالیز عنصری به روی ICP در نمونه **BIRG2S80**

Sample	X	Y	Au	Ag	Al	As	Ba	Be
BIRG-2-S80	726234	3620676	5	0.5	5022	1.7	18	1
Ca	Cd	Ce	Co	Cr	Cu	Fe	K	La
61798	0.3	1	45	704	440	29835	244	1
Li	Mg	Mn	Mo	Na	Ni	P	Pb	S
40	2%	397	0.5	863	986	39	4	233
Sb	Sc	Sr	Th	Ti	U	V	Y	Yb
0.99	3.9	14	5	115	5	19	1	0.4
Zn	Zr							
77	5							



عکس ۴-۱۲۹- نمایی از یک رگه آزبستی با سنگ میزبان اولترامافیکی. نمونه BIRG2S80

- نمونه **BIRG2S79** از یک رگه لیستونیتی در امتداد ۲۱۰ درجه آزمودت به ضخامت ۱ متر و طول بیش از ۱۰۰ متر به صورت چیپ سمپلینگ برداشت گردید (جدول ۴-۸۷ و عکس‌های ۱۳۲-۴ و ۱۳۳-۴).

جدول ۴-۸۷ - آنالیز عنصری به روش ICP در نمونه BIRG2S79

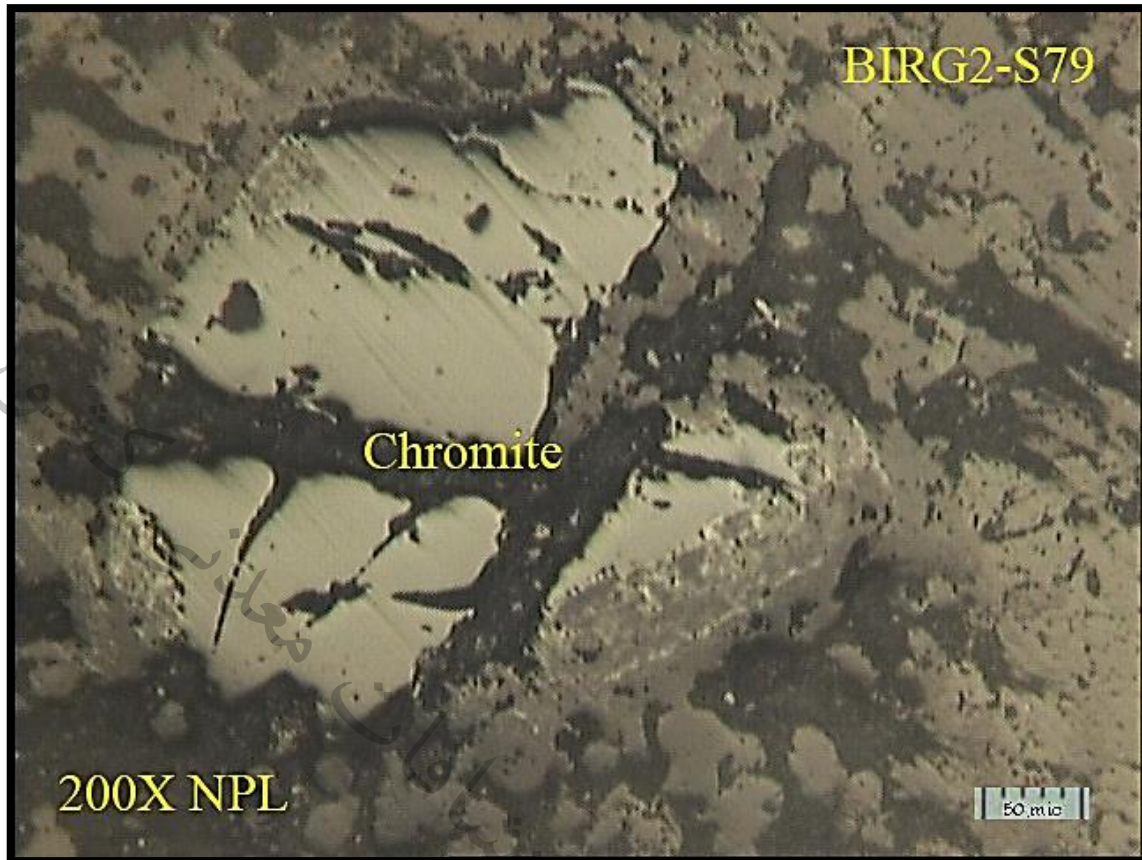
Sample	X	Y	Au	Ag	Al	As	Ba	Be
BIRG-2-S79	726292	3620672	5	0.52	2740	1.9	38	1
Ca	Cd	Ce	Co	Cr	Cu	Fe	K	La
24529	0.21	2	58	947	15	35281	208	1
Li	Mg	Mn	Mo	Na	Ni	P	Pb	S
40	2%	502	0.5	577	1076	41	3	379
Sb	Sc	Sr	Th	Ti	U	V	Y	Yb
1	3.3	119	5	84	5	16	1	0.4
Zn	Zr							
27	5							

در این نمونه عنصر نیکل (1076 ppm) ناهنجاری نشان می‌دهد.

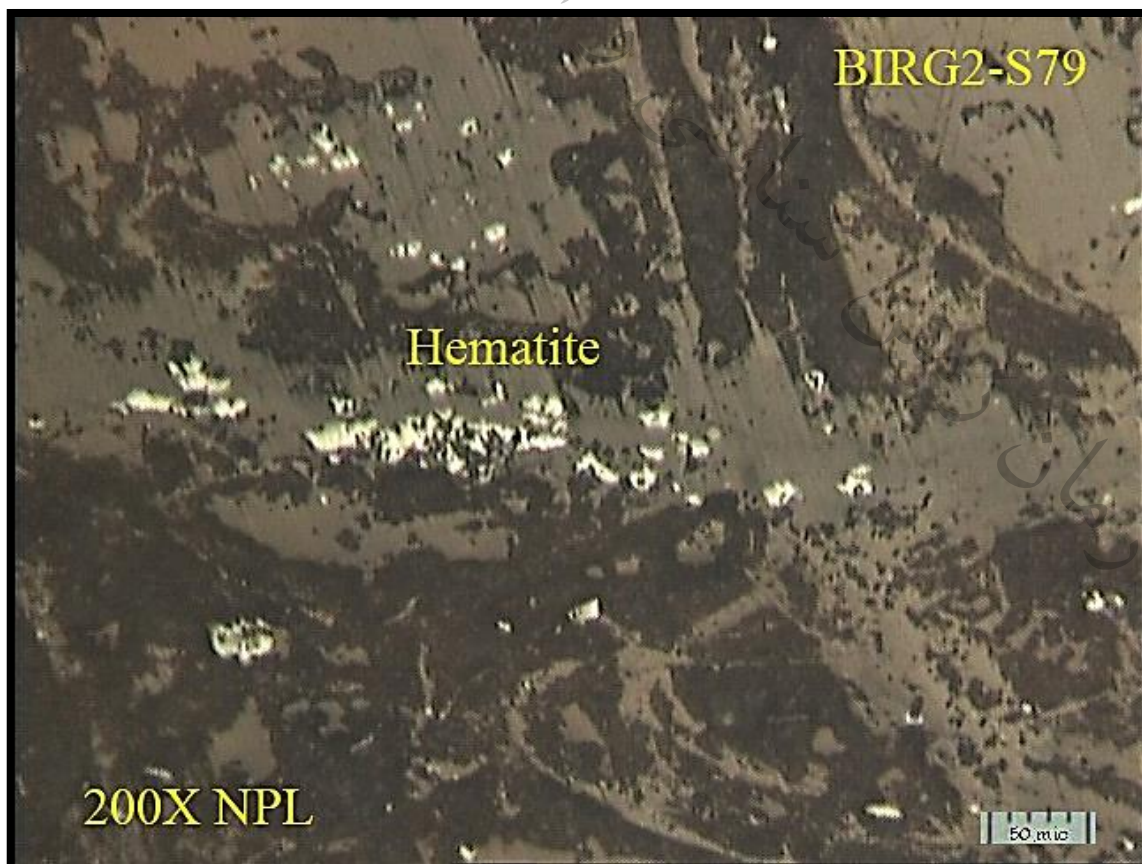
از این رگه نمونه **BIRG2S79TP** به جهت مطالعات مینرالوگرافی برآشت گردید (عکس‌های ۱۳۰-۴ و ۱۳۱-۴).

کانی فلزی: کرومیت، هماتیت

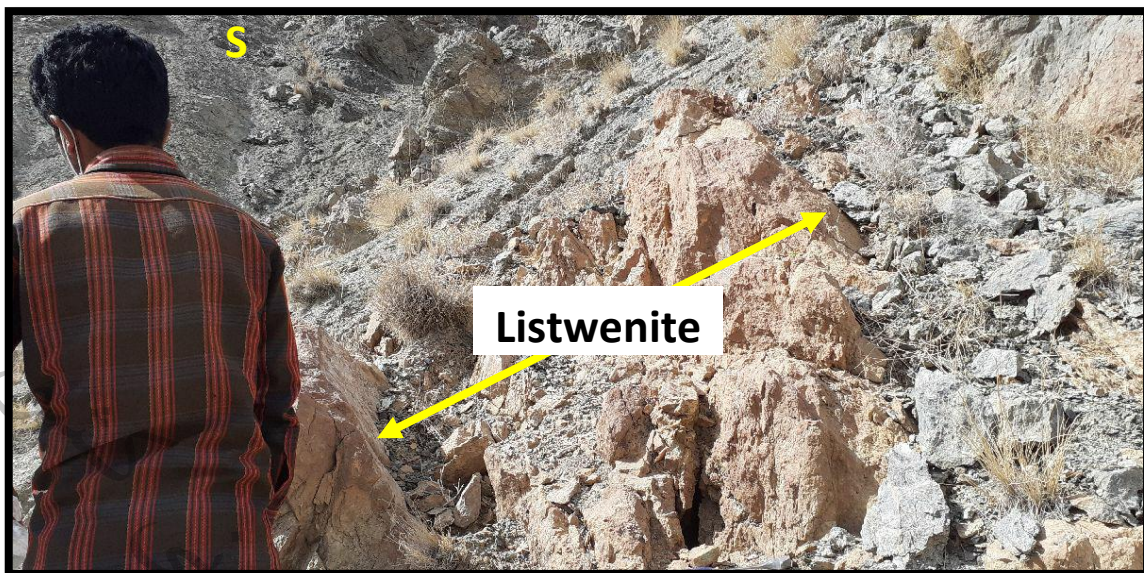
- **کرومیت:** کریستال‌های درشت کرومیت در لندازهای ما بین ۳۰ الی ۴۰۰ میکرون با فراوانی حدود ۱ درصد در فضاهای باز سنگ میزبان کانی‌سازی کرده‌اند. در برخی از کریستال‌های کوچک کرومیت هم رشدی با کریستال‌های کوچک هماتیت دیده می‌شود.
- **هماتیت:** کریستال‌های ریز و کوچک این کانی در حفرات و شکاف‌های سنگ میزبان کانی‌سازی کرده که اغلب به صورت تجمع چندین کریستال و گاه کریستال منفرد مشاهده می‌شوند. فراوانی هماتیت در این نمونه حدود ۱ درصد است.



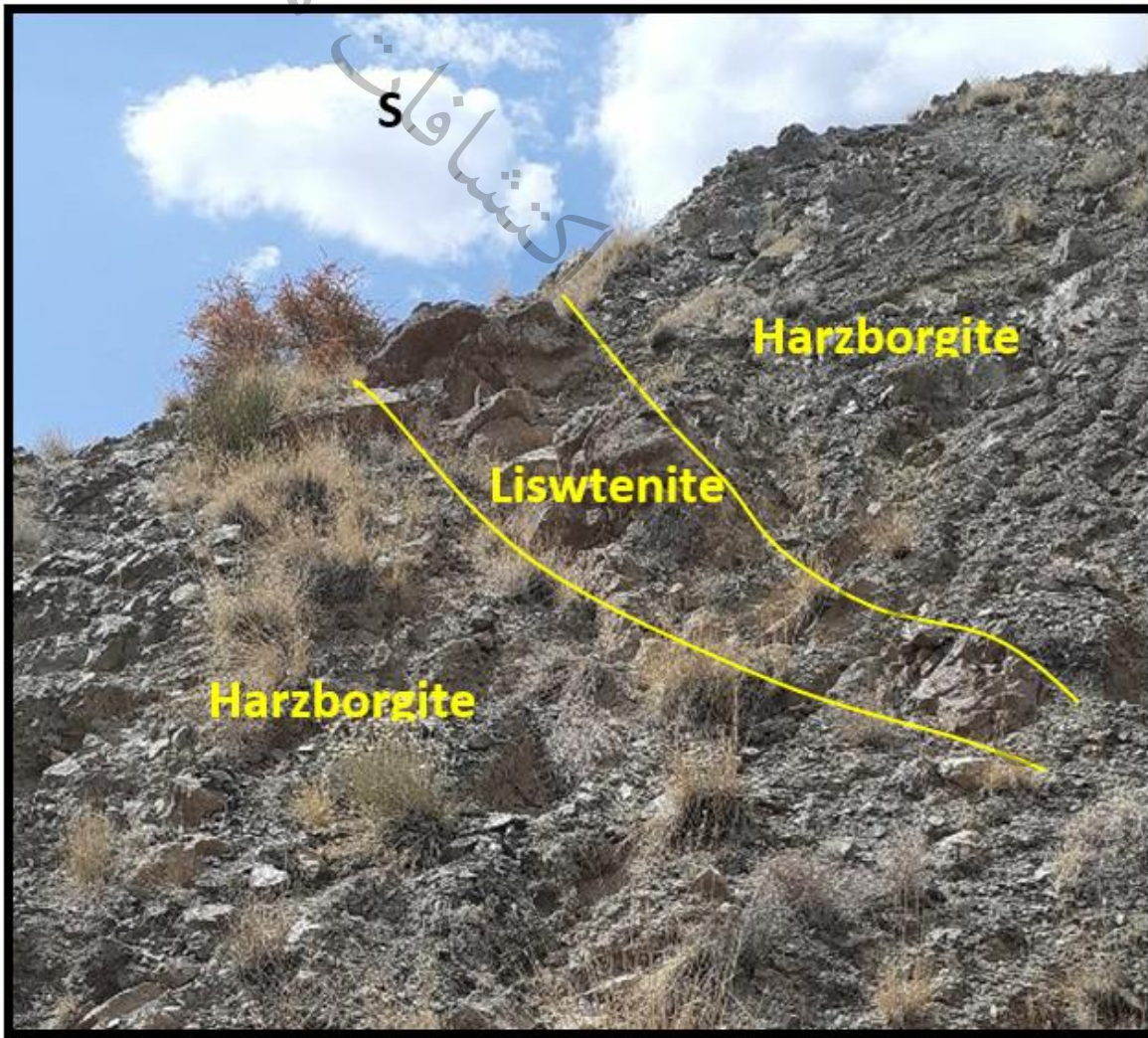
عکس ۴-۱۳۰- نمایی از کانی کرومیت در نمونه BIRG2S79TP



عکس ۴-۱۳۱- نمایی از کانی هماتیت در نمونه BIRG2S79TP



عکس ۴-۱۳۲- نمایی از ضخامت رگه لیستونیتی با سنگ میزبان اولترامافیکی. نمونه BIRG2S79



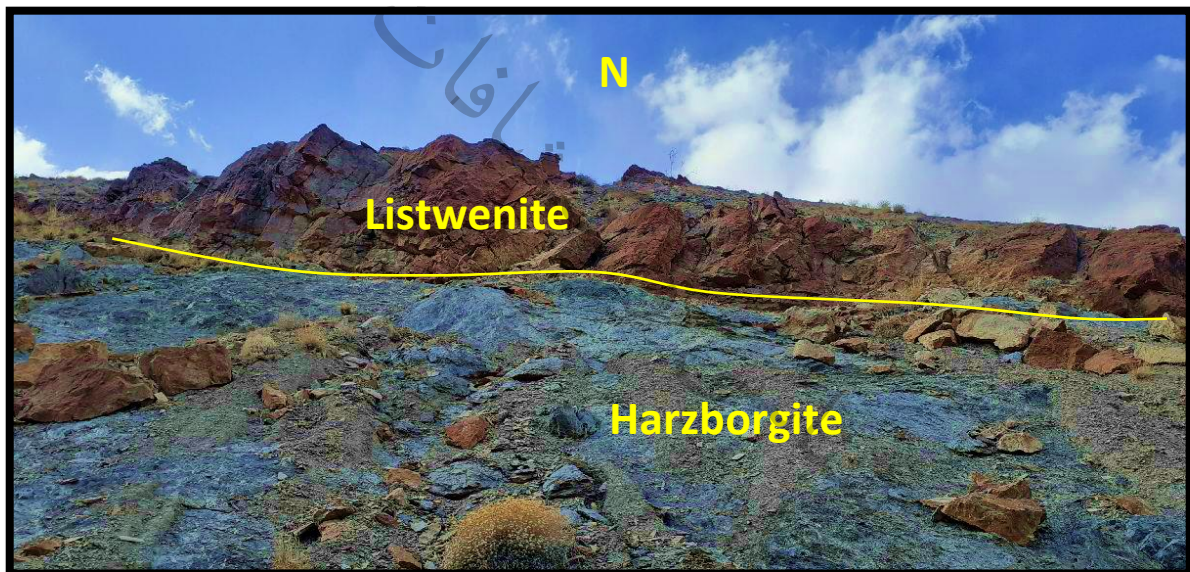
عکس ۴-۱۳۳- نمایی از یک رگه لیستونیتی با سنگ میزبان هارزبورژیتی. نمونه BIRG2S79

نمونه **BIRG2S81** از یک رگه لیستونیتی به صورت موازی در امتداد شمالی - جنوبی به طول ۲۰۰ متر و ضخامت ۲ تا ۵ متر برداشت گردید (جدول ۸۸-۴ و عکس ۱۳۴-۴).

جدول ۸۸-۴ - آنالیز عنصری به روشن ICP در نمونه BIRG2S81

Sample	X	Y	Au	Ag	Al	As	Ba	Be
BIRG-2-S81	726130	3620416	5	0.5	2681	2.2	46	1
Ca	Cd	Ce	Co	Cr	Cu	Fe	K	La
54002	0.29	2	34	1316	10	26534	116	1
Li	Mg	Mn	Mo	Na	Ni	P	Pb	S
20	2%	609	0.5	298	706	31	3	194
Sb	Sc	Sr	Th	Ti	U	V	Y	Yb
1.29	2.9	360	5	46	5	23	1	0.2
Zn	Zr							
14	5							

در این نمونه عناصر نیکل (706 ppm) و کروم (1316 ppm) ناهنجاری نشان می‌دهد.



عکس ۱۳۴-۴ - نمایی از یک رگه لیستونیتی با سنگ میزبان هارزبورژیتی. نمونه BIRG2S81

-نمونه **BIRG2S82** از یک رگه لیستونیتی در امتداد شمال شرق-جنوب غرب به طول ۳۰۰ متر و ضخامت ۳ متر برداشت گردید (جدول ۸۹-۴ و عکس ۱۳۷-۴).

جدول ۸۹-۴- آنالیز عنصری به روش ICP در نمونه BIRG2S82

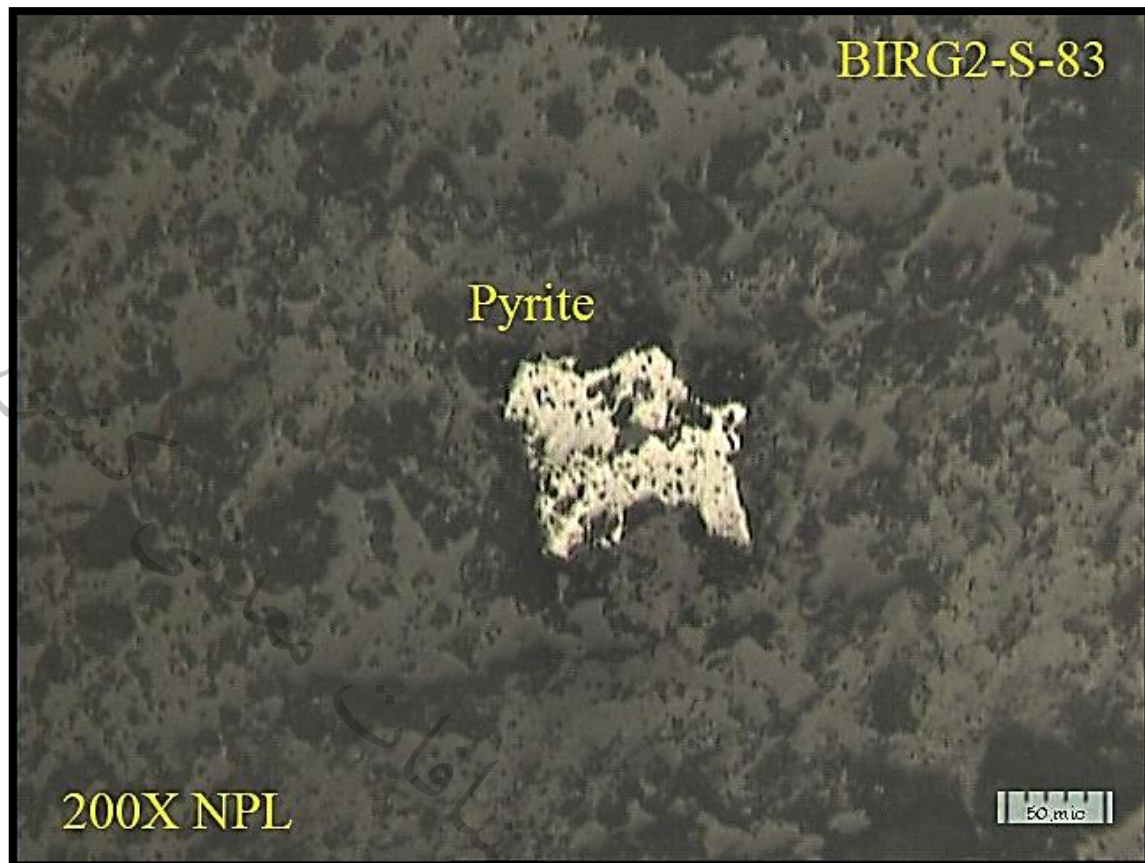
Sample	X	Y	Au	Ag	Al	As	Ba	Be
BIRG-2-S82	726134	3620305	5	0.5	3370	100	33	1
Ca	Cd	Ce	Co	Cr	Cu	Fe	K	La
83862	0.7	1	20	895	12	18024	550	2
Li	Mg	Mn	Mo	Na	Ni	P	Pb	S
21	2%	701	0.52	312	449	38	4	337
Sb	Sc	Sr	Th	Ti	U	V	Y	Yb
34.9	2.3	952	5	62	5	18	1	0.2
Zn	Zr							
15	5							

در این نمونه عنصر کروم (895 ppm) ناهنجاری نشان می‌دهد.

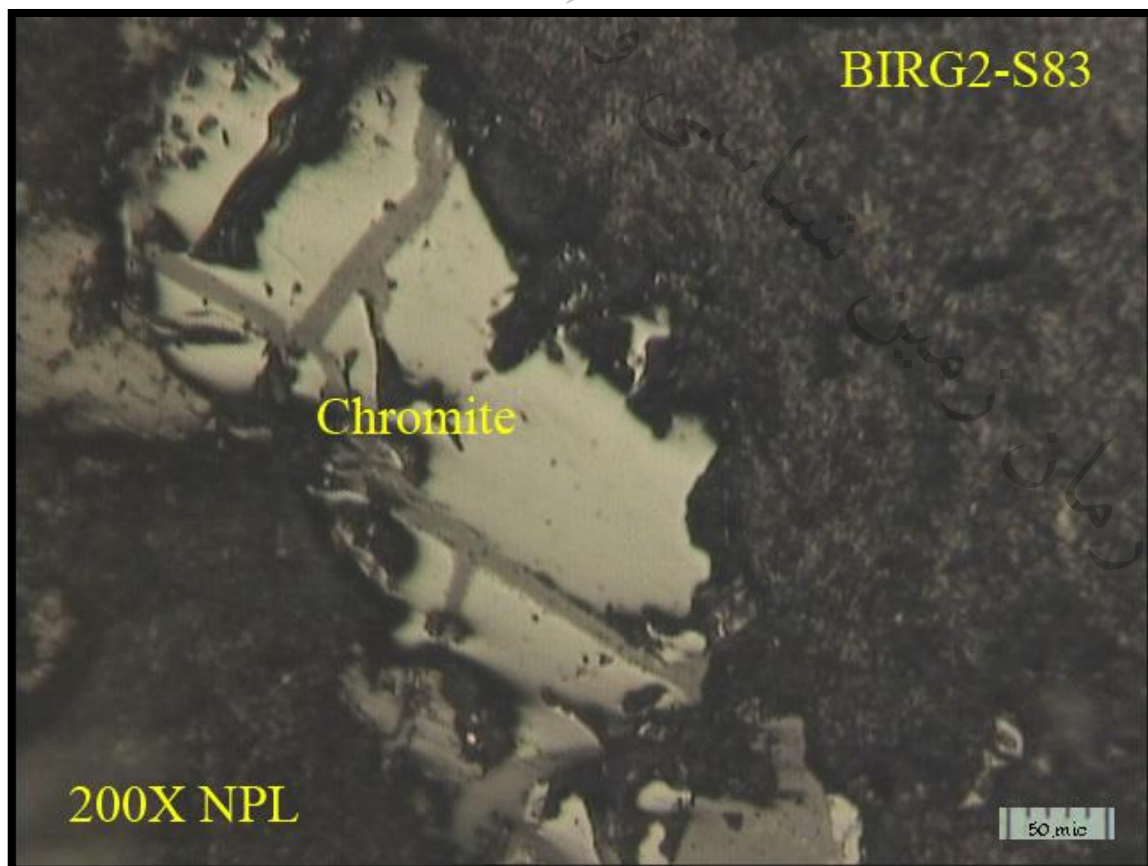
از این رگه به جهت تعیین فازهای کانی سازی نمونه **BIRG2S83TP** به جهت مطالعات مینرالوگرافی برداشت گردید (عکس‌های ۱۳۵-۴ و ۱۳۶-۴).

کانی فلزی: پیریت، کرومیت

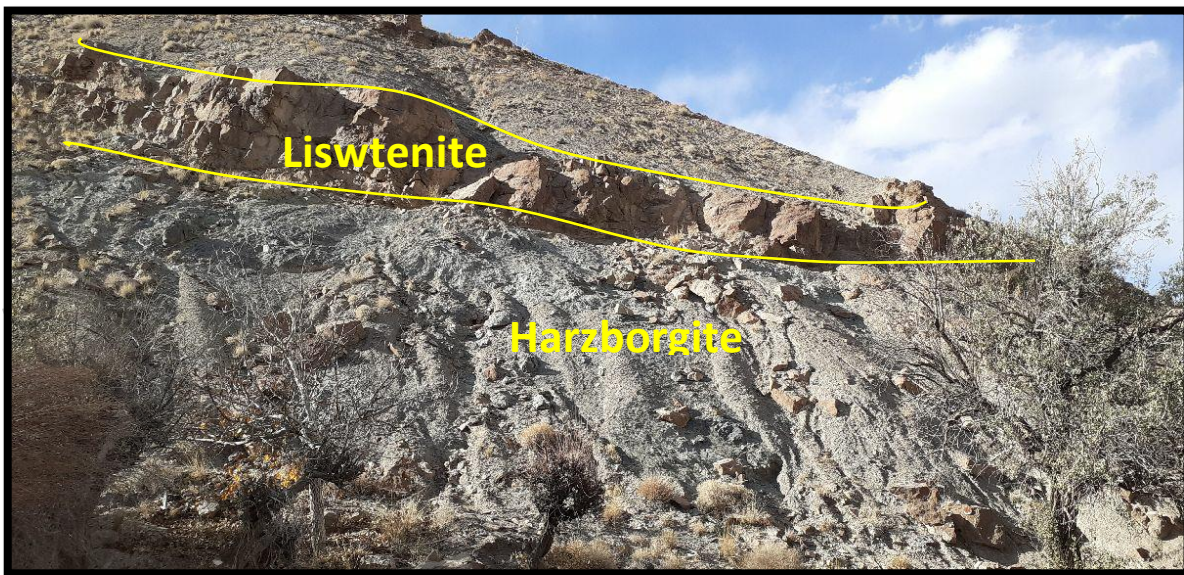
- **پیریت:** کریستال‌های کوچک این کانی در اندازه‌ای کمتر از ۶۰ میکرون به تعداد چند دلنه با شکل هندسی نامشخص و بافت پرکننده فضای باز کانی سازی کرده‌اند.
- **کرومیت:** کریستال‌های کرومیت در اندازه‌ای ما بین ۱۰ الی ۱۰۰ میکرون با بافت Open Space در فضاهای باز سنگ میزبان کانی‌سازی کرده و به تعداد انگشت شمار قابل مشاهده است.



عکس ۴-۱۳۵- نمایی از یک کانی پیریت در نمونه BIRG2S83TP



عکس ۴-۱۳۶- نمایی از کانی کرومیت که در شکستگی‌ها به اکسید آهن تبدیل شده است. نمونه BIRG2S83TP

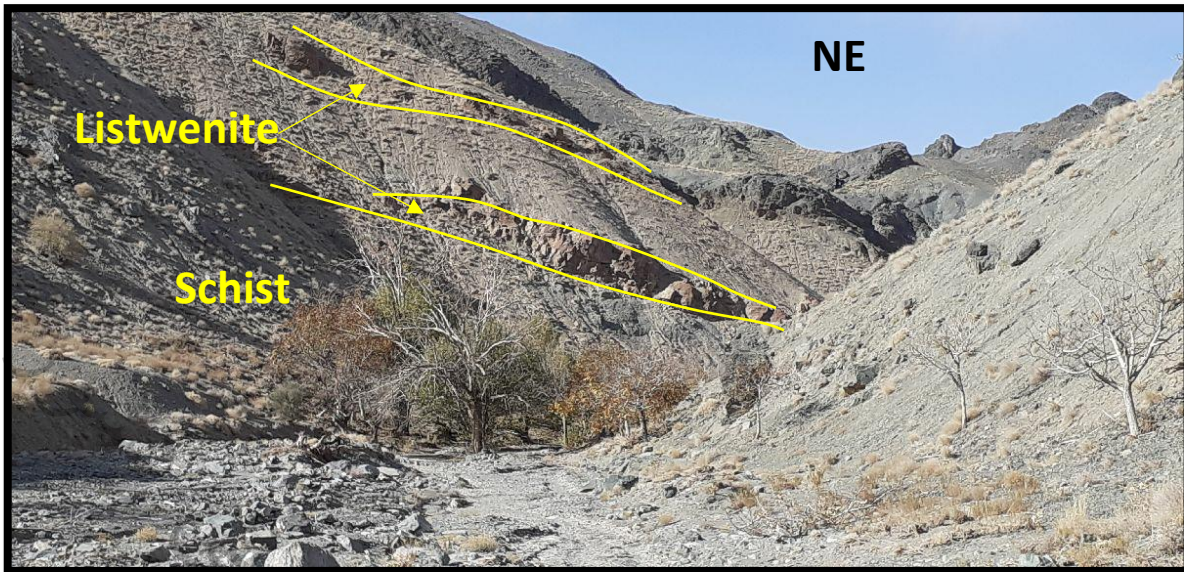


عکس ۴-۱۳۷- نمایی از یک رگه لیستونیتی با سنگ میزبان هارزبورزیتی. نمونه BIRG2S82

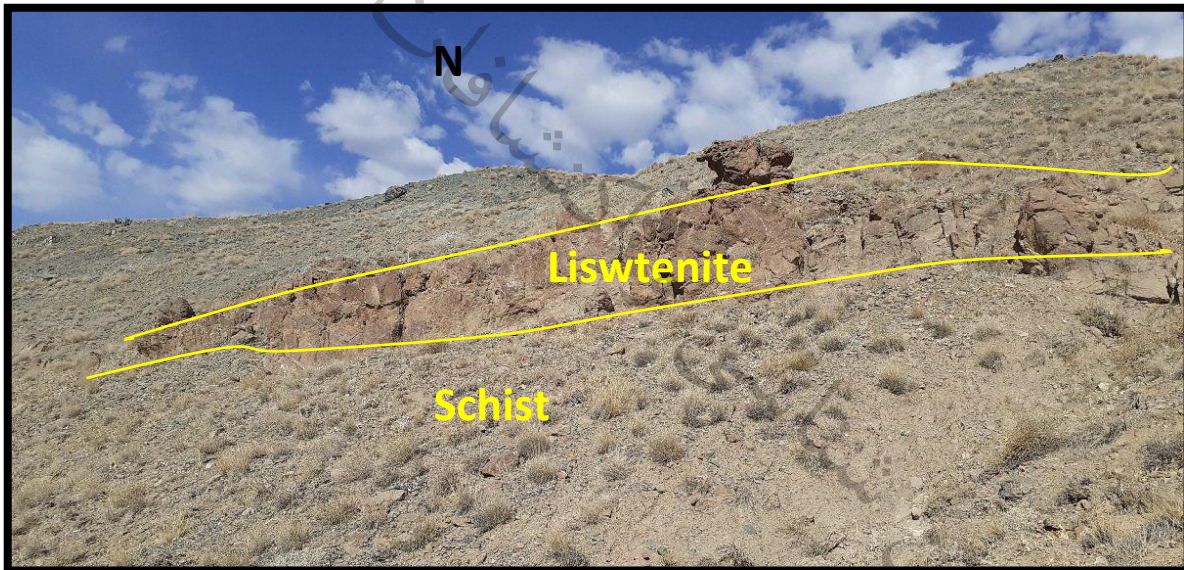
- نمونه BIRG2S84 از یک رگه لیستونیتی در امتداد شمال غرب-جنوب شرق به طول ۲۰۰ متر و ضخامت ۳ تا ۴ متر برداشت شد که به موازات هم تکرار می‌شوند (جدول ۹۰-۴ و عکس‌های ۱۳۸-۴ و ۱۳۹-۴).

جدول ۹۰-۴- آنالیز عنصری به روشن ICP در نمونه BIRG2S84

Sample	X	Y	Au	Ag	Al	As	Ba	Be
BIRG-2-S84	726212	3620104	5	0.52	3496	7.7	41	1
Ca	Cd	Ce	Co	Cr	Cu	Fe	K	La
63645	0.25	2	53	1196	7	29647	611	1
Li	Mg	Mn	Mo	Na	Ni	P	Pb	S
36	2%	504	0.52	645	994	34	4	279
Sb	Sc	Sr	Th	Ti	U	V	Y	Yb
16.2	4.4	479	5	82	5	21	1	0.3
Zn	Zr							
44	5							



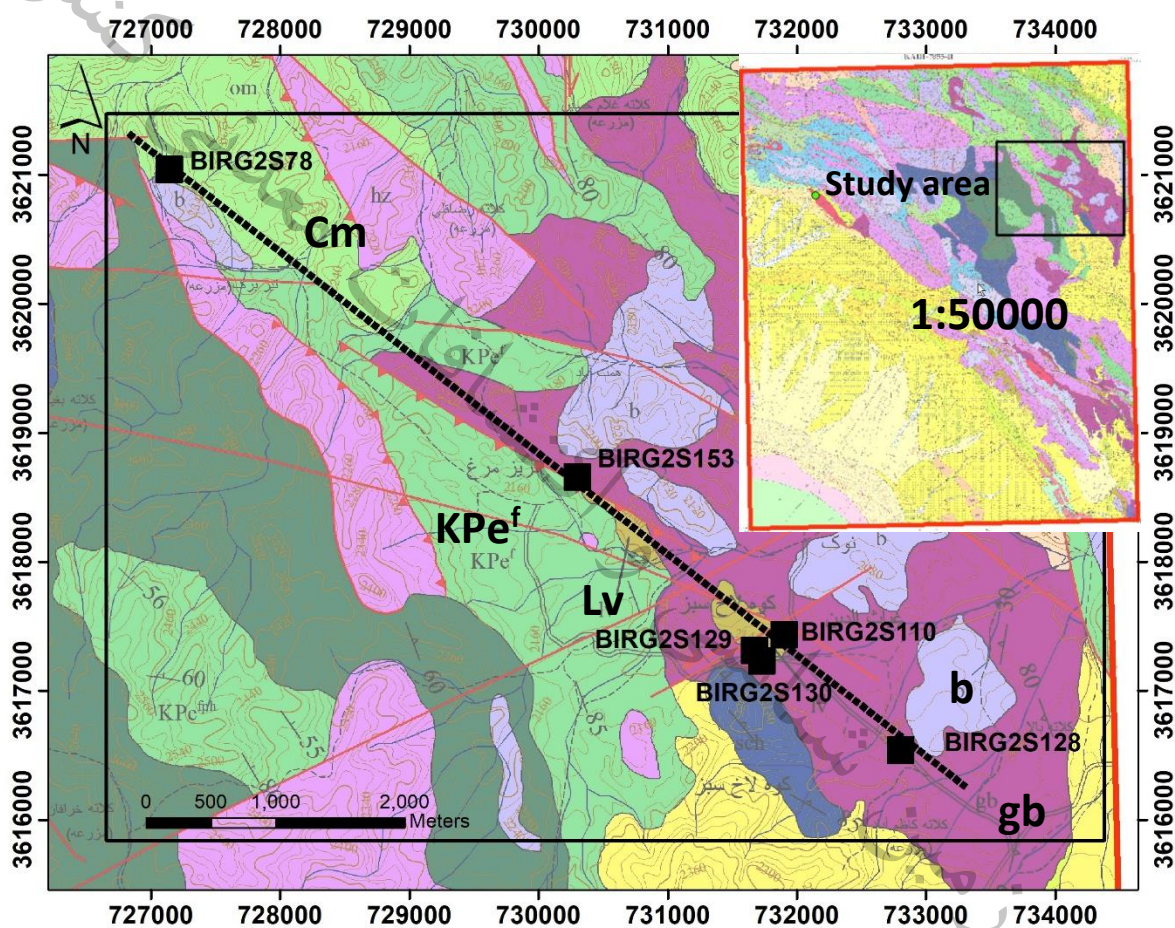
عکس ۴-۱۳۸- نمایی از رگه‌های لیستونیتی با سنگ میزبان کالک شیستی. نمونه BIRG2S84



عکس ۴-۱۳۹- نمایی نزدیک از یک رگه لیستونیتی با سنگ میزبان کالک شیستی. نمونه BIRG2S84

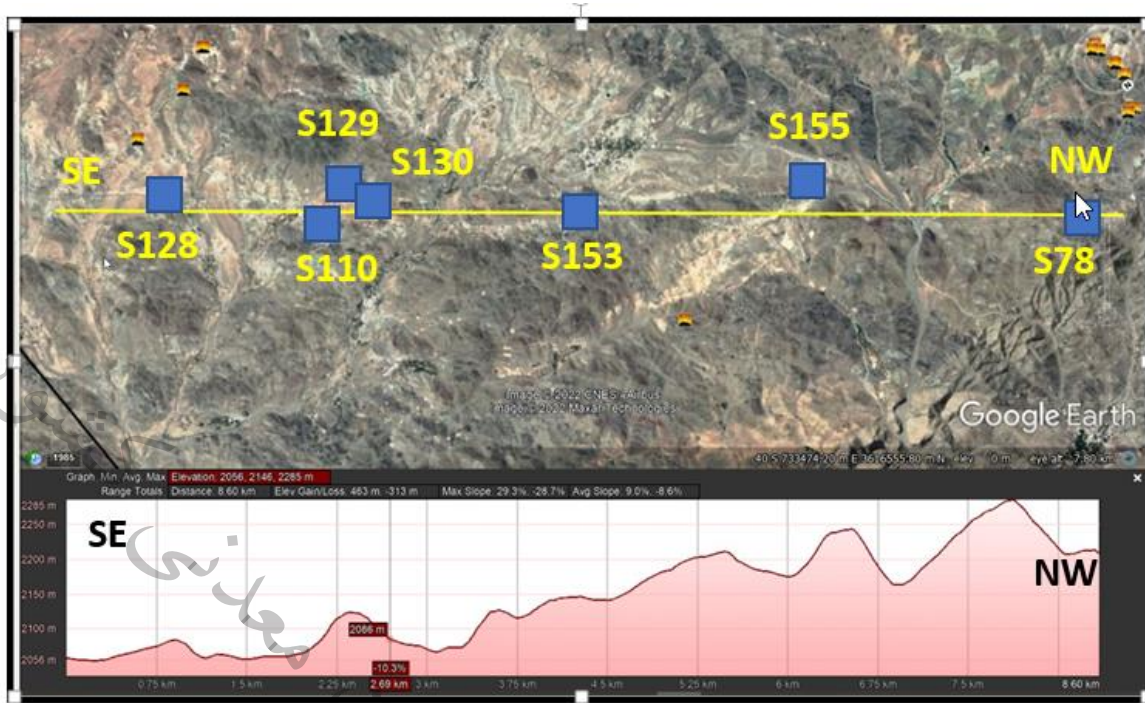
۱۷-۲-۴: پروفیل (۱۷)

شروع پیمایش در این پروفیل از مختصات X: 726,812 و Y: 3,621,306 در آzymot ۱۲۸ درجه به طول ۸۵۲۹ متر بوده است. در این مسیر پیمایش شده تعداد ۶ نمونه برداشت شد. نمونه‌های اخذ شده بر اساس نقشه زمین‌شناسی ۱:۵۰۰۰۰ در واحدهای ولکانیکی بازالتی، گابرو، شیل، سیلت، ماسه سنگ، فیلیت، گریوک و همچنین مجموعه افیولیتی و همچنین لیستونیت‌ها قرار گرفته است (شکل‌های ۳۵-۴ و ۳۶-۴). در ادامه به شرح نمونه‌های اخذ شده در این پروفیل پرداخته می‌شود:



شکل ۴-۳۵- نمونه‌های برداشت شده در امتداد پروفیل (۱۷) و زمین‌شناسی مربوطه (اقتباس از نقشه ۱:۵۰۰۰۰ کاھی)

Cm: Collered mélange gb: Gabbro KPe^f: Phyllite Lv: Listwenite b: Basalt



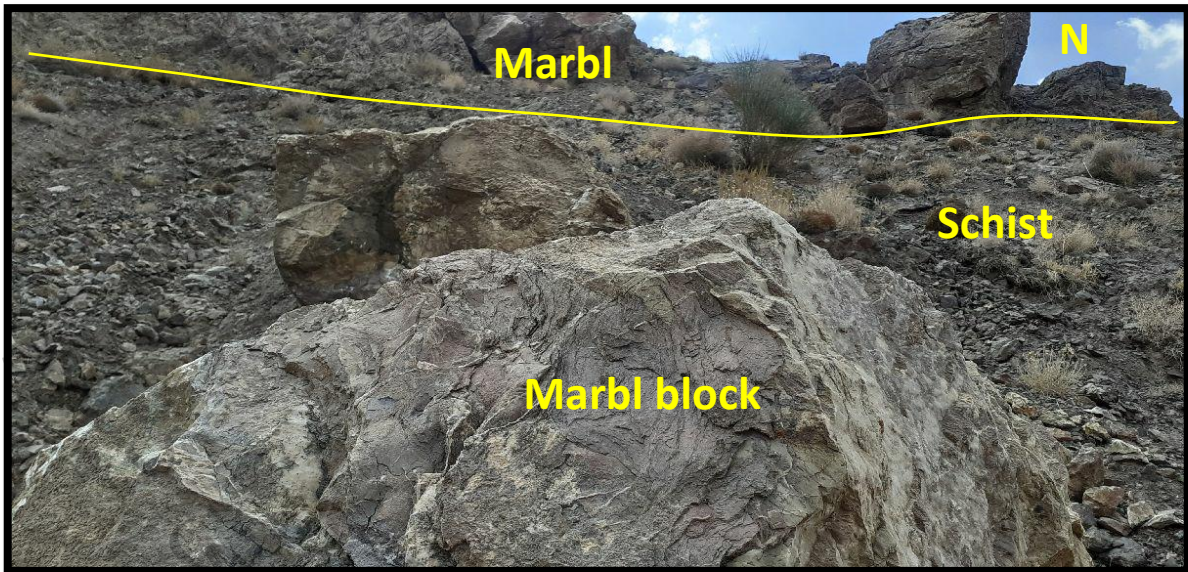
شکل ۴-۳۶- نمایی از پروفیل (۱۷) در تصویر ماهواره‌ای به همراه مقطع عرضی آن.

- نمونه BIRG2S78 از یک رگه مرمریتی در امتداد شرقی- غربی به طول ۳۰ متر و ضخامت ۳ متر در

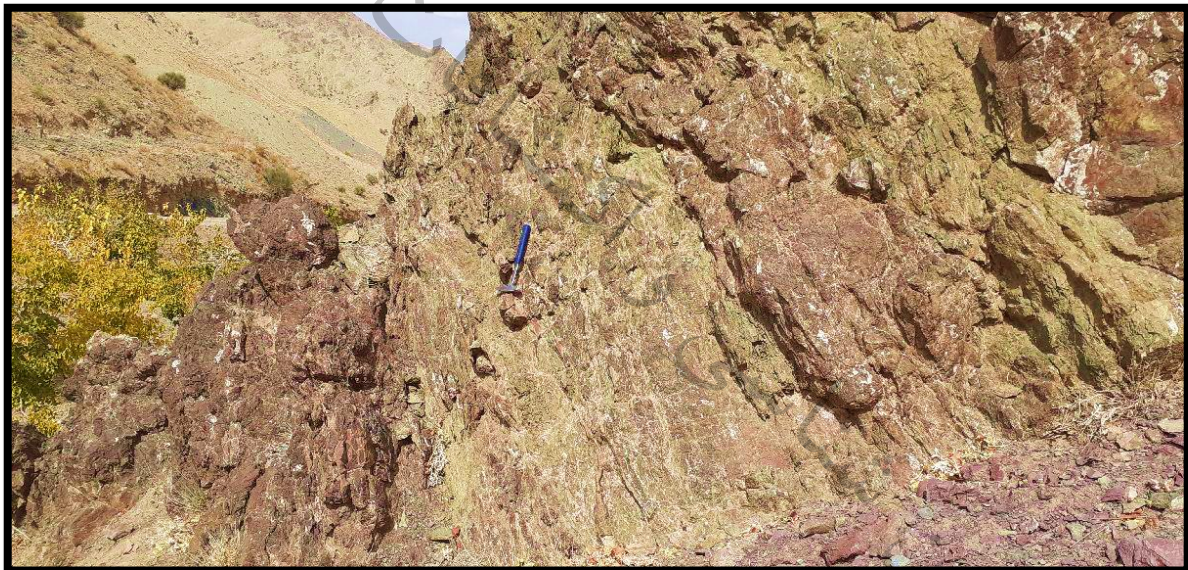
سنگ میزبان شیستی برداشت شد (جدول ۴-۹۱ و عکس‌های ۱۴۰-۴ و ۱۴۱-۴).

جدول ۴-۹۱- آنالیز عنصری به روشن ICP در نمونه BIRG2S78

Sample	X	Y	Au	Ag	Al	As	Ba	Be
BIRG-2-S78	727130	3621015	5	0.82	25627	1.9	16	1
Ca	Cd	Ce	Co	Cr	Cu	Fe	K	La
10%	0.7	3	10	76	28	15156	1512	4
Li	Mg	Mn	Mo	Na	Ni	P	Pb	S
23	7069	518	0.5	4888	50	286	4	155
Sb	Sc	Sr	Th	Ti	U	V	Y	Yb
0.96	7.9	190	5	707	5	53	10	1
Zn	Zr							
19	7							



عکس ۴-۱۴۰- نمایی از یک رگه مرمریتی با سنگ میزبان شیستی اپیدوتی شده. نمونه BIRG2S78

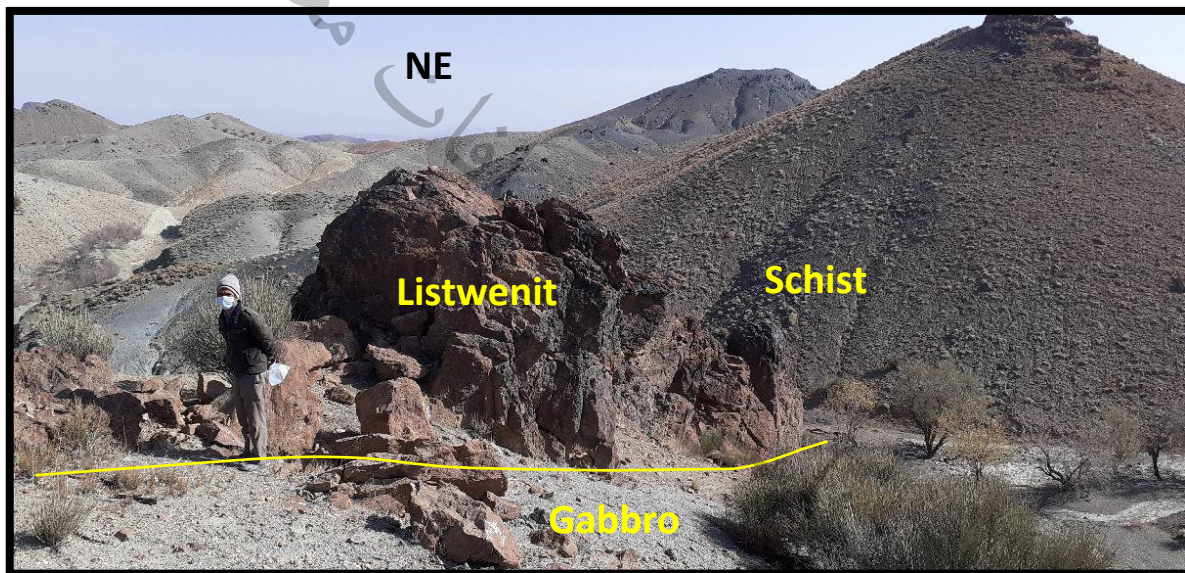


عکس ۴-۱۴۱- نمایی از سنگ میزبان شیستی اپیدوتی شده.

-نمونه **BIRG2S155** از یک رگه لیستونیتی به ضخامت ۳ متر و طول ۸۰ متر در امتداد شمال غرب-جنوب شرق در مرز سنگ گابرویی و شیستی آلتره برداشت شد (جدول ۹۲-۴ و عکس‌های ۱۴۲-۴ و ۱۴۳-۴).

جدول ۹۲-۴- آنالیز عنصری به روشن ICP در نمونه **BIRG2S155**

Sample	X	Y	Au	Ag	Al	As	Ba	Be
BIRG2S155	728711	3619533	5	0.5	1985	2.3	15	1
Ca	Cd	Ce	Co	Cr	Cu	Fe	K	La
10%	0.19	1	48	1034	9	29318	100	1
Li	Mg	Mn	Mo	Na	Ni	P	Pb	S
13	2%	934	0.5	362	898	27	4	353
Sb	Sc	Sr	Th	Ti	U	V	Y	Yb
1.32	7.6	377	5	39	5	26	1	0.6
Zn	Zr							
20	5							



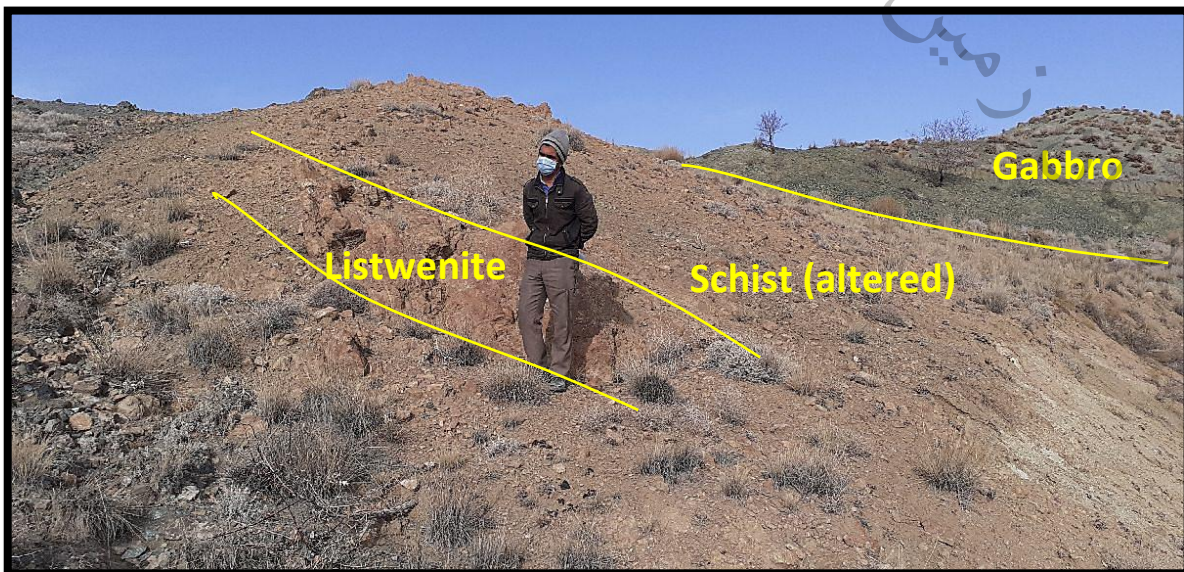
عکس ۹۲-۴- نمایی از یک رگه لیستونیتی در مرز شیست و گابرو. نمونه **BIRG2S155**



عکس ۴-۱۴۳- نمایی نزدیک از نمونه BIRG2S155 برداشت شده از رگه لیستونیتی.
نمونه BIRG2S153 از یک رگه لیستونیتی به ضخامت ۲ متر و طول ۵۰ متر در در مرز سنگ گابرویی و شیستی آلتله برداشت شد (جدول ۹۳-۴ و عکس‌های ۱۴۴-۴ و ۱۴۵-۴).

جدول ۹۳-۴- آنالیز عنصری به روش ICP در نمونه BIRG2S153

Sample	X	Y	Au	Ag	Al	As	Ba	Be
BIRG2S153	730262	3618639	5	0.5	1569	2.4	9	1
Ca	Cd	Ce	Co	Cr	Cu	Fe	K	La
15378	0.17	1	71	934	3	34432	161	1
Li	Mg	Mn	Mo	Na	Ni	P	Pb	S
29	2%	551	0.51	762	1422	40	4	357
Sb	Sc	Sr	Th	Ti	U	V	Y	Yb
1.17	4.6	82	5	28	5	16	0.5	0.4
Zn	Zr							
31	5							



عکس ۴-۱۴۴- نمایی از یک رگه لیستونیتی در مرز شیست و گابرو. نمونه BIRG2S153



عکس ۴-۱۴۵- نمایی نزدیک از نمونه BIRG2S153 برداشت شده از رگه لیستونیتی.

-نمونه‌های BIRG2S129 و BIRG2S130 از یک رگه لیستونیتی در امتداد شمال غرب-جنوب شرق به ضخامت ۲ تا ۳ متر و طول بیش از ۳۰۰ متر در مرز شیست و گابرو برداشت گردید (جداول ۴-۹۵ و ۴-۹۶ و عکس‌های ۱۴۸-۴ تا ۱۴۶-۴).

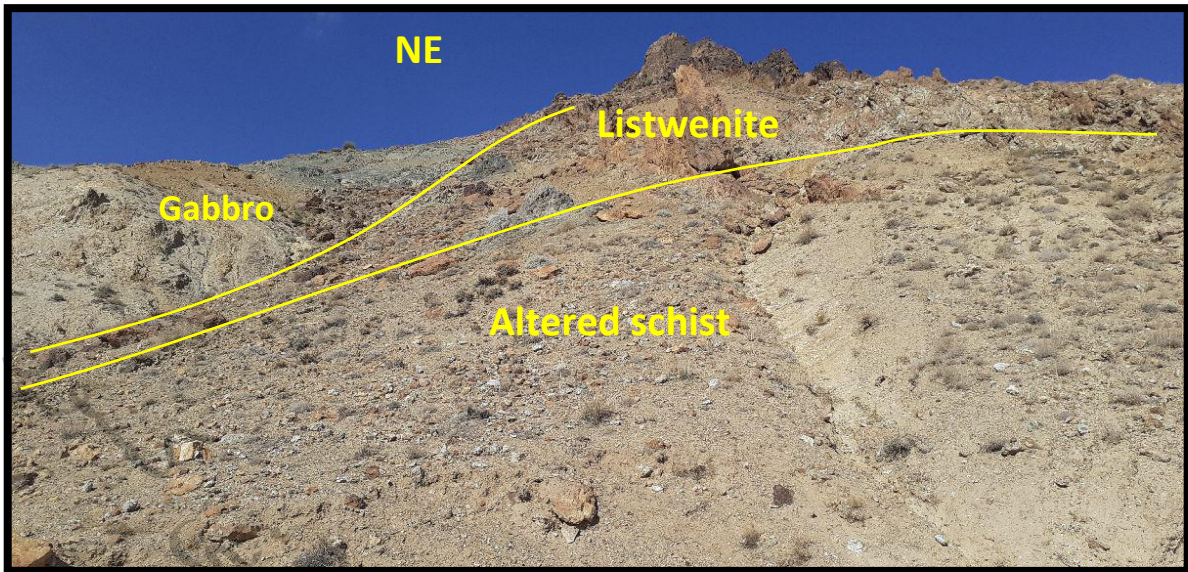
جدول ۴-۹۴- آنالیز عنصری به روش ICP در نمونه BIRG2S129

Sample	X	Y	Au	Ag	Al	As	Ba	Be
BIRG2S129	731635	3617278	5	0.5	3762	12.1	9	1
Ca	Cd	Ce	Co	Cr	Cu	Fe	K	La
38830	0.2	1	33	1505	9	16781	356	1
Li	Mg	Mn	Mo	Na	Ni	P	Pb	S
8	2%	585	0.57	879	600	32	4	567
Sb	Sc	Sr	Th	Ti	U	V	Y	Yb
1.33	6.1	128	5	68	5	63	2	0.5
Zn	Zr							
36	5							

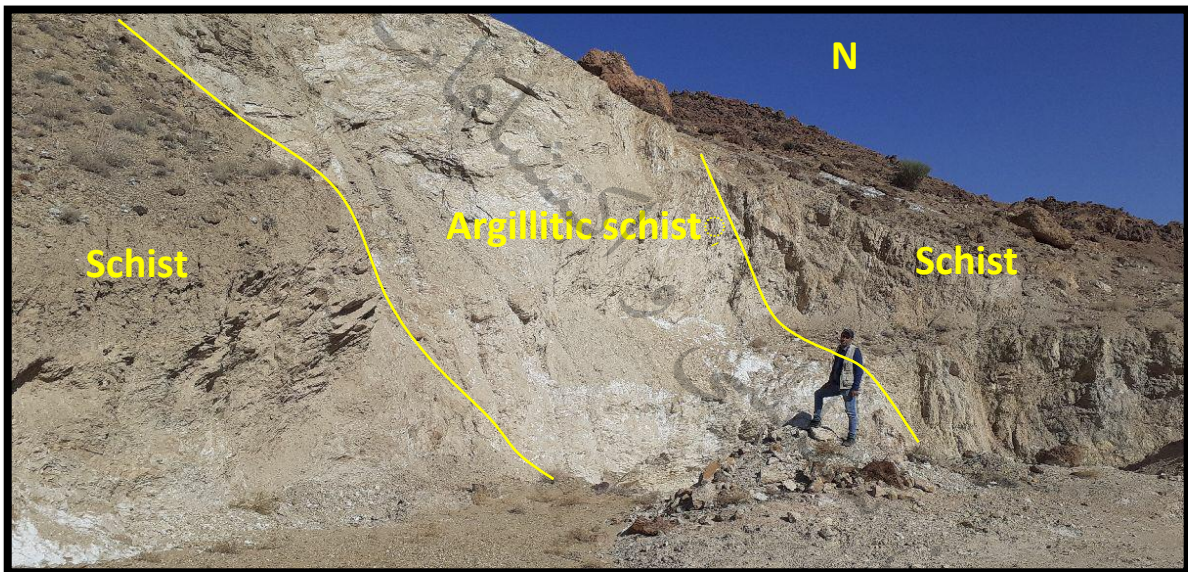
جدول ۴-۹۵- آنالیز عنصری به روش ICP در نمونه BIRG2S130

Sample	X	Y	Au	Ag	Al	As	Ba	Be
BIRG2S130	731635	3617278	5	0.5	78868	9.6	283	1.6
Ca	Cd	Ce	Co	Cr	Cu	Fe	K	La
17267	0.19	55	12	89	28	28180	21850	28
Li	Mg	Mn	Mo	Na	Ni	P	Pb	S
33	12218	623	0.52	4528	62	510	10	1357
Sb	Sc	Sr	Th	Ti	U	V	Y	Yb
1.1	12.2	84	5	3178	5	86	23	2.4
Zn	Zr							
59	104							

در این نمونه عناصر منیزیم (1357 ppm) و گوگرد (12218 ppm) ناهنجاری نشان می‌دهد.



عکس ۴-۱۴۶- نمایی از یک رگه لیستونیتی در مرز شیست و گابرو. نمونه‌های BIRG2S129 و BIRG2S130



عکس ۴-۱۴۷- نمایی از یک آلتراسیون آرژیلی با سنگ میزبان شیستی

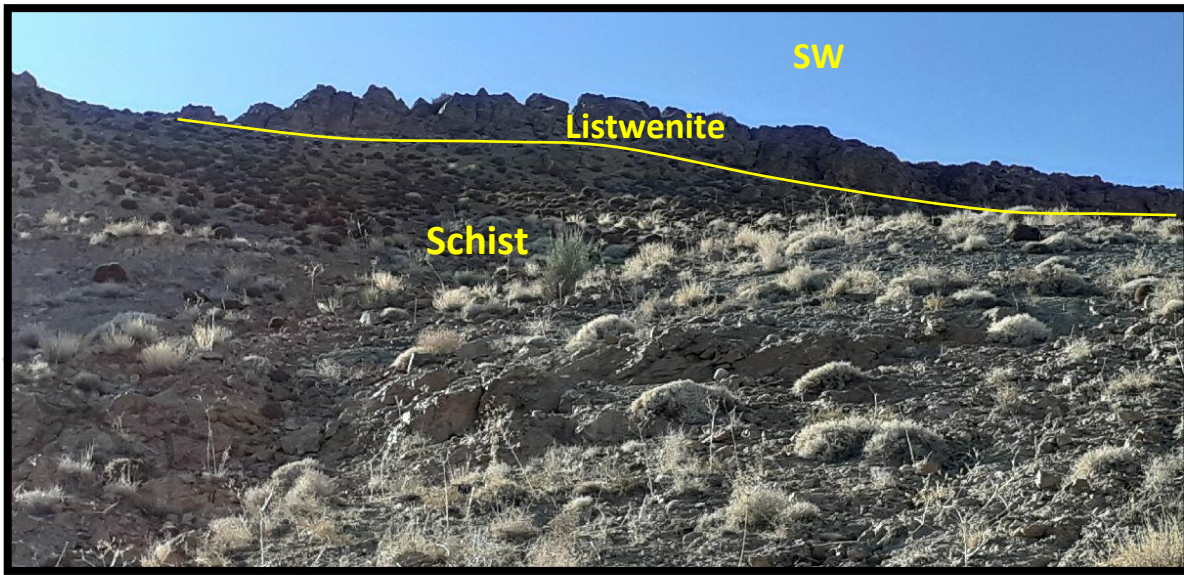


عکس ۴-۱۴۸- نمایی نزدیک از کانی سازی فوکسیتی سبز رنگ در رگه لیستونیتی نمونه BIRG2S129

-نمونه BIRG2S110 از ضلع شمال شرق رگه لیستونیتی بالا در امتداد شمال غرب-جنوب شرق به ضخامت ۲ تا ۳ متر و طول بیش از ۳۰۰ متر با سنگ میزبان شیستی برداشت گردید (جدول ۴-۹۶ و عکس‌های ۴-۱۴۹ و ۴-۱۵۰). در این رگه لیستونیتی اثرات اکسید آهن هم مشاهده می‌گردد.

جدول ۴-۹۶- آنالیز عنصری به روش ICP در نمونه BIRG2S110

Sample	X	Y	Au	Ag	Al	As	Ba	Be
BIRG2S110	731867	3617413	5	0.5	2037	30.3	68	1
Ca	Cd	Ce	Co	Cr	Cu	Fe	K	La
36113	0.2	1	55	592	20	25127	249	1
Li	Mg	Mn	Mo	Na	Ni	P	Pb	S
10	2%	850	0.65	512	948	90	3	459
Sb	Sc	Sr	Th	Ti	U	V	Y	Yb
1.05	6.9	77	5	50	5	23	2	0.5
Zn	Zr							
28	5							



عکس ۴-۱۴۹- نمایی دور از یک رگه لیستونیتی در سنگ میزبان شیستی



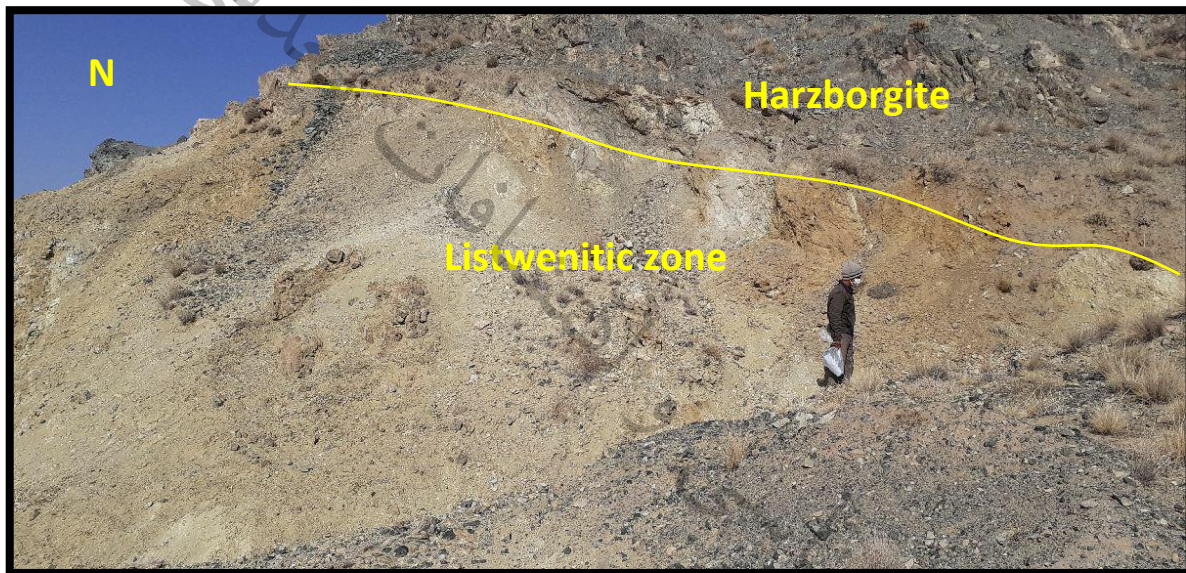
عکس ۴-۱۵۰- نمایی نزدیک از رگه لیستونیتی سیلیسی مورد نظر. نمونه BIRG2S110 همراه با اثرات اکسید آهن

- نمونه BIRG2S128 از زون آلتره آرژیلی-لیمونیتی با پچهای لیستونیتی کوچک در امتداد شمال غرب-جنوب شرق به ضخامت ۱۰ متر و طول ۵۰ متر با سنگ میزبان هارزبورژیتی برداشت گردید (جدول ۴-۹۷) و عکس‌های ۱۵۱-۴ و ۱۵۲-۴.

جدول ۴-۹۷- آنالیز عنصری به روش ICP در نمونه BIRG2S128

Sample	X	Y	Au	Ag	Al	As	Ba	Be
BIRG2S128	732766	3616522	5	0.5	4079	2.4	40	1
Ca	Cd	Ce	Co	Cr	Cu	Fe	K	La
10094	0.19	2	55	1230	14	33264	530	1
Li	Mg	Mn	Mo	Na	Ni	P	Pb	S
22	2%	522	0.5	770	1132	34	3	357
Sb	Sc	Sr	Th	Ti	U	V	Y	Yb
1.46	6.2	116	5	105	5	20	1	0.5
Zn	Zr							
35	5							

در این نمونه عناصر کروم (1230 ppm) و نیکل (1132 ppm) ناهنجاری نشان می‌دهند.



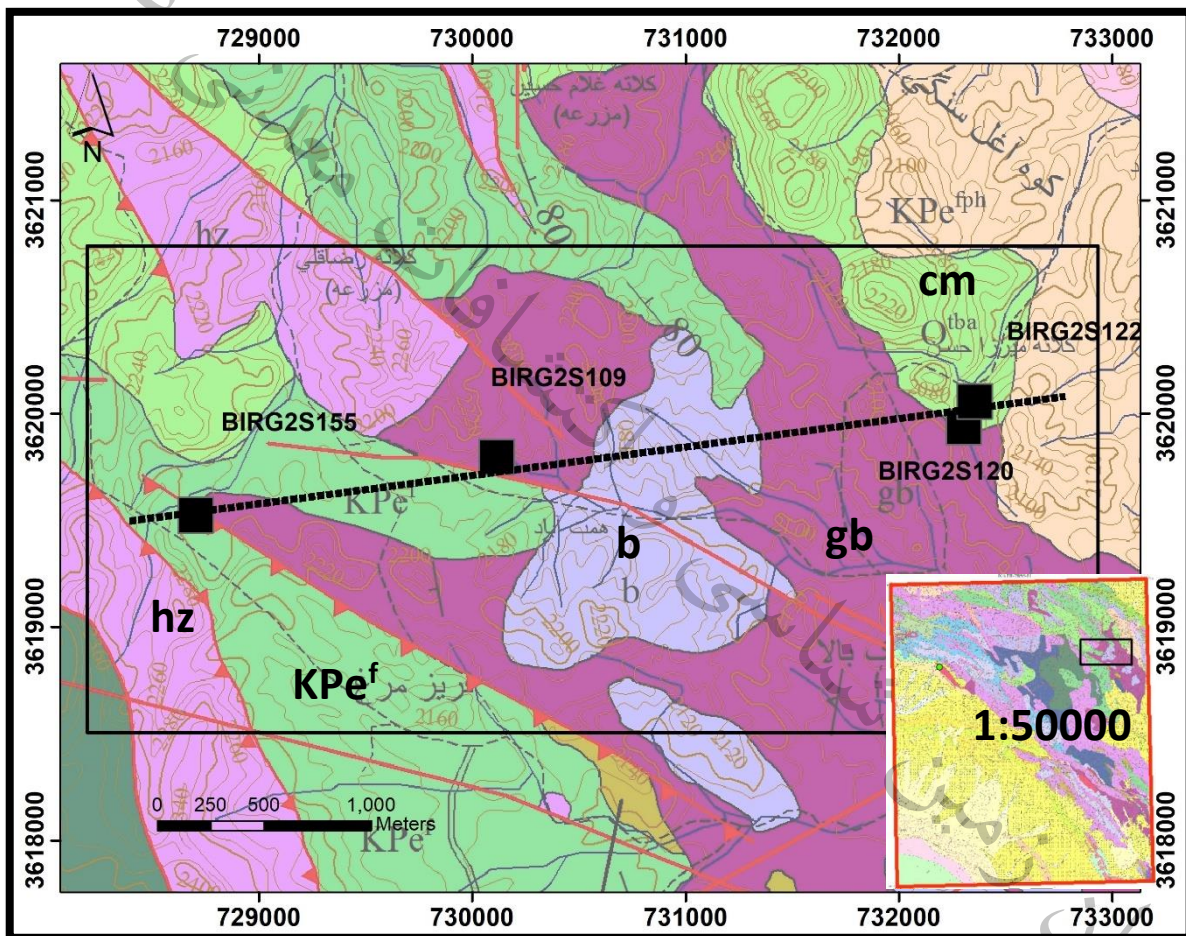
عکس ۴-۱۵۱- نمایی از یک زون لیستونیتی لیمونیتی در سنگ هارزبورژیتی. نمونه BIRG2S128



عکس ۴-۱۵۲- نمایی نزدیک از نمونه برداری از رگه لیسونیتی دارای کانی‌های فوکسیتی سبز. نمونه BIRG2S128

۱۸-۲-۴-پروفیل (۱۸):

شروع پیمایش در این پروفیل از مختصات $X: 728,367$ و $Y: 3,619,496$ در آزیمoot ۸۲ درجه به طول ۴۶۴۴ متر بوده است. در این مسیر پیمایش شده تعداد ۴ نمونه برداشت شد. نمونه‌های اخذ شده بر اساس نقشه زمین‌شناسی ۱:۵۰۰۰۰ در واحدهای ولکانیکی بازلتی، گابرو، شیل، سیلت، ماسه سنگ، فیلیت، گریوک و همچنین مجموعه افیولیتی قرار گرفته است (شکل‌های ۳۷-۴ و ۳۸-۴). در ادامه به شرح نمونه‌های اخذ شده در این پروفیل پرداخته می‌شود:



شکل ۴-۳۷- نمونه‌های برداشت شده در امتداد پروفیل (۱۸) و زمین‌شناسی مربوطه (اقتباس از نقشه ۱:۵۰۰۰۰ کاھی)

Cm: Collered mélange gb: Gabbro KPe^f: Phyllite hz: Harzborgite b: Basalt

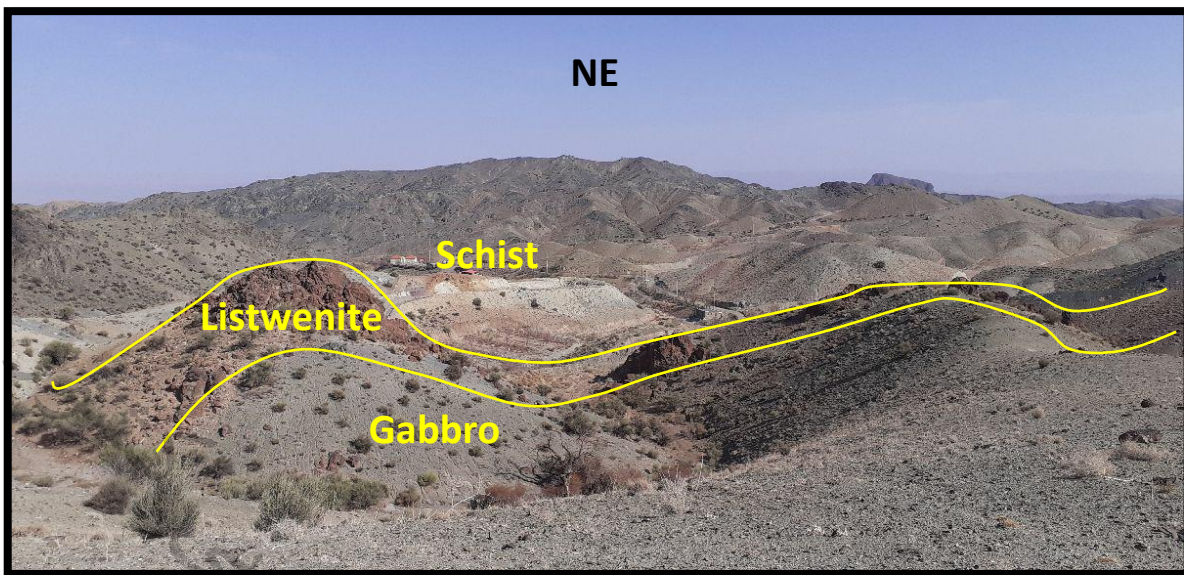


شکل ۴-۳۸- نمایی از پروفیل (۱۸) در تصویر ماهواره‌ای به همراه مقطع عرضی آن.

-نمونه BIRG2S155 از یک رگه لیستونیتی به ضخامت ۳ متر و طول ۸۰ متر در امتداد شمال غرب-جنوب شرق در مرز سنگ گابرویی و شیستی آلتره برداشت شد (جدول ۹۸-۴ و عکس‌های ۱۵۳-۴ و ۱۵۴-۴).

جدول ۹۸-۴- آنالیز عنصری به روشن ICP در نمونه BIRG2S155

Sample	X	Y	Au	Ag	Al	As	Ba	Be
BIRG2S155	728711	3619533	5	0.5	1985	2.3	15	1
Ca	Cd	Ce	Co	Cr	Cu	Fe	K	La
10%	0.19	1	48	1034	9	29318	100	1
Li	Mg	Mn	Mo	Na	Ni	P	Pb	S
13	2%	934	0.5	362	898	27	4	353
Sb	Sc	Sr	Th	Ti	U	V	Y	Yb
1.32	7.6	377	5	39	5	26	1	0.6
Zn	Zr							
20	5							



عکس ۴-۱۵۳- نمایی از یک رگه لیستونیتی در مرز شیست و اولترامافیک. نمونه BIRG2S155

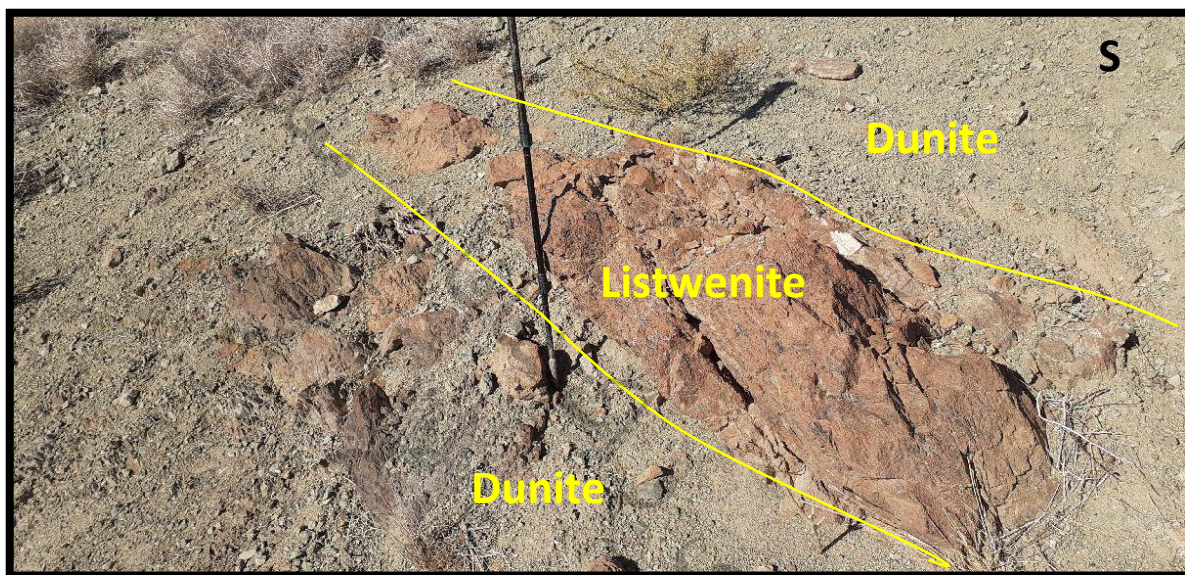


عکس ۴-۱۵۴- نمایی نزدیک از نمونه BIRG2S155 برداشت شده از رگه لیستونیتی.

-نمونه BIRG2S109 از یک رگه لیستونیتی به ضخامت ۱ متر و طول ۲۰ متر در امتداد شمال غرب-جنوب شرق در مرز سنگ دونیتی و شیستی آلتنه و بیشتر درون سنگ دونیتی برداشت شد (جدول ۴-۹۹ و عکس ۴-۱۵۵). کانی‌های سیلیس، لیمونیت و کربنات در سنگ لیستونیتی مشاهده می‌گردد. نمونه برداری به صورت چیپ سمپلینگ بوده است.

جدول ۴-۹۹- آنالیز عنصری به روش ICP در نمونه BIRG2S109

Sample	X	Y	Au	Ag	Al	As	Ba	Be
BIRG2S109	730115	3619811	5	0.5	9571	4.5	24	1
Ca	Cd	Ce	Co	Cr	Cu	Fe	K	La
10%	0.3	2	35	800	60	30828	142	1
Li	Mg	Mn	Mo	Na	Ni	P	Pb	S
59	2%	1879	0.55	377	983	48	17	340
Sb	Sc	Sr	Th	Ti	U	V	Y	Yb
13.8	4.5	606	5	194	5	32	3	0.7
Zn	Zr							
39	5							



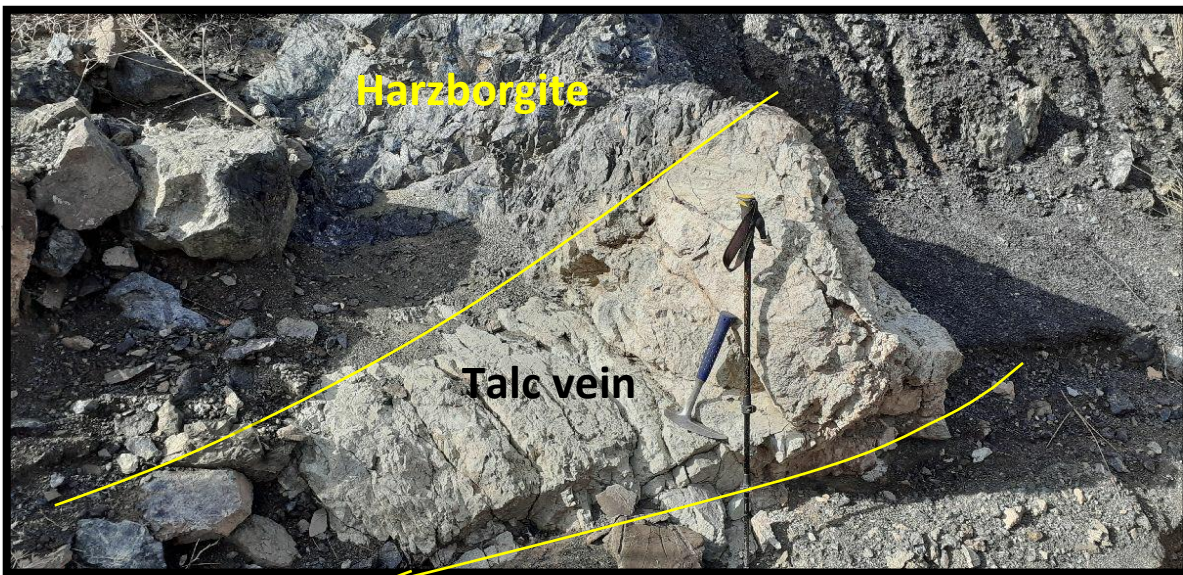
عکس ۴-۱۵۵- نمایی از یک رگه لیستونیتی ثانویه با سنگ میزبان دونیتی. نمونه BIRG2S109

- نمونه BIRG2S122 از یک رگه رودنگیتی سفید رنگ به ضخامت ۱ متر و طول ۱۰ متر در امتداد شمالی-جنوبی با سنگ میزبان هارزبورزیتی برداشت شد (جدول ۴-۱۰۰ و عکس‌های ۱۵۶-۴ و ۱۵۷-۴). نمونه برداری به صورت چیپ سمپلینگ بوده است.

جدول ۴-۱۰۰- آنالیز عنصری به روش ICP در نمونه BIRG2S122

Sample	X	Y	Au	Ag	Al	As	Ba	Be
BIRG2S122	732306	3620046	5	0.5	72611	2.1	6	1
Ca	Cd	Ce	Co	Cr	Cu	Fe	K	La
10%	0.21	2	39	363	278	30755	100	1
Li	Mg	Mn	Mo	Na	Ni	P	Pb	S
12	2%	651	0.52	384	326	38	3	417
Sb	Sc	Sr	Th	Ti	U	V	Y	Yb
0.97	33	15	5	1600	5	144	7	1.4
Zn	Zr							
23	9							

در این نمونه عناصر مس (278 ppm)، آلومینیم (72611 ppm)، تیتانیم (1600 ppm) ناهنجاری نشان می‌دهد. این نمونه در نزدیکی اندیس مس (نمونه **BIRG2S120**) قرار دارد.



عکس ۴-۱۵۶- نمایی از یک سنگ رودنگیتی با میزبان هارزبورژیتی دارای تالک. نمونه **BIRG2S122**



عکس ۴-۱۵۷- نمایی نزدیک از نمونه **BIRG2S122** حاوی تالک

- نمونه **BIRG2S120** از یک اندیس مس دار در سنگ میزبان هارزبورژیتی و سرپانتینیتی شده برداشت گردید که حاوی کانی‌های ملاکیت و آزوریت می‌باشد. کانه‌های مس دار به صورت دانه پراکنده در متن سنگ دیده می‌گردد. در مجاورت آین اندیس نیز یک توده ساب ولکانیک هم مشاهده می‌شود. این اندیس به صورت یک پچ دربعاد ۲۰ متر رخنمون دارد و به نظر می‌رسد به سمت عمق ادامه داشته باشد (جدول ۴-۱۰۱ و عکس‌های ۴-۱۵۸ تا ۴-۱۶۰).

جدول ۴-۱۰۱- آنالیز عنصری به روش ICP در نمونه BIRG2S120

Sample	X	Y	Au	Ag	Al	As	Ba	Be
BIRG2S120	732312	3619975	5	0.5	12284	2.5	8	1
Ca	Cd	Ce	Co	Cr	Cu	Fe	K	La
25648	0.78	1	1124	2134	36005	72290	106	1
Li	Mg	Mn	Mo	Na	Ni	P	Pb	S
8	2%	967	0.57	364	1588	255	4	1623
Sb	Sc	Sr	Th	Ti	U	V	Y	Yb
1.66	9.4	17	5	354	5	41	1	1
Zn	Zr							
485	6							

در این نمونه عناصر مس (3.6 %) در حد کانی سازی خوب، کبالت (1124 ppm)، گوگرد (1623 ppm)، کروم (485 ppm)، نیکل (2134 ppm)، روی (1588 ppm) و آهن (7.2 %) ناهنجاری نشان می‌دهد.



عکس ۴-۱۵۸- نمایی از محل کانی سازی مس در سنگ میزبان هارزبورزیت سرپانتینیتی نمونه BIRG2S120



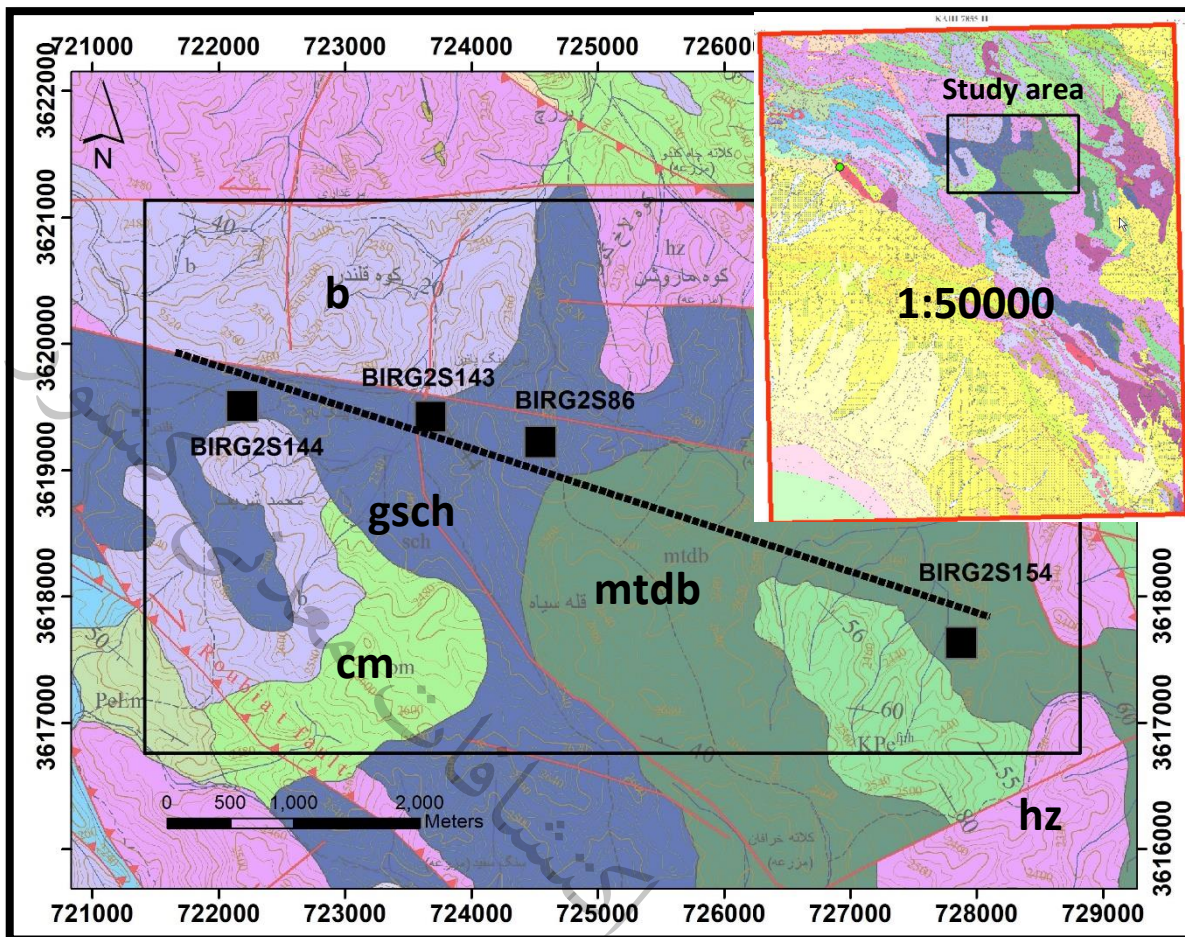
عکس ۴-۱۵۹- نمایی نزدیک‌تر از رخنمون کانی سازی مس‌دار در سنگ میزبان هارزبورزیتی. نمونه BIRG2S120



عکس ۴-۱۶۰- نمایی نزدیک از نمونه BIRG2S120. کانی‌های سبز و آبی رنگ مالاکیت و آزوریت هستند.

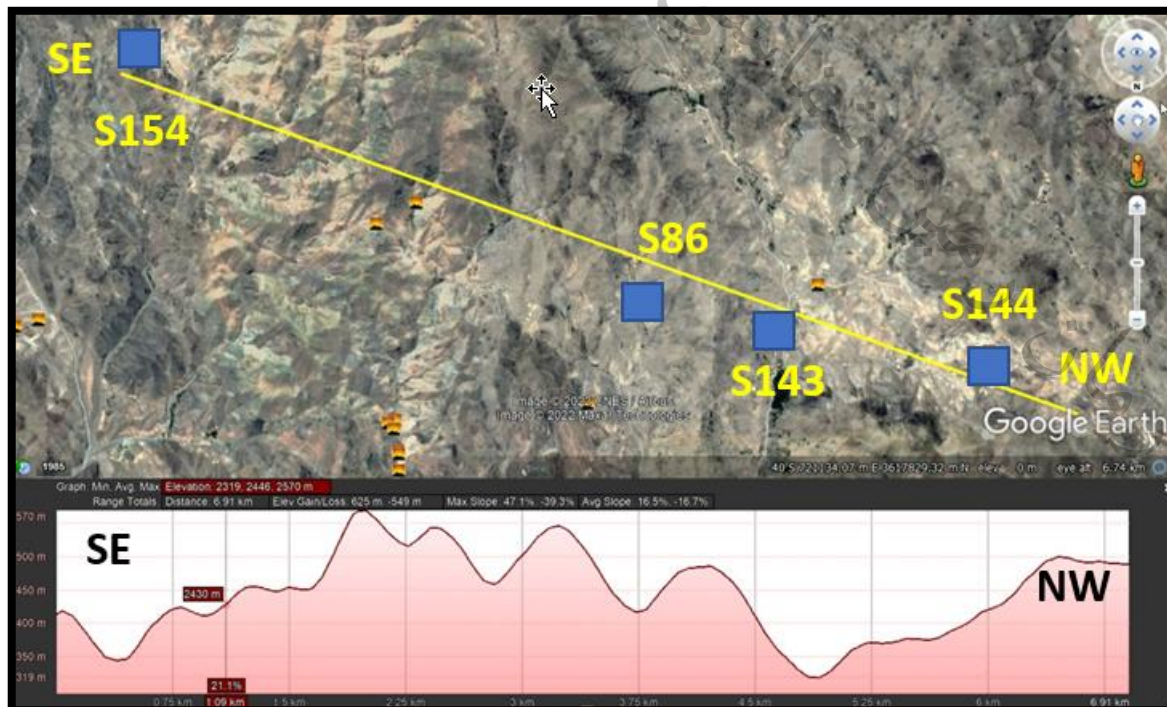
۱۹-۲-۴- پروفیل (۱۹):

شروع پیمایش در این پروفیل از مختصات 721,636 X: و 3,619,901 Y: در آریموت ۱۰۸ درجه به طول ۶۷۶۵ متر بوده است. در این مسیر پیمایش شده تعداد ۴ نمونه برداشت شد. نمونه‌های اخذ شده بر اساس نقشه زمین‌شناسی ۱:۵۰۰۰۰ در واحدهای ولکانیکی متادیاباز تا متابازالت و همچنین گلوکوفان شیست قرار گرفته است (شکل‌های ۳۹-۴ و ۴۰-۴). در ادامه به شرح نمونه‌های اخذ شده در این پروفیل پرداخته می‌شود:



شکل ۴-۳۹- نمونه‌های برداشت شده در امتداد پروفیل (۱۹) و زمین‌شناسی مربوطه (اقتباس از نقشه ۱:۵۰۰۰۰ کاھی)

Cm: Collered mélange gsch: Glawcophane schist mtdb: Metadiabase b: Basalt

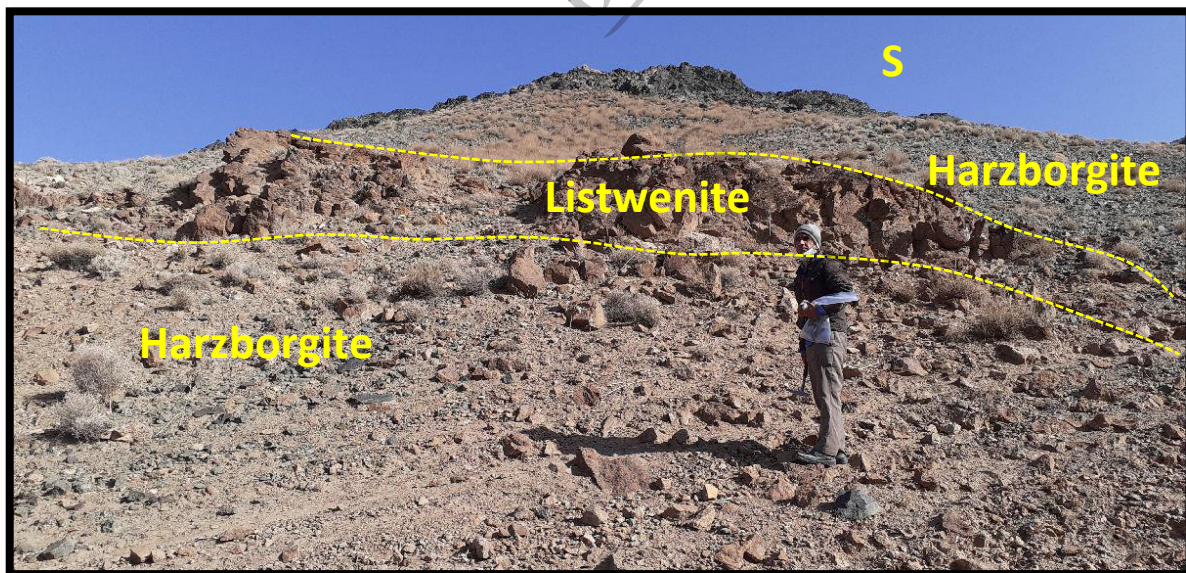


شکل ۴-۴۰- نمایی از پروفیل (۱۹) در تصویر ماهواره‌ای به همراه مقطع عرضی آن.

-نمونه **BIRG2S154** از یک رگه لیستونیتی به طول ۱۰۰ متر و عرض ۳ متر در امتداد شرقی-غربی برداشت گردید. کانی‌های کربنات و سیلیس نیز در نمونه دستی مشاهده می‌گردد. کانی‌های سبز رنگ هم وجود دارد که احتمالاً فوکسیت هستند. سنگ میزبان این رگه لیستونیتی، سنگ‌های اولترامافیکی هستند (جدول ۴-۱۰۲ و عکس‌های ۱۶۱-۴ و ۱۶۲-۴).

جدول ۴-۱۰۲- آنالیز عنصری به روشن ICP در نمونه **BIRG2S154**

Sample	X	Y	Au	Ag	Al	As	Ba	Be
BIRG2S154	727912	3617639	5	0.5	4237	34.8	46	1
Ca	Cd	Ce	Co	Cr	Cu	Fe	K	La
10%	0.2	1	49	1100	20	29857	291	1
Li	Mg	Mn	Mo	Na	Ni	P	Pb	S
27	2%	620	0.53	623	1138	49	4	402
Sb	Sc	Sr	Th	Ti	U	V	Y	Yb
13.8	5.7	575	5	168	5	34	1	0.6
Zn	Zr							
45	5							

عکس ۴-۱۶۱- نمایی از رگه لیستونیتی در سنگ میزبان هارزبورژیت سرپانتینیتی نمونه **BIRG2S154**



عکس ۴-۱۶۲- نمایی نزدیک از محل نمونه برداری. نمونه BIRG2S154

- نمونه BIRG2S86 از یک رگه لیستونیتی به طول ۴۰ متر و عرض ۳ متر در امتداد شمالی-جنوبی برداشت گردید. شیب کانی سازی ۸۵W است. نمونه پتروگرافی به شماره BIRG2S87TP نیز از آن برداشت گردید. سنگ میزبان این رگه لیستونیتی، سنگ‌های شیست هستند (جدول ۴-۱۰۳ و عکس‌های ۴-۱۶۶ تا ۴-۱۶۹). کانی‌های سبز رنگ در نمونه دستی احتمالاً فوکسیت هستند.

جدول ۴-۱۰۳- آنالیز عنصری به روش ICP در نمونه BIRG2S86

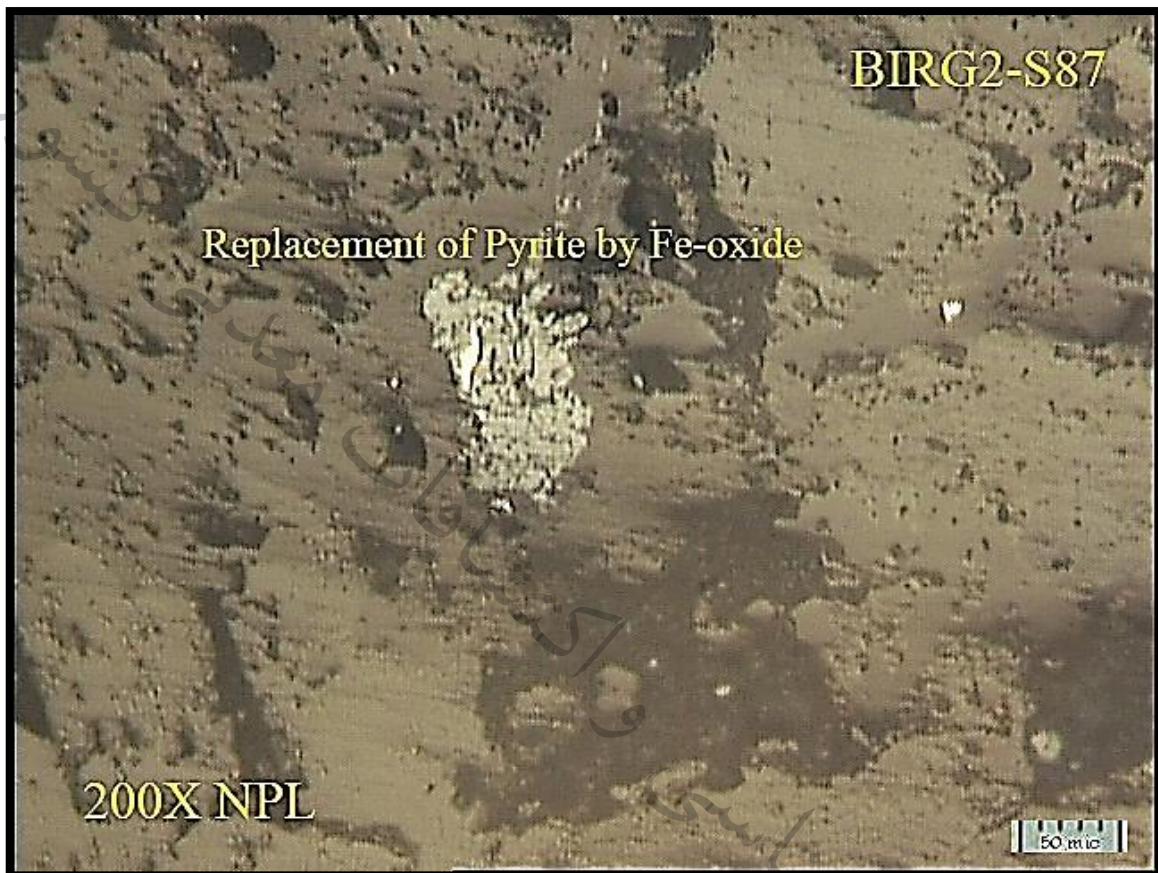
Sample	X	Y	Au	Ag	Al	As	Ba	Be
BIRG-2-S86	724575	3619262	5	0.5	2628	2.3	64	1
Ca	Cd	Ce	Co	Cr	Cu	Fe	K	La
39331	0.3	1	49	936	9	28193	321	1
Li	Mg	Mn	Mo	Na	Ni	P	Pb	S
44	2%	452	0.5	685	935	45	4	415
Sb	Sc	Sr	Th	Ti	U	V	Y	Yb
1.1	3.5	305	5	63	5	19	1	0.3
Zn	Zr							
34	5							

از این رگه نمونه BIRG2S87TP به جهت مطالعات مینرالوگرافی برداشت گردید (عکس‌های ۴-۱۶۳ تا ۴-۱۶۵).

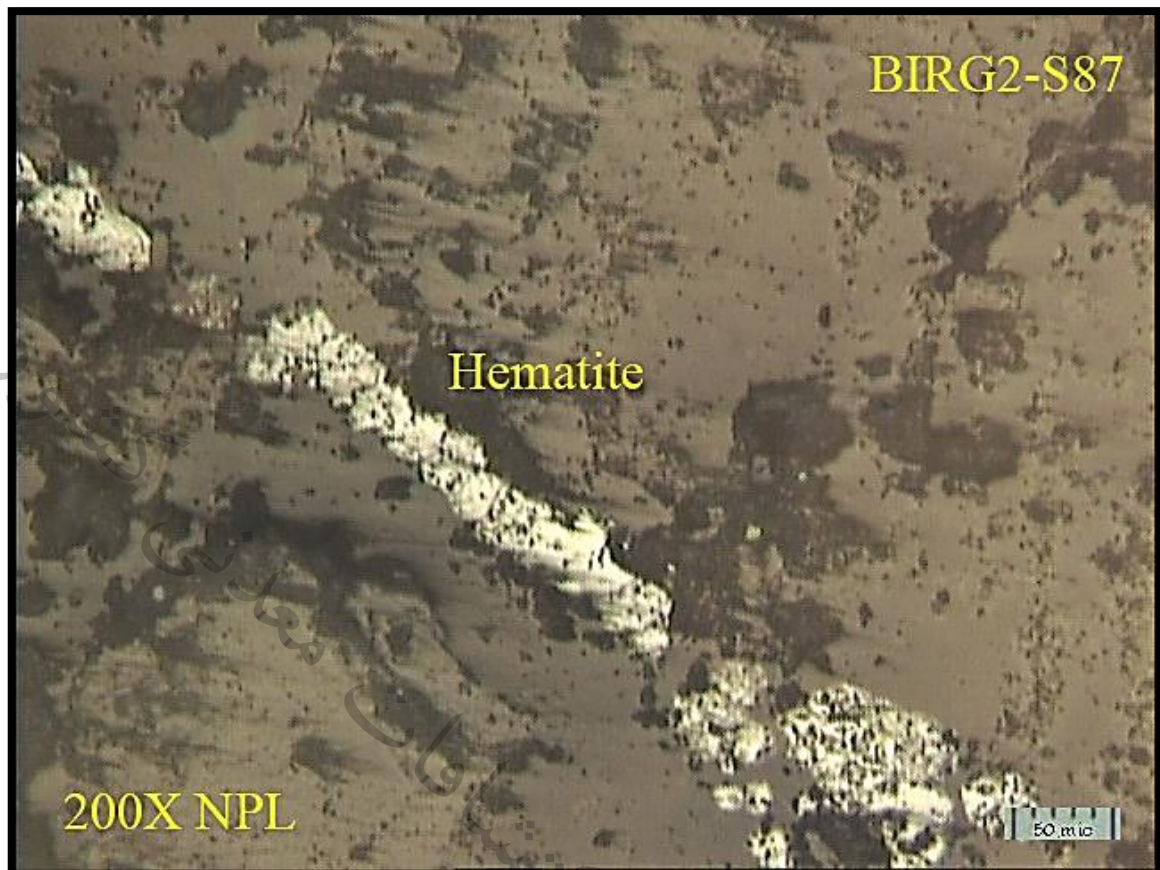
کانی فلزی: هماتیت، پیریت

- **هماتیت:** کریستال‌های این کانی در اندازه‌های ما بین ۲ الی ۷۰ میکرون در فضاهای باز سنگ میزبان کانی سازی کرده‌اند. میزان فراوانی هماتیت در این نمونه حدود ۳ درصد است.

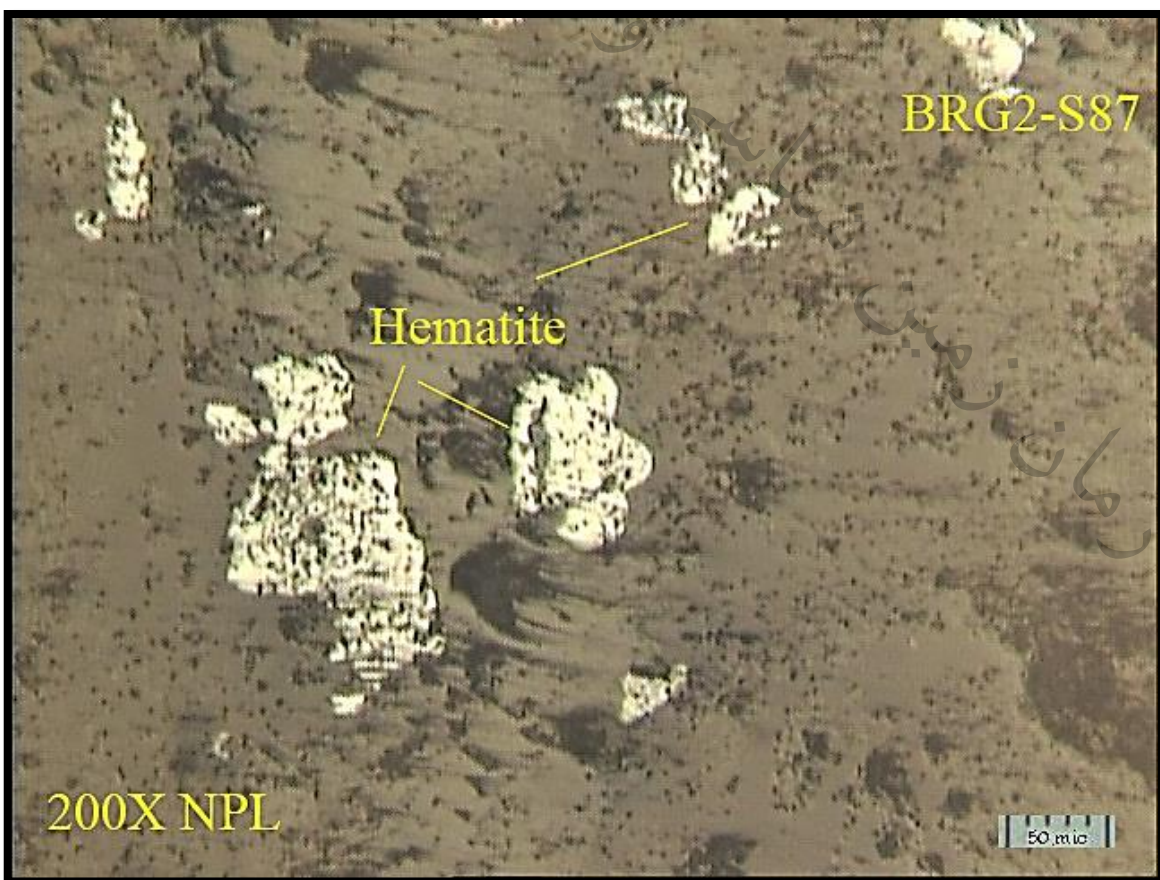
- **پیریت:** کریستال‌های پیریت به شکل هندسی نا مشخص در اندازه‌ای کمتر از ۵۰ میکرون در فضاهای باز سنگ میزبان با بافت Open Space کانی سازی کرده و به تعداد انگشت شمار مشاهده می‌شود.



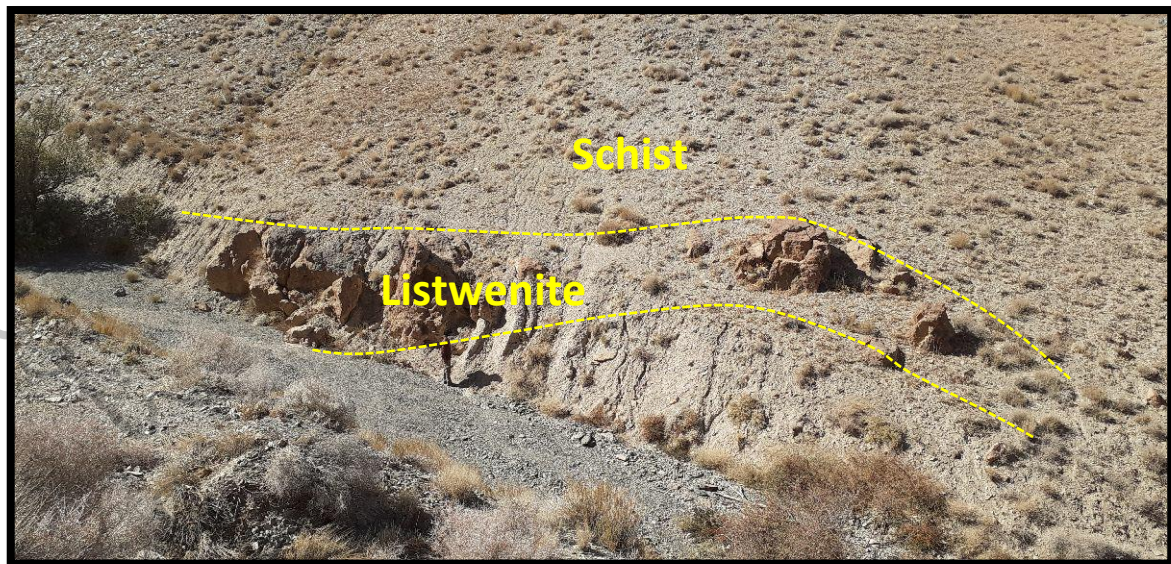
عکس ۴-۱۶۳- نمایی از کانی پیریت که توسط اکسید آهن جانشین شده است. نمونه BIRG2S87TP



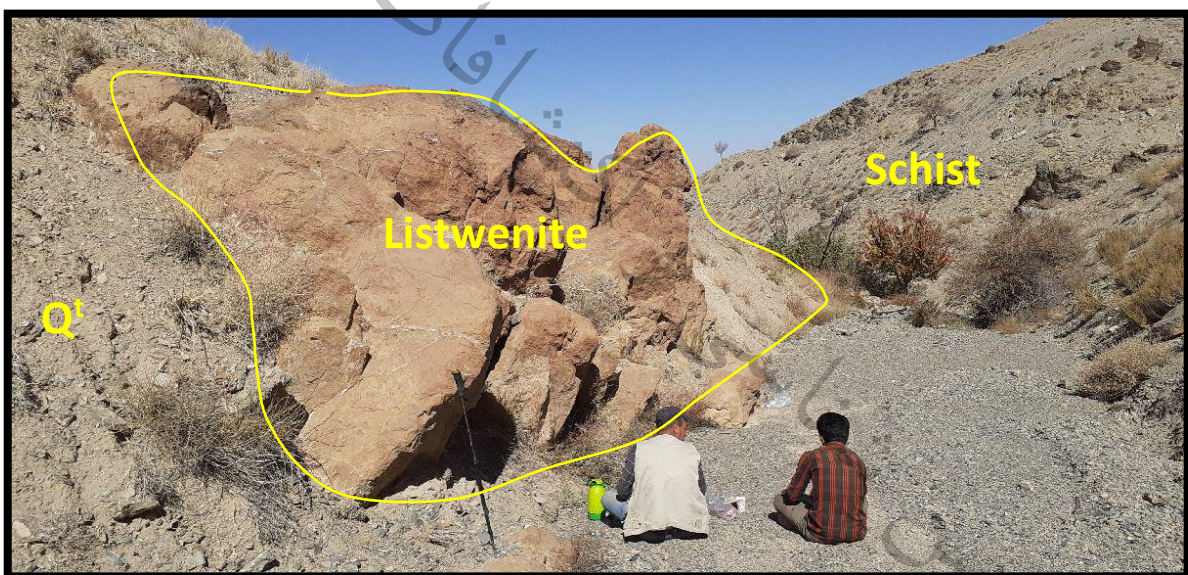
عکس ۴-۱۶۴- نمایی از رگجه هماتیتی در نمونه BIRG2S87TP



عکس ۴-۱۶۵- نمایی از کانی‌های هماتیتی به صورت دانه پراکنده در نمونه BIRG2S87TP



عکس ۴-۱۶۶- نمایی از رگه لیستونتی در سنگ میزبان شیستی نمونه BIRG2S86



عکس ۴-۱۶۷- نمایی از پچ لیستونتی در محل نمونه BIRG2S86



عکس ۴-۱۶۸- نمایی از نمونه دستی لیستونیتی که در آن کانی‌های فوکسیت و هماتیت دیده می‌شود.
(نمونه BIRG2S86)

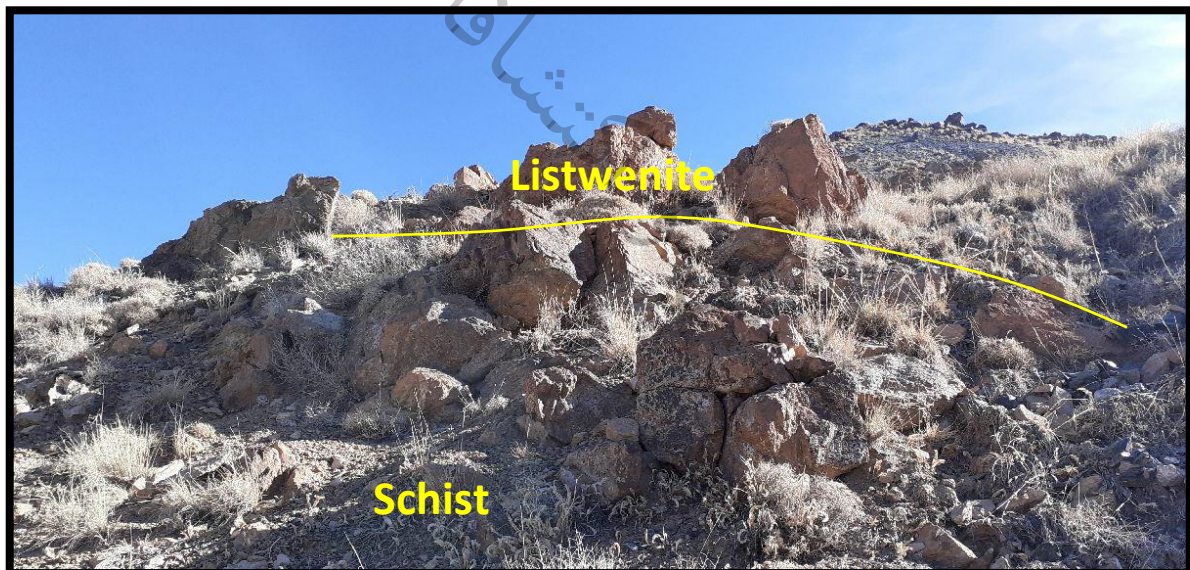


عکس ۴-۱۶۹- نمایی از رگجه‌های موازی کلسیتی در سنگ لیستونیتی کربناته.

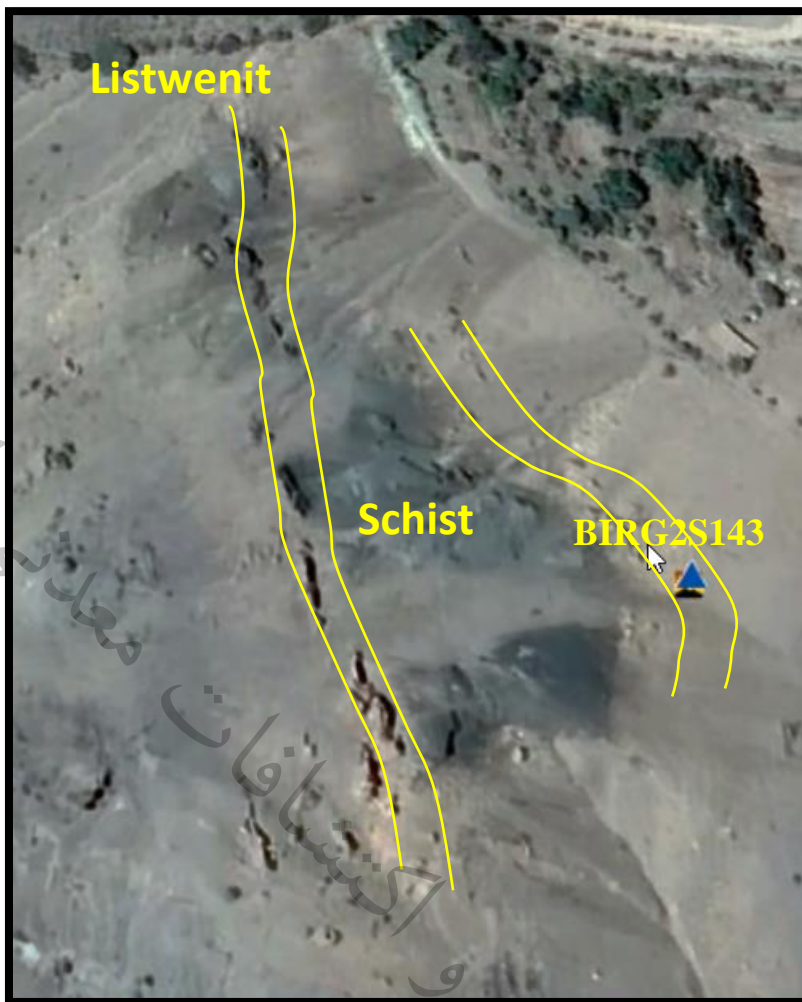
-نمونه **BIRG2S143** از یک رگه لیستونیتی به طول ۱۰۰ متر و عرض ۲ متر در امتداد شمال غربی-جنوب شرقی برداشت گردید. سنگ میزبان این رگه لیستونیتی، سنگ‌های گلاکوفان شیست هستند(جدول ۴-۴ و عکس ۱۷۰-۴).

جدول ۴-۴- آنالیز عنصری به روش ICP در نمونه **BIRG2S143**

Sample	X	Y	Au	Ag	Al	As	Ba	Be
BIRG2S143	723718	3619439	5	0.5	5876	2.6	32	1
Ca	Cd	Ce	Co	Cr	Cu	Fe	K	La
23920	0.18	1	78	1513	6	40817	237	1
Li	Mg	Mn	Mo	Na	Ni	P	Pb	S
30	2%	550	0.5	859	1674	36	4	377
Sb	Sc	Sr	Th	Ti	U	V	Y	Yb
1.32	5.8	118	5	133	5	24	1	0.5
Zn	Zr							
35	5							



عکس ۱۷۰-۴- نمایی از رگه لیستونیتی در سنگ میزبان گلاکوفان شیستی نمونه **BIRG2S143**

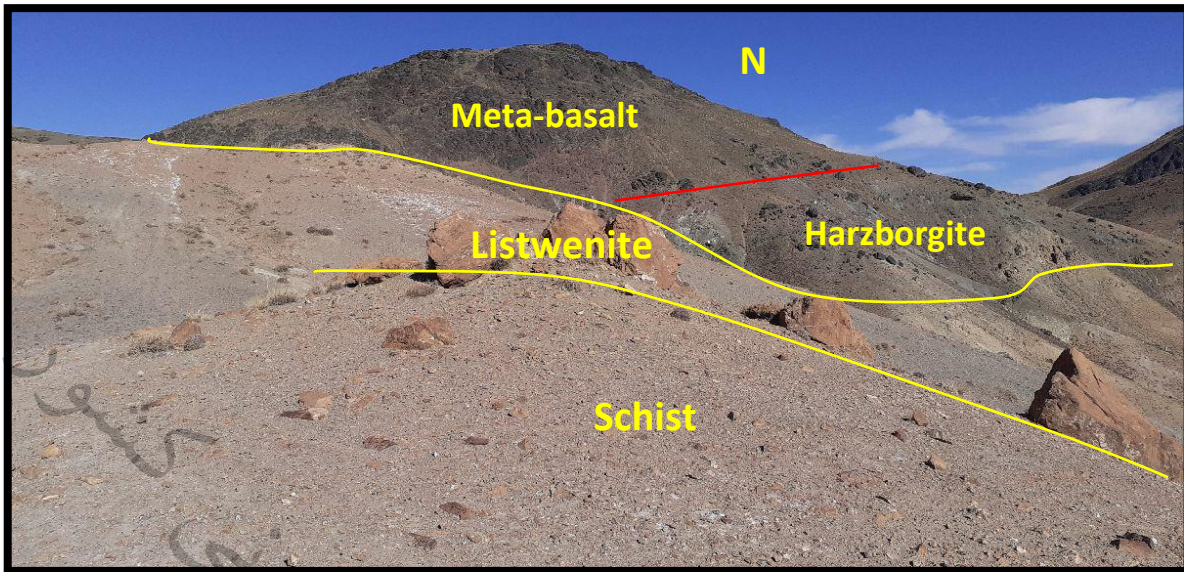


عکس ۴-۱۷۱- نمایی از رگه‌های لیستونیتی در تصویر ماهواره‌ای به موازات شمال غرب-جنوب شرق

-نمونه **BIRG2S144** از یک رگه لیستونیتی به طول ۱۰۰ متر و عرض ۲ متر در امتداد شمال غربی-جنوب شرقی برداشت گردید. سنگ میزبان این رگه، سنگ‌های شیستی هستند که در مرز هارزبورژیت قرار دارند (جدول ۴-۱۰۵ و عکس ۱۷۲-۴ و ۱۷۳-۴).

جدول ۴-۱۰۵- آنالیز عنصری به روشن ICP در نمونه **BIRG2S144**

Sample	X	Y	Au	Ag	Al	As	Ba	Be
BIRG2S144	722229	3619514	5	0.5	3172	2.5	29	1
Ca	Cd	Ce	Co	Cr	Cu	Fe	K	La
31912	0.17	1	66	1308	7	35911	216	1
Li	Mg	Mn	Mo	Na	Ni	P	Pb	S
41	2%	522	0.52	766	1429	33	3	412
Sb	Sc	Sr	Th	Ti	U	V	Y	Yb
1.37	5.7	374	5	55	5	25	0.5	0.5
Zn	Zr							
38	5							



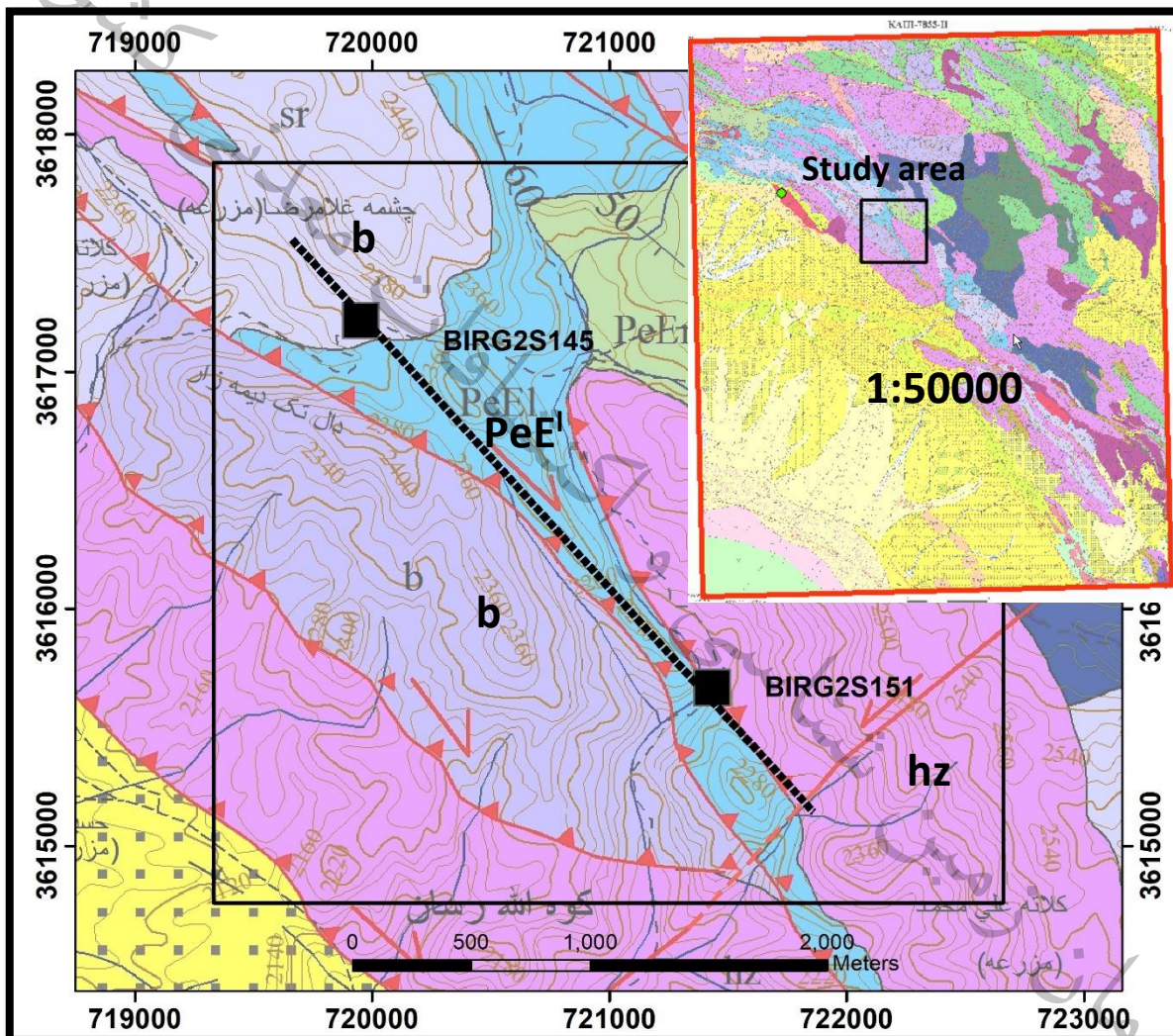
عکس ۴-۱۷۲- نمایی از رگه لیستونتی در سنگ میزان گلاوکوفان شیستی نمونه BIRG2S144



عکس ۴-۱۷۳- نمایی نزدیک از نمونه BIRG2S144

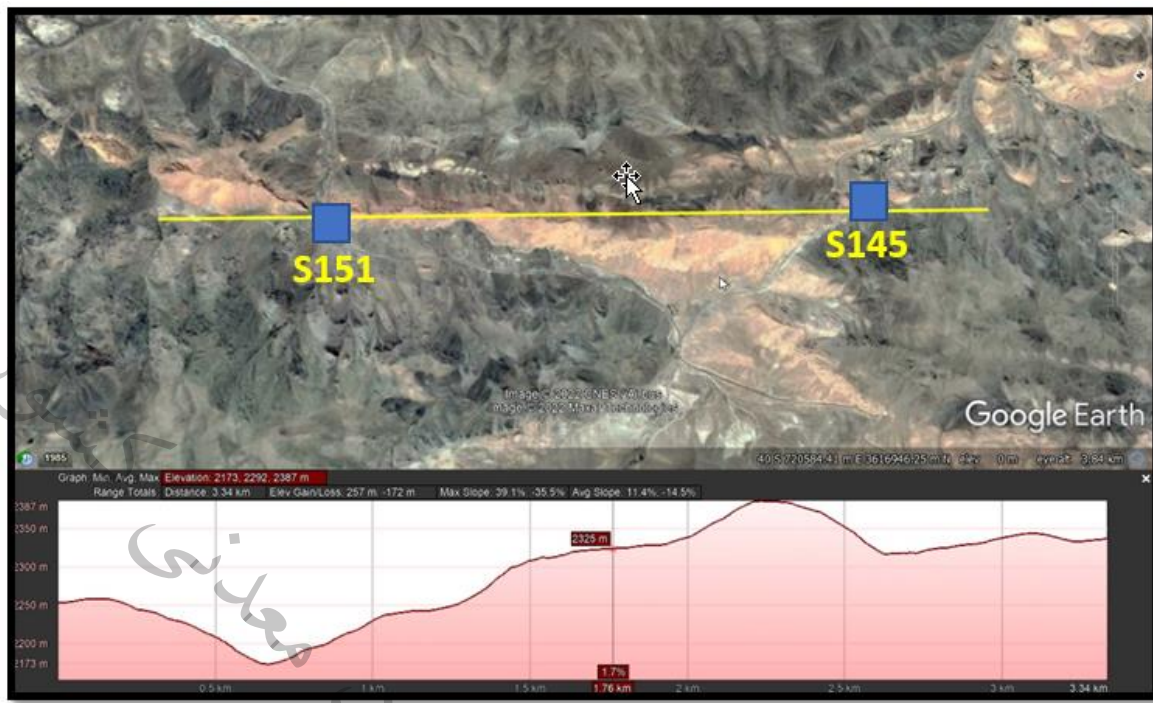
۴-۲-۲-۲۰-پروفیل (۲۰):

شروع پیمایش در این پروفیل از مختصات X: 719,647 و Y: 3,617,583 در آzymot ۱۳۷ درجه به طول ۳۲۸۶ متر بوده است. در این مسیر پیمایش شده تعداد ۲ نمونه از زون‌های مشکوک به کانه زایی برداشت شد. نمونه‌های اخذ شده بر اساس نقشه زمین‌شناسی ۱:۵۰۰۰۰ در مرز واحدهای آهکی با بازالت و همچنین مرز آهک با هارزبورژیت در محل یک گسل راندگی قرار گرفته است (شکل‌های ۴۱-۴ و ۴۲-۴). در ادامه به شرح نمونه‌های اخذ شده در این پروفیل پرداخته می‌شود:



شکل ۴-۴۱-۴- نمونه‌های برداشت شده در امتداد پروفیل (۲۰) و زمین‌شناسی مربوطه (اقتباس از نقشه ۱:۵۰۰۰۰ کاھی)

PeE^l: Nummolitic limestone **hz:** Harzborgite **b:** Basalt

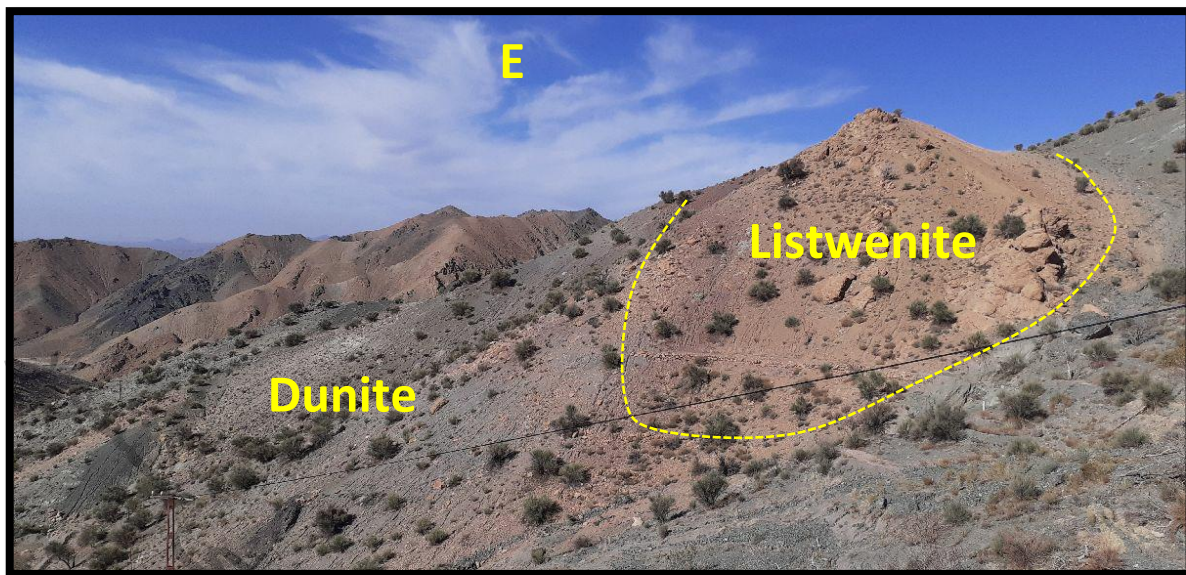


شکل ۴-۴- نمایی از پروفیل (۲۰) در تصویر ماهواره‌ای به همراه مقطع عرضی آن.

- نمونه BIRG2S145 از یک پچ لیستونیتی به طول ۵۰ متر و عرض ۳۰ متر که در سنگ میزبان دونیتی رخنمون دارد برداشت گردید که بخشی از یک زون لیستونیتی در امتداد شرقی- غربی به طول بیش از ۵۰۰ متر می‌باشد. کانی‌های غالب لیستونیت کربنات و سیلیس هستند (جدول ۱۰۶-۴ و عکس ۱۷۴-۴)

جدول ۱۰۶-۴- آنالیز عصری به روشن ICP در نمونه BIRG2S145

Sample	X	Y	Au	Ag	Al	As	Ba	Be
BIRG2S145	719970	3617196	5	0.5	14985	40.6	192	1
Ca	Cd	Ce	Co	Cr	Cu	Fe	K	La
10%	0.29	8	7	122	11	13821	1815	5
Li	Mg	Mn	Mo	Na	Ni	P	Pb	S
20	2%	185	0.69	678	251	91	5	533
Sb	Sc	Sr	Th	Ti	U	V	Y	Yb
1.12	2.4	251	5	690	5	55	5	0.8
Zn	Zr							
23	19							



عکس ۴-۱۷۴- نمایی از پچ لیستونتی در سنگ میزبان دونیتی نمونه BIRG2S145

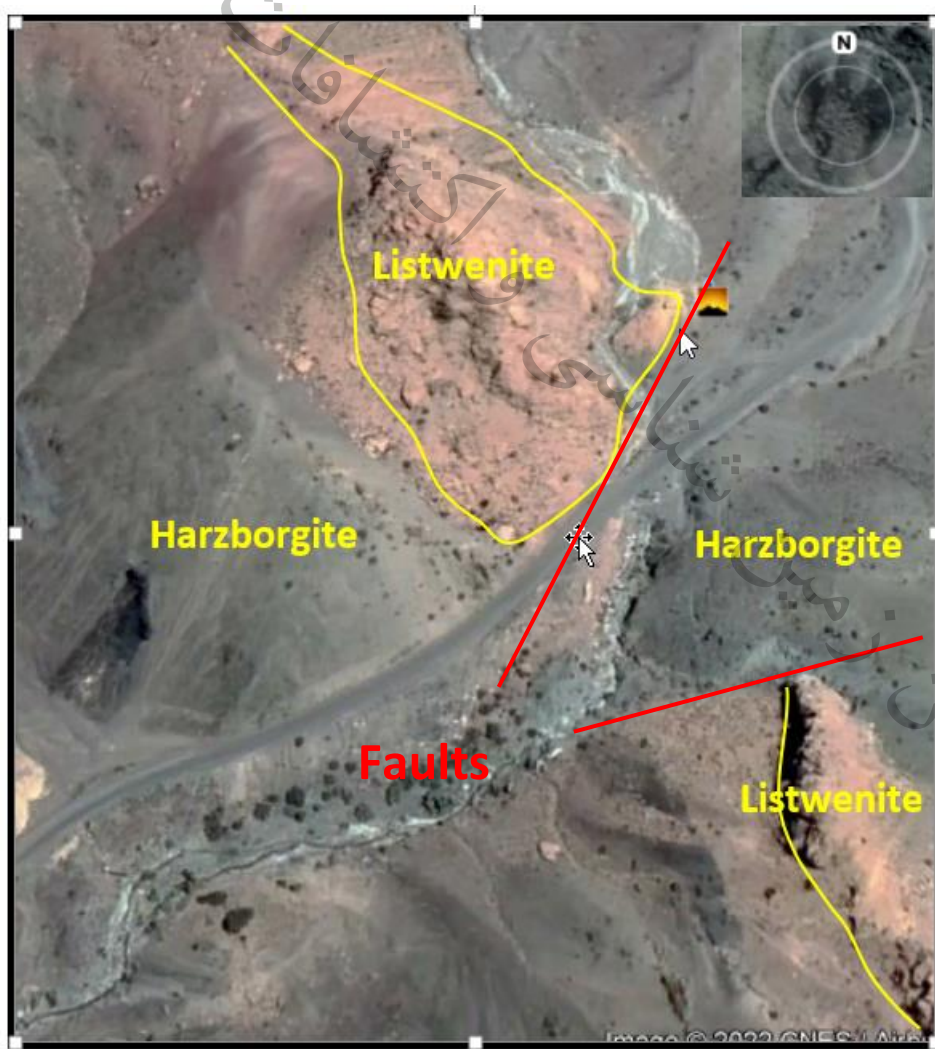
-نمونه BIRG2S151 از یک پچ لیستونتی به طول ۵۰ متر و عرض ۳۰ متر که در سنگ میزبان دونیتی رخنمون دارد برداشت گردید که بخشی از یک زون لیستونتی در امتداد شرقی- غربی به طول بیش از ۵۰۰ متر می‌باشد. کانی‌های غالب لیستونیت کربنات و سیلیس هستند(جدول ۱۰۷-۴ و عکس ۱۷۵-۴ و شکل (۴۳-۴

جدول ۱۰۷-۴- آنالیز عنصری به روش ICP در نمونه BIRG2S151

Sample	X	Y	Au	Ag	Al	As	Ba	Be
BIRG2S151	721427	3615694	5	0.5	30961	26.5	50	1
Ca	Cd	Ce	Co	Cr	Cu	Fe	K	La
10%	0.26	21	28	132	14	18197	3184	12
Li	Mg	Mn	Mo	Na	Ni	P	Pb	S
26	2%	314	0.53	595	344	240	4	417
Sb	Sc	Sr	Th	Ti	U	V	Y	Yb
1.22	6.2	165	5	1438	5	48	10	1.2
Zn	Zr							
29	51							



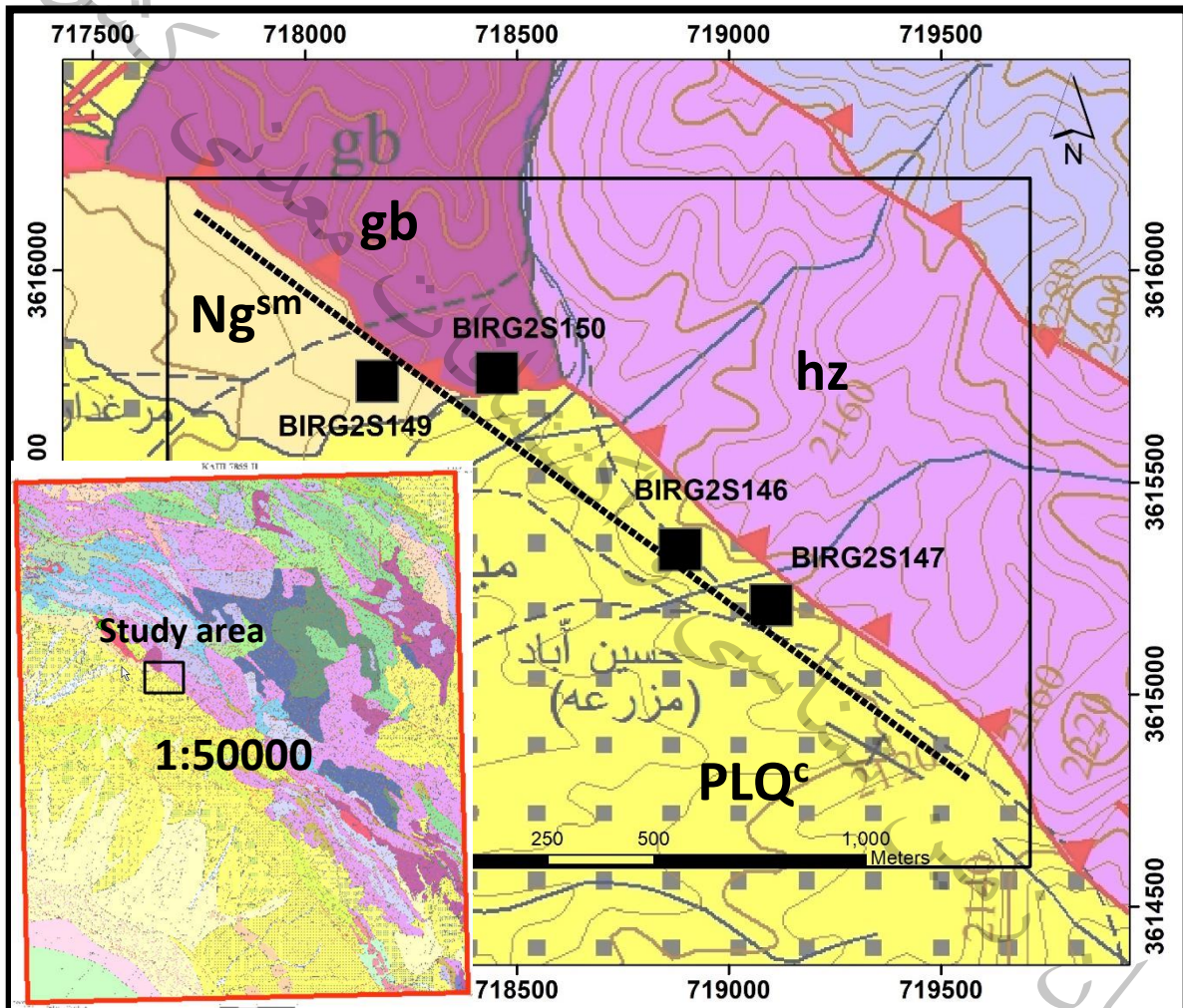
عکس ۴-۱۷۵- نمایی از پچ لیستونیتی کربناته-دولومیتی در سنگ میزان هارزبورگیتی نمونه BIRG2S151



شکل ۴-۴۳- نمایی از رگه و پچ لیستونیتی در تصویر ماهواره‌ای در امتداد شمال غرب-جنوب شرق

۴-۲-۲-۲۱) پروفیل:

شروع پیمایش در این پروفیل از مختصات X: 717,720 و Y: 3,616,155 در آzymot ۱۲۷ درجه به طول ۲۲۸۹ متر بوده است. در این مسیر پیمایش شده تعداد ۴ نمونه از زون‌های مشکوک به کانه زایی برداشت شد. نمونه‌های اخذ شده بر اساس نقشه زمین‌شناسی ۱:۵۰۰۰۰ در امتداد یک گسل رانگی و مرز سنگ‌های هارزبورژیتی و گابرویی قرار گرفته است (شکل‌های ۴۴-۴ و ۴۵-۴). در ادامه به شرح نمونه‌های اخذ شده در این پروفیل پرداخته می‌شود:



شکل ۴-۴-۴-۴-۴-۴-۴-۲۱) نمونه‌های برداشت شده در امتداد پروفیل (۲۱) و زمین‌شناسی مربوطه (اقتباس از نقشه ۱:۵۰۰۰۰ کاھی)
PLQ^c: Conglomerate hz: Harzburgite gb: Gabbro Ngsm: Marl

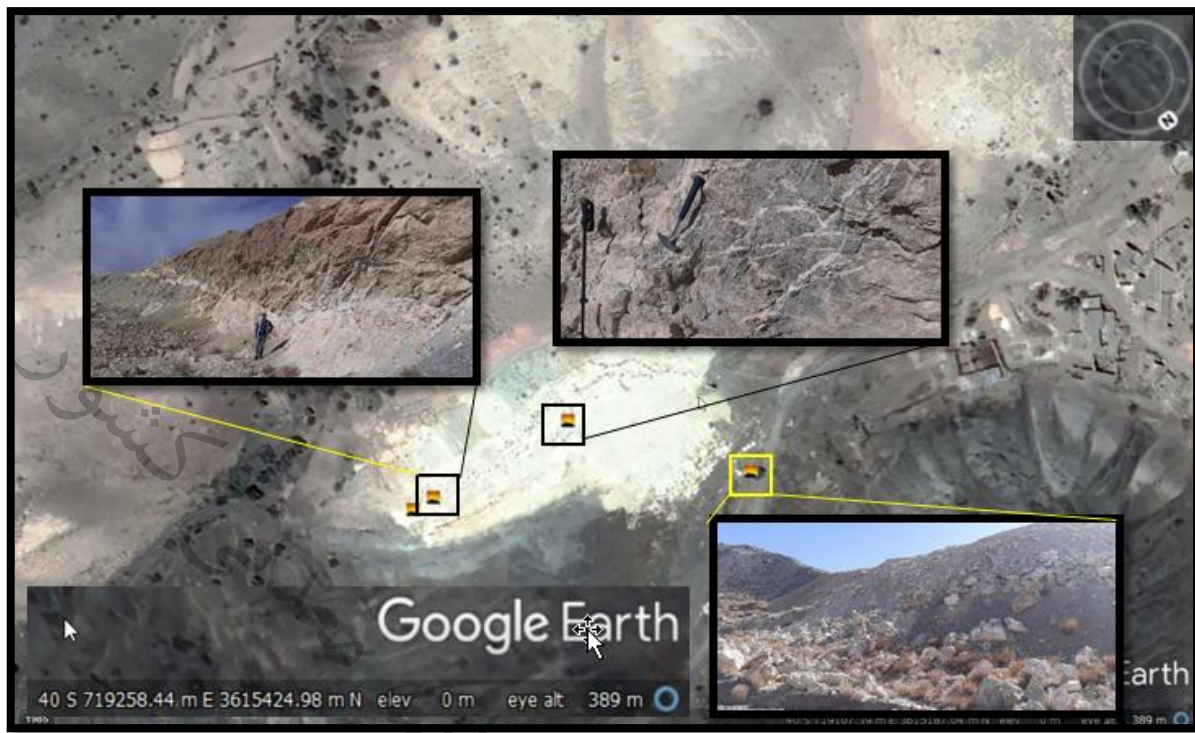


شکل ۴-۴۵- نمایی از پروفیل (۲۱) در تصویر ماهواره‌ای به همراه مقطع عرضی آن.

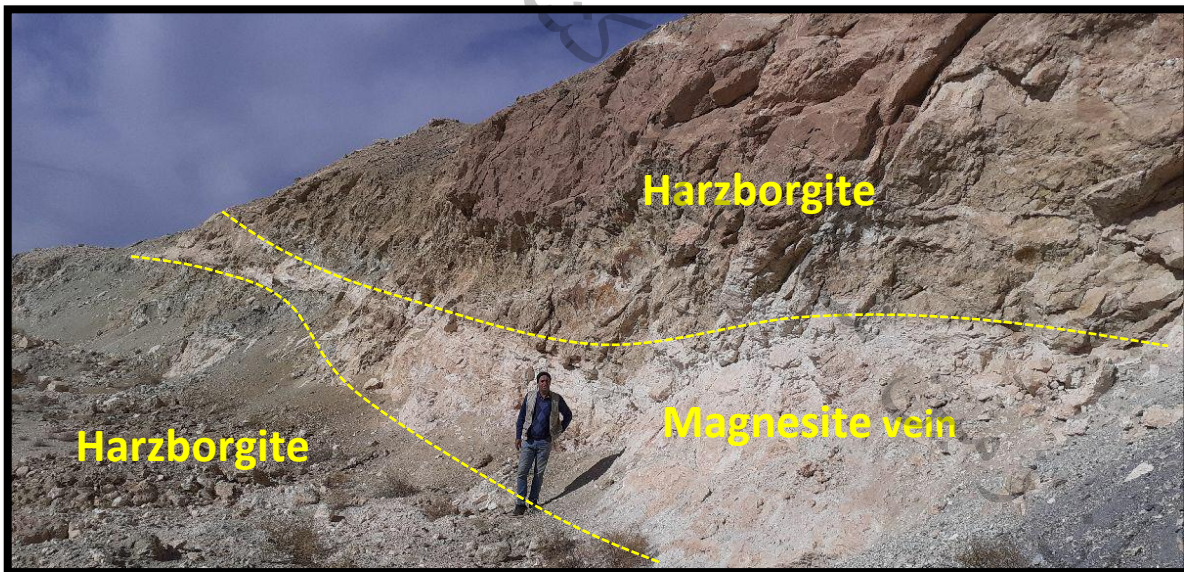
-نمونه BIRG2S147 از یک معدن دارای دپو و کانه زایی منیزیت کم عیار برداشت گردید. کانه زایی به صورت رگه‌های منیزیت به طول ۱۳۰ متر و ضخامت متغیر ۱ تا ۲ متر در امتداد شمال شرقی-جنوب غربی با سنگ میزان هارزبورژیتی همراه با رگچه‌ها ریز منیزیت گسترش دارد، رخنمون دارد (جدول ۴-۱۰۸ و عکس‌های ۱۷۶-۴ و ۱۷۷-۴ و شکل ۴-۴۶ و شکل ۴-۱۷۷).

جدول ۴-۱۰۸- آنالیز عنصری به روی ICP در نمونه BIRG2S147

Sample	X	Y	Au	Ag	Al	As	Ba	Be
BIRG2S147	719107	3615220	5	0.5	2305	9.2	13	1
Ca	Cd	Ce	Co	Cr	Cu	Fe	K	La
25234	0.21	1	15	143	10	13070	192	1
Li	MgO	Mn	Mo	Na	Ni	P	Pb	S
11	20%	243	0.5	521	366	30	4	389
Sb	Sc	Sr	Th	Ti	U	V	Y	Yb
0.88	2.2	57	5	44	5	9	0.5	0.2
Zn	Zr							
6	5							



شکل ۴-۴۶- موقعیت عکس‌های معدن منیزیت در تصویر ماهواره‌ای



عکس ۴-۱۷۶- نمایی از رگه منیزیتی در سنگ میزبان هارزبورزیتی نمونه BIRG2S147

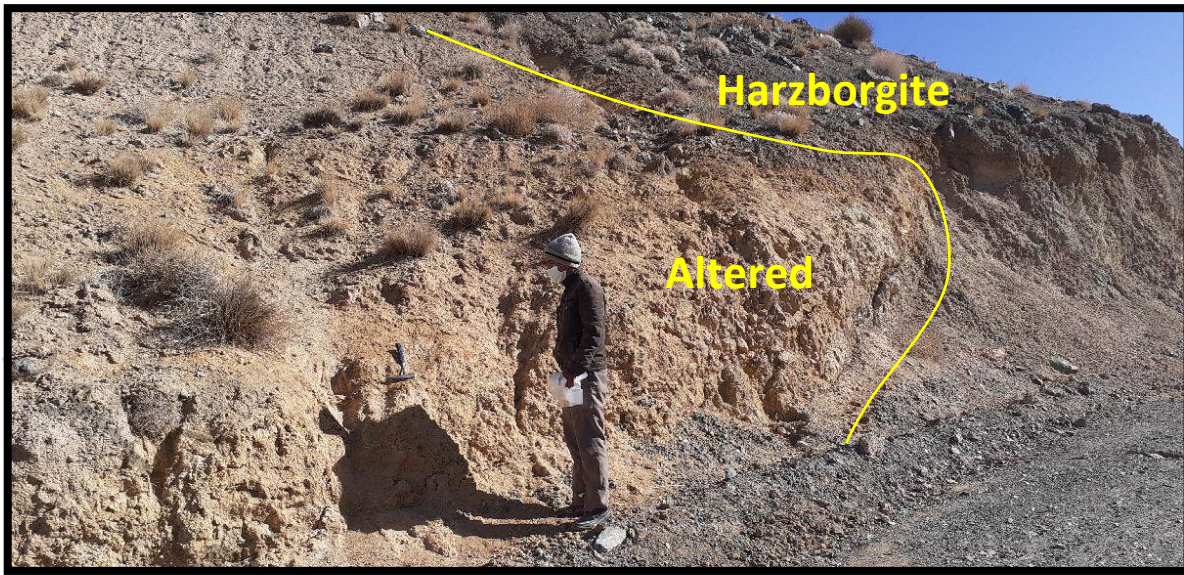


عکس ۴-۱۷۷- نمایی از رگچه‌های منیزیتی در سنگ میزبان هارزبورژیتی

-نمونه **BIRG2S146** از یک زون آلتره لیمونیتی-آرژیلی به صورت پچ آلتره به وسعت ۲۰ متر با سنگ میزبان هارزبورژیتی برداشت گردید. کانی‌های عمدۀ بر اساس نمونه دستی شامل کانی‌های لیمونیت، کانی‌های رسی، کربنات، سیلیس و یک کانی سبز رنگ به نام فوکسیت هستند (جدول ۴-۱۰۹ و عکس ۴-۱۷۸).

جدول ۴-۱۰۹- آنالیز عنصری به روش ICP در نمونه **BIRG2S146**

Sample	X	Y	Au	Ag	Al	As	Ba	Be
BIRG2S146	718887	3615356	5	0.5	50082	3.4	549	1
Ca	Cd	Ce	Co	Cr	Cu	Fe	K	La
10%	0.2	23	12	27	13	28743	12917	14
Li	Mg	Mn	Mo	Na	Ni	P	Pb	S
15	2%	1541	0.84	14209	17	479	5	389
Sb	Sc	Sr	Th	Ti	U	V	Y	Yb
0.94	7.3	467	5	1660	5	57	18	1.9
Zn	Zr							
52	39							



عکس ۴-۱۷۸- نمایی از زون آلتره لیمونیتی- آرژیلی در سنگ میزبان هارزبورزیتی نمونه BIRG2S146

- نمونه BIRG2S150 از یک ترانشه که در مجموعه شبکه ترانشه‌ای موازی هم و حفر شده در مرز سنگ شیستی و گابرویی برداشت گردید. در خاک‌های دپو شده اثرات آلتراسیون سبز رنگ به چشم می‌خورد (جدول ۱۱۰-۴ و عکس ۱۷۹-۴).

جدول ۴-۱۱۰- آنالیز عنصری به روش ICP در نمونه BIRG2S150

Sample	X	Y	Au	Ag	Al	As	Ba	Be
BIRG2S150	718457	3615762	5	0.5	6686	2.8	5	1
Ca	Cd	Ce	Co	Cr	Cu	Fe	K	La
10320	0.18	1	115	4415	31	72981	100	1
Li	Mg	Mn	Mo	Na	Ni	P	Pb	S
9	2%	656	0.51	2095	3186	17	3	339
Sb	Sc	Sr	Th	Ti	U	V	Y	Yb
2.05	15.8	105	5	73	5	47	0.5	0.9
Zn	Zr							
80	5							

در این نمونه عناصر نیکل (4415 ppm) و کروم (3186 ppm) ناهنجاری نشان می‌دهند.



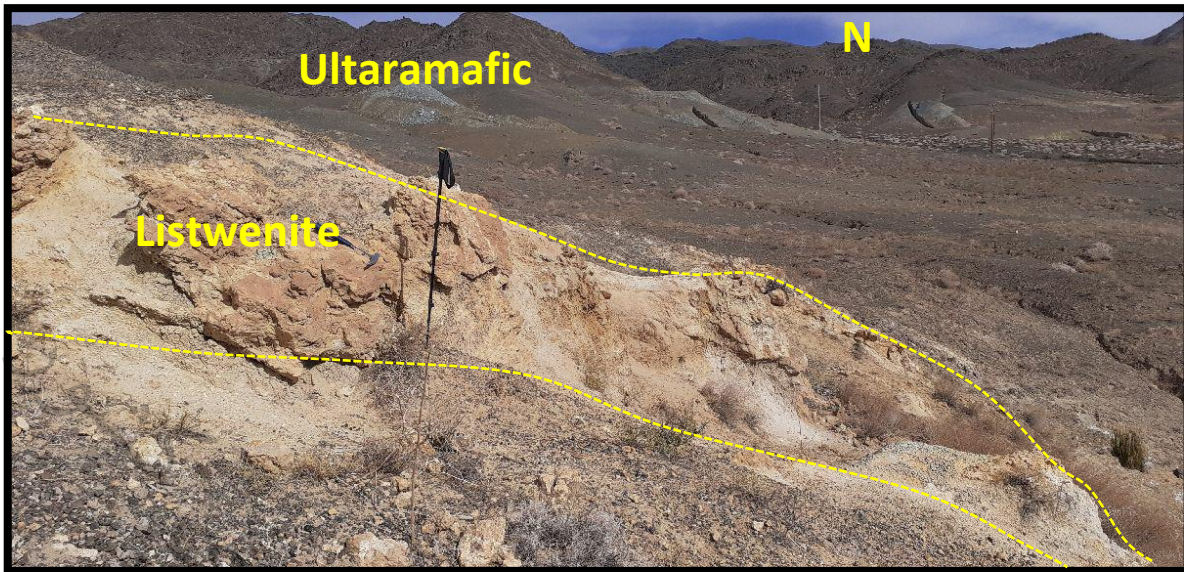
عکس ۴-۱۷۹- نمایی از زون آلتره و ترانشه حفر شده در آن. نمونه BIRG2S150

-نمونه BIRG2S149 از یک رگه لیستونیتی به طول ۵۰ متر و عرض ۲ متر در امتداد شرقی-غربی با سنگ میزبان اولترامافیکی برداشت گردید. کانی‌ها در نمونه دستی شامل کربنات، لیمونیت و سیلیس و مقداری کانی‌های رسی هستند(جدول ۱۱۱-۴ و عکس‌های ۱۸۰-۴ و ۱۸۱-۴).

جدول ۴-۱۱۱- آنالیز عنصری به روشن ICP در نمونه BIRG2S150

Sample	X	Y	Au	Ag	Al	As	Ba	Be
BIRG2S149	718167	3615758	5	0.5	10746	15.5	54	1
Ca	Cd	Ce	Co	Cr	Cu	Fe	K	La
10%	0.22	8	14	62	29	29704	2494	5
Li	Mg	Mn	Mo	Na	Ni	P	Pb	S
9	2%	1535	0.56	1936	97	138	4	392
Sb	Sc	Sr	Th	Ti	U	V	Y	Yb
1.01	3.9	267	5	426	5	22	12	1.4
Zn	Zr							
63	24							

در این نمونه عنصر منگنز (1535 pm) ناهنجاری نشان می‌دهد.



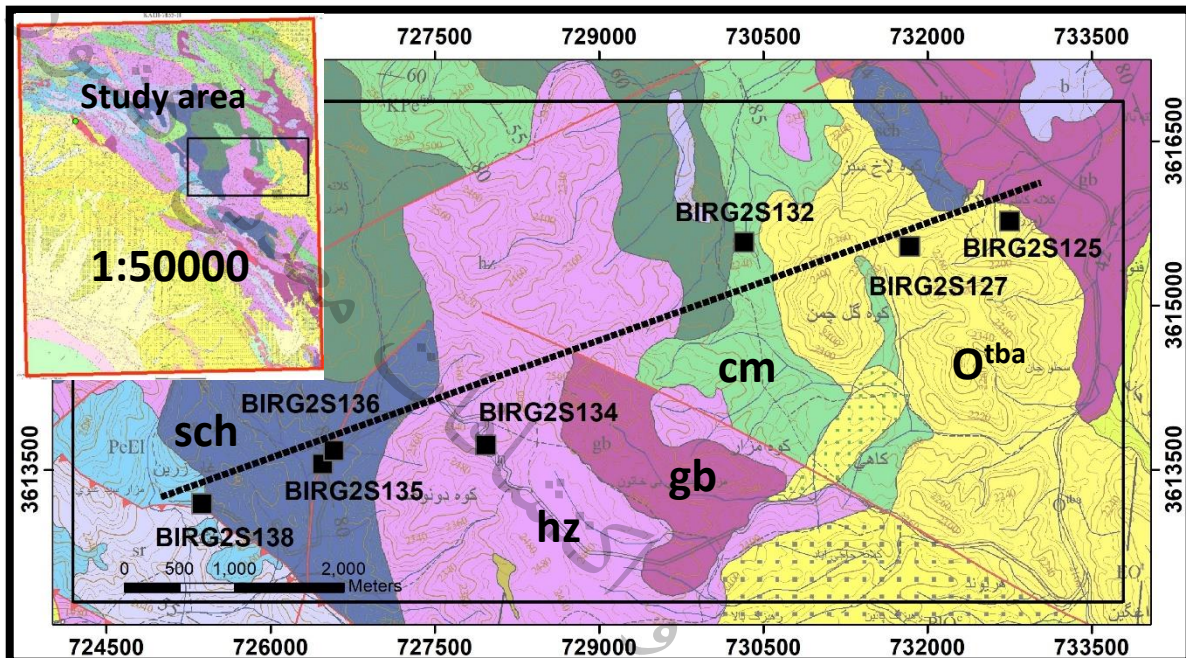
عکس ۴-۱۸۰- نمایی از رگه لیستونیتی با سنگ میزبان اولترامافیکی نمونه BIRG2S149



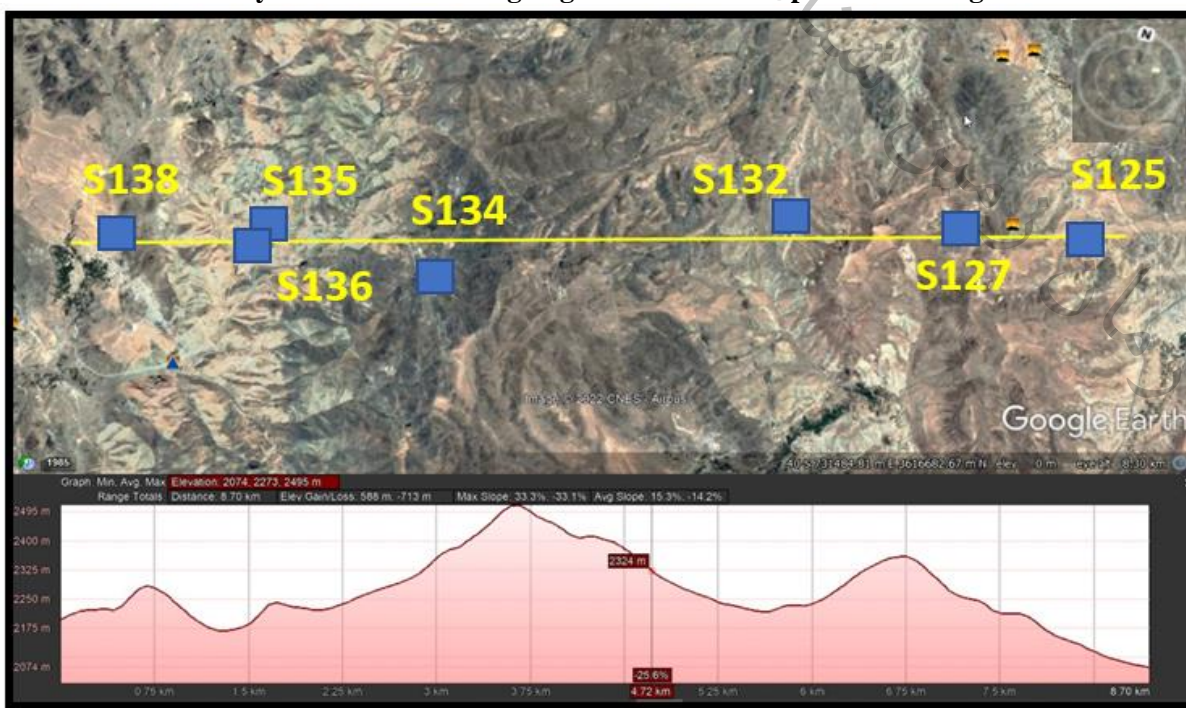
عکس ۴-۱۸۱- نمایی نزدیک از محل نمونه BIRG2S149

۴-۲-۲-۲-پروفیل (۲۲):

شروع پیمایش در این پروفیل از مختصات X: 724,954 Y: 3,613,228 در آزیمoot ۷۳ درجه به طول ۸۵۷ متر بوده است. در این مسیر پیمایش شده تعداد ۷ نمونه از زون‌های مشکوک به کانه زایی برداشت شد. نمونه‌های اخذ شده بر اساس نقشه زمین‌شناسی ۱:۵۰۰۰۰ در واحدهای شیستی، هارزبورژیتی و گابرویی قرار دارند (شکل‌های ۴-۴۷ و ۴-۴۸). در ادامه به شرح نمونه‌های اخذ شده در این پروفیل پرداخته می‌شود:



شکل ۴-۴۷- نمونه‌های برداشت شده در امتداد پروفیل (۲۲) و زمین‌شناسی مربوطه (اقتباس از نقشه ۱:۵۰۰۰۰ کاھی)
O^{tha}: Trachybasalt hz: Harzburgite gb: Gabbro cm: Ophiolite mélange sch: Schist

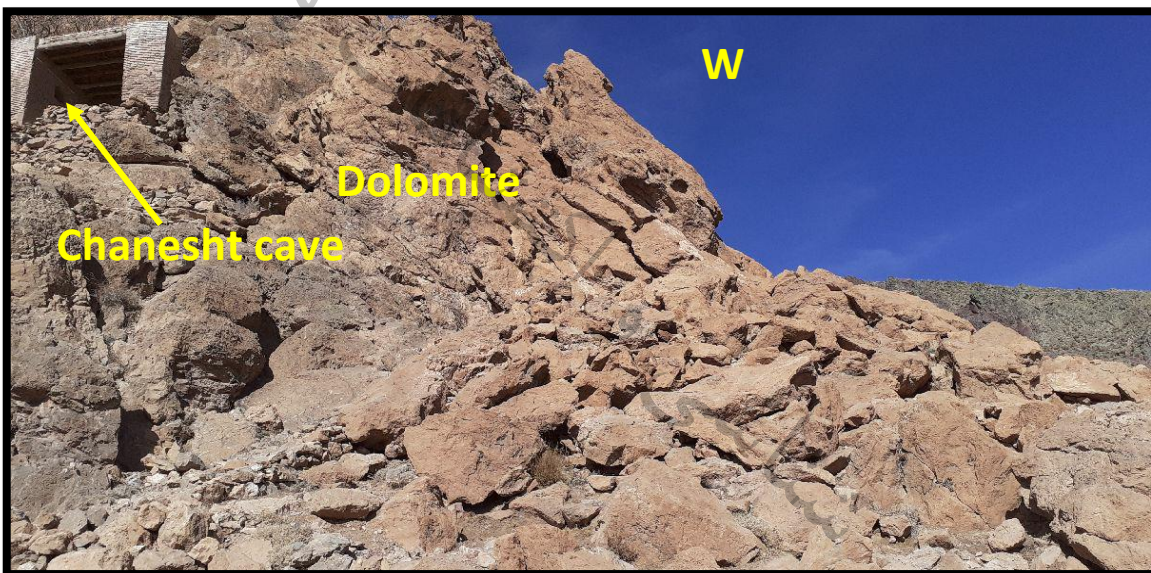


شکل ۴-۴۸- نمایی از پروفیل (۲۲) در تصویر ماهواره‌ای به همراه مقطع عرضی آن.

-نمونه **BIRG2S138** از یک توده دولومیتی-آهکی به منظور بررسی مقدار عناصر دیرگذار یا کانی صنعتی در نزدیکی غار چنشت برداشت گردید. کانی‌ها در نمونه دستی شامل کربنات، لیمونیت و دولومیت هستند(جدول ۱۱۲-۴ و عکس‌های ۱۸۲-۴ و ۱۸۳-۴).

جدول ۱۱۲-۴- آنالیز عنصری به روش ICP در نمونه **BIRG2S138**

Sample	X	Y	Au	Ag	Al	As	Ba	Be
BIRG2S138	725341	3613407	5	0.5	8696	100	36	1
Ca	Cd	Ce	Co	Cr	Cu	Fe	K	La
10%	0.43	5	13	248	23	40101	1230	3
Li	Mg	Mn	Mo	Na	Ni	P	Pb	S
11	2%	173	0.77	1021	441	253	5	722
Sb	Sc	Sr	Th	Ti	U	V	Y	Yb
1.95	2	272	5	388	5	89	3	1
Zn	Zr							
21	12							



عکس ۱۸۲-۴- نمایی از توده دولومیتی-آهکی و غار چنشت در نزدیکی روستای چنشت نمونه **BIRG2S138**



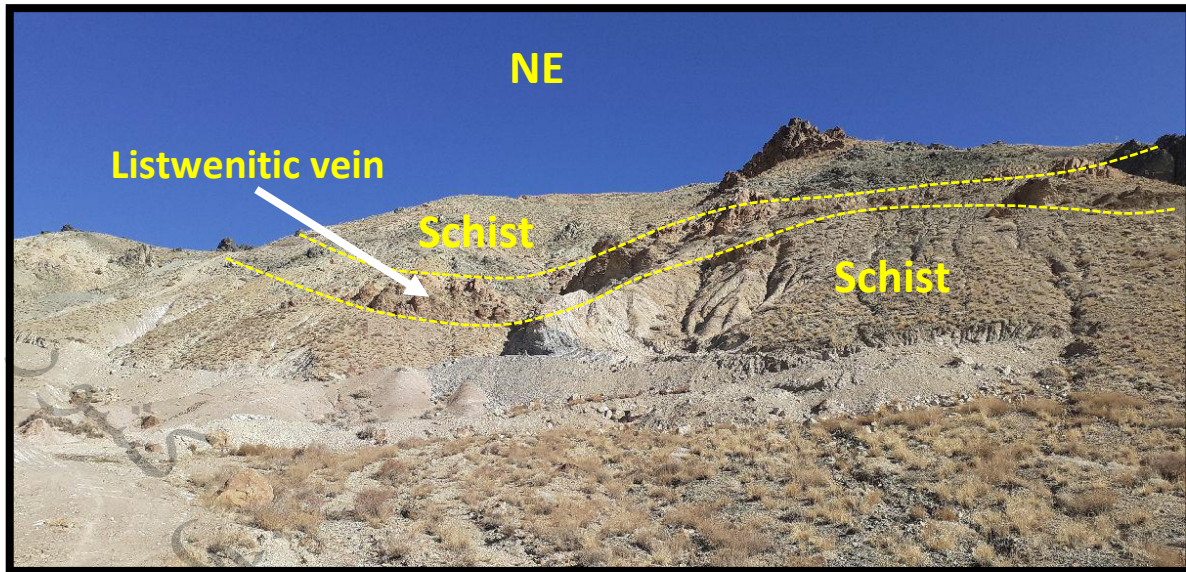
عکس ۴-۱۸۳- نمایی نزدیک از محل نمونه BIRG2S138

- نمونه BIRG2S136 از یک رگه لیستونیتی در امتداد شرقی- غربی به طول بیش از ۱۰۰ متر و عرض بیش از ۵ متر برداشت گردید. کانی‌ها در نمونه دستی شامل کربنات، لیمونیت و سیلیس هستند (جدول ۱۱۳-۴ و عکس‌های ۱۸۴-۴ و ۱۸۵-۴). نمونه BIRG2S137T نیز به منظور مطالعات پتروگرافی برداشت گردید. کانی‌های سیز رنگ احتمالاً فوکسیت هستند.

جدول ۴-۱۱۳- آنالیز عنصری به روی ICP در نمونه BIRG2S136

Sample	X	Y	Au	Ag	Al	As	Ba	Be
BIRG2S136	726392	3613783	5	0.5	12437	100	16	1
Ca	Cd	Ce	Co	Cr	Cu	Fe	K	La
10%	0.35	4	20	714	12	24243	500	3
Li	Mg	Mn	Mo	Na	Ni	P	Pb	S
29	2%	2542	0.53	454	222	37	5	401
Sb	Sc	Sr	Th	Ti	U	V	Y	Yb
1.07	5.9	198	5	232	5	23	7	0.8
Zn	Zr							
33	7							

در این نمونه عنصر منگنز (2542 ppm) ناهنجاری نشان می‌دهد.



عکس ۴-۱۸۴- نمایی از رگه لیستونیتی در سنگ میزبان شیستی نمونه BIRG2S136



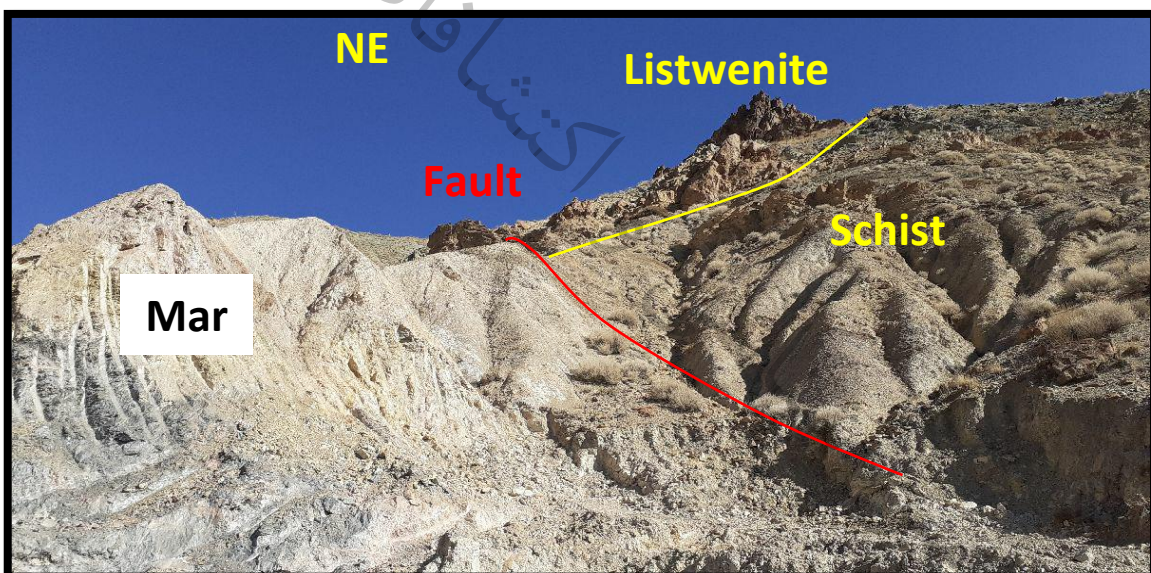
عکس ۴-۱۸۵- نمایی نزدیک از نمونه BIRG2S136 حاوی کانی‌های فوکسیت، سیلیس، لیمونیت و کربنات

-نمونه **BIRG2S135** از زون گسلی در مرز مارن و شیست در نزدیکی نمونه بالا برداشت گردید. در نمونه دستی شامل کانی‌های رسی و کمی لیمونیت هستند(جدول ۱۱۴-۴ و عکس‌های ۱۸۶-۴ و ۱۸۷-۴).

جدول ۱۱۴-۴- آنالیز عنصری به روش ICP در نمونه BIRG2S135

Sample	X	Y	Au	Ag	Al	As	Ba	Be
BIRG2S135	726392	3613783	5	0.5	47546	98.6	131	1
Ca	Cd	Ce	Co	Cr	Cu	Fe	K	La
56215	0.31	33	14	245	19	27776	9275	17
Li	Mg	Mn	Mo	Na	Ni	P	Pb	S
53	15550	1043	0.52	660	97	287	11	495
Sb	Sc	Sr	Th	Ti	U	V	Y	Yb
1.56	8.2	131	5	2234	5	54	15	1.6
Zn	Zr							
52	63							

در این نمونه عناصر منگنز(1043 ppm) و منزیم(15550 ppm) ناهنجاری نشان می‌دهد.



عکس ۱۸۶-۴- نمایی از واحد مارنی در مجاورت واحد شیستی و زون گسلی نمونه BIRG2S136

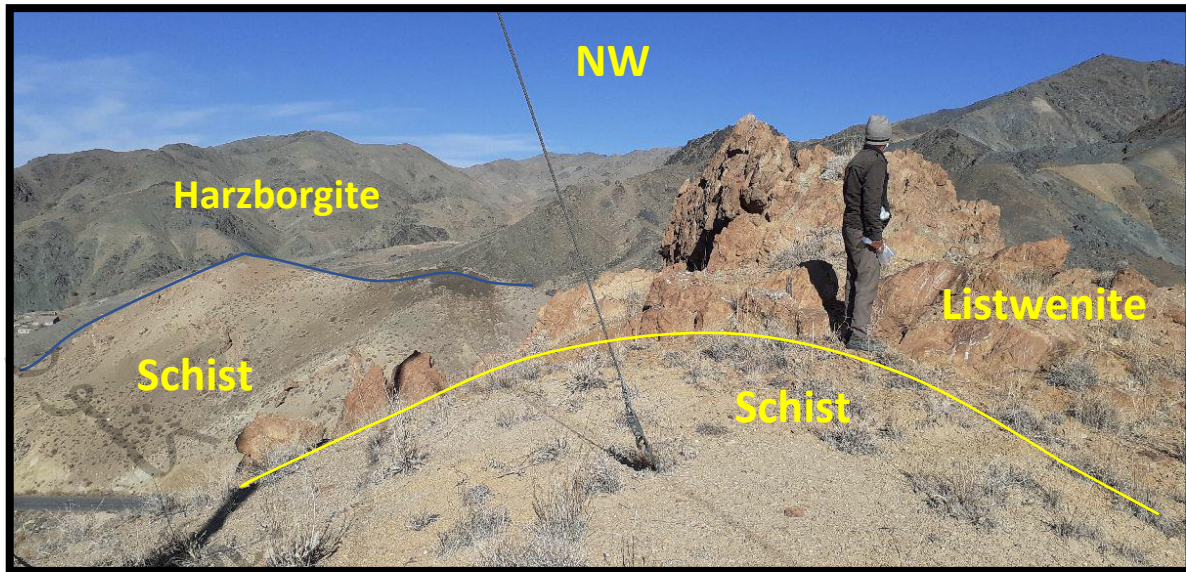


عکس ۴-۱۸۷- نمایی نزدیک از نمونه BIRG2S135 از زون گسلی آلتره در داخل مارن‌ها

- نمونه BIRG2S134 از یک رگه لیستونیتی به طول ۱۰۰ متر و عرض ۵ متر در امتداد شمال غرب - جنوب شرق برداشت گردید. سنگ میزبان این رگه هارزبورژیت سرپانتینیتی می‌باشد. در نمونه دستی شامل کانی‌های سیلیسی، کربنات و کمی لیمونیت هستند(جدول ۱۱۵-۴ و عکس‌های ۱۸۸-۴ تا ۱۹۰-۴).

جدول ۴-۱۱۵- آنالیز عنصری به روی ICP در نمونه BIRG2S134

Sample	X	Y	Au	Ag	Al	As	Ba	Be
BIRG2S134	727886	3613915	5	0.5	1509	82.7	24	1
Ca	Cd	Ce	Co	Cr	Cu	Fe	K	La
44707	0.31	2	27	214	8	29935	224	1
Li	Mg	Mn	Mo	Na	Ni	P	Pb	S
13	2%	431	0.53	500	564	43	3	399
Sb	Sc	Sr	Th	Ti	U	V	Y	Yb
1.21	2.1	447	5	62	5	30	2	0.5
Zn	Zr							
10	5							



عکس ۴-۱۸۸- نمایی از رگه لیستونیتی با سنگ میزان شیستی. نمونه BIRG2S134



عکس ۴-۱۸۹- نمایی تزدیک از رگه‌های کربناتی در سنگ لیستونیتی

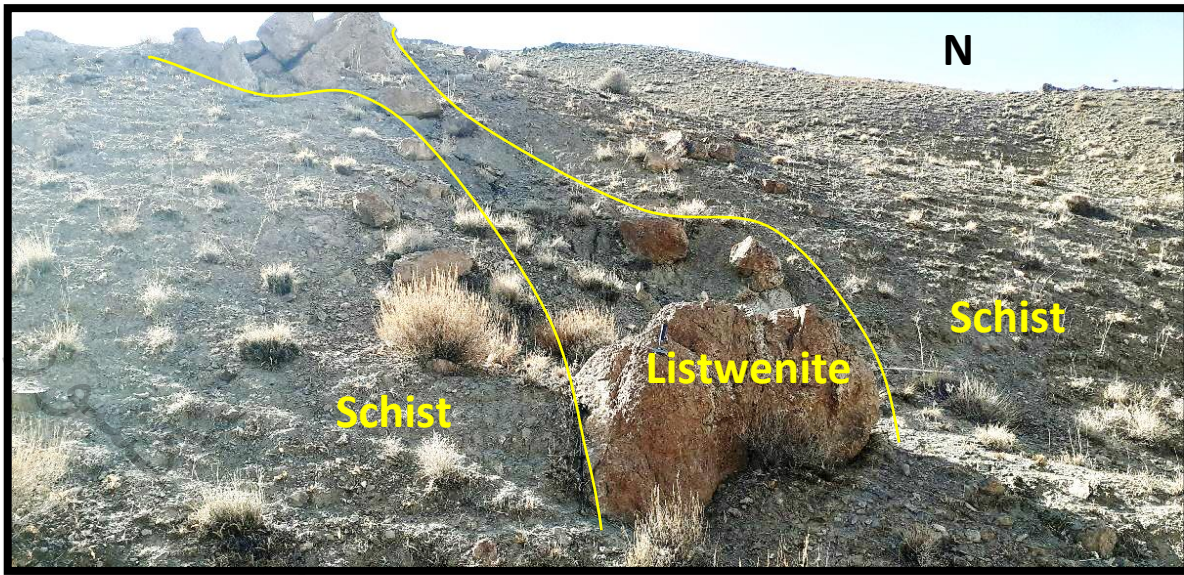


عکس ۴-۱۹۰- نمایی نزدیک از نمونه BIRG2S134 که از رگه لیستونیتی برداشت گردید.

-نمونه BIRG2S132 از یک رگه لیستونیتی دولومیتی به طول ۵۰ متر و عرض ۲ متر در امتداد شمالی-جنوبی برداشت گردید. سنگ میزبان این رگه توف می‌باشد. در نمونه دستی شامل کانی‌های سیلیسی، کربنات و لیمونیت هستند (جدول ۴-۱۱۶ و عکس ۴-۱۹۱).

جدول ۴-۱۱۶- آنالیز عنصری به روی ICP در نمونه BIRG2S132

Sample	X	Y	Au	Ag	Al	As	Ba	Be
BIRG2S132	730431	3615417	5	0.5	3307	1.9	54	1
Ca	Cd	Ce	Co	Cr	Cu	Fe	K	La
10%	0.18	1	46	726	13	28396	306	1
Li	Mg	Mn	Mo	Na	Ni	P	Pb	S
24	2%	1066	0.51	455	953	53	4	347
Sb	Sc	Sr	Th	Ti	U	V	Y	Yb
1.15	4.2	534	5	68	5	18	1	0.6
Zn	Zr							
32	5							



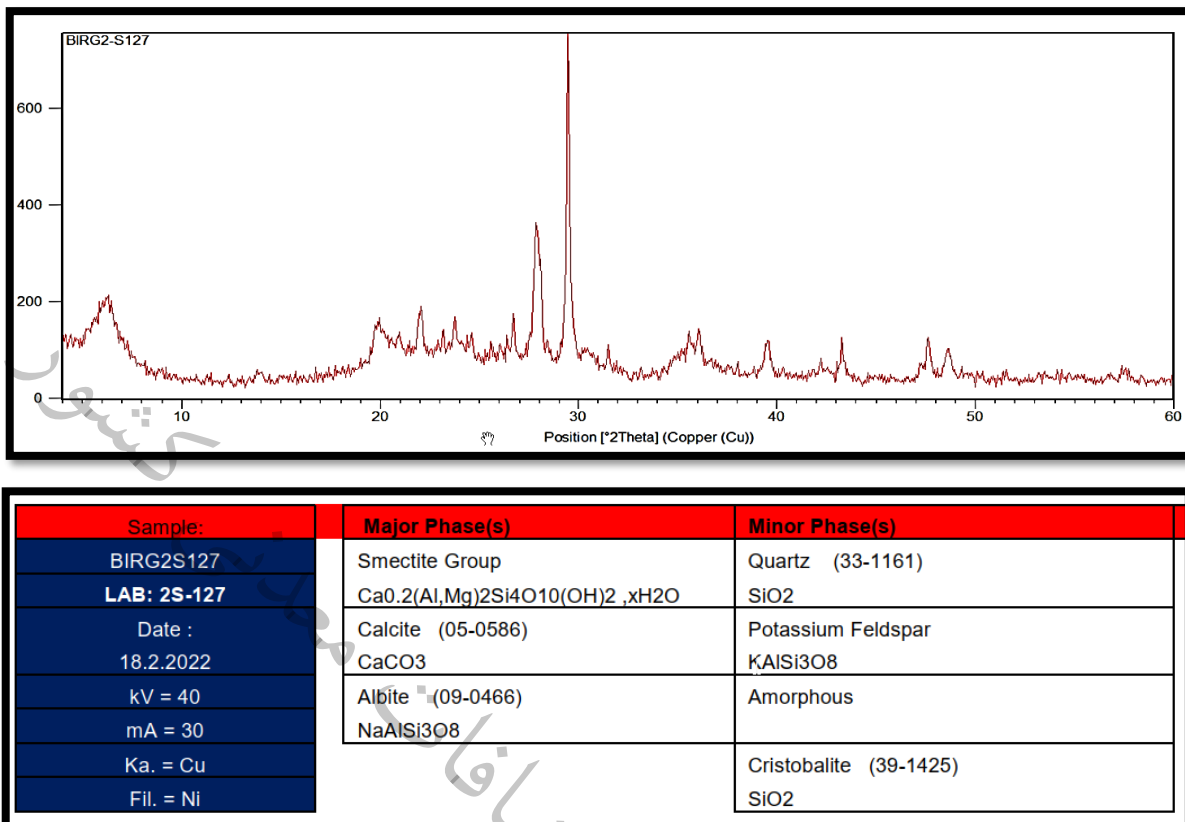
عکس ۴-۱۹۱- نمایی از رگه لیستونیتی با سنگ میزبان شیستی. نمونه BIRG2S132

-نمونه BIRG2S127 از یک زون آلتی به طول ۵۰ متر و عرض ۲۰ متر در امتداد شمالی-جنوبی برداشت گردید. سنگ میزبان این رگه توف می‌باشد. در نمونه دستی شامل کانی‌های سیلیسی، کربنات و لیمونیت هستند (جدول ۱۱۷-۴ و عکس‌های ۱۹۲-۴ و ۱۹۳-۴). این نمونه به منظور کانی‌شناسی مورد آنالیز XRD هم قرار گرفت (شکل ۴۹). بر اساس این آنالیز نمونه مذکور در خانواده اسمکتیت که یک نوع رس است قرار می‌گیرد.

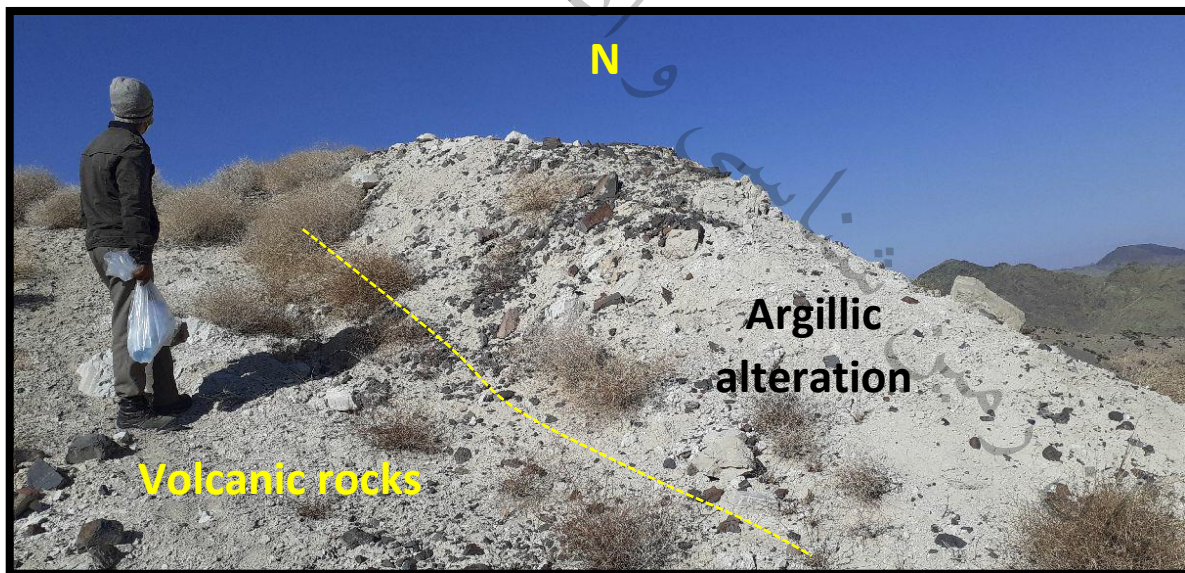
جدول ۴-۱۱۷- آنالیز عنصری به روشن ICP در نمونه BIRG2S127

Sample	X	Y	Au	Ag	Al	As	Ba	Be
BIRG2S127	731817	3615736	6	0.5	73629	2.8	268	1.5
Ca	Cd	Ce	Co	Cr	Cu	Fe	K	La
57938	0.23	58	5	28	9	16635	9193	22
Li	Mg	Mn	Mo	Na	Ni	P	Pb	S
22	13222	282	0.61	14631	29	303	9	383
Sb	Sc	Sr	Th	Ti	U	V	Y	Yb
0.97	4.7	369	5	2718	5	150	12	1.6
Zn	Zr							
40	168							

در این نمونه عنصر تیتانیم (2718 ppm) ناهنجاری نشان می‌دهد.



شکل ۴-۴۹- نتیجه آنالیز XRD نمونه BIRG2S127 که نشان دهنده اسمکتیت است.



عکس ۴-۱۹۲- نمایی از رگه آرژیلیکی با سنگ میزبان توفی و ولکانیکی. نمونه BIRG2S127

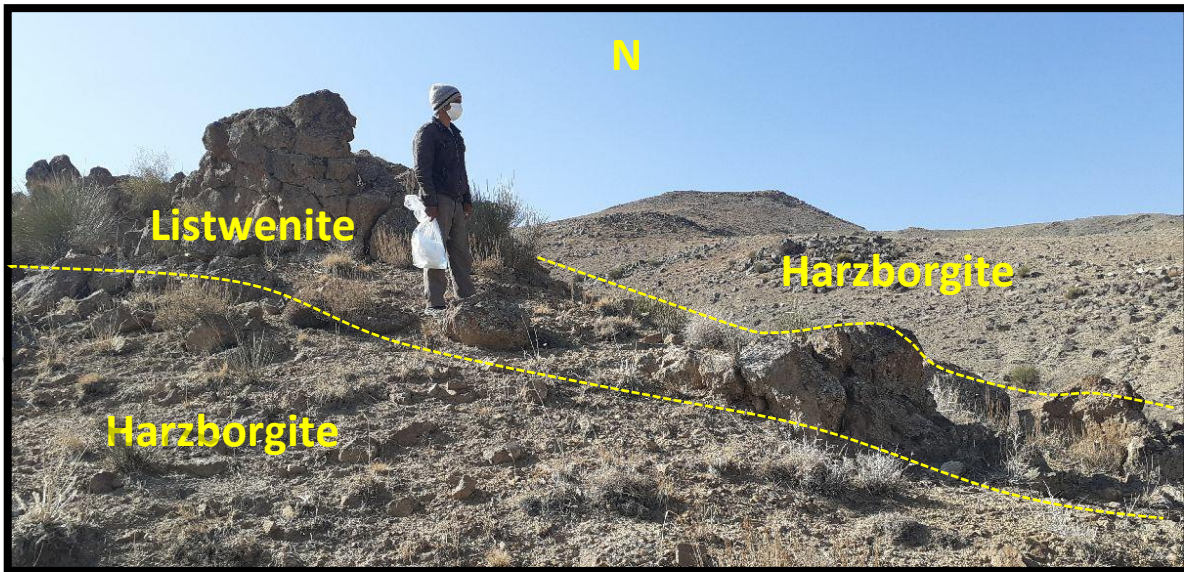


عکس ۴-۱۹۳- نمایی نزدیک از نمونه BIRG2S127 که از زون آرژیلیکی برداشت گردید.

-نمونه BIRG2S125 از یک رگه لیستونیتی دولومیتی به طول ۱۰۰ متر و عرض ۲ متر در امتداد شمال غرب-جنوب شرق برداشت گردید. سنگ میزبان این رگه سنگ‌های هارزبورژیتی سرپاپتینیتی شده می‌باشد. در نمونه دستی شامل کانی‌های سیلیسی، کربنات، لیمونیت و یک کانی سبز رنگ یه نام فوکسیت هستند (جدول ۴-۱۱۸ و عکس‌های ۱۹۴-۴ و ۱۹۵-۴). از این نقطه نمونه BIRG2S126TP به منظور مطالعات پتروگرافی و مینرالوگرافی برداشت گردید.

جدول ۴-۱۱۸- آنالیز عنصری به روشن ICP در نمونه BIRG2S125

Sample	X	Y	Au	Ag	Al	As	Ba	Be
BIRG2S125	732672	3615994	5	0.5	3151	13.2	85	1
Ca	Cd	Ce	Co	Cr	Cu	Fe	K	La
10%	0.23	2	47	736	17	31482	543	1
Li	Mg	Mn	Mo	Na	Ni	P	Pb	S
22	2%	907	0.63	454	683	81	5	978
Sb	Sc	Sr	Th	Ti	U	V	Y	Yb
1.4	4	223	5	99	5	30	2	0.6
Zn	Zr							
59	5							



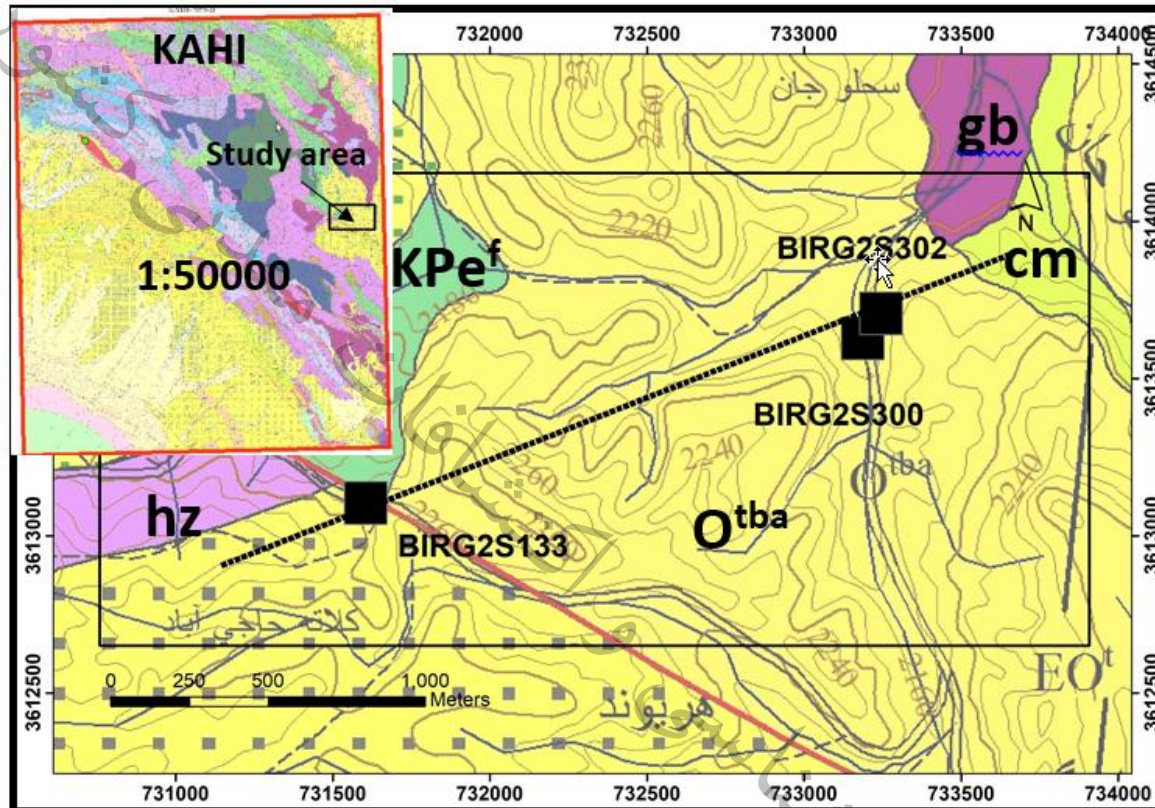
عکس ۴-۱۹۴- نمایی از رگه لیستونیتی با سنگ میزبان هارزبورژیتی. نمونه BIRG2S125



عکس ۴-۱۹۵- نمایی نزدیک از نمونه BIRG2S125 که از یک رگه لیستونیتی برداشت گردید.

۴-۲-۳-۲-پروفیل (۲۳)

شروع پیمایش در این پروفیل از مختصات X: 731,106 Y: 3,612,884 در آزیمут ۶۸ درجه به طول ۲۷۳۲ متر بوده است. در این مسیر پیمایش شده تعداد ۳ نمونه از زون‌های مشکوک به کانه زایی برداشت شد. نمونه‌های اخذ شده بر اساس نقشه زمین‌شناسی ۱:۵۰۰۰۰ در واحدهای شیستی، بازالتی و توپو قوهای قرار دارند (شکل‌های ۴-۵۰ و ۴-۵۱). در ادامه به شرح نمونه‌های اخذ شده در این پروفیل پرداخته می‌شود:



شکل ۴-۵۰- نمونه‌های برداشت شده در امتداد پروفیل (۲۳) و زمین‌شناسی مربوطه (اقتباس از نقشه ۱:۵۰۰۰۰ کاهی)

Otba: Trachybasalt Hz: Harzburgite gb: Gabbro cm: Ophiolite mélange KPef: Phyllite



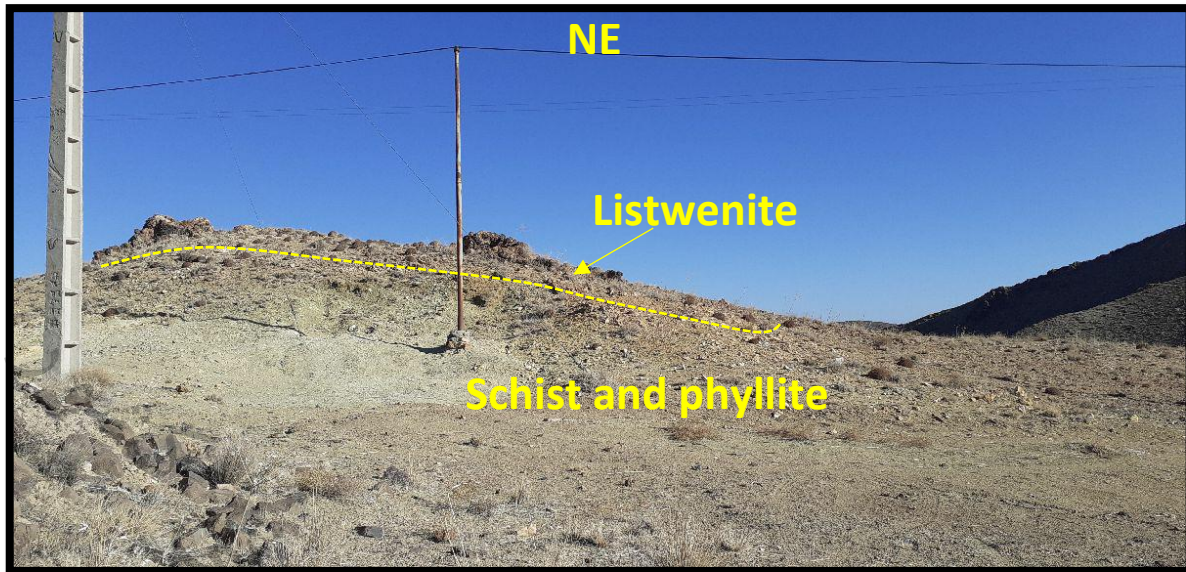
شکل ۴-۵۱- نمایی از پروفیل (۲۳) در تصویر ماهواره‌ای به همراه مقطع عرضی آن.

-نمونه **BIRG2S133** از یک رگه لیستونیتی به طول ۱۰۰ متر و عرض ۲ متر در امتداد شمال غرب-جنوب شرق برداشت گردید. سنگ میزبان این رگه سنگ‌های هارزبورژیتی سرپانتینیتی شده می‌باشد. در نمونه دستی شامل کانی‌های سیلیس و کربنات هستند (جدول ۱۱۹-۴ و عکس‌های ۱۹۶-۴ و ۱۹۷-۴).

جدول ۴-۱۱۹- آنالیز عنصری به روش ICP در نمونه **BIRG2S133**

Sample	X	Y	Au	Ag	Al	As	Ba	Be
BIRG2S133	731623	3613114	5	0.5	6011	100	24	1
Ca	Cd	Ce	Co	Cr	Cu	Fe	K	La
2846	0.27	1	65	3424	69	10%	441	1
Li	Mg	Mn	Mo	Na	Ni	P	Pb	S
10	11991	134	2.9	505	1263	38	11	1048
Sb	Sc	Sr	Th	Ti	U	V	Y	Yb
16.6	12	72	5	102	5	152	1	2.6
Zn	Zr							
59	9							

در این نمونه عناصر کروم (3424 ppm)، نیکل (1263 ppm)، گوگرد (1048 ppm) و منگنز (11991 ppm) ناهنجاری نشان می‌دهد.

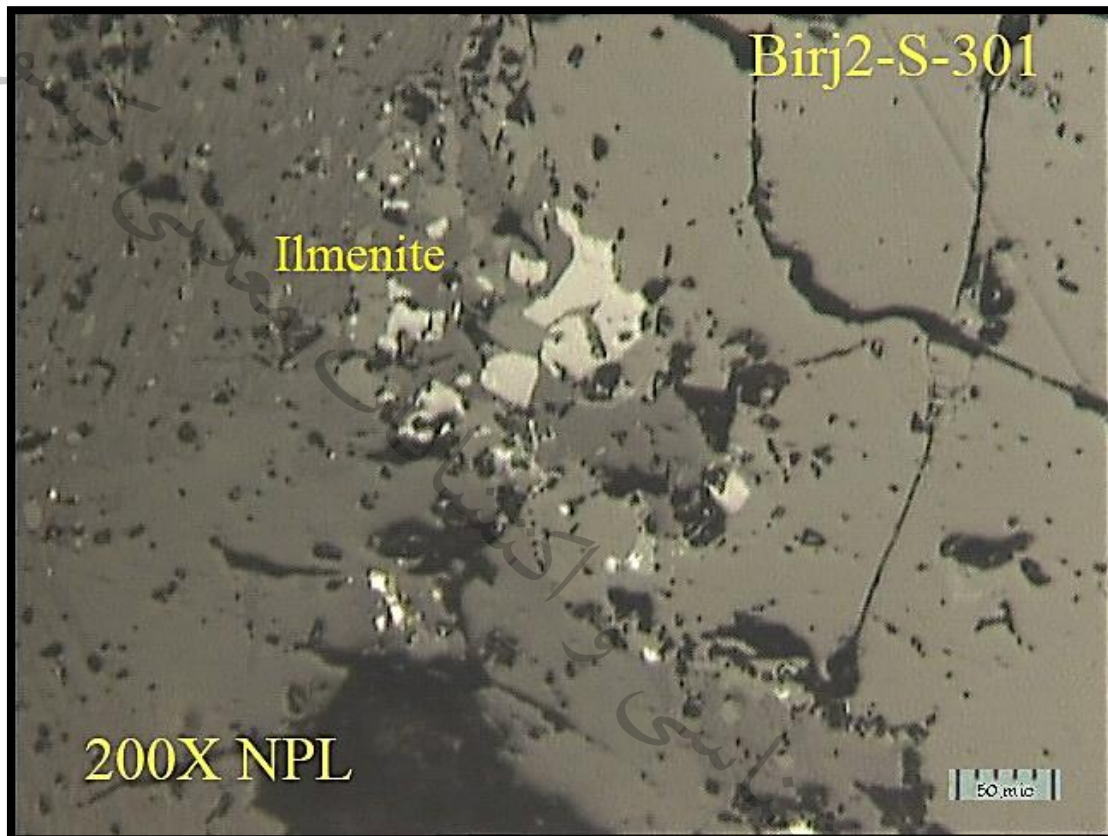


عکس ۴-۱۹۶- نمایی از رگه لیستونیتی با سنگ میزبان شیستی. نمونه BIRG2S133

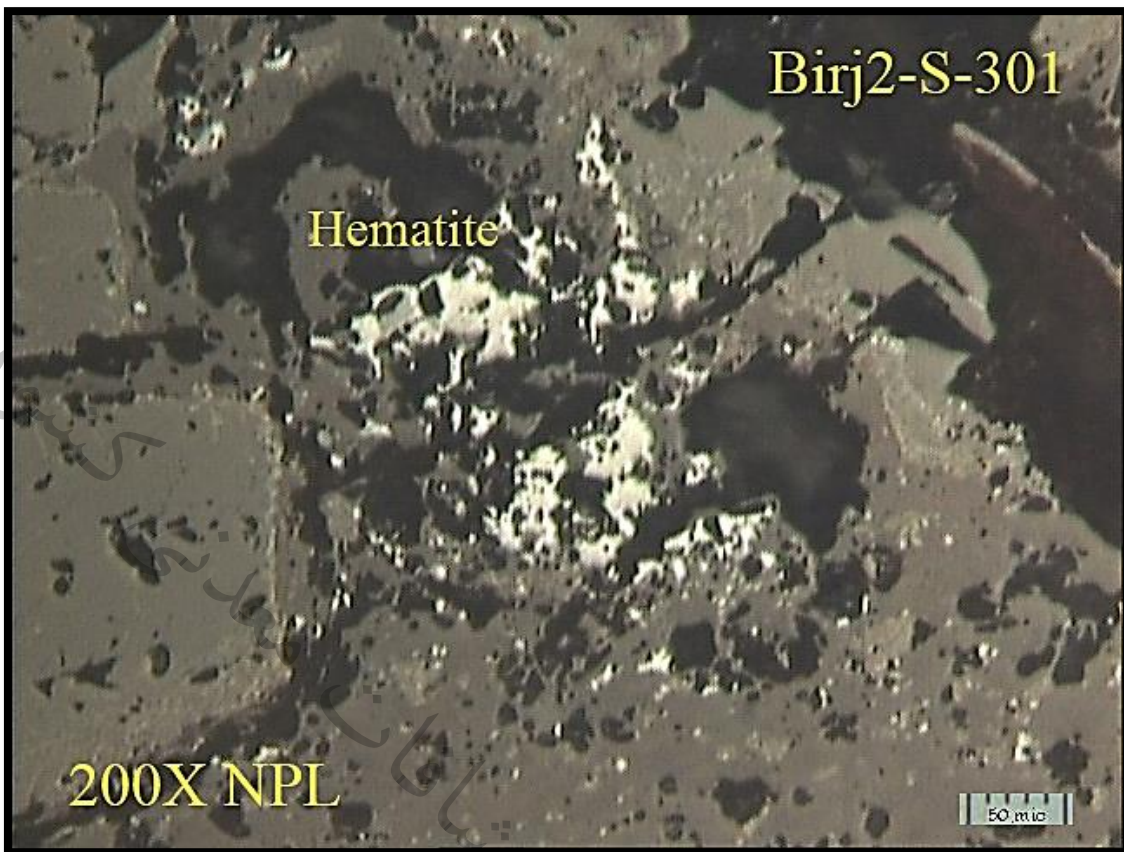


عکس ۴-۱۹۷- نمایی نزدیک از نمونه BIRG2S133 که از یک رگه لیستونیتی برداشت گردید.

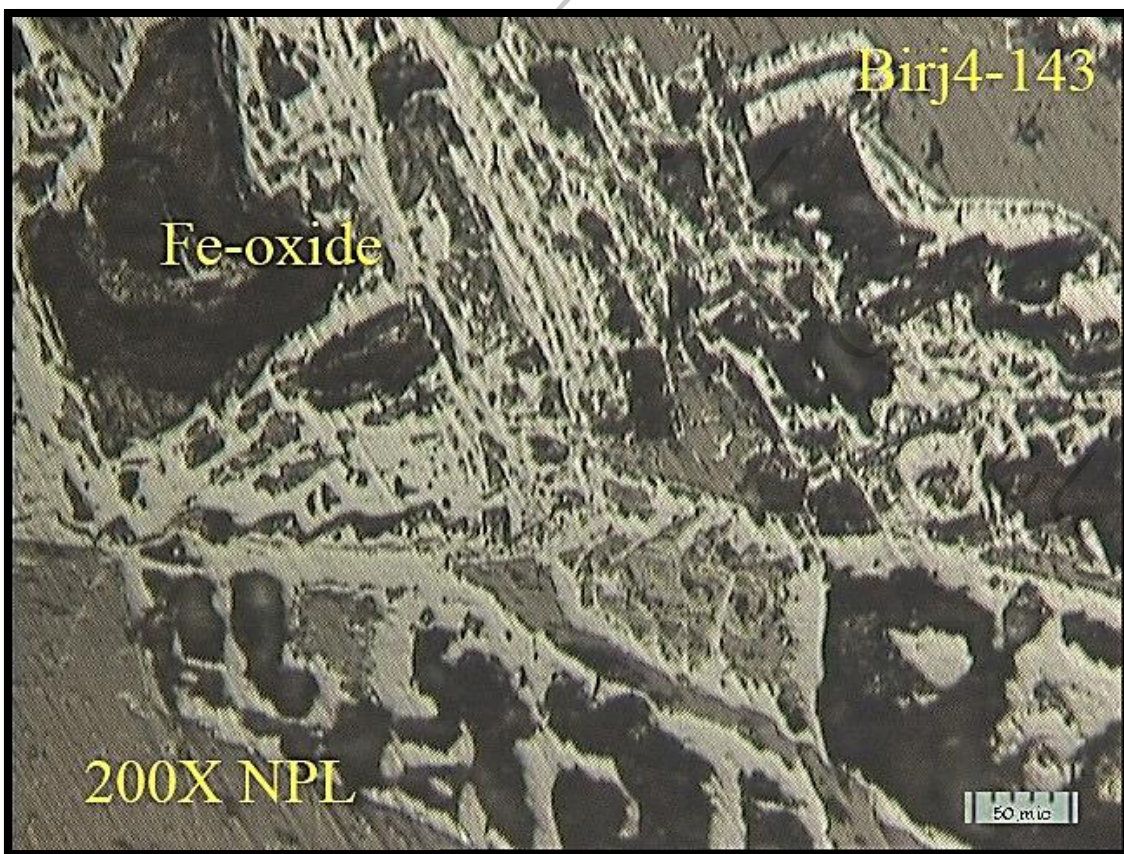
-نمونه **BIRG2S300** از یک زون اکسیدی هماتیتی قرمز رنگ (آخر) به طول چند صد متر و ضخامت چند ده متر برداشت گردید. از نظر مکانی در بالای واحد آندزیتی-بازالتی که به طور تدریجی به زون اکسیدی تبدیل می‌شود قرار دارد (جدول ۱۲۰-۴ و عکس‌های ۲۰۱-۴ تا ۲۰۳-۴). بافت آن اسفنجی-پومایسی است. نمونه‌های **BIRG2S303TP** و **BIRG2S301TP** به منظور مطالعات پتروگرافی و مینرالوگرافی برداشت گردید (عکس‌های ۱۹۸-۴ تا ۲۰۰-۴).



عکس ۴-۱۹۸- نمایی از کانی ایلمنیت در نمونه **BIRG2S301TP** از زون اکسیدی هماتیتی شدیداً قرمز



عکس ۴-۱۹۹- نمایی از کانی هماتیت در نمونه BIRG2S301TP از زون اکسیدی هماتیتی شدیداً قرمز



عکس ۴-۲۰۰- نمایی از بافت کانی هماتیت در نمونه BIRG2S301TP

جدول ۴-۱۲۰- آنالیز عنصری به روش ICP در نمونه BIRG2S300

Sample	X	Y	Ag	Ba	Be	Ce	Co	Cr
Birg2-S300	733198	3613648	3.00	347	2.26	81.4	28.8	312
Cu	Dy	Er	Eu	Ga	Gd	La	Li	Mn
95.2	5.00	3.85	2.00	19.3	7.4	40.3	34.2	1003
Nb	Nd	Ni	P	Pb	Sc	Sm	Sr	Te
19.5	34.0	162	1568	20.0	20.8	5.91	516	5
Th	Ti	U	V	Y	Yb	Zn		
20.0	6046	20.0	94.5	41.7	5.0	138.7		

در این نمون عناصر لانتانیم (40.3 ppm)، مس (95.2 ppm)، منگنز (1003 ppm)، فسفر (1568 ppm)، تیتانیم (6046 ppm) و روی (138.7 ppm) ناهنجاری نشان می‌دهد.



عکس ۴-۲۰۱- نمایی از کانی سازی هماتیتی در سنگ میزبان آندزیتی بازالتی. نمونه BIRG2S300



عکس ۴-۲۰۲- نمایی نزدیک از نمونه BIRG2S301TP به منظور مطالعات مینرالوگرافی برداشت شد.

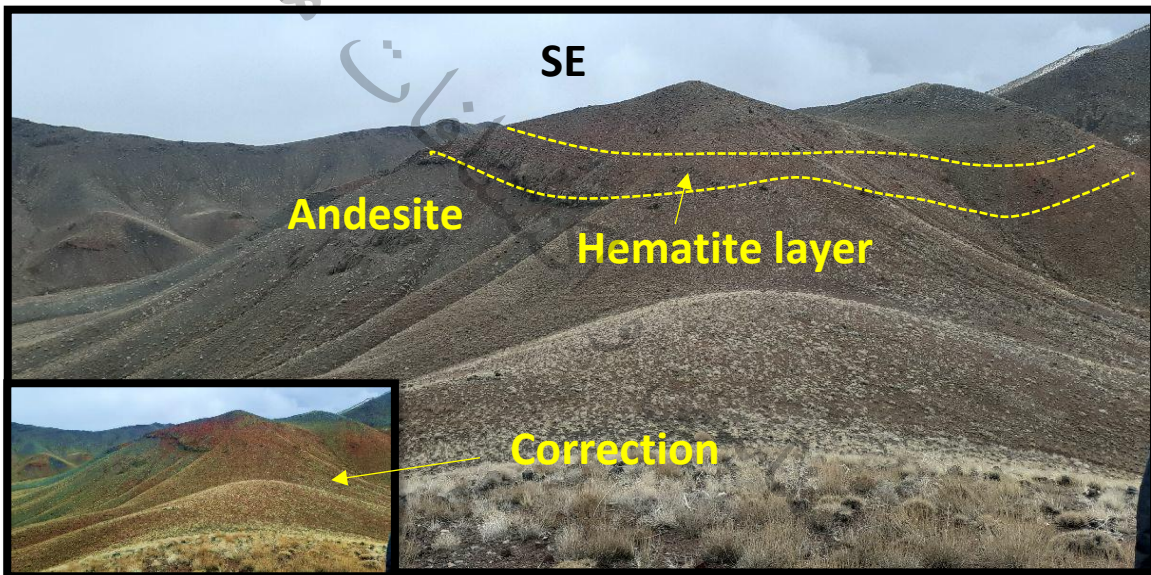


عکس ۴-۲۰۳- نمایی نزدیک از نمونه BIRG2S303TP

- نمونه **BIRG2S302** همانند نمونه قبل از یک زون اکسیدی هماتیتی قرمز رنگ (آخر) به طول چند صد متر و ضخامت چند ده متر برداشت گردید. از نظر مکانی در بالای واحد آندزیتی-بازالتی قرار دارد (جدول ۴-۴ و عکس ۴-۲۱).

جدول ۴-۲۱- آنالیز عنصری به روش ICP در نمونه BIRG2S302

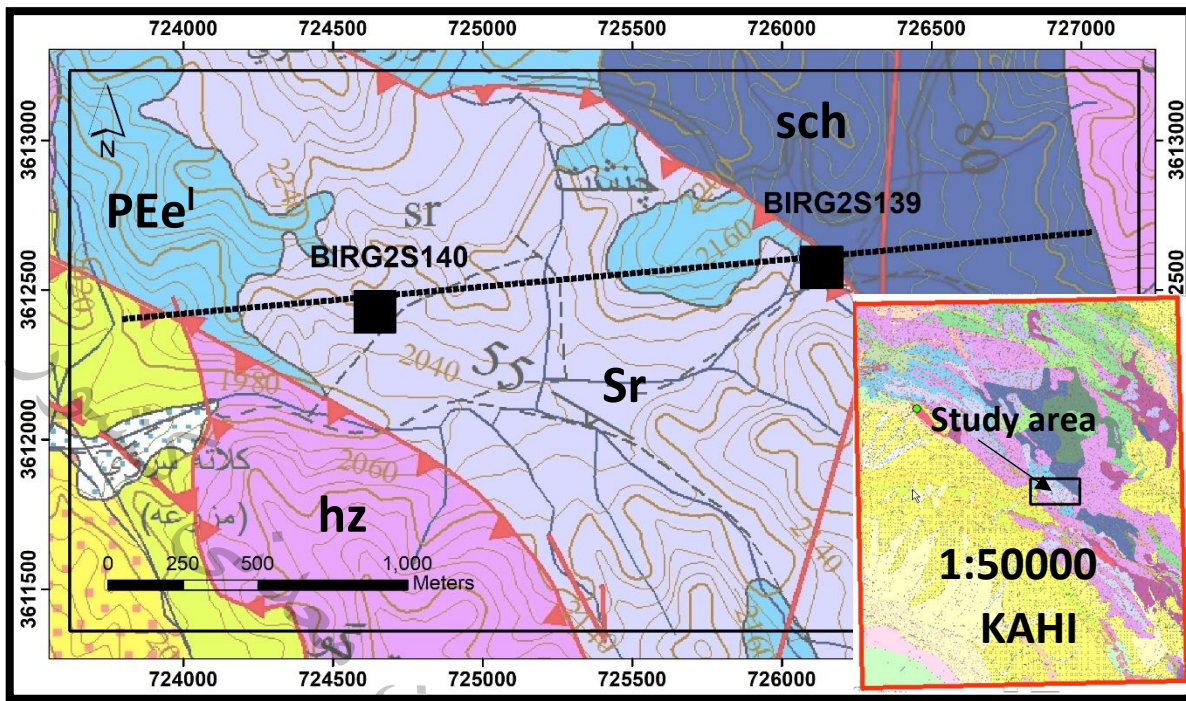
Sample	X	Y	Au	Ag	Ba	Be	Ce	Co
Birg2-S302	733248	3613721	5	3.00	577	2.29	78.1	19.6
Cr	Cu	Dy	Er	Eu	Ga	Gd	La	Li
137	41.0	5.00	3.80	2.00	17.2	6.9	41.2	10.0
Mn	Nb	Nd	Ni	P	Pb	Sc	Sm	Sr
764	21.3	38.2	181	1642	20.0	13.5	5.60	558
Te	Th	Ti	U	V	Y	Yb	Zn	
5	20.0	8249	20.0	107.0	35.7	5.0	63.5	



عکس ۴-۲۰۴- نمایی از لایه کانی سازی هماتیتی در سنگ میزان آندزیتی بازالتی. نمونه BIRG2S302

۴-۲-۴- پروفیل (۲۴):

شروع پیمایش در این پروفیل از مختصات X: 723,785 و Y: 3,612,36 در آزیمoot ۸۵ درجه به طول ۳۲۵۵ متر بوده است. در این مسیر پیمایش شده تعداد ۲ نمونه از زون‌های مشکوک به کانه زایی برداشت شد. نمونه‌های اخذ شده بر اساس نقشه زمین‌شناسی ۱:۵۰۰۰۰ در واحدهای آهکی، هارزبورژیت سرپانتینی شده و مجموعه شیست و فیلیت قرار دارند (شکل‌های ۴-۵۲ و ۴-۵۳). در ادامه به شرح نمونه‌های اخذ شده در این پروفیل پرداخته می‌شود:



شکل ۴-۵۲- نمونه‌های برداشت شده در امتداد پروفیل (۲۴) و زمین‌شناسی مربوطه (اقتباس از نقشه ۱:۵۰۰۰۰ کاھی)
PEE^l: Limestone hz: Harzburgite sr: Serpentine sch: Schist

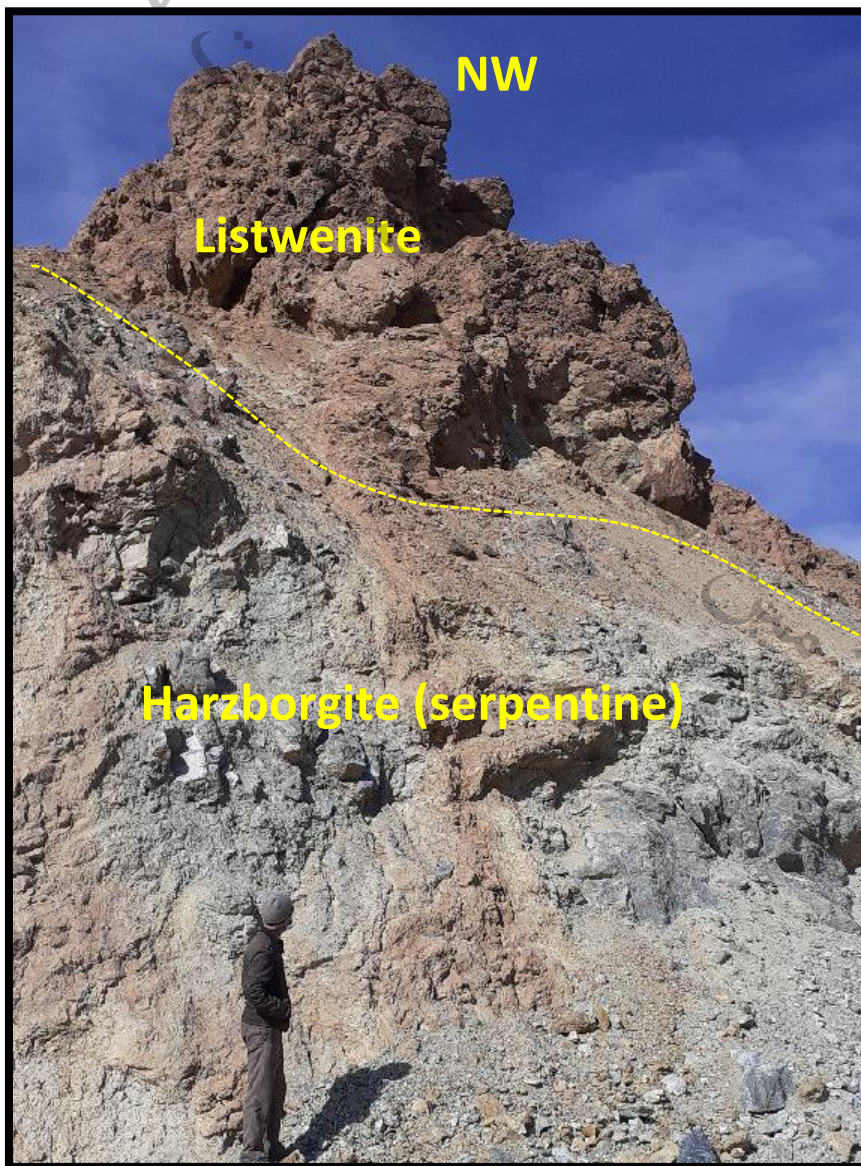


شکل ۴-۵۳- نمایی از پروفیل (۲۴) در تصویر ماهواره‌ای به همراه مقطع عرضی آن.

- نمونه **BIRG2S139** از یک پچ لیستونیتی به ابعاد ۱۰۰ در ۵۰ متر شامل کانی‌های کربنات و لیمونیت و فوکسیت با سنگ میزبان هارزبورژیت سرپانتینیتی شده برداشت گردید (جدول ۱۲۲-۴ و عکس ۴-۲۰۶ و ۲۰۵).

جدول ۱۲۲-۴- آنالیز عنصری به روش ICP در نمونه **BIRG2S139**

Sample	X	Y	Au	Ag	Al	As	Ba	Be
BIRG2S139	726133	3612576	5	0.5	4289	12.4	25	1
Ca	Cd	Ce	Co	Cr	Cu	Fe	K	La
10%	0.17	1	74	2062	5	36031	185	1
Li	Mg	Mn	Mo	Na	Ni	P	Pb	S
16	2%	603	0.53	474	1440	61	3	376
Sb	Sc	Sr	Th	Ti	U	V	Y	Yb
1.72	6.2	145	5	86	5	32	1	0.7
Zn	Zr							
47	5							

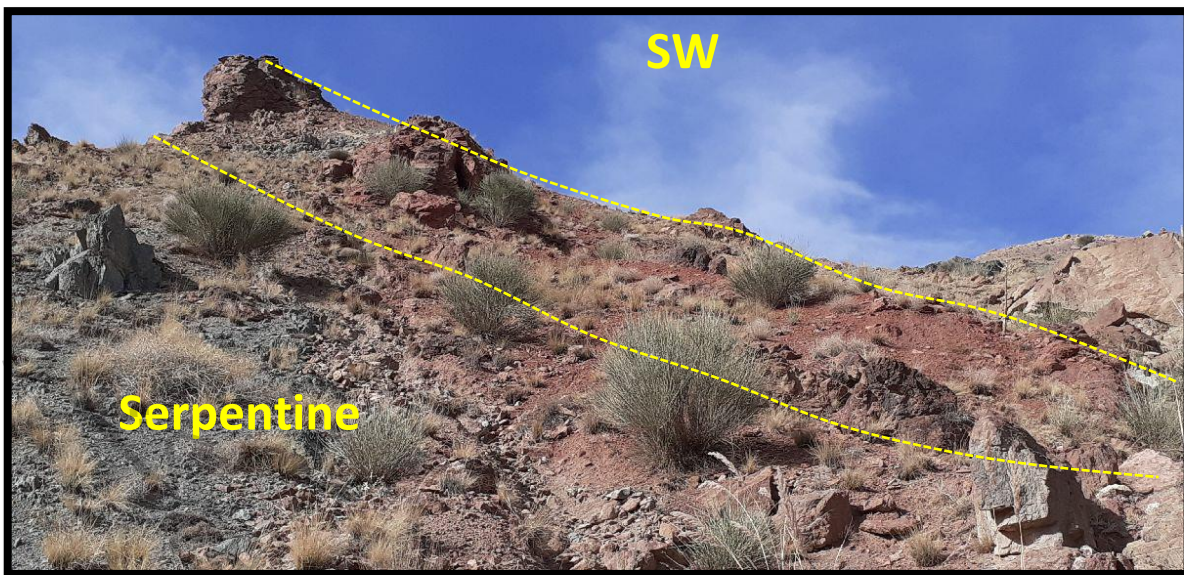
عکس ۴-۲۰۵- نمایی از پچ لیستونیتی در سنگ میزبان هارزبورژیت سرپانتینیتی شده. نمونه **BIRG2S139**



عکس ۴-۲۰۶-نمایی نزدیک از نمونه BIRG2S139 که از یک پچ لیستونیتی برداشت گردید.
نمونه BIRG2S140 از یک رگه لیستونیتی به طول ۵۰ و عرض ۵ متر در امتداد شرقی-غربی شامل کانی‌های کربنات و لیمونیت، سیلیس، هماتیت و فوکسیت با سنگ میزان هارزبورژیت سرپانتینیتی شده برداشت گردید (جدول ۱۲۳-۴ و عکس ۲۰۷-۴ و ۲۰۸-۴).

جدول ۴-۱۲۳-آنالیز عنصری به روش ICP در نمونه BIRG2S140

Sample	X	Y	Au	Ag	Al	As	Ba	Be
BIRG2S140	724646	3612410	5	0.5	3748	2.7	12	1
Ca	Cd	Ce	Co	Cr	Cu	Fe	K	La
83763	0.18	1	43	1659	10	38407	192	1
Li	Mg	Mn	Mo	Na	Ni	P	Pb	S
20	2%	623	0.58	539	683	33	4	337
Sb	Sc	Sr	Th	Ti	U	V	Y	Yb
1.74	5.8	259	5	61	5	46	1	0.6
Zn	Zr							
30	5							



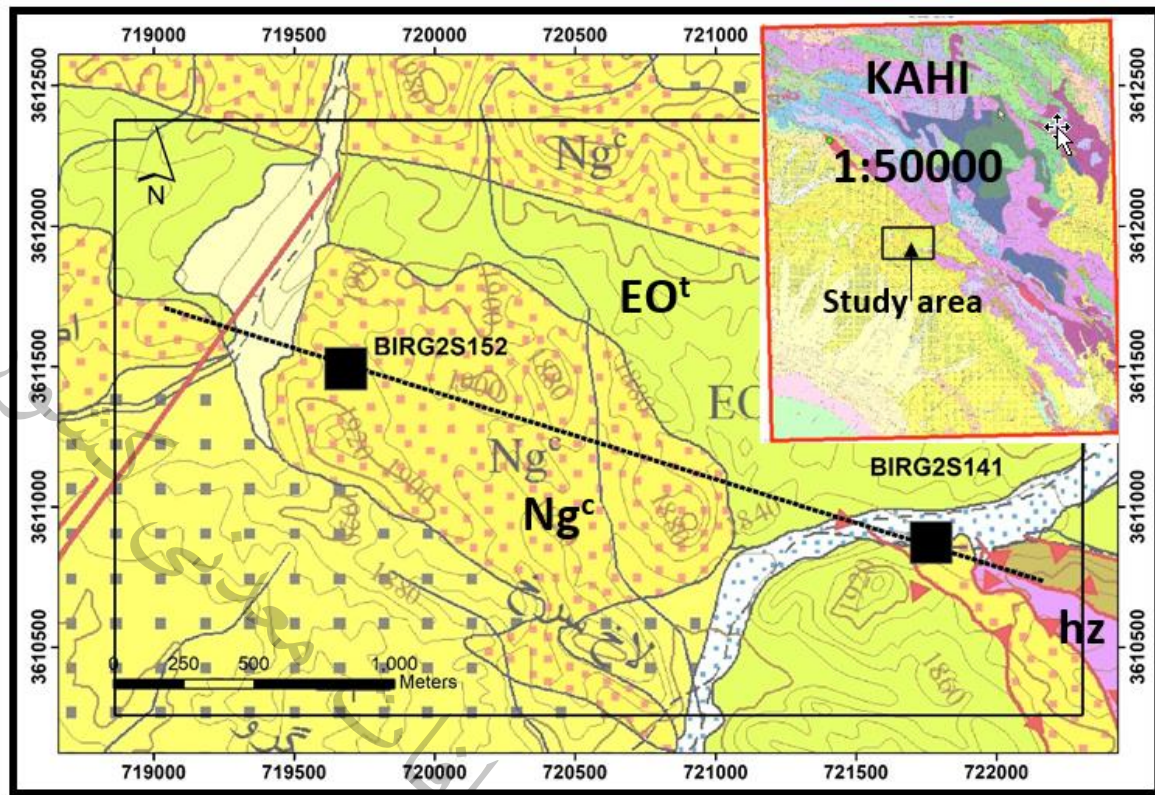
عکس ۴-۲۰۷- نمایی از رگه لیستونیتی در سنگ میزبان هارزبورژیت سرپانتینیتی شده. نمونه BIRG2S140



عکس ۴-۲۰۸- نمایی نزدیک از نمونه BIRG2S140 در محل نمونه برداری

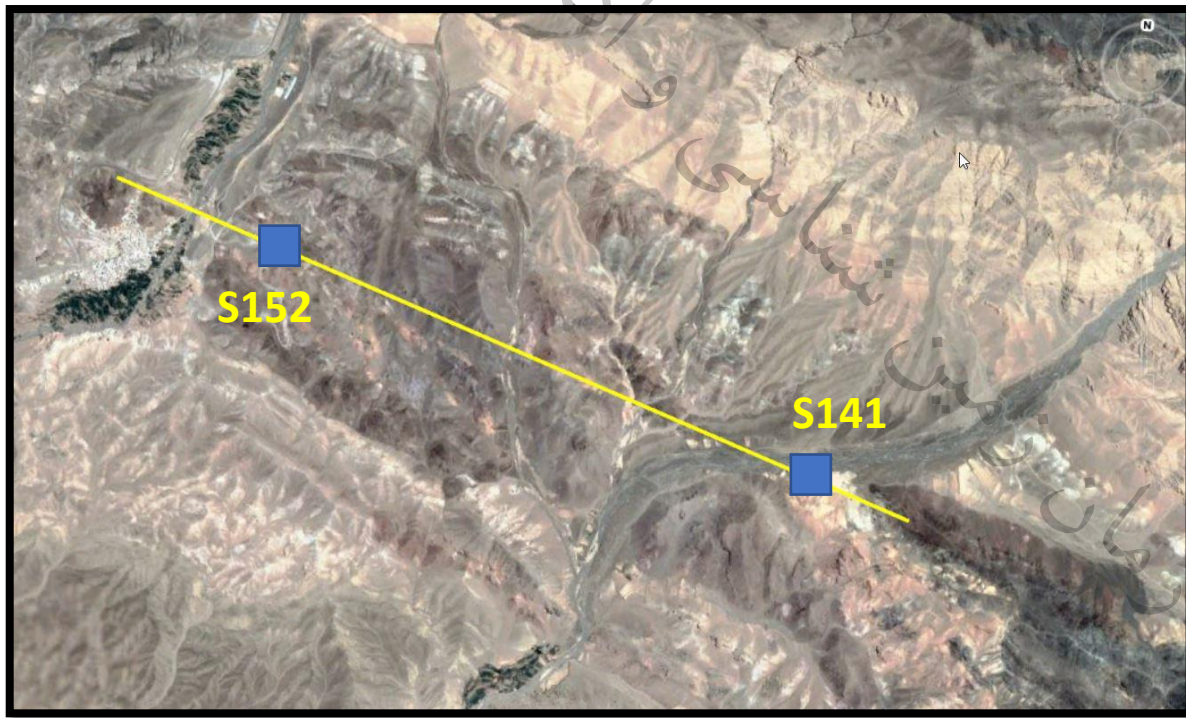
۴-۲۵-۴- پروفیل (۲۵):

شروع پیمایش در این پروفیل از مختصات X: 719,033 و Y: 3,611,728 در آزیمoot ۱۰۷ درجه به طول ۳۲۷۴ متر بوده است. در این مسیر پیمایش شده تعداد ۲ نمونه از زون‌های مشکوک به کانه زایی برداشت شد. نمونه‌های اخذ شده بر اساس نقشه زمین‌شناسی ۱:۵۰۰۰۰ در واحدهای توفی، هارزبورژیتی و کنگلومرایی قرار دارند (شکل‌های ۴-۵۴ و ۵۵-۴). در ادامه به شرح نمونه‌های اخذ شده در این پروفیل پرداخته می‌شود:



شکل ۴-۵۴- نمونه‌های برداشت شده در امتداد پروفیل (۲۵) و زمین‌شناسی مربوطه (اقتباس از نقشه ۱:۵۰۰۰ کاهی)

Ng^c: Conglomerate hz: Harzburgite EO^t: Tuff



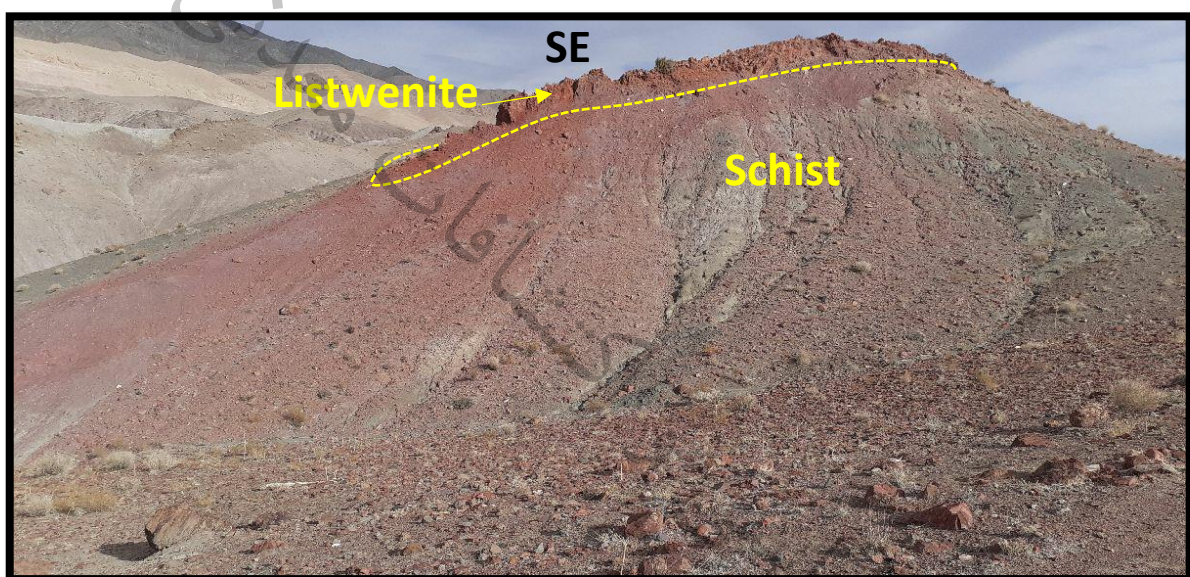
شکل ۴-۵۵- نمایی از پروفیل (۲۵) در تصویر ماهواره‌ای

-نمونه BIRG2S152 از یک رگه لیستونیتی به طول ۲۰۰ و عرض ۱۰ متر متر در امتداد شرقی- غربی شامل کانی‌های کربنات و لیمونیت، سیلیس، هماتیت و فوکسیت با سنگ میزبان شیستی آلترا شده برداشت گردید (جدول ۱۲۴-۴ و عکس ۲۰۹-۴ تا ۲۱۱-۴).

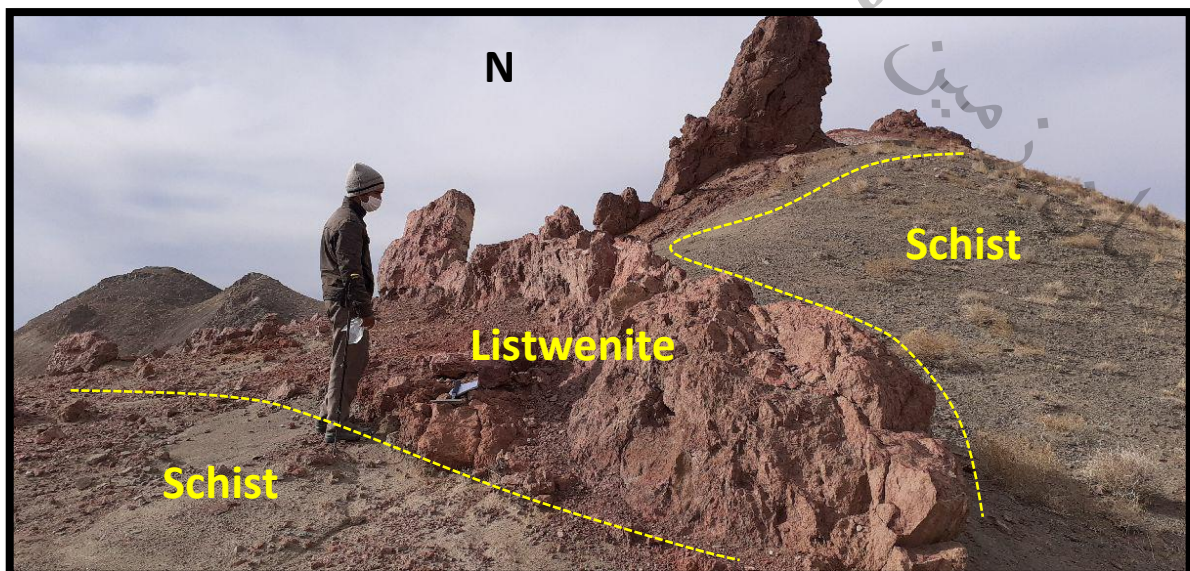
جدول ۴-۱۲۴- آنالیز عنصری به روش ICP در نمونه BIRG2S152

Sample	X	Y	Au	Ag	Al	As	Ba	Be
BIRG2S152	719677	3611514	5	0.5	3908	24.5	34	1
Ca	Cd	Ce	Co	Cr	Cu	Fe	K	La
10%	0.26	2	62	1802	16	41818	320	1
Li	Mg	Mn	Mo	Na	Ni	P	Pb	S
45	2%	1735	0.67	1077	1236	39	4	497
Sb	Sc	Sr	Th	Ti	U	V	Y	Yb
1.49	6.4	369	5	91	5	41	3	0.8
Zn	Zr							
51	5							

در ای نمونه عناصر کروم (1802 ppm)، نیکل (1236 ppm) و منگنز (1735 ppm) ناهنجاری نشان می‌دهد.



عکس ۴-۲۰۹- نمایی از رگه لیستونیتی در سنگ میزان شیستی. نمونه BIRG2S152



عکس ۴-۲۱۰- نمایی نزدیک از رگه لیستونیتی در سنگ میزان شیستی. نمونه BIRG2S152

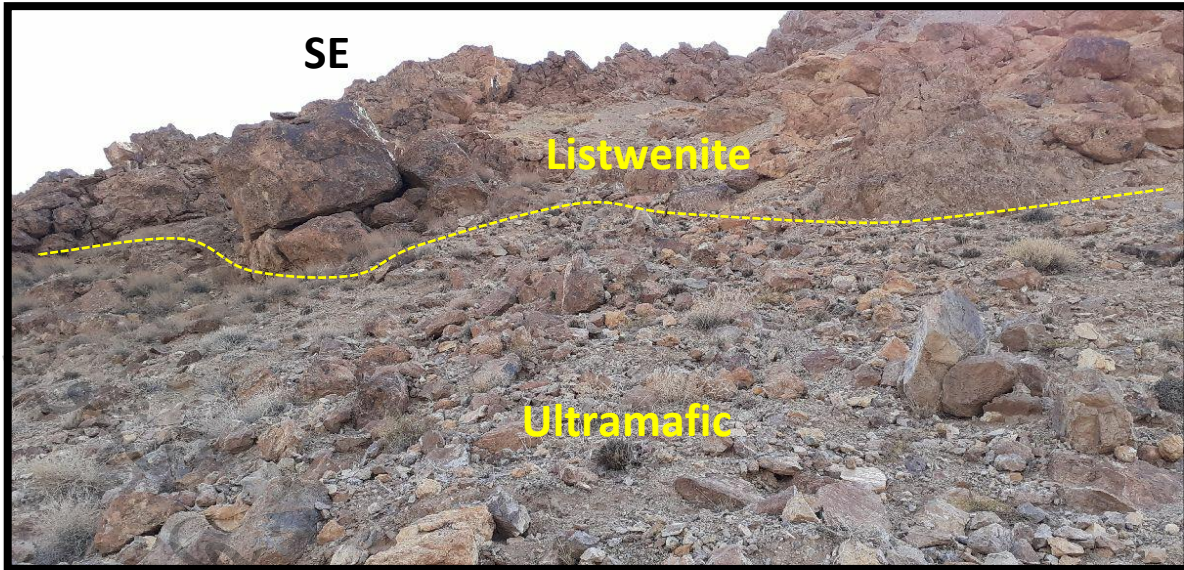


عکس ۴-۲۱۱- نمایی نزدیک از رگه لیستونیتی در محل نمونه BIRG2S152

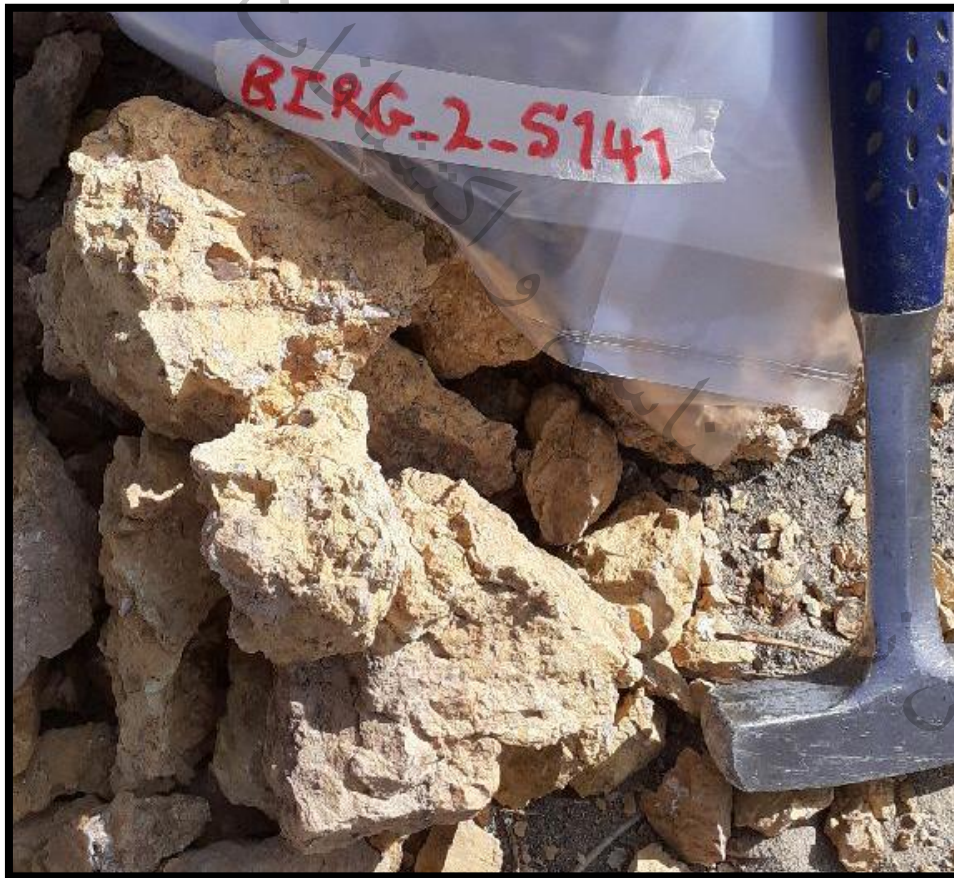
- نمونه BIRG2S141 از یک پچ لیستونیتی به ابعاد ۷۰ × ۵۰ متر شامل کانی‌های کربنات و لیمونیت، سیلیس و فوکسیت با سنگ میزبان هارزبورژیت سرپانتینیتی شده برداشت گردید (جدول ۱۲۵-۴ و عکس ۲۱۲-۴ و ۲۱۳-۴).

جدول ۴-۱۲۵- آنالیز عنصری به روش ICP در نمونه BIRG2S141

Sample	X	Y	Au	Ag	Al	As	Ba	Be
BIRG2S141	721764	3610878	5	0.5	924	13.5	8	1
Ca	Cd	Ce	Co	Cr	Cu	Fe	K	La
20479	0.19	1	44	251	5	40249	106	1
Li	Mg	Mn	Mo	Na	Ni	P	Pb	S
11	2%	385	0.53	345	1070	46	3	313
Sb	Sc	Sr	Th	Ti	U	V	Y	Yb
1.08	3.8	62	5	23	5	22	0.5	0.5
Zn	Zr							
13	5							



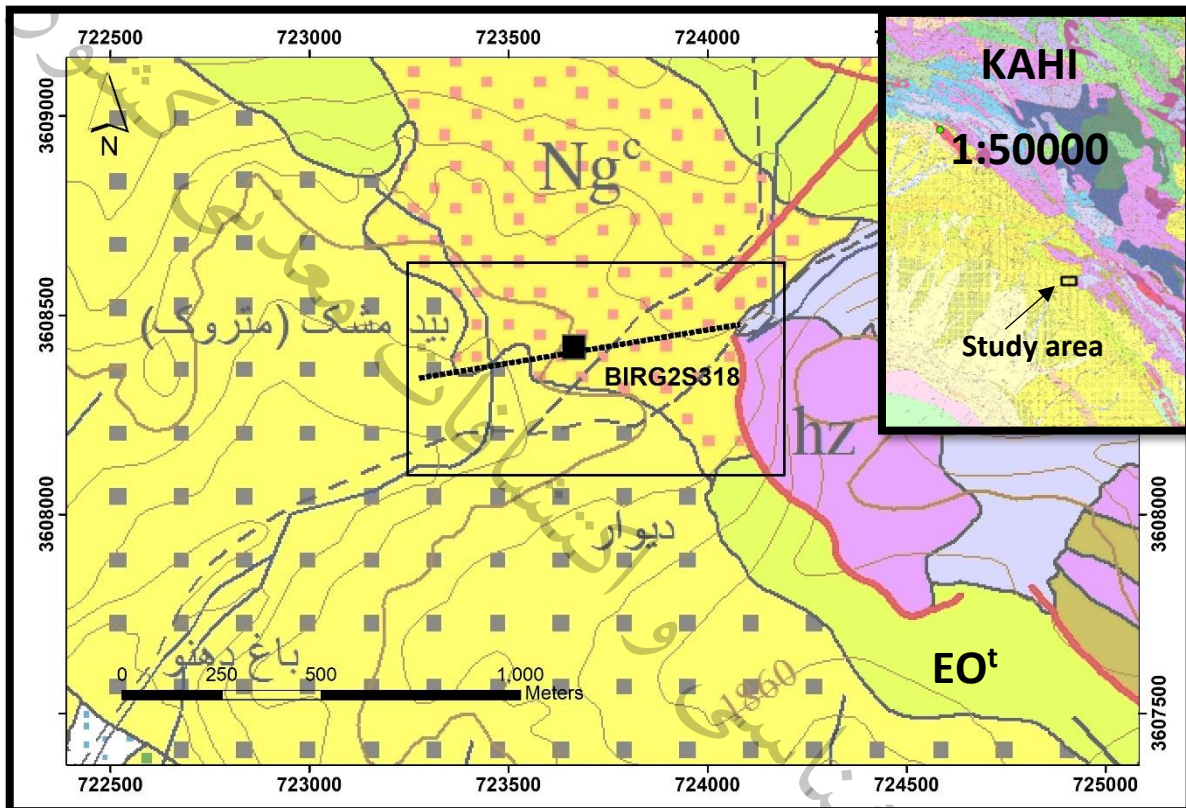
عکس ۴-۲۱۲- نمایی از رگه لیستونیتی در سنگ میزان شیستی. نمونه BIRG2S141



عکس ۴-۲۱۳- نمایی نزدیک از رگه لیستونیتی لیمونیتی در محل نمونه BIRG2S141

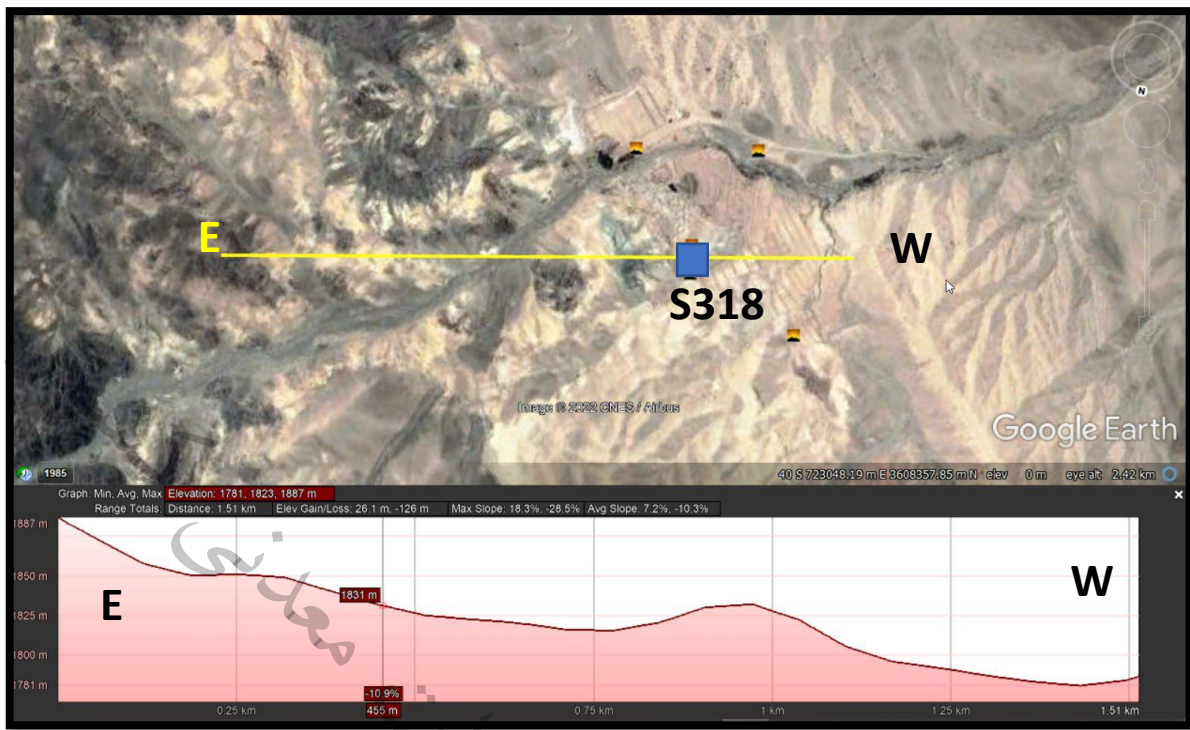
۴-۲-۲-۲۶-پروفیل (۲۶):

شروع پیمایش در این پروفیل از مختصات ۷۲۳,۲۳۴ X: و ۳,۶۰۸,۳۶۳ Y: در آزیمoot ۸۰ درجه به طول ۸۱ متر بوده است. در این مسیر پیمایش شده تعداد ۱ نمونه از زون‌های مشکوک به کانه زایی برداشت شد. نمونه اخذ شده بر اساس نقشه زمین‌شناسی ۱:۵۰۰۰۰ در واحدهای توفی و کنگلومرایی قرار دارند (شکل‌های ۴-۵۶ و ۴-۵۷). در ادامه به شرح نمونه‌های اخذ شده در این پروفیل پرداخته می‌شود:



شکل ۴-۵۶- نمونه‌های برداشت شده در امتداد پروفیل (۲۶) و زمین‌شناسی مربوطه (اقتباس از نقشه ۱:۵۰۰۰۰ کاهی)

Ng^c: Conglomerate hz: Harzburgite EO^t: Tuff



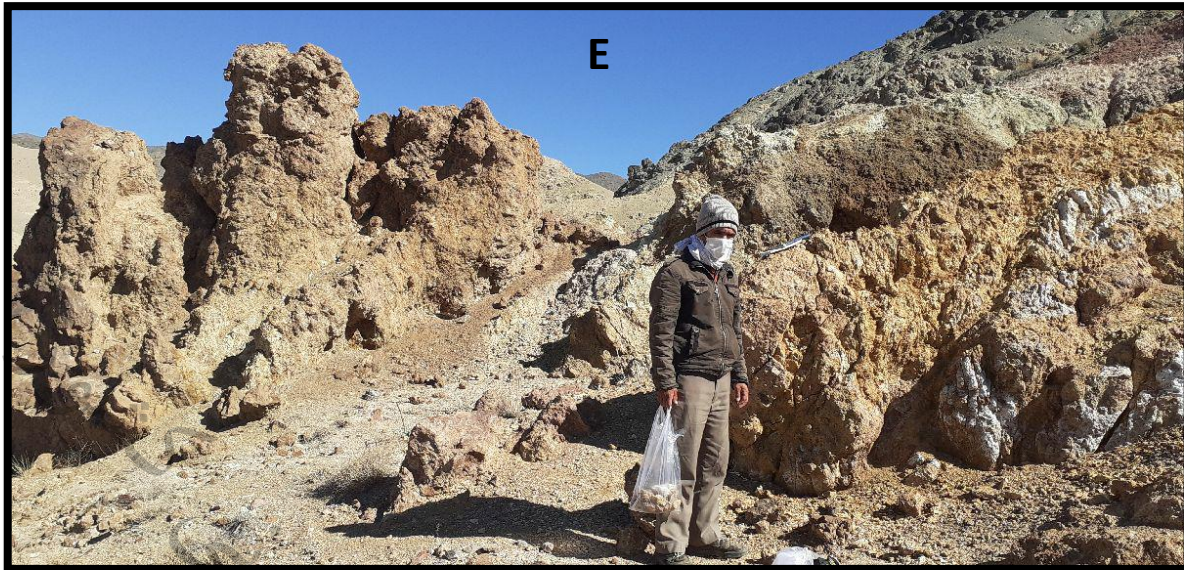
شکل ۴-۵۷- نمایی از پروفیل (۲۶) در تصویر ماهواره‌ای به همراه مقطع عرضی توپوگرافی

-نمونه **BIRG2S318** از یک رگه زرد رنگ سیلیسی-کربناته لیمونیتی در مجاورت آن با سنگ میزان-هارزبورژیتی و توف برداشت گردید (جدول ۴-۱۲۶ و عکس ۴-۲۱۴ و ۴-۲۱۵).

جدول ۴-۱۲۶- آنالیز عنصری به روشن ICP در نمونه **BIRG2S318**

Sample	X	Y	Ag	Ba	Be	Ce	Co	Cr
Birg2-S318	723663	3608423	3.00	76	0.50	5.0	35.0	1671
Cu	Dy	Er	Eu	Ga	Gd	La	Li	Mn
145.1	5.00	2.00	2.00	13.0	9.2	5.0	12.7	473
Nb	Nd	Ni	P	Pb	Sc	Sm	Sr	Te
8.2	10.0	798	254	20.0	12.7	5.00	79	5
Th	Ti	U	V	Y	Yb	Zn		
21.7	1545	20.0	125.3	5.0	5.0	82.2		

در این نمونه مقادیر عنصر مس (145 ppm) ناهمجای نشان می‌دهد. مقدار طلا (Au) متأسفانه با وجود شواهد فیلد و درخواست کارشناس آنالیز نشده است.



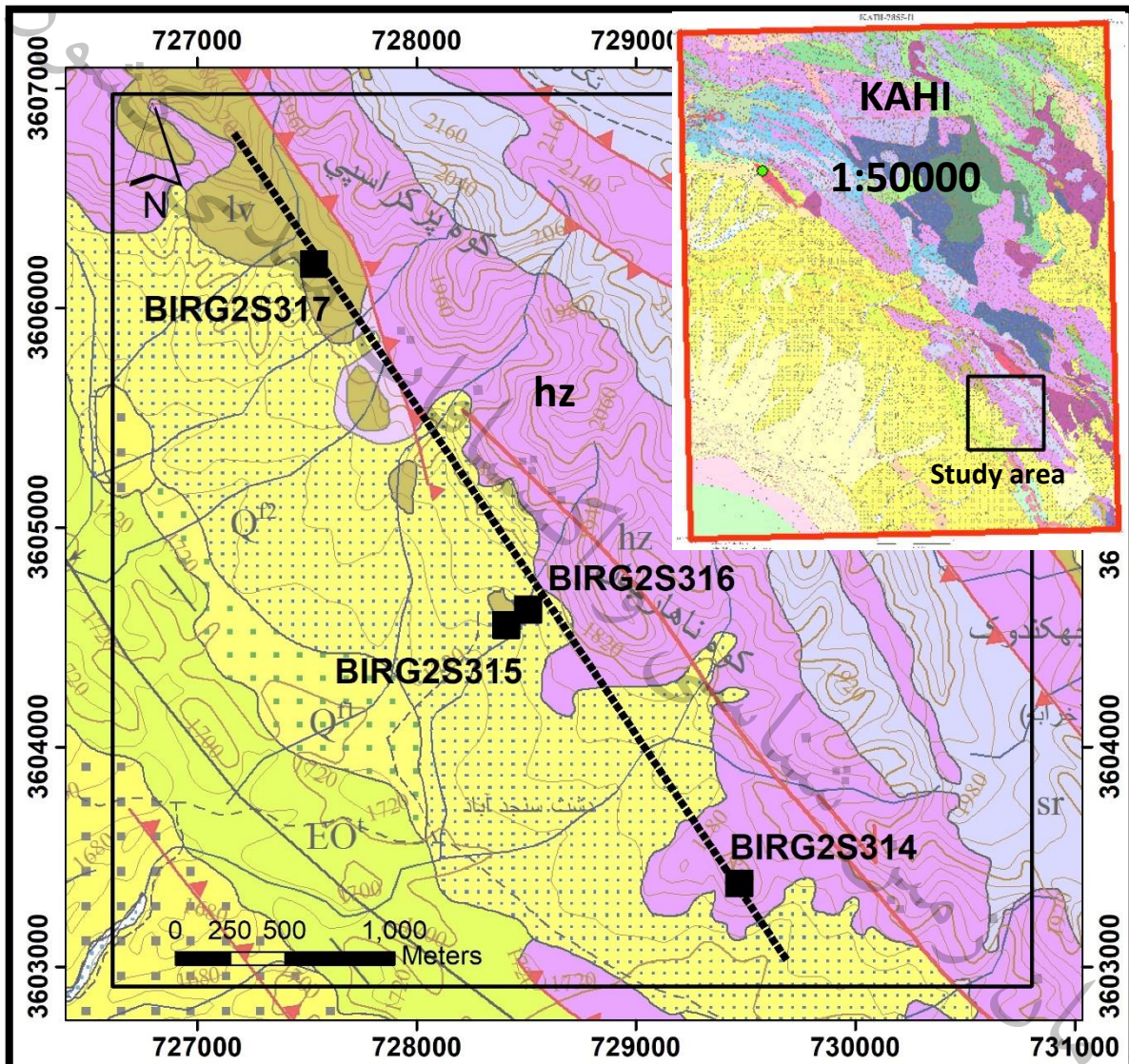
عکس ۴-۲۱۴- نمایی از رگه لیستونیتی در سنگ میزبان شیستی. نمونه BIRG2S318



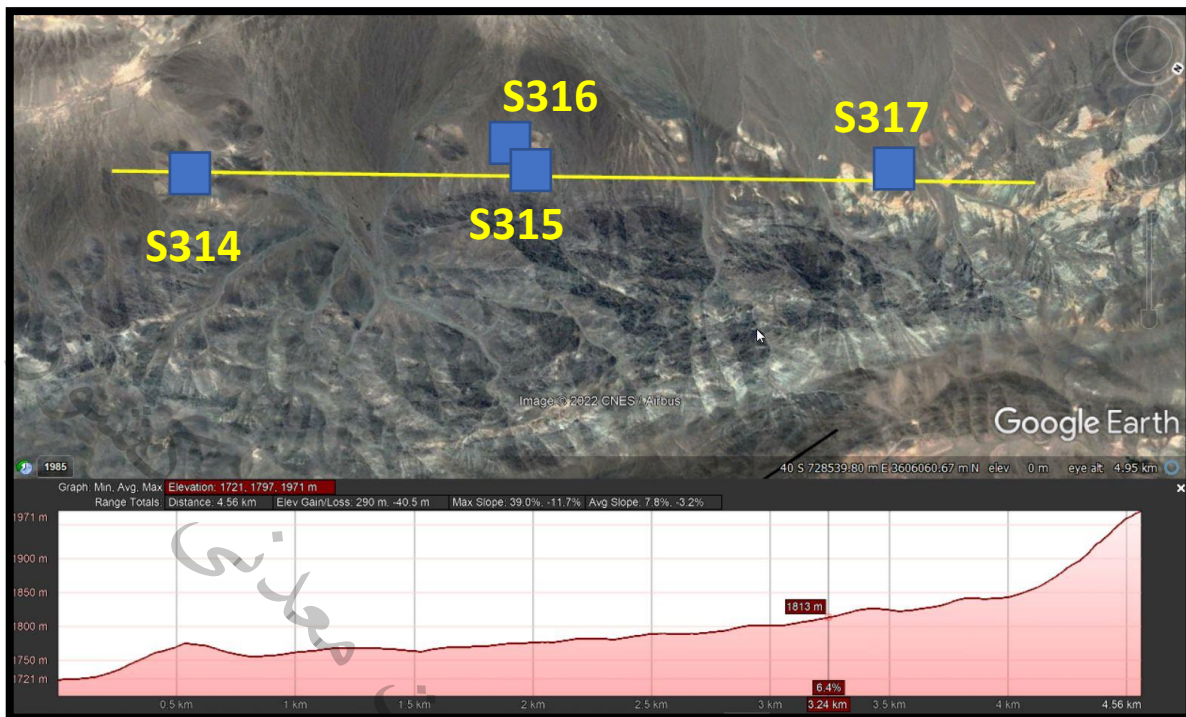
عکس ۴-۲۱۵- نمایی نزدیک از رگه لیستونیتی لیمونیتی در محل نمونه BIRG2S318

۴-۲-۲-۷-پروفیل (۲۷):

شروع پیمایش در این پروفیل از مختصات X: 727,161 و Y: 3,606,807 در آزیمут ۱۴۶ درجه به طول ۴۵۲۷ متر بوده است. در این مسیر پیمایش شده تعداد ۴ نمونه از زون‌های مشکوک به کانه زایی برداشت شد. نمونه اخذ شده بر اساس نقشه زمین‌شناسی ۱:۵۰۰۰۰ در واحدهای لیستونیتی و هارزبورژیتی قرار داردند (شکل‌های ۴-۵۸ و ۴-۵۹). در ادامه به شرح نمونه‌های اخذ شده در این پروفیل پرداخته می‌شود:



شکل ۴-۵۸ - نمونه‌های برداشت شده در امتداد پروفیل (۲۷) و زمین‌شناسی مربوطه (اقتباس از نقشه ۱:۵۰۰۰۰ کاهی)
Lv: Listwenite hz: Harzburgite

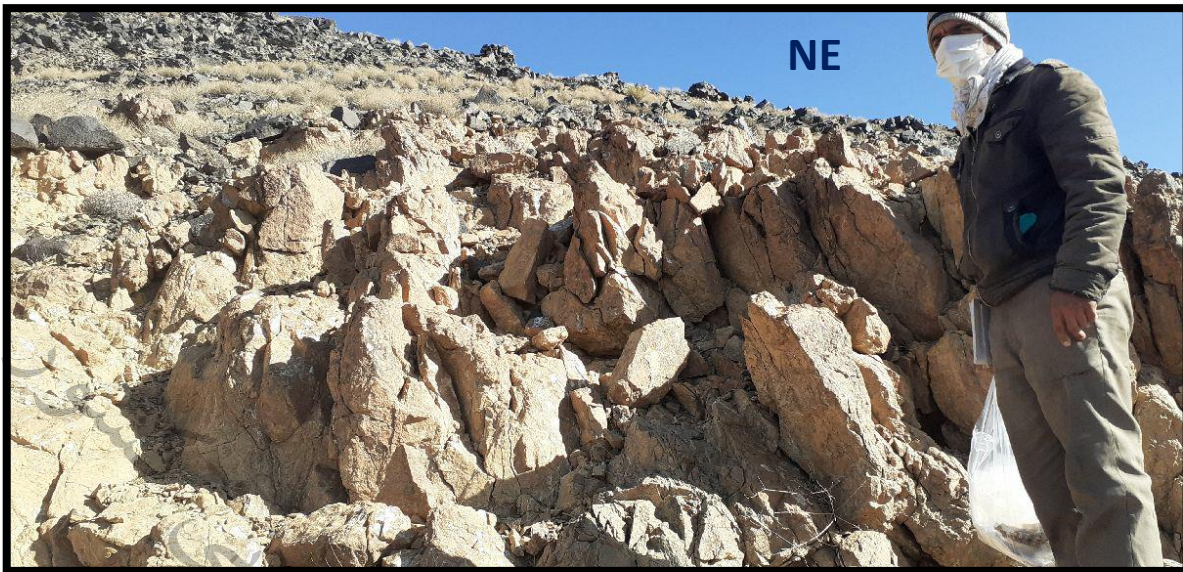


شکل ۴-۵۹- نمایی از پروفیل (۲۷) در تصویر ماهواره‌ای به همراه مقطع عرضی توپوگرافی

-نمونه BIRG2S314 از یک رگه لیستوتی-کربناتی به رنگ نخودی با سنگ میزبان ولکانیکی برداشت گردید. امتداد این رگه شمال شرق-جنوب غرب می‌باشد (جدول ۱۲۷-۴ و عکس ۲۱۶-۴ و ۲۱۷-۴).

جدول ۴-۱۲۷- آنالیز عنصری به روشن ICP در نمونه BIRG2S314

Sample	X	Y	Au	Ag	Ba	Be	Ce	Co
Birg2-S314	729484	3603393		3.00	33	0.50	5.0	93.1
Cr	Cu	Dy	Er	Eu	Ga	Gd	La	Li
182	16.2	5.00	2.00	2.00	5.0	5.3	5.0	14.3
Mn	Nb	Nd	Ni	P	Pb	Sc	Sm	Sr
914	9.8	10.0	2278	47	20.0	3.4	5.00	45
Te	Th	Ti	U	V	Y	Yb	Zn	
5	20.0	53	20.0	5.0	5.0	5.0	28.3	



عکس ۴-۲۱۶- نمایی از رگه لیستونیتی در سنگ میزان ولکانیکی. نمونه BIRG2S314

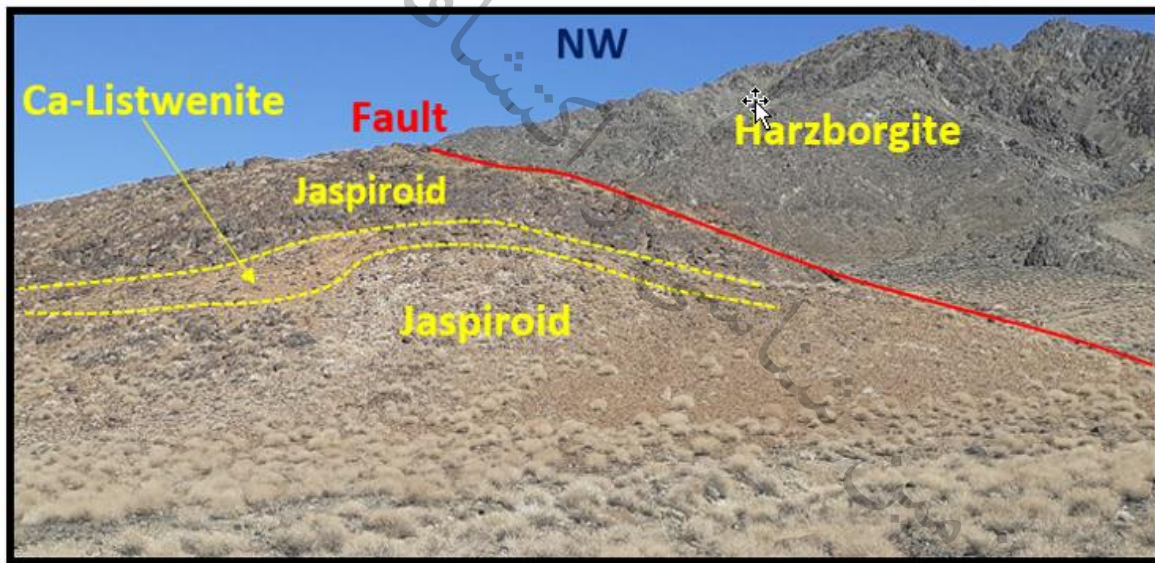


عکس ۴-۲۱۷- نمایی نزدیک از رگه لیستونیتی لیمونیتی در محل نمونه ۴ BIRG2S314

- نمونه **BIRG2S315** از یک پچ ژاسپیروئیدی زرد رنگ سیلیسی به طول ۵۰ متر و عرض ۳۰ متر با سنگ میزبان اولترامافیکی برداشت گردید. در داخل زون ژاسپیروئیدی نیز یک رگه لیستونیتی کربناته به ضخامت ۱ متر و طول ۳۰ متر مشاهده می‌گردد که نمونه **BIRG2S316** از آن برداشت گردید (جدول ۱۲۸-۴ و عکس ۲۱۸-۴ تا ۲۲۰-۴).

جدول ۱۲۸-۴ - آنالیز عنصری به روش ICP در نمونه **BIRG2S315**

Sample	X	Y	Au	Ag	Ba	Be	Ce	Co
Birg2-S315	728421	3604559	14	3.00	3058	0.50	5.0	74.1
Cr	Cu	Dy	Er	Eu	Ga	Gd	La	Li
1081	52.5	5.00	2.00	2.00	7.9	8.3	5.0	10.0
Mn	Nb	Nd	Ni	P	Pb	Sc	Sm	Sr
612	7.0	10.0	1602	213	20.0	10.8	5.00	198
Te	Th	Ti	U	V	Y	Yb	Zn	
5	20.0	308	20.0	46.7	5.0	5.0	34.4	



عکس ۲۱۸-۴ - نمایی از زون ژاسپیروئیدی با رگه‌های لیستونیتی کربناته در محل زون گسله (نمونه **BIRG2S315**)



عکس ۴-۲۱۹- نمایی نزدیک از زون ژاسپیرویدی سیلیسی زرد زنگ



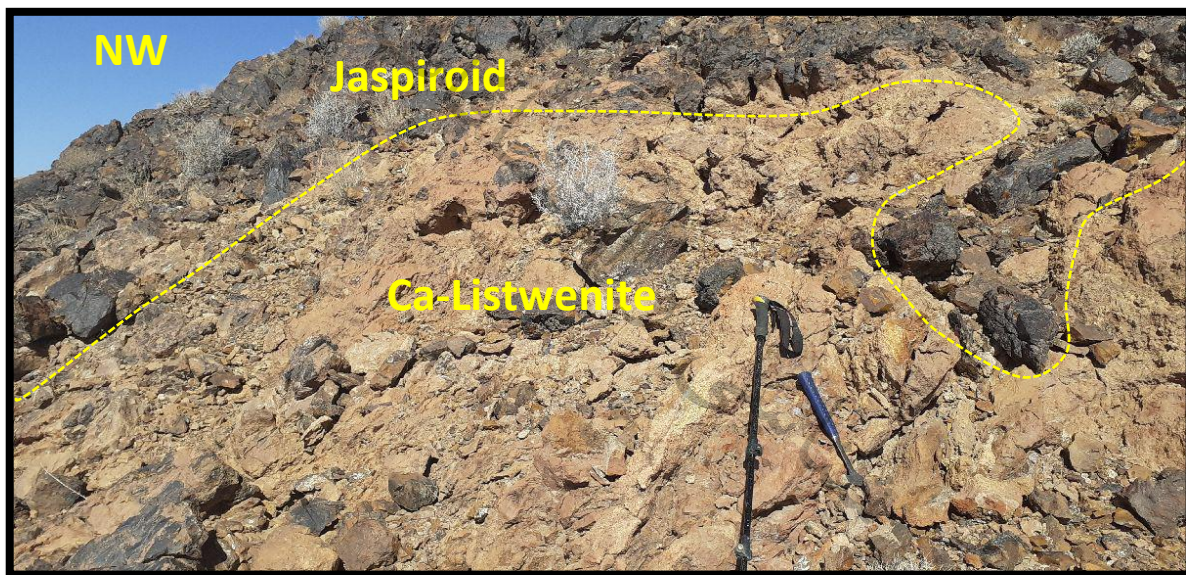
عکس ۴-۲۲۰- نمایی نزدیک از زون ژاسپیرویدی در محل نمونه BIRG2S315

-نمونه **BIRG2S316** از یک رگه لیستویتی- کربناتی با سنگ میزان ژاسپیروئیدی برداشت گردید. امتداد این رگه شمال غرب-جنوب شرق و طول آن ۳۰ متر با ضخامت ۱ متر می‌باشد (جدول ۴-۱۲۹ و عکس ۴-۲۲۱ و ۴-۲۲۲).

جدول ۴-۱۲۹- آنالیز عنصری به روش ICP در نمونه **BIRG2S316**

Sample	X	Y	Au	Ag	Ba	Be	Ce	Co
Birg2-S316	728429	3604589	7	3.00	30	0.50	5.0	124.7
Cr	Cu	Dy	Er	Eu	Ga	Gd	La	Li
613	112.0	5.00	2.00	2.00	13.9	9.6	5.0	10.0
Mn	Nb	Nd	Ni	P	Pb	Sc	Sm	Sr
1465	11.6	10.0	3323	107	20.0	12.0	5.00	95
Te	Th	Ti	U	V	Y	Yb	Zn	
5	22.6	758	20.0	52.8	5.0	5.0	53.1	

در این نمونه عناصر طلا (7 ppb)، مس (112 ppm)، نیکل (3323 ppm) و منگنز (1465 ppm) ناهنجاری نشان می‌دهد.



عکس ۴-۲۲۱- نمایی از زون ژاسپیروئیدی با رگه لیستونیتی کربناتی نمونه **BIRG2S316**



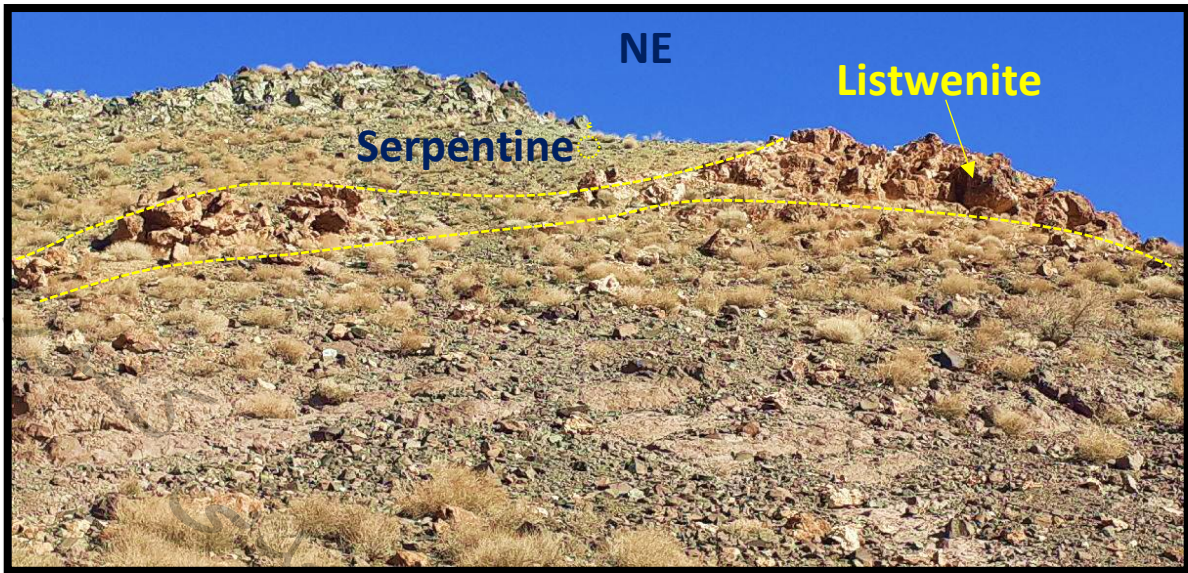
عکس ۴-۲۲۲- نمایی نزدیک از زون لیستونیتی کربناتی در محل نمونه BIRG2S316

- نمونه BIRG2S317 از یک رگه لیستویتی- کربناتی با سنگ میزان اولترامافیکی برداشت گردید.
امتداد این رگه شمال شرق-جنوب غرب و طول آن ۵۰ متر با ضخامت ۵ متر می‌باشد (جدول ۴-۱۳۰ و عکس ۴-۲۲۳ و ۴-۲۲۴).

جدول ۴-۱۳۰- آنالیز عنصری به روش ICP در نمونه BIRG2S317

Sample	X	Y	Au	Ag	Ba	Be	Ce	Co
Birg2-S317	727513	3606199		3.00	54	0.50	5.0	65.6
Cr	Cu	Dy	Er	Eu	Ga	Gd	La	Li
3744	21.0	5.00	3.20	2.00	27.9	18.5	5.0	10.9
Mn	Nb	Nd	Ni	P	Pb	Sc	Sm	Sr
842	7.5	17.5	1518	85	20.0	23.2	5.00	75
Te	Th	Ti	U	V	Y	Yb	Zn	
5	61.1	191	22.6	82.4	5.0	5.0	107.0	

در این نمونه عناصر کروم (3744 ppm)، نیکل (1518 ppm)، روی (107 ppm) ناهنجاری نشان می‌دهد. عنصر طلا در آزمایشگاه آنالیز نشده است.



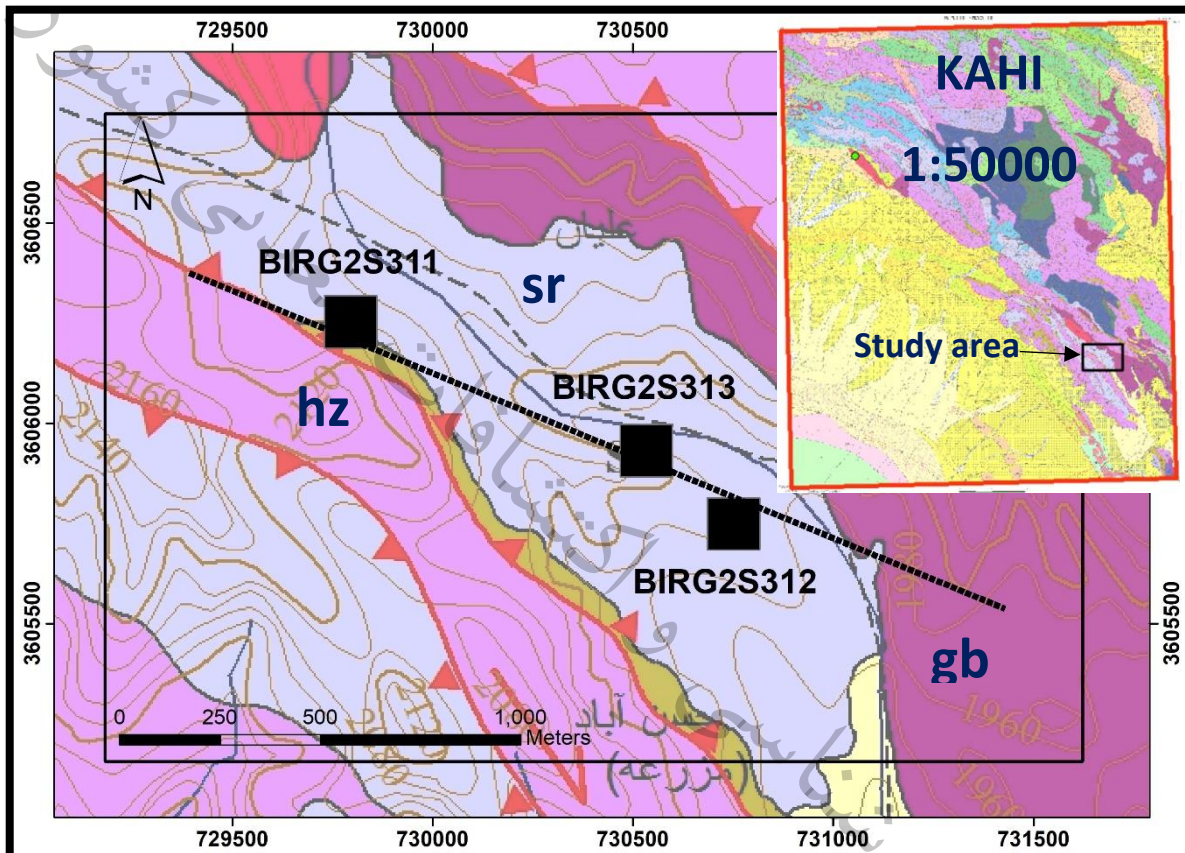
عکس ۴-۲۲۳- نمایی از زون ژاسپیرویدی با رگه لیستونیتی کربناتی نمونه BIRG2S317 دید به شمال شرق



عکس ۴-۲۲۴- نمایی نزدیک از زون لیستونیتی کربناتی در محل نمونه ۲S317

۴-۲-۲-۲۸-پروفیل (۲۸):

شروع پیمایش در این پروفیل از مختصات 729404 X: و 3,606,393 Y: در آزیمoot ۱۱۲ درجه به طول ۲۲۲۱ متر بوده است. در این مسیر پیمایش شده تعداد ۳ نمونه از زون‌های مشکوک به کانه زایی برداشت شد. نمونه اخذ شده بر اساس نقشه زمین‌شناسی ۱:۵۰۰۰۰ در واحدهای لیستونیتی، هارزبورژیتی و سرپنانتینی قرار دارند (شکل‌های ۶۰-۴ و ۶۱-۴). در ادامه به شرح نمونه‌های اخذ شده در این پروفیل پرداخته می‌شود:



شکل ۴-۶۰- نمونه‌های برداشت شده در امتداد پروفیل (۲۸) و زمین‌شناسی مربوطه (اقتباس از نقشه ۱:۵۰۰۰۰ کاهی)
Lv: Listweneite hz: Harzburgite gb: Gabbro



شکل ۴-۶۱- نمایی از پروفیل (۲۸) در تصویر ماهواره‌ای

- نمونه BIRG2S311 از یک رگه سیلیسی-کربناته در امتداد این رگه شمال غرب-جنوب شرق به طول ۳۰۰ متر با ضخامت ۲ متر برداشت گردید (جدول ۱۳۱-۴ و عکس ۲۲۵-۴ و ۲۲۶-۴).

جدول ۱۳۱-۴- آنالیز عنصری به روی ICP در نمونه BIRG2S311

Sample	X	Y	Au	Ag	Ba	Be	Ce	Co
Birg2-S311	729800	3606251	5	3.00	590	0.50	5.0	25.0
Cr	Cu	Dy	Er	Eu	Ga	Gd	La	Li
476	24.0	5.00	2.00	2.00	5.0	5.0	5.0	10.0
Mn	Nb	Nd	Ni	P	Pb	Sc	Sm	Sr
174	5.0	10.0	477	106	20.0	2.0	5.00	211
Te	Th	Ti	U	V	Y	Yb	Zn	
5	20.0	218	20.0	52.8	5.0	5.0	10.5	



عکس ۴-۲۲۵- نمایی از رگه لیسونیتی سیلیسی نمونه BIRG2S311 دید به شمال



عکس ۴-۲۲۶- نمایی نزدیک از رگه لیستونیتی کربناتی در محل نمونه BIRG2S311

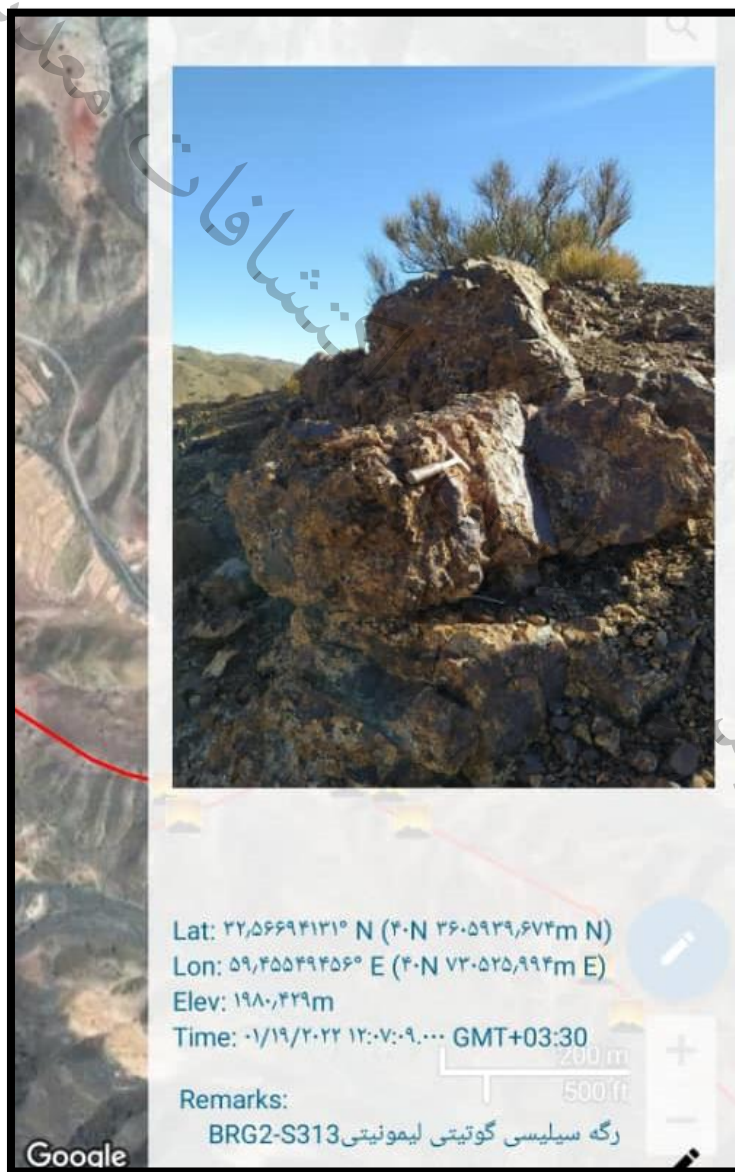
-۴ نمونه BIRG2S313 از یک رگه سیلیسی گوتیتی-لیمونیتی برداشت شد (جدول ۱۳۲-۴ و عکس ۴)

(۲۲۷)

جدول ۱۳۲-۴- آنالیز عنصری به روش ICP در نمونه BIRG2S313

Sample	X	Y	Au	Ag	Ba	Be	Ce	Co
Birg2-S313	730526	3605940		3.00	150	0.67	9.8	21.2
Cr	Cu	Dy	Er	Eu	Ga	Gd	La	Li
956	537.7	5.00	2.71	2.00	22.7	14.5	5.0	10.6
Mn	Nb	Nd	Ni	P	Pb	Sc	Sm	Sr
558	8.6	14.4	403	691	20.0	18.0	5.00	160
Te	Th	Ti	U	V	Y	Yb	Zn	
5	33.2	6580	20.0	120.6	12.3	5.0	150.5	

در این نمونه مقدار عنصر مس (538 ppm)، روی (151 ppm) و تیتانیم (6580 ppm) ناهنجاری نشان می‌دهد.



عکس ۴-۲۲۷- نمایی نزدیک از رگه سیلیسی گوتیتی-لیمونیتی در محل نمونه BIRG2S313

نمونه **BIRG2S312** از یک گدازه آندزیتی لیمونیتی-گوتیتی برداشت شد (جدول ۱۳۳-۴ و عکس

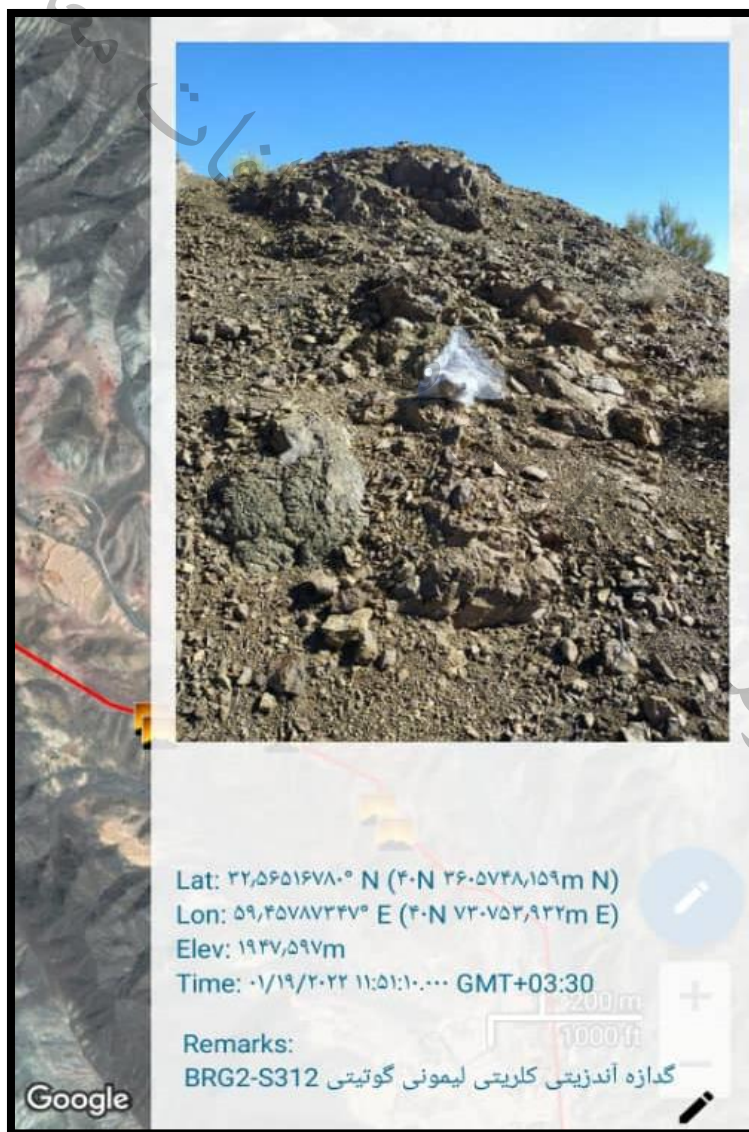
(۲۲۸-۴)

جدول ۱۳۳-۴- آنالیز عنصری به روش ICP در نمونه **BIRG2S312**

Sample	X	Y	Au	Ag	Ba	Be	Ce	Co
Birg2-S312	730754	3605748	39	3.00	51	1.10	26.8	15.5
Cr	Cu	Dy	Er	Eu	Ga	Gd	La	Li
52	127.3	9.63	5.87	2.00	24.3	12.3	9.1	13.6
Mn	Nb	Nd	Ni	P	Pb	Sc	Sm	Sr
1336	9.8	25.3	72	1296	20.0	23.2	6.50	181
Te	Th	Ti	U	V	Y	Yb	Zn	
5	20.3	10000	20.0	96.8	61.4	6.5	904.0	

در این نمونه عناصر طلا (39 ppb)، مس (1336 ppm)، منگنز (127 ppm)، فسفر (1296 ppm)، آهن (127 ppm)، تیتانیم

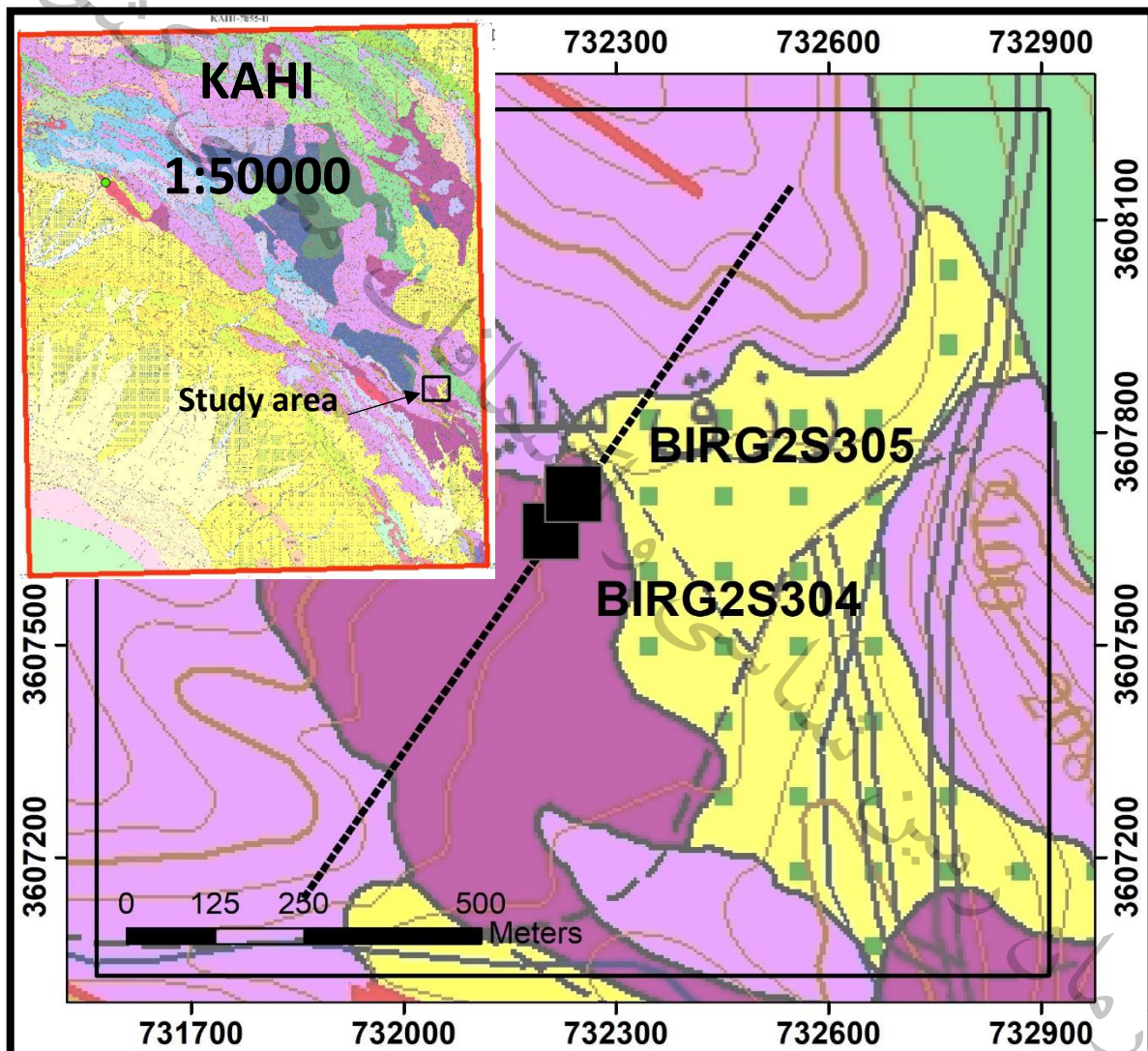
و روی (904 ppm) ناهنجاری نشان می‌دهد.



عکس ۲۲۸-۴- نمایی نزدیک از گدازه آندزیتی گوتیتی-لیمونیتی در محل نمونه **BIRG2S312**

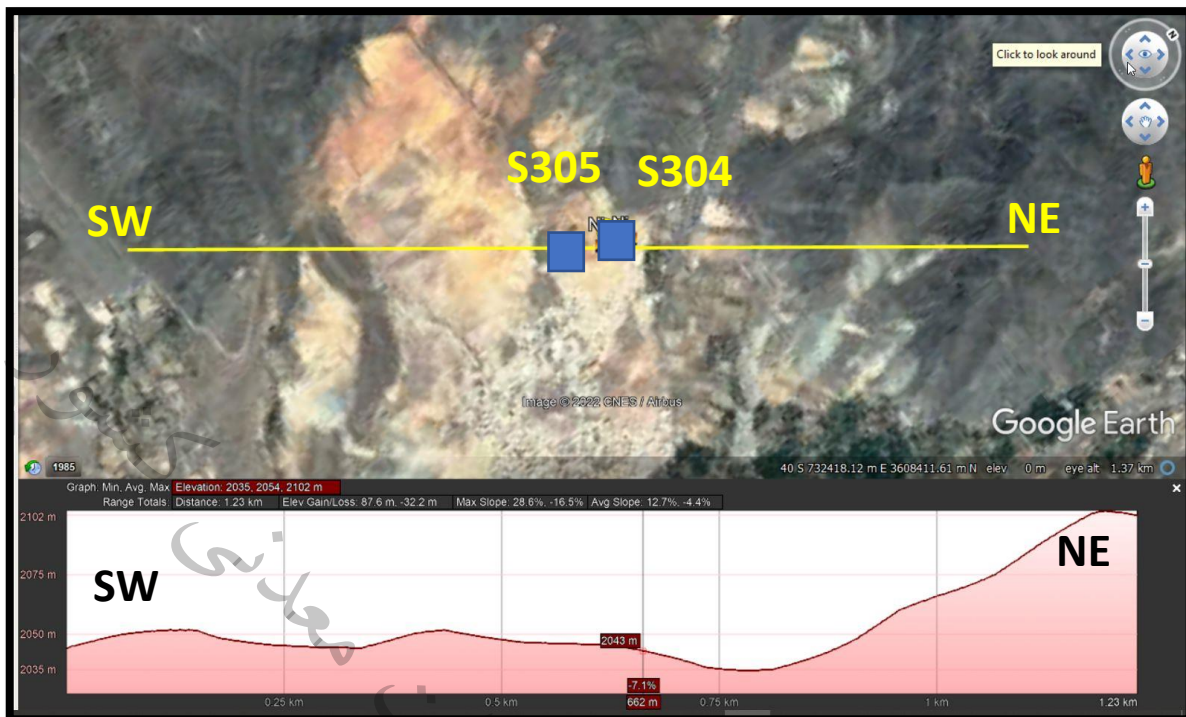
۴-۲-۲-۲۹-پروفیل (۲۹):

شروع پیمایش در این پروفیل از مختصات X: 731,849 Y: 3,607,135 در آzymot ۳۴ درجه به طول ۱۲۱۸ متر بوده است. تعداد ۲ نمونه از زون‌های لیستونیتی-کربناتی مشکوک به کانه زایی برداشت شد. نمونه اخذ شده بر اساس نقشه زمین‌شناسی ۱:۵۰۰۰۰ در واحدهای گابرویی، هارزبورژیتی و سرپنانتینی همراه با یک پچ لاتریتی-اکسید آهنی نیکل‌دار قرار دارند (شکل‌های ۶۲-۴ و ۶۳-۴). در ادامه به شرح نمونه‌های اخذ شده در این پروفیل پرداخته می‌شود:



شکل ۴-۶۲-۲۹-نمونه‌های برداشت شده در امتداد پروفیل (۲۹) و زمین‌شناسی مربوطه (اقتباس از نقشه ۱:۵۰۰۰۰ کاهی)

Lv: Listwenite hz: Harzborgite gb: Gabbro



شکل ۴-۶۳- نمایی از پروفیل (۲۹) در تصویر ماهواره‌ای به همراه مقطع عرضی آن

- نمونه BIRG2S305 و BIRG2S304 از یک پچ لاتریتی آلتره اکسیدی-لیمونیتی-سیلیسی به ابعاد ۵۰۰ در ۳۰۰ متر در مجاور روستای رزق و در قسمت شمال غربی آن قرار دارد برداشت گردید. این پچ اکسیدی به رنگ قرمز و زرد بسیار شاخص است (شکل ۴-۶۴ و جداول ۱۳۴-۴ و ۱۳۵-۴ عکس‌های ۲۲۹-۴ تا ۲۳۲-۴).

جدول ۴-۱۳۴- آنالیز عنصری به روش ICP در نمونه BIRG2S305

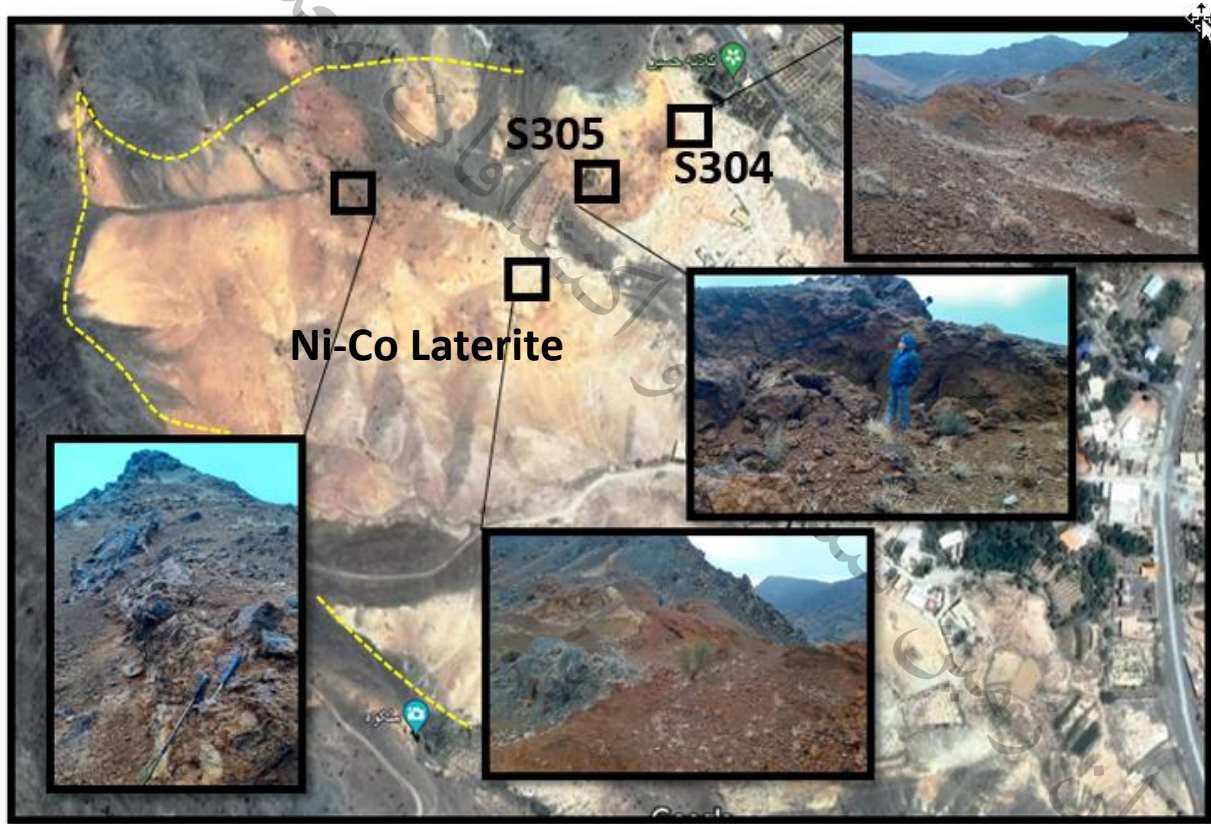
Sample	X	Y	Au	Ag	Ba	Be	Ce	Co
Birg2-S305	732215	3607667	7	3.00	1166	0.50	5.0	541.7
Cr	Cu	Dy	Er	Eu	Ga	Gd	La	Li
1505	19.2	5.00	3.84	2.00	31.0	20.5	5.0	21.5
Mn	Nb	Nd	Ni	P	Pb	Sc	Sm	Sr
5474	5.0	20.1	7712	44	38.1	9.0	5.37	126
Te	Th	Ti	U	V	Y	Yb	Zn	
5	74.6	137	27.3	40.0	8.4	5.0	175.6	

در این نمونه عناصر نیکل (7712 ppm)، طلا (7 ppm)، کبالت (542 ppm)، باریم (1166 ppm)، کروم (5474 ppm)، منگنز (1505 ppm)، روی (176 ppm) و توریم (75 ppm) ناهنجاری نشان می‌دهد.

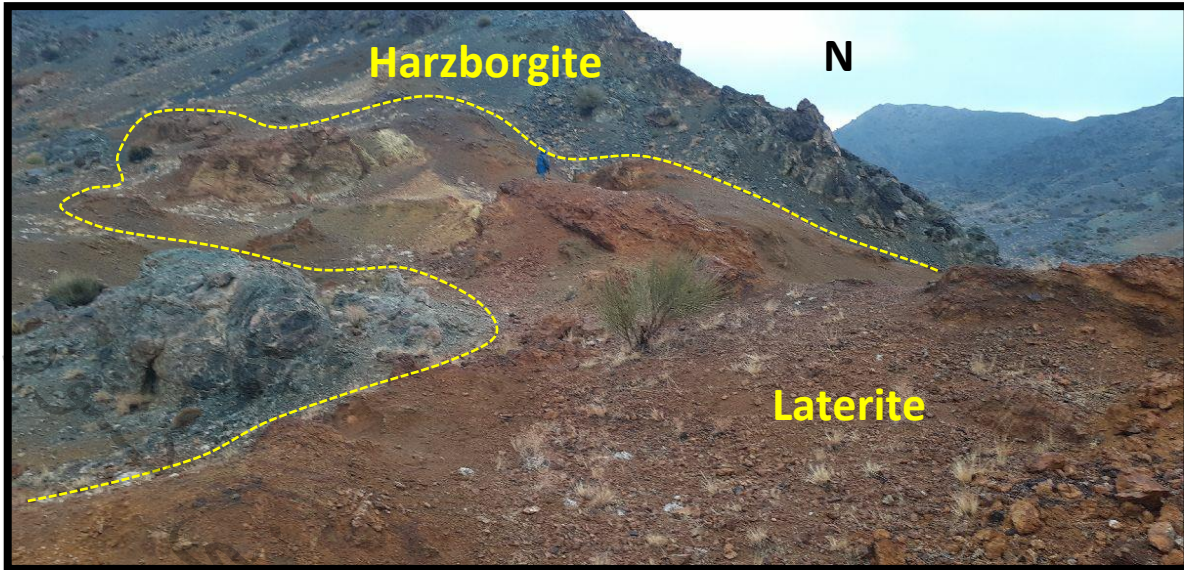
جدول ۴-۱۳۵- آنالیز عنصری به روش ICP در نمونه BIRG2S304

Sample	X	Y	Au	Ag	Ba	Be	Ce	Co
Birg2-S304	732226	3607681	5	3.00	486	0.12	5.0	374.9
Cr	Cu	Dy	Er	Eu	Ga	Gd	La	Li
1123	30.2	5.00	5.66	2.00	44.0	42.0	5.0	15.6
Mn	Nb	Nd	Ni	P	Pb	Sc	Sm	Sr
3482	5.0	26.7	4805	21	44.0	20.3	7.63	77
Te	Th	Ti	U	V	Y	Yb	Zn	
5	103.4	364	37.6	55.2	9.2	5.9	215.4	

در این نمونه عناصر نیکل (1123 ppm)، کبالت (4805 ppm)، مس (375 ppm)، روی (30 ppm)، کروم (30 ppm)، منگنز (3482 ppm)، روی (215 ppm) و توریم (103 ppm) ناهنجاری نشان می‌دهد.



شکل ۴-۶۴- موقعیت عکس‌های پنج لاتریتی نیکل-کبالت دار در تصویر ماهواره‌ای



عکس ۴-۲۲۹- نمایی از پچ لاتریتی نیکل-کبالت دار در سنگ میزبان هارزبورژیتی دید به شمال



عکس ۴-۲۳۰- نمایی از پچ لاتریتی نیکل-کبالت دار در سنگ میزبان هارزبورژیتی دید به شمال



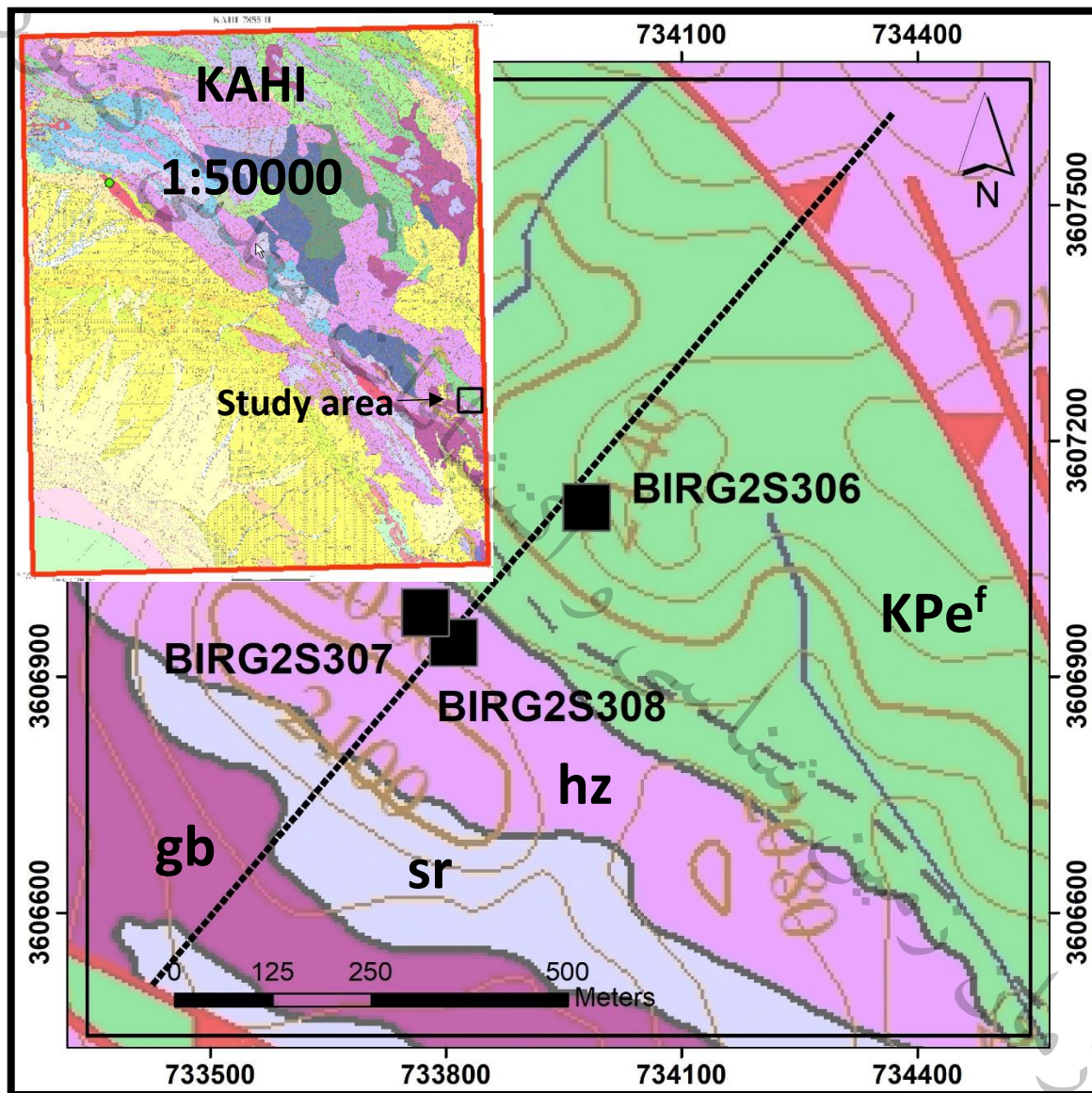
عکس ۴-۲۳۱- نمایی از پچ لاتریتی نیکل-کبالت دار در سنگ میزبان هارزبورژیتی دید به شمال



عکس ۴-۲۳۲- نمایی از پچ لاتریتی - سیلیسی نیکل-کبالت دار در سنگ میزبان هارزبورژیتی دید به شمال شرق

۴-۲-۲-۲۹-پروفیل (۳۰):

شروع پیمایش در این پروفیل از مختصات X: 733,426 Y: 3,606,510 در آزیمoot ۴۰ درجه به طول ۱۴۵۵ متر بوده است. در این مسیر پیمایش شده تعداد ۳ نمونه از زون‌های مشکوک به کانه زایی برداشت شد. نمونه اخذ شده بر اساس نقشه زمین‌شناسی ۱:۵۰۰۰۰ در واحدهای گابرویی، هارزبورژیتی، شیستی و سرپنانتینی قرار دارند (شکل‌های ۶۵-۴ و ۶۶-۴). در ادامه به شرح نمونه‌های اخذ شده در این پروفیل پرداخته می‌شود:



شکل ۴-۶۵- نمونه‌های برداشت شده در امتداد پروفیل (۳۰) و زمین‌شناسی مربوطه (اقتباس از نقشه ۱:۵۰۰۰۰ کاهی)
gb: Gabbro hz: Harzburgite KPe^f: Gabbro sr: Serpentine



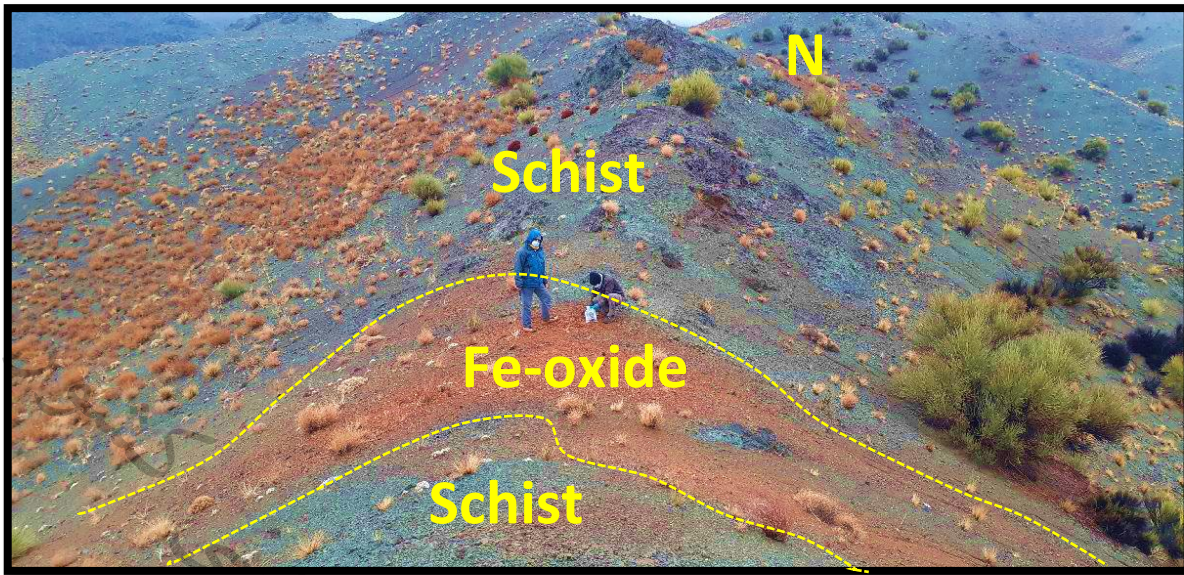
شکل ۴-۶۶- نمایی از پروفیل (۳۰) در تصویر ماهواره‌ای به همراه مقطع عرضی آن

- نمونه BIRG2S306 از یک زون آلتره اکسیدی-لیمونیتی به ابعاد ۵۰ در ۲ متر که در امتداد شمال غربی قرار دارد برداشت گردید. این زون آلتره به رنگ قرمز و در سنگ میزبان شیستی رخنمون دارد (جدول ۴ و عکس ۲۳۳-۴).

جدول ۴-۱۳۶- آنالیز عنصری به روشن ICP در نمونه BIRG2S306

Sample	X	Y	Au	Ag	Ba	Be	Ce	Co
Birg2-S306	733978	3607113		3.00	118	0.50	5.0	11.5
Cr	Cu	Dy	Er	Eu	Ga	Gd	La	Li
491	1598.9	5.00	2.36	2.00	27.0	12.4	5.0	10.0
Mn	Nb	Nd	Ni	P	Pb	Sc	Sm	Sr
394	14.0	15.8	113	197	20.0	25.2	5.00	107
Te	Th	Ti	U	V	Y	Yb	Zn	
5	42.0	3241	20.0	228.9	5.0	5.0	45.0	

عناصر مس (1599 ppm)، تیتانیم (3241 ppm) و روی (45 ppm) ناهمجارتی نشان می‌دهد.



عکس ۴-۲۳۳- نمایی از زون اکسیدی لیمونیتی در سنگ میزبان شیستی نمونه BIRG2S306 دید به شمال

- نمونه BIRG2S307 از یک رگه لیستونیتی سیلیسی شده به ابعاد ۲۰ در ۲ متر که در امتداد شمال قرار دارد برداشت گردید. این رگه لیستونیت در سنگ میزبان هارزبورژیت قرار دارد (جدول ۴-۱۳۷ و عکس ۴-۲۳۴).

جدول ۴-۱۳۷- آنالیز عنصری به روش ICP در نمونه BIRG2S307

Sample	X	Y	Au	Ag	Ba	Be	Ce	Co
Birg2-S307	733800	3606945	24	3.00	70	0.50	7.6	14.1
Cr	Cu	Dy	Er	Eu	Ga	Gd	La	Li
381	809.9	5.00	2.61	2.00	21.3	12.8	5.0	10.0
Mn	Nb	Nd	Ni	P	Pb	Sc	Sm	Sr
626	17.1	11.5	152	421	20.0	29.4	5.00	124
Te	Th	Ti	U	V	Y	Yb	Zn	
5	29.3	5974	20.0	242.7	13.1	5.0	140.0	



عکس ۴-۲۳۴- نمایی از رگه لیستونیتی سپلیسی در سنگ میزان هارزبورژیتی نمونه BIRG2S307 دید به شمال

-نمونه BIRG2S308 از یک رگه لیستونیتی کربناتی به ابعاد ۳۰ در ۲ متر که در امتداد شمال-جنوب قرار دارد برداشت گردید. این رگه لیستونیت در سنگ میزان هارزبورژیت قرار دارد (جدول ۴-۱۳۸ و عکس ۴-۲۳۵).

جدول ۴-۱۳۸- آنالیز عنصری به روش ICP در نمونه BIRG2S308

Sample	X	Y	Au	Ag	Ba	Be	Ce	Co
Birg2-S308	733788	3606949	55	3.00	119	0.50	5.0	10.6
Cr	Cu	Dy	Er	Eu	Ga	Gd	La	Li
277	388.3	5.00	2.98	2.00	27.0	13.6	5.0	11.5
Mn	Nb	Nd	Ni	P	Pb	Sc	Sm	Sr
339	9.5	15.4	41	353	22.9	11.1	5.00	80
Te	Th	Ti	U	V	Y	Yb	Zn	
5	46.5	3194	20.0	144.9	6.1	5.0	246.8	



عکس ۴-۲۳۵- نمایی از رگه لیستونیتی کربناتی در سنگ میزان هارزبورزیتی نمونه BIRG2S308 دید به شمال

فصل پنجم: نتیج

اکشنات سسماں

سازمان زمین شناسی معدنی کشور

فصل پنجم: نتایج اکتشافات سیستماتیک

۱-۵- مقدمه:

اکتشافات سیستماتیک مواد معدنی شامل زنجیره‌ای از مطالعات دفتری، صحرایی و آزمایشگاهی است. مطالعات دفتری در این پروژه‌ها عمدهاً در دو مرحله قبل و بعد از برداشت‌های صحرایی انجام می‌شود. در مرحله مطالعات دفتری پیش از اجرای طرح، در ابتدا تمامی اطلاعات پایه موجود از قبیل نقشه‌های زمین‌شناسی و توپوگرافی، تصاویر ماهواره‌ای و عکس‌های هوایی، اطلاعات اکتشافی ژئوشیمیایی و ژئوفیزیکی و همچنین گزارش‌های اکتشافی مربوط به پروژه‌های انجام شده در منطقه توسط بخش خصوصی و دولتی گردآوری و پردازش می‌شود. نتیجه این پردازش‌ها مبنای برنامه‌ریزی و طراحی اکتشافی در محدوده بوده که هدایتگر مطالعات صحرایی و نمونه‌برداری‌های انجام شده در زون‌های معدنی مستعد است. با دریافت اطلاعات مربوط به آنالیز نمونه‌ها و همچنین مطالعات سنگ‌شناسی، کانی‌شناسی و کانه‌شناسی، بخش بعدی مطالعات دفتری در قالب تجزیه و تحلیل روابط عنصری و مطالعات ژئر کانساری انجام شده و نهایتاً گزارش پروژه تکمیل می‌شود. در این فصل به پردازش داده‌ها و معرفی تارگت‌های فلزی و پتانسیل غیرفلزی و نتایج اکتشاف در دو بخش فلزی و غیرفلزی می‌پردازیم. آنالیزها در دوازما (نمونه‌های مرحله اول و دوم) برای طلا و ۳۴ عنصر دیگر آنالیز شد. نمونه‌های مرحله سوم در آزمایشگاه سازمان و برای طلا و ۳۷ عنصر و اکسید دیگر آنالیز شد.

۲-۵- تحلیل و تفسیر اطلاعات:

۱-۲- تهیه بانک اطلاعاتی نمونه‌ها:

همانطور که ذکر شد نمونه‌ها با اهداف مختلف و در دو آزمایشگاه متفاوت انجام شده است. که عناصر و حد حساسیت هر آزمایشگاه در جداول (۱-۵) و (۲-۵) آورده می‌شود. لازم به ذکر است پس از تبدیل و پردازش‌های لازم فایل یکپارچه جهت پردازش آماده شد و پردازش‌های لازم انجام گرفت. نهایت پس از پردازش‌های اولیه و بررسی داده‌ها این برگه با توجه به آنالیزهای موجود برای عناصر مس، طلا، مولیبدن، نیکل، کبالت و کرم پتانسیل دارد که به صورت خاص پردازش‌ها برای این عناصر انجام شد. لازم به ذکر است که لیسونیت‌ها می‌توانند پتانسیل جیوه هم داشته باشند.

جدول ۵-۱- حد حساسیت و عناصر آنالیز شده در آزمایشگاه زرآزمایشگاه

Element	Ag	Al	As	Ba	Be	Ca	Cd	Ce
Unit	ppm	ppm	ppm	ppm	ppm	ppm	ppm	ppm
DL	0.50	100	0.5	5	1.0	100	0.10	1
Element	Co	Cr	Cu	Fe	K	La	Li	Mg
Unit	ppm	ppm	ppm	ppm	ppm	ppm	ppm	ppm
DL	1	1	1	100	100	1	1	100
Element	Mn	Mo	Na	Ni	P	Pb	S	Sb
Unit	ppm	ppm	ppm	ppm	ppm	ppm	ppm	ppm
DL	5	0.50	100	1	10	1	50	0.50
Element	Sc	Sr	Th	Ti	U	V	Y	Yb
Unit	ppm	ppm	ppm	ppm	ppm	ppm	ppm	ppm
DL	0.5	2	5.0	10	5.0	1	0.5	0.2
Element	Zn	Zr						
Unit	ppm	ppm						
DL	1	5						

جدول ۵-۲- حد حساسیت و عناصر آنالیز شده در آزمایشگاه سازمان

Elements	Ag(ppm)	Al2O3 (%)	Ba(ppm)	Be (ppm)	CaO (%)	Ce(ppm)	Co(ppm)	Cr (ppm)
LOQ	3	100ppm	5	0.5	100ppm	5	5	10
Elements	Cu(ppm)	Dy(ppm)	Er(ppm)	Eu(ppm)	Fe2O3 (%)	Ga(ppm)	Gd(ppm)	K2O (%)
LOQ	5	5	2	2	100ppm	5	5	100ppm
Elements	La(ppm)	Li(ppm)	MgO (%)	Mn (ppm)	Na2O (%)	Nb(ppm)	Nd (ppm)	Ni (ppm)
LOQ	5	10	100ppm	5.0	100ppm	5	10	10
Elements	P (ppm)	Pb (ppm)	Sc(ppm)	Sm(ppm)	Sr(ppm)	Te(ppm)	Th(ppm)	Ti (ppm)
LOQ	20	20	2	5	3	5	20	50
Elements	U(ppm)	V (ppm)	Y(ppm)	Yb (ppm)	Zn(ppm)			
LOQ	20	5	5	5	10			

۵-۲-۲- پردازش داده‌ها:

از آنجا که هدف اصلی این بخش شناسایی پتانسیل‌ها می‌باشد، پردازش هدفمند به منظور این هدف انجام گرفته است، به این معنی که با توجه به داده‌های موجود و مرتب سازی داده‌ها عناصر هدف در بخش فلزی شناسایی شدند و با توجه به حدود ژینزبرگ (جدول ۵-۳) نقشه‌های Symbol Map رسم گردید و نهایتاً با تلفیق نقشه‌های آن‌ها، تارگت‌های معدنی معرفی شدند.

جدول ۵-۳- حدود ژینزبرگ برای عناصر پتانسیل‌دار این برگه

نام عنصر	عقیم	کانی سازی پراکنده	کانی سازی کانساری
Au(ppb)		10	50
Cu(ppm)	70	700	3000
Mo(ppm)	7	70	600
Co(ppm)	100	400	600
Cr(ppm)	400	1000	10000

Ni(ppm)	100	1000	3000
---------	-----	------	------

۱-۲-۴-۵- مس:

از ۱۳۰ نمونه که برای عنصر مس آنالیز شد، ۶ نمونه بر اساس حدود ژینزبرگ عیار بالای ۷۰۰ گرم بر تن داشتند که نتایج آن در جدول (۴-۵) و نقشه پتانسیل مس در شکل (۱-۵) آورده شده است.

جدول ۴-۵- نمونه‌های مس بالاتر از ۷۰۰ ppm

شماره نمونه	X	Y	Cu (ppm)
BIRG2S306	۷۲۳۹۷۸	۳۶۰۷۱۱۳	۱۵۹۹
BIRG2S307	۷۲۳۸۰۰	۳۶۰۶۹۴۵	۸۱۰
BIRG2S120	۷۲۲۲۳۱۲	۳۶۱۹۹۷۵	۳۶۰۰۵
BIRG2S72	۷۲۵۸۶۲	۳۶۲۴۱۱۷	۲۹۲۹
BIRG2S68	۷۲۴۴۲۲	۳۶۲۲۰۴۸	۱۲۲۲
BIRG2S40	۷۲۲۷۷۲۷	۳۶۲۲۹۴۴	۵۸۰۰

۱-۲-۴-۶- طلا:

از ۱۳۰ نمونه که برای عنصر طلا آنالیز شد، ۵ نمونه عیار بالای ۱۰ میلی گرم بر تن داشتند که نتایج آن در جدول (۱-۵) آورده شده است. در شکل (۲-۵) نقشه پتانسیل طلا آورده شده است.

جدول ۱-۵- نمونه‌های طلا بالاتر از ۱۰ ppb

شماره نمونه	X	Y	Au (ppb)
BIRG2S58	۷۲۲۳۵۲	۳۶۲۲۸۹۹	۱۱
BIRG2S315	۷۲۸۴۲۱	۳۶۰۴۵۵۹	۱۴
BIRG2S312	۷۲۰۷۵۴	۳۶۰۵۷۴۸	۳۹
BIRG2S307	۷۲۳۸۰۰	۳۶۰۶۹۴۵	۲۴
BIRG2S308	۷۳۳۷۸۸	۳۶۰۶۹۴۹	۵۵

۱-۳-۲-۴-۶- نیکل:

از ۱۳۰ نمونه که برای نیکل آنالیز شد ۵ نمونه عیار بالای ۳۰۰۰ میلی گرم بر تن داشتند که نتایج آن در جدول (۱-۶) آورده شده است. در شکل (۳-۵) نقشه پتانسیل نیکل آورده شده است.

جدول ۱-۶- نمونه‌های نیکل بالاتر از ۳۰۰۰ ppm

شماره نمونه	X	Y	Ni (ppm)
BIRG2S104	۷۱۷۷۰۳	۳۶۲۲۶۹۳	۳۰۰۵
BIRG2S150	۷۱۸۴۵۷	۳۶۱۵۷۶۲	۳۱۸۶
BIRG2S304	۷۳۲۲۲۶	۳۶۰۷۶۸۱	۴۸۰۵
BIRG2S305	۷۲۲۲۱۵	۳۶۰۷۶۶۷	۷۷۱۲
BIRG2S316	۷۲۸۴۲۹	۳۶۰۴۵۸۹	۳۲۲۳

۴-۲-۴-۵- کبالت:

از ۱۳۰ نمونه که برای عنصر کبالت آنالیز شد ۱ نمونه عیار بالای ۴۰۰ میلی‌گرم برتن داشتند که نتایج آن در جدول (۵-۵) آورده شده است. در شکل (۴-۵) نقشه پتانسیل کبالت آورده شده است.

جدول -۵ -۷ - نمونه های کبالت بالاتر از ۵۰۰ ppm

شماره نمونه	X	Y	Co (ppm)
BIRG2S305	۷۲۲۲۱۵	۳۶۰.۷۶۶۷	۵۴۲

۴-۲-۴-۵- اکسید آهن (هماقيت):

از ۱۳۰ نمونه که برای آهن آنالیز شد، ۱۱ نمونه عیار بالای ۱۰ درصد داشتند که نتایج آن در جدول (۵-۵) آورده شده است. در شکل (۵-۵) نيز نقشه پتانسیل آهن آورده شده است.

جدول -۵ -۸ - نمونه های آهن بالاتر از ۱۰ درصد

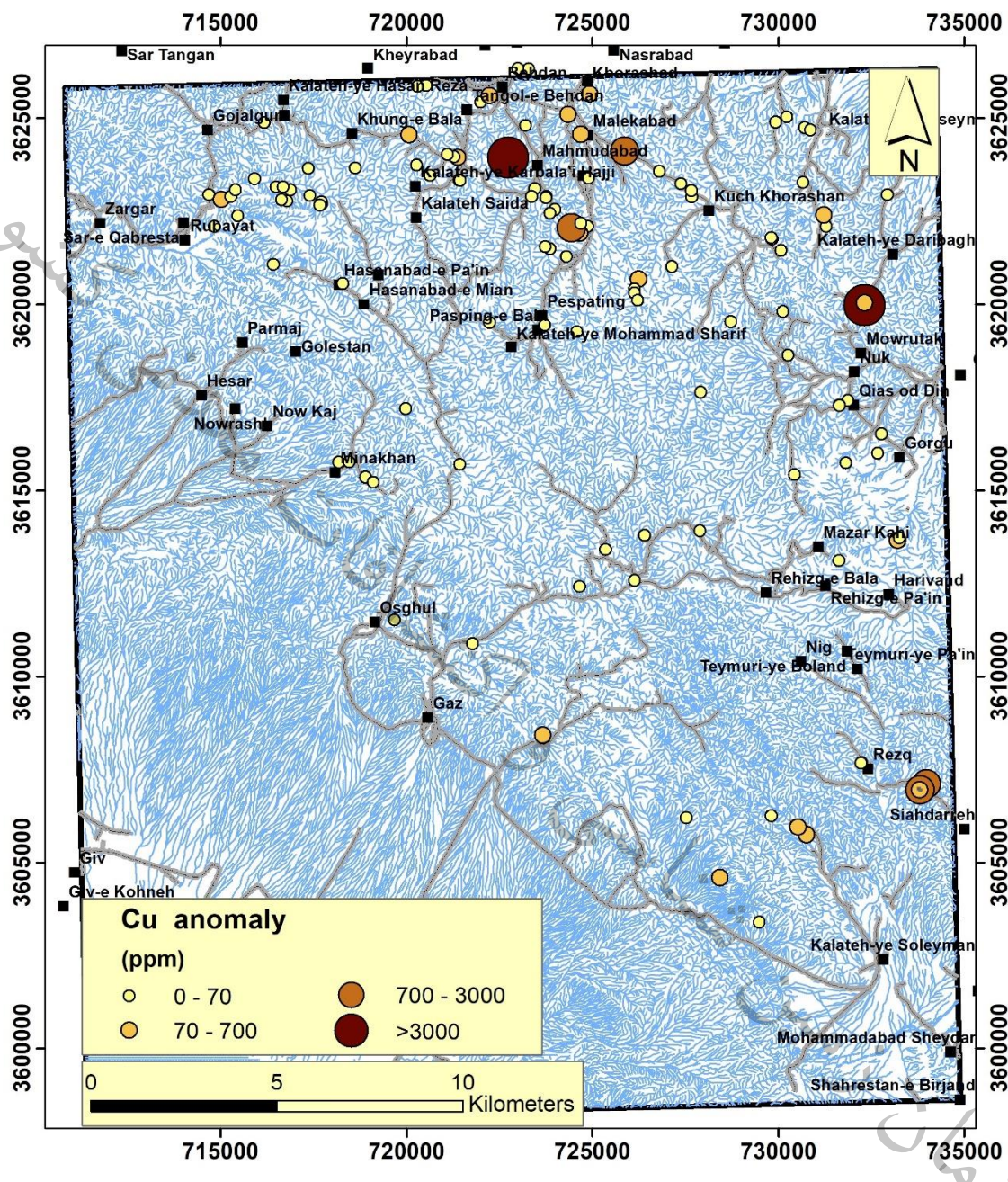
شماره نمونه	X	Y	Fe (%)
BIRG2S318	۷۲۳۶۶۲	۳۶۰.۸۴۲۳	۱۳
BIRG2S317	۷۲۷۵۱۳	۳۶۰.۹۱۹۹	>۲۰
BIRG2S316	۷۲۸۴۲۹	۳۶۰.۴۵۸۹	۱۴
BIRG2S315	۷۲۸۴۲۱	۳۶۰.۴۵۵۹	۱۲
BIRG2S313	۷۳۰.۵۲۶	۳۶۰.۵۹۴۰	۱۹
BIRG2S312	۷۳۰.۷۵۴	۳۶۰.۵۷۴۸	۱۲
BIRG2S304	۷۳۲۲۲۶	۳۶۰.۷۶۸۱	>۲۰
BIRG2S305	۷۲۲۲۱۵	۳۶۰.۷۶۶۷	>۲۰
BIRG2S306	۷۳۲۹۷۸	۳۶۰.۷۱۱۳	>۲۰
BIRG2S308	۷۳۳۷۸۸	۳۶۰.۶۹۴۹	>۲۰
BIRG2S307	۷۲۳۸۰۰	۳۶۰.۶۹۴۵	۱۷

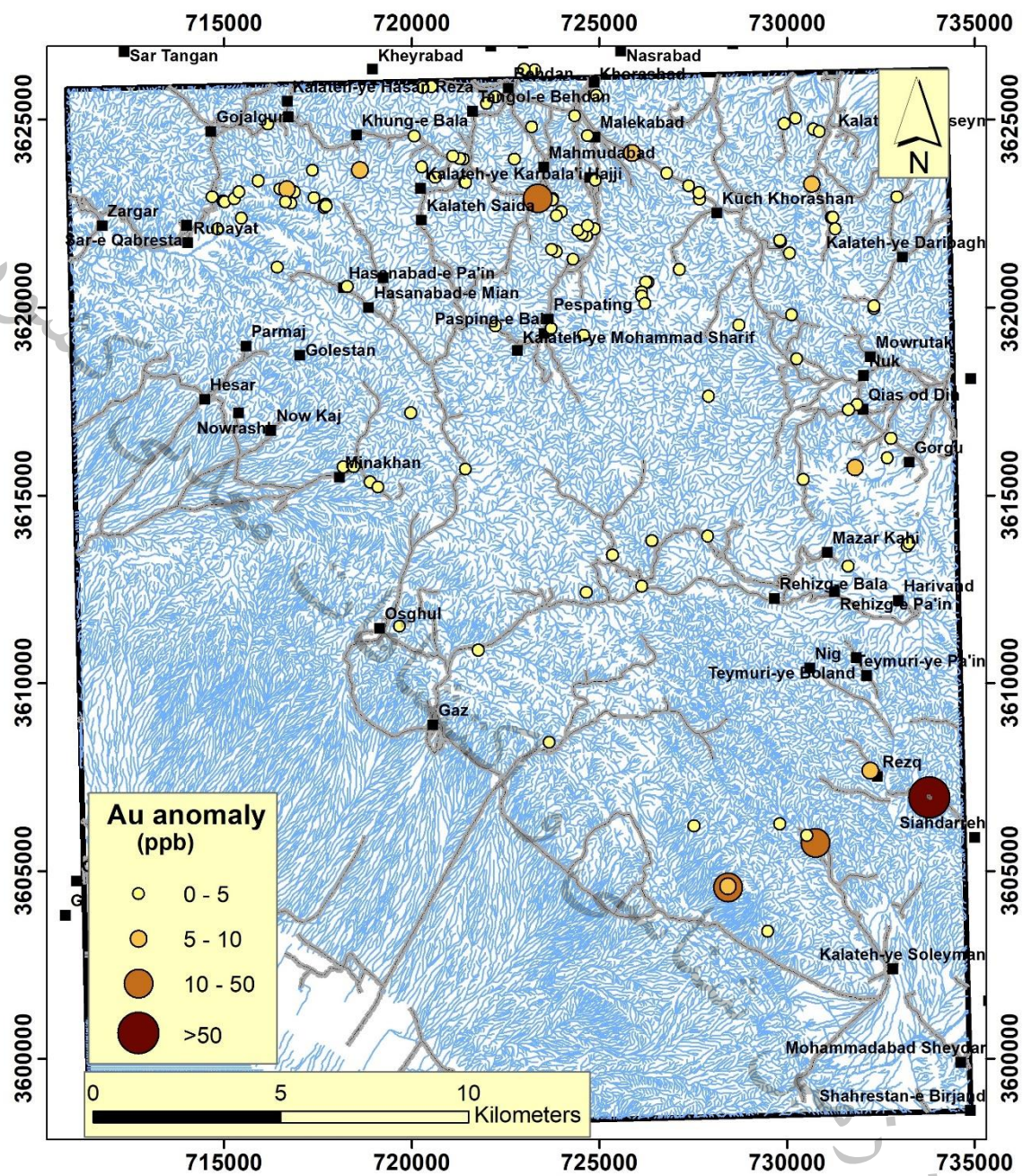
۶-۲-۴-۵- روی:

از ۱۳۰ نمونه که برای عنصر کبالت آنالیز شد ۱ نمونه عیار بالای ۷۰۰ میلی‌گرم برتن داشتند که نتایج آن در جدول (۶-۵) آورده شده است. در شکل (۶-۵) نقشه پتانسیل کبالت آورده شده است.

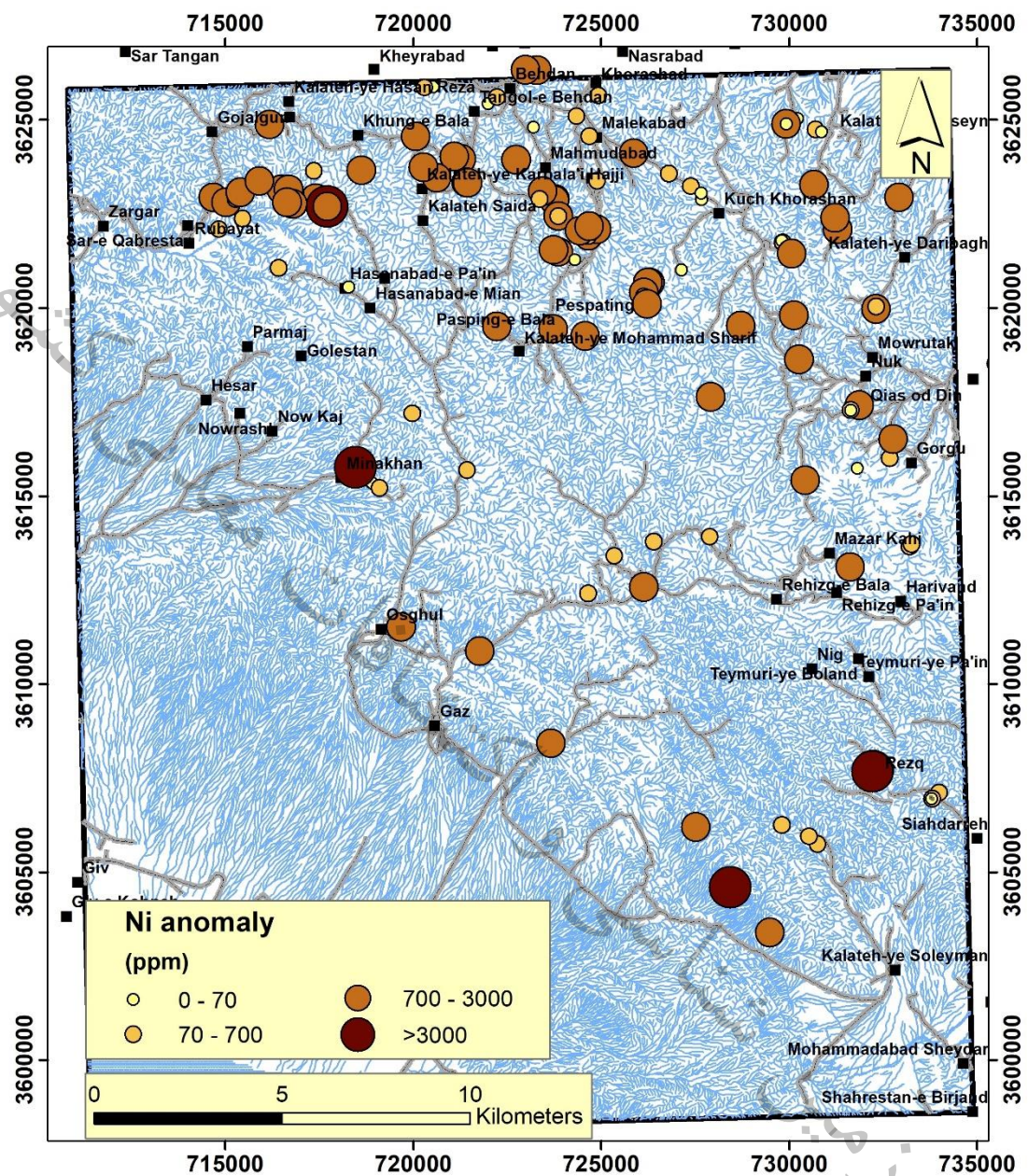
جدول -۵ -۹ - نمونه های روی بالاتر از ۷۰۰ ppm

شماره نمونه	X	Y	Zn (ppm)
BIRG2S312	۷۳۰.۷۵۴	۳۶۰.۵۷۴۸	۹۰۴

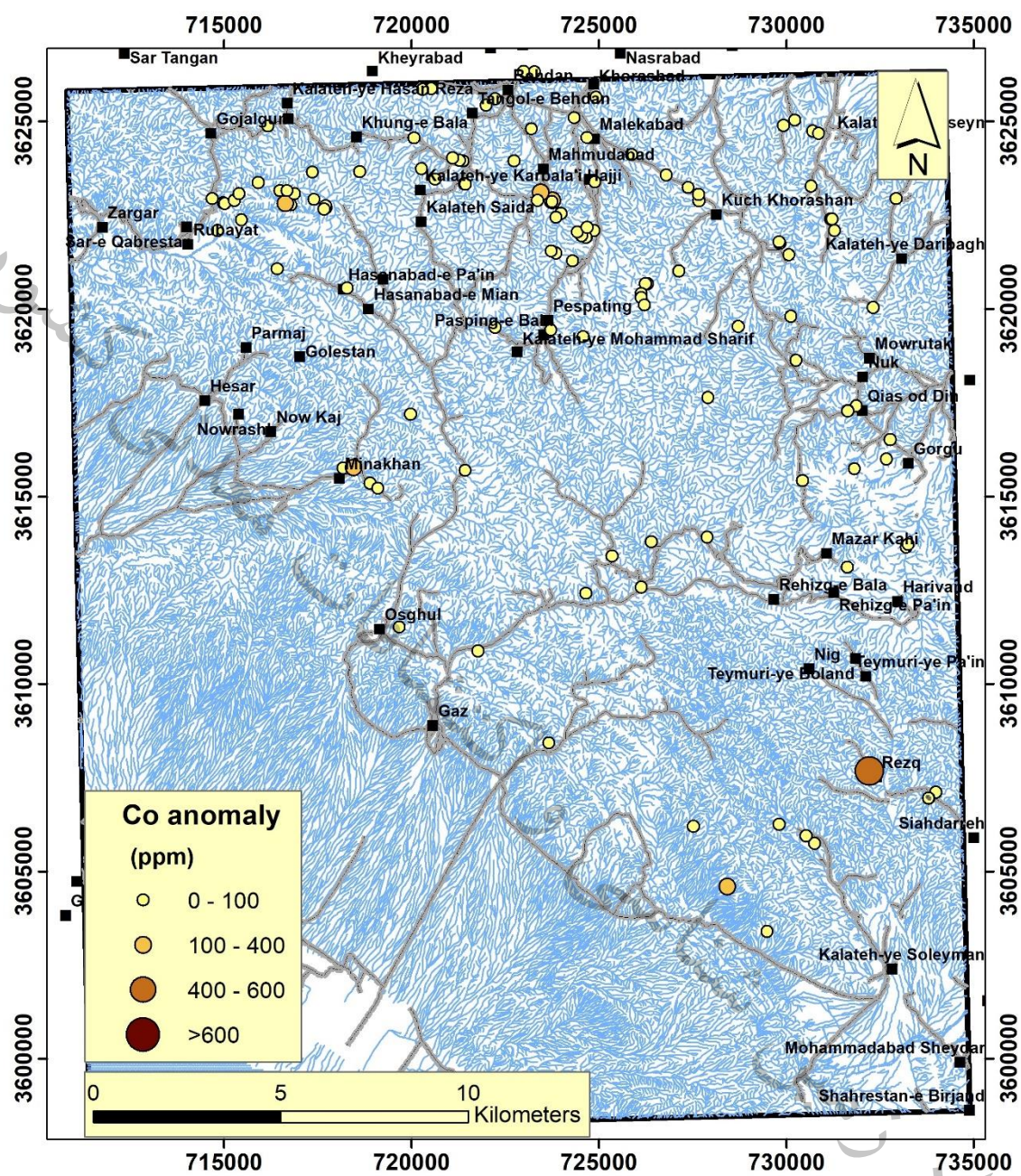




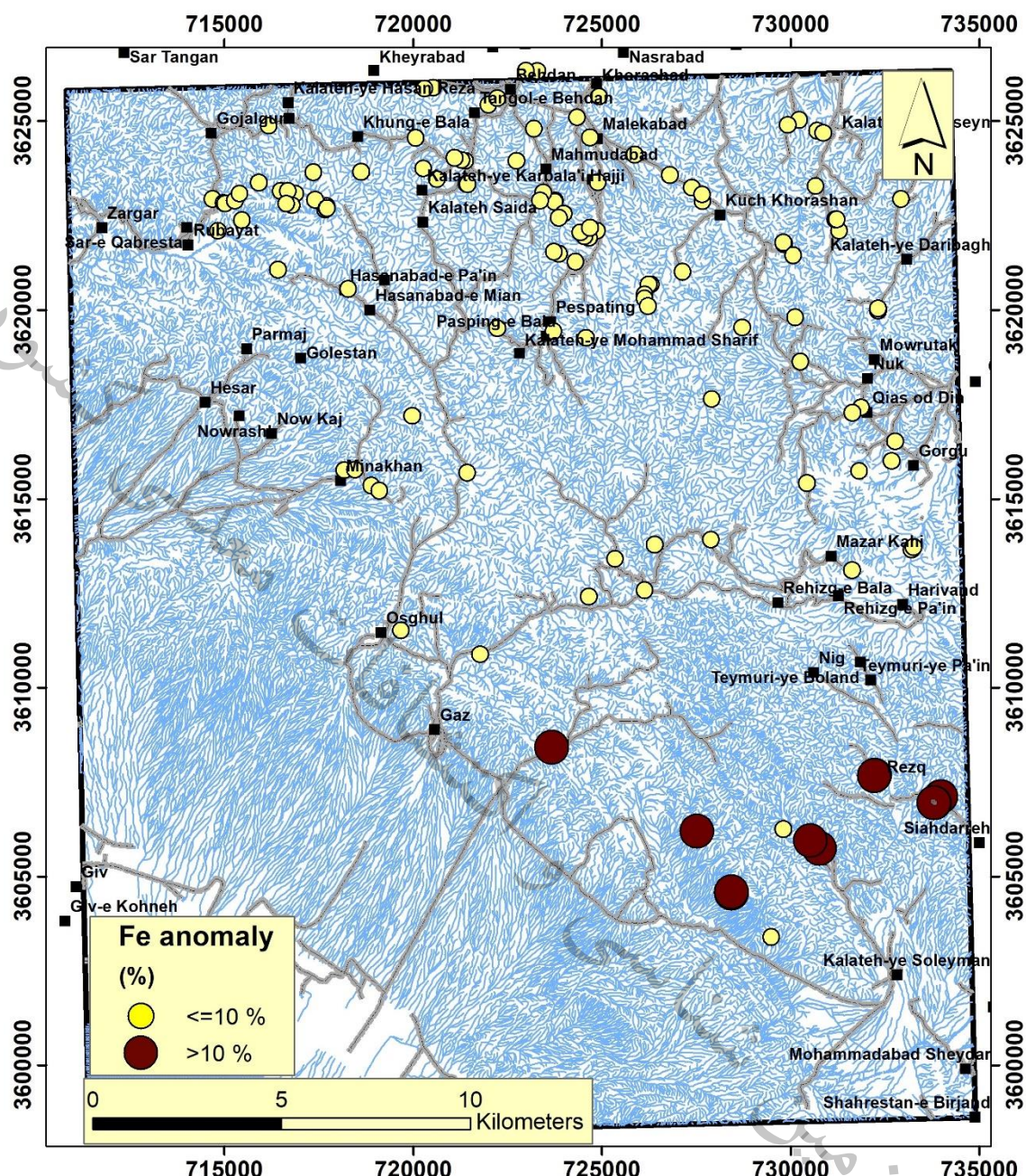
شکل ۵-۲- نقشه Symbol Map عنصر طلا بر اساس حدود ژینزبرگ



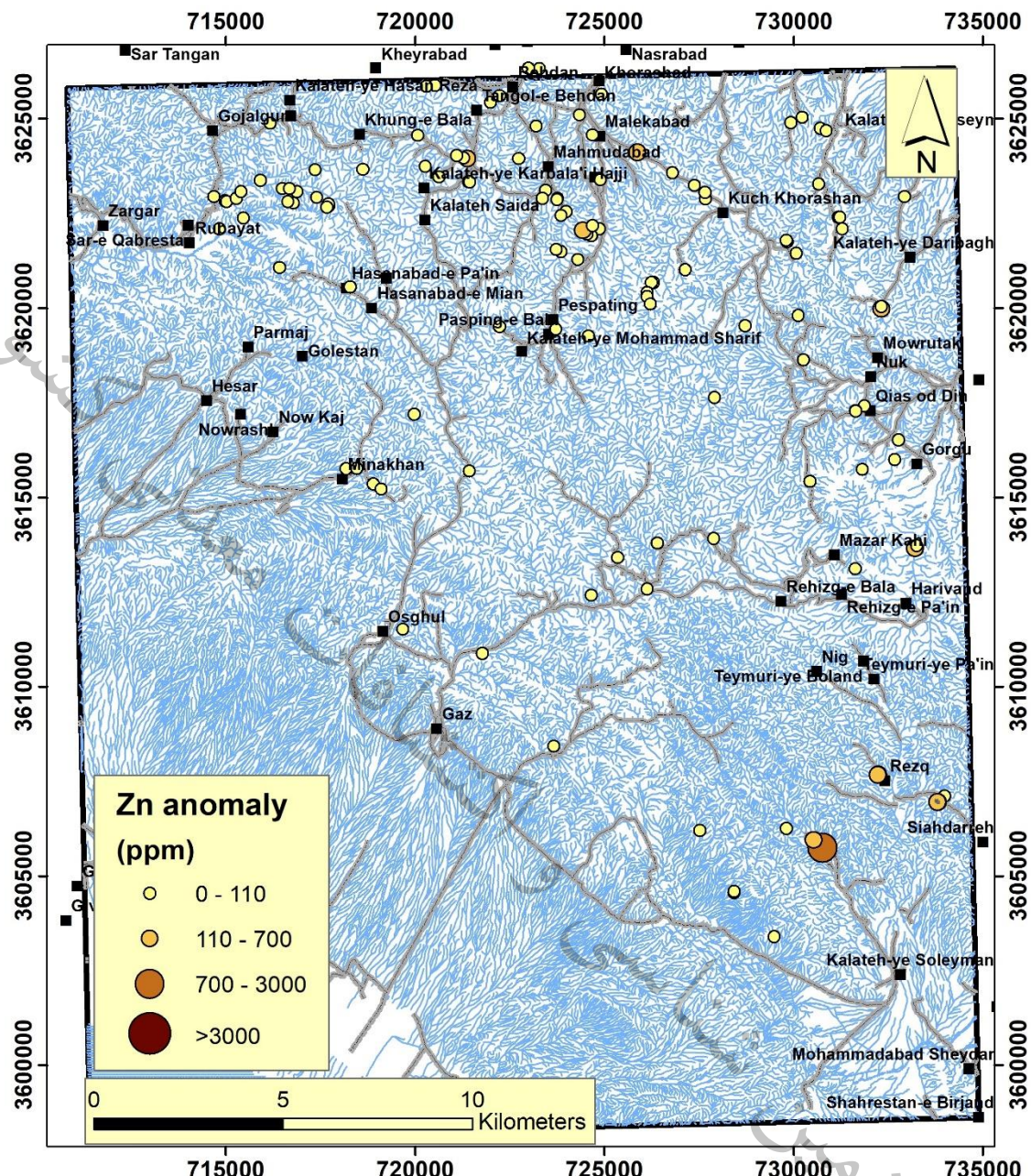
شكل ۵-۳- نقشه Symbol Map عنصر نیکل بر اساس حدود ژینزبرگ



شکل ۵-۴- نقشه Symbol Map عنصر کبالت بر اساس حدود ژینزبرگ



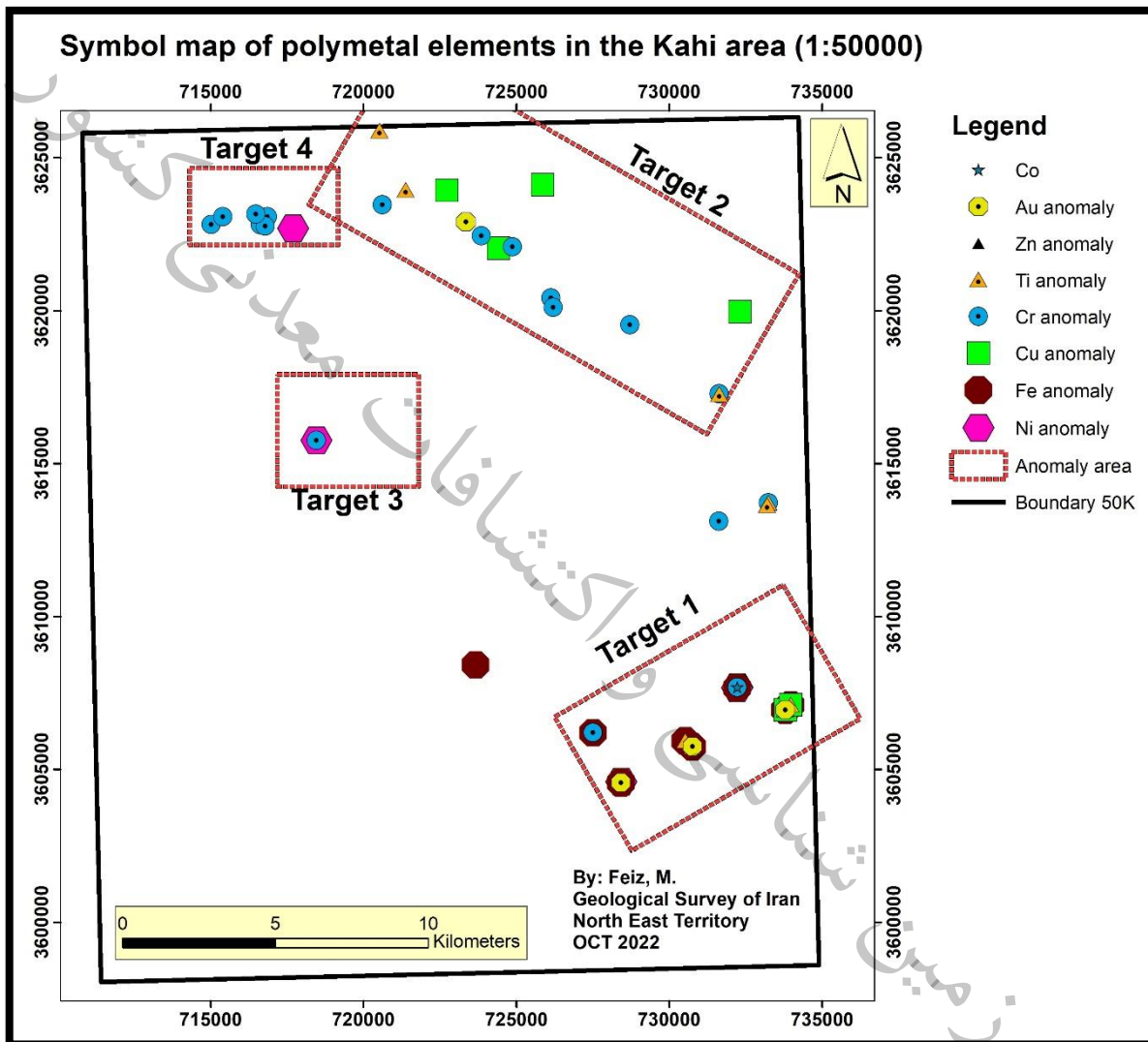
شکل ۵-۵- نقشه Symbol Map عنصر آهن همایتیت بر اساس حدود ژینزبرگ



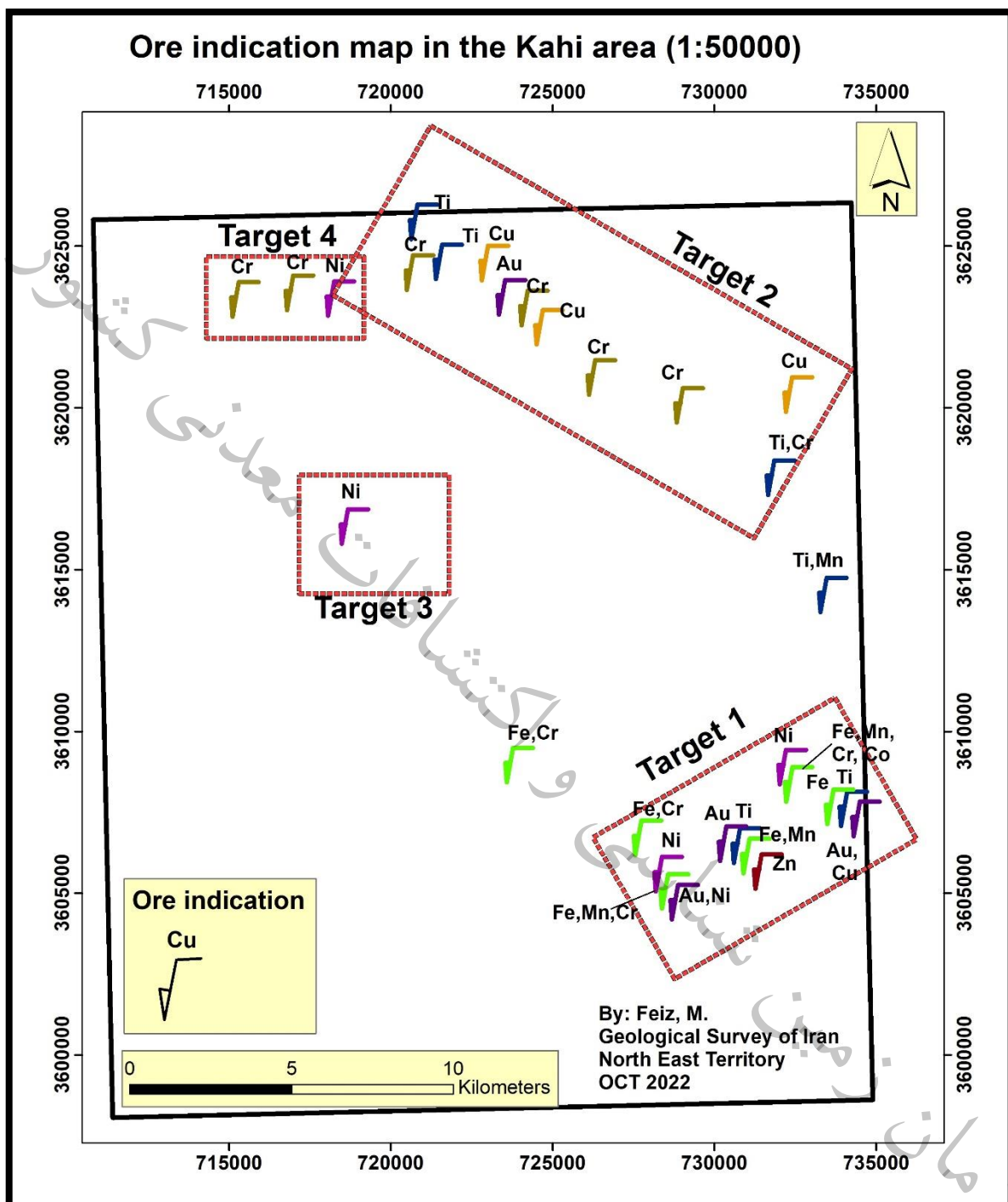
شکل ۵-۶- نقشه Symbol Map عنصر روی بر اساس حدود ژینزبرگ

۳-۲-۵- معرفی تارگت‌های معدنی:

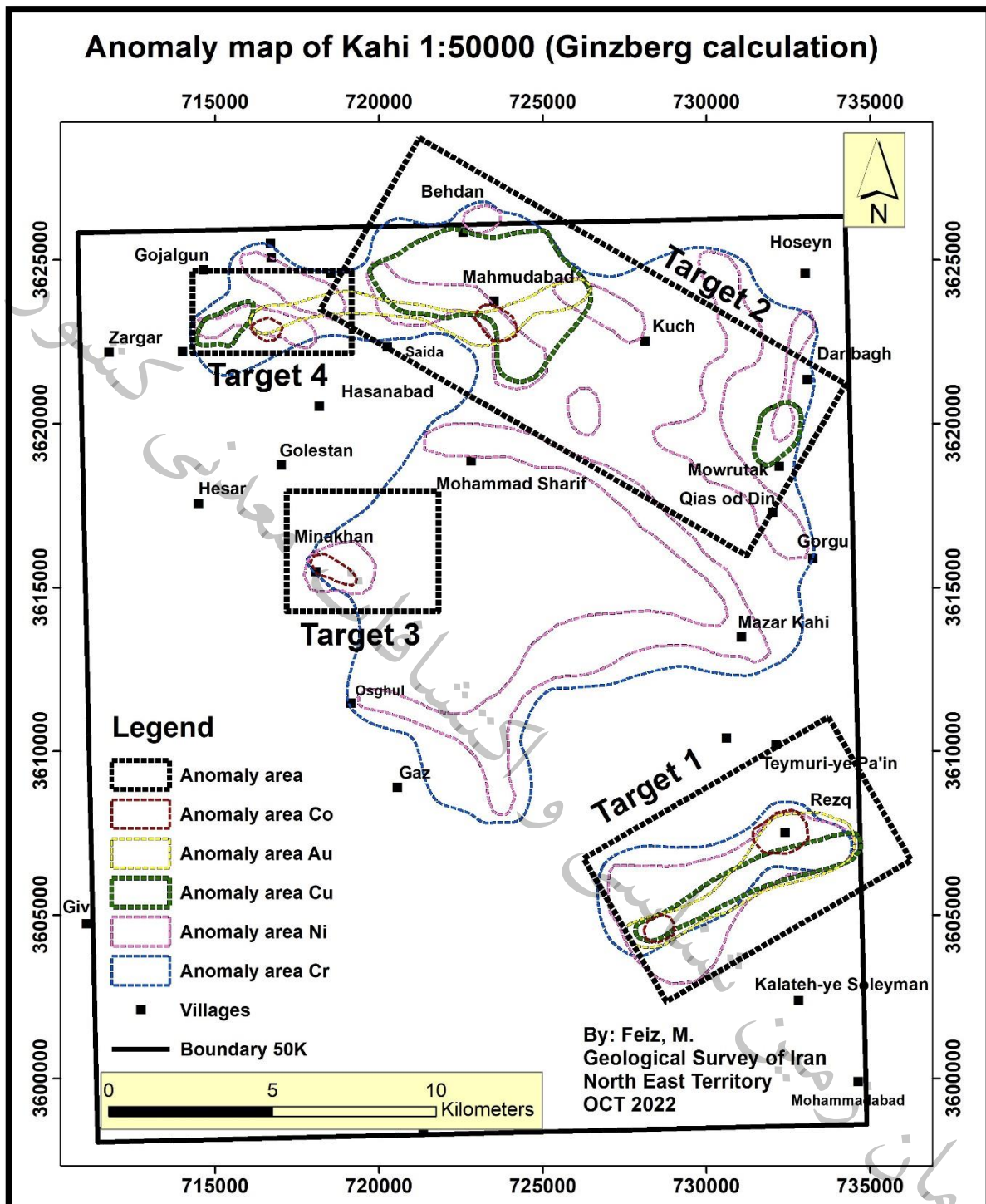
با توجه به نقشه‌های عبار-عنصری در نمونه‌های مینرالیزه و با استفاده از حدود ژینزبرگ در برگه ۱:۵۰۰۰۰ کاهی (بیر جند ۲)، می‌توان ۴ تارگت معدنی را معرفی نمود که مهم‌ترین آن‌ها در گوشه جنوب شرق نقشه (تارگت ۱) به دلیل داشتن بالاترین عیار نیکل قرار دارد (شکل‌های ۷-۵، ۸-۵ و ۹-۵).



شکل ۵- نقشه ۷- نتایج اکتشافات سیستماتیک بر اساس حدود ژینزبرگ و موقعیت تارگت‌های معدنی در آن



شکل ۵-۸- نقشه Ore Indication Map بر اساس حدود ژینزبرگ و موقعیت تارگت‌های معدنی در آن



شکل ۵-۹- نقشه آنومالی‌های کلی لیتوژئوشیمیایی نمونه‌های مینرالیزه برگه ۱:۵۰۰۰۰ کاهی بر اساس حدود ژینزبرگ

۴-۲-۵- خلاصه نتایج مطالعات اکتشافی در برگه ۱:۵۰۰۰۰ کاهی (بیر جند ۲):

مطالعات صحرایی انجام شده در این پروژه در ۵۰ روز انجام و منجر به برداشت مجموعاً ۱۵۴ نمونه شد به طوری که ۱۳۰ نمونه برای ICP و Fire Assay، ۱۵ نمونه برای مطالعات پتروگرافی و مینرالوگرافی و همچنین ۵ نمونه به جهت XRD برداشت گردید. نتیجه آنالیز شیمیایی نمونه‌های مینرالیزه نشان داد که میانگین عناصر طلا و مس در کل نمونه‌های اخذ شده برگه به ترتیب حدود ۶ ppm و ۳۹۰ ppm است. ولی در قسمت‌هایی از برگه‌های عیار بالای مس از قبیل غرب رostای محمود آباد (۵۸۰۰ ppm)، شمال رostای نوروتک (۳۶۰۰ ppm)، شرق محمود آباد (۲۹۲۹ ppm)، شرق کلاته سیدا (۱۲۲۲ ppm)، جنوب شرق رostای رزق (۸۱۰ ppm) و... نیز وجود دارد. یکی از آنومالی‌های مس که بین سه رostای بهدان در شمال، خونگ بالا در غرب و کوچ در شرق قرار دارد (به صورت سه ضلعی) به مساحت حدود ۱۷ کیلومتر مربع از نظر کانه زایی مس پتانسیل دارد (شکل‌های ۱-۵ و ۵-۹). همچنین در جنوب شرق رostای رزق در جنوب شرقی برگه به مساحت حدود ۱ کیلومتر مربع نیز برای عنصر مس پتانسیل دارد. بر اساس نتایج چک آنومالی ژئوشیمی ۱:۵۰۰۰۰ برگه کاهی (جرجندي، م.، ۱۴۰۱) نیز نقاطی پر عیار Au تا ۲ ppm (۲۰۰۰ ppm) وجود دارد. در جنوب شرق رostای رزق و در آنومالی‌های مس نیز عیار طلا بالا و از ۳۷ تا ۵۵ ppm در تغییر است و نشان دهنده همبستگی طلا و مس با یکدیگر می‌باشد (شکل ۲-۵).

بالاترین عیارهای نیکل در شمال غرب رostاهای رزق (از ۴۸۰۰ تا ۸۰۰۰ ppm) در یک زون لاتریتی نیکل دار در جنوب شرقی برگه ۱:۵۰۰۰۰ کاهی قرار دارد. همچنین در دیگر نقاط برگه نیز همچون شمال غرب کلاته سلیمان (۱۶۰۰ ppm تا ۳۳۰۰ ppm)، شمال شرق رostای میناخون (۳۲۰۰ ppm) در غرب برگه، جنوب غرب خونگ بالا (۱۰۰۰ ppm تا ۳۰۰۰ ppm) و نقاطی دیگر، با عیارهای پایین‌تر هستند. متوسط مقدار عنصر نیکل به دلیل وجود توده‌های افیولیتی ۸۴۰ ppm است (شکل ۵-۳). همبستگی تقریباً معناداری بین ناهنجاری نیکل و کروم در این نمونه‌ها مشاهده می‌شود و هزچه مقدار نیکل بالاتر رود مقدار کروم نیز بالا می‌رود که خود کلیدی اکتشافی است (شکل ۵-۱۰). میانگین عنصر کروم در توده‌های افیولیتی منطقه مورد مطالعه در حدود ۸۵ ppm است. لازم به ذکر است این عیار از نمونه‌های مینرالیزه مرحله اول و دوم به دست آمده است و در مرحله سوم این عنصر آنالیز نشده است. اگر چه در برخی نمونه‌های منطقه مورد مطالعه عیار آهن به ۲۰ درصد نیز می‌رسد ولی میانگین عیار آهن در کل نمونه‌های مینرالیزه حدود ۹۰۰ ppm است. میانگین عنصر منگنز در منطقه اکتشافی حدود ۷۷۰ ppm می‌باشد، هر چند که در بیشتر قسمت‌های کمربند افیولیتی میانگین تا ۱۰۰۰ ppm نیز می‌رسد. مقدار میانگین عنصر روی در نمونه‌های مینرالیزه کل برگه در حدود ۵۲ ppm است ولی در قسمت‌هایی از جمله جنوب غرب رostای رزق عیار عنصر روی به ۱۰۰۰ ppm نیز می‌رسد (شکل ۵-۶). میانگین کللت در نمونه‌های مینرالیزه منطقه مورد مطالعه حدود ۵۶ ppm است. اما در آنومالی نیکل رostای رزق،

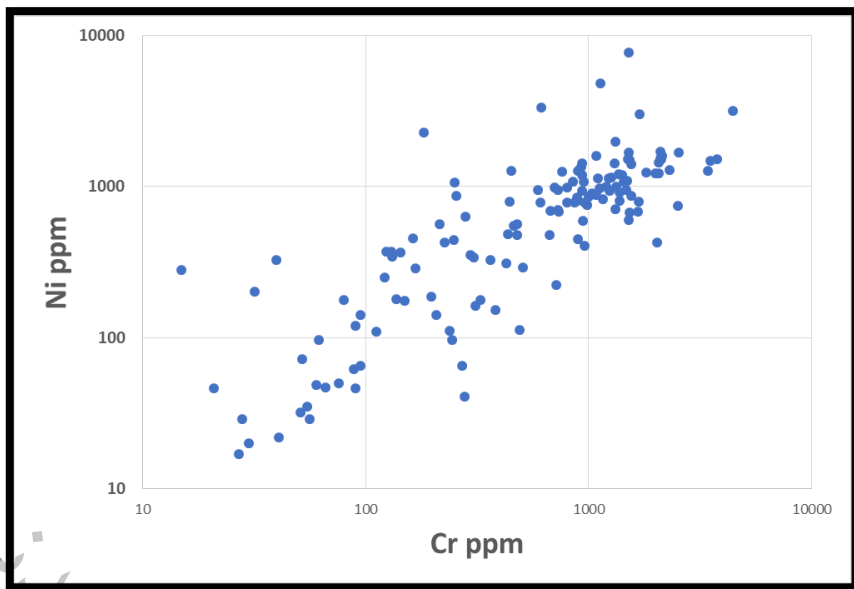
میانگین عنصر کبالت (375 ppm تا 542 ppm) است. میانگین عیار کل عناصر در نمونه‌های مینرالیزه به دلیل اینکه در دو آزمایشگاه مختلف آنالیز شدند در جداول (۱۰-۵) و (۱۱-۵) آورده شده است که عناصر کمی متفاوت هستند. همانطور که مشاهده می‌شود مقدار میانگین برخی عناصر از قبیل نیکل، طلا، نقره، کبالت، آهن، کروم، منگنز، فسفر، سرب، تیتانیم، وانادیم، اورانیم و روی مربوط به آنالیزهای عنصری مرحله سوم بالاتر از آنالیزهای مراحل اول و دوم می‌باشد و نشان دهنده این است که نمونه برداری مرحله سوم از تارگت شماره ۱ و جنوب منطقه بوده است که پتانسیل بالاتری در برگه ۱:۵۰۰۰۰ کاهی (بیرجند ۲) داشته‌اند و این خود به لزوم کارهای اکتشافی بیشتر در جنوب منطقه اکتشافی و مخصوصاً تارگت شماره (۱) تاکید می‌نماید.

جدول ۵-۱۰- میانگین عناصر مختلف مربوط به مرحله سوم آنالیز شیمیایی (سازمان زمین شناسی)

Average 1-2 (ppm)			
Au	5 ppb	Mn	714
Ag	1	Mo	1
Al	16218	Na	2975
As	16	Ni	757
Ba	62	P	100
Be	1	Pb	4
Ca	45915	S	478
Cd	0	Sb	2
Ce	6	Sc	6
Co	52	Sr	205
Cr	886	Th	5
Cu	410	Ti	531
Fe	31918	U	5
K	1798	V	39
La	3	Y	4
Li	26	Yb	1
Mg	1591	Zn	39

جدول ۵-۱۱- میانگین عناصر مختلف مربوط به مرحله اول و دوم آنالیز شیمیایی (زرآزما)

Average 3 (ppm)			
Au	9.77	Nb	10.82
Ag	3.00	Nd	17.43
Ba	417.54	Ni	1435.37
Be	0.73	P	433.48
Ce	16.39	Pb	22.65
Co	86.60	Sc	14.77
Cr	796.17	Sm	5.35
Cu	243.85	Sr	215.47
Dy	5.27	Te	5.00
Er	2.99	Th	34.98
Eu	2.00	Ti	2833.95
Fe	132746.24	U	21.62
Ga	18.62	V	97.08
Gd	12.25	Y	13.80
La	9.45	Yb	5.14
Li	13.22	Zn	144.65
Mn	1141.69		



شکل ۵-۱۰- همبستگی مثبت بین مقدار

تیپ و ژنز مهم‌ترین کانی‌زایی‌های منطقه مورد مطالعه در جدول (۱۲-۵) آورده شده است. از نظر پتانسیل‌های فلزی، بر اساس بازدیدهای صحراوی و نمونه‌برداری‌های صورت گرفته و آچه در بالا گفته شد، در برگه ۱:۵۰۰۰۰ کاهی، یک محدوده نیکل‌دار با عیار بالا (ppm ۸۰۰۰) شناسایی شد که در شمال غرب روسیه رزق و در یک زون لاتریتی نیکل قرار دارد. همچنین دو لندیس‌های مس با عیار بالا در منطقه مورد مطالعه قرار دارد که یکی در جنوب کوه قلا (ppm ۳۶۰۰)، دیگری در جنوب غرب روسیه عباس آباد (ppm ۵۸۰۰) قرار دارد. ایندیس‌های مس، طلا و نیکل کم عیار نیز به تعداد زیاد در منطقه دیده می‌شود (جدول ۱۳-۵).

موقعیت جغرافیایی و مساحت تقریبی این پتانسیل‌ها نیز در جدول (۱۳-۵) ارائه شده است. بر این اساس می‌توان عنوان نمود که کانی‌زایی‌های مس در منطقه اکتشافی به دو نوع قبرسی در سنگ‌های اولترامافیکی و نوع هیدروترمال در توده‌های آگلومرایی تقسیم می‌شوند. همچنین کلنی‌زایی‌های نیکل در منطقه مورد مطالعه در زون‌های به شدت لاتریتی و اکسید آهنی با سنگ میزان اولترامافیکی قرار دارند و کلید اکتشافی برای پیدا کردن این زون‌های لاتریتی توجه به کپهای اکسیدی در سنگ‌های اولترامافیکی است.

علاوه بر پتانسیل‌های فلزی، در این برگه، پتانسیل‌های غیرفلزی نیز شناسایی شدند که شامل محدوده‌های سنگ‌های نیمه قیمتی آگات و ژاسپ در مناطق مختلف برگه، مجموعه ضخیم لایه دولومیتی به رنگ روشن، خاک صنعتی و ... می‌شود.

جدول ۵-۱۲- تیپ و ژنز برخی از مهم‌ترین کانه‌زایی‌های برگه ۱:۵۰۰۰۰ کاهی (بیر جند ۲).

نام پتانسیل	بعاد زون کانی‌زایی (متر)	نوع ماده معدنی و تیپ‌های احتمالی	عيار متوسط ماده معدنی (تعداد نمونه‌های آنالیز شده)
کانه‌زایی مس جنوب کوه قلا	۱۰۰*۱۰۰	توده‌ای در مس نوع قبرسی در افیولیت‌ها	Cu > 3.6% (2)
کانه‌زایی مس در شرق کافکی	۵۰*۲۰	پچ به ابعاد هیدروترمال در آگلومرا	Cu > 6000 ppm (1)
کانه‌زایی نیکل در شمال غرب رزق	۲۰۰*۲۰۰	توده به ابعاد لاتریت نیکل دار	Ni > 8000 ppm (2)
کانه‌زایی منیزیت شرق میناخون	۱۰۰*۲۰	رگه‌ای به ابعاد رگه‌ای و هیدروترمالی	MgO > 20% (1)
کانه‌زایی ژاسپیروئید زرد رنگ	۵۰*۱۰۰۰	رگه‌ای به ابعاد رگه‌ای و هیدروترمالی	-

با این وجود، تصمیم‌گیری درباره ارزش اقتصادی مناطق کشف شده در این سطح از مطالعات چندان دقیق نبوده و نیازمند اجرای عملیات‌های اکتشافی تفصیلی‌تر در منطقه اکتشافی است.

جدول ۵-۱۳- نوع و نام پتانسیل‌های فلزی و غیرفلزی در برگه ۱:۵۰.۰۰۰ کاهی (بیر جند ۲)

			X (مرکز محدوده)	Y (مرکز محدوده)	مساحت (کیلومتر مربع)	نام پتانسیل	نوع پتانسیل
۰/۱		۳۶۰۳۶۳۰	۷۲۶۳۶۸			کانی سازی منیزیت شرق چهکندوک	
۰/۰۲		۳۶۱۵۲۲۰	۷۱۹۱۰۷			کانی سازی منیزیت جنوب میناخون	
-		۳۶۲۲۳۹۴۴	۷۲۲۷۷۲۷			اندیس مس غرب روستای محمود آباد	
-		۳۶۲۲۰۴۸	۷۲۴۴۴۲۲			اندیس مس جنوب شرق محمود آباد	
-		۳۶۲۴۱۱۷	۷۲۵۸۶۲			اندیس مس شرق کافکی	
-		۳۶۱۹۹۷۵	۷۲۳۲۳۱۲			اندیس مس شمال روستای نوروتک	
-		۳۶۰۷۱۱۳	۷۲۳۹۷۸			اندیس مس جنوب شرق روستای رزق	
-		۳۶۰۷۶۶۷	۷۳۲۲۱۵			اندیس کیالت شمال غرب روستای رزق	
-		۳۶۰۷۶۶۷	۷۳۲۲۱۵			اندیس نیکل شمال غرب روستای رزق	
-		۳۶۰۴۵۸۹	۷۲۸۴۲۹			اندیس نیکل شمال غرب کلاته سلیمان	
-		۳۶۱۵۷۶۲	۷۱۸۴۵۷			اندیس نیکل شمال شرق روستای میناخون	
-		۳۶۲۲۶۹۳	۷۱۷۷۰۳			اندیس نیکل جنوب روستای خونگ بالا	اندیس فلزی
-		۳۶۲۲۸۹۹	۷۲۲۳۵۲			اندیس طلای جنوب روستای محمود آباد	
-		۳۶۲۲۲۸۱	۷۲۰۶۵۵			اندیس طلای شمال غرب چهکندوک	
-		۳۶۰۶۹۴۹	۷۲۳۲۷۸۸			اندیس طلای جنوب شرق روستای رزق	
-		۳۶۰۵۷۴۸	۷۲۰۷۵۴			اندیس روی شمال کلاته سلیمان	
-		۳۶۰۸۴۲۳	۷۲۳۶۶۳			اندیس هماتیت جنوب شرق روستای گز	
-		۳۶۰۴۵۸۹	۷۲۸۴۲۹			اندیس هماتیت شمال غرب کلاته سلیمان	
-		۳۶۰۵۹۴۰	۷۲۰۵۲۶			اندیس هماتیت شمال چهکندوک	
-		۳۶۰۷۱۱۳	۷۲۳۹۷۸			اندیس هماتیت جنوب روستای رزق	
-		۳۶۰۷۶۶۷	۷۲۲۲۱۵			اندیس هماتیت شمال غرب روستای رزق	
-		۳۶۱۹۹۷۵	۷۲۳۲۳۱۲			اندیس مس کوه قلا در شمال روستای نوک	
-		۳۶۲۲۳۹۴۴	۷۲۲۷۷۲۷			اندیس مس غرب روستای عباس آباد	
-		۳۶۲۲۳۷۷۲	۷۱۵۹۰۲			اندیس آگات و	
۰/۰۷		۳۶۰۴۵۸۹	۷۲۸۴۲۹			زون ژاسپ شمال غرب چهکندوک	ژاسپ
۰/۰۲		۷۱۷۳۵۷	۳۶۲۳۶۴۸			خاک صنعتی جنوب غرب خونگ بالا	زون خاک صنعتی
-		۳۶۲۰۵۶۴	۷۱۸۲۷۵			اندیس لیتیم در واحد مارنی حسن آباد	
۰/۵		۳۶۲۱۰۶۳	۷۱۶۴۱۱			دولومیت شمال روستای برمج	
۰/۵		۳۶۲۲۸۹۴	۷۱۵۲۷۲			دولومیت شمال روستای روپیات	واحد کربناتی
۰/۵		۳۶۲۲۶۷۱	۷۱۷۶۶۴			دولومیت شمال غرب روستای موراچک	(کاربرد صنعتی)
۰/۵		۳۶۱۳۴۰۷	۷۲۵۳۴۱			دولومیت شمال روستای چنشت	
۰/۵		۳۶۲۲۴۰۵	۷۳۱۱۷۳			سنگ لشه جنوب روستای لاخ زرد	سنگ ساختمانی
-		۳۶۲۰۶۷۶	۷۲۶۲۳۴			اندیس آزبست جنوب شرق روستای بروزج	آزبست

۳-۵- مطالعات فنی و اقتصادی در برگه زمین شناسی ۱:۵۰۰۰۰ کاهی (بیرونی ۲):

مطالعات فنی و اقتصادی می‌تواند به دلایل مختلفی مورد استفاده قرار گیرد، اما دلیل اصلی آن بررسی امکان اجرای عملیات اکتشافی در محدوده مورد نظر به منظور صرفه جویی در زمان و هزینه می‌باشد. به همین منظور مطالعات فن و اقتصادی در برگه زمین شناسی ۱:۵۰۰۰۰ کاهی انجام شد که شامل موارد زیر هستند:

۱- موقعیت زون‌های کانی‌سازی نسبت به زیر ساخت‌های منطقه، ۲- ژئومتری زون‌های کانی‌سازی، ۳- ژئومتری زون‌های دگرسانی. زیرساخت‌های اکتشافی در این برگه شامل جاده (آسفالت، خاکی و ...)، آب (رودخانه، قنات و ...)، پست دکل برق، آبادی یا شهر می‌باشد. جاده‌های متعدد آسفالت و خاکی برای دسترسی به بیشتر نقاط محدوده اکتشافی چه از شمال به جنوب نقشه و چه از شرق به غرب نقشه به جز نواحی کوهستانی و سطح نقشه میسر است که بیشتر از نوع جاده‌های خاکی می‌باشد. همچنین راه‌های ارتباطی بین روستاهای بزرگ اکثراً آسفالت است. تمامی آبادی‌های منطقه به شبکه توزیع انتقال برق و تلفن متصل هستند و آب تصفیه شده و آب شرب خود را از شبکه آبرسانی، قنات و یا چاه‌های عمیق تامین می‌نمایند. در جدول (۱۴-۵) فاصله اندیس‌های معدنی با زیر ساخت‌های اکتشافی (جاده، آب، دکل برق، آبادی، شهر) آورده شده است. در جدول (۱۵-۵) ژئومتری زون‌های کانی‌زایی و در جدول (۱۶-۵) ژئومتری زون‌های دگرسانی آورده شده است.

جدول - ۱۴- موقعیت اندیس‌های معدنی نسبت به زیرساخت‌های منطقه

اندیس معدنی	نوع زیرساخت	فاصله اندیس از زیرساخت (کیلومتر)
مس - غرب عباس آباد	جاده (اصلی، آسفالت، خاکی و ...)	۱ کیلومتر جاده خاکی تا روستای عباس آباد
	آب (رودخانه، قنات و ...)	۱ کیلومتر تا روستای عباس آباد
	پست / دکل برق	۱ کیلومتر تا روستای عباس آباد
	آبادی / شهر	۱ کیلومتر تا روستای عباس آباد
مس - جنوب شرق ملک آباد	جاده (اصلی، آسفالت، خاکی و ...)	۲/۵ کیلومتر جاده آسفالت تا خراشاد
	آب (رودخانه، قنات و ...)	۲/۵ کیلومتر تا رودخانه خراشاد
	پست / دکل برق	۱ کیلومتر تا روستای ملک آباد
	آبادی / شهر	۲/۵ کیلومتر تا روستای خراشاد و ۱ کیلومتر تا ملک آباد
مس - شمال غرب روستای برج	جاده (اصلی، آسفالت، خاکی و ...)	۰/۵ کیلومتر جاده خاکی تا روستای برج و ۴ کیلومتر جاده خاکی تا خراشاد
	آب (رودخانه، قنات و ...)	۵/۵ کیلومتر تا رودخانه روستای خراشاد
	پست / دکل برق	۰/۵ کیلومتر تا روستای برج
	آبادی / شهر	۰/۵ کیلومتر تا روستای برج و ۶ کیلومتر تا خراشاد
مس - جنوب کوه قلا	جاده (اصلی، آسفالت، خاکی و ...)	۷ کیلومتر تا جاده آسفالت شهر مود و ۲ کیلومتر جاده خاکی تا روستای نوک
	آب (رودخانه، قنات و ...)	۷ کیلومتر تا شهر مود
	پست / دکل برق	۲ کیلومتر تا روستای نوک در جنوب
	آبادی / شهر	۲ کیلومتر تا روستای نوک و ۷ کیلومتر تا شهر مود در شرق

ادامه جدول ۵-۱۴- موقعیت زون‌های کانه‌زایی نسبت به زیرساخت‌های منطقه

زون کانه‌زایی	نوع زیرساخت	فاصله زون از زیرساخت (کیلومتر)
رسق	آب (رودخانه، قنات و ...)	۰/۵ کیلومتر جاده خاکی تا کلاته نورا... و تا جاده آسفالته مود
رسق	پست / دکل برق	۲ کیلومتر تا روستای رزق و ۴ کیلومتر تا سد رزق
آبادی/ شهر	آبادی/ شهر	۲ کیلومتر تا روستای رزق
آبادی/ شهر	آبادی/ شهر	۲ کیلومتر تا روستای رزق و ۱۷ کیلومتری شهر مود
آبادی/ شهر	آبادی/ شهر	۴۰۰ متر تا روستای رزق جاده خاکی ، تا شهر مود ۱۵ کیلومتر آسفالته
آبادی/ شهر	آب (رودخانه، قنات و ...)	۱۵ کیلومتر تا شهر مود
آبادی/ شهر	پست / دکل برق	۴۰۰ متر تا روستای رزق
آبادی/ شهر	آبادی/ شهر	۴۰۰ متر تا روستای رزق
آبادی/ شهر	آبادی/ شهر	۱ کیلومتر تا جاده خاکی به سمت روستای کلاته سلیمان، ۷ کیلومتر جاده خاکی تا روستای کلاته سلیمان،
آبادی/ شهر	آب (رودخانه، قنات و ...)	۱۵ کیلومتر تا شهر مختاران
آبادی/ شهر	پست / دکل برق	۸ کیلومتر تا روستای کلاته سلیمان
آبادی/ شهر	آبادی/ شهر	۸ کیلومتر تا کلاته سلیمان و ۱۶ کیلومتر تا مختاران
آبادی/ شهر	آبادی/ شهر	۹۰۰ متر خاکی تا روستای میناخون
آبادی/ شهر	آب (رودخانه، قنات و ...)	۷ کیلومتر تا رودخانه آب شور فصلی روستای اصفول
آبادی/ شهر	پست / دکل برق	۹۰۰ متر
آبادی/ شهر	آبادی/ شهر	۱۷ کیلومتر تا روستای گیو
آبادی/ شهر	آبادی/ شهر	۳ کیلومتر جاده خاکی تا روستای خنگ بالا
آبادی/ شهر	آب (رودخانه، قنات و ...)	۳ کیلومتر تا روستای خنگ بالا
آبادی/ شهر	پست / دکل برق	۳ کیلومتر
آبادی/ شهر	آبادی/ شهر	۳ کیلومتر تا روستای خنگ بالا
آبادی/ شهر	آبادی/ شهر	۵۰۰ متر جاده آسفالته مود به مختاران، ۳ کیلومتر تا روستای مزار کاهی
آبادی/ شهر	آب (رودخانه، قنات و ...)	۳/۵ کیلومتر تا رودخانه مزار کاهی (فصلی)
آبادی/ شهر	پست / دکل برق	۳ کیلومتر
آبادی/ شهر	آبادی/ شهر	۳/۵ کیلومتر تا روستای مزار کاهی
آبادی/ شهر	آبادی/ شهر	۴۰۰ متر تا روستای رزق جاده خاکی ، تا شهر مود ۱۵ کیلومتر آسفالته
آبادی/ شهر	آب (رودخانه، قنات و ...)	۱۵ کیلومتر تا شهر مود
آبادی/ شهر	پست / دکل برق	۴۰۰ متر تا روستای رزق
آبادی/ شهر	آبادی/ شهر	۴۰۰ متر تا روستای رزق

ادامه جدول ۵-۱۴- موقعیت زون‌های کانه‌زایی نسبت به زیرساخت‌های منطقه

زون کانه‌زایی	نوع زیرساخت	فاصله زون از زیرساخت (کیلومتر)
نیکل - شمال غرب روپیات	آب (رودخانه، قنات و ...)	۴ کیلومتر جاده خاکی تا جاده روپیات-بهدان
	پست / دکل برق	و سپس ۳ کیلومتر جاده خاکی تا روستای روپیات
	آبادی / شهر	روپیات
هماتیت - غرب روستای رزق	آب (رودخانه، قنات و ...)	۷ کیلومتر تا دره روستای روپیات (قنات)
	پست / دکل برق	۷ کیلومتر تا روستای روپیات
	آبادی / شهر	۷ کیلومتر تا روستای روپیات
هماتیت - کلاته بوسفان	آب (رودخانه، قنات و ...)	۳ کیلومتر تا روستای رزق جاده خاکی ، تا شهر مود ۱۵ کیلومتر آسفالت
	پست / دکل برق	۱۸ کیلومتر تا شهر مود
	آبادی / شهر	۳ کیلومتر تا روستای رزق
	آبادی / شهر	۳ کیلومتر تا روستای رزق
هماتیت - شمال غرب کلاته سلیمان	آب (رودخانه، قنات و ...)	۱/۵ کیلومتر تا جاده خاکی چهکندوک -
	پست / دکل برق	عربان و ۴ کیلومتر تا روستای چهکندوک
	آبادی / شهر	جاده خاکی
هماتیت - شمال غرب روپیات	آب (رودخانه، قنات و ...)	۴ کیلومتر تا روستای چهکندوک
	پست / دکل برق	۴ کیلومتر تا روستای چهکندوک
	آبادی / شهر	۴ کیلومتر تا روستای چهکندوک
هماتیت - شرق کلاته نورا... (جنوب شرق رزق)	آب (رودخانه، قنات و ...)	۱ کیلومتر تا جاده خاکی به سمت روستای کلاته سلیمان، ۷ کیلومتر جاده خاکی تا روستای کلاته سلیمان،
	پست / دکل برق	۱۵ کیلومتر تا شهر مختاران
	آبادی / شهر	۸ کیلومتر تا روستای کلاته سلیمان
	آبادی / شهر	۸ کیلومتر تا کلاته سلیمان و ۱۶ کیلومتر تا مختاران
هماتیت - شمال غرب روپیات	آب (رودخانه، قنات و ...)	۴ کیلومتر جاده خاکی تا جاده روپیات-بهدان
	پست / دکل برق	و سپس ۳ کیلومتر جاده خاکی تا روستای روپیات
	آبادی / شهر	روپیات
هماتیت - شرق کلاته نورا... (جنوب شرق رزق)	آب (رودخانه، قنات و ...)	۷ کیلومتر تا دره روستای روپیات (قنات)
	پست / دکل برق	۷ کیلومتر تا دره روستای روپیات
	آبادی / شهر	۷ کیلومتر تا دره روستای روپیات
	آبادی / شهر	۱/۵ کیلومتر جاده خاکی تا کلاته نورا. و ۰/۵ تا جاده آسفالت مود
	آب (رودخانه، قنات و ...)	۲ کیلومتر تا روستای رزق و ۴ کیلومتر تا سد رزق
	پست / دکل برق	۲ کیلومتر تا روستای رزق
	آبادی / شهر	۲ کیلومتر تا روستای رزق و ۱۷ کیلومتری شهر مود

ادامه جدول ۵-۱۴- موقعیت زون‌های کانه‌زایی نسبت به زیرساخت‌های منطقه

زون کانه‌زایی	آزادی/ شهر	پست / دکل برق	آب (رودخانه، قنات و ...)	جاده (اصلی، آسفالت، خاکی و ...)	نوع زیرساخت	فاصله زون از زیرساخت (کیلومتر)
طلا- شمال غرب روستای چهکندوک	آبادی/ شهر	آبادی/ شهر	آب (رودخانه، قنات و ...)	جاده (اصلی، آسفالت، خاکی و ...)	نوع زیرساخت	۲ کیلومتر جاده خاکی تا روستای چهکندوک
طلا - شمال غرب کلاته سلیمان	آبادی/ شهر	آبادی/ شهر	آب (رودخانه، قنات و ...)	جاده (اصلی، آسفالت، خاکی و ...)	نوع زیرساخت	۱ کیلومتر تا جاده خاکی به سمت روستای کلاته سلیمان، ۷ کیلومتر جاده خاکی تا روستای کلاته سلیمان، ۱۵ کیلومتر تا شهر مختاران
طلا- جنوب روستای محمود آباد	آبادی/ شهر	آبادی/ شهر	آب (رودخانه، قنات و ...)	جاده (اصلی، آسفالت، خاکی و ...)	نوع زیرساخت	۲ کیلومتر جاده خاکی تا روستای محمود آباد
منیزیت - شرق میناخون	آبادی/ شهر	آبادی/ شهر	آب (رودخانه، قنات و ...)	جاده (اصلی، آسفالت، خاکی و ...)	نوع زیرساخت	۱/۲ کیلومتر خاکی تا روستای میناخون
منیزیت - شمال غرب کلاته سلیمان	آبادی/ شهر	آبادی/ شهر	آب (رودخانه، قنات و ...)	جاده (اصلی، آسفالت، خاکی و ...)	نوع زیرساخت	۱/۲ کیلومتر تا قنات روستای میناخون
دولومیت - شمال شرق روپیات	آبادی/ شهر	آبادی/ شهر	آب (رودخانه، قنات و ...)	جاده (اصلی، آسفالت، خاکی و ...)	نوع زیرساخت	۹۰۰ متر
آگات - دره روپیات	آبادی/ شهر	آبادی/ شهر	آب (رودخانه، قنات و ...)	جاده (اصلی، آسفالت، خاکی و ...)	نوع زیرساخت	۱/۵ کیلومتر جاده خاکی تا روستای روپیات
آزبست - جنوب غرب کوچ	آبادی/ شهر	آبادی/ شهر	آب (رودخانه، قنات و ...)	جاده (اصلی، آسفالت، خاکی و ...)	نوع زیرساخت	۱/۵ کیلومتر جاده خاکی تا روستای روپیات

جدول ۵-۱۵- ژئومتری زون‌های کانی‌زایی

نام پتانسیل	ابعاد زون کانی‌زایی	نوع ماده معدنی و تیپ‌های احتمالی	عيار متوسط ماده معدنی در زون (تعداد نمونه‌های آنالیز شده)
مس - جنوب کوه قلا	پچ مالاکیتی و آزوریتی به ابعاد ۵۰ در ۲۰ متر رگه سیلیسی-کربناته به طول ۱۰۰ متر و ضخامت ۲ متر	مس - قبرسی ؟	Cu: 36005 ppm (1)
مس - شمال غرب روستای برج	پچ آلتره دارای مالاکیت در آگلومرا به ابعاد ۲۰ در ۱۰ متر	مس - اپی ترمال ؟	Cu: 1222 ppm (1)
مس - جنوب شرق ملک آباد	آگلومرا به ابعاد ۵ در ۱۰ متر	مس - اپی ترمال ؟	Cu: 2929 ppm (1)
مس - غرب عباس آباد	پچ مالاکیتی به ابعاد ۵ در ۲ متر زون آلتنه اکسیدی-	مس - قبرسی ؟	Cu: 5800 ppm (1)
مس - جنوب شرق رزق	ليمونیتی دارای اثرات مس به ابعاد ۲۰ در ۳ متر	مس - اپی ترمال ؟	Cu: 1599 ppm (1)
نیکل - شمال شرق میناخون	زون آلتنه به ابعاد ۲۰۰ در ۱۰۰ متر	نیکل هیدروترمال ؟	Ni: 3186 ppm (1)
نیکل - شمال غرب روستای رزق	زون لاتریتی به مساحت ۲۰ هکتار	لانتریت نیکل دار	Ni: 4805 to 7712 ppm (2)
نیکل - شمال غرب کلاته سلیمان	زون آلتنه ۳۰ در ۲ متر	نیکل هیدروترمال ؟	Ni: 3323 ppm (1)
نیکل - جنوب غرب خنگ بالا	زون آلتنه به مساحت ۵۰ در ۵۰ متر	نیکل هیدروترمال ؟	Ni: 3005 ppm (1)
طلا - شرق کلاته نورا... (جنوب رزق)	رگه لیستونیتی به طول ۳۰ متر و عرض ۲ متر توهد گدازه آندزیتی	اپی ترمال ؟	Au: 55 ppb (1)
طلا - شمال غرب روستای چهکندوک	ليمونیتی-گوچتیتی به ابعاد ۱۰۰ در ۲۰۰ متر	اپی ترمال ؟	Au: 39 ppb (1)
منیزیت - شرق میناخون	زون کانه زایی به مساحت ۱۲ هکتار	هیدروترمال و رگهای	MgO: 15-20 % (2)
منیزیت - شمال غرب کلاته سلیمان	رگه به طول بیش از ۱ کیلومتر و عرض ۱۰۰ متر	هیدروترمال و رگهای	MgO: >20 % (1)
هماتیت شرق مزار کاهی	لایه گدازه هماتیتی شده به مساحت بیش از ۲۵۰ هکتار	هیدروترمال ؟	MgO: >13-20 % (3)
آزبست جنوب غرب کوچ	رگه به طول ۵۰ و عرض ۲ متر	هیدروترمال ؟	XRD
دولومیت شمال شرق روپیات	توده دولومیتی به مساحت ۲۰۰ هکتار	رسوبی	XRD
خاک صنعتی جنوب غرب خنگ	توده آلتنه اسمکتیتی به مساحت ۲ هکتار	هیدروترمال ؟	XRD
خاک صنعتی غرب بهدان	توده آلتنه اسمکتیتی به مساحت ۷ هکتار	هیدروترمال ؟	XRD

جدول ۵-۱۶- ژئومتری زون‌های دگرسانی

زون دگرسانی	مساحت (کیلومترمربع)	نوع دگرسانی	شدت دگرسانی
خاک صنعتی جنوب غرب خنگ	توده آلتره اسماکتی به مساحت ۲ هکتار	آرژیلیک	متوسط تا شدید
خاک صنعتی غرب بهدان	توده آلتره اسماکتی به مساحت ۷ هکتار	آرژیلیک	متوسط تا شدید

سازمان زمین تناسی و اکتشافات معنی کنسر

فصل ششم: معدنی کشور

سازمان پژوهشی و انتسابات

پسری و پیشاده

فصل ششم: نتیجه گیری و پیشنهادات

۱-۶- نتیجه گیری:

نتیجه آنالیز شیمیایی نمونه‌های مینرالیزه نشان داد در قسمت‌هایی از برگه رگه‌های عیار بالای مس از قبیل غرب روستای محمود آباد (X: 722727, Y: 3623944 (۵۸۰۰ ppm)، شمال روستای نوروتک (X: 3624082 (۲۹۲۹ ppm)، شمال شرق محمود آباد (X: 732312, Y: 3619975 (۳۶۰۰۰ ppm)، شرق کلاته سیدا - جنوب شرق محمود آباد (X: 724422, Y: 3622048 (۱۲۲۲ ppm)، جنوب شرق روستای رزق (X: 733978, Y: 3607113 (۸۱۰ ppm) و ... وجود دارد. بر اساس نتایج چک آنومالی اکتشافات سیستماتیک ژئوشیمیایی با مقیاس ۱:۵۰۰۰۰ برگه کاهی (جرجندي، م.، ۱۴۰۱)، نقاطی پر عیار Au تا ۲ ppm (۲۰۰۰ ppb) وجود دارد. در جنوب شرق روستای رزق و در آنومالی‌های مس (X: 733978, Y: 3607113) نیز عیار طلا بالا و از ۳۷ تا ۵۵ ppb در تغییر است و نشان دهنده همبستگی طلا و مس می‌باشد. بالاترین عیارهای نیکل در شمال غرب روستاهای رزق (از ۴۸۰۰ ppm تا ۸۰۰۰ ppm) (X: 732215, Y: 3607667) در یک زون لاتریتی نیکل دار در جنوب شرقی برگه ۱:۵۰۰۰۰ کاهی قرار دارد. در دیگر نقاط برگه نیز مانند شمال غرب کلاته سلیمان (X: 728429, Y: 3604589 (۳۳۰۰ ppm) تا ۱۶۰۰ ppm) در شرق برگه، شمال شرق روستای میناخون (X: 718457, Y: 3615762 (۳۲۰۰ ppm) در غرب برگه، جنوب غرب خونگ بالا (X: 717703, Y: 3622693 (۳۰۰۰ ppm) تا ۱۰۰۰ ppm) عیارهای پایین‌تری از نیکل مشاهده می‌شود. با توجه به نمونه‌های مینرالیزه برداشت شده در این برگه، عیار متوسط عنصر نیکل در کل توده‌های افیولیتی ۸۴۰ ppm است. همبستگی تقریباً معناداری بین ناهنجاری نیکل و کروم در این نمونه‌ها مشاهده می‌شود و هر چه مقدار نیکل بالاتر رود مقدار کروم نیز بالا می‌رود که خود کلیدی اکتشافی است. میانگین عنصر کروم در توده‌های افیولیتی منطقه مورد مطالعه در حدود ۸۵۰ ppm است. اگرچه عیار آهن در برخی نمونه‌های منطقه مورد مطالعه و در قسمت‌هایی که زون لاتریتی وجود دارد به ۲۰ درصد نیز می‌رسد (جنوب روستای رزق X: 733978, Y: 3607113) ولی میانگین عیار آهن در کل نمونه‌های مینرالیزه حدود ۰/۱ درصد است. میانگین عنصر منگنز در منطقه اکتشافی حدود ۷۷۰ ppm می‌باشد، هر چند که در بیشتر قسمت‌های کمربند افیولیتی میانگین به ۱۰۰۰ ppm نیز می‌رسد. مقدار میانگین عنصر روی در نمونه‌های مینرالیزه کل برگه در حدود ۵۲ ppm است ولی در بخش‌هایی از منطقه، مانند جنوب غرب روستای رزق - شمال کلاته سلیمان (X: 730754, Y: 3605748)، عیار عنصر روی به ۱۰۰۰ ppm می‌رسد. میانگین عیاری عنصری که بلات در نمونه‌های مینرالیزه منطقه مورد مطالعه حدود ۵۶ ppm است، اما در آنومالی نیکل روستای رزق جنوب غرب روستای رزق (X: 732215, Y: 3607667) میانگین عنصر کبات (۳۷۵ ppm تا ۵۴۲ ppm) می‌باشد. مقدار میانگین برخی عناصر از قبیل نیکل، طلا، نقره، کبات، آهن، کروم، منگنز، فسفر، سرب، تیتانیم،

و ارادیم، اورانیم و روی مربوط به آنالیزهای عنصری مرحله سوم، بالاتر از آنالیزهای مراحل اول و دوم می‌باشد و به دلیل نمونه‌برداری مرحله سوم از تارگت شماره ۱ و جنوب منطقه بوده است که پتانسیل بالاتری در برگه ۱ کاهی (بیرجند ۲) داشته‌اند و این خود به لزوم کارهای اکتشافی بیشتر در جنوب منطقه اکتشافی تأکید می‌نماید.

با توجه به نقشه‌های عیار-عنصری در نمونه‌های مینرالیزه و با استفاده از حدود ژینزبرگ در این برگه می‌توان چهار تارگت معدنی معرفی نمود. از نظر اولویت‌های اکتشافی مس در برگه ۱:۵۰۰۰۰ کاهی می‌توان دو اولویت اول اکتشافی (A1 و A2) و همچنین سه اولویت دوم اکتشافی (B1، B2، B3) را در تارگت‌های معدنی (۱) و (۲) معرفی نمود. همچنین با توجه به نقشه اولویت‌های اکتشافی نیکل می‌توان چهار اولویت اول اکتشافی (A1، A2، A3، A4) را در تارگت‌های معدنی (۱)، (۳) و (۴) معرفی نمود. با توجه به نقشه اولویت‌های اکتشافی در برگه ۱:۵۰۰۰۰ کاهی می‌توان یک اولویت اول اکتشافی طلا (A1) و دو اولویت دوم اکتشافی طلا در تارگت معدنی (۱) و (۲) معرفی نمود. همچنین برای آهن هماتیتی می‌توان دو اولویت اول اکتشافی (A1)، برای کبالت یک محدوده با اولویت دوم اکتشافی (B1) و برای روی یک اولویت دوم اکتشافی (B1) معرفی نمود.

بر اساس نتایج مطالعات انجام شده اکتشافات سیستماتیک مواد معدنی در مقیاس ۱:۵۰.۰۰۰ در برگه کاهی (بیر جند II-۷۸۵۵) ۴ تارگت اکتشافی و همچنین پتانسیل‌های فلزی و غیرفلزی متعددی متعدد در این برگه شناسایی شد که به ترتیب اولویت اکتشافی شرح داده می‌شود:

۶-۱-۱- اولویت‌های اکتشافی فلزی:

۶-۱-۱-۱-مس:

با توجه به نقشه اولویت‌های اکتشافی مس (شکل ۶-۱) در برگه ۱:۵۰۰۰۰ کاهی می‌توان ۲ اولویت اول اکتشافی (A1 و A2) و همچنین ۳ اولویت دوم اکتشافی (B1, B2, B3) را در تارگت‌های معدنی (۱) و (۲) به شرح زیر معرفی نمود:

• اولویت اول اکتشافی مس A1

شامل کانه‌زایی مس در سنگ میزبان هارزبورژی و سرپانتینیتی شده است که حاوی کانی‌های مالاکیت و آزوریت می‌باشد. کانه‌های مس دار به صورت دانه پراکنده در متن سنگ دیده می‌گردد. در مجاورت کانه‌زایی نیز یک توده ساب ولکانیک هم مشاهده می‌شود. کانه زایی به صورت یک پچ در ابعاد ۲۰ در ۳۰ متر رخمنون دارد و به نظر می‌رسد به سمت عمق ادامه داشته باشد. از نظر ژنز همانند کانه‌زایی مس تیپ قبرسی است. سنگ میزبان این کانه‌زایی را سنگ‌های اولترامافیکی تشکیل می‌دهد. در نمونه اخذ شده از این نقطه عیار عناصر عبارتند از: مس (3.6 %)، کبالت (1124 ppm)، گوگرد (1623 ppm)، کروم (2134 ppm)، نیکل (1588 ppm)، روی (485 ppm) و آهن (7.2%). این کانه

زایی در جنوب کوه قلا و شمال روستای نوک در شرق نقشه ۱:۵۰۰۰۰ کاهی قرار دارد. این اولویت اول اکتشافی در تارگت (۲) قرار دارد.

اولویت اول اکتشافی مس A2:

شامل کانه‌زایی مس در سنگ میزبان هارزبورژیتی و سرپانتینیتی شده است که حاوی کانی‌های مالاکیت و آزوریت می‌باشد. این کانی سازی به صورت یک پچ ۲ متری دیده شد و در قسمت‌های دیگر اطراف آن کانی سازی مشاهده نگردید. در اثر ایجاد فرسایش در این نقطه کانی سازی در سطح زمین رخنمون پیدا کرده است. در نمونه اخذ شده از این نقطه عیار عناصر عبارتند از: مس (5800 ppm)، کبالت (76 ppm) و نیکل (1081 ppm). این کانه‌زایی در جنوب غرب روستای عباس آباد و شمال غرب روستای برج قرار دارد. این اولویت اول اکتشافی در تارگت (۲) قرار دارد.

اولویت دوم اکتشافی مس B1:

کانه‌زایی مس به صورت دانه پراکنده در سنگ شیستی سیلیسی شده و در یک زون آلتره اکسیدی-لیمونیتی به ابعاد ۵۰ در ۲ متر که در امتداد شمال غربی قرار دارد رخ داده است. در نمونه اخذ شده از این نقطه عیار عناصر عبارتند از: مس (1599 ppm)، تیتانیم (3241 ppm) و روی (45 ppm). این آنومالی در جنوب شرق روستای رزق در شرق برگه ۱:۵۰۰۰۰ کاهی قرار دارد. این اولویت دوم اکتشافی در تارگت (۱) قرار دارد.

اولویت دوم اکتشافی مس B2:

یک رگه لیستونیتی در امتداد شرقی - غربی به ضخامت ۳ متر و طول ۱۰۰ متر با سنگ میزبان شیستی رخنمون دارد که در نمونه اخذ شده از آن، عنصر مس (1222 ppm) و گوگرد (548 ppm) ناهنجاری نشان می‌دهد. این آنومالی در شمال غرب روستای برمج قرار دارد. این اولویت دوم اکتشافی در تارگت (۲) قرار دارد.

اولویت دوم اکتشافی مس B3:

کانه‌زایی مس به صورت ضعیف شامل مالاکیت از یک پچ آلتره سبز رنگ مس دار و اکسید آهنی (لیمونیتی) در زیر آگلومرا و روی هارزبورژیت رخنمون دارد که طی فرسایش در سطح زمین دیده می‌شود. در این نمونه عناصر مس (2929 ppm)، آهن (90720 ppm) و گوگرد (4612 ppm) ناهنجاری نشان می‌دهند. این آنومالی در جنوب شرق روستای ملک آباد و شمال شرق روستای کافکی قرار دارد. این اولویت دوم اکتشافی در تارگت (۲) قرار دارد.

۶-۱-۲- نیکل:

با توجه به نقشه اولویت‌های اکتشافی نیکل (شکل ۲-۶) در برگه ۱:۵۰۰۰ کاهی می‌توان ۴ اولویت اول اکتشافی (A1, A2, A3, A4) را در تارگت‌های معدنی (۱)، (۳) و (۴) به شرح زیر معرفی نمود. اولویت‌های دوم اکتشافی به دلیل اینکه این عنصر پراکندگی زیادی در مجموعه افیولیتی پیدا کرده است حائز اهمیت نمی‌باشد (شکل ۲-۶).

- **اولویت اول اکتشافی نیکل A1:**

یک زون لاتریتی اکسیدی-لیمونیتی-سیلیسی به ابعاد ۵۰۰ در ۳۰۰ متر در مجاور روستای رزق و در قسمت شمال غربی آن قرار دارد که اکسیدی و به رنگ قرمز و زرد از دور شاخص است (شکل ۶-۴). یک نمونه اخذ شده عیار عناصر شامل نیکل (7712 ppm)، طلا (7 ppb)، کبالت (542 ppm)، باریم (1166 ppm)، کروم (1505 ppm)، منگنز (5474 ppm)، روی (176 ppm) و توریم (75 ppm) نمونه دیگر عیار عناصر شامل نیکل (4805 ppm)، کبالت (375 ppm)، کروم (1123 ppm)، منگنز (3482 ppm)، روی (215 ppm) و توریم (103 ppm) ناهنجاری نشان می‌دهد. این کانهزاپی در تارگت اکتشافی (۱) قرار گرفته است.

- **اولویت اول اکتشافی نیکل A2:**

یک رگه لیستویتی-کربناتی همراه با ژاسپیروئید زرد رنگ با سنگ میزبان هارزبورژیتی در امتداد شمال غرب-جنوب شرق و طول ۳۰ متر با ضخامت ۱ متر رخنمون دارد که در این نمونه عناصر طلا (7 ppb)، مس (112 ppm)، نیکل (3323 ppm) و منگنز (1465 ppm) ناهنجاری نشان می‌دهد. این آنومالی در ۵ کیلومتری شرق روستای چهکندوک و در ۴ کیلومتری شرق یک معدن بزرگ منیزیت متروکه قرار دارد. این آنومالی در تارگت اکتشافی (۱) قرار می‌گیرد.

- **اولویت اول اکتشافی نیکل A3:**

در مجموعه شبکه ترانشه‌ای موازی هم و حفر شده در مرز سنگ شیستی و گابرویی و در خاک‌های دپو شده حاصل از حفریات، اثرات آلتراسیون سبز رنگ به چشم می‌خورد که احتمالاً کانی گارنبریت و فوکسیت باشند. در این نمونه عناصر نیکل (3186 ppm) و کروم (4415 ppm) ناهنجاری نشان می‌دهند. این آنومالی در شمال شرق روستای میناخون و در تارگت اکتشافی (۳) قرار دارد.

- **اولویت اول اکتشافی نیکل A4:**

از یک زون آلتره کربناتی-لیمونیتی به ابعاد ۵۰ در ۵۰ متر دو نمونه کنار هم و در نزدیکی هم در سنگ میزبان هارزبورژیتی قرار گرفته‌اند برداشت گردید که در آن در نمونه اول عناصر نیکل (3005 ppm)، گوگرد (543 ppm) و کروم (1687 ppm) و در نمونه دوم عناصر نیکل (972 ppm)، گوگرد (2949 ppm)

(ppm) و کروم (1117 ppm) ناهنجاری نشان می‌دهد. این آنومالی در ۵ کیلومتری غرب روستای حاجی رضا و در تارگت اکتشافی (۴) قرار می‌گیرد.

۶-۱-۳- طلا:

با توجه به نقشه اولویت‌های اکتشافی طلا (شکل ۳-۶) در برگه ۱:۵۰۰۰ کاهی می‌توان ۱ اولویت اول اکتشافی طلا (A1) و دو اولویت دوم اکتشافی طلا را در تارگت معدنی (۱) و (۲) به شرح زیر معرفی نمود:

- **اولویت اول اکتشافی طلا A1:**

یک رگه لیستونیتی کربناتی به ابعاد ۳۰ در ۲ متر که در امتداد شمال-جنوب و در سنگ میزبان هارزبورژیت قرار دارد. در نمونه اخذ شده از این رگه عیار طلا (55 ppb) بوده است. این آنومالی در ۲ کیلومتری جنوب رستای رزق و در تارگت اکتشافی (۱) قرار دارد.

- **اولویت دوم اکتشافی طلا B1:**

در یک گدازه آندزیتی لیمونیتی-گوتیتی و از نمونه اخذ شده عناصر طلا (39 ppb)، منگنز (1336 ppm)، فسفر (1296 ppm)، تیتانیم (10000 ppm) و روی (904 pm) ناهنجاری نشان می‌دهد. این آنومالی درجه ۲ در شمال روستای چهکدوک و جنوب غرب روستای رزق قرار دارد. همچنین این آنومالی در تارگت اکتشافی (۱) قرار دارد. در نمونه دیگر این اولویت اکتشافی، از یک پچ ژاسپیروئیدی زرد رنگ سیلیسی به طول ۵۰ متر و عرض ۳۰ متر با سنگ میزبان اولترامافیکی برداشت گردید که عیار طلا حدود ۱۴ ppb است.

- **اولویت دوم اکتشافی طلا B2:**

در یک رگه لیستونیتی سیلیسی-کربناته در امتداد ۱۳۲ درجه آزیموت به طول ۵۰ متر و ضخامت ۵۰ متر از سنگ میزبان هارزبورژیتی سرپانتینی شده عیار طلا در حدود ۱۱ ppb می‌باشد. این آنومالی درجه ۲ در تارگت اکتشافی (۲) قرار دارد

۶-۱-۴- آهن هماتیتی:

با توجه به نقشه اولویت‌های اکتشافی آهن هماتیتی در برگه ۱:۵۰۰۰ کاهی می‌توان ۲ اولویت اول اکتشافی آهن (A1) به شرح زیر معرفی نمود (شکل ۶-۴).

- **اولویت اول اکتشافی هماتیت A1:**

در تارگت اکتشافی (۱) و در جنوب روستای رزق، لاتریت‌هایی نیکل دار به چشم می‌خورد که مقدار آهن هماتیتی آن بالا و در حدود از یک زون آلترا اکسیدی-لیمونیتی به ابعاد ۵۰ در ۲ متر که در امتداد شمال غربی قرار دارد به رنگ قرمز و در سنگ میزبان اولترامافیکی رخنمون دارد که محتوای میانگین آهن هماتیتی در آن در حدود ۱۶ درصد است.

• اولویت اول اکتشافی هماتیت A2

یک آنومالی منفرد از اکسید آهن و در یک زون هماتیتی و لاتریتی عیار هماتیت به ۱۲ درصد می‌رسد. نمونه برداشت شده از یک رگ زرد رنگ سیلیسی-کربناته لیمونیتی با سنگ میزبان هارزبورژیتی بوده است.

٦-١-٥- کبالت:

با توجه به نقشه اولویت‌های اکتشافی کبالت در برگه ۵:۵۰۰۰۰ کاهی می‌توان ۱ اولویت دوم اکتشافی کبالت (B1) به شرح زیر معرفی نمود (شکل ۶-۵). اولویت اول اکتشافی وجود ندارد.

• اولویت دوم اکتشافی کبالت B1:

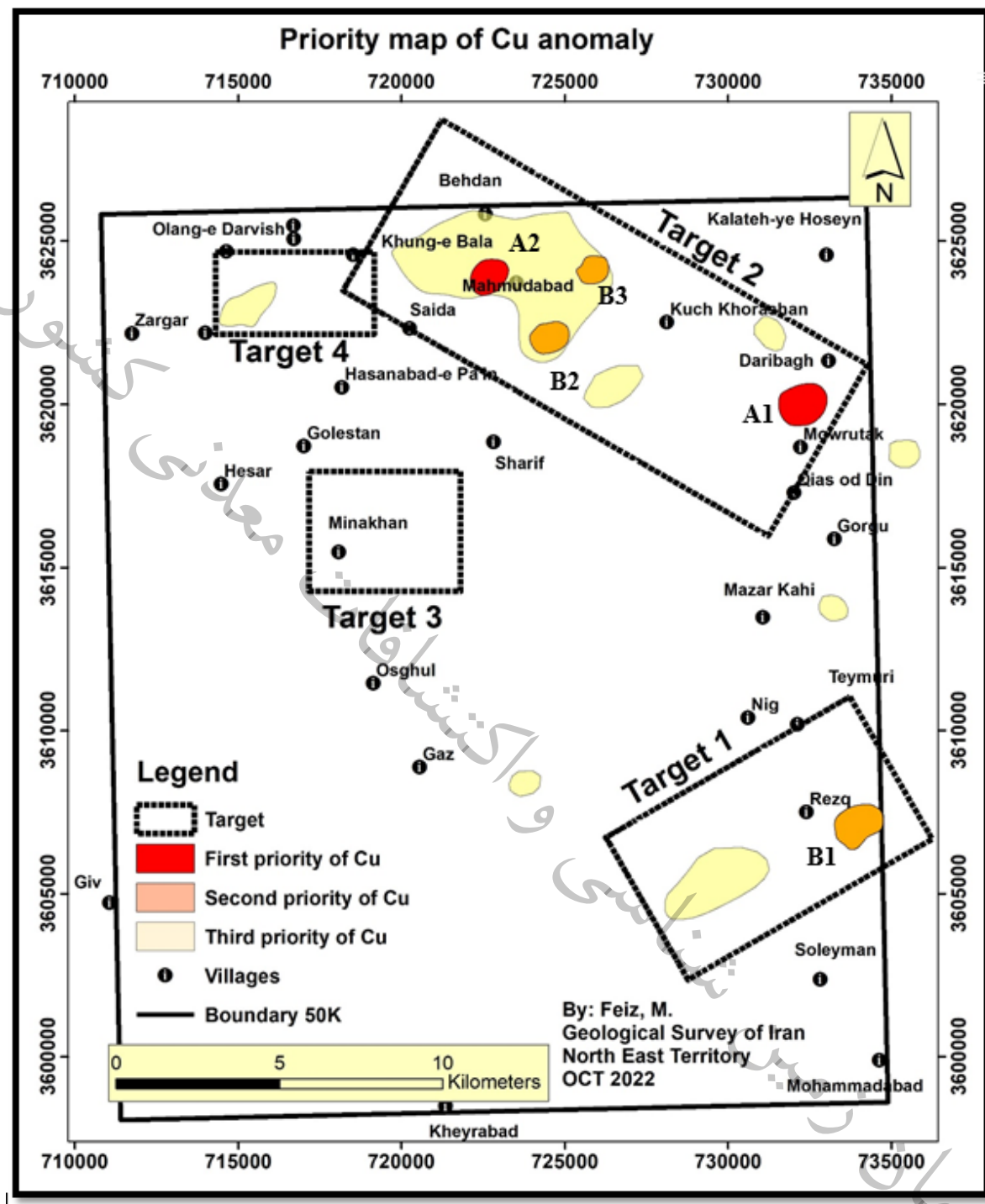
در تارگت اکتشافی (۱) و در جنوب روستای رزق، لاتریت‌هایی نیکل دار به چشم می‌خورد که به نظر می‌رسد برای کبالت کمی ناهنجاری داشته باشد که در تقسیم بندی درجه ۲ اولویت اکتشافی قرار می‌گیرد. یک نمونه از یک پچ آلتره اکسیدی-لیمونیتی-سیلیسی-لیستونیتی به ابعاد ۵۰۰ در ۳۰۰ متر در مجاور روستای رزق و در قسمت شمال غربی آن قرار دارد برداشت گردید و عیار کبالت 542 ppm می‌باشد.

٦-١-٦- روی:

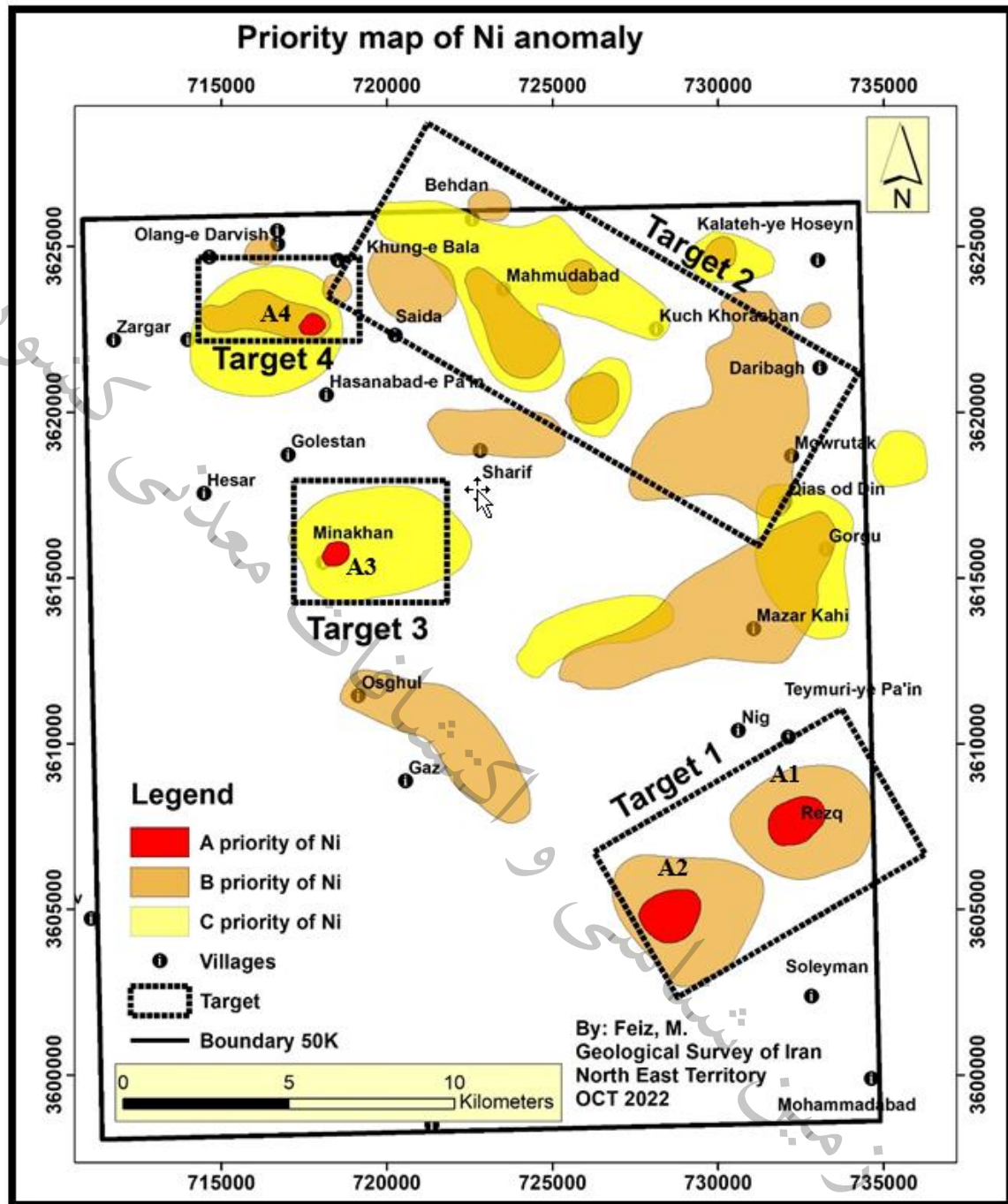
با توجه به نقشه اولویت‌های اکتشافی روی در برگه ۵:۵۰۰۰۰ کاهی می‌توان ۱ اولویت دوم اکتشافی روی (B1) به شرح زیر معرفی نمود (شکل ۶-۶). اولویت اول اکتشافی وجود ندارد. اولویت‌های C بی اهمیت هستند.

• اولویت دوم اکتشافی روی B1:

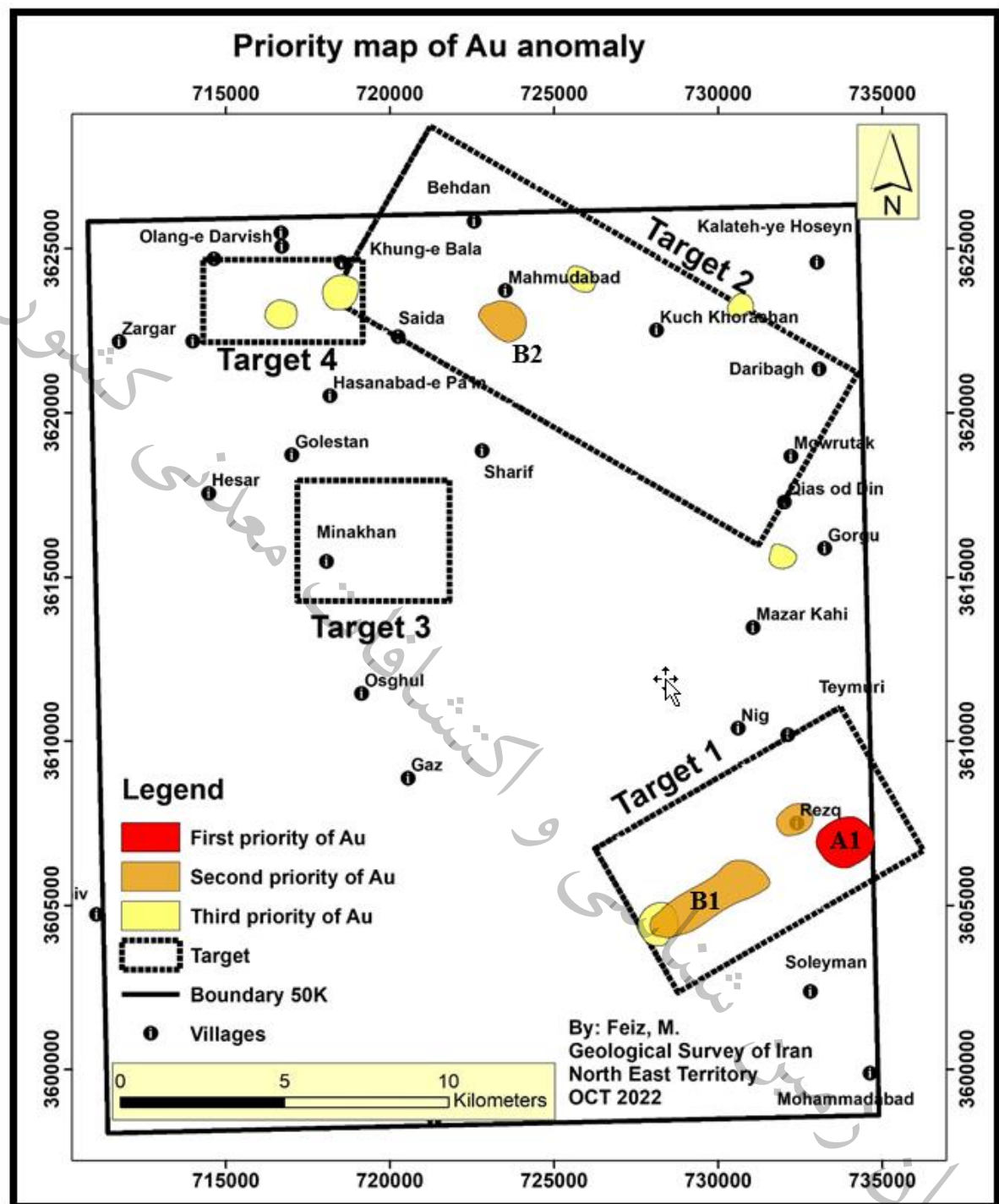
در یک گدازه آندزیتی لیمونیتی-گوتیتی یک نمونه برداشت شد که عناصر طلا (39 ppb)، مس (127 ppm)، منگنز (1336 ppm)، فسفر (1296 ppm)، تیتانیم (10000 ppm) و روی (904 pm) ناهنجاری نشان می‌دهد. این آنومالی در تارگت اکتشافی (۱) و در شمال روستای چهکندوک قرار گرفته است.



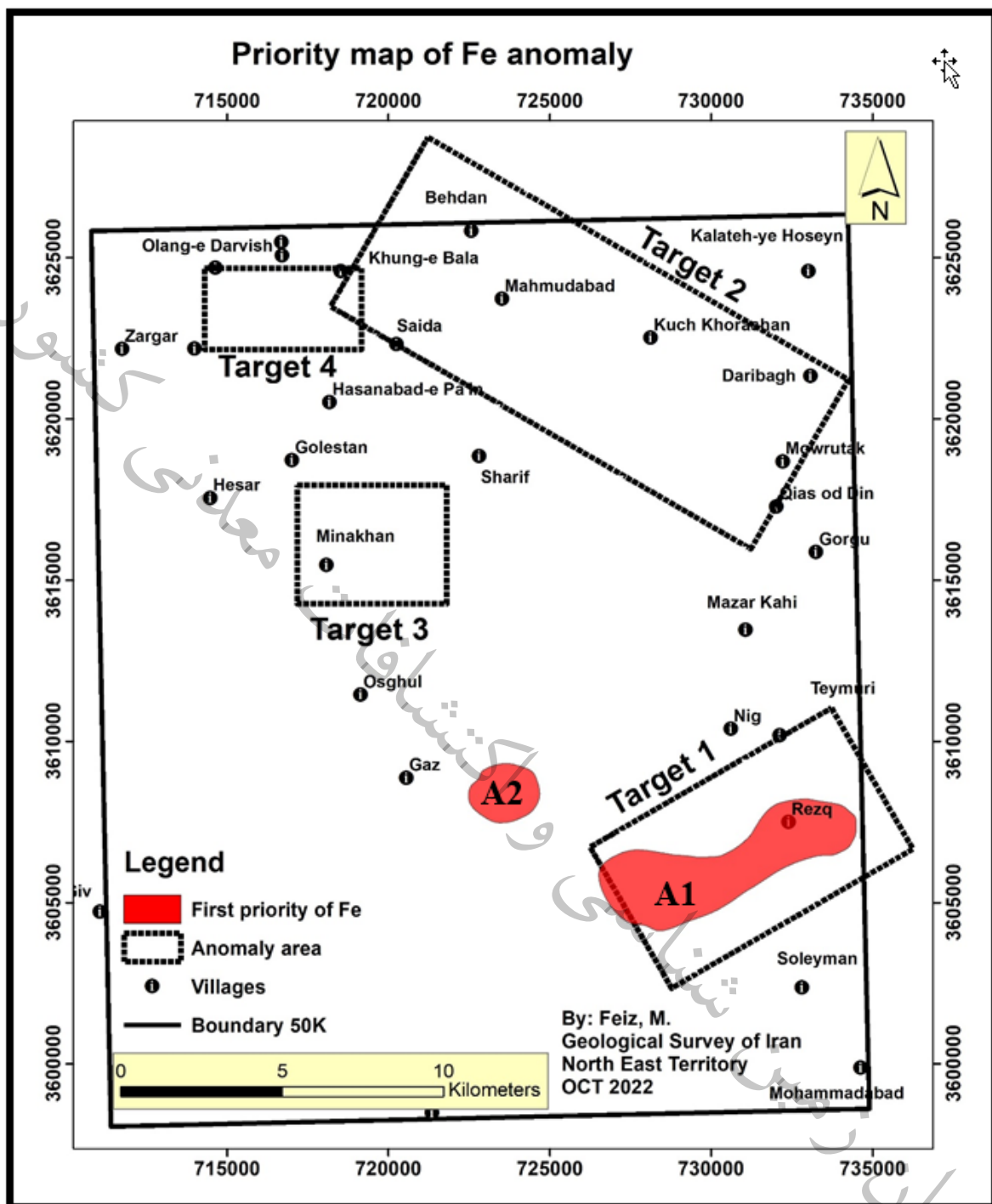
شکل ۶-۱- نقشه اولویت‌های اکتشافی برای عنصر مس در برگه ۱:۵۰۰۰۰ کاهی (بیر جند ۲).



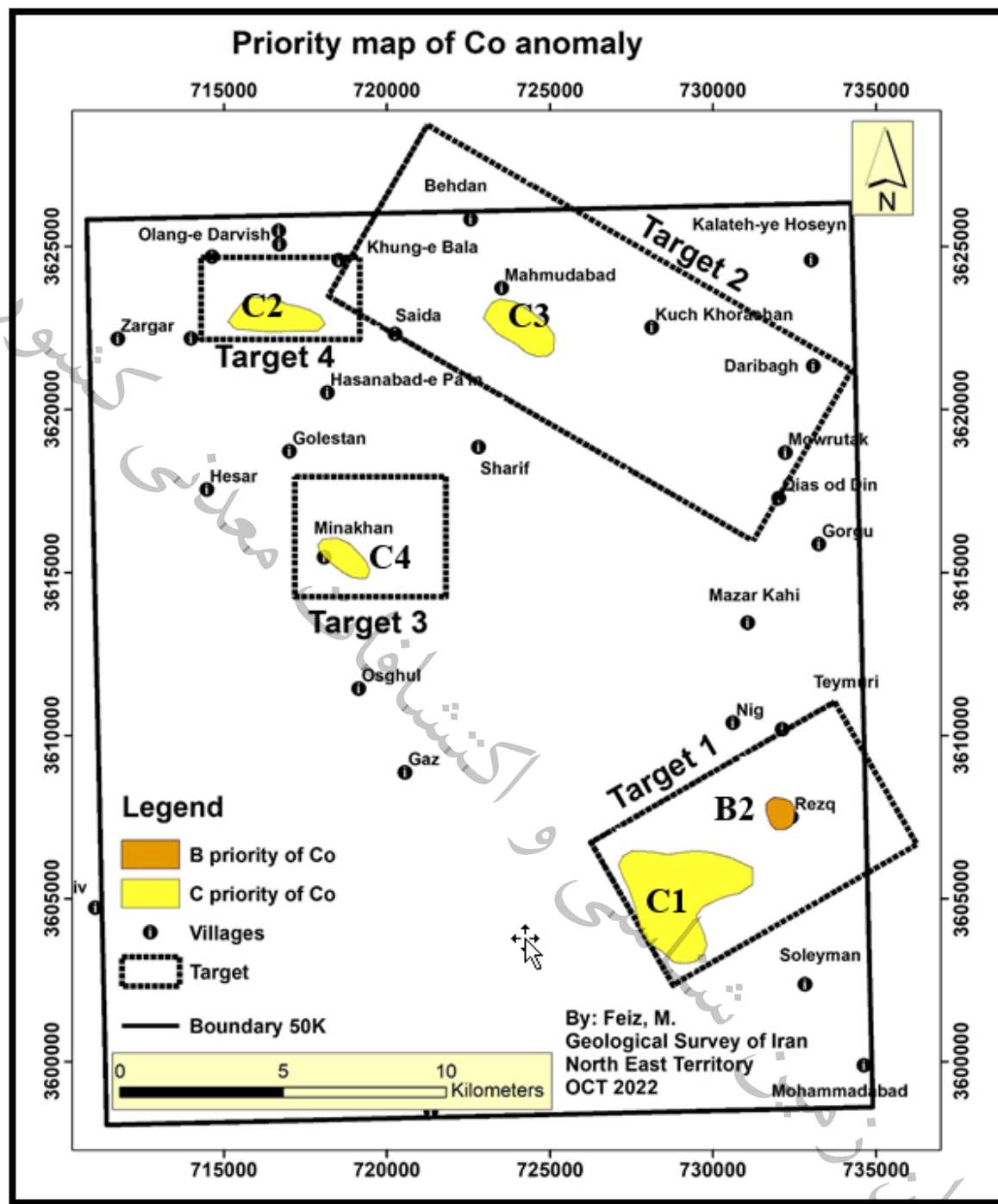
شکل ۶-۲- نقشه اولویت‌های اکتشافی برای عنصر نیکل در برگه ۱:۵۰۰۰۰ کاهی (بیرجند ۲).



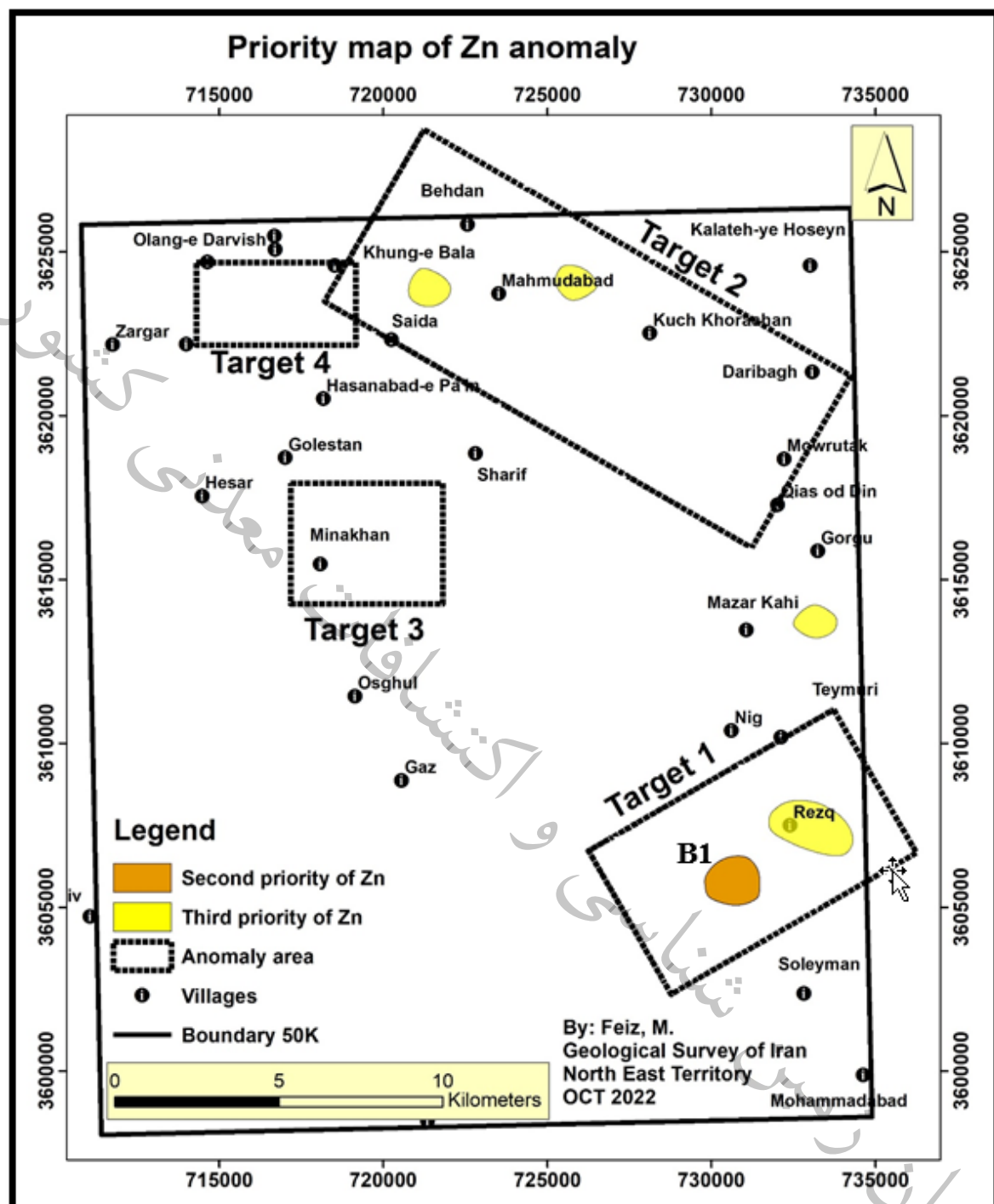
شکل ۶-۳- نقشه اولویت‌های اکتشافی برای عنصر طلا در برگه ۱:۵۰۰۰۰ کاهی (بیرجند ۲).



شکل ۶-۴ - نقشه اولویت‌های اکتشافی برای آهن هماتیتی در برگه ۱:۵۰۰۰۰ کاهی (بیرجند ۲).



شکل ۶-۵- نقشه اولویت‌های اکتشافی برای عنصر کبالت در برگه ۱:۵۰۰۰۰ کاهی (بیرجند ۲).



شکل ۶-۶- نقشه اولویت‌های اکتشافی برای عنصر روی در برگه ۱:۵۰۰۰۰ کاهی (بیرجند ۲).

۶-۲-۶- پیشنهادها:

اجرای عملیات اکتشافی در مقیاس ۱:۲۵۰۰۰ برای تارگت‌های فوق‌الذکر و مخصوصاً تارگت شماره (۱) به دلیل وجود منابع بزرگ نیکل پیشنهاد می‌شود که خود می‌تواند شامل اکتشافات ژئوشیمیایی، پی‌جوبی و تهیه نقشه زمین‌شناسی - معدنی در مقیاس ۱:۲۵۰۰۰ می‌باشد، انجام عملیات ژئوفیزیک زمینی به روش‌های ژئوالکتریک (IP) و مقاومت سنجی) و همچنین حفر ترانشه، چاهک و گمانه اکتشافی بر روی مناطق دارای کانی‌سازی پیشنهاد می‌شود. در سایر محدوده‌های دارای پتانسیل مس، لازم است مطالعات دورسنجی، پی‌جوبی و تهیه نقشه زمین‌شناسی - معدنی و مطالعات ژئوشیمیایی (رسوب آبراهه‌ای و کانی‌سنگین) نیز انجام گیرد.

به منظور ادامه اکتشافات در این برگه، اجرای عملیات اکتشافی در مقیاس ۱:۲۵۰۰۰ برای تارگت‌های فوق‌الذکر پیشنهاد می‌شود که شامل اکتشافات ژئوشیمیایی، پی‌جوبی و تهیه نقشه زمین‌شناسی - معدنی در مقیاس ۱:۲۵۰۰۰ می‌باشد. انجام عملیات ژئوفیزیک زمینی به روش‌های ژئوالکتریک (IP) و مقاومت سنجی) و همچنین حفر ترانشه، چاهک و گمانه اکتشافی بر روی مناطق دارای کانی‌سازی پیشنهاد می‌شود. در سایر محدوده‌های دارای پتانسیل مس و نیکل، لازم است مطالعات دورسنجی، پی‌جوبی و تهیه نقشه زمین‌شناسی - معدنی و مطالعات ژئوشیمیایی (رسوب آبراهه‌ای و کانی‌سنگین) انجام شود. اکتشافات تکمیلی برای محدوده‌های کانی‌زایی در این برگه به شرح ذیل پیشنهاد می‌شود:

۶-۲-۱- مناطق دارای آنومالی فلزی

جهت بهتر مشخص شدن کانی‌سازی در مقطعه در مرحله نیمه تفضیلی عملیات زیر پیشنهاد می‌گردد:

تهیه نقشه زمین‌شناسی و توپوگرافی ۱:۵۰۰۰

تهیه نقشه آلتراسیون و کانی‌سازی بر مبنای نقشه زمین‌شناسی تهیه شده

انجام عملیات ژئوفیزیکی IP-RS

انجام عملیات حفاری ترانشه به مقدار مورد نیاز برروی کانی‌سازی‌ها و نقاط دارای آلتراسیون

تهیه و ترسیم نقشه ترانشه‌ها با مقیاس ۱:۱۰۰

نمونه‌برداری از ترانشه‌ها و آنالیز ICP-MASS , FIRASSAY

جمع بندی و تهیه گزارش توجیهی برای ادامه عملیات اکتشاف تفضیلی

۶-۲-۲- مناطق دارای آنومالی خاک صنعتی

تهیه نقشه زمین‌شناسی و توپوگرافی ۱:۱۰۰۰

انجام عملیات حفاری ترانشه و چاهک

نمونه‌برداری از ترانشه‌ها و آنالیز XRF , XRD

تست صنعتی

محاسبه ذخیره

تهیه گزارش نهایی برای اخذ گواهی کشف

۶-۲-۳- سنگ لشه و مالون

تهیه نقشه زمین‌شناسی و توپوگرافی ۱:۱۰۰۰

باز کردن سینه کار

انجام آنالیزهای مربوطه

محاسبه ذخیره

تهیه گزارش نهایی برای اخذ گواهی کشف

۶-۲-۴- سنگ قیمتی و نیمه قیمتی

تهیه نقشه زمین‌شناسی و توپوگرافی ۱:۱۰۰۰

احادث ترانشه

انجام تست تراش

محاسبه ذخیره

تهیه گزارش نهایی برای اخذ گواهی کشف

منابع و مأخذ:

سازمان (زمین شناسی و اکتشافات) معدنی کشور

منابع و مأخذ:

- براتی و همکاران (۱۴۰۰)، گزارش شرح ناهنجاری‌های تارگت‌های اکتشافی پهنه بیرجند - شهرخ، انتشارات سازمان زمین‌شناسی و اکتشافات معدنی کشور.
- خوش زارع، ط.، ۱۴۰۱، گزارش نقشه زمین‌شناسی برگه ۱:۵۰۰۰۰ کاهی، سازمان زمین‌شناسی و اکتشافات معدنی کشور
- زرین کوب و همکاران (۱۳۸۴)، کانی‌شناسی، زمین‌شیمی، موقعیت ساختمانی و ارائه مدل ژنتیکی برای لیستونیت‌های خاور ایران. مجله بلورشناسی و کانی‌شناسی ایران.
- شرکت فرانسوی BRGM (۱۹۷۸)، اکتشافات ژئوشیمیایی آبراهه‌ای و نمونه‌برداری به روش BLEG انتشارات سازمان زمین‌شناسی و اکتشافات معدنی کشور.
- شرکت ایتوک ایران (۱۳۸۶)، پروژه بررسی معادن متروکه اولویت‌دار در سطح استان خراسان جنوبی به کافرمایی سازمان زمین‌شناسی و اکتشافات معدنی کشور.
- صفری و همکاران (۱۳۹۶)، متالوژنی و تیپ‌های کانساری استان خراسان جنوبی (معرفی ذخایر، کانسارها و پتانسیل‌های معدنی استان خراسان جنوبی)، انتشارات اداره کل زمین‌شناسی و اکتشافات معدنی شمال شرق کشور.
- وحدتی دانشمند و خلقی (۱۳۸۰)، نقشه زمین‌شناسی ۱:۲۵۰.۰۰۰ بیرجند. انتشارات سازمان زمین‌شناسی و اکتشافات معدنی کشور.
- گزارش اکتشافات ۱:۱۰۰۰۰۰ ژئوشیمی بیرجند، سازمان زمین‌شناسی کشور
- مدیریت ژئومتکیس سازمان زمین‌شناسی کشور (۱۳۹۶)، مدلسازی اکتشافی پهنه خراسان جنوبی (بیرجند - شهرخ): مجموعه مطالعات ژئوفیزیک هوایی، زمین‌شناسی اقتصادی و تلفیق و مدلسازی، انتشارات از سازمان زمین‌شناسی و اکتشافات معدنی کشور.

سایر اطلاعات این پروژه به صورت الکترونیکی در CD همراه گزارش پیوست شده و شامل موارد زیر است:

- فایل متن گزارش (WORD - PDF)
- فایل GIS نقشه
- اکسل داده‌های آنالیزی (ICP, Fire Assay, XRD, XRF)
- گزارش مطالعات میکروسکوپی (پتروگرافی و مینرالوگرافی)
- تصاویر صحراوی

پیوست‌ها:

توصیف نمونه‌های برداشت شده در برگه ۱:۵۰.۰۰۰ کاهی (بیرجند ۲)

توصیف نمونه	نام نمونه
رگه لیستونیتی	BIRG2-S1
رگه لیستونیتی	BIRG2-S2
زون آلتزه	BIRG2-S5
رگه لیستونیتی	BIRG2-S6
رگه لیستونیتی	BIRG2-S7
رگه لیستونیتی	BIRG2-S8
رگه لیستونیتی	BIRG2-S9
زون آلتزه	BIRG2-S10
رگه لیستونیتی	BIRG2-S11
رگه لیستونیتی	BIRG2-S13
رگه لیستونیتی	BIRG2-S14
توده دولومیتی	BIRG2-S15
زون آلتزه	BIRG2-S16
رگه لیستونیتی	BIRG2-S17
توده آلتزه	BIRG2-S20
رگه لیستونیتی	BIRG2-S22
زون آلتزه آرژیلی	BIRG2-S23
زون آلتزه آرژیلی	BIRG2-S24
زون آلتزه	BIRG2-S25
خاک صنعتی	BIRG2-S26
زون آلتزه دارای سرپانتین	BIRG2-S27
توده دولومیتی	BIRG2-S28
توده لیستونیتی	BIRG2-S29
توده دولومیتی	BIRG2-S30
مارن آلتزه	BIRG2-S31
رگه لیستونیتی	BIRG2-S32
توده دولومیتی	BIRG2-S33
توده دولومیتی	BIRG2-S34
توده دولومیتی	BIRG2-S35
مارن آلتزه	BIRG2-S36
رگه لیستونیتی	BIRG2-S37
زون آلتزه	BIRG2-S38
زون لیستونیتی	BIRG2-S39
رگه مسن دار	BIRG2-S40
زون آلتزه	BIRG2-S41
زون آلتزه	BIRG2-S42
رگه لیستونیتی	BIRG2-S43
زون آلتزه	BIRG2-S44
زون آلتزه	BIRG2-S45
رگه لیستونیتی	BIRG2-S46
رگه لیستونیتی	BIRG2-S48
رگه لیستونیتی	BIRG2-S49
رگه لیستونیتی	BIRG2-S51

نام نمونه	توصیف نمونه
BIRG2-S53	زون آلتہ
BIRG2-S54	زون آلتہ
BIRG2-S55	زون آلتہ
BIRG2-S57	رگه لیستونیتی
BIRG2-S58	رگه لیستونیتی
BIRG2-S60	رگه لیستونیتی
BIRG2-S61	زون آلتہ
BIRG2-S62	رگه لیستونیتی
BIRG2-S63	رگه لیستونیتی
BIRG2-S65	رگه لیستونیتی
BIRG2-S66	زون آلتہ
BIRG2-S67	زون آلتہ
BIRG2-S68	رگه لیستونیتی
BIRG2-S70	رگه لیستونیتی
BIRG2-S71	رگه لیستونیتی
BIRG2-S72	زون آلتہ مس دار
BIRG2-S73	رگه لیستونیتی
BIRG2-S76	رگه لیستونیتی
BIRG2-S77	رگه لیستونیتی
BIRG2-S78	رگه مرمریت
BIRG2-S79	رگه لیستونیتی
BIRG2-S80	آزبست
BIRG2-S81	رگه لیستونیتی
BIRG2-S82	رگه لیستونیتی
BIRG2-S84	رگه لیستونیتی
BIRG2-S85	رگه لیستونیتی
BIRG2-S86	رگه لیستونیتی
BIRG2-S101	زون آلتہ
BIRG2-S102	زون آلتہ
BIRG2-S103	رگه لیستونیتی
BIRG2-S104	زون آلتہ
BIRG2-S105	زون آلتہ
BIRG2-S109	رگه لیستونیتی
BIRG2-S110	رگه لیستونیتی
BIRG2-S111	زون آلتہ
BIRG2-S112	زون آلتہ
BIRG2-S113	زون آلتہ
BIRG2-S114	زون آلتہ
BIRG2-S115	زون آلتہ
BIRG2-S116	رگه لیستونیتی
BIRG2-S118	میکروگابرو
BIRG2-S119	رگه لیستونیتی
BIRG2-S120	رگه لیستونیتی
BIRG2-S120	کانه زایی مس (مالاکیت، آزویریت)
BIRG2-S122	رگه رودنگیتی

نام نمونه	توصیف نمونه
BIRG2-S123	زون آلتہ
BIRG2-S125	رگه لیستونیتی
BIRG2-S127	زون آلتہ
BIRG2-S128	زون آلتہ
BIRG2-S129	رگه لیستونیتی
BIRG2-S130	رگه لیستونیتی
BIRG2-S132	رگه لیستونیتی
BIRG2-S133	رگه لیستونیتی
BIRG2-S134	رگه لیستونیتی
BIRG2-S135	زون آلتہ
BIRG2-S136	رگه لیستونیتی
BIRG2-S138	توده دولومیتی
BIRG2-S139	رگه لیستونیتی
BIRG2-S140	رگه لیستونیتی
BIRG2-S141	رگه لیستونیتی
BIRG2-S142	رگه لیستونیتی
BIRG2-S143	رگه لیستونیتی
BIRG2-S144	رگه لیستونیتی
BIRG2-S145	پچ لیستونیتی
BIRG2-S146	زون آلتہ
BIRG2-S147	کانه زایی منیزیت
BIRG2-S149	رگه لیستونیتی
BIRG2-S150	زون آلتہ
BIRG2-S151	پچ لیستونیتی
BIRG2-S152	رگه لیستونیتی
BIRG2-S153	رگه لیستونیتی
BIRG2-S154	رگه لیستونیتی
BIRG2-S155	رگه لیستونیتی
BIRG2-S155	رگه لیستونیتی
BIRG2-S300	زون آلتہ دارای هماتیت
BIRG2-S302	زون آلتہ دارای هماتیت
BIRG2-S304	لاتریت نیکل دار
BIRG2-S305	لاتریت نیکل دار
BIRG2-S306	زون آلتہ
BIRG2-S307	رگه لیستونیتی
BIRG2-S308	رگه لیستونیتی
BIRG2-S311	رگه سیلیسی-کربناته (لیستونیت)
BIRG2-S312	زون گدازه لیمونیتی-گوتیتی
BIRG2-S313	زون گدازه لیمونیتی-گوتیتی
BIRG2-S314	رگه لیستونیتی
BIRG2-S315	پچ ژاسپیر و ئیدی
BIRG2-S316	رگه لیستونیتی
BIRG2-S317	رگه لیستونیتی
BIRG2-S318	زون آلتہ

BIRJAND (2) SAMPLE LIST Mission 1: FEIZ,M. GSI MASHHAD									
Serial No.	Sample	X	Y	Fire Assay	ICP	XRF	XRD	Thin	Polish
1	BIRG-2-S1	721995	3625434	***	***				
2	BIRG-2-S2	721377	3623946	***	***				
3	BIRG-2-S3	721282	3623970	***	***				
4	BIRG-2-S4TP	721282	3623970	***	***	***	***	***	***
5	BIRG-2-S5	721092	3624029	***	***	***	***		
6	BIRG-2-S5TP	721092	3624029					***	***
7	BIRG-2-S6	720064	3624565	***	***				
8	BIRG-2-S7	720621	3623463	***	***				
9	BIRG-2-S8	720621	3623463	***	***				
10	BIRG-2-S9	720268	3623750	***	***				
11	BIRG-2-S10	717705	3622754	***	***				
12	BIRG-2-S11	718610	3623664	***	***				
13	BIRG-2-S12TP	718610	3623664	***	***	***	***	***	***
14	BIRG-2-S13	723284	3626329	***	***				
15	BIRG-2-S14	722988	3626342	***	***				
16	BIRG-2-S15TP	717664	3622671	***	***	***	***	***	***
17	BIRG-2-S16	717401	3622923	***	***				
18	BIRG-2-S17	716866	3623074	***	***				
19	BIRG-2-S18TP	716866	3623074		***	***	***	***	***
20	BIRG-2-S19TP	716866	3623074		***	***	***	***	***
21	BIRG-2-S20	716484	3623155	***	***				
22	BIRG-2-S21TP	716484	3623155		***	***	***	***	***
23	BIRG-2-S22	716677	3623152	***	***	***	***		
24	BIRG-2-S23	717357	3623648	***	***	***	***		
25	BIRG-2-S24	716173	3624876	***	***				
26	BIRG-2-S25	720520	3625887	***	***	***	***		
27	BIRG-2-S26	720297	3625858	***	***				

BIRJAND (2) SAMPLE LIST Mission 1: FEIZ,M. GSI MASHHAD									
Serial No.	Sample	X	Y	Fire Assay	ICP	XRF	XRD	Thin	Polish
28	BIRG-2-S27	714680	3622945	***	***				
29	BIRG-2-S28	714977	3622837	***	***	***	***		
30	BIRG-2-S29	715016	3622814	***	***				
31	BIRG-2-S30	715272	3622894	***	***				
32	BIRG-2-S31	715398	3623075	***	***				
33	BIRG-2-S32	715902	3623372	***	***				
34	BIRG-2-S33	714831	3622093	***	***				
35	BIRG-2-S34	715456	3622380	***	***				
36	BIRG-2-S35	716411	3621063	***	***	***	***		
37	BIRG-2-S36	718275	3620564	***	***				
38	BIRG-2-S37	721407	3623344	***	***				
39	BIRG-2-S38	721445	3623334	***	***				
40	BIRG-2-S39	723203	3624802	***	***				
41	BIRG-2-S40	722727	3623944	***	***				
42	BIRG-2-S41	724341	3625105	***	***				
43	BIRG-2-S42	723757	3622904	***	***				
44	BIRG-2-S43	723744	3622872	***	***				
45	BIRG-2-S44	723977	3622548	***	***				
46	BIRG-2-S45	722225	3625605	***	***				
47	BIRG-2-S46	723858	3622446	***	***				
48	BIRG-2-S47TP	723858	3622446	***	***	***	***	***	***
49	BIRG-2-S48	723858	3622446	***	***	***	***	***	***
50	BIRG-2-S49	723856	3621490	***	***				
51	BIRG-2-S50TP	723848	3621491	***	***	***	***	***	***
52	BIRG-2-S51	723728	3621542	***	***				
53	BIRG-2-S52TP	723728	3621543	***	***	***	***	***	***
54	BIRG-2-S53TP	723728	3621543	***	***	***	***	***	***

BIRJAND (2) SAMPLE LIST Mission 1: FEIZ,M. GSI MASHHAD									
Serial No.	Sample	X	Y	Fire Assay	ICP	XRF	XRD	Thin	Polish
55	BIRG-2-S54	723440	3623109	***	***				
56	BIRG-2-S55	723440	3623109	***	***				
57	BIRG-2-S56	723325	3622982	***	***				
58	BIRG-2-S57	723352	3622899	***	***				
59	BIRG-2-S58TP	723352	3622899	***	***	***	***	***	***
60	BIRG-2-S59	724894	3623383	***	***				
61	BIRG-2-S60	724682	3624576	***	***				
62	BIRG-2-S61	724872	3622092	***	***				
63	BIRG-2-S62	724661	3621926	***	***				
64	BIRG-2-S63	724872	3622092	***	***				
65	BIRG-2-S64	724872	3622092	***	***	***	***	***	***
66	BIRG-2-S65	724649	3621918	***	***				
67	BIRG-2-S66	724527	3621961	***	***				
68	BIRG-2-S67	724527	3621961	***	***				
69	BIRG-2-S68TP	724422	3622048	***	***			***	***
70	BIRG-2-S69TP	724335	3622128	***	***	***	***	***	***
71	BIRG-2-S70	724680	3622182	***	***				
72	BIRG-2-S71	724928	3625648	***	***				
73	BIRG-2-S72	725862	3624117	***	***				
74	BIRG-2-S73	726799	3623579	***	***				
75	BIRG-2-S74TP	726799	3623579	***	***	***	***	***	***
76	BIRG-2-S75TP	726795	3623589	***	***	***	***	***	***
77	BIRG-2-S76	727377	3623240	***	***				
78	BIRG-2-S77	727659	3622892	***	***				
79	BIRG-2-S78	727130	3621015	***	***				
80	BIRG-2-S79TP	726292	3620672	***	***	***	***	***	***
81	BIRG-2-S80	726234	3620676	***	***				

BIRJAND (2) SAMPLE LIST Mission 2: FEIZ,M. GSI MASHHAD									
Fid	Sample No.	X	Y	Fire Assay (Au)	ICP	XRD	XRF	Thin	Polish
109	BIRG2S121TP	732312	3619975			***		***	***
110	BIRG2S122	732306	3620046	***	***	***			
111	BIRG2S123	732919	3622939	***	***				
112	BIRG2S124	732919	3622939						
113	BIRG2S125	732672	3615994	***	***				
114	BIRG2S126TP	732672	3615994					***	***
115	BIRG2S127	731817	3615736	***	***	***			
116	BIRG2S128	732766	3616522	***	***				
117	BIRG2S129	731635	3617278	***	***				
118	BIRG2S131TP	731635	3617278					***	***
119	BIRG2S130	731635	3617278	***	***	***			
120	BIRG2S132	730431	3615417	***	***				
121	BIRG2S133	731623	3613114	***	***				
122	BIRG2S134	727886	3613915	***	***				
123	BIRG2S135	726392	3613783	***	***	***			
124	BIRG2S136	726392	3613783	***	***				
125	BIRG2S137TP	726392	3613783					***	***
126	BIRG2S138	725341	3613407	***	***				
127	BIRG2S139	726133	3612576	***	***				
128	BIRG2S140	724646	3612410	***	***				
129	BIRG2S141	721764	3610878	***	***				
130	BIRG2S142	724299	3621277	***	***				
131	BIRG2S143	723718	3619439	***	***				
132	BIRG2S144	722229	3619514	***	***				
133	BIRG2S145	719970	3617196	***	***				
134	BIRG2S146	718887	3615356	***	***				
135	BIRG2S147	719107	3615220	***	***				

BIRJAND (2) SAMPLE LIST Mission 3: FEIZ,M. GSI MASHHAD									
Fid	Sample No.	X	Y	Fire Assay (Au)	ICP	XRD	XRF	Thin	Polish
136	BIRG2S148	718123	3615727			***	***		
137	BIRG2S149	718167	3615758	***	***				
138	BIRG2S150	718457	3615762	***	***				
139	BIRG2S151	721427	3615694	***	***				
140	BIRG2S152	719677	3611514	***	***				
141	BIRG2S153	730262	3618639	***	***				
142	BIRG2S154	727912	3617639	***	***				
143	BIRG2S155	728711	3619533	***	***				
144	BIRG2S300	733198	3613648	***	***		***		
145	BIRG2S301TP	733219	3613696					***	***
146	BIRG2S302	733248	3613721	***	***				
147	BIRG2S303TP	733583	3613597					***	***
148	BIRG2S304	732226	3607681	***	***				
149	BIRG2S305	732215	3607667	***	***				
150	BIRG2S306	733978	3607113	***	***				
151	BIRG2S307	733800	3606945	***	***				
152	BIRG2S308	733788	3606949	***	***				
153	BIRG2S309	73557	3618535	***	***				
154	BIRG2S310	735488	3618522	***	***				
155	BIRG2S311	729800	3606251	***	***				
156	BIRG2S312	730754	3605748	***	***				
157	BIRG2S313	730526	3605940	***	***				
158	BIRG2S314	729484	3603393	***	***				
159	BIRG2S315	728421	3604559	***	***				
160	BIRG2S316	728429	3604589	***	***				
161	BIRG2S317	727513	3606199	***	***				
162	BIRG2S318	723663	3608423	***	***				

اطلاعات کلی برووفیل‌های اکتشافی پیمايش شده

No	X	Y	Direction(Azimuth)	Lenth (m)	No. of mineralization found
P1	715,777	3,625,088	137	2453	2
P2	714,073	3,622,379	62	2586	6
P3	714,221	3,621,818	65	1787	2
P4	716,020	3,623,119	109	2150	10
P5	715,978	3,621,140	108	2903	2
P6	719,735	3,625,734	87	1198	2
P7	721,280	3,624,770	48	2623	4
P8	719,619	3,624,654	116	2272	4
P9	722,381	3,623,818	54	3449	4
P10	718,190	3,623,754	99	4689	5
P11	724,631	3,624,735	120	6885	7
P12	723,203	3,623,243	130	2299	13
P13	723,435	3,621,719	117	1173	3
P14	730,166	3,625,031	125	3359	4
P15	729,881	3,625,031	154	3592	5
P16	726,293	3,621,369	186	1769	5
P17	726,812	3,621,306	128	8529	5
P18	728,367	3,619,496	82	4644	4
P19	721,636	3,619,901	108	6765	5
P20	719,647	3,617,583	137	3286	2
P21	717,720	3,616,155	127	2289	4
P22	724,954	3,613,228	73	8570	6
P23	731,106	3,612,884	68	2732	3
P24	723,785	3,612,36	85	3255	2
P25	719,033	3,611,728	107	3274	2
P26	723,234	3,608,363	80	1503	1
P27	727,161	3,606,807	146	4527	4
P28	728,706	3,606,648	112	2930	3
P29	731,849	3,607,135	34	1218	1
P30	733,426	3,606,510	40	1455	3
